



وزارة التعليم العالي والبحث العلمي

جامعة ديالى

كلية التربية للعلوم الانسانية

قسم الجغرافية



الشذات المطرية و اثرها في المخاطر الجيومورفية لأحواض أودية شمال شرقي قضاء خانقين/ديالى

إطروحة مقدمة

إلى مجلس كلية التربية للعلوم الإنسانية / جامعة ديالى كجزء من متطلبات نيل
درجة دكتوراه فلسفة في الجغرافية الطبيعية

من قبل الطالبة

إنتصار مزهر عويد

بإشراف الأستاذ المساعد الدكتور

هاله محمد سعيد

2021 م

1442هـ

بِسْمِ اللَّهِ الرَّحْمَنِ الرَّحِيمِ

أَنْزَلَ مِنَ السَّمَاءِ مَاءً فَسَالَتْ أَوْدِيَةٌ بِقَدَرِهَا فَاحْتَمَلَ السَّيْلُ زَبَدًا رَابِيًا وَمِمَّا
يُقَدِّونَ عَلَيْهِ فِي النَّارِ ابْتِغَاءَ حِلْيَةٍ أَوْ مَتَاعٍ زَبَدٌ مِثْلَهُ كَذَلِكَ يَضْرِبُ اللَّهُ
الْحَقَّ وَالْبَاطِلَ فَأَمَّا الزَّبَدُ فَيَذْهَبُ جُفَاءً وَأَمَّا مَا يَنْفَعُ النَّاسَ فَيَمْكُثُ فِي
الْأَرْضِ كَذَلِكَ يَضْرِبُ اللَّهُ الْأَمْثَالَ .

الْحَمْدُ لِلَّهِ

سورة الرعد

الاية ١٧

إقرار المشرف

أشهد بان اعداد هذه الاطروحة الموسومة (الشدات المطرية وأثرها في المخاطر الجيومورفية لأحواض أودية شمال شرق قضاء خانقين/ ديالى) التي تقدمت بها الباحثة إنتصار مزهر عويد قد جرى تحت اشرافي في كلية التربية للعلوم الانسانية بجامعة ديالى وهي جزء من متطلبات نيل درجة دكتوراه فلسفة في الجغرافيا الطبيعية.

التوقيع

المشرف: الأستاذ المساعد الدكتورة

هالة محمد سعيد

٢٧ / ٩ / ٢٠٢٠

بناءً على التوصيات المتوفرة أرشح هذه الاطروحة للمناقشة

التوقيع

الأستاذ المساعد الدكتور

وسام متعب محمد الباوي

رئيس قسم الجغرافية

٢٧ / ٩ / ٢٠٢٠

إقرار المقوم اللغوي

أشهد أن هذه الرسالة الموسومة بـ (الشذات المطرية وأثرها في المخاطر الجيومورفية لأحواض أودية شمال شرق قضاء خانقين/ ديالى) المقدمة من قبل الطالبة إنتصار مزهر عويد وهي جزء من متطلبات نيل درجة دكتوراه فلسفة في الجغرافيا الطبيعية قد تم تقويمي إياها لغوياً ، وعليه أُرشح هذه الرسالة للمناقشة من الناحية اللغوية .

التوقيع :

الاسم : م.د حسام غضبان جاسم

التاريخ : ٢ / ١١ / ٢٠٢٠م

إقرار المقوم الاحصائي

أشهد أن هذه الرسالة الموسومة بـ (الشذات المطرية وأثرها في المخاطر الجيومورفية لأحواض أودية شمال شرق قضاء خانقين/ ديالى) المقدمة من قبل الطالبة إنتصار مزهر عويد وهي جزء من متطلبات نيل درجة دكتوراه فلسفة في الجغرافيا الطبيعية قد تم تقويمي إياها إحصائياً ، وعليه أُرشح هذه الرسالة للمناقشة من الناحية الإحصائية .

التوقيع :

الاسم : أ.م. هيثم يعقوب يوسف

التاريخ : ٢٧ / ١١ / ٢٠٢٠ م

إقرار المقوم العلمي

أشهد أن هذه الرسالة الموسومة (الشدات المطرية وأثرها في المخاطر الجيومورفية لأحواض
أودية شمال شرق قضاء خانقين/ ديالى) المقدمة من قبل الطالبة إنتصار مزهر عويد وهي
جزء من متطلبات نيل درجة دكتوراه فلسفة في الجغرافيا الطبيعية قد تم تقويمي إياها علمياً ،
وعليه أُرشح هذه الرسالة للمناقشة من الناحية العلمية .

التوقيع :

الاسم : أ.م.د. جوان سمين أحمد

التاريخ : ١٦ / ١١ / ٢٠٢٠ م

إقرار لجنة المناقشة

نشهد نحن أعضاء لجنة المناقشة اننا قد اطلعنا على أطروحة الدكتوراه الموسومة (الشذات المطرية وأثرها في المخاطر الجيومورفية لأحواض أودية شمال شرق قضاء خانقين/ ديالى) في قسم الجغرافية وقد ناقشنا الطالبة بمحتوياتها وما له علاقة بها ونرى انها جديرة بالقبول لنيل درجة دكتوراه فلسفة في الجغرافية وبتقدير (إمتياز).

التوقيع	التوقيع
الاسم: أ.د. سعدية عاكول منخي	الاسم: أ.د. أحمد عبد الستار جابر
رئيساً	عضواً
التاريخ: / / ٢٠٢١	التاريخ: / / ٢٠٢١

التوقيع	التوقيع
الاسم: أ.د. رقيه أحمد محمد	الاسم: أ.م. د. أزهار سلمان هادي
عضواً	عضواً
التاريخ: / / ٢٠٢١	التاريخ: / / ٢٠٢١

التوقيع	التوقيع
الاسم: أ.م. د. علي مجيد ياسين	الاسم: أ.م. د. هاله محمد سعيد
عضواً	عضواً ومشرفاً
التاريخ: / / ٢٠٢١	التاريخ: / / ٢٠٢١

صادق على الاطروحة مجلس كلية التربية للعلوم الانسانية – جامعة ديالى على إقرار لجنة المناقشة بتاريخ / /

الأستاذ الدكتور
نصيف جاسم محمد الخفاجي
ع/عميد الكلية
التاريخ: / / ٢٠٢١

الليخدراء

إلى من حملتني وهنأ على وعن ووضعتني على الدرب
ونورح طريقي... أُمِّي رحمها الله وأسكنها فسيح
جناته..

أهدي جهدي المتواضع

الباحثة

شكر وتقدير

الحمد لله الذي كرم بني آدم وفضلهم على العالمين، وسخر لهم ما في السموات وما في الأرض، ونور بمعرفته قلوب أوليائه، الحيّ العليم الذي لا يخفى عن علمه مثقال ذرة لا في أرضه ولا سمائه، الذي ألهمني وأسندني دوماً وزاد عليّ من نعمائه، أحمده كما يجب أن يُحمد على جزيل فضله والصلاة والسلام على نبينا محمد وعلى اله وصحبه وسلم.

وأنا انهي جهدي المتواضع يطيب لي أن اتقدم بجزيل شكري وعظيم إمتناني الى الاستاذ المساعد الدكتورة / هالة محمد سعيد على تفضلها بالإشراف على هذه الأطروحة، ولما قدمته لي من وقت وجهد وما منحتني من فكرها وعلمها الفياض وتوجيهاتها العلمية القيمة وكانت مصباحاً أضاء لي طريق العلم والمعرفة، فأسأل الله أن يجزيها خير الجزاء ويزيدها حِلماً وعِلماً .

وأتقدم بالشكر إلى جميع أساتذتي في قسم الجغرافية الذين تتلمذت على أيديهم خلال السنة التحضيرية وما بعدها لما يبذلوه دائماً وأبداً من جهد في تقويم مسيرتنا العلمية فوفقكم الله جميعاً ووهبكم أعلى مراتب الرقي والأبداع.

وكما يسعدني أن أتقدم بخالص شكري وتقديري وأمتناني الى الأستاذ الدكتور (رقية أحمد محمد أمين) في كلية الآداب/ الجامعة العراقية والاستاذ المساعد الدكتورة (أزهار سلمان هادي) في كلية التربية للعلوم الانسانية / جامعة ديالى على ما قدمته لي من توجيهات سديدة ومشورة صادقة أثرت الاطروحة في مراحل الدراسة جميعها ، فجزاهما الله عني خير الجزاء.

وأيضاً أقدم الشكر وعظيم ألامتنان الى الاستاذ الفاضل الأستاذ الدكتور (خالد أكبر الحمداني) في كلية التربية / جامعة الانبار والاستاذ المساعد الدكتورة هاله عبد الرحمن في كلية التربية للبنات/ جامعة بغداد، والدكتور سعد محمد جاسم والدكتور حمزة عباس حامد لما قدماه لي من عون لأتمام العمل التطبيقي في هذه الدراسة .

ومن دواعي الاعتراف بالجميل أيضاً اتقدم بالشكر والامتنان للأستاذ الجيولوجي قيس كامل ناصر والاستاذ باسم خلف اللذين قدما لي العون خلال العمل الميداني ، وختاماً فلا يسعني إلا أن أشكر كل من مد لي يد العون لإنجاز هذه الدراسة فبارك الله فيهم وجزاهم الله عني خير

(الباحثة

الجزاء .

فهرست المحتويات

الفقرة	المحتويات	رقم الصفحة
	الآية	أ
	الآقرارات	ب.ب.ث.ج.ح
	الإهداء	خ
	شكر وتقدير	د
	المستخلص	ذ.ر
	فهرست المحتويات	ز.س.ش.ص
	فهرست الجداول	ص.ط.ظ
	فهرست الخرائط	ع.غ.ف.ق.ك
	فهرست الاشكال	ل
	فهرست الصور	م.ن.هـ
	الاطار النظري	1
الفصل الأول	الخصائص الطبيعية والمناخية لمنطقة الدراسة	12
1-1	المبحث الاول- تحليل الخصائص الطبيعية للمنطقة	13
1-1-1	جبلوجية منطقة الدراسة	13
1-1-1-1	تكتونية المنطقة وتركيبها	13
2-1-1-1	التكوينات الجبلوجية	17
2-1-1	طوبغرافية المنطقة	27
3-1-1	التربة	42
4-1-1	الموارد المائية السطحية في المنطقة	55
5-1-1	الغطاء النباتي	58
2-1	المبحث الثاني- الخصائص المناخية للمنطقة	67
1-2-1	تحليل العناصر المناخية للمنطقة	67
1-1-2-1	الاشعاع الشمسي	68
2-1-2-1	درجة الحرارة	70
3-1-2-1	الامطار	72
4-1-2-1	التبخّر	74
5-1-2-1	الرطوبة النسبية	76
6-1-2-1	الرياح	77
2-2-1	خصائص الامطار في المنطقة وتوزيعها الزماني والمكاني	78
1-2-2-1	التباين الزماني للأمطار في المنطقة	79
2-2-2-1	التباين المكاني للأمطار في المنطقة	80
3-2-1	الشدة المطرية	82
1-3-2-1	حساب الشدات المطرية	83

89	التوزيع المساحي للتساقط المطري في المنطقة	4-2-1
93	تحليل المخاطر الجيومورفية والهيدرولوجية في المنطقة	الفصل الثاني
94	المبحث الأول- تحليل المخاطر الجيومورفية	1-2
94	تحليل مخاطر العمليات المورفوتكتونية	1-1-2
95	أسباب النشاط الزلزالي بالمنطقة	1-1-1-2
101	التوزيع المكاني والزمني للهزات الأرضية في المنطقة:	2-1-1-2
112	المؤشرات الجيومورفولوجية ودلالاتها في عملية التنشيط التكتوني	3-1-1-2
113	مؤشر وعامل التماثل الطبوغرافي (T)	1-3-1-1-2
115	مؤشر عدم التماثل (AF)	2-3-1-1-2
117	مؤشر طول المجرى ودرجة انحداره (SL)	3-3-1-1-2
119	عرض أرضية الوادي الى ارتفاع الوادي (Vf)	4-3-1-1-2
121	مؤشر تعرج مقدمة الجبل (SMF)	5-3-1-1-2
123	مؤشر الفعالية التكتونية النسبية (RAT)	6-3-1-1-2
125	تحليل مخاطر العمليات المورفوديناميكية	2-1-2
126	الحركة البطيئة للمواد	1-2-1-2
128	الحركة السريعة للمواد	2-2-1-2
128	الحركة السريعة جداً للمواد	3-2-1-2
131	المبحث الثاني- تحليل المخاطر الهيدرولوجية	2-2
131	تحليل مخاطر العمليات المورفومناخية	1-2-2
131	التعرية المائية	1-1-2-2
140	علاقة درجة الانحدار ونوع الصخور بقابلية التعرية الاخودية	2-1-2-2
141	التقييم النوعي للتعرية المائية ومقدار إنجراف التربة بأستخدام أنموذج (EPM)	3-1-2-2
142	مؤشر قابلية التربة للتعرية (y)	1-3-1-2-2
146	مؤشر الانحدار (Ja)	2-3-1-2-2
148	مؤشر حماية التربة Xa	3-3-1-2-2
152	مؤشر تطور التعرية الحالية ϕ	4-3-1-2-2
154	مؤشر الحرارة T	5-3-1-2-2
156	مؤشر التساقط المطري (H)	6-3-1-2-2
167	تقدير الجريان السطحي ضمن منطقة الدراسة	الفصل الثالث
170	تقدير حجم الجريان السطحي بأستخدام طريقة سنايدر	1-3
170	زمن التركيز	1-1-3
172	زمن التباطؤ	2-1-1-3
175	زمن الاساس للسيل	3-1-3
177	مدة الارتفاع التدريجي لتدفق السيل	4-1-3

179	مدة الانخفاض التدريجي للسيول	5-1-3
181	حجم الجريان السيلي	6-1-3
183	سرعة الجريان السيلي V	7-1-3
185	حساب كمية التدفق الأقصى للسيول	8-1-3
188	قيمة التسرب الثابتة	9-1-3
190	المدة الزمنية المثالية لهطول الامطار	10-1-3
192	تقدير مدة الجريان السيلي	11-1-3
194	قوة مياه السيول	12-1-3
196	تقدير حجم الجريان السطحي باستخدام طريقة الـ (SCS-CN)	2-3
196	رقم المنحنى للجريان السطحي	1-2-3
197	تصنيف استعمالات الارض	1-1-2-3
204	تصنيف الترب الهيدرولوجية حسب مصلحة الصيانة الامريكية (SCS) المنطقة	2-1-2-3
206	توزيع قيم الـ (CN) في أحواض المنطقة	2-2-3
209	حساب معامل الامكانية القصوى لأحتفاظ التربة بالماء بعد الجريان السطحي	3-2-3
213	حساب معامل الاستخلاص الأولي	4-2-3
217	تقدير عمق الجريان السطحي	5-2-3
223	تقدير حجم الجريان السطحي	6-2-3
230	الفصل الرابع أثر المخاطر الجيومورفية ومخاطر السيول على إستعمالات الأرض	
231	تصميم أنموذج للمخاطر الجيومورفية للمنطقة	1-4
232	أنموذج المخاطر المورفوتكتونية	1-1-4
234	أنموذج المخاطر المورفوديناميكية	2-1-4
237	أنموذج المخاطر المورفومناخية	3-1-4
239	أنموذج المخاطر الجيومورفية	4-1-4
242	مخاطر السيول ضمن المنطقة	2-4
243	تصميم أنموذج مخاطر السيول للمنطقة	1-2-4
246	تقييم أثر المخاطر الجيومورفية ومخاطر السيول على أستعمالات	3-4
254	تقييم أثر المخاطر الجيومورفية على أستعمالات الارض	1-3-4
254	تقييم أثر المخاطر الجيومورفية على المستقرات البشرية	1-1-3-4
257	تقييم أثر المخاطر الجيومورفية على طرق النقل	2-1-3-4
261	تقييم أثر المخاطر الجيومورفية على الاراضي الزراعية	3-1-3-4
264	تقييم أثر مخاطر الجيومورفية على الاماكن السياحية	4-1-3-4
266	تقييم أثر مخاطر السيول على إستعمالات الارض	2-3-4
266	تقييم أثر مخاطر السيول على المستقرات البشرية	1-2-3-4
268	تقييم أثر مخاطر السيول على طرق النقل	3-2-3-4

272	أثر مخاطر السيول على الأراضي الزراعية	3-2-3-4
275	تقييم أثر مخاطر السيول على الأماكن السياحية	4-2-3-4
277-284	الاستنتاجات والتوصيات	
285-293	المصادر والمراجع	
a.b.c	المستخلص باللغة الانكليزية	

فهرست الجداول

رقم الصفحة	الموضوع	تسلسل الجدول
19	التتابع الطباقى للتكوينات الجيولوجية في المنطقة	1
29	فئات الارتفاع في منطقة الدراسة	2
32	أصناف ظل المرتفعات وعلاقتها بطوبغرافية المنطقة	3
35	فئات الانحدار في المنطقة ومساحاتها ونسبها المئوية حسب تصنيف Zink	4
38	مساحة ونسب اتجاهات المنحدرات في المنطقة	5
41	نوع التقوس ودرجته ومساحته ونسبته المئوية في المنطقة	6
44	المساحات والنسب المئوية لأصناف الترب في المنطقة	7
46	المساحات النسب المئوية لخصائص تربة المنطقة	8
54	خصائص التربة (الفيزيائية والكيميائية) لمنطقة الدراسة	9
60	درجات تدهور الغطاء النباتي وفق معيار NDVI	10
61	المساحة والنسبة المئوية للغطاء النباتي ضمن المنطقة	11
67	الموقع الفلكي والارتفاع عن مستوى سطح البحر للمحطات المناخية	12
69	المعدلات الشهرية والسنوية لعدد ساعات السطوع الشمسي (ساعة/يوم) ضمن محطات الرصد الفضائية في المنطقة للمدة من (٢٠٠٨-٢٠١٨)م	13
70	المعدلات الشهرية والسنوية لدرجات الحرارة الاعتيادية العظمى والصغرى ضمن محطات الرصد الفضائية في المنطقة للمدة من (٢٠٠٨-٢٠١٨)م	14
73	المعدلات والمجاميع الفصلية والسنوية لكميات الأمطار الساقطة (ملم) ضمن محطات الرصد الفضائية في المنطقة للمدة من (٢٠٠٨-٢٠١٨)م	15
75	المعدلات والمجاميع الفصلية والسنوية لكميات التبخر ضمن محطات الرصد الفضائية في المنطقة للمدة من (٢٠٠٨-٢٠١٨)م	16
76	معدل الرطوبة النسبية الشهري (ملم) ضمن محطات الرصد الفضائية في المنطقة للمدة من (٢٠٠٨-٢٠١٨)م	17
77	المعدلات الشهرية لسرعة الرياح (م/ ث) ضمن محطات الرصد الفضائية في المنطقة للمدة من (٢٠٠٨-٢٠١٨)م	18
80	معدلات مجاميع كميات الأمطار السنوية ضمن محطات الرصد المناخية الفضائية في المنطقة للمدة من (٢٠٠٨-٢٠١٨)م	19
84	بيانات التساقط المطري في الموسم (٢٠١٧-٢٠١٨) ضمن المحطة A	20

21	بيانات التساقط المطري في الموسم (٢٠١٧-٢٠١٨) ضمن المحطة B	85
22	بيانات التساقط المطري في الموسم (٢٠١٧-٢٠١٨) ضمن المحطة C	86
23	أعلى كمية مياه للشدات المطرية ومقدار أستمرايتها ضمن محطات المنطقة للموسم المطري (٢٠١٧-٢٠١٨)م	87
24	متوسط التساقط المطري المساحة الموزونة للمنطقة للمدة من (٢٠٠٨-٢٠١٨)م	92
25	التراكيب الخطية في منطقة الدراسة	98
26	مقدار وعمق البؤر الزلزالية حسب مقياس ريختر للمدة من (٢٠١٣-٢٠١٨م)	102
27	مساحة ونسب انطقة الهزات الارضية حسب الدرجة الزلزالية في المنطقة	109
28	دليل مؤشر التماثل الطبوغرافي T	113
29	قيم وأصناف مؤشر التماثل الطبوغرافي T لأحواض المنطقة	114
30	دليل مؤشر عدم التماثل AF	115
31	قيم وأصناف مؤشر عدم التماثل AF لأحواض المنطقة	115
32	دليل مؤشر طول المجرى ودرجة انحداره SL	117
33	قيم وأصناف مؤشر طول المجرى و درجة انحداره SL لأحواض المنطقة	117
34	دليل مؤشر (Vf)	120
35	قيم وأصناف مؤشر (Vf) لأحواض المنطقة	120
36	دليل مؤشر تعرج مقدمة الجبل (Smf)	122
37	قيم وأصناف مؤشر (Smf) لأحواض المنطقة	122
38	دليل مؤشر الفعالية التكتونية النسبية RAT	124
39	قيم وأصناف مؤشر RAT لأحواض المنطقة	124
40	أصناف شدة التعرية المطرية حسب مؤشر فورنيه	132
41	قابلية المطر على الحث حسب مؤشر فورنيه نسبة للمعدلات الشهرية للمطار ضمن المحطة A للمنطقة للمدة من (٢٠٠٨-٢٠١٨)	133
42	قابلية المطر على الحث حسب مؤشر فورنيه نسبة للمعدلات الشهرية للمطار ضمن المحطة B للمنطقة للمدة من (٢٠٠٨-٢٠١٨)	133
43	قابلية المطر على الحث حسب مؤشر فورنيه نسبة للمعدلات الشهرية للمطار ضمن المحطة C للمنطقة للمدة من (٢٠٠٨-٢٠١٨)	134
44	درجات التعرية الاخدودية وفق تصنيف (Bergsma)	136
45	أصناف التعرية الاخدودية وعدد المواقع ومساحاتها ونسبها المثوية للمنطقة	139
46	التوزيع التفصيلي لانطقة التعرية وفق درجات الانحدار في المنطقة	141
47	مؤشر قابلية التربة للتعرية (Y)	143
48	مساحة أصناف مقاومة التربة والصخور مؤشر (Y)	145
49	أصناف مؤشر حماية التربة (Xa)	148
50	مساحة أصناف الغطاء النباتي بحسب قيمة مؤشر (Xa)	151

51	أنواع التعرية المحتملة ومساحتها ونسبها المئوية حسب مؤشر (Z)	161
52	أصناف وحجم التعرية المائية السنوية ومساحتها ونسبها المئوية حسب مؤشر (w)	165
53	القياسات المورفومترية لأحواض التصريف ضمن المنطقة	169
54	ازمنة التركيز في أحواض منطقة الدراسة	170
55	النسب المئوية لفئات الأحواض حسب زمن التركيز	172
56	ازمنة التباطؤ T_p في أحواض المنطقة	174
57	النسب المئوية لفئات الأحواض حسب زمن التباطؤ	175
58	زمن الأساس للسيل في أحواض المنطقة	176
59	النسب المئوية لفئات الأحواض حسب زمن الأساس للسيل	177
60	النسب المئوية لفئات الأحواض حسب مدة الارتفاع التدريجي للسيل T_m	178
61	مدة الارتفاع التدريجي للسيل في أحواض المنطقة	179
62	مدة الانخفاض التدريجي للسيل في أحواض المنطقة	180
63	النسب المئوية لفئات الأحواض حسب مدة الانخفاض التدريجي للسيل	181
64	حجم الجريان السطحي في أحواض المنطقة	182
65	النسب المئوية لفئات حجم الجريان السيلي لأحواض المنطقة	183
66	سرعة الجريان السيلي في أحواض المنطقة	184
67	النسب المئوية لفئات سرعة الجريان السيلي لأحواض المنطقة	185
68	كمية التدفق الأقصى للسيل في أحواض المنطقة	186
69	النسب المئوية لفئات كمية التدفق الأقصى للسيل لأحواض المنطقة	187
70	قيمة التسرب الثابتة في أحواض المنطقة	189
71	النسب المئوية لفئات قيم التسرب الثابت في أحواض المنطقة	190
72	المدة الزمنية المثالية لهطول الأمطار لأحواض المنطقة	191
73	النسب المئوية لفئات الأحواض حسب المدة الزمنية المثالية لهطول الأمطار	192
74	المدة الزمنية التي يستغرقها الجريان السيلي لأحواض المنطقة	193
75	النسب المئوية لفئات المدة الزمنية للجريان السيلي في أحواض المنطقة	194
76	قوة مياه السيل لأحواض المنطقة	195
77	النسب المئوية لفئات قوة مياه السيل في أحواض المنطقة	196
78	الملحق المعد لقيم الـ (CN) وفق طريقة (SCS) لأشتقاق أرقام المنحنى (CN)	196
79	المساحات والنسب المئوية للغطاء الأرضي في أحواض المنطقة	203
80	المساحات والنسب المئوية للتربة الهيدرولوجية لأحواض المنطقة	206
81	قيم الـ (CN) المستخلصة ومساحاتها ونسبها المئوية ضمن أحواض المنطقة	208

212	قيم الـ (S) ومساحاتها ونسبها المئوية في أحوض المنطقة	82
216	قيم الـ (Ia) ومساحاتها ونسبها المئوية في أحوض المنطقة	83
222	قيم عمق الجريان السطحي Q لأحواض المنطقة	84
228	قيم حجم الجريان السطحي QV لأحواض المنطقة	85
234	مساحة ونسب مستويات المخاطر المورفوتكتونية في المنطقة	86
236	مساحة ونسب مستويات المخاطر المورفوديناميكية في المنطقة	87
239	مساحة ونسب مستويات المخاطر المورفومناخية في المنطقة	88
242	المساحات والنسب المئوية لتصنيف المخاطر الجيومورفية ضمن المنطقة	89
242	المساحات والنسب المئوية لتصنيف المخاطر الجيومورفية ضمن أحواض المنطقة	90
245	التصنيف النهائي لدرجات مخاطر السيول في أحواض المنطقة	91
246	المساحات والنسب المئوية لدرجات مخاطر السيول في أحواض المنطقة	92
256	الأطوال والنسب المئوية للمستقرات البشرية لمستويات المخاطر الجيومورفية في أحواض المنطقة	93
260	تصنيف المستقرات حسب تواجدها ضمن أنموذج المخاطر الجيومورفية	94
262	تصنيف الاراضي الزراعية حسب تواجدها ضمن أنموذج المخاطر الجيومورفية في المنطقة	95
267	الأعداد والنسب المئوية للمستقرات البشرية ضمن درجات مخاطر السيول في أحواض المنطقة	96
271	أطوال الطرق حسب تواجدها ضمن أنموذج مخاطر السيول	97
273	تصنيف الاراضي الزراعية حسب تواجدها ضمن أنموذج مخاطر السيول	98

فهرست الخرائط

رقم الصفحة	العنوان	تسلسل الخريطة
5	موقع منطقة الداسة	1
14	التقسيمات التكتونية للعراق وموقع منطقة الدراسة	2
16	البنية التركيبية لمنطقة الدراسة	3
19	التكوينات الجيولوجية ضمن منطقة دراسة	4
28	خطوط الارتفاعات المتساوية لمنطقة الدراسة	5
29	الوحدات التضاريسية في منطقة الدراسة	6
32	أصناف ظل المرتفعات ضمن منطقة الدراسة	7
35	زوايا الانحدارات السائدة في المنطقة	8
37	اتجاه الانحدارات السائدة في المنطقة	9
40	أشكال المنحدرات السائدة في المنطقة	10
44	أصناف الترب السائدة في المنطقة	11
47	نسبة الرمل في تربة المنطقة	12
48	نسبة الغرين تربة في المنطقة	13
49	نسبة الطين في تربة المنطقة	14

51	نسبة المادة العضوية في تربة المنطقة	15
52	نسبة تفاعل التربة الـ (ph) في تربة المنطقة	16
53	التوصيل الكهربائي الـ (EC) في تربة المنطقة	17
57	الموارد المياه السطحية ضمن منطقة الدراسة	18
61	التوزيع المكاني لكثافة الغطاء النباتي ضمن المنطقة	19
68	الموقع الفلكي لمحطات الرصد المناخي لمنطقة الدراسة	20
81	متوسط كميات الأمطار السنوية ضمن محطات الرصد المناخية الفضائية في المنطقة للمدة من (٢٠٠٨-٢٠١٨)م	21
90	شبكة مضلعات تمثل المساحة المحيطة بكل محطة مناخية حسب طريقة ثيسن	22
91	التوزيع المساحي للتساقط المطري في المنطقة حسب طريقة ثيسن للمدة من (٢٠٠٨-٢٠١٨)م	23
96	اتجاه حركة الصفائح التكتونية العربية والفارسية والاناضولية	24
97	التراكيب الخطية في منطقة الدراسة	25
100	مطابقة التراكيب الخطية مع شبكة التصريف المائي ضمن المنطقة	26
106	توزيع البؤر الزلزالية ضمن المنطقة للمدة من (٢٠١٣-٢٠١٨)م	27
107	خطوط تساوي مخاطر الشدة الزلزالية في المنطقة	28
109	تصنيف شدة المخاطر الزلزالية ضمن المنطقة للمدة من (٢٠١٣-٢٠١٨)م	29
111	تطابق الظواهر الخطية والفوالق مع توزيع البؤر الزلزالية في المنطقة	30
112	تطابق الظواهر الخطية والفوالق مع التوزيع المساحي للمخاطر الزلزالية في المنطقة	31
114	أصناف المؤشر التماثل الطبوغرافي T لأحواض المنطقة	32
116	أصناف مؤشر عدم التماثل (AF)	33
118	أصناف مؤشر طول المجرى و درجة انحداره (SL)	34
121	أصناف مؤشر (Vf) لأحواض المنطقة	35
123	أصناف مؤشر تعرج مقدمة الجبل SMF	36
125	التصنيف النهائي لمؤشرات الفعالية التكتونية ضمن أحواض المنطقة	37
137	شبكة التصريف المائي في منطقة الدراسة مقسمة الى مربعات	38
139	شدة التعرية الاخدودية حسب تصنيف (Bergsma)	39
140	مطابقة درجات الانحدار و التعرية الاخدودية ضمن المنطقة	40
144	توزيع مؤشر (y) في حوض أوبر	41 أ
144	توزيع مؤشر (y) في حوض كونكل	41 ب
144	توزيع مؤشر (y) في حوض عباسان	41 ت
144	توزيع مؤشر (y) لحوض خورخور	41 ث
145	توزيع مؤشر (y) لحوض سي حران	41 ج
145	توزيع مؤشر (y) لحوض زلكه كن	41 ح
145	توزيع مؤشر (y) لحوض قورة تو	41 خ
145	توزيع مؤشر (y) لحوض بانز مين	41 هـ
147	توزيع مؤشر (Ja) في حوض أوبر	42 أ
147	توزيع مؤشر (Ja) في حوض كونكل	42 ب
147	توزيع مؤشر (Ja) في حوض عباسان	42 ت
147	توزيع مؤشر (Ja) لحوض خورخور	42 ث
147	توزيع مؤشر (Ja) لحوض سي حران	42 ج

147	توزيع مؤشر (Ja) لحوض زلكه كن	42ح
148	توزيع مؤشر (Ja) لحوض قورة تو	42خ
148	توزيع مؤشر (Ja) لحوض بانزمين	42هـ
149	توزيع مؤشر (Xa) في حوض أوبر	43أ
149	توزيع مؤشر (Xa) في حوض كونكل	43ب
150	توزيع مؤشر (Xa) في حوض عباسان	43ت
150	توزيع مؤشر (Xa) لحوض خورخور	43ث
150	توزيع مؤشر (Xa) لحوض سي حران	43ج
150	توزيع مؤشر (Xa) لحوض زلكه كن	43ح
150	توزيع مؤشر (Xa) لحوض قورة تو	43خ
150	توزيع مؤشر (Xa) لحوض بانزمين	43هـ
153	توزيع مؤشر (ϖ) في حوض أوبر	44أ
153	توزيع مؤشر (ϖ) في حوض كونكل	44ب
153	توزيع مؤشر (ϖ) في حوض عباسان	44ت
153	توزيع مؤشر (ϖ) في حوض خورخور	44ث
153	توزيع مؤشر (ϖ) في حوض سي حران	44ج
153	توزيع مؤشر (ϖ) في حوض زلكه كن	44ح
154	توزيع مؤشر (ϖ) لحوض قورة تو	44خ
154	توزيع مؤشر (ϖ) لحوض بانزمين	44هـ
155	توزيع مؤشر (T) في حوض أوبر	45أ
155	توزيع مؤشر (T) في حوض كونكل	45ب
155	توزيع مؤشر (T) في حوض عباسان	45ت
155	توزيع مؤشر (T) في حوض خورخور	45ث
156	توزيع مؤشر (T) في حوض سي حران	45ج
156	توزيع مؤشر (T) في حوض زلكه كن	45ح
156	توزيع مؤشر (T) لحوض قورة تو	45خ
156	توزيع مؤشر (T) لحوض بانزمين	45هـ
157	توزيع مؤشر (H) في حوض أوبر	46أ
157	توزيع مؤشر (H) في حوض كونكل	46ب
157	توزيع مؤشر (H) في حوض عباسان	46ت
157	توزيع مؤشر (H) في حوض خورخور	46ث
158	توزيع مؤشر (H) في حوض سي حران	46ج
158	توزيع مؤشر (H) في حوض زلكه كن	46ح
158	توزيع مؤشر (H) لحوض قورة تو	46خ
158	توزيع مؤشر (H) لحوض بانزمين	46هـ
160	توزيع مؤشر (Z) في حوض أوبر	47أ
160	توزيع مؤشر (Z) في حوض كونكل	47ب
160	توزيع مؤشر (Z) في حوض عباسان	47ت
160	توزيع مؤشر (Z) في حوض خورخور	47ث
160	توزيع مؤشر (Z) في حوض سي حران	47ج
160	توزيع مؤشر (Z) في حوض زلكه كن	47ح
161	توزيع مؤشر (Z) لحوض قورة تو	47خ

161	توزيع مؤشر (Z) لحوض بانزمين	47هـ
164	توزيع مؤشر (W) في حوض أوبر	48أ
164	توزيع مؤشر (W) في حوض كونكل	48ب
164	توزيع مؤشر (W) في حوض عباسان	48ت
164	توزيع مؤشر (W) في حوض خورخور	48ث
164	توزيع مؤشر (W) في حوض سي حران	48ج
164	توزيع مؤشر (W) في حوض زلكه كن	48ح
165	توزيع مؤشر (W) لحوض قورة تو	48خ
165	توزيع مؤشر (W) لحوض بانزمين	48هـ
169	المراتب النهرية لأحواض التصريف في المنطقة	49
172	فئات زمن تركيز أحواض تصريف منطقة الدراسة	50
174	فئات زمن تباطؤ لأحواض المنطقة	51
176	فئات زمن الأساس للسيل لأحواض المنطقة	52
178	فئات مدة الارتفاع التدريجي للسيل لأحواض المنطقة	53
180	فئات مدة الانخفاض التدريجي للسيل في أحواض المنطقة	54
182	فئات حجم الجريان السطحي لأحواض المنطقة	55
185	فئات سرعة الجريان السيلي لأحواض المنطقة	56
187	كمية التدفق الأقصى للسيول لأحواض المنطقة	57
189	قيمة التسرب الثابتة في أحواض المنطقة	58
191	المدة الزمنية المثالية لهطول الأمطار في أحواض المنطقة	59
193	مدة الجريان السيل في أحواض المنطقة	60
195	قوة جريان السيل لأحواض المنطقة	61
202	التصنيف الموجه حوض أوبر	62أ
202	التصنيف الموجه لحوض كونكل	62ب
202	التصنيف الموجه لحوض عباسان	62ت
202	التصنيف الموجه لحوض خورخور	62ث
202	التصنيف الموجه لحوض سي حران	62ج
202	التصنيف الموجه لحوض زلكه كن	62ح
203	التصنيف الموجه لحوض قورة تو	62خ
203	التصنيف الموجه لحوض بانزمين	62هـ
204	الترب الهيدرولوجية حوض أوبر	63أ
204	الترب الهيدرولوجية لحوض كونكل	63ب
205	الترب الهيدرولوجية لحوض عباسان	63ت
205	الترب الهيدرولوجية لحوض خورخور	63ث
205	الترب الهيدرولوجية لحوض سي حران	63ج
205	الترب الهيدرولوجية لحوض زلكه كن	63ح
205	الترب الهيدرولوجية لحوض قورة تو	63خ
205	الترب الهيدرولوجية لحوض بانزمين	63هـ
207	توزيع قيم الـ (CN) حوض أوبر	64أ
207	توزيع قيم الـ (CN) لحوض كونكل	64ب

207	توزيع قيم الـ (CN) لحوض عباسان	64 ت
207	توزيع قيم الـ (CN) لحوض خورخور	64 ث
208	توزيع قيم الـ (CN) لحوض سي حران	64 ج
208	توزيع قيم الـ (CN) لحوض زلكه كن	64 ح
208	توزيع قيم الـ (CN) لحوض قورة تو	64 خ
208	توزيع قيم الـ (CN) لحوض بانزمين	64 هـ
211	قيم الـ (S) حوض أوبر	65 أ
211	قيم الـ (S) لحوض كونكل	65 ب
211	قيم الـ (S) لحوض عباسان	65 ت
211	قيم الـ (S) لحوض خورخور	65 ث
212	قيم الـ (S) لحوض سي حران	65 ج
212	قيم الـ (S) لحوض زلكه كن	65 ح
212	قيم الـ (S) لحوض قورة تو	65 خ
212	قيم الـ (S) لحوض بانزمين	65 هـ
215	قيم الـ (Ia) لحوض أوبر	66 أ
215	قيم الـ (Ia) لحوض كونكل	66 ب
215	قيم الـ (Ia) لحوض عباسان	66 ت
215	قيم الـ (Ia) لحوض خورخور	66 ث
215	قيم الـ (Ia) لحوض سي حران	66 ج
215	قيم الـ (Ia) لحوض زلكه كن	66 ح
216	قيم الـ (Ia) لحوض قورة تو	66 خ
216	قيم الـ (Ia) لحوض بانزمين	66 هـ
218	عمق الجريان السطحي لحوض أوبر ضمن المحطة A	67 أ
218	عمق الجريان السطحي لحوض كونكل ضمن المحطة A	67 ب
219	عمق الجريان السطحي لحوض عباسان ضمن المحطة A	67 ت
219	عمق الجريان السطحي لحوض خورخور ضمن المحطة A	67 ث
219	عمق الجريان السطحي لحوض سي حران ضمن المحطة A	67 ج
219	عمق الجريان السطحي لحوض زلكه كن ضمن المحطة A	67 ح
219	عمق الجريان السطحي لحوض قورة تو ضمن المحطة A	67 خ
219	عمق الجريان السطحي لحوض بانزمين ضمن المحطة A	67 هـ
220	عمق الجريان السطحي لحوض أوبر ضمن المحطة B	68 أ
220	عمق الجريان السطحي لحوض كونكل ضمن المحطة B	68 ب
220	عمق الجريان السطحي لحوض عباسان ضمن المحطة B	68 ت
220	عمق الجريان السطحي لحوض خورخور ضمن المحطة B	68 ث
20	عمق الجريان السطحي لحوض سي حران ضمن المحطة B	68 ج
220	عمق الجريان السطحي لحوض زلكه كن ضمن المحطة B	68 ح
221	عمق الجريان السطحي لحوض قورة تو ضمن المحطة B	68 خ
221	عمق الجريان السطحي لحوض بانزمين ضمن المحطة B	68 هـ
221	عمق الجريان السطحي لحوض أوبر ضمن المحطة C	69 أ
221	عمق الجريان السطحي لحوض كونكل ضمن المحطة C	69 ب
221	عمق الجريان السطحي لحوض عباسان ضمن المحطة C	69 ت

221	عمق الجريان السطحي لحوض خور خور ضمن المحطة C	69 ث
222	عمق الجريان السطحي لحوض سي حران ضمن المحطة C	69 ج
222	عمق الجريان السطحي لحوض زلكه كن ضمن المحطة C	69 ح
222	عمق الجريان السطحي لحوض قورة تو ضمن المحطة C	69 خ
222	عمق الجريان السطحي لحوض بانزمين ضمن المحطة C	69 هـ
225	حجم الجريان السطحي لحوض أوبر ضمن المحطة A	70 أ
225	حجم الجريان السطحي لحوض كونكل ضمن المحطة A	70 ب
225	حجم الجريان السطحي لحوض عباسان ضمن المحطة A	70 ت
225	حجم الجريان السطحي لحوض خور خور ضمن المحطة A	70 ث
225	حجم الجريان السطحي لحوض سي حران ضمن المحطة A	70 ج
225	حجم الجريان السطحي لحوض زلكه كن ضمن المحطة A	70 ح
226	حجم الجريان السطحي لحوض قورة تو ضمن المحطة A	70 خ
226	حجم الجريان السطحي لحوض بانزمين ضمن المحطة A	70 هـ
226	حجم الجريان السطحي لحوض أوبر ضمن المحطة B	71 أ
226	حجم الجريان السطحي لحوض كونكل ضمن المحطة B	71 ب
226	حجم الجريان السطحي لحوض عباسان ضمن المحطة B	71 ت
226	حجم الجريان السطحي لحوض خور خور ضمن المحطة B	71 ث
227	حجم الجريان السطحي لحوض سي حران ضمن المحطة B	71 ج
227	حجم الجريان السطحي لحوض زلكه كن ضمن المحطة B	71 ح
227	حجم الجريان السطحي لحوض قورة تو ضمن المحطة B	71 خ
227	حجم الجريان السطحي لحوض بانزمين ضمن المحطة B	71 هـ
227	حجم الجريان السطحي لحوض أوبر ضمن المحطة C	72 أ
227	حجم الجريان السطحي لحوض كونكل ضمن المحطة C	72 ب
228	حجم الجريان السطحي لحوض عباسان ضمن المحطة C	72 ت
228	حجم الجريان السطحي لحوض خور خور ضمن المحطة C	72 ث
228	حجم الجريان السطحي لحوض سي حران ضمن المحطة C	72 ج
228	حجم الجريان السطحي لحوض زلكه كن ضمن المحطة C	72 ح
228	حجم الجريان السطحي لحوض قورة تو ضمن المحطة C	72 خ
228	حجم الجريان السطحي لحوض بانزمين ضمن المحطة C	72 هـ
233	تصنيف المخاطر المورفوتكتونية ضمن المنطقة	73
236	تصنيف المخاطر المورفوديناميكية ضمن المنطقة	74
238	تصنيف المخاطر المورفومناخية ضمن المنطقة	75
241	تصنيف درجات المخاطر الجيومورفية ضمن المنطقة	76
245	تصنيف مخاطر السيول ضمن أحواض المنطقة	77
248	توزيع القرى مع أمتداد شبكة المجاري المائية في المنطقة	78
249	أمتداد طرق النقل مع توزيع المستقرات البشرية في المنطقة	79
251	توزيع المساحات المزروعة ضمن منطقة الدراسة	80
253	توزيع الأماكن السياحية في منطقة الدراسة	81
255	مطابقة المستقرات البشرية مع مستويات المخاطر الجيومورفية ضمن المنطقة	82
260	مطابقة طرق النقل مع مستويات المخاطر الجيومورفية في المنطقة	83
262	مطابقة الأراضي الزراعية مع أصناف المخاطر الجيومورفية ضمن المنطقة	84

265	مطابقة الاماكن السياحية مع مستويات المخاطر الجيومورفية في المنطقة	85
267	مطابقة القرى مع درجات مخاطر السيول ضمن أحواض المنطقة	86
271	مطابقة طرق النقل ومخاطر السيول في المنطقة	87
273	مطابقة الاراضي الزراعية ومخاطر السيول في المنطقة	88
275	مطابقة الاماكن السياحية مع مخاطر السيول في المنطقة	89

فهرست الاشكال

رقم	الموضوع	تسلسل الشكل
30	المجسم التضاريسي لمنطقة الدراسة	1
38	وردة إتجاه المنحدرات ضمن المنطقة	2
55	أصناف نسجة تربة المنطقة التي تقع ضمن الاراضي العراقية وفقاً لمثلث النسجة	3
69	المعدلات الشهرية لمعدل السطوع الشمسي ضمن محطات الرصد الفضائية في المنطقة للمدة من (٢٠٠٨-٢٠١٨)م	4
71	درجات الحرارة العظمى ضمن محطات الرصد الفضائية في المنطقة للمدة من (٢٠٠٨-٢٠١٨)م	5
71	المعدلات الشهرية لدرجات الحرارة الصغرى ضمن محطات الرصد الفضائية في المنطقة للمدة من (٢٠٠٨-٢٠١٨)م	6
72	المعدل العام لدرجات الحرارة ضمن محطات الرصد الفضائية في المنطقة من (٢٠٠٨-٢٠١٨)م	7
74	المعدلات والمجاميع الفصلية لكميات الامطار ضمن محطات الرصد الفضائية في المنطقة للمدة من (٢٠٠٨-٢٠١٨)م	8
75	المعدلات الشهرية لكميات التبخر ضمن محطات الرصد الفضائية في المنطقة للمدة من (٢٠٠٨-٢٠١٨)م	9
77	المعدلات الشهرية للرطوبة النسبية لمحطات الرصد الفضائية في المنطقة للمدة من (٢٠٠٨-٢٠١٨)م	10
78	معدل سرعة الرياح الشهري (ملم) ضمن محطات الرصد الفضائية في المنطقة للمدة من (٢٠٠٨-٢٠١٨)م	11
80	متوسط مجاميع كميات الامطار السنوية ضمن المحطات المناخية المنطقة للمدة من (٢٠٠٨-٢٠١٨)م	12
82	متوسط كميات الامطار السنوية ضمن محطات الرصد المناخية الفضائية للمدة من (٢٠٠٨-٢٠١٨)م	13
88	إنموج لكميات المياه الساقطة للشدة المطرية بتاريخ (٢٠١٨/٥/٢١)	14
89	إنموج لكميات المياه الساقطة للشدة المطرية بتاريخ (٢٠١٨/٥/٢١)	15
89	إنموج لكميات المياه الساقطة للشدة المطرية بتاريخ (٢٠١٨/٥/٢١)	16
99	المخطط الاشعاعي التكراري للظواهر الخطية	17
99	المخطط الاشعاعي الطولي للظواهر الخطية	18
105	التكرار السنوي لعدد الهزات الارضية للمدة من (٢٠١٣-٢٠١٨ م) ضمن المنطقة	19
119	طريقة تمثيل قياسات معادلة مؤشر VF	20

21	مخطط يوضح تسلسل مراحل تطبيق إنموذج Gavrilovic	142
22	إنموذج اشتقاق مؤشر قابلية التربة للتعرية (y)	143
23	إنموذج اشتقاق مؤشر الانحدار (Ja)	146
24	إنموذج اشتقاق مؤشر حماية التربة Xa	148
25	كيفية أستخراج قيمة الاشعاع القصوى للنطاق الرابع (Band4)	152
26	إنموذج اشتقاق مؤشر تطور التعرية المائية (w)	152
27	إنموذج اشتقاق مؤشر الحرارة (T)	155
28	إنموذج اشتقاق مؤشر الامطار (H)	157
29	إنموذج اشتقاق مؤشر (Z)	159
30	إنموذج اشتقاق مؤشر (W)	162
31	الطبقات المعتمدة لاشتقاق إنموذج المخاطر المورفوتكتونية	232
32	الطبقات المعتمدة لاشتقاق إنموذج المخاطر المورفوديناميكية	235
33	الطبقات المعتمدة لاشتقاق إنموذج المخاطر المورفومناخية	238
34	الطبقات المعتمدة لاشتقاق إنموذج المخاطر الجيومورفية	241

فهرست الصور

رقم الصفحة	العنوان	تسلسل الصور
15	طية بامو في شمال شرق المنطقة ضمن الحدود العراقية-الايرانية	1
17	الفواصل في صخور منحدرات وادي سرتك ضمن حوض عباسان	2
21	تكوين البيلاسبي في شمال المنطقة ضمن الطبقات لأودية حوض كونكل	3
22	تكوين الفتحة في قرية سه روة الجزء الشمالي الشرقي من المنطقة	4
23	تكوين إنجانة ضمن حوض أوبر في شمال المنطقة	5
24	تكوين المقدادية قرب قرية علي مير ضمن ناحية قورة تو	6
25	تكوين باي حسن ضمن منكشفات أودية حوض أوبر	7
41	منحدرات مقعرة ومحدبة عند منابع وادي سرتك في شمال شرق المنطقة	8
41	إنحدار مستقيم في سفوح أودية ضمن حوض كونكل شمال المنطقة	9
54	جمع عينات التربة قرب قرية سه روة	10
54	وضع العينات داخل أكياس بلاستيكية	11
56	المياه الجارية خلال أودية حوض عباسان في نهر دياتي	12
56	مصب حوض عباسان في نهر دياتي	13
58	مصب حوض قورة تو في نهر دياتي	14
62	الغابات في مرتفعات بامو شمال المنطقة	15
63	اشجار الجوز والبلوط على مرتفعات جبل بامو قرب قرية هورين في حوض عباسان	16
63	نباتات بطون اودية في إحد روافد حوض كونكل	17

18	أشجار التوت البري في إحد روافد حوض عباسان	63
19	نبات البابونج في حوض قورة تو	65
20	شقائيق النعمان في حوض قورة تو	65
21	أشجار الصفصاف على ضفاف مجرى مائي لرافد سرتك في حوض عباسان	66
22	شجيرات الدفلة على ضفاف منابع رافد سرتك في حوض عباسان	66
23	أثر الهزات الأرضية على المباني في قرية سرتك ضمن ناحية ميدان	110
24	زحف الصخور قرب قرية كاني قول ضمن ناحية ميدان	127
25	ميلان جذوع الأشجار بسبب زحف التربة على سفوح وادي تورينه ضمن حوض	127
26	الانزلاق الأرضي ضمن سفوح منحدرات وادي شيخان في حوض عباسان	129
27أ	منازل معرضة للانزلاق الأرضي قرب قرية سلاوة ضمن الاجزاء الشمالية الشرقية من المنطقة	129
27ب	منازل معرضة للانزلاق الأرضي في قرية شاويزي في ضمن الاجزاء الشمالية الشرقية من المنطقة	129
28	سقوط كتل صخرية في قرية شمشير كول ضمن ناحية ميدان	130
29	سقوط حر لكتل صخرية في أحد أودية حوض أوبر شمال المنطقة	130
30	مسيلات مائية في أودية حوض زلكه كن قرب قرية قرم جرم	135
31	التعرية الاخدودية في الجزء الجنوبي الغربي من المنطقة ضمن حوض قوره تو	136
32	الغابات في شمال شرق المنطقة ضمن أودية حوض عباسان	198
33	الأراضي الجرداء ضمن أراضي حوض خورخور	199
34	المراعي الطبيعية في حوض أوبر قرب قرية شمشير كول	200
35	السيول قرب قرية جواركلو في ناحية ميدان	243
36	المستقرات البشرية في قرية شمشير كول ضمن ناحية ميدان	246
37	قرية قورت ضمن ناحية قورة تو	247
38	البنائات المنفردة في قرية هورين ضمن ناحية ميدان	247
39	طريق يربط بين قرية صالح آغا وجياسورخ المعبد ضمن ناحية ميدان	250
40	طريق غير معبد يربط بين قرية شمشير كول وميشاو في شمال المنطقة	250
41	المدخل الى مصيف سرتك في شمال شرق المنطقة ضمن ناحية ميدان	252
42	مصيف كولم بحري قرب قرية بيلولة في ناحية ميدان	253
43	تساقط الصخور بالقرب من المستقرات البشرية في قرية باغ ناران شمال شرق المنطقة	256
44	تساقط الصخور بالقرب من المستقرات البشرية في قرية كاني كرماج ضمن ناحية ميدان	256
45	تساقط الصخور وغلق الطريق الحدودي الذي يربط بين العراق وإيران في شمال المنطقة	257
46 أ - ب	تساقط صخور عند مدخل مصيف سرتك ضمن حوض عباسان	258
47	جدار ساند لمنع تساقط الصخور في طريق ميدان بقويزة	259
48	تساقط الصخور في المجرى المائي الذي يصب ضمن الجانب الايمن لرافد سرتك	263

263	تساقط الصخور في المجرى المائي الذي يصب ضمن الجانب الايمن لرافد سرتك	49
264	تساقط الصخور أمام مصيف سرتك	50
268	حدوث السيول ضمن المستقرات البشرية في قرية مجيد قادراغا ضمن ناحية قوروتو	51
269	تقويض على الجانب الايسر في طريق قرية صالح آغا وجياسورخ	52
270	تقويض على الجانب الايمن بفعل السيول في طريق صالح آغا وجياسورخ	53 أ- ب
274	إقتلاع جذور الاشجار بسبب أنجراف التربة	54
274	ضعف تماسك جذور الاشجار بسبب أنجراف التربة	55
276	الجانب الايمن لسدة ترابية لحصاد مياه السيول في قرية علي مير	56
276	الجانب الايمن لسدة ترابية لحصاد مياه السيول في قرية علي مير	57

المستخلص

تهدف الدراسة الى تحليل أثر الشدات المطرية في حدوث المخاطر الجيومورفية ضمن المنطقة، والتي تشغل مساحة بلغت (٢١٦٣ كم²)، إذ شملت (٨) أحواض متمثلة بحوض (أوبر وكونكل وعباسان وخورخور و زلكه كن وسي حران وقورة تو وبانزمين) التي تتبع من جهة الشرق باتجاه الغرب لتصب في نهر ديالى، أي يقع جزء من أراضيها ضمن محافظة كرمنشاھ الايرانية والتي تتمثل بالمنابع العليا لحوضي عباسان وقورة تو والجزء الاخر ضمن قضاء خانقين في محافظة ديالى، إذ تنحصر فلكياً بين خطي طول (١١° ٤٦' - ١٠° ٤٥') شرقاً دائرتي عرض (١٠° ٣٤' - ١٢° ٣٥') شمالاً.

أوضحت الدراسة أن أعلى الشدات المطرية هطلت خلال الموسم المطري (٢٠١٧-٢٠١٨)م الذي يعد من أغزر المواسم خلال المدة المعتمدة في الدراسة وهي (١١) سنة والتي تمثلت بالسنوات المحصورة بين عامي (٢٠٠٨-٢٠١٨)م، حيث بلغت أعلى شدة مطرية (٥٨ ملم/ساعة) في المحطة (A) بتاريخ ٢٠١٨/٥/٢١م والتي استمرت (٣) ساعات متتالية، وفي المحطة (B) فقد بلغت أعلى شدة مطرية (٣٦ ملم/ساعة) الساقطة بتاريخ (٦-٢٠١٨/٥/٧)م والتي استمرت (٤) ساعات متتالية، وكما قد سجلت أعلى شدة مطرية ضمن المحطة (C) والتي بلغت (٤٤ ملم/ساعة) بتاريخ (١١/٤/٢٠١٨)م إذ استمرت (٥) ساعات متتالية.

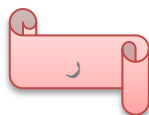
كما تبين من دراسة العمليات المورفوتكتونية أن المنطقة تعاني من نشاط تكتوني عالي، لذا فإنها تكون معرضة بشكل مستمر لحدوث مخاطر زلزالية، حيث إن هناك تبايناً في تكرار حدوث الهزات الارضية وتوزيعها المكاني فضلاً عن تباين قوتها وآثارها التدميرية على المنطقة، وبناءً على ذلك صنفّت المنطقة الى ثلاث مستويات من الاراضي المعرضة للخطورة الزلزالية اعتماداً على مقدار الشدة الزلزالية (حسب مقياس ريختر)، وللمدة من (٢٠١٣-٢٠١٨)م، فقد بلغت نسبة مساحة الاراضي التي تكون ذات خطورة زلزالية قليلة (٥٨.٧%) من أجمالي مساحة المنطقة والتي تراوح مقدار الشدة الزلزالية فيها بين (٢ - ٢.٨)°، وكما بلغت نسبة مساحة الاراضي متوسطة الخطورة (٣٢.٩%) من مجموع مساحة المنطقة، وقد تراوح مقدار شدتها الزلزالية بين (٢.٩-٣.٦)°، أما نسبة مساحة الاراضي المعرضة لحدوث مخاطر زلزالية شديدة فقد بلغت (٨.٤%) من أجمالي مساحة المنطقة، والتي شدتها تراوحت بين (٣.٧-٤.٦)°.

وكما طبق إنموذج جافريلوفيك الـ (EPM) على أحواض منطقة الدراسة، إذ وجد إن التعرية المائية المتوسطة هي السائدة، وقد تراوح حجم الرواسب ضمن أراضيها بين (٥٠١ - ١٥٠٠) م^٣/كم^٢/سنة، والتي شغلت مساحة بلغت (٧٢٤.٢ كم^٢) من مجموع مساحة أحواض المنطقة.

أما هيدرولوجياً فقد أستخدم أنموذج سنايدر وطريقة الـ (SCS-CN) لتقدير حجم الجريان السطحي الذي يعتمد على نوعية التربة للحوض ونفاذيتها وتصنيف أنواع الغطاءات الأرضية لأحواض المنطقة، إذ تراوحت قيم الـ (CN) في منطقة الدراسة ما بين (٢٥-١٠٠) أي سيادة القيم المرتفعة مما يدل على قلة النفاذية التربة وإرتفاع نسب الجريان السطحي ضمن أغلب أحواض المنطقة ، وكما إتضح إن هناك تبايناً في قيم حجم الجريان السطحي التي أعتمد في حسابه الشدة المطرية الساقطة بتاريخ (٢٠١٨/٤/١١)م ضمن المحطات المناخية المعتمدة في الدراسة ، فقد سجلت أعلى القيم ضمن حوضي عباسان و قورة تو والتي بلغت (٥٢٢.٣٩٦ - ١,٠٦٤.٧٣)م^٣و (٤٧٢.٩٥٣ - ٩٦٣.٩٦١)م^٣ على التوالي مما جعلهما من أكثر الاحواض المعرضة لحدوث سيول ذات خطورة شديدة.

وكما تم تقييم التدهور البيئي في المنطقة وبناء إنموذج محاكاة للمخاطر الجيومورفية من خلال تحديد درجة القابلية والملاءمة الأرضية، فقد صنفت المخاطر الجيومورفية الى ثلاثة مستويات من الخطورة التي تحدث ضمن أحواض منطقة الدراسة ، حيث يشغل المستوى الثاني للاراضي الملائمة والمتوسطة الخطورة النسبة الأعلى والتي بلغت (٤١.٤%) من مساحة أحواض المنطقة ، وكما أظهرت نتائج مطابقة خريطة المخاطر الجيومورفية مع خرائط أستعمالات الأرض ، أن أعلى نسبة من أعداد المستقرات البشرية تقع ضمن المناطق القليلة الخطورة وقد بلغت (٣٤%) من مجموع أعداد القرى التي تقع ضمن منطقة الدراسة، أما بالنسبة للطرق فقد شكلت الطرق المعبدة وغير المعبدة الممتدة ضمن الاراضي المتوسطة الخطورة أعلى نسبة من مجموع أطوال الطرق ضمن المنطقة والتي بلغت (٣٨.٤% ، ٣٩.٧%) على التوالي، أما بالنسبة للمساحات الزراعية فقد شغلت أعلى نسبة ضمن الاراضي المتوسطة الخطورة والتي بلغت (٤٣.٢%) من مجموع مساحة الاراضي الزراعية لأحواض المنطقة.

وكما صمم أنموذج مخاطر السيول الذي ضم مستويين من مستويات الخطورة، إذ وقع حوضي عباسان وقورة تو ضمن مستوى الخطورة الشديدة، كما بينت نتائج مطابقة خريطة مخاطر السيول مع خرائط أستعمالات الأرض ضمن المنطقة، أن هناك أعلى نسبة من أعداد المستقرات البشرية تقع ضمن أراضى الشديدة الخطورة والتي شغلت نسبة (٨٩.٣%) من مجموع أعداد المستقرات البشرية ضمن أحواض المنطقة، أما بالنسبة للطرق فقد شكلت الطرق المعبدة وغير المعبدة الممتدة أعلى نسبة ضمن الاراضي الشديدة الخطورة والتي بلغت (٨٩.٧% ، ٧٢.٨%) على التوالي ، أما بالنسبة للمساحات الزراعية التي تقع ضمن الاراضي الشديدة الخطورة فقد شغلت أعلى نسبة والتي بلغت (٨٣.٤) من مجموع مساحات الاراضي الزراعية ضمن أحواض المنطقة.



الاطار النظري



المقدمة Introduction:

تعد المخاطر الجيومورفية Geomorphic Hazards من أبرز مظاهر الكوارث الطبيعية المتكررة التي يكون لها أثر كبير على مختلف الأنشطة البشرية إذ تنجم عن عدة عوامل أهمها الأمطار. إذ أن لموقع المنطقة وشكل السطح أثراً كبيراً في تعرضها الى حدوث عواصف مطرية متباينة في الشدة والاستدامة والتكرار حيث تعد المصدر الرئيسي للجريان السطحي خلال أودية أحواض المنطقة، وغالباً ما تسقط أمطاراً غزيرة في وقت قصير ينتج عنها فيضانات سيلية عنيفة مهددة إستقرار حياة السكان في مناطق الأخطار المحتمل حدوثها.

كما إن للهطولات المطرية وشدتها وتكرارها وموسم سقوطها أثراً في تعرية التربة وإنجرافها الذي بدوره يؤدي الى تدهور الاراضي الزراعية في المنطقة ، إذ يزداد الانجراف المائي للتربة (Soil water Erosion) بزيادة كمية الهطول المطري ولاسيما عند الشدة العالية للعواصف المطرية المتكررة بفواصل زمنية قصيرة.

وكما تساهم الامطار في زيادة فاعلية العمليات المورفوتكتونية ومنها الزلازل ، حيث تعد الامطار عامل يساعد على زيادة عدد الهزات الارضية التي تحدث في المنطقة مما نتج عن ذلك مخاطر وأضرار كبيرة سواء بصورة مباشرة أو غير مباشرة ، وكما تؤثر الامطار في العمليات المورفوديناميكية من خلال زيادة نشاط عمليتي التجوية والتعرية مما يساهم ذلك في حدوث الانزلاقات والسقوط الصخري والانهيارات والهبوط الأرضي وزحف الصخور من أعلى سفوح المنحدرات نحو بطون الاودية ضمن منطقة الدراسة.

أولاً - مشكلة الدراسة Problem of Study:

تكمن صياغة مشكلة الدراسة الرئيسية بالسؤال التالي :

- ما مدى تأثير الشدات المطرية على زيادة كمية التصريف المائي في مجاري أودية الأحواض ومن ثم حدوث المخاطر الجيومورفية ومخاطر السيول ضمن منطقة الدراسة ؟
فضلاً عن المشاكل الثانوية والتي تمثلت بالتساؤلات الآتية :
 - ١- ما حجم الجريان السطحي ومقدار المخاطر السيلية المتوقعة الحدوث ضمن أحواض المنطقة؟
 - ٢- ما هي العمليات المورفوتكتونية والمورفوديناميكية المؤثرة في زيادة حدوث المخاطر الجيومورفية الناتجة عن الشدات المطرية؟
 - ٣- ما نوع وشدة التعرية المائية في المنطقة ومقدار التربة وكمية الترسبات المنجرفة بفعل الجريان السطحي خلال أحواض المنطقة؟
 - ٤- ما هو توزيع المخاطر الجيومورفية التي تحدث في المنطقة؟

٥- ما أثر المخاطر الجيومورفية ومخاطر السيول المحتمل حدوثها ضمن المنطقة على النشاط البشري ومدى ملائمة وقابلية الارض للاستعمالات البشرية؟

ثانياً: - فرضيات الدراسة The hypothesis of the study:

- ١- هناك تأثير واضح للشدات المطرية على زيادة كمية التصريف المائي ومن ثم حدوث السيول ومخاطرها والمخاطر الجيومورفية ضمن المنطقة.
- ٢- هناك مخاطر جيومورفية عديدة متمثلة بأنجراف التربة والانزلاقات الصخرية وإنهيارات أرضية ممكن أن تحدث في المنطقة .
- ٣- تنشط العمليات المورفوتكتونية والمورفوديناميكية ضمن منطقة الدراسة والتي يكون لها الاثر الكبير في زيادة حدوث المخاطر الجيومورفية الناتجة عن الشدات المطرية
- ٤- هناك فقدان وتدهور في التربة جراء التعرية المائية التي تحدث ضمن أحواض المنطقة.
- ٥- هناك تباين في توزيع المخاطر الجيومورفية التي تحدث في المنطقة.
- ٧- هناك تدهور بيئي يحدث في المنطقة نتيجة لحدوث المخاطر الجيومورفية ومخاطر السيول المحتمل حدوثها.

ثالثاً- هدف الدراسة :

- ١- توضيح أثر كميات الشدات المطرية على حدوث المخاطر الجيومورفية ومخاطر السيول في المنطقة فضلاً عن مدى مساهمة العمليات المورفوتكتونية والنشاط الزلزالي في ذلك.
- ٣- تقدير حجم الجريان السطحي ضمن المنطقة باستخدام أنموذجي سنايدر و الـ (SCS-CN) على أساس أعلى شدة مطرية ساقطة ضمن المنطقة وتصميم أنموذج لمخاطر السيول والاثار الناجمة عنه .
- ٤- حساب حجم التعرية المائية السنوية وشدتها السائدة في المنطقة ، فضلاً عن حساب كمية التربة المفقودة والترسبات المتوقع خسارتها من الطبقة السطحية لأراضي أحواض المنطقة باستخدام أنموذج جافريولوفيك الـ (EPM).
- ٦- تصميم نماذج للمخاطر الجيومورفية ومخاطر السيول ضمن أحواض المنطقة وأثرها على استعمالات الأرض.
- ٧- تحديد درجة الملائمة الارضية من خلال تقييم المخاطر وبناء أنموذج للمخاطر الجيومورفية ومخاطر السيول التي تحدث في المنطقة.

خامساً- أهمية ومبررات اختيار الدراسة :

ويمكن إيجازها أجمالاً بما يأتي :

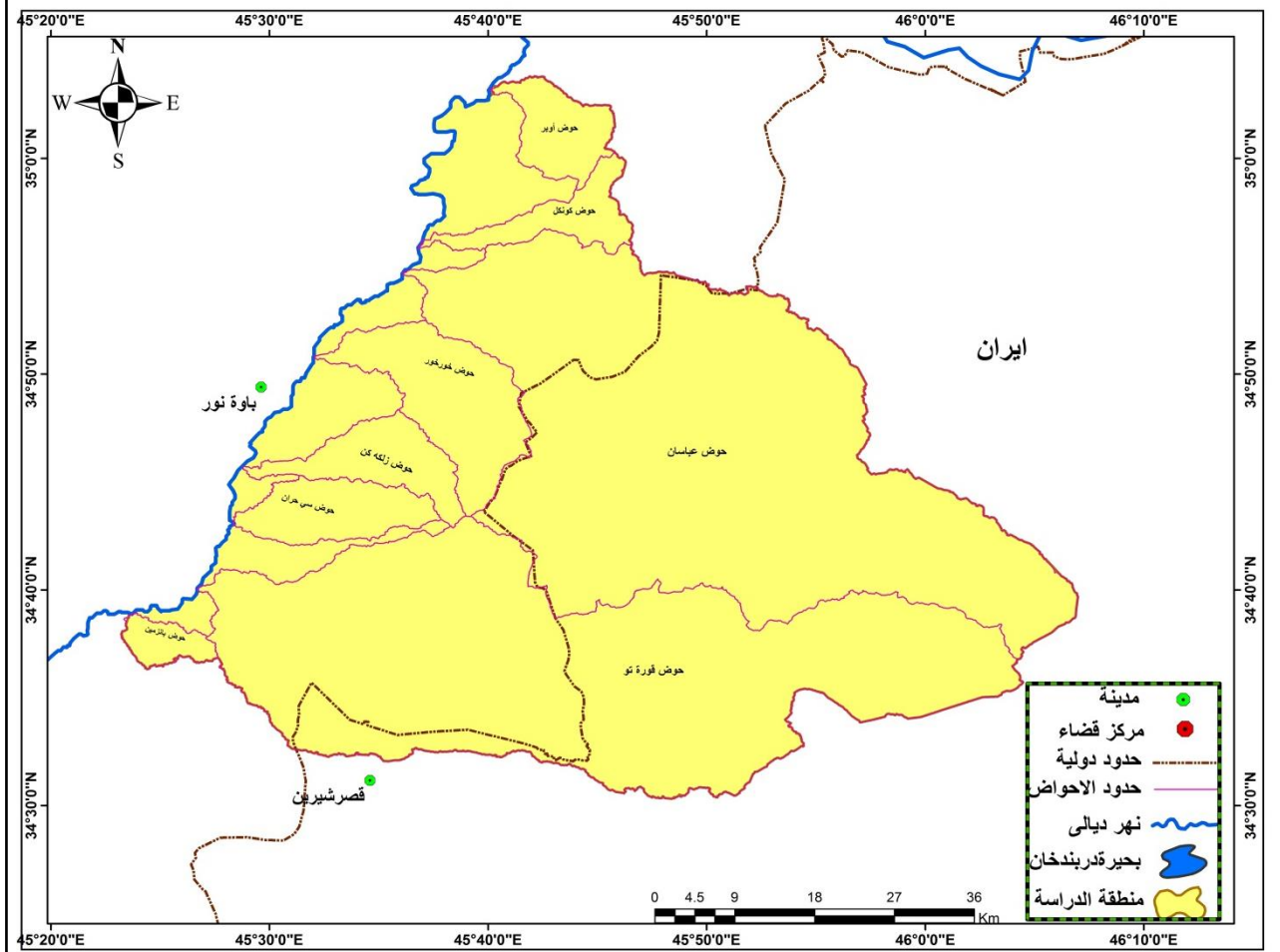
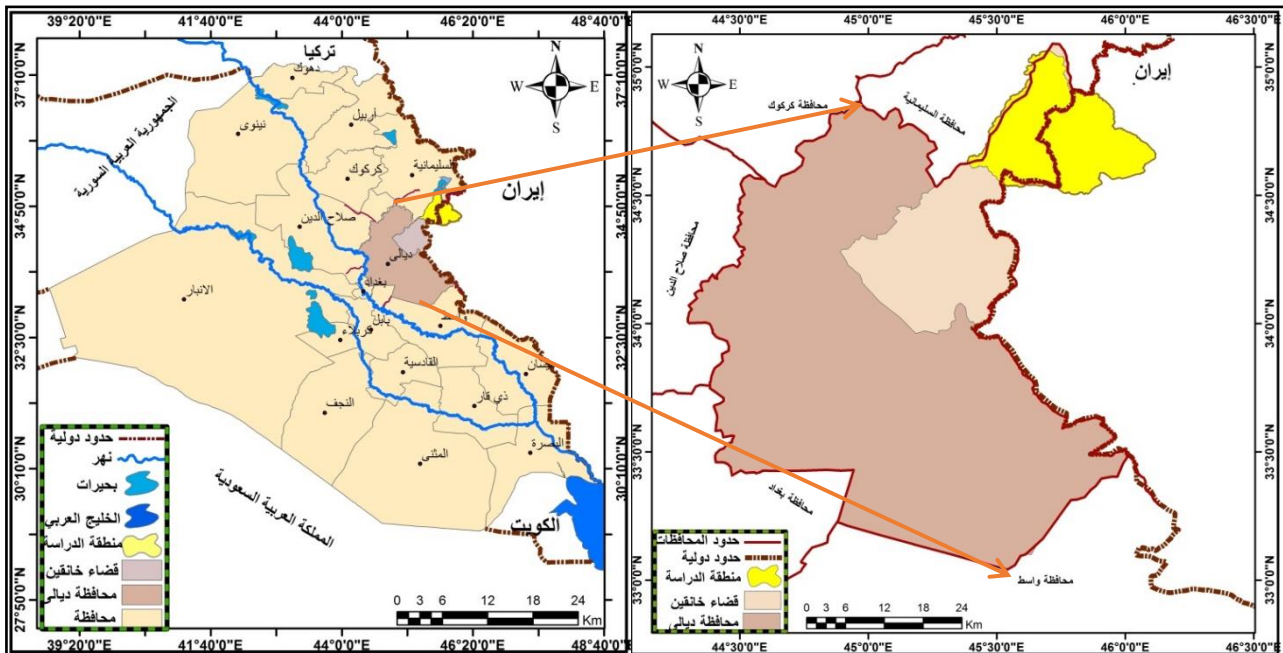
- لم تحظى منطقة الدراسة بالكثير من الدراسات التطبيقية التي تهتم بتقييم المخاطر الجيومورفية التي تحدث في المنطقة ، لذا من المهم دراستها كونها وحدة طبيعية متكاملة لإستنباط المعلومات وتحليلها وتوثيقها وبناء قاعدة معلومات مفصلة لها وإجراء عملية نمذجة لتحديد الاراضي المعرضة للمخاطر الجيومورفية المحتملة الحدوث ومستوى التدهور البيئي في المنطقة ، وذلك لتساعد أصحاب القرار في إنشاء مشاريع تنموية في المنطقة مستقبلاً.

- معاناة المنطقة بسبب حدوث الهزات الأرضية بصورة متكررة لأنها تعد من المناطق النشطة تكتونياً الامر الذي يساهم بزيادة حدوث الانزلاقات والسقوط الصخري ضمن المنطقة بشكل واضح ومن دون أخذها بالحسبان من أي جهة أو تطبيق دراسة عليها.

سادساً:- موقع منطقة الدراسة وحدودها:

تقع منطقة الدراسة جغرافياً في الجزء الشمالي الشرقي من العراق ضمن الاقليم المتموج، أي شمال شرق قضاء خانقين في محافظة ديالى وشمال غرب محافظة كرمينشاه الايرانية، إذ يحدها من جهة الشمال قضاء دربندخان التابع لمحافظة السليمانية، ومن الشرق محافظة كرمينشاه الايرانية ومن الجنوب مركز ناحية خانقين ، ومن الغرب نهر ديالى الذي يفصلها عن قضائي كلار ودر بندخان التابعين لمحافظة السليمانية ، أما فلكياً تتحصر المنطقة بين خطي طول (١١ ٤٦° - ١٠ ٤٥°) شرقاً دائرتي عرض (١٠ ٣٤° - ١٢ ١٢°) شمالاً، في حين تتمثل الحدود الزمانية بالمدة التي تتراوح بين (٢٠٠٨-٢٠١٨) م ، أما مساحة المنطقة الدراسة فتقدر بـ (٢١٦٣ كم^٢) ، خريطة (١).

خريطة (١) موقع منطقة الداسة



المصدر: من عمل الباحثة اعتمادا على الخريطة الإدارية للعراق مقياس 1:100000، بغداد، لعام 2011 والـ (DEM) باستخدام برنامج Arc GIS(arc Map10.4).

سابعا :- منهجية الدراسة The study methodology:

أعتمدت الدراسة على عدة مناهج وذلك لتحقيق الهدف من الدراسة ولغرض التحقق من الفرضيات بصورة واقعية والخروج بأفضل النتائج وأدقها، فقد أعتمد منهج الموضوعي الذي يقوم على تصنيف الغطاء الارضي وأستعمالات الارض من خلال إستعمال تقنيات الاستشعار عن بعد ونظم المعلومات الجغرافية ، فضلاً عن إعتماد المنهج الوصفي للتعرف على الخصائص الطبيعية للمنطقة من خلال التركيز على أشكال التنوع الطبوغرافي وأشكال المنحدرات السائدة في المنطقة.

وكما أعتمد المنهج التحليلي (Analytical Method) في هذه الدراسة وذلك من خلال استخدام الاسوب الكمي (الاحصائي والرياضي) الذي يعتمد على جمع البيانات الرقمية والوصفية وجدولتها وتحليلها وتفسيرها وتنظيمها باستخدام الطرائق والتقنيات العلمية الحديثة من خلال الإفادة من أنموذج الارتفاع الرقمي (DEM) والمرئيات الفضائية وإعتمادها في التحليل المورفومتري لشبكات الصرف المائي وتحليل الخصائص الهيدرولوجية بأستخدام نماذج رياضية تعطي نتائج كافية ودقيقة عن تقدير الجريان السطحي في المنطقة مثل أنموذج سنايدر وطريقة الـ (SCS-CN).

ثامنا- مصادر ومجتمع الدراسة :

• مرحلة العمل المكتبي:

يتم في مرحلة جمع البيانات والمعلومات مراجعة المصادر العربية والاجنبية الخاصة بالجانب النظري للدراسة بشكل عام من كتب ورسائل وأطاريح ومجلات ومنشورات وتقارير ذات صلة بموضوع الدراسة، فضلاً عن مراجعة الدوائر الرسمية للحصول على البيانات المطلوبة ، وكذلك جمع الخرائط الطبوغرافية والجيولوجية والادارية والمرئيات الفضائية للمنطقة وهي:

-الخرائط:

- ١- الخريطة الطبوغرافية مقياس (١ : ١٠٠٠٠٠)، لوحة قوره تو، ١-٣٨، 1-38 j/nw، الهيئة العامة للمساحة-بغداد لعام ١٩٨٥م.
- ٢- الخريطة الطبوغرافية مقياس (١ : ١٠٠٠٠٠)، لمنطقة الدراسة، الهيئة العامة للمساحة- بغداد لعام ٢٠١٨م.
- ٣- الخريطة الجيولوجية مقياس (١ : ٢٥٠٠٠٠)، لوحة خانقين، geological map of khanaqin quadrangle, sheet NI-38-1 الشركة العامة للمسح الجيولوجي - بغداد لعام ٢٠١٤م.
- ٤- خريطة العراق البنوية بمقياس (١ : ١٠٠٠٠٠٠) الشركة العامة للمسح الجيولوجي - بغداد لعام ١٩٩٦م و ٢٠١٥م.
- ٥- خريطة إيران الجيولوجية مقياس (١ : ٢٥٠٠٠٠٠٠) الصادرة عن شركة نفط إيران ،لعام ١٩٦٧.
- ٦- خريطة العراق الادارية بمقياس (١ : ١٠٠٠٠٠٠)، الهيئة العامة للمساحة ، بغداد ، ٢٠١١.

- المراتبات الفضائية:

- ١- إستخدام أنموذج الارتفاعات الرقمية (DEM) المحمول على القمر الراداري SRTM وبدقة تمييز مكانية تبلغ ١٢.٥ m ملتقطه عام ٢٠١٨ م .
- ٢- المرئية فضائية للقمر الصناعي (Land sat8) والخاصة بالمتحسس LC وبدقة تمييز مكانية ٣٠ m ، بتاريخ ١٨/١/٢٠١٨ م
- ٣- المرئية فضائية للقمر الصناعي (Land sat8) والخاصة بالمتحسس LC وبدقة تمييز مكانية ٣٠ m ، بتاريخ ١٩/٤/٢٠١٨ م.
- ٤- المرئية فضائية للقمر الصناعي (Land sat8) والخاصة بالمتحسس LC وبدقة تمييز مكانية ٣٠ m ، بتاريخ ١٣/٩/٢٠١٩ م.

- المواقع الالكترونية وشبكة الانترنت:

- ١- <http://chrsdata.eng>
- ٢- <https://vortex.plymouth.edu>
- ٣- <https://globalweather.tamu.edu>
- ٤- https://soilgrids.org/#!/layer=ORCDRC_M_sl4_250m&vector
- ٥- <http://www.meteoseism.gov.iq/index.php?name=Pages&op=page&pid>

- البرامج والتقنيات المستخدمة:

- ١- برنامج الـ (Arc Gis arc map 10.4).
- ٢- برنامج الـ (Arc Gis arc scene 10.4).
- ٣- برنامج الـ (PC Geometeca).
- ٤- برنامج الـ (Glopal Mapper 11).
- ٥- برنامج الـ (Rock Work).

• مرحلة العمل الميداني:

تعد الدراسة الميدانية المصدر الرئيسي للبيانات والمعلومات عن المنطقة ومحاولة التحقق من المعلومات التي أعتمدت في المرحلة الأولى ، وقد شملت (٤) زيارات إستطلاعية للمنطقة وكانت كالآتي:

- ١- الزيارة الأولى بتاريخ ١٣ - ١٥ / ١٢ / ٢٠١٨
- ٢- الزيارة الثانية بتاريخ ٢ - ٥ / ٥ / ٢٠١٩ .
- ٣- الزيارة الثالثة بتاريخ ١٢ - ١٤ / ٩ / ٢٠١٩
- ٤- الزيارة الرابعة بتاريخ ٢٠ - ٢٤ / ٢ / ٢٠٢٠ .

وقد تم خلال هذه الجولات الميدانية زيارة الدوائر والمؤسسات الحكومية من أجل الحصول على البيانات ، و القيام ببعض القياسات وذلك باستخدام شريط القياس المتري لقياس أبعاد بعض الظواهر الجيومورفية في المنطقة فضلاً عن استخدام جهاز البوصلة لقياس اتجاه انحدارات الطبقات الصخرية ، وكذلك القيام بأجراء مسح لأنواع حركة المواد التي تحدث على سفوح المنحدرات ، وكما تم التقاط الصور الفوتوغرافية لتوثيق الظواهر الجيومورفية في المنطقة باستخدام كاميرا ديجيتال من نوع : (Sony cyber- shot dsct 700, japan ، فضلاً عن استخدام أـ G.P.S من نوع -RINO 110 GARMIN لتحديد الموقع الفلكي للمظاهر الجيومورفية السائدة في المنطقة وتحديد مواقع عينات التربة التي أخذت من المنطقة لغرض تحليلها ومعرفة خصائصها الكيميائية والفيزيائية، زد على ذلك المقابلات الشخصية مع بعض كبار السن من سكان المنطقة للحصول على المعلومات اللازمة لإتمام هذه الدراسة.

تاسعا - الدراسات السابقة:

• دراسة جعفر حسين محمود، اطروحة دكتوراه (٢٠٠٤)^(١): قام الباحث بتقييم المخاطر البيئية في حوض نهر الكور-رافد نهر خاصة صو- باستخدام التقنيات الجغرافية، إذ تناول عدة مواضيع منها دراسة العمليات الجيومورفية ومدى تأثيرها على حركة مواد سطح الارض من سقوط وانزلاق صخري وإنفراط كتلي وحبيبي، فضلاً عن دراسته للوحدات الجيومورفية الهدمية والبنائية ، وكما قام بتصميم وتفسير خريطة المخاطر البيئية حيث توصل في دراسته الى مسببات التدهور البيئي هي العوامل الطبيعية والبشرية ، إذ ظهر هذا التدهور بدرجات متباينة ، واكد الباحث في دراسته على استخدام معطيات الاستشعار عن بعد للكشف عن التدهور البيئي وتطوره وابعاده، فضلاً عن الدقة في وتقليل الوقت والجهد .

• دراسة يعرب محمد اللهبي إطرحة دكتوراه(٢٠٠٨)^(٢): تناول فيها دراسة العمليات الجيومورفية والخصائص المورفومترية لحوض نهر نارين وهو احد روافد نهر ديالى إذ توصل الى بناء أنموذج للمخاطر الجيومورفية التي من الممكن ان تحدث في الحوض، وكذلك قام ببناء أنموذج لاستعمالات الارض الزراعية وذلك باستخدام تقنيات الاستشعار عن بعد ونظم المعلومات الجغرافية .

• نصر شامل الحسن ، رسالة ماجستير(٢٠٠٨)^(٣): تناول في دراسة العواصف المطرية وأثرها في شوارع بغداد خلال السنوات(١٩٦٩ - ٢٠٠٦)م، حيث وجد أن مدينة بغداد تتعرض الى عواصف

١) جعفر حسين محمود، تقييم المخاطر البيئية في حوض نهر الكور-رافد نهر خاصة صو-العظيم باستخدام التقنيات الجغرافية، أطروحة دكتوراه غير منشورة ، كلية التربية للعلوم الانسانية ، جامعة تكريت، ٢٠٠٤.

٢) دراسة يعرب محمد اللهبي ، النمذجة المكانية للعمليات الجيومورفولوجية لحوض نهر نارين باستخدام الاستشعار عن بعد ونظم المعلومات الجغرافية، اطروحة دكتوراه غير منشورة ، كلية التربية -ابن رشد ، جامعة بغداد، ٢٠٠٨م.

٣) نصر شامل الحسن ، العواصف المطرية وأثرها في شوارع بغداد خلال السنوات(١٩٦٩ - ٢٠٠٦)م دراسة في جغرافية المناخ، رسالة ماجستير غير منشورة ، كلية التربية -ابن رشد ، جامعة بغداد، ٢٠٠٨م.

مطرية يومية خلال الموسم المطري ، إذ تختلف كمية التساقط ما بين عاصفة مطرية واخرى ، مما ينعكس ذلك سلباً على شوارع وقابلية استيعاب شبكة مجاريها ، ويعتمد ذلك اساساً على كمية الامطار الساقطة ضمن العاصفة المطرية ، حيث لوحظ ان شوارع مدينة بغداد تعاني من العواصف بسبب كمية المطر الهائل في وحدة الزمن، وكما صنف الباحث الامطار اليومية كميّاً الى ثلاثة نماذج وفق الدراسة الميدانية ، وحدد الباحث كمية المطر في العاصفة المطرية الغزيرة على اساس مدى خطورتها على شبكة مجاري بغداد الى (١٠ ملم فأكثر) ، اما الأنموذج الثاني وهي العاصفة المطرية المتوسطة فقد حددها ما بين (٥-٩ ملم) ، اما الأنموذج الثالث وهو العاصفة المطرية القليلة فحدد كمية المطر فيها ما بين (١-٤ ملم) . من خلال تحليل الخرائط السطحية والعليا لوحظ ان العاصفة المطرية الغزيرة يرافقها في اكثر حالاتها منخفض عميق واحياناً في العاصفة المطرية المتوسطة ، اما العاصفة المطرية القليلة فأكثر حالاتها تكون المنخفضات المصاحبة لها هي منخفضات ضحلة.

• **دراسة هيفاء محمد النفيعي ، رسالة ماجستير (٢٠١٠)^(١) :** تضمنت تقدير الجريان السطحي ومخاطره السيلية في الحوض الاعلى لوادي عرنة باستخدام تقنيات الاستشعار عن بعد ونظم المعلومات الجغرافية من خلال تطبيق أنموذج الارقام المنحنية للجريان السطحي بناءً على وحدة الخلية مروراً بالأحواض الفرعية فالحوض الرئيسي ككل ، وتمكنت من تصميم مخطط تنبؤي للجريان السطحي بدلالة القيم المنحنية المستخلصة للحوض وقيم محتملة للعواصف المطرية، ويمكن الاستفادة من ذلك المخطط التنبؤي في معرفة عمق الجريان السطحي في اي ناحية من نواحي الحوض وفي ضوء ذلك يمكن الكشف عن المخاطر السيلية التي من الممكن ان تحدث في الحوض.

• **فائق حسن محييد فرحان الجبوري، رسالة ماجستير(٢٠١٥)^(٢) :** تناول دراسة النمذجة الهيدرولوجية لحوض لك باستخدام امتداد AGWA2 وتم تحديد مواضع الخطورة في الحوض والحد من أثارها البيئية في المنطقة من ضمن اهداف هذه الدراسة، وتوصلت الى ان هناك أحواض في اعالي الحوض تكون ذات فاعلية كبيرة وخطرة وذلك لوقوعها ضمن منطقة الحركات التكتونية العالية ، فضلاً عن وقوعها في منطقة التقاء الأودية الخانقية ، مما جعلها ذات حساسية عالية جداً لعمليات ألحت النهري.

(١) هيفاء محمد النفيعي ، تقدير الجريان السطحي ومخاطره السيلية في الحوض الاعلى لوادي عرنة بشرق مكة بوسائل تقنيات الاستشعار عن بعد ونظم المعلومات الجغرافية، رسالة ماجستير غير منشورة ، كلية العلوم الاجتماعية ، جامعي ام القرى، ٢٠١٠.

(٢) فائق حسن محييد فرحان الجبوري، النمذجة الهيدرولوجية لحوض لك باستخدام امتداد AGWA2، رسالة ماجستير غير منشورة ، كلية التربية للعلوم الانسانية ، جامعة تكريت، ٢٠١٥.

- دراسة زينب إبراهيم حسين العطوانى ، أطروحة دكتوراه (٢٠١٥)^(١): ركزت في دراستها على على تحديد المناطق التي تشهد مخاطر السيول والزلازل وحركة مواد سطح الارض واثرها على المحافظة.
- إطروحة خليل محمد براخاص للدكتوراه (2015)^(٢)، فقد عنيت بدراسة الاشكال الارضية لوادي نهر سيروان (ديالى) بين دربندخان وكلار.
- دراسة انتصار مزهر عويد ، رسالة ماجستير (٢٠١٦)^(٣): تضمنت الدراسة نمذجة المخاطر الجيومورفية في حوض بارياوله الذي يقع ضمن قضاء كلار ومعرفة القابلية والملائمة البيئية لاستعمالات الارض البشرية.
- دراسة حسين كاظم عبد الحسين، إطروحة دكتوراه (٢٠١٧)^(٤): تضمنت دراسة المخاطر الجيومورفية في منطقة بنجوين- وذلك بأستخدام التقنيات الحديثة الاستشعار عن بعد ونظم المعلومات الجغرافية GIS وبناء أنموذج للمخاطر الجيومورفية (المورفوديناميكية والسيول).
- دراسة نادية حاتم طعمة العتابي، أطروحة دكتوراه (٢٠١٨)^(٥): تهدف الى دراسة الخصائص المناخية وأثرها في المخاطر الجيومورفية شرقي محافظة ميسان ،حيث تبين أن هناك ثلاثة أنواع من المخاطر الجيومورفية ، إذ تم تحديد مخاطر السيول بالاعتماد على معادلة بيركلي وتصنيفها الى ثلاثة مستويات من الخطورة وكذلك حددت مخاطر التعرية الاخدودية بالاعتماد على معادلة (Bergsma) ، كما تم التطرق الى دراسة النماذج المناخية الحرارية والمطرية المتطرفة وذلك بأستعمال الطرق الاحصائية (الانحراف المعياري، المسافة المعيارية، ونسبة التذبذب) ومحاولة الربط بين تلك النماذج باستعمال (المصفوفة ، الارتباط ، التحليل العنقودي) واطهرت النتائج أن أعلى تكرار كان للمناخ الحار الرطب .

- دراسة بلسم شاكر شنيشل ، بحث منشور ، ٢٠١٩م^(٦): ركزت على دراسة النمذجة المورفومناخية بفعل الشدات المطرية وأثرها في التدهور البيئي بأستخدام RS-GIS / جبل سنجار حالة دراسية، إذ

(١) زينب إبراهيم حسين العطوانى، التباين المكاني للظواهر الجيومورفولوجية الخطرة في محافظة أربيل، أطروحة دكتوراه غير منشورة، كلية التربية للعلوم الانسانية، الجامعة المستنصرية، ٢٠١٥.

(٢) خليل محمد براخاص ، الاشكال الارضية لوادي نهر سيروان (ديالى) بين دربندخان وكلار دراسة في الجيومورفولوجيا التطبيقية ، اطروحة دكتوراه غير منشورة، كلية الاداب، جامعة بغداد، 2015.

(٣) انتصار مزهر عويد، النمذجة المكانية لحوض وادي باريوله في قضاء كلار بأستخدام تقنية الاستشعار عن بعد ونظم المعلومات الجغرافية GIS ، رسالة ماجستير غير منشورة ، كلية التربية للعلوم الانسانية، جامعة ديالى، ٢٠١٦.

(٤) حسين كاظم عبد الحسين، تحليل مخاطر جيومورفولوجية في منطقة بنجوين ، أطروحة دكتوراه غير منشورة، كلية التربية ، الجامعة المستنصرية، ٢٠١٧.

(٥) نادية حاتم طعمة العتابي، الخصائص المناخية وأثرها في المخاطر الجيومورفولوجية شرقي محافظة ميسان، أطروحة دكتوراه غير منشورة، كلية التربية ، الجامعة المستنصرية، ٢٠١٧.

(٦) بلسم شاكر شنيشل، النمذجة المورفومناخية بفعل الشدات المطرية وأثرها في التدهور البيئي بأستخدام RS-GIS / جبل سنجار حالة دراسية، مجلة آداب الفراهيدي، مجلد (١١)، العدد (٠٣)، ٢٠١٩.

توصلت الى أن هناك علاقة وثيقة بين تكرار المنضومات الضغطية الرطبة وطول مدة بقائها فوق المنطقة مع تكرار الشدات المطرية و غزارة مياهها وأستمراريته.

عاشراً- هيكلية الدراسة:

إقتضت الضرورة العلمية أن تشتمل الأطروحة على أربعة فصول فضلاً عن الاطار النظري والاستنتاجات والتوصيات ، وتمثلت بالاتي:

- **الاطار النظري:** اشتمل على (المقدمة ، مشكلة الدراسة، فرضيات الدراسة، اهداف الدراسة، أهمية ومبررات إختيار موضوع الدراسة ، وموقع منطقة الدراسة وحدودها، منهجية الدراسة، والدراسات السابقة وهيكلية الدراسة.

- **الفصل الاول:** تضمن مبحثين تناول المبحث الاول دراسة الخصائص الطبيعية المتمثلة بجيولوجية وطوبغرافية المنطقة وكذلك دراسة أصناف الترب وخصائصها الفيزيائية والكيميائية ، فضلاً عن التطرق الى الموارد المائية السطحية وكثافة الغطاء النباتي وأنواعه، أما المبحث الثاني فقد تطرق الى الخصائص المناخية للمنطقة و التباين المكاني والزمني لكميات الامطار فضلاً حساب الشدة المطرية للسنة الاغزر مطراً ، وكذلك أستخراج كمية الامطار التي تسقط على كل حوض من أحواض المنطقة.

- **الفصل الثاني:** ف وقد تضمن مبحثين ، تناول المبحث الاول تحليل المخاطر الجيومورفية وفيه إذ تم التطرق الى العمليات المورفوتكتونية والزلازل التي تحدث في المنطقة خلال السنوات الاخيرة فضلاً عن العمليات المورفوديناميكية التي تنشط في المنطقة، أما المبحث الثاني فقد تم فيه تناول تحليل المخاطر الهيدرولوجية ودراسة العمليات المورفومناخية التي تحدث في المنطقة المتمثلة بأنواع التعرية المائية التي تسود في المنطقة وتقييم المخاطر الناجمة عنها.

- **الفصل الثالث:** تناول تقدير الجريان السطحي لأحواض التصريف المائي في المنطقة بإستخدام طريقتي سنايدر وال (CSC).

- **الفصل الرابع:** أشتمل على مبحثين الاول تضمن دراسة المخاطر الجيومورفية التي ممكن ان تحدث في المنطقة وتحديد المناطق الأكثر خطورة فيها، إذ يتم تصميم نماذج للتنبوء بالمخاطر المورفومناخية والمورفوتكتونية والمورفوديناميكية والمخاطر الجيومورفية ، فضلاً عن دراسة السيول وتصميم إنموذج للمخاطر الناجمة عنها، أما المبحث الثاني فقد تضمن دراسة أثر المخاطر الجيومورفية ومخاطر السيول على الانشطة البشرية ضمن المنطقة وتحديد القابلية والملائمة البيئية لاستعمالات الارض .

فضلاً عن الاستنتاجات والتوصيات.

الفصل الأول

الخصائص الطبيعية والمناخية لمنطقة الدراسة

تمهيد:

يتناول هذا الفصل مبحثين الاول تم فيه دراسة الملامح العامة لمنطقة الدراسة والمتمثلة بنظام البنية الجيولوجية والتوزيع المكاني للمنكشفات الصخرية فيها فضلاً عن طوبغرافية المنطقة ، أما المبحث الثاني فتناول الخصائص المناخية التي تمثلت بتحليل العناصر المناخية والتباين المكاني والزمني للأمطار وكما تم دراسة الشدات المطرية الساقطة ضمن المنطقة:

المبحث الاول:

١-١. الخصائص الطبيعية للمنطقة:

١-١-١. جيولوجية منطقة الدراسة Geology of the study area:

١-١-١-١. تكتونية المنطقة وتركيبها Tectonic and structure area:

تقع منطقة الدراسة ضمن الرصيف غير المستقر (Unstable shelf) للسطح العربي النوبي (Nubio-Arabian Platform)، وذلك حسب التقسيمات التكتونية للعراق (Buday & Jassim)، المتمثلة بنطاق الطيات العالية (High folded zone) في جزئها الشمالي وتحديداً ضمن حزام السليمانية- زاخو وكذلك ضمن نطاق اقدام الجبال (الطيات الواطئة) (Foot hill Zone) وتحديداً في حزام جمجمال – أربيل ، إذ يضم هذا الحزام اغلب أجزاء المنطقة ، أما الجزء الجنوبي من المنطقة فيقع ضمن حزام حميرين كما في الخريطة (٢)، أي تقع المنطقة ضمن هوامش الدرع العربي والصفحة الفارسية^(١)، المتأثر بعمليات الطي التي سببتها الحركة الابلية الحديثة (Alpine Orogenic Movement)، إذ أدت قوى الضغط إلى أنطواء المنطقة بشكل طيات محدبة بسبب تأثير حدوث الحركات الابلية المتأخرة وبذلك تمتاز الوضعية البنائية للمنطقة بوجود مجموعة من التراكيب البنيوية المحدبة ذات الارتفاعات المتباينة والتي تتصف بشدة انحدار اجنحتها الجنوبية والجنوبية الغربية مقارنة بأجنحتها الشمالية والشمالية الشرقية، والتي تحصر فيما بينها تراكيب مقعرة ذات امتدادات وانحدارات متفاوتة تبعاً لشدة الحركات الارضية واتجاهاتها^(٢)، وبلغ عدد الطيات المقعرة Syncline (٥) طيات، تنتشر في جميع أجزاء المنطقة وتكون باطوال متباينة، وتنشأ بتطور أغلب وديان المنطقة بحيث أصبح المقطع العرضي لها على شكل حرف V مما يؤثر في تصريف كميات الامطار الساقطة خلال الشدة المطرية وزيادة سرعة جريانها وبالتالي حدوث

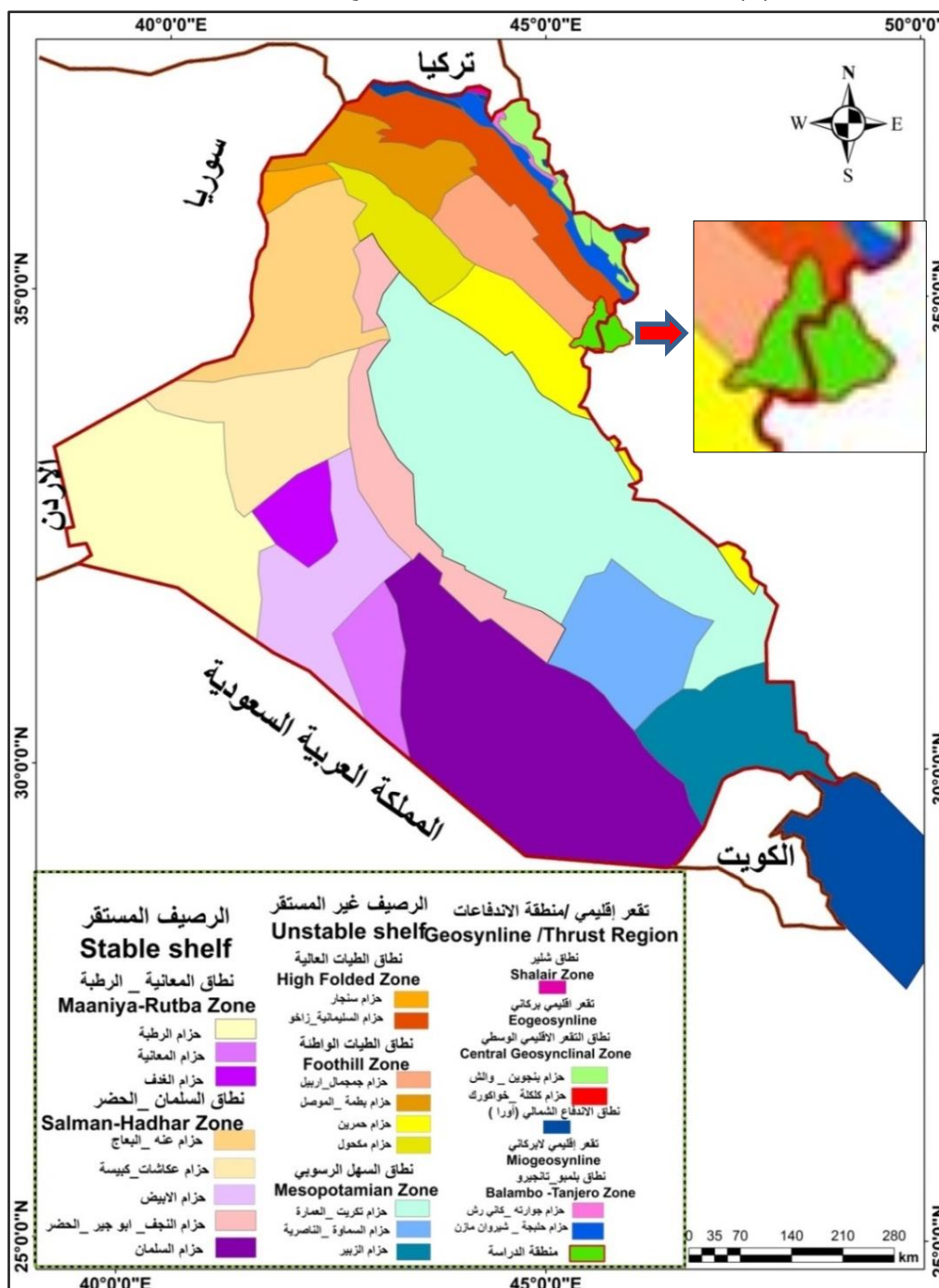
١) Buday T, and Jassim, S.Z., The Regional geology of Iraq, Vol.1, Stratigraphy and Peleo Geography, Baghdad , P.19 , 1987.

٢) نوري محسن حمزة ، خارطة العراق الجيومورفولوجية (الكراس التوضيحي)، وزارة الصناعة والمعادن المنشأة العامة للمسح الجيولوجي والتعدين، مسلسل الخرائط الجيولوجية للعراق ، مقياس ١:١٠٠٠٠٠٠، لوحة رقم ٣، ط١، ١٩٩٧، ص٣.

الفصل الاول

مخاطر السيول والفيضانات وانجراف أو زحف التربة واحتمالية حدوث انزلاق الصخور والانهيال والهبوط الارضي فضلاً عن سيادة تكوينات جيولوجية شكلت الخصائص الصخرية للمنطقة، وتتمثل الطيات **المحْدبة Anticline** بـ:

الخريطة (٢) التقسيمات التكتونية للعراق وموقع منطقة الدراسة



المصدر من عمل الباحثة بالاعتماد على: Jassim A .M.AL-Kadhimi. et al , Tectonic map of Iraq, scale 1:1000000, Ministry of Industry and Minerals ,State Establishment of Geology Survy and mining ,Baghdad, Iraq, 1996.

الفصل الاول الخصائص الطبيعية والمناخية لمنطقة الدراسة

- **طية بامو المحدبة :** وتتمثل بالتحذب الذي يظهر في الاجزاء الشمالية الشرقية والذي يقع ضمن الحدود العراقية – الايرانية، إذ يتكون من تتابع الصخور الرسوبية فتكون بوضع مقلوب (مدار) جزئياً، وتمتد من الجنوب الشرقي باتجاه الشمال الغربي^(١)، ويبلغ طولها (٧.٢ كم) فقط ضمن المنطقة ، يلاحظ الصورة (١).
- **طية شالوردار المحدبة:** تظهر على هيئة تحذب غير متناظر ويكون امتدادها شمال غرب – جنوب شرق ضمن لب تكوينات الاوليكوسين الاسفل- الاعلى (بجوان وعنه) ، إذ يبلغ طوها ضمن المنطقة (٧.١ كم).
- **ت. طية جياسورك المحدبة:** تقع في الجزء الجنوبي الغربي من المنطقة وهي عبارة عن تحذب غير متناظر يمتد من الجنوب الشرقي باتجاه الشمال الغربي إذ يعد من اكبر التراكيب المحدبة الموجودة ضمن المنطقة و يبلغ طولها (١٦.٧ كم)، يتكشف تكوين انجانة والمقدادية في لب التحذب ويقطع نهر ديالى محوره، كما يوجد هنالك صدع عكسي يقطع الجهة الجنوبية منه.
- **طية علي ميرالمحدبة:** وهي طية قليلة الانحدار تمتد من الجنوب الشرقي باتجاه الشمال الغربي، تغطي صخور تكوين إنجانة الاجزاء الوسطى منها، تمتد لمسافة (٧.٤ كم)^(٢).

صورة (١) طية بامو في شمال شرق المنطقة ضمن الحدود العراقية-الايرانية



أما بالنسبة للصدوع أو الفوالق **Faults** يوجد في منطقة الدراسة أنواع عديدة من الفوالق منها الفوالق الاندفاعية Thrust Fault والتي تظهر في الجزء الجنوبي الغربي من المنطقة ويبلغ عددها (٤) فوالق، والفوالق الاعتيادية Normel Fault إذ بلغ عددها (٦) فالق، التي تمتد باطوال محدودة ضمن الجزء الشمالي والجنوبي للمنطقة، والفوالق العكسية Reverse Fault والتي تكون باعداد واطوال واتجاهات مختلفة، إذ تقع ضمن الاراضي العراقية

(١) حاتم خضير صالح الجبوري ، دراسة هيدروجيولوجية وهيدروكيميائية لمنطة لوحة خانقين (NI-38-7)، الشركة العامة للمسح الجيولوجي والتعدين ، بغداد، ٢٠٠٦، ص ١٣.

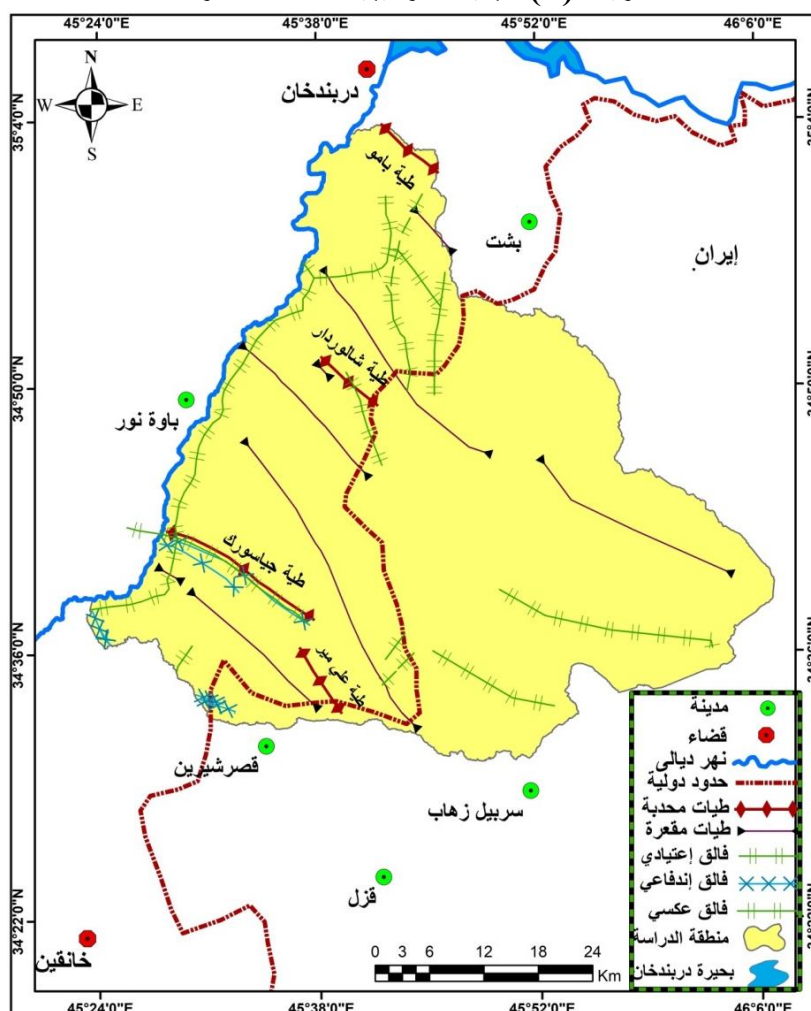
2-Anwar. M. Barwary and Frozan. S. said, The Gology of khanaqin Quadrangle, Sheet NT-38, Scale 1:250000, State Establishment of Geological survey and minng , geosurve directorate of geological survey, 1992, p9.

الفصل الاول الخصائص الطبيعية والمناخية لمنطقة الدراسة

(٧) فوالق وأهمها فالق نهر (ديالى) والذي يمتد بطول (٥٧.٦ كم) ضمن منطقة الدراسة، ويكون إمتداده من الشمال الشرقي باتجاه الجنوب الغربي أي مع إتجاه نهر ديالى، اما ضمن الاراضي الايرانية فبلغ عدد الفوالق العكسية (٢) فالق، خريطة (٣).

إن انتشار الصدوع أو الفوالق يعمل على ظهور خلل في توازن الطبقات الارضية ولاسيما إذ كانت الصخور متجانسة التركيب ، بينما التوتر الجانبي يؤدي الى نتيجة مغايرة من خلال زحزحة الطبقات الصخرية والى تشوهها وتغيير مظهرها، الامر الذي يؤدي الى حصول تحرك فجائي محدثاً زلزالاً في المنطقة ، حيث تمتاز المناطق التي تظهر فيها أعداد كبيرة من الصدوع بنشاطها الزلزالي المستمر وتكون مركزاً رئيسياً لنشأة الزلازل^(١).

خريطة (٣) البنية التركيبية لمنطقة الدراسة



المصدر: من عمل الباحثة بالاعتماد على:

- خريطة خاتقين الجيولوجية بمقياس 1:250000 الصادرة عن الهيئة العامة للمسح الجيولوجي والتعديني لعام 2014.

- Geological Map of Iran ,scale 1:25000000, completed by Geological Staff of The Iran oil company ,1967.

(١) حسن محمد حميدة ، الجيولوجيا التطبيقية للهندسة المدنية، دار القماطي للطباعة والنشر، بيروت ، ١٩٨٩م، ص٢٤٢.

الفصل الاول الخصائص الطبيعية والمناخية لمنطقة الدراسة

أما الفواصل فتكون على شكل شقوق ذات إزاحة مسطحة محدودة جداً تصل الى عدة سنتمترات أو عدة أمتار وقد شوهدت بمنطقة الدراسة بكثرة وخاصة في الاجزاء الشمالية والشمالية الشرقية في الصخور التي تعود لتكوين البلاسبي كما في الصورة (٢)، أما الشقوق فتظهر من خلال إنقسام المعادن والصخور باتجاهات متوازية وتحويل الاسطح الصخرية الى رفائق صخرية منفصلة بعضها عن بعض^(١) فقد ظهرت في الطبقات الجبسية ضمن تكوين الفتحة ، ويدل تواجدها بكثافة في المنطقة على مدى تأثير المنطقة بعملتي الضغط والشد التي تعرضت لها الصخور نتيجة الحركات التكتونية بالإضافة الى التباينات المناخية التي تحدث في المنطقة ، فقد تعمل الفواصل والشقوق على إضعاف الطبقات الصخرية وتقلل من تماسكها وبالتالي زيادة نشاط عمليات التجوية والتعرية وتحرك مواد سطح الارض مما ينتج عن حدوث مخاطر الانزلاقات وانجراف التربة وخاصة أثناء حدوث عاصفة مطرية أو حدوث هزة أرضية مفاجئة .

صورة (٢) الفواصل في صخور منحدرات رافد سرتكضمن حوض عباسان



التقطت بتاريخ ٢٠٢٠/٢/٢١

(١) حسن رمضان سلامة ، مظاهر الضعف الصخري وأثارها الجيومورفولوجية ، مجلة الجمعية الجغرافية الكويتية، العدد ٥٣، ١٩٨٣، ص ١٢.

١-١-٢. التكوينات الجيولوجية :

تعد دراسة التكوينات الجيولوجية من الناحية الصخرية ذات أهمية كبيرة في معرفة وتحديد مدى فاعلية العمليات الجيومورفية وخاصة تلك التي يرتبط حدوثها بتكرار الشدات المطرية (العواصف المطرية) وبالتالي إمكانية تقييم المخاطر الجيومورفية التي من المحتمل أن تتعرض لها المنطقة.

ضمت المنطقة منكشفات صخرية تعود الى حقبة الحياة الوسطى واخرى الى الحقبة الحديثة المتمثلة بالزمن الثلاثي والرابعي، كما في الخريطة (٤) والجدول (١)، إذ تتكشف هذه التكوينات ضمن المنطقة بمساحات ونسب متباينة، ينظر الجدول (٢)، وفيما يلي وصف لهذه التكوينات الصخرية وحسب العمر من الاقدم الى الاحدث:

١-٢-١-١-١. تكوينات حقبة الحياة الوسطى mesozoic وتشمل:

• تكوين تانجيرو Tanjero Formation :

يتألف الجزء الاعلى من هذا التكوين من الغرين والمارل والمدملكات والحجر الجيري الذي يكون فتاتي عضوي رملي مع ألسنة من الحجر الجيري الشعابي في جزئه الاعلى ، أما في جزئه الاسفل فيتكون من المارل وبعض من الحجر الجيري الغريني، إذ إن الفتات غير الجيري قد يحوي على صوان وفتات من صخور نارية ومتحولة خضراء اللون، يكون سمك هذا التكوين متباين من موقع لآخر الا إنه قد يصل الى (١٥٠٠-٢٠٠٠)م وإن بنيته ترسيبية قارية مضطربة، يعود هذا التكوين الى العصر الكريتاسي الاعلى Upper Cretaceous^(١)، ويتكشف على طول نطاق شريطي في الجزء الشرقي من المنطقة الذي يقع ضمن الاراضي الايرانية، وقد بلغت مساحته (٢٦١.٦) كم^٢ وتشكل نسبة (١٢.٣%) من مساحة المنطقة الكلية.

١-٢-١-١-٢. تكوينات الزمن الثلاثي Tertiary Deposits وتشمل:

• تكوين جركس Gercus Formation :

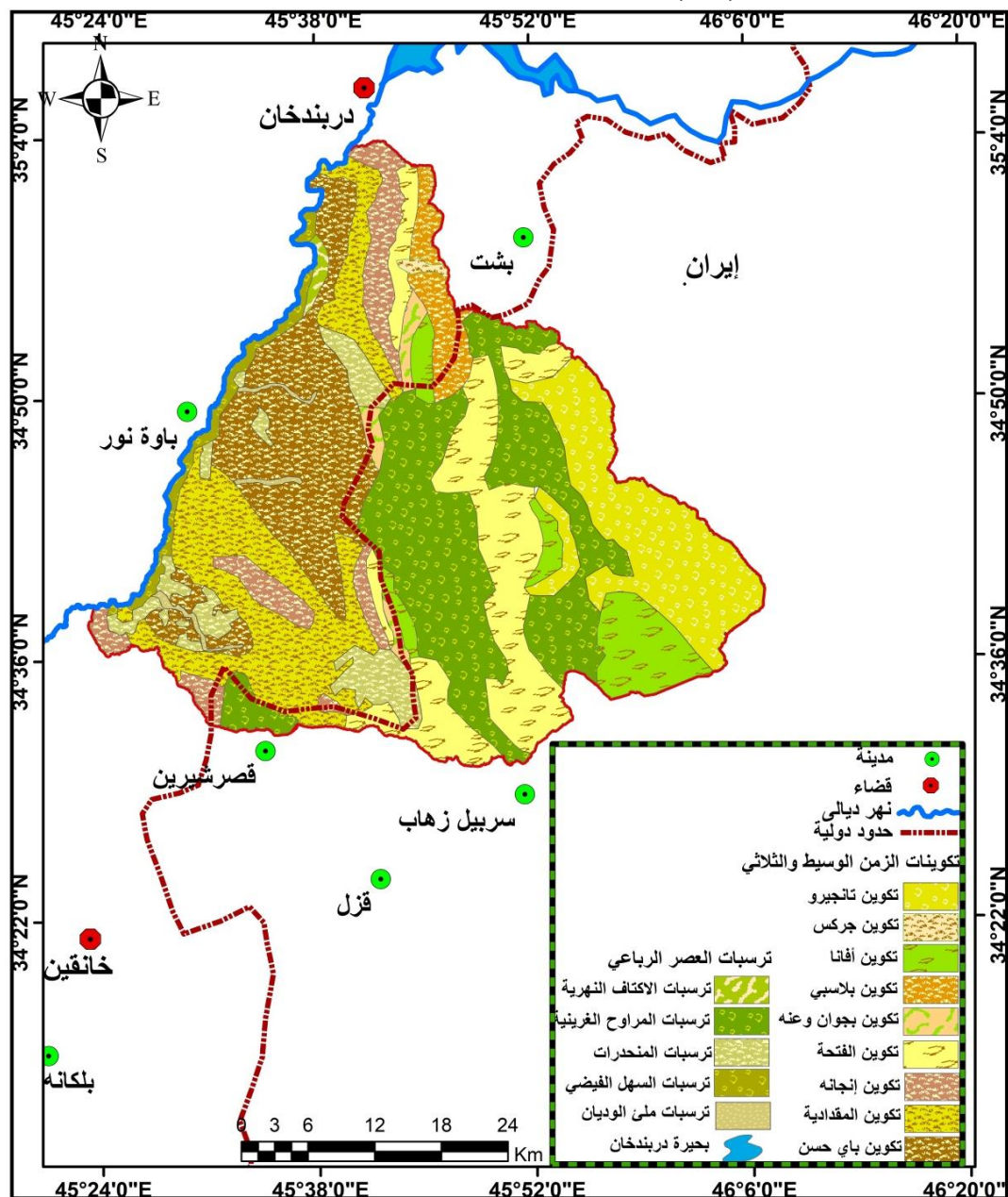
يرجع تأريخ هذا التكوين الى عصر الايوسين الاسفل – الاوسط ويتألف من الحجر الطيني الذي يتمثل بالصخور الحمراء والارجوانية والمدملكات إضافة الى صلصال رملي حبيبي مع او بدون وجود حصى بالإضافة الى وجود عدسات من الجبس، حيث تكون في بنية ترسيبية نهريّة^(٢)، إذ غطى مساحة بلغت (٥.٢) كم^٢ من الجزء الشمالي الشرقي للمنطقة ويشكل نسبة (٠.٢٥%).

1) Anwar. M. Barwary. and Frozan. S. said, , op.cit, p9.

2) Anwar. M. Barwary. and Frozan. S. said, op.cit,p10.

الفصل الاول الخصائص الطبيعية والمناخية لمنطقة الدراسة

خريطة (٤) التكوينات الجيولوجية ضمن منطقة دراسة



المصدر: من عمل الباحثة بالاعتماد على:

- خريطة خاتقين الجيولوجية بمقياس 1:25000 الصادرة عن وزارة الصناعة والمعادن، الهيئة العامة للمسح الجيولوجي والتحري المعدني لعام 2014.
- Geological Map of Iran scale 1:25000000, completed by Geological Staff of The Iran oil company, 1967.
- برنامج (Arc Map 10.4) . Arc Gis

جدول (١) التتابع الطباقى للتكوينات الجيولوجية ومساحاتها ونسبها المئوية ضمن المنطقة

الزمن	العصر	التكوين الجيولوجي	المكونات	السلك/م	المساحة كم ^٢	النسبة المئوية %
الزمن الرابع	هولوسين بلايوسين	ترسبات ملء الوديان	خليط من الحصى والرمل والغرين والطين	-	١١.٩	٠.٧

الفصل الاول الخصائص الطبيعية والمناخية لمنطقة الدراسة

٢.٤	٤٨.٥	-	خليط من الحصى والرمل والغرين والطين	ترسبات السهل الفيضي		
٥	١٠٨.١	(١- عدة أمتار)	ترب رملية وغرينية وطينية واحيائاً جبسية	ترسبات المنحدرات		
١٧	٣٦٦	-	الحصى والرمل والغرين والطين	ترسبات المراوح الغرينية		
٠.٤٤	٩.٢	-	الحصى	ترسبات المدرجات النهرية		
١٥.٧	٣٣٥.١	(١٩٠٠-٣٠٠)	طبقات من المدملكات وطبقات من الحجر الطيني - الحجر الرملي	باي حسن	البلايوسين المايوسين	الزمن الثلاثي
١٦	٣٧٩.٧	(١٢٠٠-٣٠٠)	صخور رملية، صخور صلصالية، حصى	المقدادية		
٥.٧	١٢٢.٤	(١٢٠٠-٧٠٠)	حجر رملي، حجر طيني، حجر غريني، جبس	انجانه		
١٣.٨	٢٩٥.٤	(٦٥٠)	حجر الكلس وحجر الجبس والحجر الطيني والحجر الرملي	الفتحة		
١.٦	٣٠	(٤٠)	طبقات كتلية صلبة من الحجر الجيري	بجوان و عنه	الالجيوسين	
٣.٥	٦٩.٨	(١٥٠)	حجر الكلس المتبلور والطباشيري مع المارل الطباشيري وحجر الكلس الصلب	بيلاسيبي	الباليوسين والايوسين	
٥.٦	١٢٠.١	-	حجر الكلس الدولومايتي	أفانا		
٠.٢٥	٥.٢	(١١٠)	الصلصال وحجر الطين والمارل الرملي مع وجود الحصى والحجر الرملي الحصى والمدملكات وعدسات من الجبس	جركس		
١٢.٣	٢٦١.٦	(١٥٠٠-٢٠٠٠م)	الغرين والمارل والمدملكات والحجر الجيري الرملي والحجر الجيري الغريني	تائجيرو	الكريتاسي الأعلى	الزمن الثاني

المصدر: من عمل الباحثة بالاعتماد على خريطة خاتقين الجيولوجية بمقياس 1:25000 الصادرة عن الهيئة العامة للمسح الجيولوجي والتحري المعدني لعام 2014.

Geological Map of Iran scale 1:25000000, compiled by Geological Staff of The Iran oil company, 1967 - باستخدام

برنامج (Arc Map 10.4) Arc Gis.

• تكوين افانا Avana Formation :

يتألف هذا التكوين من حجر الكلس الدولومايتي المتبلور ويعود الى عصر الايوسين الاوسط - الاعلى، إذ يتكشف في الجزء الشرقي ضمن الاراضي الايرانية بالإضافة الى الأجزاء الوسطى من المنطقة أي تغطي سلاسل المرتفعات الجبلية عند الحدود العراقية الايرانية، وتكون بيئة ترسيبها بحرية^(١)، بلغت مساحة هذا التكوين (١٢٠.١) كم^٢ أي بنسبة (٥.٦%) من إجمالي مساحة المنطقة.

(١) حاتم خضير صالح الجبوري ونصير حسين محمد البصراوي، دراسة هيدروجيولوجية وهيدروكيمياوية ، لوحة خاتقين (N1-38-7) ، الشركة العامة للمسح الجيولوجي ، بغداد ، ٢٠١٤ ، ص ١١ .

الفصل الاول الخصائص الطبيعية والمناخية لمنطقة الدراسة

• تكوين بيلاسبي Pilaspi Formation :

يعود تأريخ تكوينه الى عصر الايوسين الاوسط - الاعلى ويتألف من جزئين الجزء الاعلى يتكون من حجر جيرى متبلور طباشيري ذو محتوى قيري مع رقائق من الصلصال الطباشيري الابيض أما الجزء الاسفل فيه يتكون من حجر الكلس الصلب ، بيئته ترسيبية بحرية - لاونية، سمكه يتراوح بين (١٠٠-٢٠٠)م^(١)، إذ يغطي جزء من سلسلة مرتفعات بامو ومرتفعات زماكو في الجزء الشمالي الشرقي من المنطقة، صورة(٣)، يشغل مساحة(٦٩.٨)كم^٢ ونسبة (٣.٥%) من مساحة المنطقة الكلية .

صورة (٣) تكوين البيلاسبي في شمال المنطقة ضمن الطبقات لأودية لصخرية حوض أوبر



التقطت بتاريخ ٢٠١٩-٥-٣.

• تكوين بجوان وعنه Bajawan& Anah Formations :

يرجع تأريخ هذا التكوين الى عصر الاوليكوسين الاسفل - الاعلى يتألف من حجر جيرى قليل المسامية، حيث يتداخل الحجر الجيري المسامي الدولماتي مع بعض الصلصال، سمكه يكون بحدود(٤٠)م، يتكشف في السلاسل الجبلية الحدودية بين العراق وإيران مثل سلسلة جبال بامو وخوشك وكويله، إذ يغطي مساحة بلغت(٣٠)كم^٢ أي بنسبة(١.٦%) من إجمالي مساحة المنطقة.

• تكوين الفتحة Fatha Formation:

(١) عبد الله السياب وآخرون، جيولوجيا العراق، المكتبة الوطنية، بغداد، ١٩٨٢، ص ١٢٤.

الفصل الاول الخصائص الطبيعية والمناخية لمنطقة الدراسة

يعود العمر الجيولوجي لهذا التكوين الى عصر المايوسين الاوسط ، تتألف مكاشف الجزء السفلي لهذا التكوين من دورات متعاقبة قليلة السمك من الدولومايت والحجر الرملي بلون أخضر فاتح يحتوي على الجبس وبلورات خضراء وحمراء ، أما الجزء الاعلى فيتكون من سبع دورات وتحتوي على طبقة سميكة افقيه من بلورات حمراء وخضراء او من طبقات خفيفة من بلورات رصاصية متحجرة^(١)، يمتد هذا التكوين على شكل نطاق شريطي ضيق من الجزء الشمالي الشرقي ضمن الاراضي العراقية باتجاه الجزء الجنوبي والجنوبي الشرقي ضمن الاراضي الايرانية ، يبلغ سمك التكوين بحدود (٦٥٠)م أما البيئة الترسيبية له فهي بيئة بحرية ضحلة، تبلغ مساحة هذا التكوين (٢٩٥.٤ كم^٢ أي بنسبة (١٣.٨%) من إجمالي مساحة المنطقة، صورة(٤).

صورة (٤) تكوين الفتحة في قرية سه روة الجزء الشمالي الشرقي من المنطقة



ألتقطت بتاريخ ٢١/٥/٢٠٢٠.

• تكوين انجانة Injana Formation :

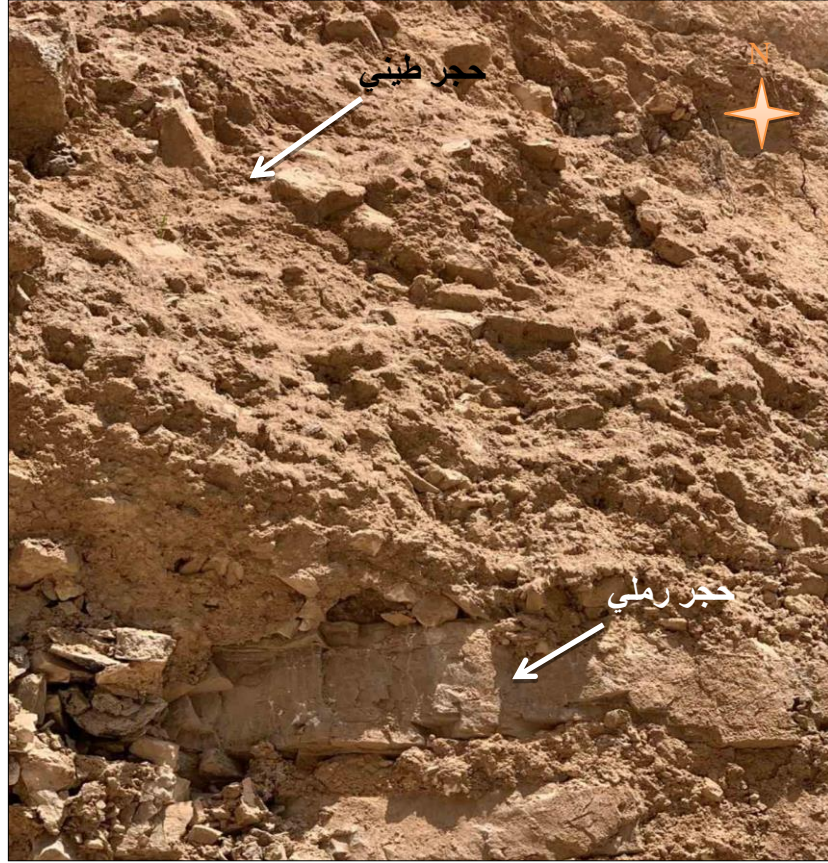
يتألف هذا التكوين من تتابع الحجر الرملي والحجر الطيني الاحمر والبنّي بالإضافة الى الحجر الغريني، إذ تتوافق طبقات الجزء الأسفل من هذا التكوين مع تكوين الفتحة الذي يقع اسفله أما السطح العلوي فلا تتوافق طبقاته مع طبقات تكوين المقدادية الواقع الى الاعلى منه، وإن البيئة الترسيبية له هي مياه نهريّة عذبة، ويعود تأريخ هذا التكوين الى عصر المايوسين الاعلى ويتراوح سمك التكوين ما بين (٧٠٠ - ١٢٠٠)م، إذ يظهر على شكل اشربة

1) Anwar. M. Barwary. and Frozan. S. said, op.cit,p11.

الفصل الاول الخصائص الطبيعية والمناخية لمنطقة الدراسة

ضيقة في شمال وجنوب غرب المنطقة ، الصورة (٥) ، وتبلغ مساحته (١٢٢.٤ كم^٢) أي بنسبة (٥.٧%) من مساحة المنطقة الكلية.

صورة (٥) تكوين إنجانة ضمن منكشفات أودية حوض كونكل



التقطت بتاريخ ٢٠٢٠/٢/٢٢.

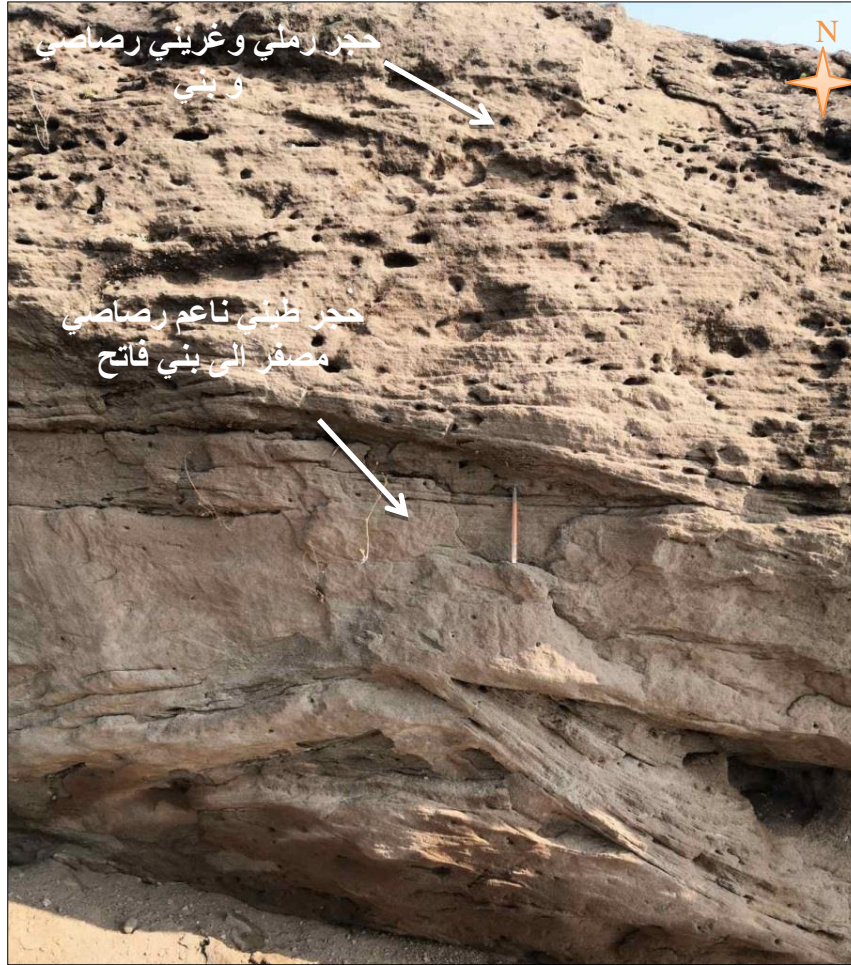
• تكوين المقدادية Mukdadiyah Formation :

يعود عمر هذا التكوين الى المايوسين المتأخر والبلايوسين، إذ يتكشف في أغلب الاجزاء الجنوبية والجنوبية الغربية وكذلك يظهر عل شكل شريط ضيق في شمال المنطقة، ويغطي مساحة تبلغ (٣٧٩.٧) كم^٢ أي بنسبة (١٦%) من المساحة الكلية للمنطقة، ويتألف من تتابع الحجر الرملي مع الحجر الغريني الرصاصي والبني والحجر الطيني ذي اللون الرصاصي المصفر الى البني الفاتح، ترتبط صخور هذا التكوين بمادة جيرية أو طينية أو أسمنتية لائحة سهلة الازالة بفعل عوامل التعرية والتي تتصف بمسامية أقل من الطين وبنفاذية أكبر منه، كما في صورة)

الفصل الاول الخصائص الطبيعية والمناخية لمنطقة الدراسة

(٦)، إذ ترسب هذا التكوين في بيئة قارية نهريّة وتمتاز صخوره بالنفاذية العالية حيث يتراوح سمكه بين (٣٠٠-١٢٠٠) م^(١).

صورة (٦) تكوين المقدادية قرب قرية علي مير ضمن ناحية قورة تو



التقطت بتاريخ ٢٠٢٠-٢-٢٢

• تكوين باي حسن Bai Hassan Formation:

يعود عمر هذا التكوين الى عصر البلايوسين ويتألف من تعاقب المدملكات والحجر الطيني البني والحجر الرملي مع قليل من الحجر الغريني، تكون المدملكات فيه مختلفة الاشكال والالوان إذ تتكون من السليكات والكربونات والصخور النارية والمتحولة وتتراوح احجامها ما بين (١-٣) سم، ترسب هذا التكوين في بيئة نهريّة – قارية يكون ذو صخور مسامية نفاذة ، يتراوح سمكه ما بين (٣٠٠-١٩٠٠) م^(٢)، يغطي مساحة كبيرة من الاجزاء الوسطى والغربية

١ (حاتم خضير صالح الجبوري ونصير حسين محمد البصراوي، دراسة هيدروجيولوجية وهيدروكيمياوية ، مصدر سابق، ٢٠١٤ ، ص١٦.

2) Hala A.Al- Musawi ,Geology and Structure of Wadi Shalghah Area East Erbil north Iraq, Iraqi Bulletin of geology and mining, stat company of geological,survey and mining, vol.4,no.1,2007,p51.

الفصل الاول الخصائص الطبيعية والمناخية لمنطقة الدراسة

للمنطقة ضمن الاراضي العراقية وقد شغل مساحة بلغت (٣٣٥.١) كم^٢ أي بنسبة (١٥.٧ %) من إجمالي مساحة المنطقة، صورة (٧).

صورة (٧) تكوين باي حسن ضمن منكشفات أودية حوض أوبر



التقطت بتاريخ ٢٠٢٠/٢/٢١

١-١-٢-٣. ترسبات الزمن الرباعي (Quaternary Deposits):

• ترسبات المدرجات النهرية River terraces :

تعود هذه الترسيبات الى عصر البلايوسين وتظهر على شكل شريط ساحلي ضيق على ضفاف نهر ديالى وخاصة في شمال المنطقة، إذ تغطي مساحة بلغت (٩.٢) كم^٢ أي بنسبة (٠.٤٤ %) من إجمالي مساحة المنطقة، وتتألف هذه

الفصل الاول الخصائص الطبيعية والمناخية لمنطقة الدراسة

الترسبات من الحصى مختلف الاشكال والالوان وتكون المادة الرابطة بينها اما رملية أو غرينية وطينية ونادراً ماتكون جبسية.

• ترسبات المراوح الغرينية Alluvial Fans deposits:

تظهر هذه الترسبات على نطاق واسع من الاجزاء الوسطى في المنطقة وبالتحديد عند اقدام السلاسل الجبلية ضمن الاراضي الايرانية، والتي بلغت مساحتها (٣٦٦) كم^٢ ونسبة (١٧%) من إجمالي المساحة، إذ يعود تاريخ تكونها الى عصر البلايستوسين و الهولوسين، وتتألف هذه الترسبات بصورة رئيسية من الحصى بالإضافة إلى الرمل والغرين والطين^(١).

• ترسبات المنحدرات Slope deposits :

تظهر هذه الترسبات على شكل أشربة ضيقة متناثرة تحيط بمنحدرات التحدبات التركيبية وخاصة (تحدب شالورداد وجياسروك، وعلي أمير) ضمن المنطقة، إذ تغطي مساحة بلغت (١٠٨.١) كم^٢ ونسبة (٥%) من المساحة الكلية للمنطقة، يعود تأريخ تكونها الى عصر البلايستوسين والهولوسين، تتكون هذه الترسبات من ترب رملية وغرينية وطينية وفي بعض الاحيان تكون جبسية وسمك هذه الترسبات يكون متغاير يتراوح من اقل متر الى بضعة امتار^(٢).

• ترسبات السهل الفيضي Flood Plain deposits:

تنحصر هذه الترسبات على شكل شريط ساحلي ضيق على جانب نهر ديالى الايسر ضمن المنطقة، وبمساحة بلغت (٤٨.٥) كم^٢ إذ شكلت نسبة (٢.٤%) من إجمالي مساحة المنطقة ، تتكون ترسباته من الحصى والرمل والغرين والطين، يرجع تأريخ تكونها الى عصر الهولوسين^(٣).

• ترسبات ملء الوديان Valleyfill deposits :

يكون مصدر هذه الترسبات هي المواد المتعرية والمنقولة من المناطق المرتفعة أي من المنابع العليا للاودية اثناء سقوط الامطار والمرتسبة في قيعانها، وتتكون بصورة عامة من خليط من الحصى متباين الاحجام بالاضافة الى الرمل والغرين والطين وتكون هذه الترسبات متغايرة السمك ، إذ تغطي قيعان الاودية بمساحة بلغت (١١.٩) كم^٢

(١) حاتم خضير صالح الجبوري، دراسة هيدروجيولوجية وهيدروكيمياوية، مصدر سابق، ص ٦.
(٢) خليل محمد براخاص، الاشكال الارضية لوادي نهر سيروان (ديالى) بين دربندخان وكار دراسة في الجيومورفولوجيا التطبيقية، كلية الاداب، جامعة بغداد، ٢٠١٥، ص ٢٣.
(٣) نخشان محمد رستم خان البالاني، جيومورفولوجية منطقة كلال، رسالة ماجستير غير منشورة، كلية العلوم الانسانية، جامعة سليمانية، ٢٠١٥، ص ١٥.

الفصل الاول الخصائص الطبيعية والمناخية لمنطقة الدراسة

وبنسبة (٠.٧ %) من إجمالي مساحة المنطقة، وتعد هي الاحداث ضمن ترسبات الزمن الرباعي إذ يعود تاريخ تكونها الى عصر الهولوسين^(١).

١-١-٢. الطبوغرافية Topography:

يؤدي تنوع الخصائص التضاريسية لسطح الارض دوراً مهماً في تباين توزيع الهطول المطري على أجزاء المنطقة ، حيث يتصف نطاق الجبال العالية بغزارة أمطاره وسقوطها على هيئة عواصف مطرية أي سقوط كميات كبيرة من الأمطار خلال مدة زمنية قصيرة، مما يؤدي الى ارتفاع مستوى الجريان السطحي في أودية أحواض المنطقة ، وبالتالي إمكانية تحديد الأجزاء التي يمكن أن تتعرض لمخاطر السيول والمخاطر الجيومورفية في منطقة الدراسة، وللتعرف على الخصائص العامة لسطح المنطقة فقد تم الاعتماد على التحليل الرقمي لخصائص سطح الارض Digital surface analysis، مثل تحليل خصائص الارتفاع وظل المرتفعات، فضلاً عن تناول خصائص الانحدار Slope وأتجاهاتها Aspect.

١-١-٢. خصائص الارتفاع:

تعد المنطقة جزءاً من منطقة الجبال العالية والمنطقة المتموجة وقد تأثرت بالحركات الأرضية الالبية التي حدثت في الزمن الجيولوجي الثالث فنتجت عنها التواءات محدبة تتصف بكثرة قممها ووعورتها وبشدة انحدارات سفوحها إذ تحصر بينها التواءات مقعرة وأودية^(٢).

تتصف المنطقة بتباين إرتفاعاتها إذ تصل إلى (٢٤٠٠)م فوق مستوى سطح البحر فتكون أكثر إرتفاعاً عند الأطراف الخارجية للمنطقة أي عند المنابع العليا لأحواض الاودية وتندرج بالانخفاض مروراً بالأجزاء الوسطى حتى تصل أقل إرتفاع والذي بلغ (٣٠٠)م فوق مستوى سطح البحر عند مصبات الاودية في نهر دىالى كما في الخريطة (٥) ، وقد قُسم الحوض الى اربعة انواع من الوحدات الارضية تختلف في مساحاتها والنسب التي تشغلها من مجمل مساحة الحوض، كما في الخريطة(٦) و الجدول(٢)، وهي:

١-٢-١-١. وحدة الجبال : وتمثلت بنطاقين من المرتفعات الجبلية وهي:

• نطاق الجبال المرتفعة:

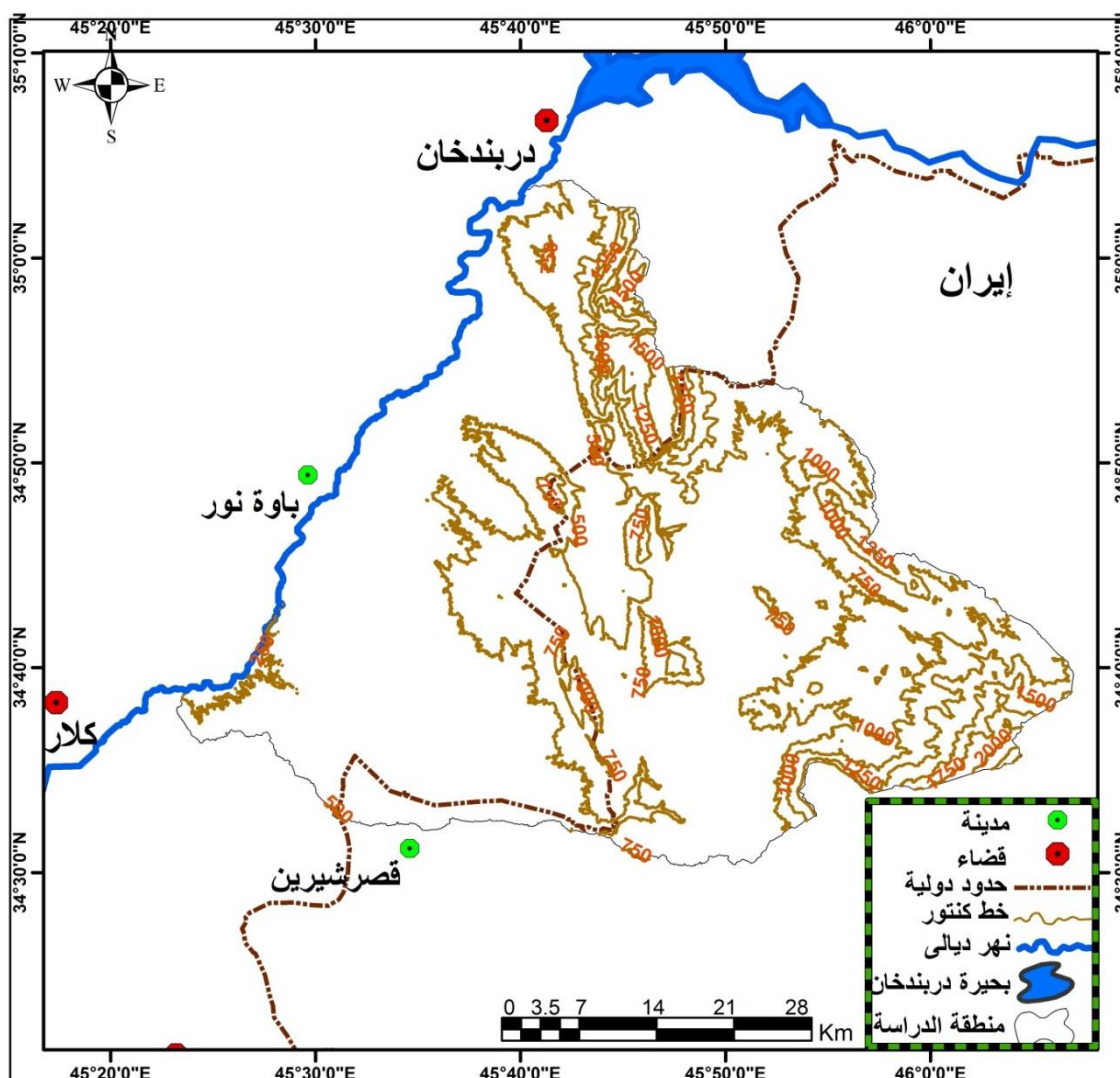
يقع على إرتفاع يتراوح ما بين (٢٤٠٠ - ١١٢١.١)م فوق مستوى سطح البحر، وتكون أقل مساحة بالمقارنة مع مساحات الوحدات الاخرى إذ بلغت (١٦٢.٤) كم^٢ وبنسبة (٧.٥٥ %) من إجمالي مساحة المنطقة ، ويكون اتجاه السلاسل الجبلية في هذا النطاق شمالي غربي- جنوبي شرقي، وتعد من أكثر المناطق إرتفاعاً في المنطقة التي

(١) حاتم خضير صالح الجبوري، دراسة هيدروجيولوجية وهيدروكيمياوية ، مصدر سابق، ص٧.
(٢) شاكر خصبك، جغرافية العراق الشمالي دراسة لنواحيه الطبيعية والبشرية، مطبعة شفيق، ١٩٧٣، ص ٢٢.

الفصل الاول الخصائص الطبيعية والمناخية لمنطقة الدراسة

تشمل الجزء الشرقي والشمالي الشرقي من المنطقة، من أهم هذه السلال هي (خوشك وبامو و كويله) التي تمتد على طول الحدود العراقية الايرانية في شمال المنطقة ضمن الاراضي العراقية، وسلسلة جبال (وارباله وكاوره وكوه وجناره وملاحقا وكليان ودالاهو وبندزرده وشاه نشين) التي تقع ضمن الاراضي الايرانية إذ تعتبر هذه الجبال منابع الوديان التي تغذي المنطقة بالمياه.

خريطة (٥) خطوط الارتفاعات المتساوية لمنطقة الدراسة



المصدر: من عمل الباحثة بالاعتماد على أنموذج الارتفاع الرقمي الـ (DEM) باستخدام برنامج الـ Arc Gis Arcmap(10.4).

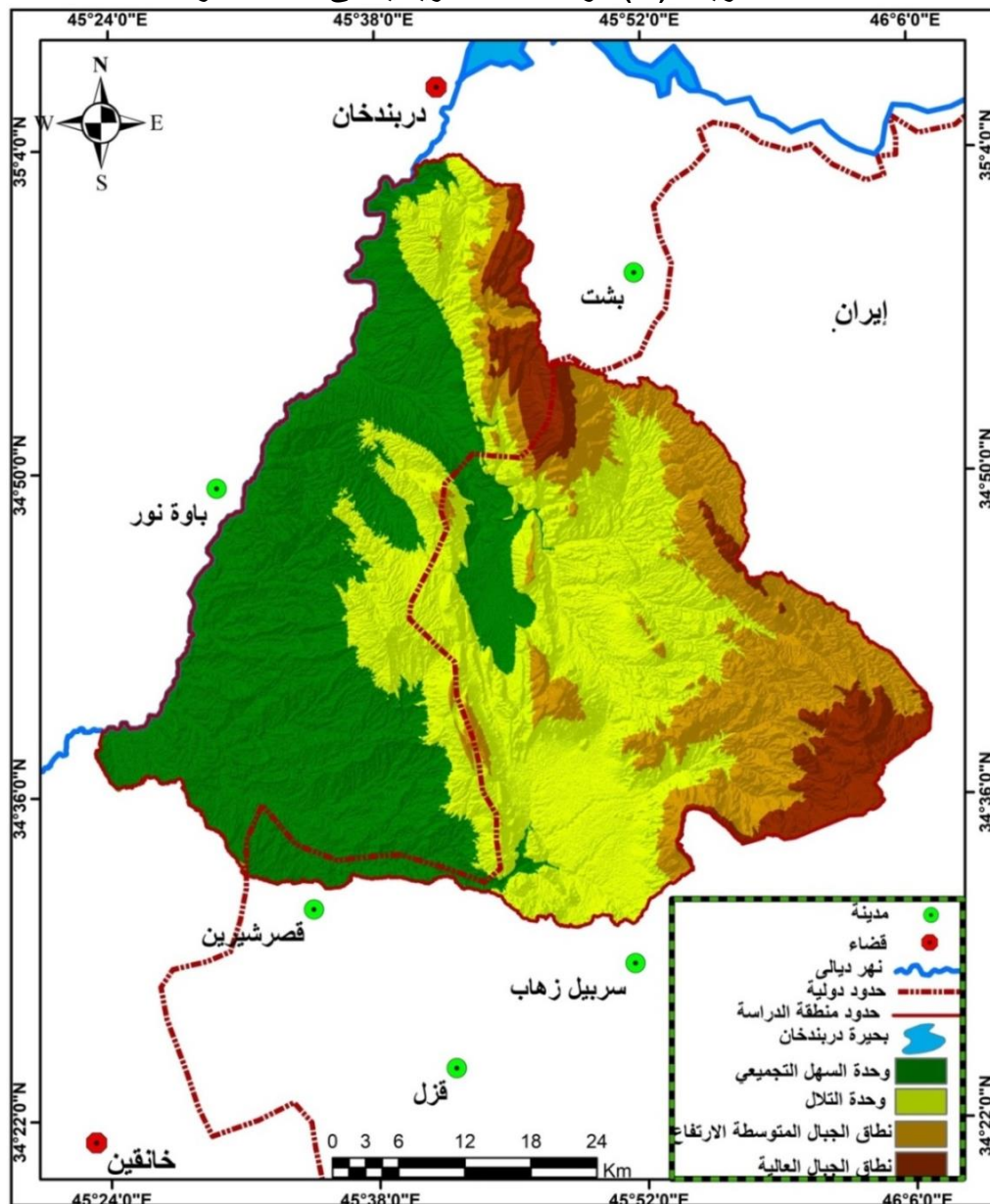
• نطاق الجبال المتوسطة الارتفاع:

يقع هذا النطاق على إرتفاع يتراوح ما بين (١١٢١ - ٧٧٤.١) م، وتتمثل بسلسلة جبال (داري ديوان وروزوار وشرالدار وبيزنيان و أنار ضمن الاراضي العراقية)، وسلسلة جبال (سليمانه وجبل تق تق وباغ وبيش رنكين

الفصل الاول الخصائص الطبيعية والمناخية لمنطقة الدراسة

ووجناره وكاوميشان وبنذرده وشاه نشين وتينه وبيشكان باوكاره وجبل قراويز وسيسر وكوده موش ضمن الاراضي الايرانية)، شكل (١)، و تشغل مساحة بلغت (٣٨٨.٥) كم ٢ أي بنسبة (١٨%) من المساحة الكلية للمنطقة.

خريطة (٦) الوحدات التضاريسية في منطقة الدراسة



المصدر : من عمل الباحثة بالاعتماد على الخريطة الطبوغرافية بمقياس 1:100000، الصادرة عن الهيئة العامة للمساحة، بغداد، لعام 2018م، وأنموذج الارتفاع الرقمي (DEM) باستخدام برنامج الـ Arc Gis (Arc map10.4).

جدول (٢) فئات الارتفاع في منطقة الدراسة

النسبة المئوية %	المساحة / كم ٢	فئات الارتفاع	الأقاليم
٧.٥	١٦٢.٤	١١٢١.١-٢٤٠٠	نطاق الجبال العالية
١٨	٣٨٨.٥	٧٧٤.١-١١٢١	نطاق الجبال المتوسطة الارتفاع
٣٦.٤	٧٨٧.٣	٤٧٩.١-٧٧٤	وحدة التلال

الفصل الاول الخصائص الطبيعية والمناخية لمنطقة الدراسة

٣٨.١	٨٢٤.٤	٣٠٠-٤٧٩	وحدة السهل التجميحي
١٠٠	٢.١٦٣		المجموع

المصدر: من الباحثة بالاعتماد على الخريطة (٦) .

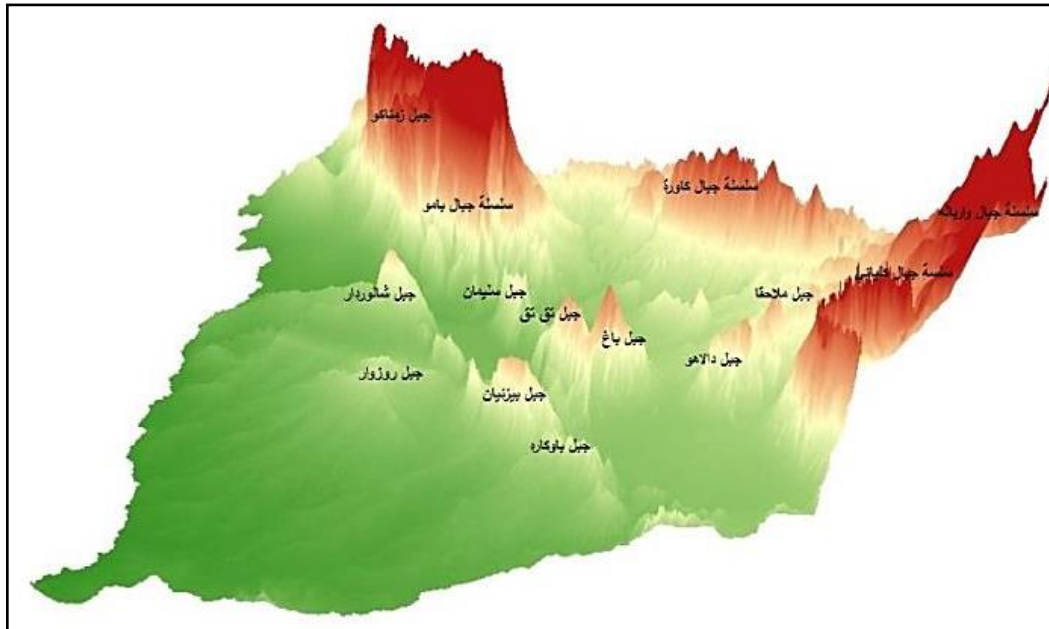
١-١-٢. وحدة التلال :

تنتشر في هذا الاقليم عدد من التلال التي تقع على ارتفاع (٧٧٤ - ٤٧٩.١)م وتشغل مساحة واسعة بلغت (٧٨٧.٣) كم^٢ بنسبة (٣٦.٤%) من إجمالي مساحة المنطقة، إذ تمتد من الشمال باتجاه الاجزاء الوسطى والجنوبية حيث تمر خلالها شبكة من الأودية النهرية الفصلية الجريان التي تتصف بالاتساع ، إذ تكون ذات حافات تنحدر بشده صوب مجاريها الرئيسية، وكذلك وجود بعض المجاري النهرية الدائمة مثل نهر عباسان.

١-١-٣. وحدة السهل التجميحي :

يتمثل هذا الاقليم بالاجزاء الغربية والجنوبية الغربية من المنطقة أي الاراضي القريبة من مصبات الاودية والانهار التي تتصف بأنها أقل تضرساً و بانحدار بسيط ، إذ تنحدر فيها مياه الوديان نحو مصباتها عند نهر دبالى وتغطيها رواسب الزمن الرباعي حيث التراكمت الواسعة النطاق من المادة الغرينية، وتنحصر بين إرتفاع(٣٠٠ - ٤٧٩)م فوق مستوى سطح البحر، إذ يشغل مساحة واسعة بلغت (٨٢٤.٤)كم^٢ ويشكل نسبة(٣٨.١%) من اجمالي مساحة المنطقة وقد أستغلت أراضيها بالزراعة وتتصف بأنها من أكثر أجزاء المنطقة التي ذات كثافة سكانية عالية ، وكما قد يكون هذا الاقليم الاكثر عرضة لمخاطر الفيضانات والسيول ولاسيما أثناء حدوث شدات مطرية إي عند تكرار زخات مطرية غزيرة خلال مدة قصيرة من الزمن وذلك لانه يعد أخفض جزء في المنطقة .

شكل (١) المجسم التضاريسي لمنطقة الدراسة



المصدر: من عمل الباحثة بالاعتماد أنموذج الارتفاع الرقمي الـ (DEM) باستخدام برنامج (ArcGis 10.4).

١-٢-١. خصائص ظل المرتفعات:

تفيد دراسة خصائص الظل في تحديد كمية الإشعاع الشمسي الذي يتلقاه أي جزء من سطح الارض مما يعكس طبيعة عمليات التجوية (الفيزيائية والكيميائية) في المنطقة وبالتالي معرفة أكثر الأجزاء التي تكون عرضة للتعرية المائية وخاصة أثناء تساقط الشدات المطرية التي يمكن أن يحدث بسببها تدهور بيئي في المنطقة ، وقد تكون عرضة لحدوث مخاطر السيول والمخاطر الجيومورفية، إذ أعتمد على أنموذج الارتفاع الرقمي (DEM) لقياس تركيز الظل في المنطقة وتحليلها عن طريق استخدام برنامج Arcmap(10.4)، من خلال أعتمااد الصيغة الخلوية حيث إن كل خلية تمثل جزءاً معيناً من المنطقة ولها قيمة تبين مدى تركيز الظل فيها، أذ أن قيم الخلايا التي تكون قريبة من (الصفر) تكون قليلة الظل .

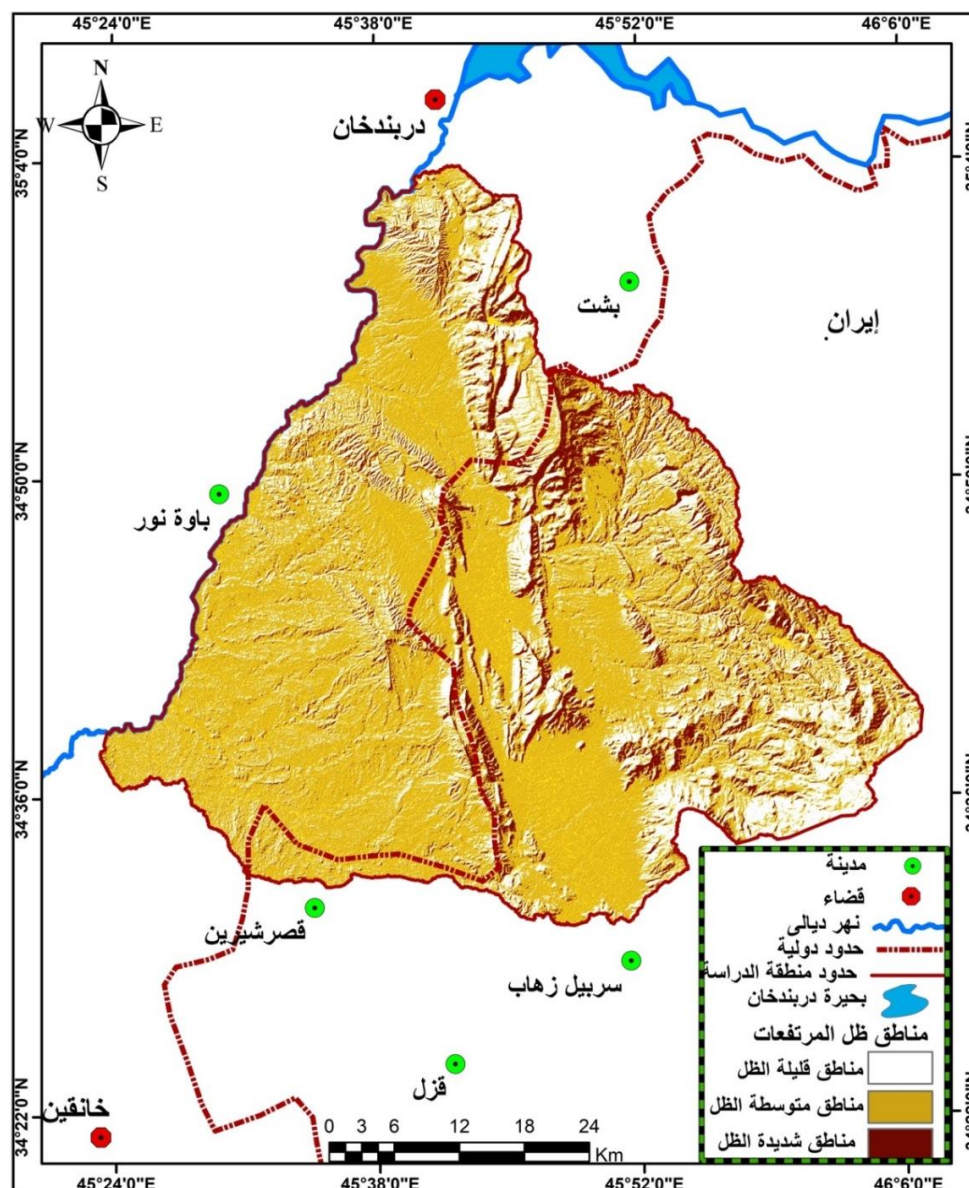
بعد عملية التحليل التي أجريت على الـ (DEM) إتضح إن هناك تبايناً في تركيز مساحات الظل في المنطقة، إذ تم تصنيفها الى ثلاث مناطق، كما موضحة في الخريطة (٧) والجدول (٣) وكما يأتي:

١-٢-١-١. أراضي قليلة الظل:

تضم الأجزاء المنبسطة في المنطقة والمتمثلة بالسهل التجمياعي ومناطق أقدام الجبال، إذ تتسلم أكبر كمية من اشعة الشمس لذلك تنشط فيها عملية التجوية الفيزيائية مما يساهم ذلك في زيادة نسبة حدوث المخاطر الجيومورفية وإنجراف التربة ضمن هذه الاراضي، وقد شغلت أكبر قيمة من مساحة المنطقة إذ بلغت (١٤٣٩.١) كم^٢ ونسبة (٦٦.٧%) .

الفصل الاول الخصائص الطبيعية والمناخية لمنطقة الدراسة

خريطة (٧) أصناف ظل المرتفعات ضمن منطقة الدراسة



المصدر: من عمل الباحثة بالاعتماد أنموذج الارتفاع الرقمي (DEM) باستخدام برنامج (Arc Map10.4). Arc Gis

الجدول (٣) أصناف ظل المرتفعات وعلاقتها بطوبغرافية المنطقة

النسبة المئوية %	فئات الارتفاع	أقاليم	النسبة المئوية %	المساحة/كم ^٢	أصناف مناطق ظل المرتفعات
٣٨.١	٣٠٠-٤٩٧	وحدة السهل التجميحي	٦٦.٧	١٤٣٩.١	مناطق قليلة الظل
٣٦.٤	٧٧٤-٤٧٩.١	وحدة التلال	٢٣.٣	٥٠٢.٧	مناطق متوسطة الظل
٧.٥	١٢٢١.١-٢٤٠٠	وحدة الجبال	١٠	٢٢٠.٨	مناطق شديدة الظل
			١٠٠	٢١٦٣	المجموع

المصدر: من عمل الباحثة بالاعتماد على الخريطة (٧).

الفصل الاول الخصائص الطبيعية والمناخية لمنطقة الدراسة

١-٢-٢. أراضى متوسطة الظل:

تمثلت بمناطق التلال التي تتسلم كمية اشعاع أقل من نسبة الاشعاع الذي تتسلمه المناطق السهلية، وقد شغلت مساحة بلغت (٥٠٢.٧) كم^٢ أي بنسبة (٢٣.٣%) من مجموع مساحة المنطقة.

١-٢-٣. أراضى شديدة الظل:

ضم هذا الصنف المساحة الاقل والتي بلغت (٢٢٠.٨) كم^٢ وبنسبة (١٠%) من إجمالي مساحة المنطقة ، وقد انتشرت في نطاق الجبال المرتفعة والمتوسطة الارتفاع والتي يزيد إرتفاعها عن ٧٧٤م عن مستوى سطح البحر، إذ يزداد المحتوى الرطوبي في هذه الاجزاء من المنطقة بسبب قلة تسلمها للاشعة الشمسية وبالتالي تنخفض درجات الحرارة مما يؤدي الى زيادة نشاط عملية التجوية الكيميائية وبالتالي تسهل حدوث عملية التعرية وحدوث المخاطر الجيومورفية.

إتضح مما سبق إن الظل في مساحات واسعة من أراضى المنطقة لا يكون ظلاً تاماً وهذا يعني ارتفاع في درجات الحرارة قياساً مع الاجزاء الاخرى ذات الظل الكثيف، مما يدل إلى تسارع عمليات التجوية الميكانيكية والتي من شأنها تسهل عملية إنجراف التربة وحدوث المخاطر الجيومورفية.

١-٣-١. تحليل درجات الانحدار : Slope degrees analysis

يتحكم إنحدار السطح في توجيه حركة العديد من العمليات الجيومورفية وخصوصاً التعرية المائية أي أنه يتحكم في الحركة الافقية للمياه الجارية والمواد السطحية مما يجعل الماء عاملاً ناقلاً بشكل أفضل ، كما إن له دور في حركة المياه داخل التربة عن طريق الارتشاح والتسرب ، أي أن شدة الانحدار يؤدي الى زيادة نشاط عمليات التعرية مما يعرض التربة لخطر الانجراف والزحف بالإضافة الى إنزلاق الصخور ، إذ أن كمية التعرية لكل وحدة مساحة تزداد بحوالي (٢.٥) مرة عند مضاعفة درجة الانحدار وبذلك يشكل الانحدار عاملاً مهماً في تحديد حجم ومعدلات الجريان^(١)، وللتعرف على انحدار سطح المنطقة سيتم دراسة كل من درجة الانحدار واتجاهه للتعرف على المخاطر الجيومورفية المحتمل حدوثها وتقييم الوضع البيئي في المنطقة.

وبحسب التصنيف الرقمي لـ (Zink) فقد قسمت المنطقة الى خمسة فئات تتباين في مساحتها والنسب المئوية التي تشغلها من مجموع مساحة المنطقة كما موضح في الخريطة (٨) والجدول (٤) وعلى النحو التالي:

(١) احمد محمد صالح العزي، التقييم الجيومورفولوجي والية التغيرات الهندسية لشكل حوضي طوز جاي ووادي شيخ محسن ، نهر العظيم ، اطروحة دكتوراه ، كلية التربية ابن رشد ، جامعة بغداد ، ٢٠٠٥، ص ٤١.

الفصل الاول الخصائص الطبيعية والمناخية لمنطقة الدراسة

١-٣-١.١. نطاق الأراضي المنبسطة:

تتسم أراضي هذه الفئة بأنها ذات إنحدار طفيف (Gentle)، إذ تشكل مساحة واسعة من أراضي المنطقة بلغت (٩٦٣.٣) كم^٢ ونسبة (٤٤.٥%)، وقد ضمت الأراضي السهلية أو المنبسطة والتي تقع أراضيها بحسب تصنيف (Zink) بين درجة انحدار (١.٩-٠)°.

١-٣-١.٢. نطاق الأراضي ذات التموج الخفيف:

تقع أراضي هذا النطاق بحسب التصنيف بين درجة الانحدار (٧.٩-٢)°، إذ تشغل مساحة بلغت (٦١٦.٨) كم^٢ و نسبة (٢٨.٥%) من مجموع مساحة المنطقة، حيث توصف بأنها أراضي ذات سطح خفيف الانحدار وقليلة التضرس، ويشمل هذا النطاق أراضي ما بين الاودية والتي تنتشر في انحاء واسعة من المنطقة وخاصة في إقليم التلال أو أقدام الجبال وفي أجزاء من إقليم السهل التجميعي.

١-٣-١.٣. نطاق الأراضي المتموجة :

توصف بكونها أراضي ذات سطح متوسط الانحدار وتكون درجة إنحدار أراضيها ما بين (٨-١٥.٩)°، حيث تبلغ مساحتها (٣٧٥.٦) كم^٢ وتسهم بنسبة (١٧.٤%) من إجمالي مساحة المنطقة، وتتوزع في الاجزاء الشرقية والشمالية الشرقية من المنطقة ضمن الأراضي الايرانية أي في أغلب أراضي نطاق الجبال المتوسطة الارتفاع.

١-٣-١.٤. نطاق الأراضي المنحدرة :

يتراوح انحدارها ما بين (٢٩.٩-١٦)°، وتشغل مساحة (١٧٤.٩) كم^٢ أي بنسبة (٨.١%) من مساحة المنطقة الكلية، وتمتاز بكونها أراضي ذات سطح منحدر فتعد أراضيها من المناطق الخطرة التي تكون معرضة للانزلاقات الارضية وإنجراف التربة لذا فانها منطقة قليلة السكان وأراضيها غير صالحة للزراعة نتيجة لقلة خصوبة تربتها، إذ تنتشر ضمن أراضي نطاقي الجبال العالية والمتوسطة الارتفاع، وتوجد فيها سلاسل جبلية عديدة بأرتفاعات كبيرة.

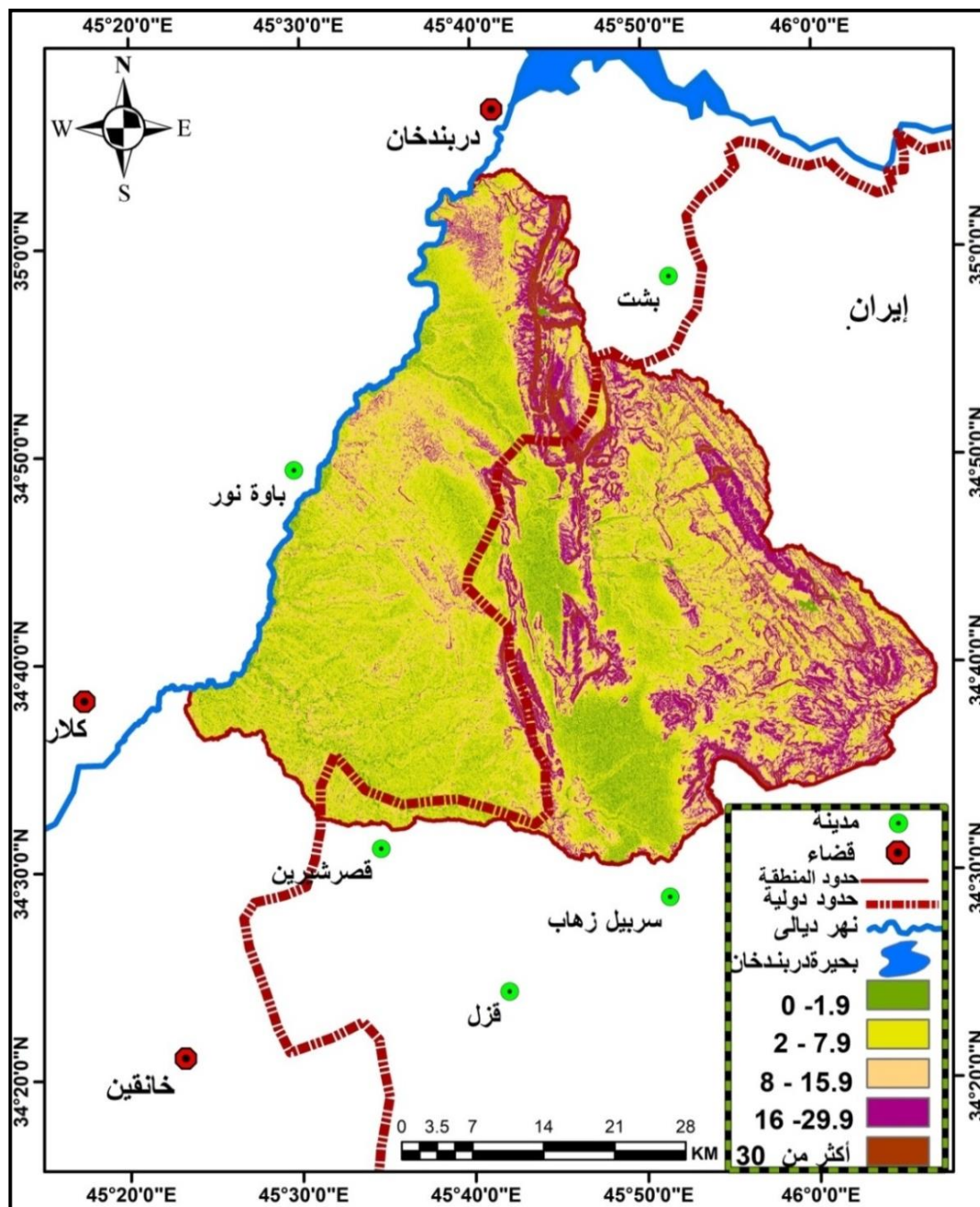
١-٣-١.٥. نطاق الأراضي الشديدة الانحدار:

يكون انحدار هذا النطاق أكثر من (٣٠)° غالبا ما تظهر هذه الأراضي في حيز ضيق، إذ تكثر الاخاديد الضيقة جدا والأراضي الرديئة ضمن هذا النطاق، فتسود أغلب أجزاء هذا النطاق في شمال وشمال شرق المنطقة أسفل طية بامو قرب الحدود العراقية الايرانية، وقد شغل مساحة بلغت (٣٢.١) كم^٢ أي شكل أقل نسبة بلغت (١.٥%) من إجمالي مساحة المنطقة.

إتضح مما سبق أن مساحة كبيرة من المنطقة تكون ذات أراضي منبسطة الانحدار أي إن المياه تتعرض للتسرب داخل التربة ويكون جريان المياه داخل أودية الاحواض بطيئ في هذه الاجزاء من المنطقة.

الفصل الاول الخصائص الطبيعية والمناخية لمنطقة الدراسة

خريطة (٨) زوايا الانحدارات الساندة في المنطقة



المصدر: من عمل الباحث بالاعتماد على أنموذج الارتفاع الرقمي (DEM) باستخدام برنامج (Arc Map10.4). Arc Gis

جدول (٤) فئات الانحدار في المنطقة ومساحاتها ونسبها المئوية حسب تصنيف Zink

النسبة المئوية %	المساحة	درجات الانحدار	الأنطقة
٤٤.٥	٩٦٣.٣	١.٩ - ٠	الأراضي المنبسطة
٢٨.٥	٦١٦.٣	٧.٩ - ٢	الأراضي ذات التموج الخفيف

الفصل الاول الخصائص الطبيعية والمناخية لمنطقة الدراسة

الأراضي المتموجة	١٥.٩ - ٨	٣٧٥.٦	١٧.٤
الأراضي المنحدرة	٢٩.٩ - ١٦	١٧٤.٩	٨.١
الأراضي الشديدة الانحدار	أكثر من ٣٠	٣٢.١	١.٥
المجموع		٢١٦٣	١٠٠

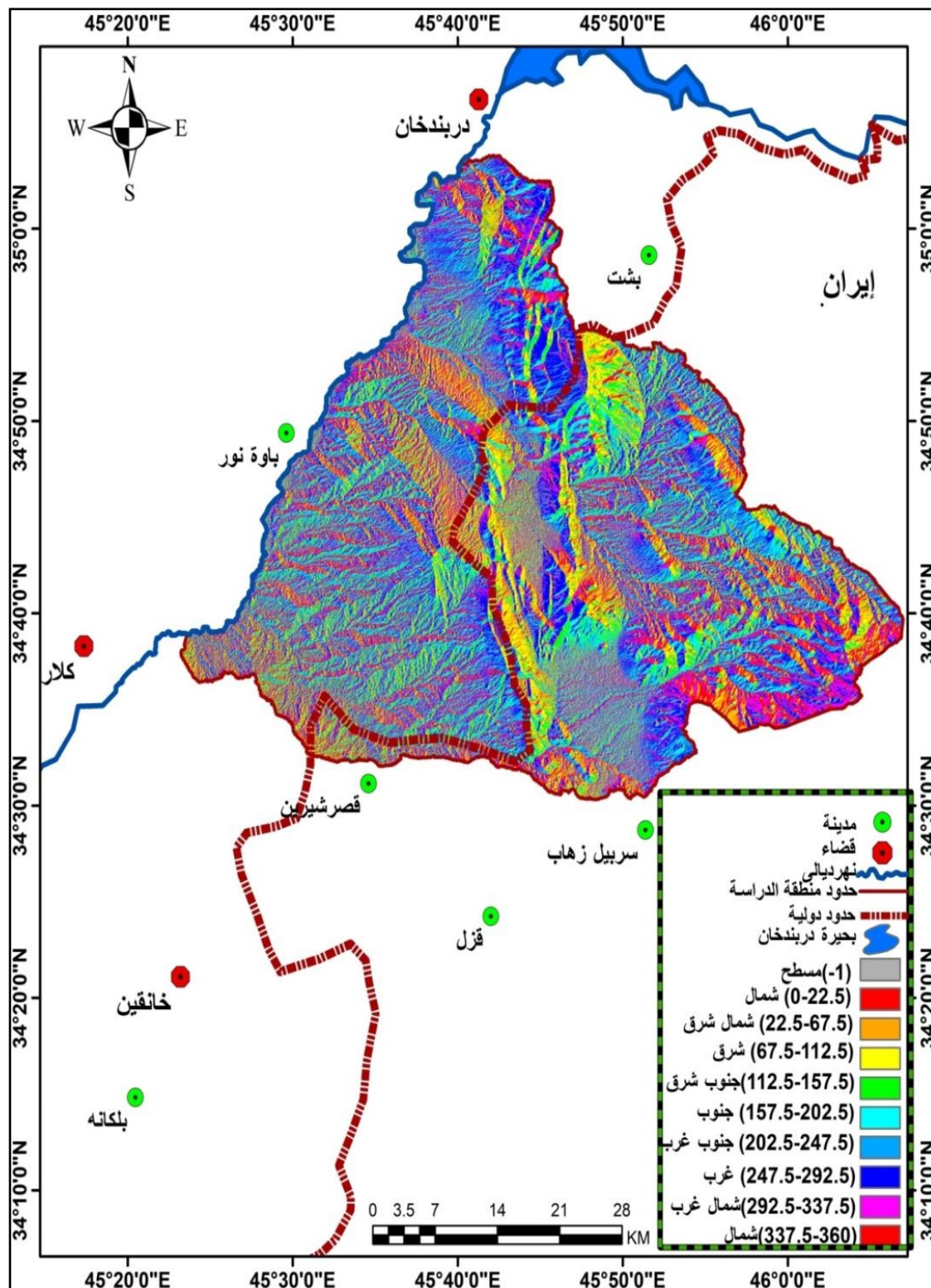
المصدر: من عمل الباحثة بالاعتماد على الخريطة (٨).

٤-١-١. تحليل إتجاه الانحدار Aspect of slop analysis :

يؤثر اتجاه الانحدار في تباين درجات الحرارة والأمطار وبالتالي تظهر تأثيراته على نشاط عمليتي التجوية والتعرية، إذ تبين أن الانحدارات التي تواجه الجانب الغربي تعاني من التعرية المائية أكثر من الانحدارات التي تكون بإتجاه الشمال والشرق وذلك لأنها تكون مواجهة للأمطار، وإن الانحدارات الشرقية تواجه الشمس بشكل مباشر لذا تجف بسرعة فتكون سهلة التفكك مما يزيد من نشاط وتطور التعرية الجانبية لأن السفوح ذات الاتجاه الجنوبي الشرقي تتلقى كمية أكبر من الضوء والحرارة مقارنة بالسفوح الغربية ، وأن الترب التي تغطي المنحدرات المتجهة الى الجنوب تكون عرضة لتعاقب الانجماد والذوبان وبذلك تكون مهينة لحدوث عملية التجوية الميكانيكية (١)، ويظهر من الخريطة (٩) والجدول (٥)، وأن هناك عشرة اتجاهات للانحدار إذ كانت أغلب انحدارات أراضي المنطقة باتجاه الشمالي الغربي والغربي والجنوبي الغربي والتي بلغت مساحاتها (٣٠٢.٩ كم٢) و (٣٦٨.١ كم٢) و (٣٤٤.٩ كم٢) على التوالي، شكل (٢)، والمتمثلة بالسفوح المنحدرة لأطراف الجبال والتلال التي تواجه المنخفضات الجوية الشمالية الغربية، أي أن أغلب منحدرات المنطقة مواجهة للزخات المطرية التي يتكرر حدوثها خلال السنة مما يؤدي الى زيادة نشاط القوى المحركة للمكونات الصخرية على المنحدرات وذلك بتغلب قوى التجاذب على قوة التماسك فيزداد التدفق الوحلي الناتج من تآكل السطح ، وهذا ما يفسره كثرة قنوات المياه المتأكلة وبروز الاخاديد على هذه السفوح مظهراً بذلك تطوراً على أشكال منحدراتها وهذا ما تم ملاحظته ميدانياً ، وكذلك فإنها ستعاني من زيادة نشاط التعرية المائية بشكل متكرر وبالتالي حدوث الانزلاقات والهبوط الارضي وزحف الصخور ضمن منطقة الدراسة.

الفصل الاول الخصائص الطبيعية والمناخية لمنطقة الدراسة

خريطة (٩) إتجاه الانحدارات السائدة في المنطقة



المصدر: من عمل الباحثة بالاعتماد أنموذج الارتفاع الرقمي الـ (DEM) باستخدام برنامج (Arc Map10)

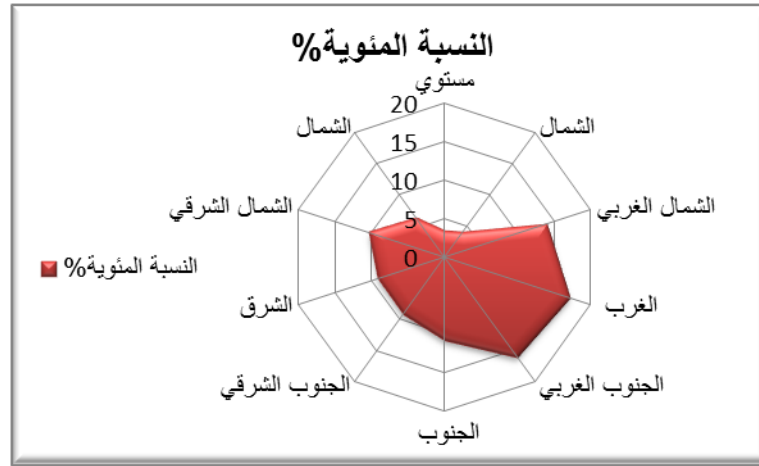
الفصل الاول الخصائص الطبيعية والمناخية لمنطقة الدراسة

الجدول (٥) مساحة ونسب اتجاهات المنحدرات في المنطقة

النسبة المئوية %	المساحة كم ^٢	الصنف
٣.٥	٧٤.٧	مستوي (-١)
٦.٣	١٣٧.١	الشمال (٠-٢٢.٥)
١٠.٣	٢٢٢	الشمال الشرقي (٢٢.٥-٦٧.٥)
٩	١٩٥.٥	الشرق (٦٧.٥-١٢٢.٥)
٩.١	١٩٦	الجنوب الشرقي (١٢٢.٥-١٥٧.٥)
١٠.٧	٢٣١.٨	الجنوب (١٥٧.٥-٢٠٢.٥)
١٦	٣٤٤.٩	الجنوب الغربي (٢٠٢.٥-٢٤٧.٥)
١٧.١	٣٦٨.١	الغرب (٢٤٧.٥-٢٩٢.٥)
١٤	٣٠٢.٩	الشمال الغربي (٢٩٢.٥-٣٣٧.٥)
٤	٨٩.٦	الشمال (٣٣٧.٥-٣٦٠)
١٠٠	٢.١٦٣	المجموع

المصدر: من عمل الباحثة بالاعتماد على الخريطة (٩).

شكل (٢) ورده اتجاه المنحدرات ضمن المنطقة



المصدر: من عمل الباحثة بالاعتماد على بيانات جدول (٦).

١-١-٥. تحليل تقوس المنحدر : Slope Curvature analysis

عرف يونغ (Young, 1974) التقوس هو معامل التغير في زاوية الانحدار مع المسافة الارضية في اتجاه الانحدار الحقيقي ويعبر عنه بالدرجات لكل (١٠٠م) ، وكما عرفه ليمبو (Lembo, 2006) بأنه أنحدار أو ميل السطح باتجاه المنحدر ، إذ يرتبط تقوس المنحدرات (التقعر والتحدب) بعوامل وعملیات مختلفة تؤثر في تطوره وتعطيه الشكل المميز ، فضلاً عن هذه العوامل يجب أن لا نغفل دور الزمن والتأثير الحياتي والذي يتمثل بتأثير الإنسان والحيوان كعوامل تغير من شكل المنحدرات سواء كانت تغيير في مورفولوجيتها أو إزالتها بالكامل من خلال أنشاء مشاريع عمرانية وما إلى ذلك .

الفصل الاول الخصائص الطبيعية والمناخية لمنطقة الدراسة

إن تطور المنحدرات المقوسة يتأثر بقدرة وسعة عملية النقل ، بينما المنحدرات المستقيمة تتحدد بشدة عمليتي التجوية والتعرية^(١) ، و يمكن تحديد أنواع التقوسات التي حصلت في منحدرات أحواض المنطقة وذلك من خلال استخدام تقنيات برنامج الـ Arc gis(arcmap10.4.1) من خلال الامر Curvature الموجود ضمن الـ tool box Arc ، وبذلك يمكن تصنيف المنحدرات حسب شكلها الى ثلاثة أصناف ، خريطة (١٠) ، جدول (٦) وكما يلي:

١-١-٥-١. منحدرات مقعرة : يتميز هذا النوع من المنحدرات بأنها تكون شديدة الانحدار في قمته ومعتدلة في وسطها ونهايتها وغالبا ما ينشأ التقعر عند قاعدة المرتفعات، وذلك عندما تنشط عمليات غسل المنحدرات بواسطة المياه الجارية المتمثلة في مجموعات هائلة من الجداول الصغيرة التي تنبع من المرتفعات بأعالي المنحدر، وتتشابك وتتجمع قبل وصولها القسم الأسفل من المنحدر مما يضاعف قدرتها على النحت وإزالة المفنتات الناعمة، اذ تشير القيم السالبة الى وجود هذا النوع من المنحدرات التي تكون ذات دلالة هيدرولوجية تشير الى تجمع الجريان المائي^(٢). تبلغ المساحة التي يشغلها هذا النوع (٠.١١ كم^٢) أي بنسبة (٠.٠٥%) من إجمالي مساحة المنطقة، ويظهر في أغلب جهات المنطقة ولاسيما في الاجزاء الشمالية والشمالية الشرقية والشرقية والوسطى من المنطقة.

١-١-٥-٢. المنحدرات المحدبة: تظهر المنحدرات المحدبة في الأجزاء العليا من السفوح بالقرب من خطوط تقسيم المياه، ويكون هذا النوع من الانحدار بطيء في قمته ويزداد شدة على السفوح وخاصة في أسفلها، وذلك بسبب تأثير قطرات الأمطار الساقطة على سطح الأرض ولا سيما التي تتصف بفقرها للغطاء النباتي، وتكون قدرة المياه على النحت قليلة إذ تضع معظم طاقتها في عمليات نقل الرواسب ، أي إن قدرتها على اكتساح الصخور واقتلاعها ضئيلة لذا تبقى الكتل الأرضية بارزة لقلة تأكلها فتبدو في المنظر الجانبي بشكل محدبات واضحة، حيث تشير قيم التقوس الموجبة لهذا النوع من المنحدرات^(٣)، الصورة (٨).

وقد بلغت مساحته (٧٨٦.٥ كم^٢) أي بنسبة (٣٦.٤%) من إجمالي مساحة المنطقة ، إذ تظهر في الجهات المرتفعة التي تكون بالقرب من القمم الجبلية ولا سيما الجهات القريبة من منابع حوض عباسان وقورة تو وكذلك ضمن الاجزاء الوسطى منها التي تمثل منطقة التقاء الحدود العراقية - الايرانية.

لا يمكن مشاهدة هذه المنحدرات منفصلة بالطبيعة وإنما قد توجد كلها في منحدر واحد، أي قد يكون المنحدر محدباً في الأعلى ومقعراً في الأسفل وبين الاثنين قد ينتج منحدرًا مستقيماً أو قليل الانحدار.

١-١-٥-٣. منحدرات مستقيمة: يكون سطح المنحدر مستوياً وعلى وتيرة واحدة أي خالياً من اي ارتفاع أو انخفاض في بعض أجزائه مهما كانت درجة انحدار شديدة أو متوسطة أو بسيطة، يتكون نتيجة لتعرض المنحدر الأصلي إلى عمليات التجوية وما يتبعها من نقل للفتات الصخري من أعلى المنحدر إلى أسفله سواء بالمياه أو الزحف

(١) تغلب جرجيس دواد ، علم أشكال سطح الارض التطبيقي (الجيومورفولوجيا التطبيقية)، مصدر سابق، ص ١٢١.

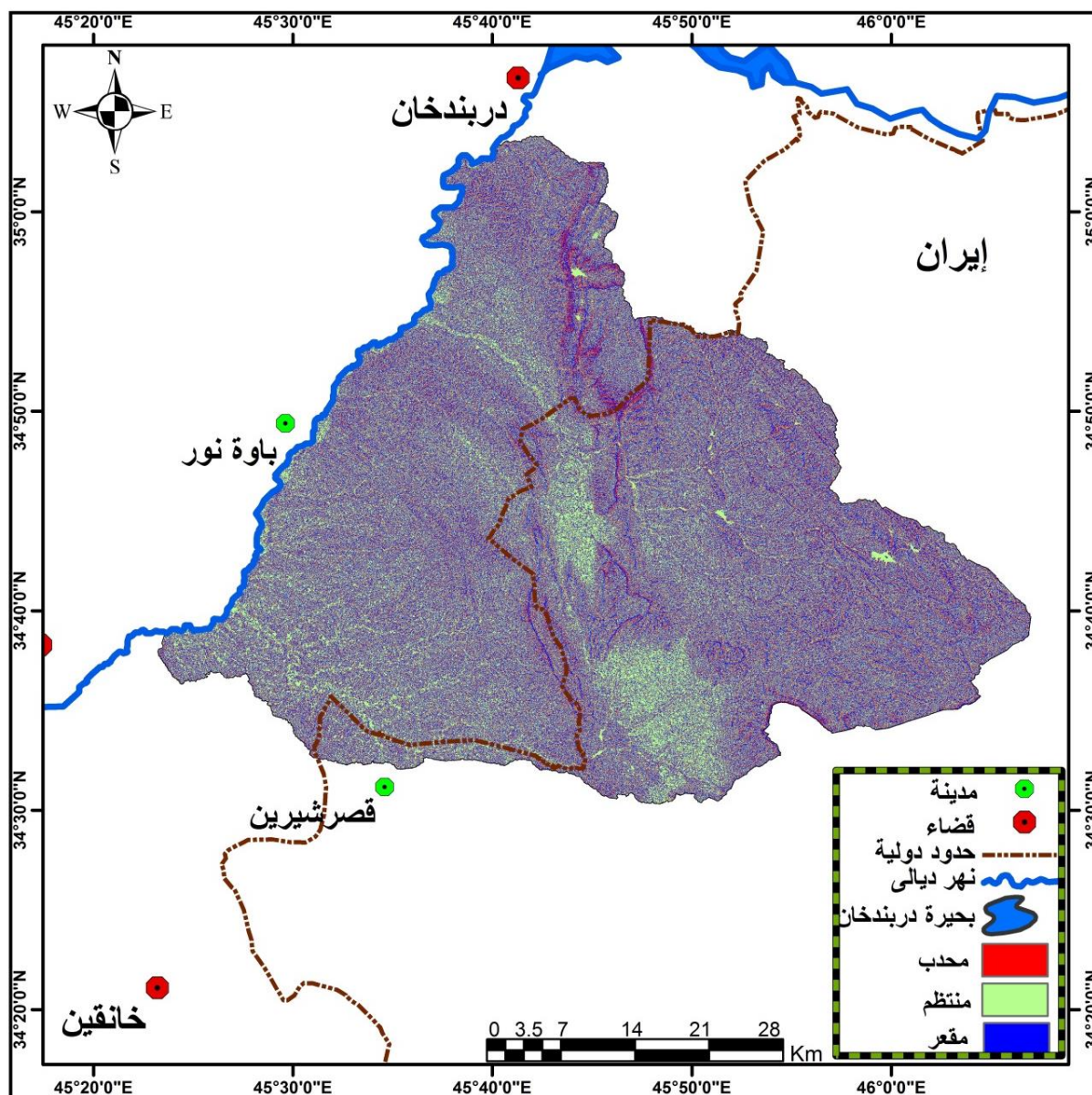
(٢) خلف حسين الدليمي ، علم أشكال سطح الارض التطبيقي، مصدر سابق، ص ٢٢٧.

(٣) خلف حسين الدليمي، الجيومورفولوجيا التطبيقية (علم شكل الارض التطبيقي)، الاهلية للنشر والتوزيع، الاردن ، عمان، ٢٠٠٥، ص ١٠٥.

الفصل الاول الخصائص الطبيعية والمناخية لمنطقة الدراسة

الأرضي، و يتكون هذا النوع من المنحدرات في المناطق المكونة من طبقات متجانسة ومتقاربة من حيث قوة مقاومتها لعمليات التجوية والتعرية، وتكون درجة تقوس هذا النوع من المنحدرات تساوي صفر^(١)، الصورة (٩)، وبلغت مساحة الاجزاء التي أنتشرت فيها المنحدرات المنتظمة أو المستقيمة (٣٧٦.٤ كم^٢) ونسبة (٦٣.٦%) من مجموع مساحة المنطقة، أذ ساد هذا النوع في الجهات الوسطى من المنطقة .

خريطة (١٠) أشكال المنحدرات السائدة في المنطقة



المصدر: من عمل الباحثة بالاعتماد أنموذج الارتفاع الرقمي (DEM) باستخدام برنامج (Arc Map10.4).Arc Gis

(١) عبد العزيز طريح شرف، الجغرافيا الطبيعية (أشكال سطح الارض)، مؤسسة الثقافة الجامعية، ١٩٩٣، ص ٣٤٨.

الفصل الاول الخصائص الطبيعية والمناخية لمنطقة الدراسة

جدول (٦) نوع التقوس ودرجته ومساحته ونسبته المئوية في المنطقة

نوع التقوس	الدرجة	المساحة/كم ^٢	النسبة المئوية%
مقعر	أقل من الصفر	٠.١١	٠.٠٠٥
مستقيم	صفر	١٣٧٦.٤	٦٣.٦
محدب	أكثر من الصفر	٧٨٦.٥	٣٦.٤
المجموع		٢١٦٣	١٠٠

المصدر: من عمل الباحثة بالاعتماد على الخريطة (١٠).

صورة (٨) منحدرات مقعرة ومحدبة عند منابع رافد سرتك في شمال شرق المنطقة



التقطت بتاريخ ٢٠١٩/٥/٢

صورة (٩) إنحدار مستقيم في سفوح أودية ضمن حوض كونكل شمال المنطقة



التقطت بتاريخ ٢٠١٩/٥/٢

١-٣-١. التربة soil :

تمثل التربة الحطام الصخري المفكك فمنه تنشأ وبفضل توافره تنمو وتزداد سمكاً، حيث تتباين خصائص التربة بتنوع الصخور التي اشتقت منها ، إذ إن لكل نوع من الصخور مكونات معدنية تخضع بدرجات متفاوتة لعمليات التجوية والتعرية، أي إن الترب ذات النسجة الخشنة والنفاذية العالية تكون أقل تأثراً بالتعرية المائية مقارنة مع الترب ذات النسجة الناعمة والنفاذية القليلة، إذ تعد التربة من المحددات الأساسية للجريان السطحي فكلما إزدادت نفاذية التربة إزدادت كمية الامطار المتسربة الى باطن الارض على حساب الكمية الذي يتكون منها الجريان السطحي ^(١)، وقد تمت دراسة ترب المنطقة على اساس نوعية النسيج الحبيبي لها ودرجة خشونتها وذلك بالاعتماد على تصنيف منظمة الاغذية والزراعة الفاو (Fao) ، ولقد تبين بحسب هذا التصنيف إن ترب المنطقة تعود الى المجاميع (A,B,C) وكما في الخريطة (١١) والجدول (٧) ، وفيما يلي أهم أصناف الترب السائدة في المنطقة:

● **المجموعة A:** وتتمثل بالصنف xk5-3ab وهي التربة الجافة الكلسية Calcic Xerosols أي الترب الجافة الكربوناتية ذات القلوية العادية والتي تتصف بكونها ذات نسجة ناعمة ^(٢)، إذ بلغت نسبة الطين والرمل والغرين ضمن هذا النوع من الترب (٣٠،٢٣،٤٧) % على التوالي، أما نسبة المادة العضوية فقد بلغت (٠.٩٩ %)، ويسود هذا النوع من التربة ، في الاجزاء الوسطى والجنوبية من المنطقة ضمن الاراضي الأيرانية وخاصة تلك التي يغلب عليها صفة الانبساط أو التموج حيث شغلت مساحة بلغت (٣٩٤.٧ كم^٢) أي بنسبة (١٨.١ %) من إجمالي مساحة المنطقة.

● المجموعة B:

وهي ترب ضحلة ذات نسيج خشن الى متوسط الخشونة وتكون ذات اعماق متوسطة أو ضحلة، أما نفاديتها فتنراوح بين المتوسطة الى العالية، حيث يكون لها إفق كلسي يعلو ١٢٥ سم من السطح، وضمت الصنفين الثانويين (yk34-b) و (xk28-b) ، حيث يدعى الاول بالتربة الكلسية Calcic Xerosols وهي التربة الكربوناتية القلوية العادية ^(٣)، وقد بلغت نسبة الطين والرمل والغرين ضمن هذا النوع من الترب (٣٧،٣٩،٢٤) % على التوالي، أما نسبة المادة العضوية فقد بلغت (٠.٣٧ %) ، وقد غطت مساحة صغيرة جداً ضمن الجزء الجنوبي الغربي من المنطقة، وقد بلغت مساحتها (١٩.٨ كم^٢) أي بنسبة (١.٥ %) من إجمالي مساحة المنطقة.

(١) عبد الله سالم المالكي ، نجم عبد الله رحيم ، جغرافية التربة ، ط١ ، دار الوضاح للنشر ٢٠١٦م، ص١٦٩.

(2) USDA-SCS, urban hydrology for small watershed ,department of agriculture ,USA ,1986

p.3.

(٣) نوال كامل علوان، تقدير حجم الجريان السطحي لحوض وادي دويريج، رسالة ماجستير غير منشورة ، كلية التربية للبنات، جامعة بغداد، ٢٠١٤، ص٧٣.

الفصل الاول الخصائص الطبيعية والمناخية لمنطقة الدراسة

أما الصنف الثاني فيسمى بالتربة الجافة الكلسية Calcic Xerosols وهي التربة الجافة الكربوناتية القلوية الأنموذجية ، وقد بلغت نسبة الطين والرمل والغرين في هذا النوع (٣٧،٤٠،٢٣) % وكذلك فإن المادة العضوية بلغت (٠.٦٥ %)، إذ تسود في الأجزاء الشمالية والغربية والجنوبية الغربية ضمن الاراضي المتموجة من المنطقة، حيث تشغل معظم مساحة المنطقة بلغت (١٠٣٣ كم^٢) أي بنسبة (٤٧.٣ %) من إجمالي مساحة المنطقة.

• المجموعة C :

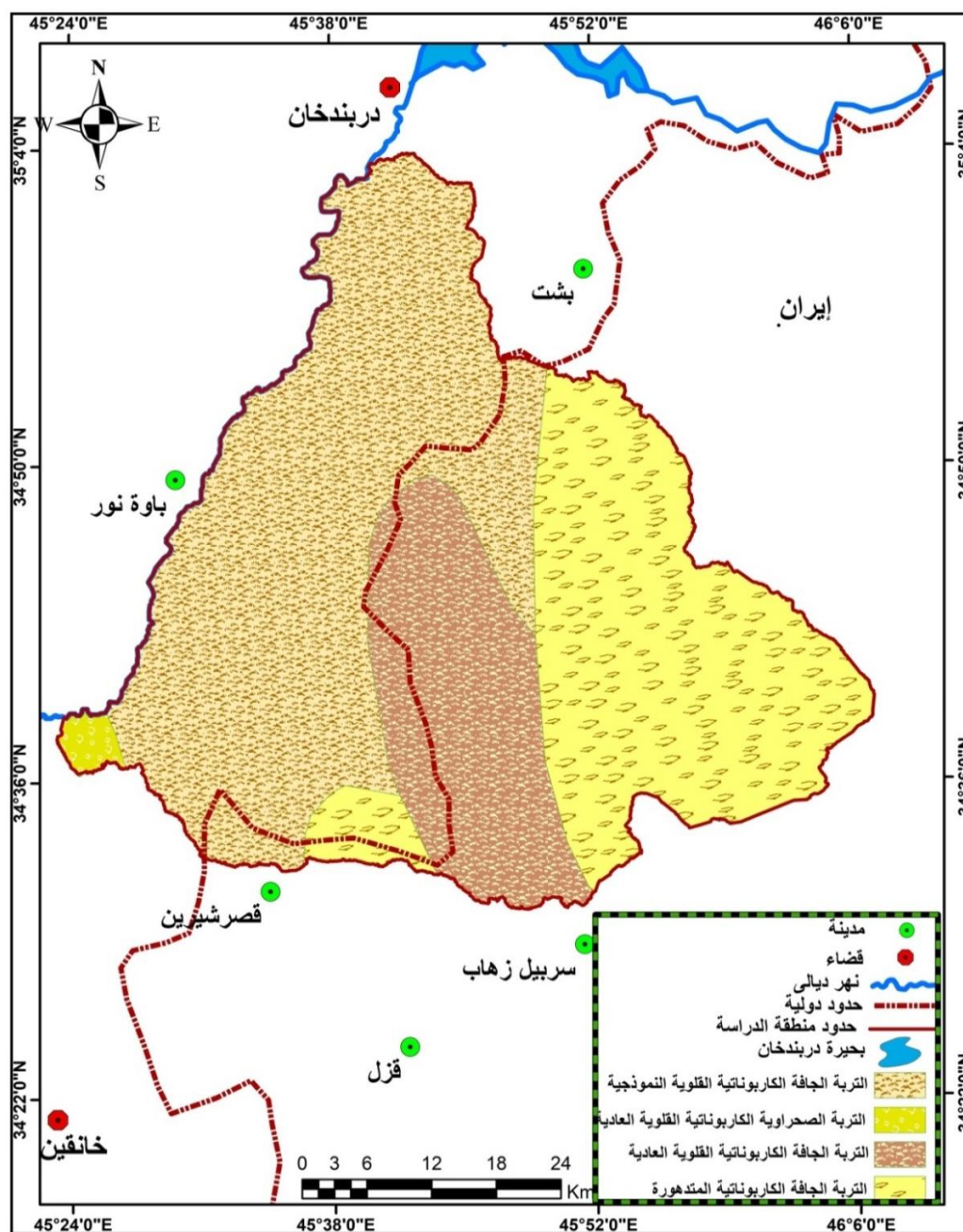
يتصف هذا النوع من الترب بكونها ترب مزيجية تتكون من الغرين والرمل بنسبة عالية وتتمتع بنفاذية متوسطة ، وتمثلت بالصنف الثانوي IRC-xk-c وتدعى تربة الزيروسول الجافة الكليسة Calcic Xerosols وهي التربة الجافة الكربوناتية القلوية المتراجعة (المتدهورة) والتي تكون على ارتفاع يتراوح من (٢٠-٥٠سم) من السطح وتكون على شكل طبقة رقيقة فاتحة اللون^(١) ، ويظهر هذا النوع من الترب في الاجزاء ذات الانحدارات الشديدة التي تزيد عن ٣٠°، أي في المناطق ذات الاراضي الرديئة الوعرة في الاجزاء الشمالية الغربية والغربية من المنطقة أي التي تقع ضمن الاراضي الايرانية، حيث تشغل مساحة بلغت (٧١٥.٧ كم^٢) أي بنسبة (٣٣.١ %) من إجمالي مساحة المنطقة ، فقد بلغت نسبة الطين والرمل والغرين في هذا الصنف (٢٣ ، ٤٣ ، ٣٤) % على التوالي، أما المادة العضوية فقد بلغت نسبتها ١.٤ % .

يتضح مما سبق إن أغلب ترب أحواض المنطقة تعود الى الصنف B وأقل نسبة تعود الى الصنف C.

1) World reference base for soil resources , food and Agriculture Organization of United Nations , 2014,p51.

الفصل الاول الخصائص الطبيعية والمناخية لمنطقة الدراسة

خريطة (١١) أصناف الترب السائدة في المنطقة



المصدر: من عمل الباحثة بالاعتماد على التصنيف الذي اصدرته منظمة الاغذية والزراعة (الفاو) باستخدام Gis(Arc Map10.4).

الجدول (٧) المساحات والنسب المئوية لمجاميع وأصناف الترب في المنطقة

النسبة المئوية %	المساحة/كم ^٢	الصنف
١.٥	١٩.٨	التربة الكاربوناتية القلوية العادية
٤٧.٣	١٠٣٣	التربة الجافة الكاربوناتية القلوية النموذجية
١٨.١	٣٩٤.٧	التربة الجافة الكاربوناتية القلوية العادية

الفصل الاول الخصائص الطبيعية والمناخية لمنطقة الدراسة

٣٣.١	٧١٥.٧	التربة الجافة الكاربوناتيّة القلوية المترجعة
١٠٠	٢.١٦٣	المجموع

المصدر: من عمل الباحثة بالاعتماد على خريطة (١١).

١-٣-١-١ الخصائص الفيزيائية والكيميائية Soil Physical & Chemical Properties :

إن لطبيعة التربة وتركيبها أثر كبير في التحكم في معدل إنجراف التربة وكذلك لها تأثير كبير في مقدار الجريان السطحي للمياه، فالتربة الطينية ذات القوام السميك تشجع على حدوث جريان بكميات كبيرة من المياه خلال أودية أحواض المنطقة، بينما تشجع التربة ذات النفاذية العالية على ترشيح المياه نحو الأسفل لتصل الى مكامن المياه الجوفية^(١).

نظراً لتعذر الوصول الى جميع جهات المنطقة وذلك لوقوع جزء كبير منها ضمن الاراضي الايرانية، لذا فقد تم الاعتماد في دراسة الخصائص الفيزيائية والكيميائية لمعرفة صفات ترب المنطقة على موقع مركز بيانات التربة (ISRIC) وكانت على عمق (٣٠سم) إذ يعطي هذا الموقع صورة واضحة للتوزيع المكاني للخصائص الفيزيائية والكيميائية لترب المنطقة ، بالإضافة الى ذلك فقد تم تحليل (١١) أنموذجاً موزعة على أساس التباين المكاني لمواقعها ضمن الاراضي العراقية فقط ، وللاعماق من (٣٠-٠) سم ، وفيما يلي توضيح لهذه الخصائص:

١-٣-١-١.١ نسجة التربة Soil Textare:

ويقصد به التوزيع النسبي لحجوم دقائق التربة من الرمل والغرين والطين، إذ تختلف نسب حجوم الذرات وذلك باختلاف أنواع الترب^(٢)، إذ أن تقييم ومعرفة نسجة التربة يعد دليلاً مهماً على فهم العديد من خواص التربة وتحديد الصفات الاخرى لها والمتمثلة بخصوبتها ومساميتها ونفاذيتها وقابليتها على الاحتفاظ بالماء (Water holding Capacity)، وتندرج ذرات وجزيئات التربة في احجامها ما بين الحصى والرمل والغرين والطين ، فبعضها يكون على شكل كتل أو حطام صخري نتج عن عمليات التجوية الفيزيائية للصخور والقسم الآخر تتمثل بذرات ناعمة دقيقة نتجت عن التحلل الكيماوي للمعادن^(٣).

ومن الجدول (٨) تبين إن الرمل ينتشر بنسبة عالية في بطون الاودية وذلك بسبب ما تنقله معها المياه خلال جريانها عبر الاودية وترسبها ضمن الاراضي المنخفضة كما في الخريطة (١٢)، وبصورة عامة فقد سادت الفئة القليلة إذ شغلت مساحة بلغت (٦٨٠.٧) كم^٢ أي بنسبة (٣١.٥%) من مجموع مساحة المنطقة.

(١) محمد مهدي الصحاف وآخرون، علم الهيدرولوجي، مطبعة جامعة البصرة، البصرة، 1982، ص 30-31.

(٢) إبراهيم شريف ، التربة تكوينها وتوزيع أنواعها وصيانتها، دار نشر الثقافة للطباعة والنشر، الاسكندرية ،مصر، بدون تاريخ، ص ٢٢.

(٣) هشام محمود حسن ، فيزياء التربة ، قسم علوم التربة ، كلية الزراعة والغابات ، جامعة الموصل ، مديرية دار الكتب للطباعة والنشر ، الموصل ، ١٩٩٠ ، ص ٣٣ .

الفصل الاول الخصائص الطبيعية والمناخية لمنطقة الدراسة

وكذلك فإن الغرين ينتشر في الاجزاء الوسطى والغربية والجنوبية الغربية التي تتمثل ببطون الاودية ومصباتها أي في السهل الرسوبي، كما في الخريطة (١٣) ، إذ تمتد في المنطقة الفئة المعتدلة في مساحات كبيرة بلغت (٦١٢.٢ كم) وبنسبة (٢٨.٣%) من المساحة الكلية للمنطقة.

أما نسبة الطين المرتفعة فقد ظهرت في الاجزاء الشرقية والوسطى من المنطقة ، كما في الخريطة (١٤)، وكانت الفئة المعتدلة هي السائدة وقد شغلت مساحة بلغت (٥٧٨.٩ كم٢) أي بنسبة (٢٦.٨%) من إجمالي مساحة المنطقة.

جدول (٨) المساحات والنسب المئوية لخصائص تربة المنطقة

خواص التربة %	الفئات	المساحة / كم٢	النسبة المئوية %
نسبة الرمل	قليلة جداً	٢٧٠.٥	١٢.٥
	قليلة	٦٨٠.٧	٣١.٥
	معتدلة	٦٣٢.٤	٢٩.٣
	مرتفعة	٤٤٣.٠١	٢٠.٥
	مرتفعة جداً	١٣٥.٦	٦.٣
نسبة الغرين	قليلة جداً	٢٠٤.٢	٩.٥
	قليلة	٥٤٥.٧	٢٥.٢
	معتدلة	٦١٢.٢	٢٨.٣
	مرتفعة	٥٣٣.٩	٢٤.٧
	مرتفعة جداً	٢٦٦.٢	١٢.٣
نسبة الطين	قليلة جداً	٣٤٩.٨	١٦.٢
	قليلة	٥٥٨.١	٢٥.٨
	معتدلة	٥٧٨.٩	٢٦.٨
	مرتفعة	٤٠٧.٨	١٨.٩
	مرتفعة جداً	٢٦٧.٦	١٢.٤
المادة العضوية	قليلة جداً	١١٧٧.٤	٥٤.٥
	قليلة	٥٥٧.٨	٢٥.٨
	معتدلة	٣٨٢.٨	١٧.٧
	مرتفعة	٤٣.٤	٢.٠٠٧
	مرتفعة جداً	٠.٨٤	٠.٠٣٩
التوصيل الكهربائي EC	قليلة جداً	١٩٤.٩	٩.٠١
	قليلة	٣٨٥.٦	١٧.٨
	معتدلة	٧١١.٠٣	٣٢.٩
	مرتفعة	٦١٦.٢	٢٨.٥
	مرتفعة جداً	٢٥٤.٦	١١.٨
نسبة الاس الهيدروجيني	قليلة جداً	١٠.٥	٠.٤٨
	قليلة	٧٤.٣	٣.٤٤
	معتدلة	٣٦٨.٢	١٧.٠٤

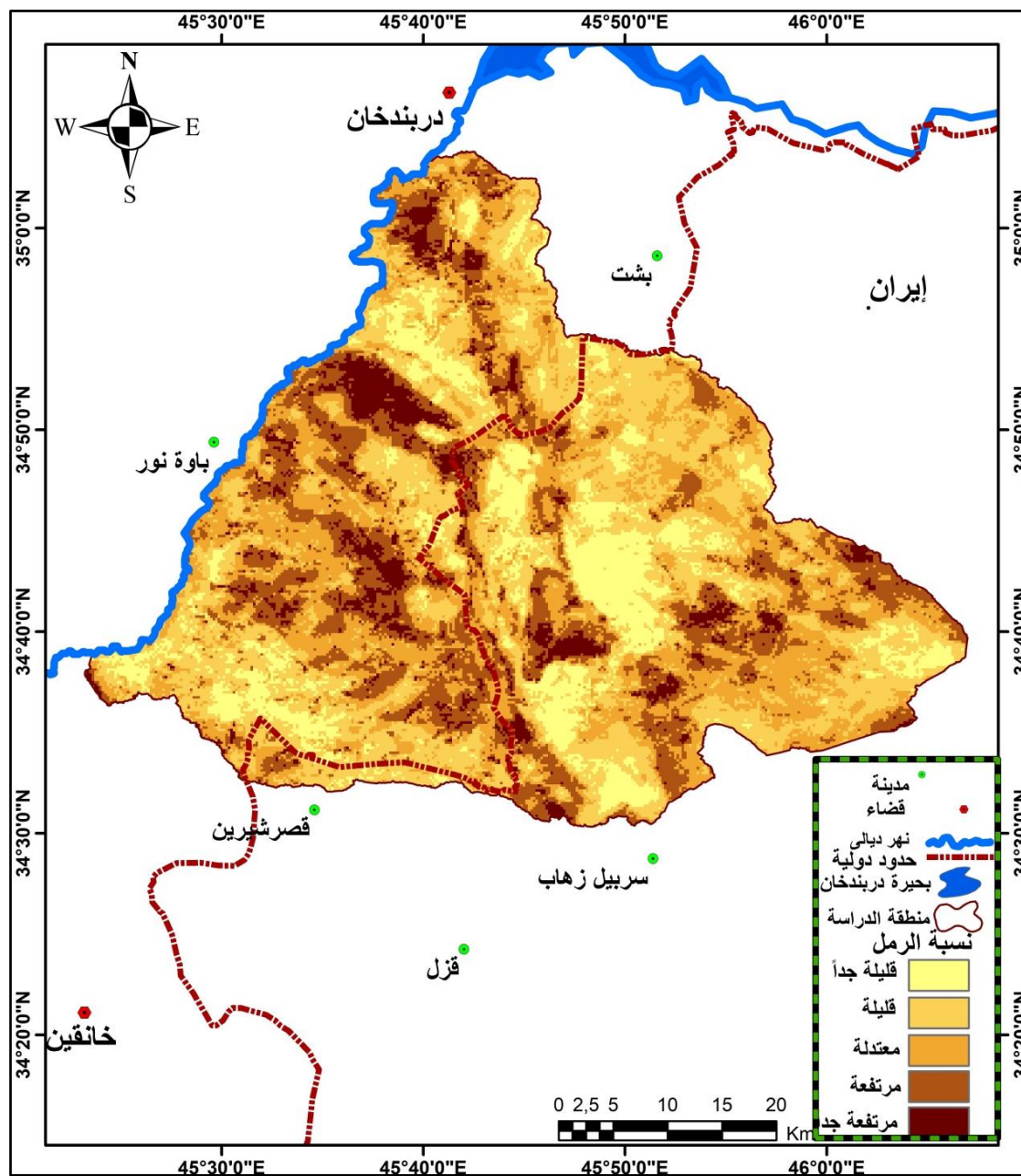
الفصل الاول الخصائص الطبيعية والمناخية لمنطقة الدراسة

٤٥.٧	٩٨٨.٢	مرتفعة	الـ (ph)
٣٣.٣	٧٢٠.٩	مرتفعة جداً	

المصدر: من عمل الباحثة بالاعتماد على الموقع

https://soilgrids.org/#/?layer=ORCDRC_M_sl4_250m&vector=1

خريطة (١٢) نسبة الرمل في تربة المنطقة

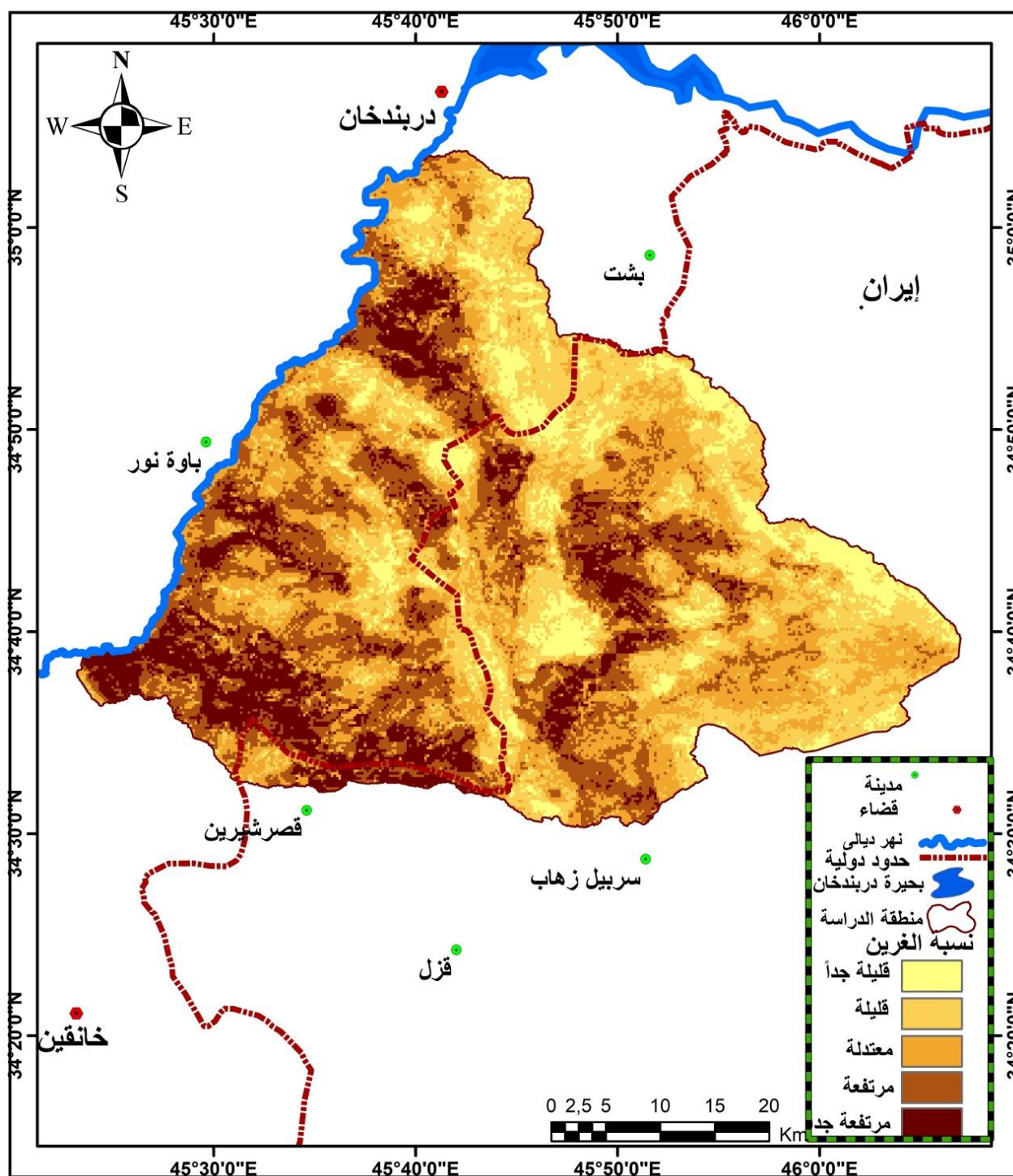


المصدر: من عمل الباحثة بالاعتماد على الموقع

https://soilgrids.org/#/?layer=ORCDRC_M_sl4_250m&vector=1

الفصل الاول الخصائص الطبيعية والمناخية لمنطقة الدراسة

خريطة (١٣) نسبة الغرين تربة في المنطقة

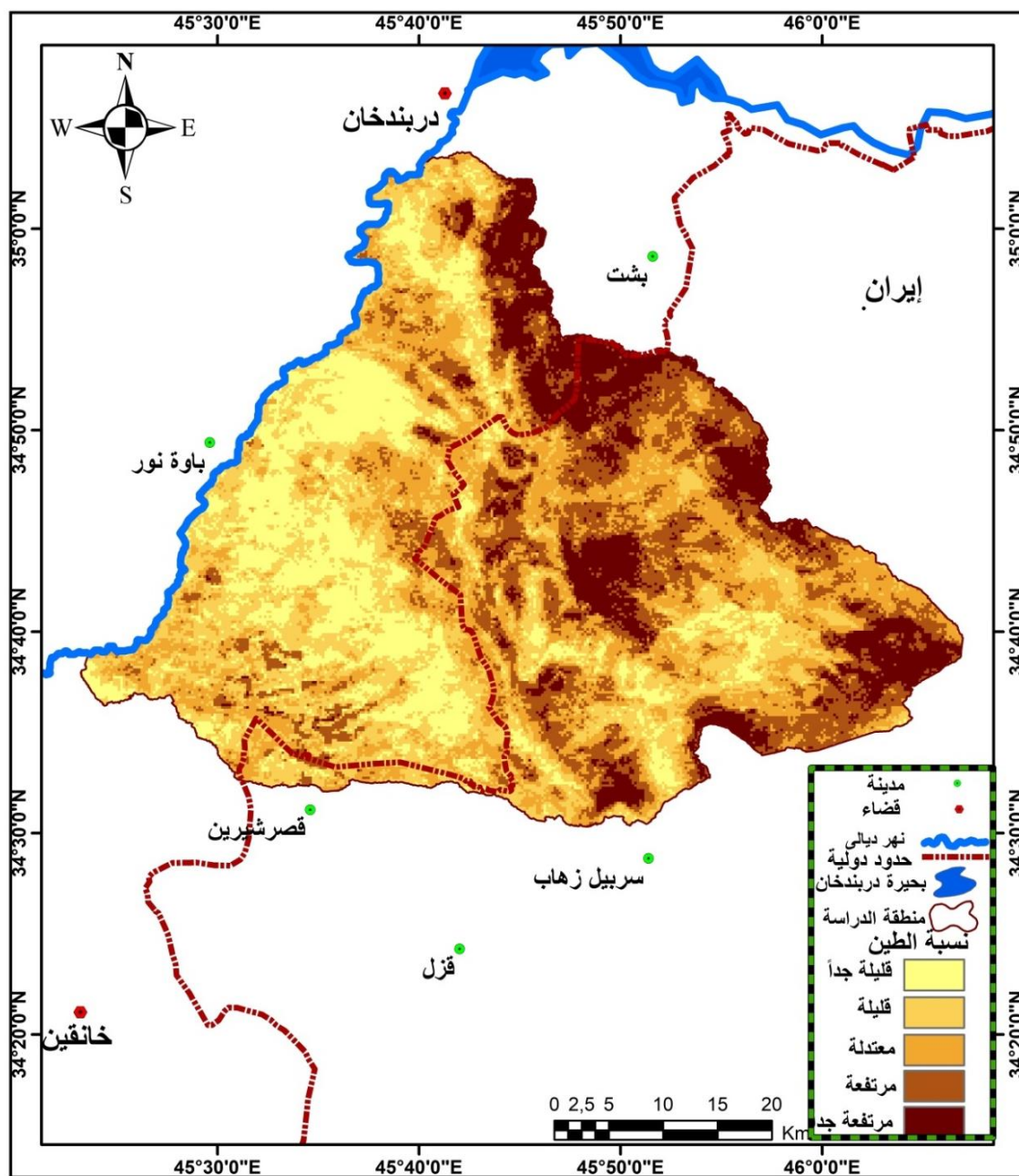


المصدر: من عمل الباحثة بالاعتماد على الموقع

https://soilgrids.org/#/!/?layer=ORCDRC_M_sl4_250m&vector=1

الفصل الاول الخصائص الطبيعية والمناخية لمنطقة الدراسة

خريطة (١٤) نسبة الطين في تربة المنطقة



المصدر: من عمل الباحثة بالاعتماد على الموقع

https://soilgrids.org/#/?layer=ORCDRC_M_sl4_250m&vector=1

٢-٣-١-١. المادة العضوية :

يقصد بالمادة العضوية مخلفات الاحياء النباتية والحيوانية في التربة، وتعد جزءاً اساسياً من مكونات التربة فهي لا تزيد عن (١٠%) من وزن الترب العضوية^(١).

(١) علي احمد هارون ، جغرافية الزراعة، الطبعة الاولى، دار الفكر العربي للطبع والنشر، القاهرة، ٢٠٠٠، ص ٩٥.

الفصل الاول الخصائص الطبيعية والمناخية لمنطقة الدراسة

من ملاحظة الخريطة (١٥) تبين أن أعلى نسبة للمادة العضوية تظهر في الاقسام الشمالية والشمالية الشرقية والشرقية من المنطقة، إذ شغلت الفئة القليلة معظم مساحة المنطقة والتي بلغت (١١٧٧.٤ كم^٢) أي بنسبة (٥٤.٥%) من مجموع مساحة المنطقة .

١-٣-٣.١-١. تفاعل التربة (PH):

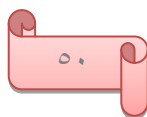
إن معرفة ايون هيدروجين التربة ذات اهمية اساسية في دراسة عملية التجوية كظاهرة جيومورفولوجية، كما ان هناك علاقة عكسية ما بين عملية الازابة للصخور الجيرية وبين الاس الهيدروجيني اذ تزداد الازابة لانخفاض قيمة (PH) وتقل بارتفاعها مما يعمل على زيادة نشاط التعرية المائية في المنطقة^(١).

من ملاحظة الخريطة (١٦) تبين ان النسبة العالية للـ (ph) تظهر في أغلب أجزاء المنطقة، بينما الجهات المتضرسة التي تتمثل بالجزء الجبلي الذي يضم أعلى القمم الجبلية في المنطقة فقد كانت نسبة الـ (ph) فيها منخفضة جداً، وشغلت الفئة ذات القيم المرتفعة أعلى مساحة والتي بلغت (٩٨٨.٢ كم^٢) وبنسبة (٤٥.٧%) من مجموع مساحة المنطقة .

١-٣-٤. التوصيل الكهربائي EC:

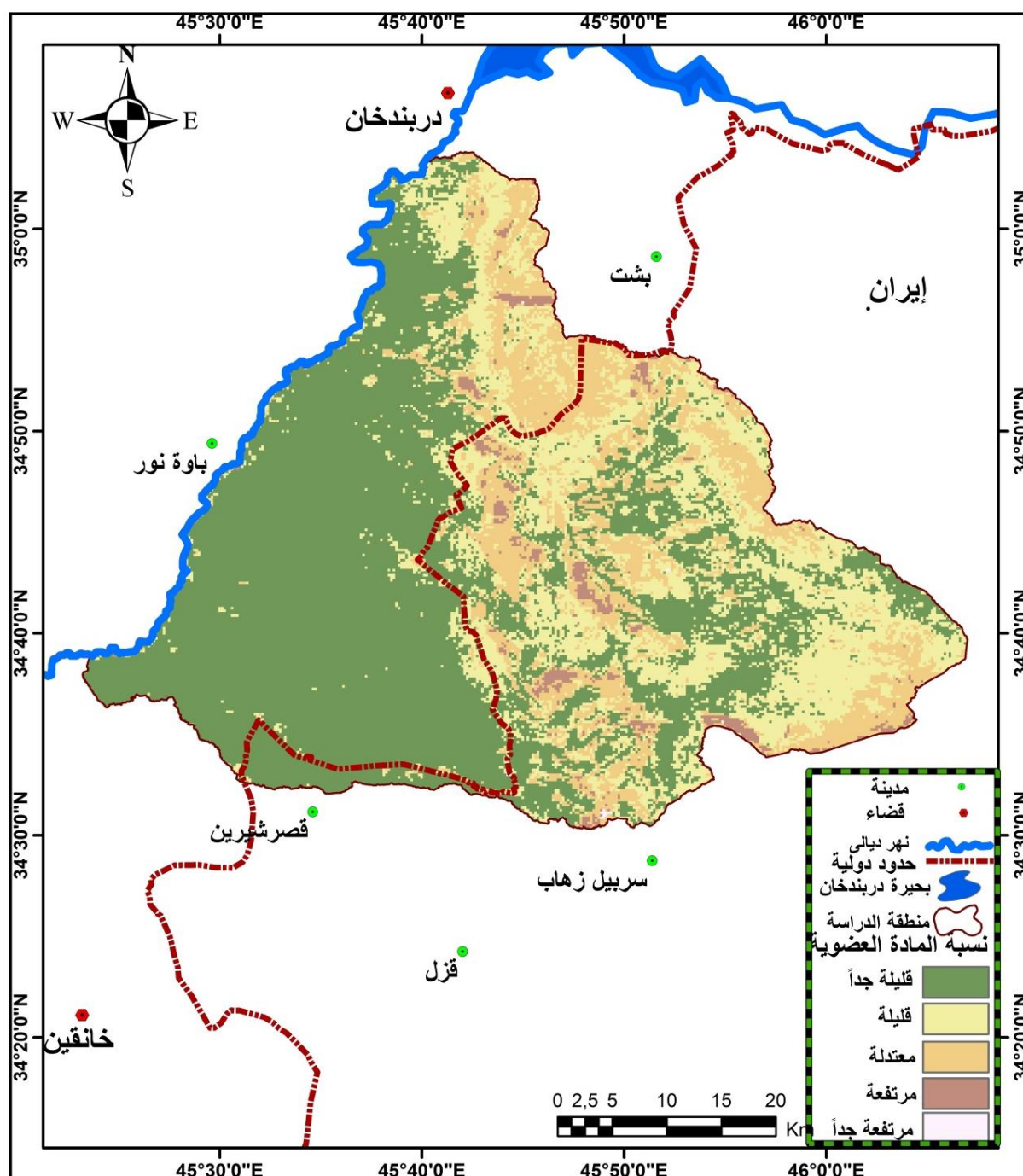
يتمثل بقيم ايونات الاملاح الموجبة والسالبة في التربة عند اذابتها بالماء وتقاس بوحدة المليموز/سم عند درجة حرارة (٢٥) م مثل أملاح كلوريد الصوديوم والكالسيوم ، إذ اتزداد نسبة التوصيل الكهربائي بزيادة نسبة الملوحة في التربة وتعد من أهم العوامل المحددة لإنتاجية الاراضي الزراعية^(٢)، ومن ملاحظة الخريطة (١٧) نجد أن نسبة الملوحة تزداد ضمن الاراضي القليلة الارتفاع مثل السهل الفيضي في الاجزاء الجنوبية والجنوبية الغربية وعند اسفل المنحدرات ضمن الاراضي الايرانية، وقد شغلت الفئة المعتدلة أعلى مساحة قد بلغت (٧١١,٠٣ كم^٢) أي بنسبة (٣٢.٩%) من أجمالي مساحة المنطقة.

(١) احمد حيدر الزبيدي، ملوحة التربة، مطبعة جامعة بغداد، بغداد، بدون تاريخ، ص ٨٣.
(٢) ياس خضير الحديثي، فانز عبد الستار الجبوري، محمود عبد الرزاق حنوش، ملوحة التربة واستصلاح الاراضي، مطابع التعليم العالي، بغداد، ١٩٩٠، ص ٩٧ .



الفصل الاول الخصائص الطبيعية والمناخية لمنطقة الدراسة

خريطة (١٥) نسبة المادة العضوية في تربة المنطقة

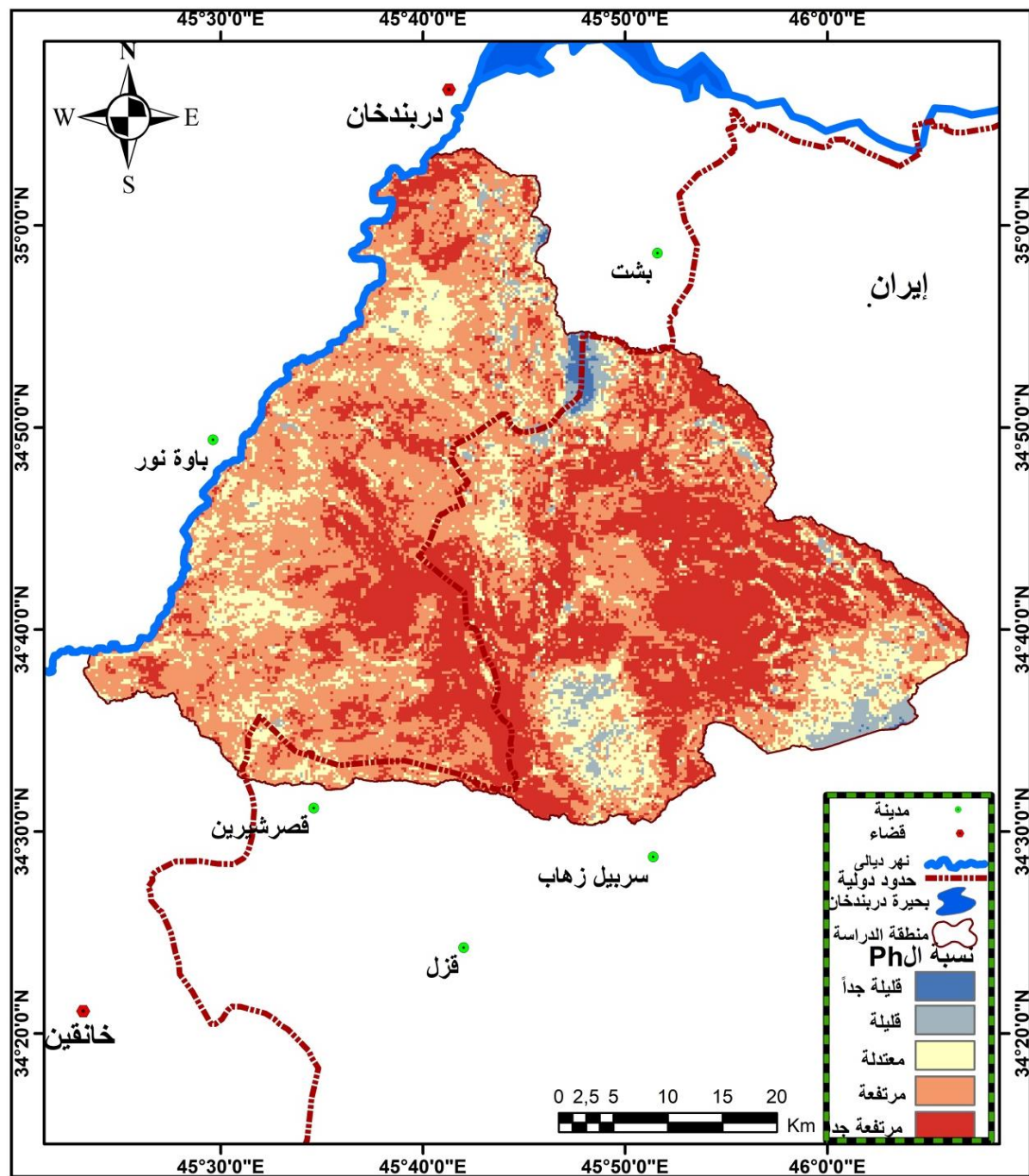


المصدر: من عمل الباحثة بالاعتماد على

الموقع https://soilgrids.org/#/?layer=ORCDRC_M_sl4_250m&vector=1

الفصل الاول الخصائص الطبيعية والمناخية لمنطقة الدراسة

خريطة (١٦) نسبة الـ (pH) في تربة المنطقة

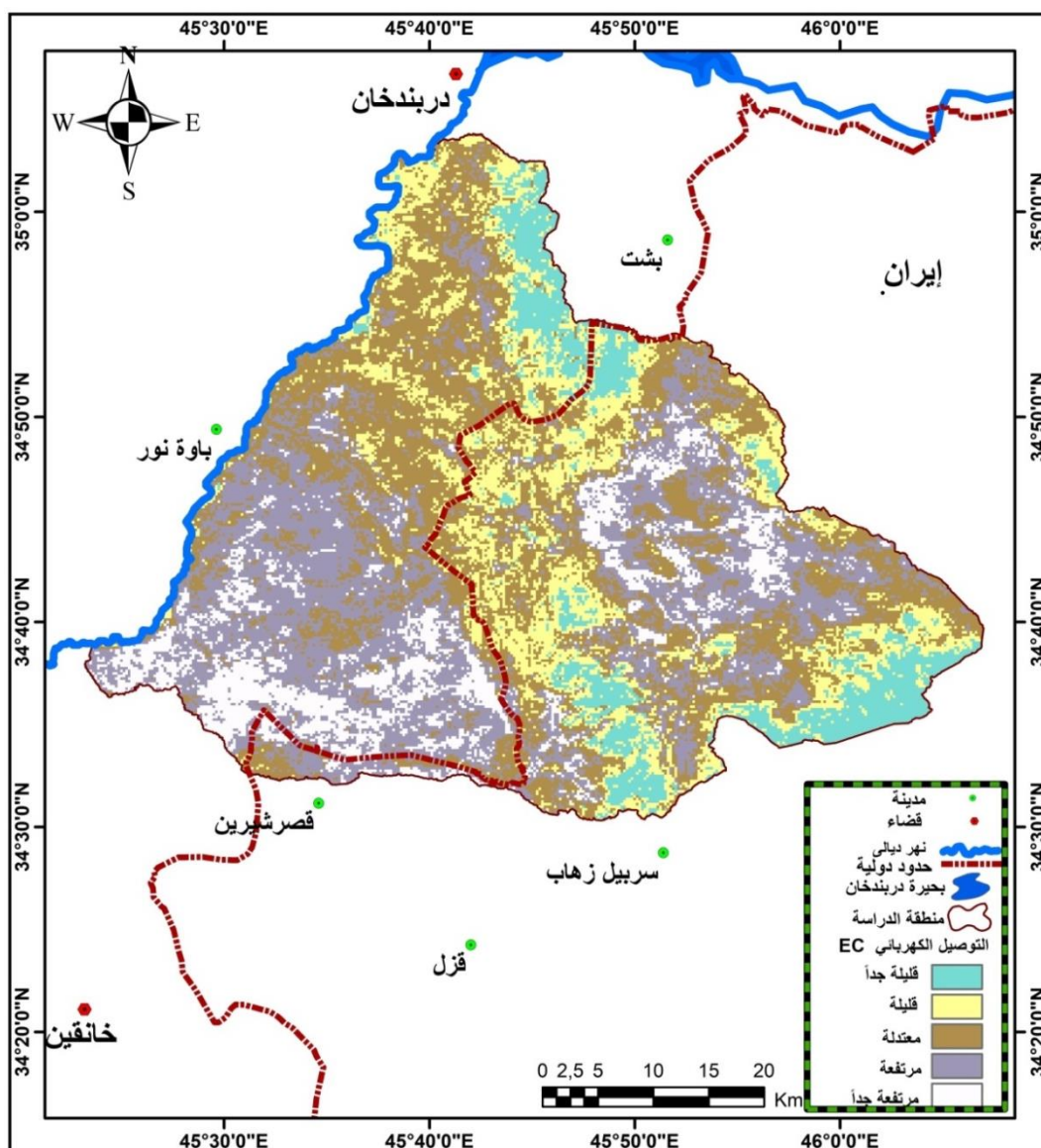


المصدر: من عمل الباحثة بالاعتماد على الموقع

https://soilgrids.org/#!/layer=ORCDRC_M_sl4_250m&vector=1

الفصل الاول الخصائص الطبيعية والمناخية لمنطقة الدراسة

خريطة (١٧) التوصيل الكهربائي الـ (EC) في تربة المنطقة



المصدر: من عمل الباحثة بالاعتماد على الموقع

https://soilgrids.org/#!/?layer=ORCDRC_M_sl4_250m&vector=1

أما بالنسبة للعينات المأخوذة من المنطقة فقد تبين بعد تحليلها إن هناك تبايناً واضحاً في نسب دقائق الترب واجسامها واشكالها مما أدى ذلك إلى تباين في نوعية الترب ضمن المنطقة ، وبذلك تختلف الترب تبعاً لنوعية نسجتها التي تعد دليلاً يمكن من خلاله تحديد نوعية تلك التربة، صور (١٠) و (١١)، إذ تراوحت نسب الرمل بين (٢٣-٤٣) ، والغرين تتراوح نسبته بين (٢٢.٢-٦٧) أما الطين فقد كانت نسبته تتراوح بين (١٠-٤٣) ، وكما تراوحت قيم نسب المادة العضوية للعينات المحللة مختبرياً بين (٢.١-٤.٨) ، بينما كانت نسب الـ (ph) تتراوح ما بين (٦.٩-٨.٥) ضمن العينات المأخوذة من تربة المنطقة ، أما قيم التوصيل الكهربائي تتراوح بين (١.٣٢-

الفصل الاول الخصائص الطبيعية والمناخية لمنطقة الدراسة

٢.٩١) مليموز/سم، كما في الجدول (٩)، حيث كانت نوع التربة طينية مزيجية في كل من موقع العينة (١) أي في قرية شمشير كول التي تقع ضمن حوض أوبر، والعينة (٢) في قرية ميشاو ضمن حوض كونكل ، وكذلك في الموقع (٧) في قرية خوار كلاو زورو ضمن حوض قورة تو، بينما عينة التربة (٣) في قرية سرتك ضمن حوض عباسان فقد كانت تربتها من النوع الطينية، أما العينة (٤, ٥, ٦, ٨) أي في قرية خورخور ضمن حوض خورخور وقرية زلكه كن ضمن حوض زلكه كن ، وكذلك في قرية جبروة ضمن حوض سي حران ، وفي قرية برده علي ضمن حوض قورة تو فقد كانت التربة من نوع المزيجية ، أما العينة (٩) في قرية شامي كوره التي تقع ضمن حوض بانزمين فقد كانت تربتها من النوع المزيجية الغرينية، شكل (٣).

صورة (١٠) جمع عينات التربة قرب قرية سه روه صورة (١١) وضع العينات داخل أكياس بلاستيكية



التقطتا بتاريخ ٢٠٢٠/٢/٢١

جدول (٩) خصائص التربة (الفيزيائية والكيميائية) لمنطقة الدراسة

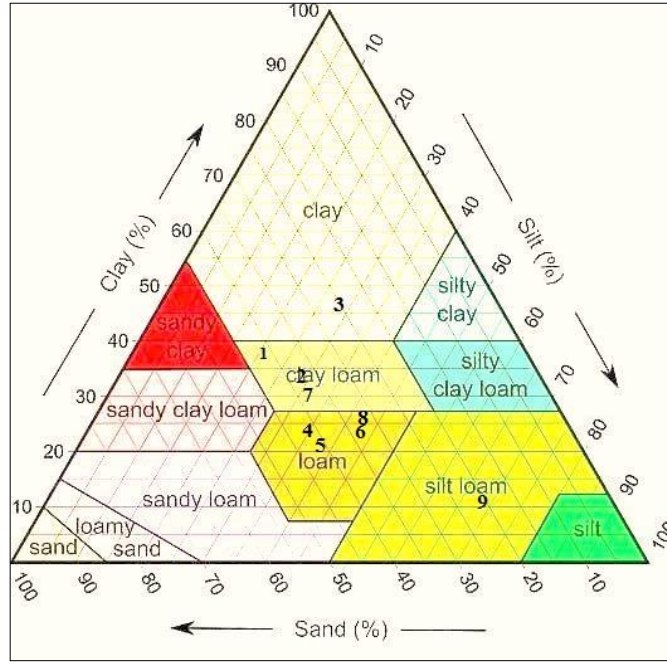
رقم الموقع	أسم الموقع		نوع النسجة			التوصيل الكهربائي EC	ايون الهيدروجين PH	المواد العضوية
			الطين	الغرين	الرمل			
١	شمشير كول	حوض أوبر	٣٨.٦	٢٢.٢	٤٠.٢	١.٣٢	٧.٣	٢.١ طينية مزيجية
٢	ميشاو	حوض كونكل	٣٢.٤	٢٩.٢	٣٨.٤	١.٥٤	٧.٥	٢.٦ طينية مزيجية
٣	سرتك	حوض عباسان	٤٣	٢٦	٢٥	١.٣٩	٦.٩	٣.٤ طينية

الفصل الاول الخصائص الطبيعية والمناخية لمنطقة الدراسة

٤	خورخور	حوض خورخور	٤٣	٣٥	٢١	٢.١٣	٧,٦	٣.٩	مزيجية
٥	زللكه كن	حوض زللكه كن	٤١	٣٧	٢٢	٢.٣٤	٧,٨	٤.١	مزيجية
٦	جبروة	حوض سي حران	٣٤	٤٤	٢٢	٢.٣٧	٨,١	٤.٣	مزيجية
٧	خوار كلاو زورو	حوض قورقوتو	٣٨	٣١.٦	٣٠.٤	٢.٤٩	٨.٣	٤.٦	طينية مزيجية
٨	بردة علي		٣٢	٤١	٢٧	٢.٧٦	٨.٣	٤.٨	مزيجية
٩	شامي كوره	حوض باتزمين	٢٣	٦٧	١٠	٢.٩١	٨.٥	٤.٨	مزيجية غرينية

المصدر: من عمل الباحثة بالاعتماد على نتائج تحليل العينات في مختبرات وزارة العلوم والتكنولوجيا ، قسم تحليلات التربة بتاريخ ٢٠٢٠/٢/٢٦.

شكل (٣) أصناف نسجة تربة المنطقة التي تقع ضمن الاراضي العراقية وفقاً لمثلث النسجة



المصدر: من عمل الباحثة بالاعتماد على بيانات الجدول (٩).

٤-١-١. الموارد المائية السطحية Surface Water Resources:

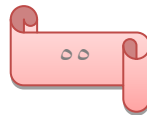
تضم جميع مصادر المياه الجارية الدائمة والموسمية ومياه الامطار والمتمثلة بالمجري المائية لاودية الاحواض

التي تنبع معظمها من الاراضي الايرانية شرق المنطقة وتصب في نهر ديالى خريطة (١٨) والتي تشمل :

• **نهر ديالى :** ويمثل المصب لجميع وديان أحواض المنطقة، إذ ينبع من الاراضي الايرانية ويكون اتجاه جريانه من الشمال الشرقي نحو الجنوب الغربي ، ويبلغ امتداده (٦٨.٩) كم ضمن المنطقة.

• **حوض أوبر:** تجري أودية هذا الحوض في شمال المنطقة ، إذ يمتد مجراه الرئيس لمسافة (١٢.٤) كم، ويشكل حوضه مساحة بلغت (٢٤٥.٤) كم^٢ .

• **حوض كونكل:** تمثل مرتفعات جبل بامو في شمال شرق منطقة الدراسة منابعه العليا ويمتد لمسافة (١٩.٧) كم حتى يصب في نهر ديالى، إذ بلغت مساحة حوضه (٢٤١.٥) كم^٢ .



الفصل الاول الخصائص الطبيعية والمناخية لمنطقة الدراسة

- **حوض عباسان :** تجري المياه في معظم أودية هذا الحوض طول فصول السنة صورة(١٢)، إذ تنبع من المرتفعات الإيرانية المتمثلة بسلاسل جبال (وارباله و كره و وبيش رنكين)، حيث يتكون من ثلاثة روافد هي(ابي ليما، ابي زالان، ونهر بمان حسن)، ويجري بعد التقاء الروافد الرئيسة الثلاث من الجنوب الشرقي إلى الشمال الغربي ويبلغ إمتداد مجراه الرئيس (٦٨.٦ كم) ويعد أطول المجاري المائية واكبر الاحواض مساحة ضمن المنطقة والتي بلغت (٨٥٣.٧ كم٢) ويصب في نهر ديالى عند مدينة ميدان *، صورة(١٣).

صورة (١٢) المياه الجارية خلال أودية حوض عباسان في نهر ديالى



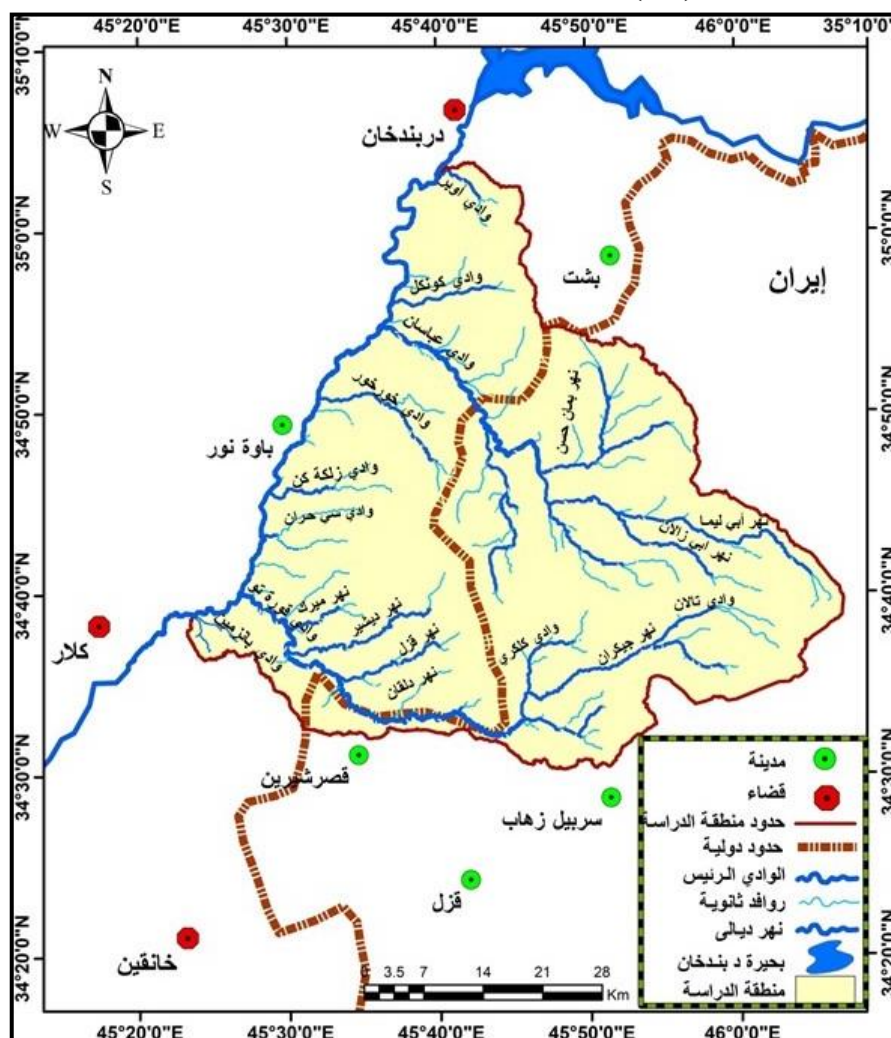
صورة (١٣) مصب حوض عباسان في نهر ديالى



* الدراسة الميدانية و الخرائط الطبوغرافية بمقياس 1:100000، الصادرة عن الهيئة العامة للمساحة، بغداد، لعام 2018م، وأنموذج الارتفاع الرقمي (DEM) بأستخدام برنامج الـ Arc map 10.4 Arc Gis.

الفصل الاول الخصائص الطبيعية والمناخية لمنطقة الدراسة

خريطة (١٨) موارد المياه السطحية ضمن منطقة الدراسة



المصدر: من عمل الباحثة بالاعتماد على الخرائط الطبوغرافية بمقياس 1:100000، الصادرة عن الهيئة العامة للمساحة، بغداد، لعام 2018م

، وأنموذج الارتفاع الرقمي (DEM) باستخدام برنامج الـ Arc Gis (Arc map 10.4).

- **حوض خوخور:** تنبع أودية هذا الحوض من مرتفعات شالوردان بالقرب من الحدود العراقية الإيرانية أي تتغذى روافده بالمياه من داخل الحدود العراقية ويصب في نهر دىالى بالقرب من مدينة باوه نور إذ يعد من الاودية الموسمية الجريان ويبلغ إمتداد مجراه الرئيس خلال المنطقة (٢٢.٨ كم) ومساحة حوضه بلغت (١٠٦.٤ كم٢).

- **حوض زلكه كن:** ويعد من الاحواض ذات الاودية الموسمية الجريان ، إذ تتغذى روافده من خلال تساقط مياه الامطار والثلوج على مرتفعات داربي ديوان ومرتفعات كوة تنيه بالقرب من الحدود العراقية الإيرانية ، حيث امتد داخل الاراضي العراقية لمسافة بلغت (١٨.٣ كم) من المنبع حتى المصب في نهر دىالى عند مدينة باناور، وكما بلغت مساحة حوضه (٥٧ كم٢) من إجمالي مساحة المنطقة.

الفصل الاول الخصائص الطبيعية والمناخية لمنطقة الدراسة

- **حوض سي حران :** تمتد روافد هذا الحوض داخل الاراضي العراقية فقط وبمسافة تقدر بـ (١٤.٣ كم) إذ تصب مياه مجاريه في نهر ديالى عند مدينة كورة شله ، وتمثل مرتفعات داري ديوان ووزوار المنابع العليا للحوض وقد بلغت مساحته (٥٧.٧) كم^٢ .
- **حوض قرة تو:** يتكون من ألتقاء عدة روافد منها(وادي تالان ونهر جيكران الذي ينبع من مرتفعات جبال جنارة وملاحقا وشاه نشين وبنذرده وكورة موش ودلاهو) الواقعة ضمن الاراضي الأيرانية والتي تمثل المنابع العليا لهذا الوادي، وايضاً يتكون من (وادي كلكري ونهر دلقان و قزل وديشير و ميرك) التي تنبع من مرتفعات (جبل باغ وبيشكان وجبل باو كارة وبيزنيان وأزار وكاوميشان ووزوار قرب الحدود العراقية الايرانية)، إذ يمتد مجراه الرئيس من الجنوب الشرقي باتجاه الشمال الغربي لمسافة (٧٧.٩ كم) ليصب في نهر ديالى عند مدينة سكر العليا إذ شغل مساحة (٧٧٢.٩) كم^٢، صورة (١٤) .
- **حوض بانزمين :** يعد هذا الحوض أصغر أحواض المنطقة، إذ يمتد داخل الاراضي العراقية ولمسافة بلغت (٥.٤ كم) ، إذ ينبع من مرتفعات جبل قشكة وبربجي ويصب في نهر ديالى بالقرب من قرية برنجي* .

صورة (١٤) مصب حوض قورة تو في نهر ديالى



١-٥. الغطاء النباتي:

تتجلى أهمية الغطاء النباتي في حفظ التربة من التعرية وتأثيراتها ويتباين ذلك حسب نوع النبات السائد، إذ إنه يخفف من شدة ارتطام قطرات المطر الساقطة على سطح الأرض وبالتالي يحد من آثار التعرية المائية، أي يساعد

* الدراسة الميدانية و الخرائط الطبوغرافية بمقياس 1:100000، الصادرة عن الهيئة العامة للمساحة، بغداد، لعام 2018م، وأنموذج الارتفاع الرقمي (DEM) باستخدام برنامج الـ Arc map 10.4 (Arc Gis).

الفصل الاول الخصائص الطبيعية والمناخية لمنطقة الدراسة

على تماسك التربة ومنع تفككها وإنجرافها وهو ما يعيق جرف التربة وتعريتها، فضلاً عن أعاقه الجريان المائي السطحي كما يعمل على السماح للمياه بالتسرب الباطني خلال جزيئات التربة عن طريق الممرات الجذرية وبالتالي زيادة مخزون المياه الجوفية ، وكما تساهم النباتات أيضاً في زيادة رطوبة الجو من خلال زيادة نشاط عملية النتح^(١)، وبذلك تقل نسبة حدوث المخاطر البيئية، وقد تم تحليل كثافة الغطاء النباتي وذلك من خلال مؤشر الاختلاف النباتي القياسي الـ (Normalized Difference Vegetation Index (NDVI) إذ يقيس الفرق بين الاختلافات المكانية للانعكاسات الطيفية من النباتات مما يعطي مؤشراً عن كثافة النبات بكل سهولة ويسر وتحديد مناطق انتشار النباتات وتوزعها، إن استعمال دليل الاختلافات النباتية (NDVI) والذي يعد دليلاً مهماً في تمييز كثافة الغطاء النباتي والذي يكون مبنياً على ايجاد العلاقات بين نطاقات المرئية الفضائية وذلك من خلال استعمال نطاق (٥) الـ (NIR) الذي يمثل انعكاسية الاشعة تحت الحمراء القريبة ونطاق (٤) الـ (R) والذي يمثل الاشعة المرئية الحمراء المنعكسة ، إذ كلما زادت كثافة النباتات وكانت بحالة صحية جيدة كلما زاد امتصاصها للاشعة المرئية بوساطة الكلوروفيل لغرض صنع غذائها، وبنفس الوقت تقوم بعكس الاشعة تحت الحمراء الضارة لها، وبالتالي هذا الدليل سيعكس بصرياً ورقمياً حالة الغطاء النباتي من حيث زيادة كثافته أو انعدامه في المنطقة، إذ أستخرجت نتائج الدليل باستعمال برنامج الـ (Arc Gis arc map 10.4) والمرئية الفضائية المأخوذة من القمر الصناعي Landsat LC8 في ١٩ نيسان لعام ٢٠١٨ بدقة ٣٠م وذلك حسب العلاقة الاتية^(٢):

$$NDVI = \frac{NIR - RED}{NIR + RED}$$

إن قيم دليل الاختلاف الخضري الطبيعي تتراوح كما هو معروف بين (-1 و+1) ، وان هذه القيم تزداد بزيادة كثافة الغطاء الخضري، اذ كلما كان الغطاء الخضري كثيفاً كلما كانت قيم الدليل مرتفعة وتقترب من (+1) وعلى العكس تماماً كلما انخفضت كثافة الغطاء الخضري كلما انعكس ذلك على قيم الدليل والتي ستقترب عادة من (-1)^(٣)، وعليه فقد صنفت كثافة الغطاء النباتي في المنطقة بالاعتماد على هذا المؤشر وحسب المعيار المعتمد في الجدول (١٠) ، الى ثلاثة أصناف ، أي أن أراضي المنطقة تعاني من التدهور الشديد والمتوسط والخفيف ، حيث أُنصفت بتباين مساحتها كما في الخريطة (١٩) والجدول (١١) ، وكمايلي:

١) حسن رمضان سلامة ، جغرافية الاقاليم الجافة، دار المسيرة للتوزيع والنشر والطباعة، عمان ، ٢٠١٠، ص١٤٨-١٤٩.

2) Sellers P. J. Vegetation- canopy spectral reflectance and biophysical processes. In Theory and Applications of Optical Remote Sensing. edited by G. Asrar, Wiley, New York: 1989. pp.(279-335).

٣) احمد صالح المشهداني واحمد مدلول الكبيسي ، علم التحسس النائي، وزارة التعليم العالي والبحث العلمي، جامعة بغداد ،كلية الزراعة ،بغداد ، ٢٠١٤، ص٢٧٠.

الفصل الاول الخصائص الطبيعية والمناخية لمنطقة الدراسة

جدول (١٠) درجات تدهور الغطاء النباتي وفق معيار NDVI

قيم الـ NDVI	كثافة الغطاء النباتي	درجة التدهور
القيم السالبة	قليلة جداً	تدهور شديد جداً
٠.١٩ - ٠.٠١	قليلة	تدهور شديد
٠.٢ - ٠.٤٩	متوسطة	تدهور معتدل
٠.٥ - ٠.٧٩	جيدة الكثافة	تدهور خفيف
٠.٨ - ١.٠	كثيفة جداً	غير متدهور

المصدر من عمل الباحثة بالاعتماد على جاسم خلف شلال وعباس مهدي الحسن وعبد الكريم محمد جاسم، استخدام دليل الاختلافات الخضريّة الطبيعي NDVI في تحديد وتقييم حالة تدهور الغطاء النباتي في منطقة جبل سنجان/ محافظة نينوى، المجلة العراقية لعلوم الأرض، المجلد ٧، العدد ١، ١٤-١٥.

• نباتات قليلة الكثافة:

تشغل هذه الفئة أقل نسبة مساحة إذ بلغت (١٠.١ كم^٢) أي بنسبة (٠.٤٧%) من إجمالي مساحة المنطقة، تتوزع على السفوح الشديدة الانحدار ضمن السلال الجبلية حيث الاراضي ذات التربة الضحلة التي تكون عرضة للتعرية المائية بشكل دائم، مما جعلها شبه خالية من الغطاء النباتي وتعاني من تدهور بيئي شديد .

• نباتات متوسطة الكثافة:

تبلغ مساحتها (١١٠.٥ كم^٢) والتي تشكل نسبة (٦٩.٤%) من مجموع المساحة الكلية للمنطقة، إذ تنتشر في اجزاء واسعة على طول ضفاف مجاري الاودية النهرية وبالقرب من السهل الفيضي عند مصبات الاودية في نهر دىالى حيث التكوينات الرسوبية التي تعود الى الزمن الرباعي والتي ساعدت على زراعة هذه الاراضي بالمحاصيل الحقلية، كما تنتشر نباتات الاستبس التي تمكنت من مقاومة الجفاف والملوحة والتي تلي الغابات في إمتدادها إذ تنتشر في الاجزاء العليا الجبلية من المنطقة، بالإضافة الى نباتات ضفاف الانهار سواء أكان نهر دىالى الرئيس ام روافد ونهر عباسان ومن اشهر انواعها القصب والبردي والصفصاف والغَرْب والسوس والحلفاء والعوسج والشوك والنعناع وغيرها، فضلاً عن النباتات المنتشرة في بطون الاودية ، وهذا ما تم ملاحظته خلال الدراسة الميدانية.

• نباتات ذات كثافة عالية :

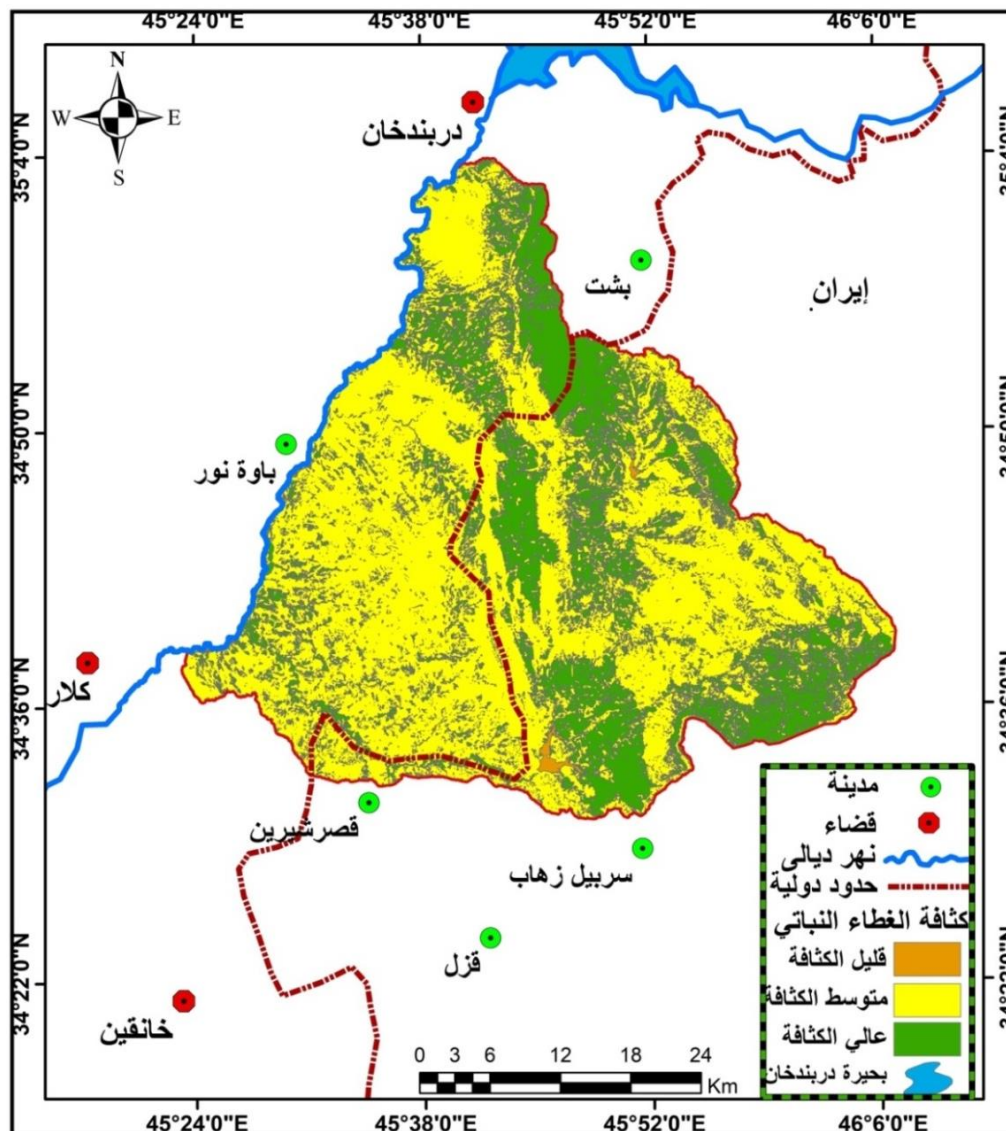
تعد الغابات من أهم مكونات هذه الفئة والتي تتمثل بأشجار كبيرة الحجم ذات اوراق عريضة ومن أهم أشجار الغابات (البوط، السنديان، الجوز)^(١)، إذ تشغل مساحة بلغت (٦٤١.٣ كم^٢) وبنسبة (٢٩.٥%) من مجموع مساحة المنطقة، حيث تنتشر ضمن الاراضي الايرانية بشكل كبير مقارنة مع الاراضي العراقية.

(١) نبراس عباس ياس خضير الجنابي، جيومورفية وهايڊرومورفومترية حوض نهر دىالى في العراق باستخدام تقنية GIS، اطروحة دكتوراه غير منشورة، كلية التربية ابن رشد، جامعة بغداد، ٢٠٠٩، ص ٧٢.

الفصل الاول الخصائص الطبيعية والمناخية لمنطقة الدراسة

إتضح مما سبق إن النباتات المتوسطة والعالية الكثافة شغلت المساحة الاكبر ضمن المنطقة وبذلك فإن أغلب أجزاء المنطقة تعاني من إحتتمالية حدوث المخاطر الجيومورفية ومخاطر السيول.

خريطة (١٩) التوزيع المكاني لكثافة الغطاء النباتي ضمن المنطقة



المصدر: من عمل الباحثة اعتماداً على المرئية الفضائية بتاريخ ٢٠١٨/٤/١٩ ونتائج مؤشر الانعكاس الطيفي القرينة النباتية (NDVI) باستخدام مخرجات برمجيات ArcGis10.4.

جدول (١١) المساحة والنسبة المئوية للغطاء النباتي ضمن المنطقة

النسبة المئوية %	المساحة/كم ^٢	الصنف
٠.٤٧	١٠.١	نباتات قليلة الكثافة
٦٩.٩	١٥١١.٥	نباتات متوسطة الكثافة
٢٩.٧	٦٤١.٣	نباتات عالية الكثافة
١٠٠	٢.١٦٣	المجموع

المصدر: من عمل الباحثة بالاعتماد على الخريطة (١٩).

١-٥-١-١. أنواع النبات الطبيعي :

يتأثر النبات الطبيعي من ناحية توزيعه وكثافته ونوعيته بكل من المناخ وخاصة عنصر المطر إذ يكون هو المتحكم في توزيع النبات الطبيعي فضلاً عن التضاريس والتربة والعامل البشري^(١) ، ويمكن تقسيم النبات الطبيعي في منطقة الدراسة الى الاقسام التالية:

١-٥-١-١. الغابات:

تنتشر الغابات على سفوح سلسلة جبال بامو وزمناكو ضمن الاراضي العراقية ، إذ تنمو على ارتفاع (٦٠٠-١٨٠٠م)^(٢) ، وتضم أشجار البلوط والجوز والصنوبر واللوز البري والسرو والبندق والحبّة الخضراء، ينظر الصورة (١٥) و(١٦) وتتحصر فيما بينها أنواع من الحشائش والاعشاب المعمرة التي تشكل مراعي طبيعة للحيوانات ، كذلك تغطي الغابات مساحات واسعة من سفوح جبال (وارباله وكاورة وكوه وجناره وملاحقا وكليان ودلاهاو) التي تمثل منابع الأودية في الاراضي الايرانية، حيث تكون اشجارها أعلى إرتفاعاً وأكثر كثافة من الاشجار التي تنتشر ضمن الاراضي العراقية.

١-٥-١-٢. نباتات بطون الاودية:

تنمو أنواع من الأشجار والشجيرات والحشائش والاعشاب في بطون الاودية وذلك لتوفر المياه الجارية طوال السنة في بعض الروافد مثل رافد سرتك التابع لحوض عباسان فضلاً عن التربة الجيدة مما يتيح للأشجار أن تنمو فيها مثل أشجار (التوت البري والزعرور والدفلة والشوفان وعرق السوس)^(٣)، يلاحظ الصورة (١٧) و(١٨).

صورة (١٥) الغابات ضمن مرتفعات بامو شمال المنطقة



(٢) محمد مهدي الصحاف، التصريف النهري والعوامل المؤثرة فيه، مجلة الجمعية الجغرافية العراقية، المجلد ٦، ١٩٧٠، ص ٣١.

(٢) شاكر خصيبك، العراق الشمالي ، مصدر سابق، ص ٨٠.

(٣) الدراسة الميدانية بتاريخ ٢٠١٩-٥-٣.

الفصل الاول الخصائص الطبيعية والمناخية لمنطقة الدراسة

صورة (١٦) اشجار الجوز والبلوط على مرتفعات جبل بامو قرب قرية هورين في حوض عباسان



صورة (١٧) نباتات بطون اودية في إحدى روافد حوض كونكل



صورة (١٨) أشجار التوت البري في إحدى روافد حوض عباسان



١-١-٥-٣ نباتات السهوب:

تتمثل بالحشائش القصيرة (الاستيس) التي تنمو في هضاب وتلال المنطقة التي تتفق حدودها الشمالية مع الحدود الجنوبية للنطاق الجبلي أي في الاجزاء الوسطى والجنوبية والجنوبية الغربية من المنطقة والتي تتصف بتباين واضح في كمية التساقط وفي التضاريس، إذ تكون الحشائش أكثر طولاً وكثافة كلما إقتربنا من نطاق الجبال العالية بينما تتحول الى ما يشبه النباتات الصحراوية في الجهات الجنوبية الغربية من المنطقة^(١)، ويكون هذا النوع من النباتات أغلبها حولية تنمو في فصل الامطار منذ اواسط الخريف حتى نهاية الربيع وتترك بذورها في التربة لتنمو من جديد في العام المقبل، ويلاحظ غنى المنطقة بهذا النوع من النباتات إذ تكون على عدة أنواع منها (الخباز الكعوب والزباد والحلبة البرية والبابونج وشقائق النعمان والكلمان والكعوب والانيمون والدقلة)، صورة (١٩) و (٢٠)، وكما تنتشر في هذه الاجزاء من المنطقة النباتات المعمرة التي تنمو طوال السنة وتكيف نفسها لظروف الجفاف صيفاً وبعضها تتساقط اوراقها وتجف صيفاً وتنمو لتجدد حياتها مع بداية سقوط المطر في فصل الخريف وتزدهر في الربيع ومنها الشيح والكيصوم والصمعة غيرها،

١-١-٥-٤ نباتات ضفاف الانهار:

وهي عبارة عن اشجار وشجيرات وحشائش كثيفة تتراوح اطوالها ما بين (١-٣)م تنمو على ضفاف المجاري المائية لحوض عباسان الذي يكون دائم الجريان وكذلك الضفة اليسرى لنهر ديال (سيروان) عند مصبات أودية الاحواض^(٢)، وإن لوجود هذه النباتات اثراً كبيراً في تماسك تربة الاكثاف وذلك لتشابك جذورها إذ تساهم في تثبيت التربة وتقلل من إنجرافها ومن حدوث التجايف الجرفية مانعة بذلك خروج النهر من مجراه الرئيسي، فتعمل هذه الاحزمة الخضراء المحيطة بالنهر على تقليل فواقد التبخر بمقدار (١٥ %) ^(٣)، ومن اهم أشجارها الصفصاف والقصب والغرب والطرفة والاثل والدردار فضلاً عن الحلفة والقوغ الذي غالباً ما يستعمل في البناء، الصورة (٢١) و (٢٢).

(١) شاكر خصباك، العراق الشمالي، مصدر سابق، ص ٨٤.

* الدراسة الميدانية بتاريخ ١٢-٥-٢٠١٩.

(٣) نبراس عباس ياس خضير الجنابي، جيومورفية وهايڊرومورفومترية حوض نهر ديال في العراق باستخدام تقنية GIS، مصدر سابق، ص 83.

صورة (١٩) نبات البابونج ضمن أراضي حوض قورة تو



صورة (٢٠) شقائق النعمان ضمن أراضي حوض قورة تو



الفصل الاول الخصائص الطبيعية والمناخية لمنطقة الدراسة

صورة (٢١) اشجار الصفصاف على ضفاف مجرى مائي لرافد سرتك في حوض عباسان



صورة (٢٢) شجيرات الدفلة على ضفاف منابع رافد سرتك في حوض عباسان



٢-١. البحث الثاني: الخصائص المناخية للمنطقة:

١-٢-١. تحليل العناصر المناخية للمنطقة:

تمهيد:

إن لعناصر المناخ أهمية كبيرة في تحديد هيدرولوجية الأحواض المائية من خلال تحديد كمية التساقط المطري، إذ إن الجريان السطحي يتأثر بشكل مباشر بعناصر المناخ ولا سيما الأمطار، فهناك علاقة طردية بين مقدار كميات الأمطار وكمية المياه الجارية في الأودية والتي من الممكن أن تسبب فيضانات وسيول عارمة وبالتالي فإنها ترتبط ارتباطاً وثيقاً بحدوث المخاطر الجيومورفية في المنطقة.

إن لعناصر المناخ ولاسيما عنصري الأمطار والحرارة تأثير كبير في احتمال حدوث المخاطر الطبيعية كالفيضانات والسيول، فضلاً عن المخاطر الجيومورفية كانهيار التربة وزحف الصخور والانهيارات الأرضية نتيجة التساقط المطري الغزير، إذ إن للتساقط المطري أهمية في التحكم بسرعة وكمية المياه في الأودية الموسمية والدائمة الجريان، وعمليات ألحت والترسيب النهري ونقل الرواسب^(١)، ولأجل إعطاء فكرة عن الخصائص المناخية لآبد من تحليل عناصر المناخ ومحصلة تأثير تلك العناصر مجتمعة مع بعضها في حدوث المخاطر الجيومورفية ضمن المنطقة، وبذلك فقد تم الاعتماد على بيانات الأقمار الصناعية وذلك لعدم وجود محطات رصد أرضية تغطي المنطقة، إذ حلت المعطيات المناخية لمدة (١١) سنة أي من (٢٠٠٨ - ٢٠١٨) م والمرصودة في المحطة (A) التي تمثل النقطة الشمالية الشرقية والمحطة (B) وتمثل النقطة الوسطى والمحطة (C) والتي تمثلها النقطة الجنوبية الشرقية من المنطقة، خريطة (٢٠) والجدول (١٢)، فضلاً عن محطات أخرى مجاورة والمتمثلة بالنقطة (D) وهي شمالية غربية والنقطة (E) وهي جنوبية غربية أعتمدت كمحطات ضابطة لرسم خرائط الأمطار.

جدول (١٢) الموقع الفلكي والارتفاع عن مستوى سطح البحر للمحطات المناخية

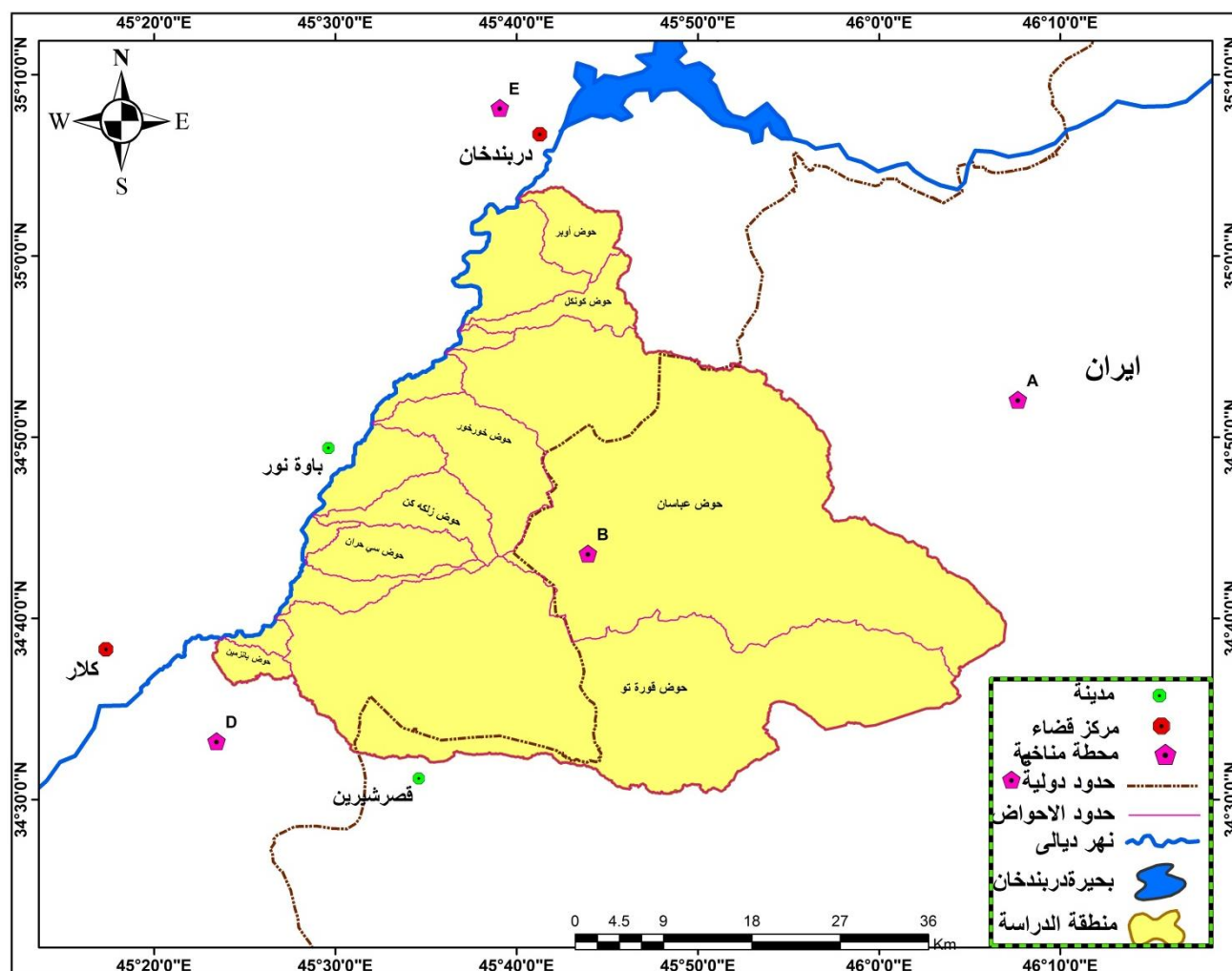
ت	اسم المحطة	الارتفاع فوق	خط الطول/شرقاً	دائرة العرض/شمالاً
١	A	١٠١٧	٤٦.١٢	٣٤.٨٦
٢	B	٧٠١	٤٥.٧٣	٣٤.٧٢
٣	C	٩٩٨	٤٦.٠١	٣٤.٥١
٤	D	٧٢٢	٤٥.٦٥	٣٥.١٣
٥	E	٣٠١	٤٥.٣٩	٣٤.٥٥

المصدر: <https://globalweather.tamu.edu/%F0%9F%91%8D>

^١ (فاضل باقر الحسني، تطور مناخ العراق عبر الأزمنة الجيولوجية والعصور التاريخية، كلية التربية، مجلة الجغرافية، المجلد العاشر، مطبعة العاني، بغداد، ١٩٧٨، ص ٣٧٦).

الفصل الاول الخصائص الطبيعية والمناخية لمنطقة الدراسة

خريطة (٢٠) الموقع الفلكي لمحطات الرصد المناخية لمنطقة الدراسة



<https://globalweather.tamu.edu/%F0%9F%91%8>

وباستخدام برنامج Arc Gis (arc map 10.4).

١-٢-١. الإشعاع الشمسي Solar Radiation :

تعد طاقة الإشعاع الشمسي هي المصدر الاساسي لحرارة الارض وهي المسؤولة عن جميع العمليات التي تحدث في الغلاف الجوي ، كالاضطرابات الجوية والسحب والامطار والرياح والبرق والرعد وغيرها^(١) .

يتبين من الجدول (١٣) إن المعدل العام لعدد ساعات السطوع الشمسي فقد بلغ (٨,٤) ساعة/يوم في المحطة A أما في المحطة B قد بلغ (٨,٩) ساعة/يوم ، وفي المحطة C فقد بلغ (٨,٥) ساعة/يوم، أما أعلى قيم للسطوع الشمسي سجلت خلال فصل الصيف وذلك يعود الى قلة نسبة التغييم وصفاء السماء وخلوها من الغبار، إذ بلغ أعلى معدل (١٢,٨) ساعة/يوم خلال شهر تموز في المحطة A، وكما سجلت المحطة B (١٣,٩) ساعة/يوم، أما المحطة C

^(١) (فاضل باقر الحسني، وآخرون، الطقس والمناخ والارصاد الجوي، مطبعة جامعة بغداد، ١٩٧٧، ص ١٠٠).

الفصل الاول الخصائص الطبيعية والمناخية لمنطقة الدراسة

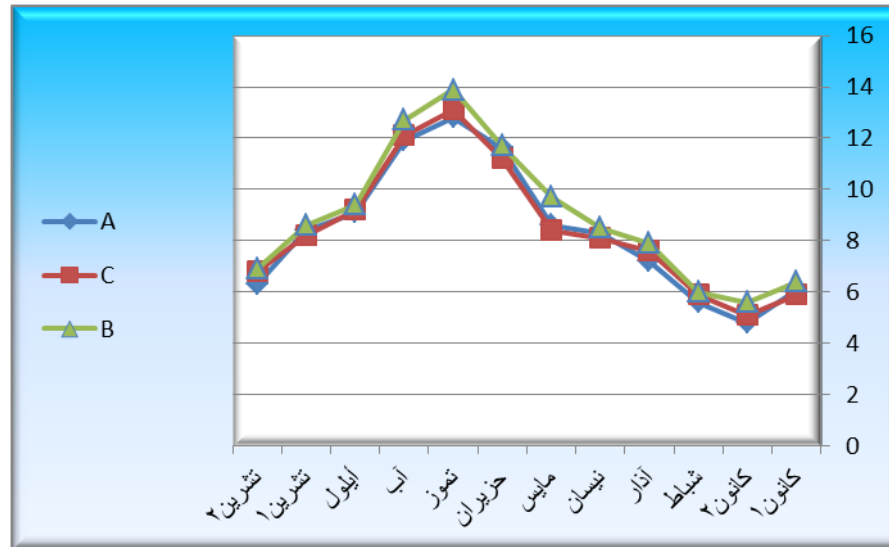
فقد سجلت (١٣.١) ساعة/يوم ، بينما سجلت المحطات المذكورة أعلاه خلال شهر كانون الثاني في فصل الشتاء أدنى معدل والذي بلغ (٤.٨ و ٥.٦ و ٥.١) ساعة/يوم على التوالي ، شكل (٤).

جدول (١٣) المعدلات الشهرية والسنوية لعدد ساعات السطوع الشمسي (ساعة/يوم) ضمن محطات الرصد الفضائية في المنطقة للمدة من (٢٠٠٨-٢٠١٨)م

المحطات الاشهر	A	B	C
كانون ١	٦,١	٦,٤	٥,٩
كانون ٢	٤,٨	٥,٦	٥,١
شباط	٥,٦	٦,٠	٥,٩
آذار	٧,٢	٧,٩	٧,٦
نيسان	٨,٣	٨,٦	٨,١
مايس	٨,٦	٩,٧	٨,٤
حزيران	١١,٦	١١,٧	١١,٢
تموز	١٢,٨	١٣,٩	١٣,١
آب	١١,٩	١٢,٧	١٢,١
أيلول	٩,١	٩,٤	٩,٢
تشرين ١	٨,٤	٨,٦	٨,٢
تشرين ٢	٦,٣	٦,٩	٦,٨
المعدل	٨,٤	٨,٩	٨,٥

المصدر: <https://globalweather.tamu.edu/%F0%9F%91%8D>

شكل (٤) المعدلات الشهرية لمعدل السطوع الشمسي ساعة/يوم ضمن محطات الرصد الفضائية في المنطقة للمدة من (٢٠٠٨-٢٠١٨)م



المصدر: بالاعتماد على بيانات الجدول (١٣).

٢-١-٢-١ درجة الحرارة Temperature Degree:

للحرارة وتغيراتها من مكان لآخر ومن وقت لآخر في المكان الواحد إرتفاعاً وأنخفاضاً أثرها في تكرار حدوث عمليات التمدد والانكماش والتي بدورها تعمل على تفكك الصخور وتوسيع الفواصل والشقوق أي إنها تتحكم بنشاط العمليات الجيومورفية، كما إن الارتفاع في درجات الحرارة ينعكس طردياً على إرتفاع قيم التبخر مما يؤثر في كمية الامطار الساقطة فيؤدي ذلك الى تباين كمية المياه الجارية في مجاري أودية أحواض المنطقة^(١).

من الجدول (١٤) والشكل (٥) إتضح إن المعدل السنوي لدرجة الحرارة العظمى للمحطة (A) (٢٥.٨) م°، فيما سجلت المحطة (B) و (C) معدل بلغ (٢٨ و ٢٥.٥) م° على التوالي، أما المعدل السنوي لدرجة الحرارة الصغرى للمحطات (C,B,A) فقد سجلت (١١.٢ و ١٤.٨ و ١١.٧) م° على التوالي ، أما بالنسبة للمعدلات الشهرية لدرجات الحرارة العظمى فكانت مرتفعة حيث سجلت أعلى معدلاتها خلال شهر تموز إذ بلغت (٤٠.٤) م° ضمن المحطة (A)، أما في المحطة (C,B) فقد سجلت (٤٢.٨ و ٣٩.٩) م° على التوالي، في حين سجل أدنى معدل لدرجات الحرارة خلال فصل الشتاء في شهر كانون الثاني (١.٦ و ٣.٢ و ١.٧) م° على التوالي ضمن المحطات (C,B,A) ، الشكل (٦).

أما معدل العام لدرجات الحرارة فقد سجلت أعلى قيم في فصل الصيف خلال شهر تموز فقد بلغت (٣٠.٦) م° في المحطة (A) و (٣٣.٤ م° و ٣٠.٤ م°) في المحطة (C,B) على التوالي ، أما في فصل الشتاء فإن المعدل العام لدرجة الحرارة يأخذ بالانخفاض التدريجي إذ سجلت أقل القيم خلال شهر كانون الثاني حيث بلغت (٦.٣ و ١٢.٩ و ٦.٣) م° في المحطات (C,B,A) على التوالي، الشكل (٧).

جدول (١٤) المعدلات الشهرية والسنوية لدرجات الحرارة الاعتيادية العظمى والصغرى ضمن محطات الرصد الفضائية في المنطقة للمدة من (٢٠٠٨-٢٠١٨)م

المحطات	A			B			C		
	العظمى	الصغرى	العام	العظمى	الصغرى	الاعتيادية	العظمى	الصغرى	العام
كانون ١	١٣.١	٣.١	٨.١	١٤.٨	٤.٧	٩.٨	١٢.٩	٣.٤	٨.٢
كانون ٢	١٠.٩	١.٦	٦.٣	١٢.٩	٣.٢	١٢.٩	١٠.٩	١.٧	٦.٣
شباط	١٢.٩	٢.٦	٧.٨	١٤.٩	٤.٥	٩.٧	١٢.٩	٢.٨	٧.٩
اذار	١٨.٢	٥.٤	١١.٨	٢٠.٩	٧.٧	١٤.٣	١٨.٤	٥.٦	١٢
نيسان	٢٤.٤	٩.٦	١٧	٢٦.٩	١٢.٤	١٩.٧	٢٤.٥	١٠.١	١٧.٣
مايس	٣٠.٣	١٤.٦	٢٢.٥	٣٣.٢	١٧.٩	٢٥.٦	٣٠.١	١٤.٩	٢٢.٥
حزيران	٣٧.٢	١٨.١	٢٧.٧	٣٩.٨	٢١.٨	٣٠.٨	٣٦.٧	١٨.٥	٢٧.٦

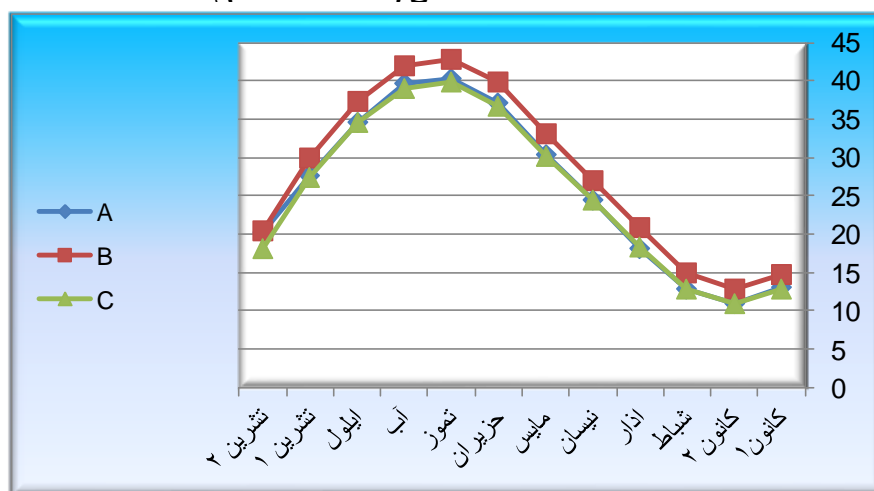
^(١) محمد رمضان مصطفى، محاضرات في الجيومورفولوجيا وتدريباتها العملية، المنار للطباعة الحديثة، القاهرة، بدون تاريخ، ص ٣٤.

الفصل الاول الخصائص الطبيعية والمناخية لمنطقة الدراسة

تموز	٤٠.٤	٢٠.٧	٣٠.٦	٤٢.٨	٢٣.٩	٣٣.٤	٣٩.٩	٢٠.٨	٣٠.٤
أب	٣٩.٦	٢٠.٨	٣٠.٢	٤٢.١	٢٤.١	٣٣.١	٣٩.١	٢٠.٨	٣٠
ايلول	٣٤.٧	١٧.١	٢٥.٩	٣٧.٣	٢٠.٦	٢٩	٣٤.٥	١٧.٣	٢٥.٩
تشرين ١	٢٧.٧	١٢.٧	٢٠.٢	٣٠	١٥.٦	٢٢.٨	٢٧.٥	١٢.٩	٢٠.٢
تشرين ٢	٢٠.٣	٨.٢	١٤.٣	٢٠.٤	٩.٨	١٥.١	١٨.٢	٧.٧	١٨.٢
المعدل	٢٥.٨	١١.٢	١٨.٥	٢٨	١٤.٨	٢١.٣	٢٥.٥	١١.٧	١٨.٩

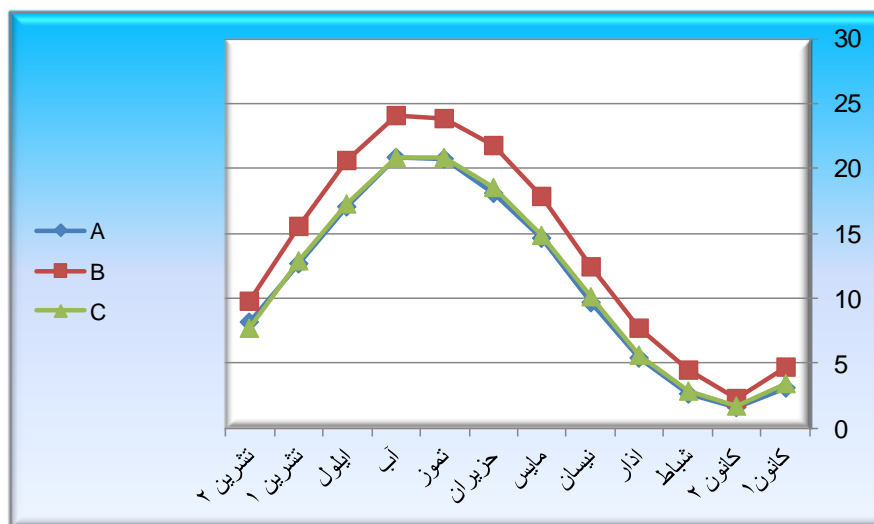
المصدر: <https://globalweather.tamu.edu/%F0%9F%91%8D>

شكل (٥) المعدلات الشهرية لدرجات الحرارة العظمى ضمن محطات الرصد الفضائية في المنطقة للمدة من (٢٠٠٨-٢٠١٨)م



المصدر: أعدته الباحثة بالاعتماد على الجدول (١٤).

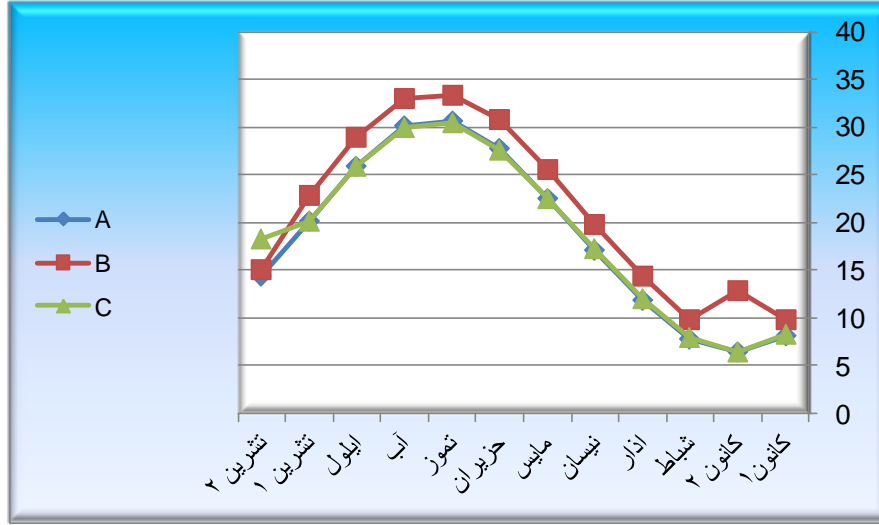
شكل (٦) المعدلات الشهرية لدرجات الحرارة الصغرى ضمن محطات الرصد الفضائية في المنطقة للمدة من (٢٠٠٨-٢٠١٨)م



المصدر: أعدته الباحثة بالاعتماد على الجدول (١٤).

الفصل الاول الخصائص الطبيعية والمناخية لمنطقة الدراسة

شكل (٧) المعدل العام لدرجات الحرارة ضمن محطات الرصد الفضائية في المنطقة للمدة من (٢٠٠٨-٢٠١٨)م



المصدر: أعدته الباحثة بالاعتماد على الجدول (١٤).

٣-١-٢-١. الأمطار Rain fall:

تمثل الأمطار المصدر الأساس للتغذية المائية لأودية أحواض المنطقة، إذ تعتمد نسبة ما تسهم به الأمطار من التصريف المائي على خصائص الأمطار نفسها من حيث الكمية والتركيز والتكرار والتوزيع الزماني والمكاني لها، إذ يزداد حجم الجريان بزيادة مدة سقوط الأمطار وغزرتها حتى تتشبع التربة بالمياه وبالتالي تفوق كمية المياه الجارية فيها على المياه المتسربة والمتبخر منها، فتزداد عمليات التعرية والتجوية من خلال إذابة المواد المعدنية للترب بشكل خاص فعندما تنتشع الصخور بمياه الأمطار وتكوين مواد غرينية فوقها تعمل على إضعاف الصخور الهشة فيؤدي ذلك إلى سقوطها ، وكما إن سقوط الأمطار بكميات كبيرة فوق سفوح المنحدرات يؤدي إلى إنجراف التربة و حركة المواد فوق سطح الأرض^(١).

يشير الجدول (١٥) والشكل (٨) إلى إن هناك تباين في كميات الأمطار الساقطة بين فصول السنة لمحطات المنطقة ، إذ تمتاز المحطة (A) بزيادة كميات أمطارها مقارنة ببقية المحطات الاخرى ، إذ يبلغ مجموع معدل كميات أمطارها السنوية (٤٩٠٣ ملم)، تليها المحطة (C) التي سجلت (٤٤٠٦ ملم)، أما المحطة (B) فقد سجلت أدنى قيم لكميات الامطار والتي بلغت (٤٣٠٦) ملم ، أما على مستوى فصول السنة فتتباين كميات التساقط المطري ، ففي أشهر الشتاء يعكس التساقط المطري الشتوي في المنطقة أعداد المنخفضات الجوية الواصلة إليها والقادمة من

^(١) حيدر محمد حسن الكناي ، هيدرولوجية المياه السطحية لحوض نهر الطيب باستخدام تقنيات الاستشعار عن بعد ونظم المعلومات الجغرافية، رسالة ماجستير غير منشورة، كلية الاداب ،جامعة ذي قار، ٢٠١٤، ص٣٣.

الفصل الاول الخصائص الطبيعية والمناخية لمنطقة الدراسة

الغرب باتجاه الشرق^(١)، إذ سجلت المحطة (A) أعلى مجموع تساقط مطري بلغ (٢١٨.٨ ملم) وكذلك في فصل الربيع و فصل الخريف فقد سجلت المحطة (A) أكبر كمية من الامطار الساقطة مقارنة ببقية المحطات والتي بلغت (١٨٤.١، ٨٧.٤ ملم) على التوالي، أما المحطة (B) فقد شهدت تساقطاً مطرياً قليلاً نسبياً بالمقارنة مع بقية المحطات مما أسهم في جفاف الطبقة السطحية للتربة ومن ثم تشققها

وتفتيتها وهذا ما يهيئ رواسب يسهل تعريتها بواسطة المياه خلال موسم سقوط الامطار.

مما سبق يلاحظ إن فصلي الشتاء والربيع يسهمان بنسبة كبيرة من مجموع كمية الأمطار السنوي وخاصة عند المحطة (A) التي تغذي المنابع العليا لمجري أودية أحواض المنطقة مما يعمل ذلك على تنشيط العمليات الجيومورفية كالتعرية المائية والتجوية الفيزيائية والكيميائية على سفوح المنحدرات فيتترتب على ذلك حركة المواد على سطح المنحدرات .

جدول (١٥) المعدلات والمجاميع الفصلية والسنوية لكميات الامطار الساقطة (ملم) ضمن محطات الرصد الفضائية في المنطقة للمدة من (٢٠٠٨-٢٠١٨)م

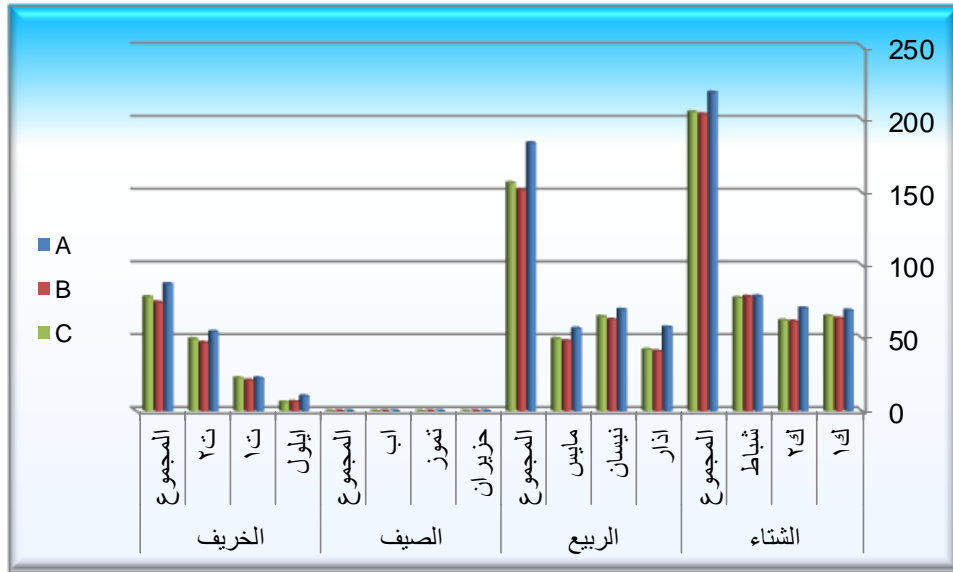
الفصول	المحطات	A	B	C
الشتاء	ك١	٦٩.٢	٦٣.٧	٦٥.٣
	ك٢	٧٠.٧	٦١.٦	٦٢.٣
	شباط	٧٨.٩	٧٨.٦	٧٧.٨
	المجموع	٢١٨.٨	٢٠٣.٩	٢٠٥.٤
الربيع	اذار	٥٧.٦	٤١.١	٤٢.٢
	نيسان	٦٩.٧	٦٢.٨	٦٤.٩
	مايس	٥٦.٨	٤٨.١	٤٩.٧
	المجموع	١٨٤.١	١٥٢	١٥٦.٨
الصيف	حزيران	٠.٠٢٢	٠.٠١٢	٠.٠١٦
	تموز	٠.٠٠٤	٠.٠٠٣	٠.٠٠٣
	اب	٠.٠٠٤	٠.٠٠٤	٠.٠٠٤
	المجموع	٠.٠٣	٠.٠١٩	٠.٠٢٣
الخريف	ايلول	١٠.٢	٦.٤	٦.١
	ت١	٢٢.٦	٢١.٢	٢٢.٧
	ت٢	٥٤.٦	٤٧.١	٤٩.٦
	المجموع	٨٧.٤	٧٤.٧	٧٨.٤
المجموع الكلي		٤٩٠.٣	٤٣٠.٦	٤٤٠.٦

المصدر: <https://globalweather.tamu.edu/%F0%9F%91%8D>

^(١) بدر جدوع احمد المعموري، أثر عامل الارتفاع في التساقط في العراق، مجلة الجمعية العراقية الجغرافية، العدد ٥٢، ٢٠٠٢، ص ١١٠.

الفصل الاول الخصائص الطبيعية والمناخية لمنطقة الدراسة

شكل (٨) المعدلات والمجاميع الفصلية لكميات الامطار ضمن محطات الرصد الفضائية في المنطقة للمدة من (٢٠٠٨-٢٠١٨)



المصدر: بالاعتماد على بيانات الجدول (١٥).

١-٢-٤. التبخر Evaporation

يعد التبخر البداية الاولى للدورة الهيدرولوجية، إذ يرتبط بدرجات الحرارة وشدة السطوع الشمسي وعدد ساعات النهار مما يؤثر ذلك على القيمة الفعلية للأمطار ، حيث يرتبط بعلاقة عكسية مع كمية الامطار الساقطة، ويبرز أثر التبخر في تحديد كمية المياه الجارية في الانهار والادوية الموسمية، إذ أن انخفاض ضائعات التبخر تساعد على زيادة كمية المياه في الجداول والمسيلات المائية والادوية ومجاري الانهار.

من تحليل الجدول (١٦) تبين أن المجموع السنوي لكميات التبخر في المحطات (C,B,A) قد بلغت (٢١٨٢.٣، ٣٢٢٤، ٢٣٠٨.٢) ملم على التوالي، ويصل أعلى قيم للتبخر في فصل الصيف ويعود سبب ذلك إلى ارتفاع معدل الإشعاع الشمسي وطول ساعات النهار وارتفاع درجات الحرارة ، إذ بلغ مجموع كميات التبخر ضمن المحطة (A) خلال هذا الفصل (١١٠٩.٩ ملم) وبلغ ضمن المحطة (B) (١٤٨١ ملم) وضمن المحطة (C) (١١٣٨) ملم ، فيعمل ذلك على تفكك جزيئات التربة بسبب ارتفاع نسبة التبخر وحدوث الجفاف مما يؤدي الى زيادة نشاط عمليات التجوية والتعرية فيسهل انجراف التربة وبالتالي حدوث الانهيارات الارضية ولا سيما على سفوح المنحدرات ، أما مجموع كميات التبخر في فصل الشتاء فتكون منخفضة نظراً لانخفاض درجات الحرارة التي تصل أحياناً إلى ما دون الصفر المئوي، إذ بلغ (١١٥.١) ضمن المحطة (A) وكذلك بلغ (٢٣٤) ضمن المحطة (B) و(١٥٢.٧) ضمن المحطة (C) ، الشكل (٩).

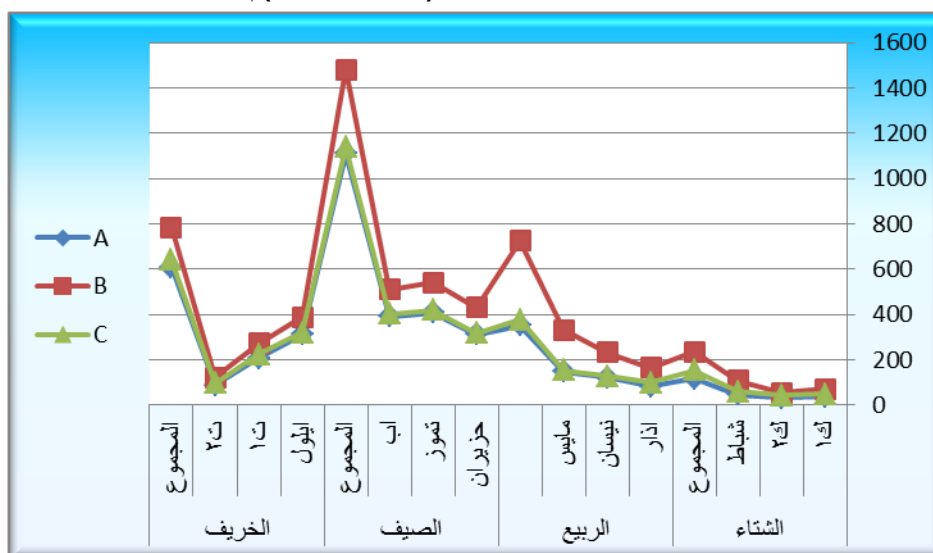
الفصل الاول الخصائص الطبيعية والمناخية لمنطقة الدراسة

جدول (١٦) المجاميع الشهرية والفصلية والسنوية لكميات التبخر ضمن محطات الرصد الفضائية في المنطقة للمدة من (٢٠٠٨-٢٠١٨)م

الفصول	المحطات			
	الاشهر	A	B	C
الشتاء	١ ك	٣٧.١	٧١	٤٩.٤
	٢ ك	٣١.٨	٥٤	٤٣.٩
	شباط	٤٦.٢	١٠٩	٥٩.٤
	المجموع	١١٥.١	٢٣٤	١٥٢.٧
الربيع	اذار	٨١.٨	١٦٤	٩٧.٩
	نيسان	١٢١.٩	٢٣١	١٢٧
	مايس	١٤٦.١	٣٣١	١٥٢
	المجموع	٣٤٩.٨	٧٢٦	٣٧٦.٩
الصيف	حزيران	٣١١.٨	٤٢٩	٣١٧
	تموز	٤٠٧.٢	٥٤١	٤١٩
	اب	٣٩٠.٩	٥١١	٤٠٢
	المجموع	١١٠٩.٩	١٤٨١	١١٣٨
	ايلول	٣١١.٩	٣٨٩	٣٢١
	١ ت	٢٠٦.٨	٢٧١	٢٢٢.٨
	٢ ت	٨٨.٨	١٢٣	٩٦.٨
	المجموع	٦٠٧.٥	٧٨٣	٦٤٠.٦
المجموع السنوي		٢١٨٢.٣	٣٢٢٤	٢٣٠٨.٢

المصدر: <https://globalweather.tamu.edu/%F0%9F%91%8D>

شكل (٩) المجاميع الشهرية والفصلية لكميات التبخر ضمن محطات الرصد الفضائية في المنطقة للمدة من (٢٠٠٨-٢٠١٨)م



المصدر: بالاعتماد على الجدول (١٦).

الفصل الاول الخصائص الطبيعية والمناخية لمنطقة الدراسة

١-٢-٥. الرطوبة النسبية Relative Humidity :

إن للرطوبة النسبية تأثيراً على عمليات التجوية إذ أن ارتفاع الرطوبة في الهواء تؤدي الى زيادة كمية الرطوبة في التربة وبذلك يزداد نشاط التجوية الكيميائية والبايولوجية في الشتاء وإنخفاضها في أشهر الصيف الامر الذي يساعد على زيادة نشاط التجوية الميكانيكية^(١).

يتضح من الجدول (١٧) والشكل (١٠) إن أعلى معدل للرطوبة النسبية قد سجل ضمن المحطة (A) والذي بلغ (٤٦.١%) ، وكما لوحظ إن أعلى القيم سجلت خلال أشهر الشتاء، فقد بلغت في شهر كانون الثاني (٦٦.٤%)، أما أدنى معدل سنوي فقد سجل ضمن المحطة (B) حيث بلغ (٤٠.٥%)، وكما سجلت أدنى القيم خلال أشهر الصيف وخاصة في شهر تموز حيث بلغت (١٩%).

جدول (١٧) معدل الرطوبة النسبية الشهري (ملم) ضمن محطات الرصد الفضائية في المنطقة للمدة من (٢٠٠٨-٢٠١٨)م

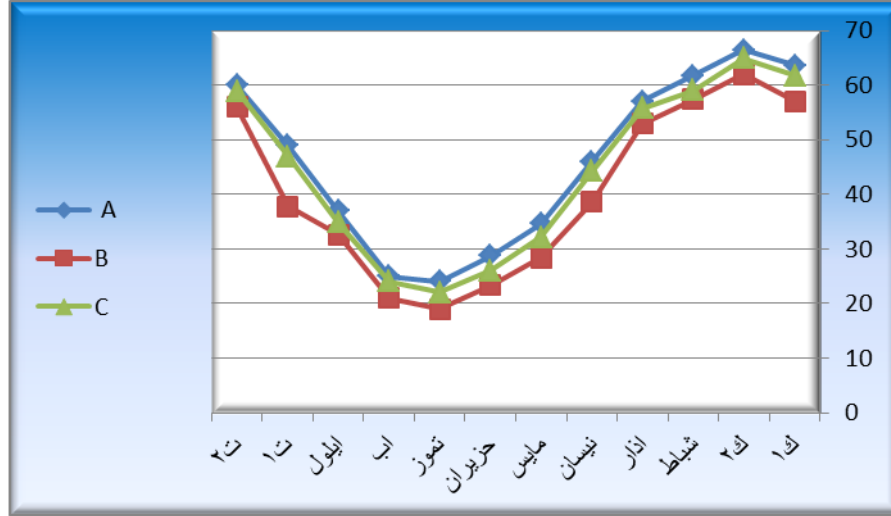
الاشهر	المحطات		
	C	B	A
١ ك	٦١.٧	٥٧	٦٣.٦
٢ ك	٦٤.٩	٦٢	٦٦.٤
شباط	٥٩	٥٧.٤	٦١.٧
اذار	٥٥.٨	٥٣	٥٧
نيسان	٤٤.٣	٣٨.٦	٤٦
مايس	٣٢.١	٢٨.٤	٣٤.٦
حزيران	٢٦	٢٣.٤	٢٨.٨
تموز	٢٢	١٩	٢٤
اب	٢٤	٢١	٢٥
ايلول	٣٤.٩	٣٢.٦	٣٧
١ ت	٤٧	٣٧.٨	٤٩
٢ ت	٥٨.٩	٥٦	٦٠
المعدل العام	٤٤.٣	٤٠.٥	٤٦.١

المصدر: <https://globalweather.tamu.edu/%F0%9F%91%8D>

^(١) احمد عبد الله احمد حمادي ، دور العمليات في تشكيل المظهر الارضي في جزيرة سقطرى ، اطروحة دكتوراه غير منشورة ، كلية التربية (ابن رشد) ، جامعة بغداد ، 2002 ، ص40.

الفصل الاول الخصائص الطبيعية والمناخية لمنطقة الدراسة

شكل (١٠) المعدلات الشهرية للرطوبة النسبية لمحطات الرصد الفضائية في المنطقة للمدة من (٢٠٠٨-٢٠١٨)م



المصدر: بالاعتماد على الجدول (١٧).

١-٢-٦. الرياح Winds :

إن الاختلاف بمعدلات الضغط الجوي ما بين نقطتين على نفس المستوى من سطح البحر يتحكم بهبوب الرياح من مكان الى آخر ، وبذلك فأن الهواء يتجه من مناطق الضغط العالي نحو مناطق الضغط الواطئ ، حيث تزداد سرعة الرياح كلما زاد الفرق بينهما^(١).

من الجدول (١٨) والشكل (١١) يتضح إن أعلى معدل سنوي لسرعة الرياح سجل ضمن المحطة (A) والذي بلغ (٥.٢)م/ث، وقد سجلت أعلى سرعة للرياح خلال شهر آذار إذ بلغت (٧.٧)م/ث ، وكما إن المحطة (B) سجلت أدنى معدل لسرعة الرياح والتي بلغت (٢.٠١)م/ث في شهر تشرين الاول (١.٤)م/ث. إتضح مما سبق إن الاجزاء الوسطى من المنطقة والتي تمثلها المحطة (B) هي التي تكون فيها الرياح بإقل سرعة لها وذلك بسبب وقوعها ضمن جهات ذات قمم جبيلة شديدة الارتفاع تعمل كمصدات للرياح.

جدول (١٨) المعدلات الشهرية لسرعة الرياح (م/ث) ضمن محطات الرصد الفضائية في المنطقة للمدة من (٢٠٠٨-٢٠١٨)م

المحطات الاشهر	C	B	A
١ ك	٢,٦	١,٥	٣,٥
٢ ك	٣,٥	٢,١	٤,٣
شباط	٤,٤	٢,٤	٥,٦
آذار	٦,٥	٢,٧	٧,٧
نيسان	٦,٣	٢,٧	٧,٥

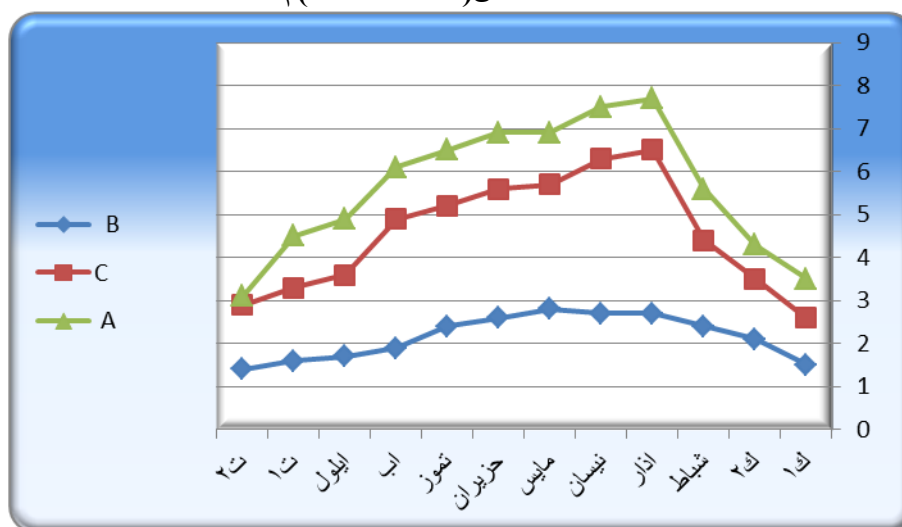
^(١) عبد الغني جميل سلطان، الجو عناصره وتقلباته، منشورات وزارة الثقافة والاعلام السلسلة العلمية، ١٩٩٥، ص ١٠٧.

الفصل الاول الخصائص الطبيعية والمناخية لمنطقة الدراسة

مايس	٦,٩	٢,٨	٥,٧
حزيران	٦,٩	٢,٦	٥,٦
تموز	٦,٥	٢,٤	٥,٢
اب	٦,١	١,٩	٤,٩
ايلول	٤,٩	١,٧	٣,٦
ت ١	٤,٥	١,٦	٣,٣
ت ٢	٣,١	١,٤	٢,٩
المعدل العام	٥,٢	٢,٠١	٣,٧

المصدر: <https://globalweather.tamu.edu/%F0%9F%91%8D>

شكل (١١) معدل سرعة الرياح الشهري (ملم) ضمن محطات الرصد الفضائية في المنطقة للمدة من (٢٠٠٨-٢٠١٨)م



المصدر: أعدته الباحثة بالاعتماد على الجدول (١٨).

٢-٢-١. خصائص الأمطار في المنطقة وتوزيعها الزمني والمكاني:

تعد الامطار من أكثر العناصر المناخية التي تتغير كمياتها بصورة واضحة، سواء على المستوى الزمني (السنوي ، الشهري ،اليومي ،الساعي) أو المكاني، فتوزيع الامطار يتأثر بصورة مباشرة اوغير مباشرة بعدة عوامل طبيعية ومتغيرات جوية منها الموقع بالنسبة لدائرة العرض والارتفاع عن مستوى سطح البحر والبعد عن المؤثرات البحرية. وبطبيعة الحال إن موقع المنطقة له دور مهم في التأثير على كمية الامطار الساقطة وكذلك سطحها الذي يتصف بشدة تضرسه وبأرتفاعاته المتباينة ، وكذلك تمر المنطقة حالات عدم إستقرار جوي ناتجة عن تحرك المنخفضات الجوية باتجاه شرق البحر المتوسط والجباهات الهوائية الباردة المرافقة لها وبالتالي وصول تأثيرها الى العراق ومن

الفصل الاول الخصائص الطبيعية والمناخية لمنطقة الدراسة

ضمنها منطقة الدراسة^(١)، لذا فإن أمطار المنطقة تعود الى نظام أمطار البحر المتوسط أي تسقط من منتصف الخريف حتى نهاية فصل الربيع.

إن دراسة التباين الزمني والمكاني للأمطار يساهم في توضيح وإبراز الخصائص المطرية في المنطقة ، وبالتالي معرفة توزيع الامطار ومعرفة مدلولاتها.

١-٢-٢-١. التباين الزمني للأمطار في المنطقة:

تكون الامطار متباينة في كميتها من سنة لاخرى ومن فصل ومن شهر لاخر ومن يوم لاخر، إذ يوجد أنواع من التباين الزمني لسقوط الامطار منها:

- التباين السنوي ونعني به التفاوت ما بين الزيادة أو النقصان في كميات الامطار السنوية الساقطة.

بلغ المعدل السنوي لكميات الامطار الساقطة (٤٩٠.٣ ملم، ٤٣٦.٤ ملم، ٤٤٠.٦ ملم) ضمن محطات المناخية لمنطقة الدراسة (C,B,A) على التوالي وذلك خلال المدة المدروسة والتي إنحصرت بين عامي (٢٠٠٨ - ٢٠١٨ م)، إذ لوحظ إن أعلى كمية امطار سجلت خلال الموسم المطري (٢٠١٧-٢٠١٨) فقد بلغت (٧١٠) ملم ضمن المحطة (A) (٦٦١) ملم ضمن المحطة (B) أما في المحطة C فقد بلغت (٧٠١) ملم، كما في الجدول (١٩) والشكل (١٢)، أي إن هذا العام كان الاغزر مطراً في جميع محطات المنطقة لذا فقد أعتمد لاستخراج الشدات المطرية التي يكون لها اعظم تأثير في التدهور البيئي للمنطقة.

- تباين الامطار فصلياً وشهرياً وذلك باختلاف المجموع الفصلي والشهري لكميات الامطار في المنطقة ، كما ذكر سلفاً.

- تغير دوري ، وتظهر فيه التباينات بكميات الامطار الساقطة على شكل دورات قصيرة في زمنها أو طويلة ، أي تكون هذه التغيرات لدورة سنوية أو يومية وذلك عندما تسقط الامطار في يوم واحد خلال فترة زمنية قصيرة وبكميات تعادل سقوطها لمدة شهر كامل^(٢)، والتي تتمثل بالشدات المطرية التي سوف يتم تناولها بالتفصيل لاحقاً.

(١) حسن عبد الكريم حسن اللوح، التذبذب الزمني والاختلاف المكاني للأمطار في الضفة الغربية وقطاع غزة خلال الفترة (١٩٩٥ - ٢٠١٤) م، رسالة ماجستير غير منشورة ، كلية الاداب، الجامعة الاسلامية ، غزة، ٢٠١٧، ص ٥٢.
(٢) بفرين جاسم محمد علي الجباري، سعدية عاكول منخي الصالحي، أثر التساقط على الجريان السطحي في حوض نهر الزاب الصغير، مجلة الاداب، ملحق العدد ١١٩، ٢٠١٦ م، ص ٣١٦.

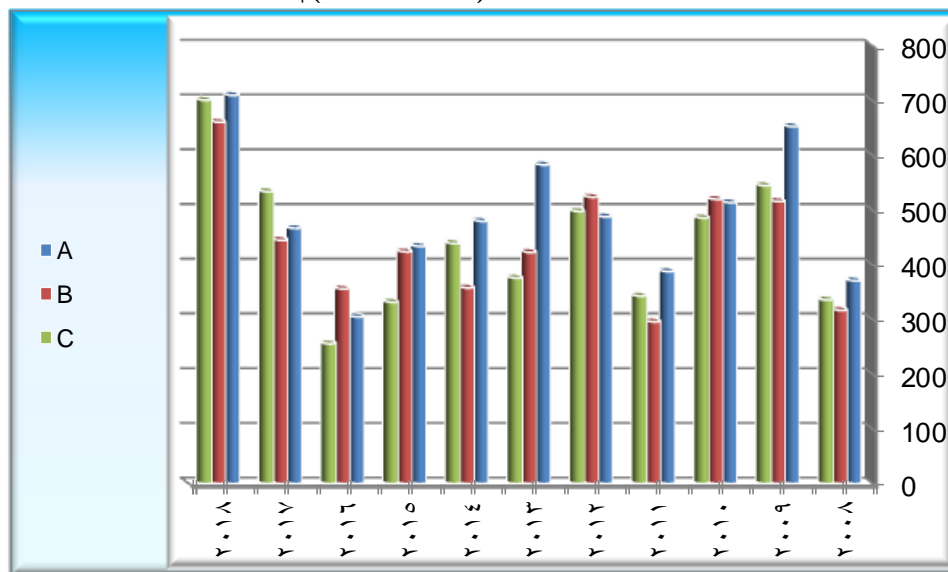
الفصل الاول الخصائص الطبيعية والمناخية لمنطقة الدراسة

جدول (١٩) معدلات مجاميع كميات الأمطار السنوية ضمن محطات الرصد المناخية الفضائية في المنطقة للمدة من (٢٠٠٨-٢٠١٨)م

السنوات	كميات الامطار / ملم		
	C	B	A
٢٠٠٨	٣٣٦	٣١٧	٣٧١
٢٠٠٩	٥٤٥	٥١٦	٦٥٣
٢٠١٠	٤٨٦	٥٢٠	٥١٤
٢٠١١	٣٤٣	٢٩٦	٣٨٨
٢٠١٢	٤٩٨	٥٢٤	٤٨٨
٢٠١٣	٣٧٦	٤٢٣	٥٨٣
٢٠١٤	٤٣٩	٣٥٨	٤٨٠
٢٠١٥	٣٣٢	٤٢٤	٤٣٤
٢٠١٦	٢٥٦	٣٥٦	٣٠٥
٢٠١٧	٥٣٤	٤٤٥	٤٦٧
٢٠١٨	٧٠١	٦٦١	٧١٠
المعدل السنوي	٤٤٠.٦	٤٣٦.٤	٤٩٠.٣

المصدر: <https://globalweather.tamu.edu/%F0%9F%91%8D>

الشكل (١٢) متوسط مجاميع كميات الامطار السنوية ضمن المحطات المناخية في المنطقة للمدة من (٢٠٠٨-٢٠١٨)م



المصدر: من عمل الباحثة بالاعتماد على بيانات الجدول (١٩).

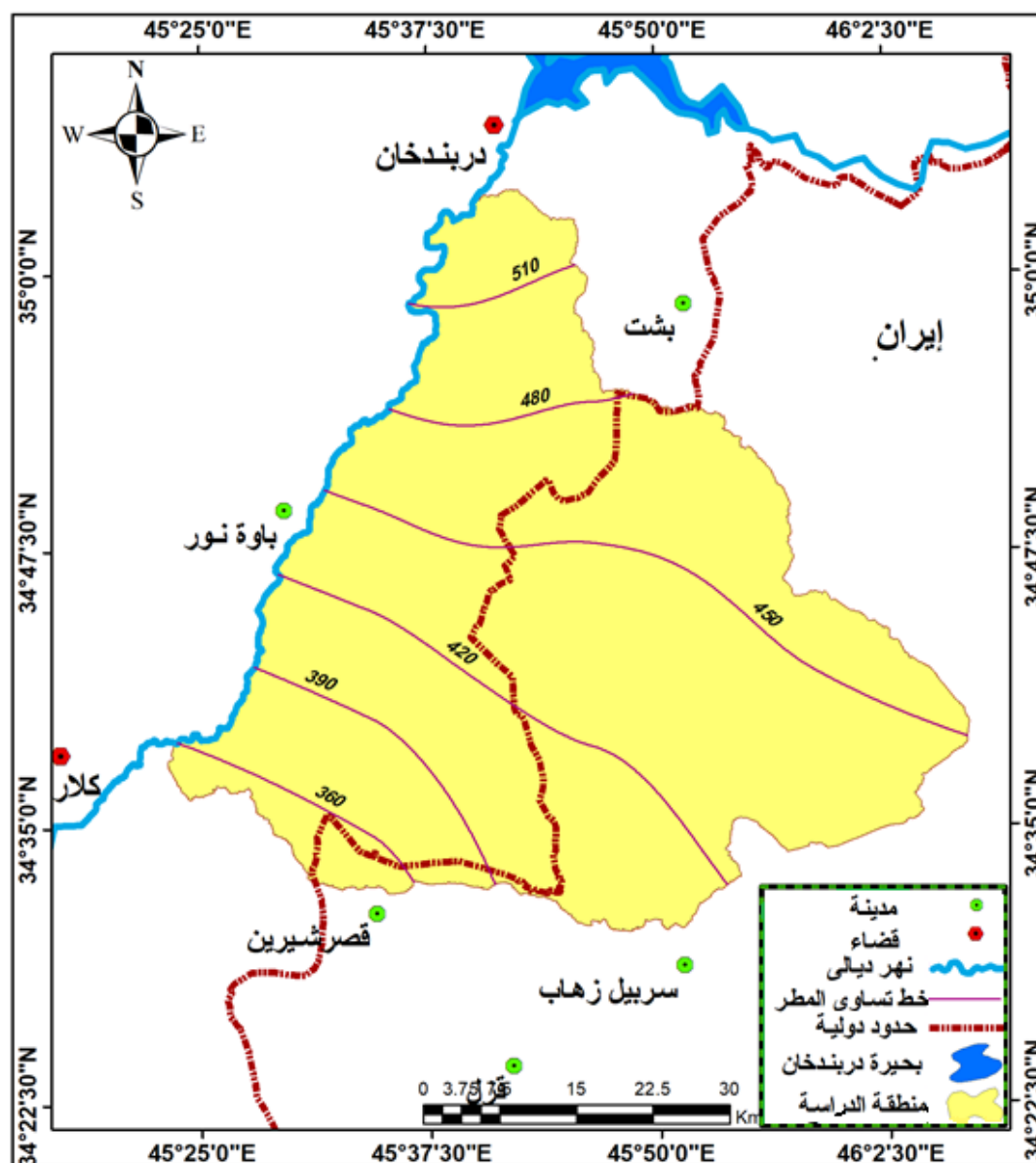
٢-٢-٢-١. التباين المكاني للأمطار في المنطقة:

تتباين كميات الامطار بين منطقة وأخرى وبين إقليم وآخر وذلك بسبب تأثير بعض العوامل التي ذكرت سلفاً، لذا فإن الجهات الشمالية الشرقية التي تقع ضمن الاراضي الايرانية التي تمثلها المحطة A سجلت أعلى كميات للامطار

الفصل الاول الخصائص الطبيعية والمناخية لمنطقة الدراسة

وذلك لانها تمتاز بشدة تضرسها حيث تسود فيها الجبال العالية التي يكون لها تأثير واضح في زيادة كمية الامطار حيث إن هناك علاقة طردية بين زيادة كمية الامطار وبين الارتفاع عن مستوى سطح البحر، أي إن الزيادة في كمية الأمطار تتماشى مع الزيادة في الارتفاع ، مما يعمل ذلك الى اضافة عامل ميكانيكي لرفع الهواء الى الاعلى ثم تكاثفه^(١)، بينما سجلت المحطة B أدنى كمية للامطار والمتمثلة بالجهات الوسطى من المنطقة والتي تتصف بكونها مناطق منخفضة نسبياً وقليلة التضرس، الخريطة (٢١) والشكل (١٣).

خريطة (٢١) كميات الامطار السنوية ضمن محطات الرصد المناخية الفضائية في المنطقة للمدة من (٢٠٠٨-٢٠١٨)م



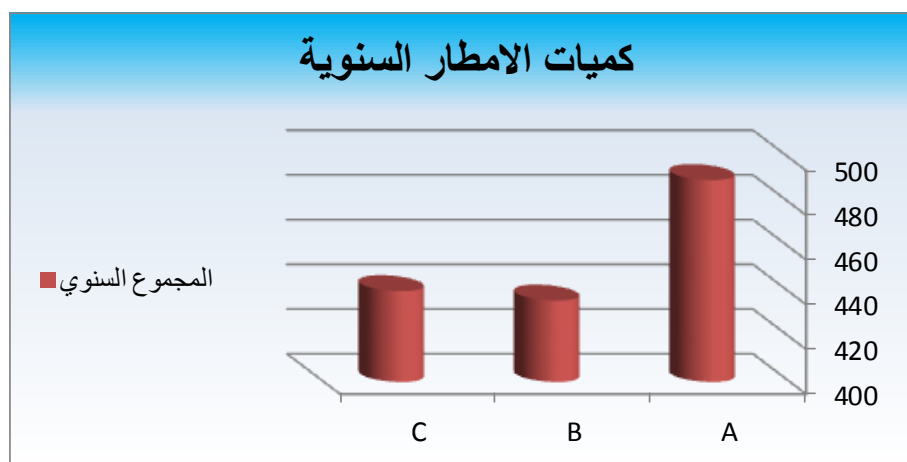
<https://globalweather.tamu.edu/%F0%9F%91%8>

وباستخدام برنامج Arc Gis (arc map 10.4).

^(١) سالار علي خضير الدزبي وبشرى احمد جواد و عبير احمد حسين، الامطار الصيفية الفجائية في العراق، دراسة في المناخ الشمولي ، مجلة الاستاذ العدد (٦١) ، ٢٠٠٧، ص ٥٧٠.

الفصل الاول الخصائص الطبيعية والمناخية لمنطقة الدراسة

شكل (١٣) متوسط كميات الامطار السنوية ضمن محطات الرصد المناخية الفضائية للمدة من (٢٠٠٨-٢٠١٨)م



المصدر: بالاعتماد على جدول (١٩).

١-٢-٣. الشدة المطرية Rainfall Intensity:

من خصائص الأمطار هي الشدة أو غزارتها وأستمراريتها خلال فترات زمنية معينة ، ويقصد بالشدة المطرية هي كمية الامطار الساقطة على المتر المربع من سطح الارض خلال مدة زمنية معينة، وكما تسمى الكميات المطرية اليومية الغزيرة بالعاصفة المطرية (Rain Storm) ، أما الاستمرارية فتشير الى الفترة الزمنية التي يستغرقها سقوط المطر بدون إنقطاع ويعبر عنها في بعض الاحيان بكثافة المطر^(١) ، وتكون العلاقة بين الشدة والاستمرارية علاقة عكسية إذ كلما زادت شدة المطر كلما قصر زمن إستمراريتها وإن الشدد العالية نادرة الحدوث وتكرارها قليل جداً وإذا ما حصلت فإن آثارها مهمة وخطيرة ، ويمكن ان تحدث هذه بصفة الشدة بدورية أو تكرار معين حسب طبيعة مناخ المنطقة، إذ توجد تكرارية عالية في المنطقة الجبلية وخاصة في الاجزاء الشمالية الشرقية من العراق والتي تكون من ضمنها منطقة الدراسة^(٢).

وتعد الشدة والاستمرارية من الخصائص المهمة في كثير من الجوانب التطبيقية ، فالتغيرات التي تحدث لهاتين الخاصيتين من زيادة او نقصان تؤثر بدرجة كبيرة في الجريان السطحي للمياه وعلى وضعية التربة وقابليتها للانجراف او النفاذية وعلى حالة المياه الجوفية والنبات الطبيعي^(٣).

فالشدة العالية والاستمرارية الطويلة قد تعرض الكثير من المنشآت للخسائر والتخريب الناجم عن الفيضانات ، لذا فدراسة هاتين الخاصيتين واحتمالية تكرارهما يساعد في اتخاذ الإجراءات المناسبة لتجنب تلك الخسائر ، وهي

1) Chorely .j. Richard , " Water , Earth , Man " , London Methuen 8 coltd .p. 117 .

^(٢) عبد الحسن مدفون أبو رحيل و رزاق حسين هاشم العبيدي، الشدة والاستمرارية للامطار الساقطة في العراق،،كلية الاداب ، جامعة الكوفة،ص٣٣، من شبكة الانترنت <https://www.iasj.net/iasj?func=fulltext&aId=126089>.

^(٣) نهاد خضير كاظم الكناي، تحليل زماني ومكاني لخصائص الامطار الساقطة وسلاسلها الزمنية في العراق للتنبؤات بسنوات الجفاف، رسالة ماجستير غير منشورة ، كلية التربية للبنات ،جامعة الكوفة، ٢٠٠٥، ص٨٢.

مهمة في كثير من الدراسات كالدراسات الهيدرولوجية والزراعية والتي تتضمن عمليات تصميم وبناء السدود وحساب الجريان السطحي وعمليات تصميم مشاريع الري والصرف وكذلك في مجالات التربة ، وفي عمليات تصميم المدن خاصة فيما يتعلق بعمليات تصميم وبناء الطرق والشوارع الملائمة لاستيعاب وتصريف ما قد يفيض من المياه^(١).

١-٢-٣-١ حساب الشدات المطرية:

تتعرض المنطقة بشكل دائم الى حدوث عواصف مطرية فجائية ومتباعدة من حيث شدتها ونظام تكرارها ، إذ تتغير بتغير الزمان الذي تحدث فيه، لذا وجب التطرق الى دراسة العواصف المطرية الغزيرة الساقطة على المنطقة وذلك للتنبؤ بحدوث السيول العارمة والفيضانات ومحاولة إقامة مشاريع حصاد مياه لخزنها والاستفادة منها في موسم الجفاف ، وكذلك للتخفيف من شدة الفيضانات السيلية التي تحدث في المواسم الرطبة وبالتالي التقليل من مخاطر جرف التربة والمخاطر الجيومورفية والتدهور البيئي الذي يحدث بسببها.

- تحليل الموسم المطري (٢٠١٧-٢٠١٨):

تتباين تصانيف كثافة التساقط المطري على مستوى هيئات الارصاد الجوي في الدول وعلى مستوى الباحثين ، وفي هذه الدراسة قد تم تحديد الشدة المطرية حسب التصنيف المعتمد من قبل الهيئة العامة للأنواء الجوية العراقية والمديرية العامة للأنواء والرصد الزلزالي ، إذ إن كمية مياه الامطار الساقطة التي تزيد كثافتها عن (٦ ملم/ ساعة) تعد شدة مطرية^(٢).

بعد تحليل البيانات المأخوذة من الموقع <http://chrsdata.eng.uci.edu/> التابع لمحطات الرصد الفضائية ، تبين إن الموسم المطري (٢٠١٧-٢٠١٨)م هو الاغزر مطراً في جميع نقاط محطات الرصد الجوي التي تغطي المنطقة كما ذكر سلفاً، لذا فقد أعتمدت بيانات هذا الموسم أنموذجاً لتوضيح أثر الشدة المطرية على المنطقة.

يبدأ الموسم المطري من (٢٠١٧/٩/١) حتى (٢٠١٨/٩/٣٠) ويبين الجدول (٢٠) و (٢١) و (٢٢) كميات الامطار ومدى استمرارية سقوطها ضمن محطات الرصد الفضائي للمنطقة، إذ سجلت تكراراً متبائناً لكثافة التساقط المطري ، حيث سجلت المحطة (A) مجموع مياه بلغ (٥٢١ ملم/ساعة) خلال (٥٣) يوم ولمدة (٩٩) ساعة أي أن عدد الايام المطيرة بلغت (٤) أيام، أما المحطة (B) فقد بلغت كمية التساقط المطري فيها (٥٠٩ ملم/ساعة) سقطت خلال (٥٤) يوم

٤) ناصر مالمك عبود الكناني، الامطار القياسية اليومية في العراق (دراسة شمولية)، مجلة كلية التربية، العدد الثامن، جامعة واسط ، ص ٤٦ من شبكة الانترنت <https://www.iasj.net/iasj?func=fulltext&aId=104120>

٢) سحر شفيق ، تصنيف شدة أنواع الهطول المطري ، الهيئة العامة للأنواء الجوية والرصد الزلزالي، بغداد، ٢٠٠٠.

الفصل الاول الخصائص الطبيعية والمناخية لمنطقة الدراسة

ولمدة (١٠٨) ساعة وكما بلغت عدد الايام الممطرة (٤.٥) يوم، وكذلك المحطة (C) فقد بلغت كمية التساقط المطري فيها (١٧٥ ملم/ساعة) والتي سقطت خلال (٤٨) يوم ولمدة (١٠٢) ساعة وبعدد (٤.٣) يوم مطير.

جدول (٢٠) بيانات التساقط المطري في الموسم (٢٠١٧-٢٠١٨) ضمن المحطة A

التاريخ	الامطار / ملم	الاستمرارية بالساعات	التاريخ	الامطار / ملم	الاستمرارية بالساعات
١٠/٢٢	٣	١	٣/٢٤	٥	٢
١١/٣	٦	٢	٣/٢٥	٣	١
١١/٤	٤	١	٣/٢٨	١٠	٣
١١/١٩	٣	١	٣/٢٩	١٩	٢
١١/٢٠	٢٣	٣	٣/٣٠	٣	١
١١/٢١	٩	٣	٤/٣	٣	١
١١/٢٢	٥	٢	٤/٦	٦	٢
١١/٢٥	٤	١	٤/١١	١٨	٢
١٢/٥	٣	١	٤/١٢	٩	٣
١١/٦	٥	٢	٤/١٥	٨	٣
١٢/٢٠	٧	٢	٤/٢٠	٣	١
١٢/٢١	٣	١	٤/٢٥	٣	١
١٢/٢٢	٣	١	٤/٢٦	٥	٢
١٢/٢٤	١٦	٢	٤/٢٧	٥	٢
١٢/٢٥	٣	١	٤/٢٨	٣١	٤
١٢/٢٩	٥	١	٥/٣	٤	١
١٢/٣٠	١٥	٢	٥/٤	٢١	٢
١/١	٧	٢	٥/٥	٩	٣
١/٥	٨	١	٥/٧	١٠	٢
١/١١	٤	١	٥/٨	٣	١
١/٢٢	٤	١	٥/٩	٣٦	٤
١/٢٧	٩	٣	٥/٢١	٥٨	٣
٢/١٢	٤	١	٥/٢٢	٨	٢
٢/١٧	٦	٢	٥/٢٣	٣	١
٢/٢٣	١٦	٢	٥/٢٤	٣٢	٣
٣/١٩	١٨	٢	٥/٢٥	٥	٢
٣/٢٣	٦	٢	٥/٢٦	٣	١

المصدر: من عمل الباحثة بالاعتماد على الموقع <http://chrsdata.eng.uci.edu/>

الفصل الاول الخصائص الطبيعية والمناخية لمنطقة الدراسة

جدول (٢١) بيانات التساقط المطري في الموسم (٢٠١٧-٢٠١٨) ضمن المحطة B

التاريخ	الامطار / ملم	الاستمرارية بالساعات	التاريخ	الامطار / ملم	الاستمرارية بالساعات
١١/٣	٢٢	٣	٢/٢٦	٦	٢
١١/٤	٣	١	٢/٢٧	١٠	٣
١١/٦	٣	١	٣/٦	٥	٢
١١/٧	١٧	٢	٣/٧	٩	٣
١٢/٥	٣	١	٣/١٢	٤	١
١٢/٦	٤	١	٣/١٦	٩	٢
١٢/١٣	١٣	١	٣/٢٤	٦	٢
١٢/١٤	٧	٢	٣/٢٥	٦	٢
١٢/١٩	٤	١	٣/٢٨	٤	١
١٢/٢٠	٥	٢	٣/٢٩	١٨	٢
١٢/٢١	٣	١	٤/٣	٣	١
١٢/٢٤	٩	٣	٤/١٠	٣	١
١٢/٢٩	٥	٢	٤/١١	٢٧	٣
١٢/٣٠	٦	٢	٤/١٢	٧	٢
١/١	٨	٣	٤/١٣	٨	١
١/١١	٥	٢	٤/٢٠	٥	٢
١/٢٧	٥	٢	٤/٢١	٥	٢
٢/٩	١٠	٣	٤/٢٦	١٠	٢
٢/١٠	١١	١	٤/٢٧	١٧	٢
٢/١١	١٠	٣	٥/٢	٦	٢
٢/١٢	٥	٢	٥/٣	٣	١
٢/١٣	٨	١	٥/٥	٢٤	٣
٢/١٦	٢٦	٣	٥/٦	١٩	٢
٢/١٧	٩	٣	٥/٧	٣٦	٤
٢/١٨	٢٤	٣	٥/٨	١٠	٣
٢/١٩	٥	٢	٥/١٢	٧	٢
٢/٢٢	٨	٣	٥/٢٩	٤	١

المصدر: من عمل الباحثة بالاعتماد على الموقع <http://chrdata.eng.uci.edu/>

جدول (٢٢) بيانات التساقط المطري في الموسم (٢٠١٧-٢٠١٨) ضمن المحطة C

التاريخ	الامطار / ملم	الاستمرارية بالساعات	التاريخ	الامطار / ملم	الاستمرارية بالساعات
١١/٣	٥	٢	٣/١٠	٥	٢

الفصل الاول الخصائص الطبيعية والمناخية لمنطقة الدراسة

٢	٦	٣/١٦	٢	٧	١١/٤
٢	٥	٣/١٩	١	٣	١١/٢٠
٢	٥	٤/٣	٣	٦	١١/٢١
٢	٧	٤/٦	١	٥	١٢/١٩
٢	٥	٤/١٠	٢	١٧	١٢/٢٠
٥	٤٤	٤/١١	٤	١٣	١١/٢٤
٢	٩	٤/١٢	١	٣	١٢/٢٥
٢	٨	٤/١٥	٤	٣٢	١/١
٣	١١	٤/٢١	٢	١٦	١/٥
٢	٧	٤/٢٢	١	٤	١/٢٧
٢	٥	٤/٢٦	٣	١١	٢/١١
٤	٣٤	٤/٢٨	١	٣	٢/١٢
٢	٧	٥/٢	١	٣	٢/١٣
٣	١٠	٥/٣	١	١٤	٢/١٥
٣	١١	٥/٥	٣	٢٤	٢/١٦
٢	٥	٥/٦	٢	٧	٢/١٧
٢	٢٠	٥/٧	٢	١٦	٢/١٨
٢	١٨	٥/٨	١	٤	٢/١٩
٢	٧	٥/٩	١	٥	٢/٢١
٣	٢٤	٥/١٠	١	٤	٢/٢٢
٢	٦	٥/١١	٣	٩	٢/٢٣
٢	١٣	٥/٢٢	٢	١٧	٢/٢٧
٢	٧	٥/٢٩	١	١٠	٣/٦

المصدر: من عمل الباحثة بالاعتماد على الموقع <http://chrsdata.eng.uci.edu/>

أتضح مما سبق إن هناك (١٣) شدة مطرية سقطت خلال (١٣) يوم في (٣٢) ساعة وبمجموع مياه بلغ (٣١١ ملم/ساعة) أي بنسبة (٥٩.٧%) من مجموع كميات التساقط المطري للموسم المطري (٢٠١٧-٢٠١٨) م ضمن المحطة (A)، كما في الجدول (٢٥).

أما في المحطة (B) فقد هطلت (١٤) شدة مطرية خلال (١٤) يوم وبعدد ساعات بلغت (٣١) ساعة، وبكمية مياه بلغت (٢٧٠ ملم/ساعة) أي بنسبة (٥٣.١%) من مجموع كميات التساقط المطري للموسم المطري (٢٠١٧-٢٠١٨) م.

وكما إن مجموع كمية المياه للشدات المطرية في المحطة (C) قد بلغ (٢٥٠ ملم/ساعة) أي بنسبة (٤٨.٤%) من مجموع كميات التساقط للموسم المطري (٢٠١٧-٢٠١٨)، حيث سقطت خلال (١١) شدة مطرية في (١١) يوم وبعدد ساعات (٢٩) ساعة.

الفصل الاول الخصائص الطبيعية والمناخية لمنطقة الدراسة

جدول (٢٣) أعلى كمية مياه للشدات المطرية ملم /ساعة ومقدار أستمراريتها ضمن محطات المنطقة للموسم المطري (٢٠١٧-٢٠١٨)م

المحطات	تسلسل الشدة المطرية	التاريخ	الامطار الساقطة/ملم	الاستمرارية/الساعة	الشدة المطرية ملم/ساعة	النسبة المئوية %
المحطة A	١	٢٠١٧/١١/٢٠	٢٣	٣	٧.٧	٧.٤
	٢	٢٠١٧/١٢/٢٤	١٦	٢	٨	٥.٢
	٣	٢٠١٧/١٢/٣٠	١٥	٢	٧.٥	٤.٨
	٤	٢٠١٨/١/٥	٨	١	٨	٢.٣
	٥	٢٠١٨/٢/٢٣	١٦	٢	٨	٥.٢
	٦	٢٠١٨/٣/١٩	١٨	٢	٩	٥.٨
	٧	٢٠١٨/٣/٢٩	١٩	٢	٩.٥	٦.١
	٨	٢٠١٨/٤/١١	١٨	٢	٩	٥.٨
	٩	٢٠١٨/٤/٢٨	٣١	٤	٧.٨	١٠
	١٠	٢٠١٨/٥/٤	٢١	٢	١٠.٥	٦.٨
	١١	٢٠١٨/٥/٩	٣٦	٤	٩	١١.٦
	١٢	٢٠١٨/٥/٢١	٥٨	٣	١٩.٣	١٨.٧
	١٣	٢٠١٨/٥/٢٤	٣٢	٣	١٠.٧	١٠.٣
المجموع			٣١١	٣٢		١٠٠
المحطة B	١	٢٠١٧/١١/٣	٢٢	٣	٧.٣	٨.٢
	٢	٢٠١٧/١١/٧	١٧	٢	٨.٥	٦.٣
	٣	٢٠١٨/٢/١٠	١١	١	١١	٤.١
	٤	٢٠١٨/٢/١٣	٨	١	٨	٣
	٥	٢٠١٨/٢/١٦	٢٦	٣	٨.٧	٩.٦
	٦	٢٠١٨/٢/١٨	٢٤	٣	٨	٨.٩
	٧	٢٠١٨/٣/٢٩	١٨	٢	٩	٦.٦
	٨	٢٠١٨/٤/١١	٢٧	٣	٩	١٠
	٩	٢٠١٨/٤/١٣	٨	١	٨	٣
	١٠	٢٠١٨/٤/٢٧	١٧	٢	٨.٥	٦.٣
	١١	٢٠١٨/٥/٥	٢٤	٣	٨	٨.٩
	١٢	٢٠١٨/٥/٦	١٩	٢	٩.٥	٧
	١٣	٢٠١٨/٥/٧-٦	٣٦	٤	٩	١٣.٣
	١٤	٢٠١٨/١٢/١٣	١٣	١	١٣	٤.٨
المجموع			٢٧٠	٣١		١٠٠
المحطة C	١	٢٠١٨/١/١	٣٢	٤	٨	١٢.٨
	٢	٢٠١٨/١/٥	١٦	٢	٨	٦.٤
	٣	٢٠١٨/٢/١٥	١٤	١	١٤	٥.٦
	٤	٢٠١٨/٢/١٦	٢٤	٣	٨	٩.٦

الفصل الاول الخصائص الطبيعية والمناخية لمنطقة الدراسة

٦.٨	٨.٥	٢	١٧	٢٠١٨/٢/٢٧	٥
٤	١٠	١	١٠	٢٠١٨/٣/٦	٦
١٧.٦	٨.٨	٥	٤٤	٢٠١٨/٤/١١	٧
١٣.٦	٨.٥	٤	٣٤	٢٠١٨/٤/٢٨	٨
٧.٢	٩	٢	١٨	٢٠١٨/٥/٨	٩
٩.٦	٨	٣	٢٤	٢٠١٨/٥/١٠	١٠
٦.٨	٨.٥	٢	١٧	٢٠١٨/١٢/٢٠	١١
١٠٠		٢٩	٢٥٠		المجموع

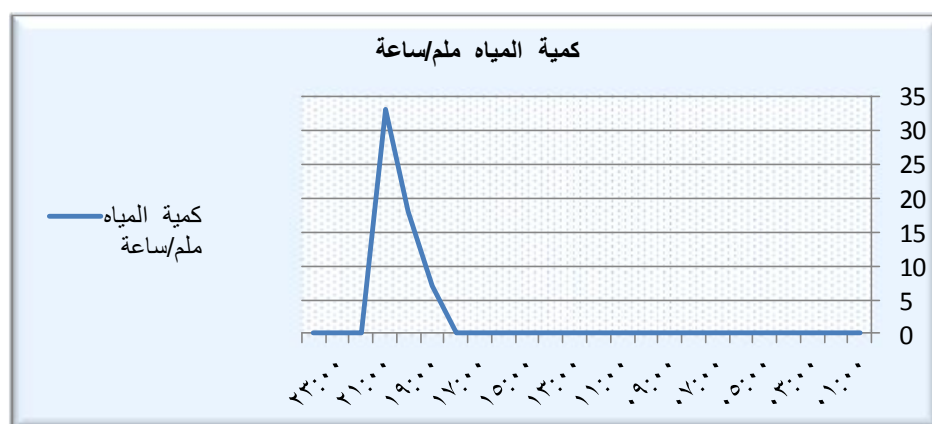
المصدر: من عمل الباحثة بالاعتماد على بيانات الجدول (٢٠، ٢١، ٢٢).

ومن تحليل الجدول أعلاه فقد تبين إن أعلى كمية مياه للشدة المطرية في المحطة A أي ضمن الاجزاء الشمالية الشرقية من المنطقة سجلت بتاريخ (٢٠١٨م/٥/٢١) والتي بلغت (٥٨ ملم) والتي استمرت لمدة (٣ ساعات) متواصلة أي (٩.٣ ملم/ساعة) وشكلت نسبة (١٨.٧%) من مجموع كمية مياه الشدات المطرية الساقطة ضمن هذه المحطة ، شكل (١٤).

أما المحطة (B) التي تقع ضمن الاجزاء الوسطى من المنطقة فقد بلغت أعلى كمية مياه للشدات المطرية فيها (٣٦ ملم) ونسبة (١٣.٣%) وقد استمرت لمدة (٤ ساعات) متواصلة أي (٩ ملم/ساعة) ، وشكلت نسبة بلغت (١٣.٣%) من مجموع كمية مياه الشدات المطرية الساقطة ضمن هذه الاجزاء من المنطقة وذلك بتاريخ ٦-٧/٥/٢٠١٨م، شكل (١٥).

أما في الاجزاء الجنوبية الشرقية من المنطقة أي في المحطة (C) فقد بلغت أعلى كمية مياه للشدات المطرية فيها (٤٤ ملم) إذ استمرت لمدة (٥ ساعات) أي (٨.٨ ملم/ساعة) وكانت بنسبة (١٧.٦%) من مجموع كمية مياه الشدات المطرية الساقطة ضمن هذه المحطة وكانت بتاريخ (٢٠١٨ /٤/١١م)، شكل (١٦).

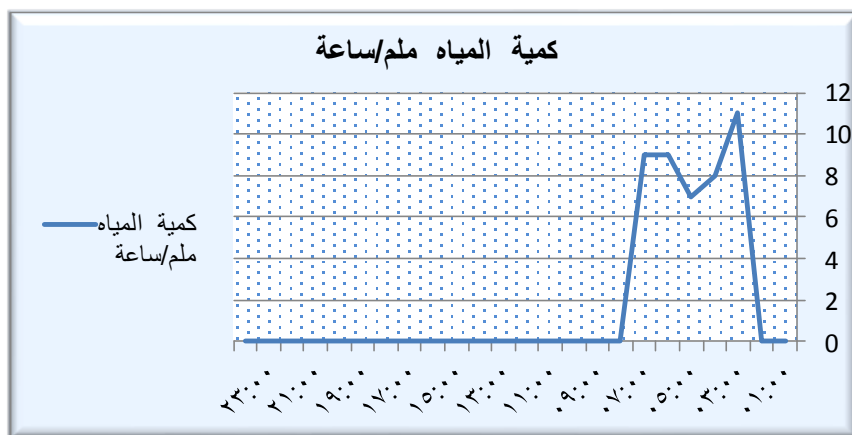
شكل (١٤) أنموذج لكميات المياه للشدة المطرية الساقطة بتاريخ (٢٠١٨/٥/٢١م) ضمن المحطة A



المصدر: من عمل الباحثة بالاعتماد على بيانات جدول (٢٣) باستخدام برنامج Excel.

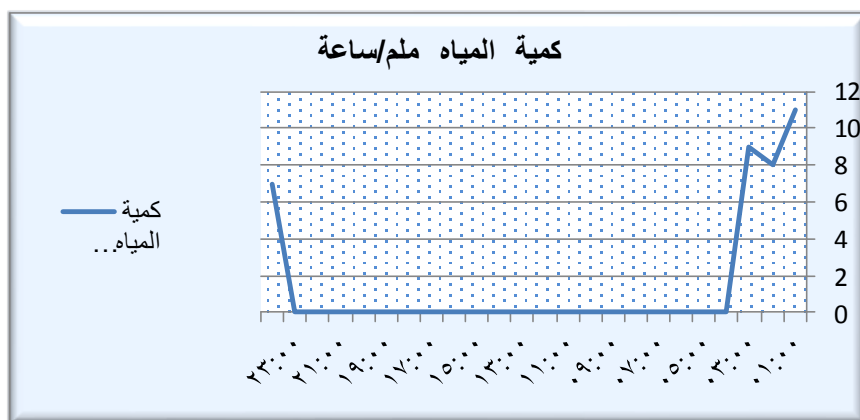
الفصل الاول الخصائص الطبيعية والمناخية لمنطقة الدراسة

شكل (١٥) أنموذج لكميات المياه للشدة المطرية الساقطة بتاريخ (٦-٧/٥/٢٠١٨م) ضمن المحطة B



المصدر: من عمل الباحثة بالاعتماد على بيانات جدول (٢٣) باستخدام برنامج Excel.

شكل (١٦) أنموذج لكميات المياه للشدة المطرية الساقطة بتاريخ (١١/٤/٢٠١٨م) ضمن المحطة C



المصدر: من عمل الباحثة بالاعتماد على بيانات جدول (٢٣) باستخدام برنامج Excel.

٤-٢-١. التوزيع المساحي للتساقط المطري في المنطقة:

أُستُخدمت طريقة ثيسن Thiessen Method لتقدير الهطول المساحي لكل حوض من أحواض المنطقة بناءً على ما يتسلمه كل حوض من كميات الأمطار المسجلة في محطات الرصد الفضائية ومعرفة أي المناطق تساهم بكميات تساقط أكبر ، فقد حدد (١٣) محطة موزعة في مواقع تتوسط الاحواض جميعها وكذلك ضمن الجهات المحيطة بالمنطقة، كما في الخريطة (٢٢).

فقد تم حساب كمية الهطول المطري لآحواض المنطقة وذلك بعمل طبقة (Layer) من النوع النقطية وفقاً لإحداثيات مواقع المحطات وبعدها حولت البيانات النقطية point Rainfall الى بيانات مساحية لتمثيل الكميات التي تهطل على جميع أجزاء المنطقة وليس المحطة بعينها، وعلى أساسها شكلت شبكة مضلعات ثيسن وذلك من خلال الاستعانة بمخرجات برنامج الـ GIS (arc map 10.4) ، إذ تم قطع شبكة المضلعات على حدود منطقة الدراسة وبذلك أصبح لدينا (١١) محطة مناخية تمثلت بالمحطات التي تقع داخل المنطقة فقط كما في الخريطة (٢٣) ، وقد

الفصل الاول الخصائص الطبيعية والمناخية لمنطقة الدراسة

حددت المساحة التي تحيط بكل محطة من محطات الرصد في جميع الأحواض وأستخرجت النسبة المئوية لهذه المساحة، وبعدها تم إيجاد حاصل ضرب النسبة المئوية للمساحة في كمية الامطار المستلمة ضمن المحطة المعنية، وكما أستخرج متوسط كمية الهطول المطري على جميع أجزاء المنطقة من خلال قسمة ناتج ضرب مساحة كل مضلع يحيط بمحطة معينة (A_i) في قيم معدل الامطار السنوية التي تهطل على المحطة نفسها (P_i) على مجموع نسبة المساحة الكلية، ويتم ذلك من خلال تطبيق المعادلة التالية^(١):

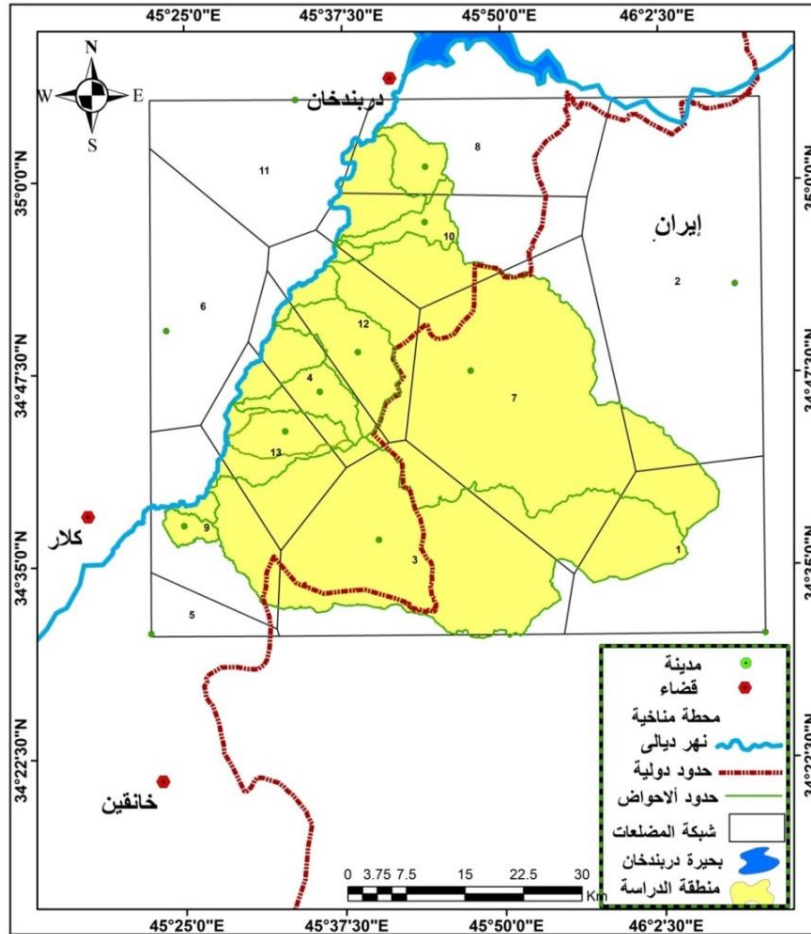
$$P_{mean} = \frac{A_1}{A} P_1 + \frac{A_2}{A} P_2 + \dots + \frac{A_{11}}{A} P_{11} = \left[\sum_{i=1}^n A_i P_i \div \sum_{i=1}^n A_i \right]$$

P_{mean} = متوسط الامطار الهاطلة في المنطقة (ملم)

P_i = تسجيل الامطار الهاطلة في المحطة i (ملم)

A_i = مساحة المضلع المحيط بالمحطة i الواقعة في منتصفه (كم^٢)

خريطة (٢٢) شبكة مضلعات تمثل المساحة المحيطة بكل محطة مناخية حسب طريقة ثيسن



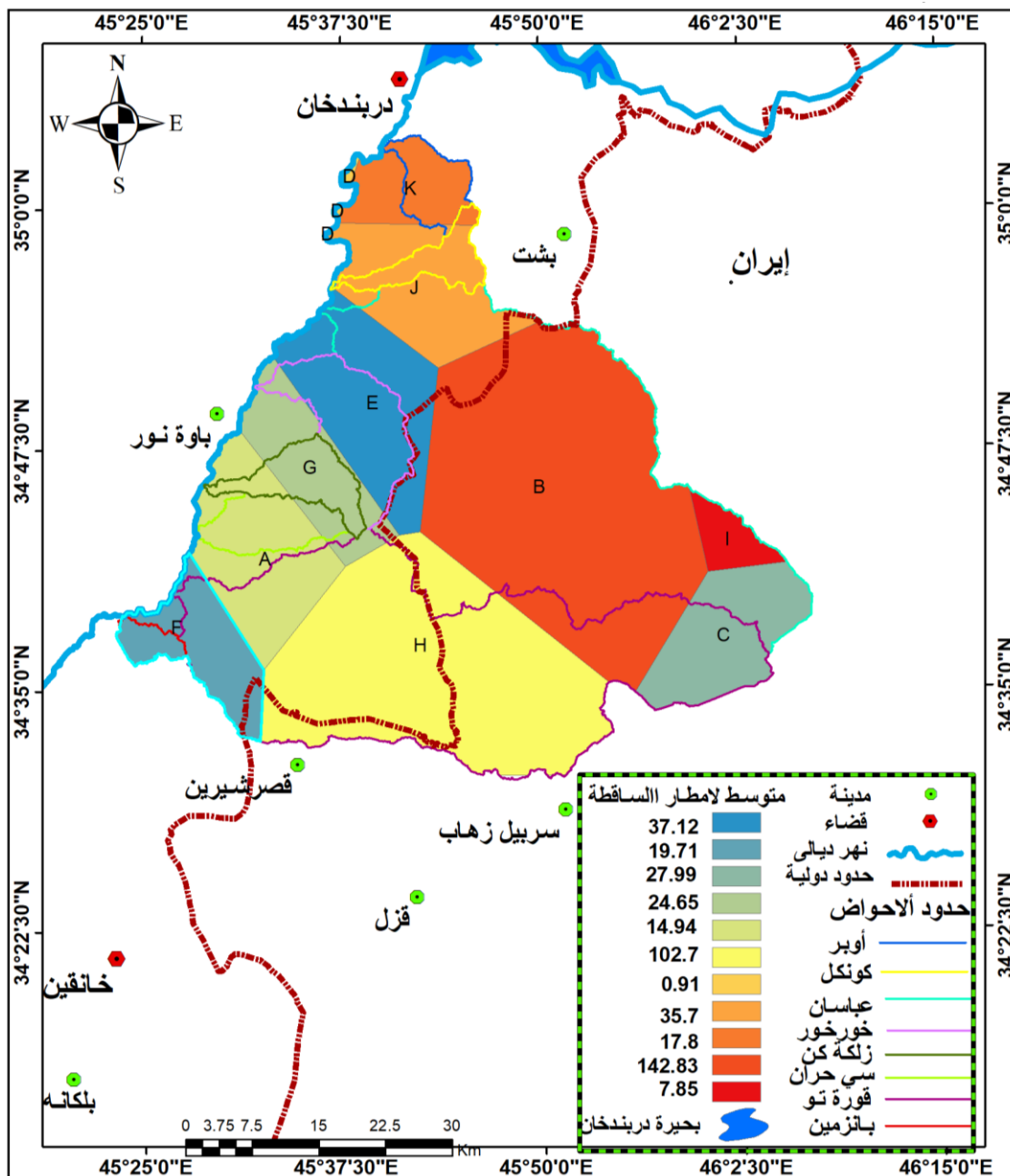
المصدر: من عمل الباحثة بالاعتماد على الموقع <http://chrsdata.eng.uci.edu/>

ومخرجات برنامج الـ Arc Gis (arcmap10.4)

^(١) عصام محمد عبد الماجد احمد وعباس عبد الله ابراهيم ، الهيدرولوجيا، ط١، دار جامعة السودان للنشر والطباعة والتوزيع، الخرطوم. السودان، ٢٠٠١م، ص ٦٧.

الفصل الاول الخصائص الطبيعية والمناخية لمنطقة الدراسة

خريطة (٢٣) التوزيع المساحي للتساقط المطري في المنطقة حسب طريقة ثيسن للمدة من (٢٠٠٨ - ٢٠١٨)م



المصدر: من عمل الباحثة بالاعتماد على الموقع <http://chrsdata.eng.uci.edu/> ومخرجات برنامج الـ Arc Gis (arcmap10.4)

الفصل الاول الخصائص الطبيعية والمناخية لمنطقة الدراسة

جدول (٢٤) متوسط التساقط المطري والمساحة الموزونة للمنطقة للمدة من (٢٠٠٨-٢٠١٨)م

المحطة	المساحة/كم ^٢	النسبة المئوية للمساحة %	الامطار السنوية ملم	مقدار متوسط الامطار/ملم
A	١٨٢.٢	٨.٤	٤٣٣.٤	١٤.٩٤
B	٦٣٤.٨	٢٩.٤	٤٨٥.٨	١٤٢.٨٣
C	١٤٠.٧	٦.٥	٤٣٠.٦	٢٧.٩٩
D	٣.٣	٠.٢	٤٥٤.٥	٠.٩١
E	١٩٧.٩	٩.٢	٤٠٣.٥	٣٧.١٢
F	١٠٣.٩	٤.٨	٤١٠.٧	١٩.٧١
G	١٢٢.١	٥.٧	٤٣٢.٤	٢٤.٦٥
H	٤٩٧.٨	٢٣	٤٤٦.٦	١٠٢.٧
I	٣٤.٨	١.٦	٤٩٠.٣	٧.٨٥
J	١٦٢.٤	٧.٥	٤٧٦.١	٣٥.٧
K	٨٢.٣	٣.٧	٤٨١.٤	١٧.٨
المجموع	٢١٦٢.٢	١٠٠	٤٣٢.٢

من المصدر: عمل الباحثة بالاعتماد على خريطة (٢٣).

يتضح من الجدول (٢٤) إن متوسط التساقط المطري السنوي في منطقة الدراسة بلغ (٤٣٢.٢ ملم) ، وكان حوضي عباسان وقورة تو هما الاكثر مساهمة في زيادة حجم الامطار السنوية حيث يتمثلان بالمساحة المحيطة بمحطة الرصد (B و H) ، وقد بلغ متوسط التساقط المطري فيهما (٤٢٨.٣ و ١٠٢.٧) ملم على التوالي، ويعود السبب الى سعة مساحتهما فضلاً عن وقوع منابعهما ضمن الاراضي الايرانية التي تتصف بإرتفاع مستوى السطح فيها وتضرسها الشديد حيث تمتاز بغزارة أمطارها مقارنة مع بقية أراضي المنطقة ، لذلك فهما يكونان الاكثر عرضة لحدوث مخاطر السيول والفيضانات وبالتالي حدوث المخاطر الجيومورفية المتمثلة بأنجراف التربة والانزقات الارضية والسقوط الصخري.

الفصل الثاني

**تحليل مخاطر العمليات الجيومورفية والهيدرولوجية
ضمن منطقة**

في هذا الفصل سيتم دراسة العمليات المورفوتكتونية والمورفوديناميكية Geomorphic Process ودورها في حدوث المخاطر الجيومورفية التي ممكن تحدث في المنطقة، إذ تعد العمليات المورفوتكتونية إنعكاساً للعمليات الداخلية (الباطنية) Endogenous Processes ، وكذلك فإن العمليات المورفوديناميكية تنشأ بتأثير العمليات الخارجية Exogenous Processes أي التي تحدث فوق سطح الارض، حيث إن هذه العمليات لاتعمل بصورة منفردة فهي غالبا ما تكون مرتبطة ببعضها البعض^(١)، فضلاً عن تحليل المخاطر الهيدرولوجية من خلال التطرق الى العمليات المورفومناخية والمتمثلة بعمليات التعرية المائية التي تحدث في المنطقة، وفي مايلي سوف نتناول أهم العمليات التي يكون لها تأثير مباشر في حدوث المخاطر الجيومورفية ضمن المنطقة، وكمايلي:

١-٢. المبحث الاول: تحليل مخاطر العمليات الجيومورفية :

١-١-٢. تحليل مخاطر العمليات المورفوتكتونية:

تحدث هذه العمليات بفعل الحركات والتي تعد هي المسؤولة عن النشاط التكتوني للقشرة الارضية، إذ تعتبر الطاقة المحركة لعمليات الرفع العمودي تحت سطح الارض مسببة عمليات الرفع التكتوني وما يترتب عليها من حدوث عمليات الارتفاع والهبوط في القشرة الارضية، حيث يكون لعمليات الضغط والشد وتحكم الطبيعة الصخرية تأثيراً واضح في زيادة نشاط هذه العمليات أو قتلها، إذ لا تحدث العمليات التكتونية بمعزل عن العمليات الخارجية ، وقد تظهر هذه القوى بصورة فجائية وسريعة تعرف في هذه الحالة بـ (القوى الداخلية الفجائية السريعة ومن أمثلتها (الزلازل) ، إذ شهدت السنوات الأخيرة هزات أرضية يرصد بعضها بالقرب من منطقة التقاء الصفيحة العربية مع الصفيحة الفارسية والاوراسية ،لذا فإن منطقة الدراسة تتميز بعدم استقرارها وأرتفاع نسبة النشاط التكتوني فيها ، وذلك بسبب موقعها المحاذي للحدود العراقية الايرانية أي عند منطقة التقاء الصفيحة العربية مع الصفيحة الفارسية^(٢)، وقد تم دراستها لما لها من أثر كبير في حدوث المخاطر الجيومورفية ضمن المنطقة .

وقد تم التطرق في هذا الفصل الى التحليل المكاني لمخاطر النشاط الزلزالي ضمن المنطقة، وأسباب حدوث الزلازل فيها عن طريق تحليل العوامل التركيبية والبنائية للصخور ، اذ ان لهذه الهزات الزلزالية تأثير مباشر وغير مباشر على إستقرارية المنحدرات الصخرية إذ تسهم في تهيئة أو زيادة حركة المواد الأرضية وبذلك تسبب الانهيارات الارضية والانزلاقات الصخرية وتدمير الشبكات المائية وتحطم طرق المواصلات وتقطعها وتخريب الجسور وتسبب تداعي المباني والمنشآت العمرانية وأحياناً تسبب خسائر في الارواح ضمن المنطقة.

(١) محمد صبري محسوب و محمود ذياب راضي ، العمليات الجيومورفولوجية ، دار الثقافة للنشر والتوزيع ، القاهرة، 1998، ص 6-7 .

(٢) تغلب جرجيس داوود، علم شكل سطح الارض التطبيقي (الجيومورفولوجيا التطبيقية)، الدار الجامعية للطباعة والنشر، البصرة، العراق، ٢٠٠٢، ص ٢٠-٢١ .

الفصل الثاني تحليل مخاطر العمليات الجيومورفية والهيدرولوجية ضمن منطقة

١-١-١-٢. أسباب النشاط الزلزالي في المنطقة:

أن معرفة مسببات الزلازل يمكننا من التعرف على المناطق التي يحتمل أن تعاني مستقبلاً من نشاط زلزالي عنيف، إذ تتعدد أسباب حدوث الزلازل وذلك حسب موقع نشوئها ، أي أن بعضها يحدث نتيجة أسباب طبيعية ومنها ما يحدث نتيجة أسباب غير طبيعية (بشرية) .

أن الزلازل التي تقع في منطقة الدراسة عادة ما تحدث بسبب رد فعل ناشئ عن تشقق صخور القشرة الأرضية وتصدعها نتيجة لعوامل جيولوجية مختلفة وهو ما يدعى بالزلازل الحركي أو التكتوني وهو من أكثر أنواع الزلازل قوةً وتدميراً^(١)، وقد شهدت المنطقة في السنوات الأخيرة نشاطاً متكرراً لهذا النوع من الزلازل إذ يرجع السبب في حدوثه ضمن المنطقة الى عدة عوامل منها:

١-١-١-٢-٢. حركة الصفائح التكتونية:

من المعروف أن الزلازل لا تحدث بطريقة عشوائية وإنما تحدث في أماكن معروفة وهي ما تسمى بالاحزمة الزلزالية التي تقع عادة ضمن منطقة الحدود الفاصلة بين الصفائح التكتونية (Tectonic plates) المكونة للقشرة الأرضية ، كما في خريطة (٢٤).

فقد عانت منطقة شرق البحر المتوسط ومن ضمنها الصفيحة العربية والصفيحة الإيرانية تاريخاً جيولوجياً معقداً، إذ حدثت فيها أقدم الحركات الأرضية وأكثرها إتساعاً وشدة في تأثيرها المكاني والزمني، حيث أن حركة الصفائح وتفاعلها يقود الى تفسير نشأة الزلازل^(٢) .

يدل التوزيع الجغرافي للزلازل في العالم أن هناك نطاقان رئيسيان يقع فيهما ٩٥% من الزلازل على سطح الكرة الأرضية ، وهما الحزام الذي يمتد بمحاذاة المحيط الهادي من سلسلة الجبال في غرب أمريكا الشمالية- الاسكا - شرق قارة آسيا ثم الى نيوزلندا، فضلاً عن وجود الحزام الالبى والذي يمتد من مضيق جبل طارق- جبال الالب جنوب اوربا- جبال طوروس في تركيا- جبال زاكروس التي تقع ضمن الحدود العراقية الإيرانية- جبال الهملايا جنوب شرق اسيا، حيث تقع منطقة الدراسة ضمن هذا الحزام الالبى ، وبالتحديد ضمن حزام زاكروس ذو الفعالية الزلزالية النشطة والذي يمتد لمسافة ١٥٠٠ كم من شمال شرق العراق حتى المرتفعات العمانية في الجنوب، وتحدث الزلازل فيها نتيجة للتصادم بين الصفيحة العربية والصفيحة الفارسية وذلك من خلال تحرك الصفيحة العربية حركة دورانية عكس عقارب الساعة باتجاه الصفيحة الفارسية بمعدل (٢سم/سنة)، وتعد هذه الحركة كافية لنشوء الزلازل على حدود الصفيحة العربية^(٣)، حيث تتركز في حافات الصفيحة أي الحدود حيث تكون مؤشراً بخط مستمر من الزلازل في جبال زاكروس وطوروس، وعادة ما تكون الزلازل الناشئة

(١) محمد صبري محسوب، الجغرافيا الطبيعية (أسس ومفاهيم حديثة) ، دار الفكر العربي ، القاهرة، ١٩٩٦، ص ٤٥.
(٢) الهيئة العامة للغوية والرصد الزلزالي، قسم الرصد الزلزالي ، تقرير الهزات الأرضية في شمال شرق ايران ١٥ نيسان ٢٠١٧، ص ٤.
(٣) ابراهيم بن سليمان الاحديب، الكوارث الطبيعية وكيفية مواجهتها، مكتبة الملك فهد الوطنية، الرياض، ١٩٩٩، ص ٤٢.

الفصل الثاني تحليل مخاطر العمليات الجيومورفية والهيدرولوجية ضمن منطقة

عن هذه الحركة عميقة أو متوسطة العمق ، لذا فإن منطقة الدراسة تقع ضمن منطقة نشطة زلزالياً مقارنة مع النشاط الزلزالي في المناطق الأخرى من العراق لاسيما في المحافظات الجنوبية.

خريطة (٢٤) اتجاه حركة الصفائح التكتونية العربية والفارسية والاناضولية



المصدر:

-Roland Gritto ,Mathews Sibol ,and ather ,Crustal Velocity Models of the Zagros –Bitlis Zone From Body And Surface Wave Analyses, Sponsored by Air Force Research Laboratory ,Award No. FA 8718-10-C-0003 , Monitoring Research Review ,Ground Based Nucler Explosion Technologies ,2010 , p72.

٢-١-١-١-٢. الصدوع والفوالق Faults:

تعد الصدوع والفوالق من العوامل المؤثرة في زيادة نشاط الزلازل ضمن المنطقة وقد تم التطرق اليها في الفصل الأول.

٢-١-١-١-٢. تحليل التراكيب الخطية Analysis of Lineaments:

لتحليل وتفسير التراكيب الخطية في المنطقة ومعرفة أطوالها وإتجاهاتها، فقد أٌعتمدت المرئية الفضائية المأخوذة من القمر الصناعي LandsatLC8 لسنة 2019 للمنطقة، إذ كانت ضمن مدد إتجاهية مقدارها (10 درجات)، ومن ملاحظة الخريطة(٢٥) والجدول (٢٥) والاشكال (١٧) و(١٨)تبين مايلي:

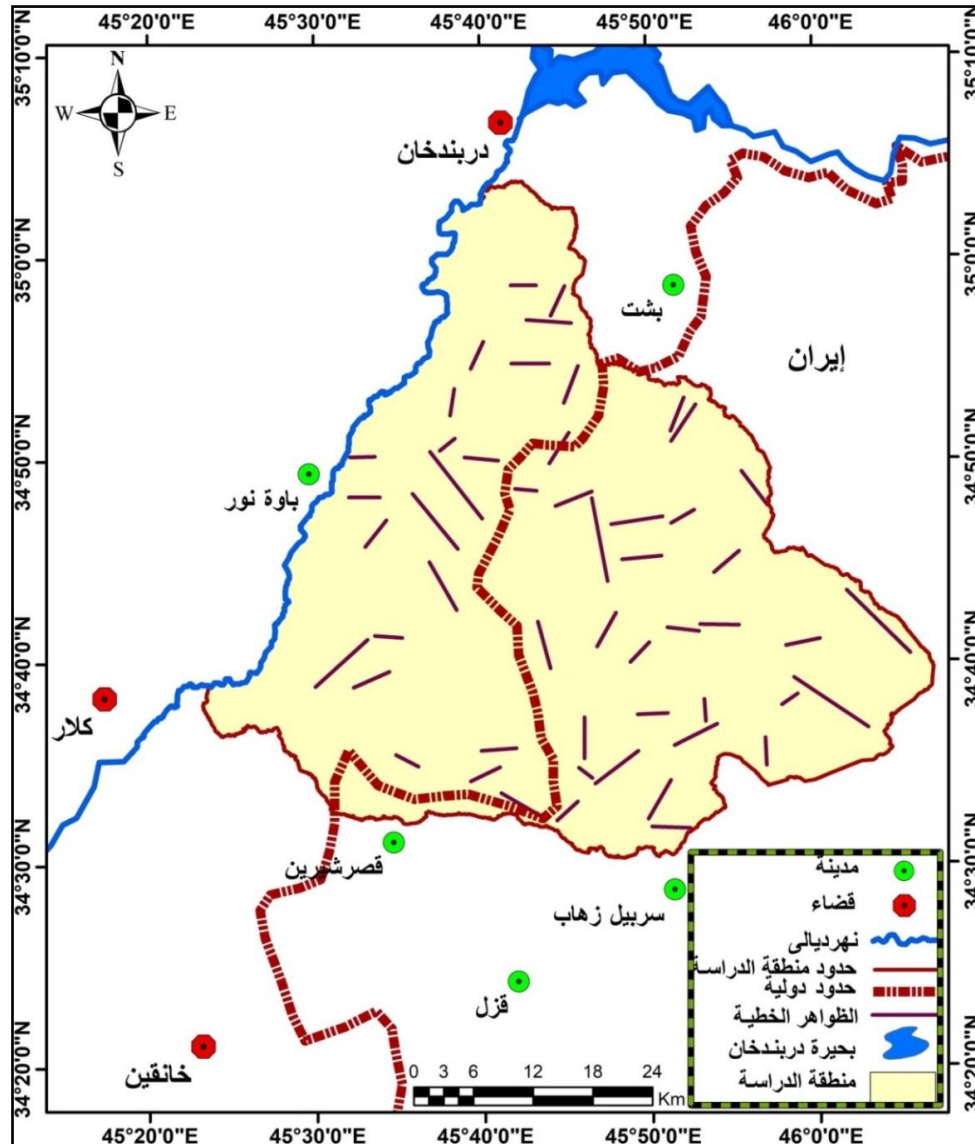
- التراكيب ذات إتجاه الشمال الشرقي:

بلغ عدد التراكيب الخطية باتجاه الشمال الشرقي (٢٦) تركيباً أي بنسبة (٥٠%) من المجموع الكلي لاعداد التراكيب الخطية في منطقة الدراسة، وبلغت مجموع أطوالها (٨٧.٣) كم ونسبتها (٤٥.٦%) من المجموع الكلي لأطوال التراكيب الخطية بهذا الاتجاه ، وكما ظهرالاتجاه الذي درجته بين(٤١-٥٠)° بأعلى تكرار والذي بلغ (٧) تركيباً أي بنسبة(١٣.٥%) من مجموع الاتجاهات المقاسة، أما طوله فبلغ (٢٣.٦) كم وبنسبة (١٢.٣%) ، اما الاتجاه بدرجة(٣٠-٤٠)° لم يسجل إي تراكيب خطية فيه.

الفصل الثاني تحليل مخاطر العمليات الجيومورفية والهيدرولوجية ضمن منطقة

حيث تبين مما سبق إن نسبة كبيرة من أعداد التراكيب الخطية تكون باتجاه الشمال الشرقي والتي تكون مطابقة لاتجاه أغلب روافد الاودية النهرية في احواض المنطقة وفالق نهريديالى اذ يكون إتجاه محوره العام شمال شرق - جنوب غرب .

خريطة (٢٥) التراكيب الخطية في منطقة الدراسة



المصدر: من عمل الباحثة بالاعتماد على المربنية الفضائية Landsat LC8 لعام ٢٠١٨ باستخدام برنامج Arc Gis(Arc map10.4) وبرنامج PC Geometeca.

- التراكيب ذات إتجاه الشمال الغربي:

إن عدد التراكيب التي كانت باتجاه الشمال الغربي بلغت (١٢) تركيباً أي بنسبة (٢٣.١%) من مجموع التراكيب الخطية في المنطقة ، أما بالنسبة لأطوالها فقد بلغت (٦٣ كم) وبنسبة (٣٢.٩%) من مجموع أطوال التراكيب الخطية في المنطقة، وسجل الاتجاه الذي كان بدرجة بين (٣٠-٤٠°) أعلى تكرار إذ بلغ (٣) تركيباً أي بنسبة (٥.٨%) من مجموع الاتجاهات المقاسة، إذ كانت بأطوال بلغت (١٨.٢ كم) وبنسبة (٩.٥%) من مجموع أطوال التراكيب الخطية التي تكون باتجاه الشمال الشرقي، بينما سجلت

الفصل الثاني تحليل مخاطر العمليات الجيومورفية والهيدرولوجية ضمن منطقة

الاتجاهات بدرجة (١٠-١)، (١١-٢٠)، (٢١-٣٠)، (٤١-٥٠)، (٧١-٨٠) أقل عدد من التراكيب إذ بلغ تركيباً واحداً وبنسبة (١.٩%) من مجموع التراكيب المقاسة، وكان الاتجاه بدرجة (٧١-٨٠) أقل الأطوال إذ بلغ (٢.٩ كم) أي بنسبة (١.٥%) من مجموع الأطوال المقاسة ضمن هذا الاتجاه، تميزت خطيات هذا الاتجاه بقصر امتدادها إذ جاءت مطابقة لأغلب روافد الاودية التي تكون من المرتبة الاولى، وكذلك مع اتجاه الطيات المحدبة (شالورداد و جياسورك وعلى مير) وعدد من الطيات المقعرة.

- التراكيب ذات الاتجاه شمال- جنوب:

بلغت عدد التراكيب الخطية التي تكون باتجاه درجة الـ (٠) هي (٤) تركيباً أي بنسبة (٧.٧%) من مجموع التراكيب الخطية المقاسة في المنطقة، وبلغ طولها (١١.٨ كم) وبنسبة (٦.٢%) من مجموع اطوال الخطيات في المنطقة، وبذلك فقد جاءت تراكيب اتجاه شمال- جنوب مع اتجاه امتداد بعض روافد حوضي عباسان وقرّة تو.

- التراكيب ذات الاتجاه شرق - غرب:

كانت أعداد تراكيب هذا الاتجاه الأكثر تكراراً إذ بلغت (١٠) تركيباً أي بنسبة (١٩.٢%) من مجموع التراكيب الخطية في المنطقة، وأيضا كانت الأكثر طولاً إذ بلغت أطوالها (٢٩.٤) وبنسبة (١٥.٤%) من مجموع اطوال التراكيب الخطية المقاسة في المنطقة، إذ جاءت اتجاهات معظم مجاري الاودية في المنطقة متطابقة مع اتجاه هذه التراكيب والتي تكون بدرجة بين (٨١-٩٠)، أي مع امتداد شبكة الصرف المائي لبحاوض المنطقة.

مما سبق نجد أن أطول التراكيب الخطية كانت باتجاه شرق-غرب والذي بدرجة بين (٨١-٩٠) حيث بلغ امتدادها (٢٩.٤) كم، وبنسبة (١٥.٤%) ويعد هو الاتجاه السائد للتراكيب الخطية في المنطقة ، ويليه التراكيب ذات اتجاه شمال شرق والذي كان بدرجة (٤١-٥٠) التي كانت بطول (٢٣.٦) وبنسبة (١٢.٣%) ، أما أقصر تركيب خطي فكان باتجاه الشمال الغربي والذي بدرجة (٧١-٨٠) إذ بلغت (٢.٩ كم) أي وبنسبة (١.٥%).

جدول (٢٥) التراكيب الخطية في منطقة الدراسة

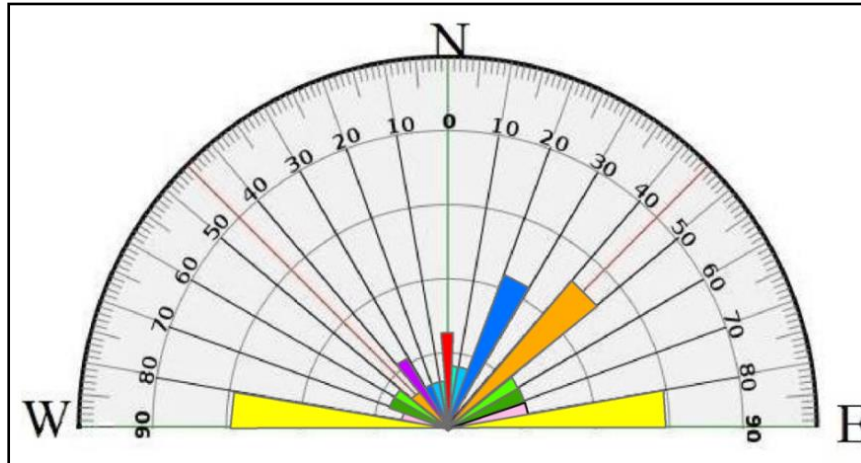
الدرجات الاتجاهية	الطول / كم	النسبة المئوية	العدد	النسبة المئوية	الاتجاه الجغرافي
١٠ - ١	٥.٢	٢.٧	٢	٣.٨	الشمال الشرقي
٢٠ - ١١	٦.٩	٣.٦	٢	٣.٨	
٣٠ - ٢١	٢١.١	١١.٠	٦	١١.٥	
٤٠ - ٣١	٠	٠.٠	٠	٠.٠	
٥٠ - ٤١	٢٣.٦	١٢.٣	٧	١٣.٥	
٦٠ - ٥١	٩.١	٤.٨	٣	٥.٨	
٧٠ - ٦١	١٠.٣	٥.٤	٣	٥.٨	
٨٠ - ٧١	١١.١	٥.٨	٣	٥.٨	

الفصل الثاني تحليل مخاطر العمليات الجيومورفية والهيدرولوجية ضمن منطقة

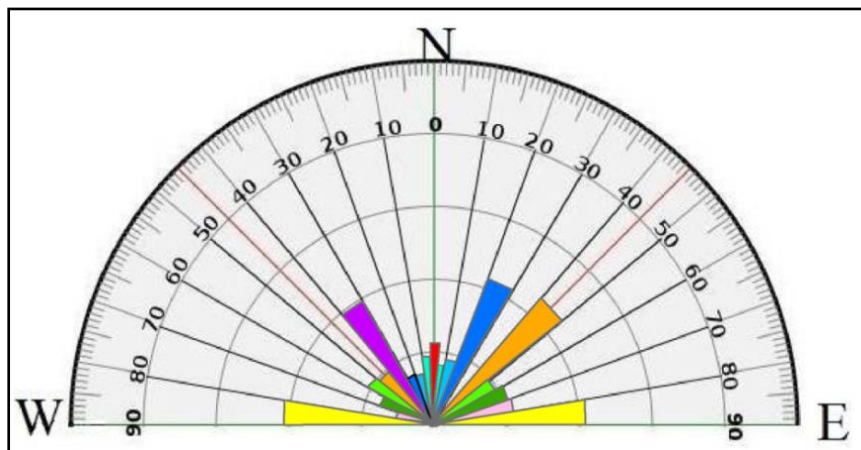
	المجموع	٨٧,٣	٤٥,٦	٢٦	٥٠,٠
الشمال الغربي	١٠ - ١	٧,٧	٤,٠	١	١,٩
	٢٠ - ١١	٤,٤	٢,٣	١	١,٩
	٣٠ - ٢١	٥	٢,٦	١	١,٩
	٤٠ - ٣١	١٨,٢	٩,٥	٣	٥,٨
	٥٠ - ٤١	٨,١	٤,٢	١	١,٩
	٦٠ - ٥١	٩,٧	٥,١	٢	٣,٨
	٧٠ - ٦١	٧	٣,٧	٢	٣,٨
	٨٠ - ٧١	٢,٩	١,٥	١	١,٩
	المجموع	٦٣	٣٢,٩	١٢	٢٣,١
شمال - جنوب	٠	١١,٨	٦,٢	٤	٧,٧
شرق - غرب	٩٠ - ٨١	٢٩,٤	١٥,٤	١٠	١٩,٢
المجموع	١٩١,٥	١٠٠	٥٢	١٠٠,٠	

المصدر من عمل الباحثة: بالاعتماد على الخريطة (٢٥).

شكل (١٧) المخطط الاشعاعي التكراري للظواهر الخطية



شكل (١٨) المخطط الاشعاعي الطولي للظواهر الخطية

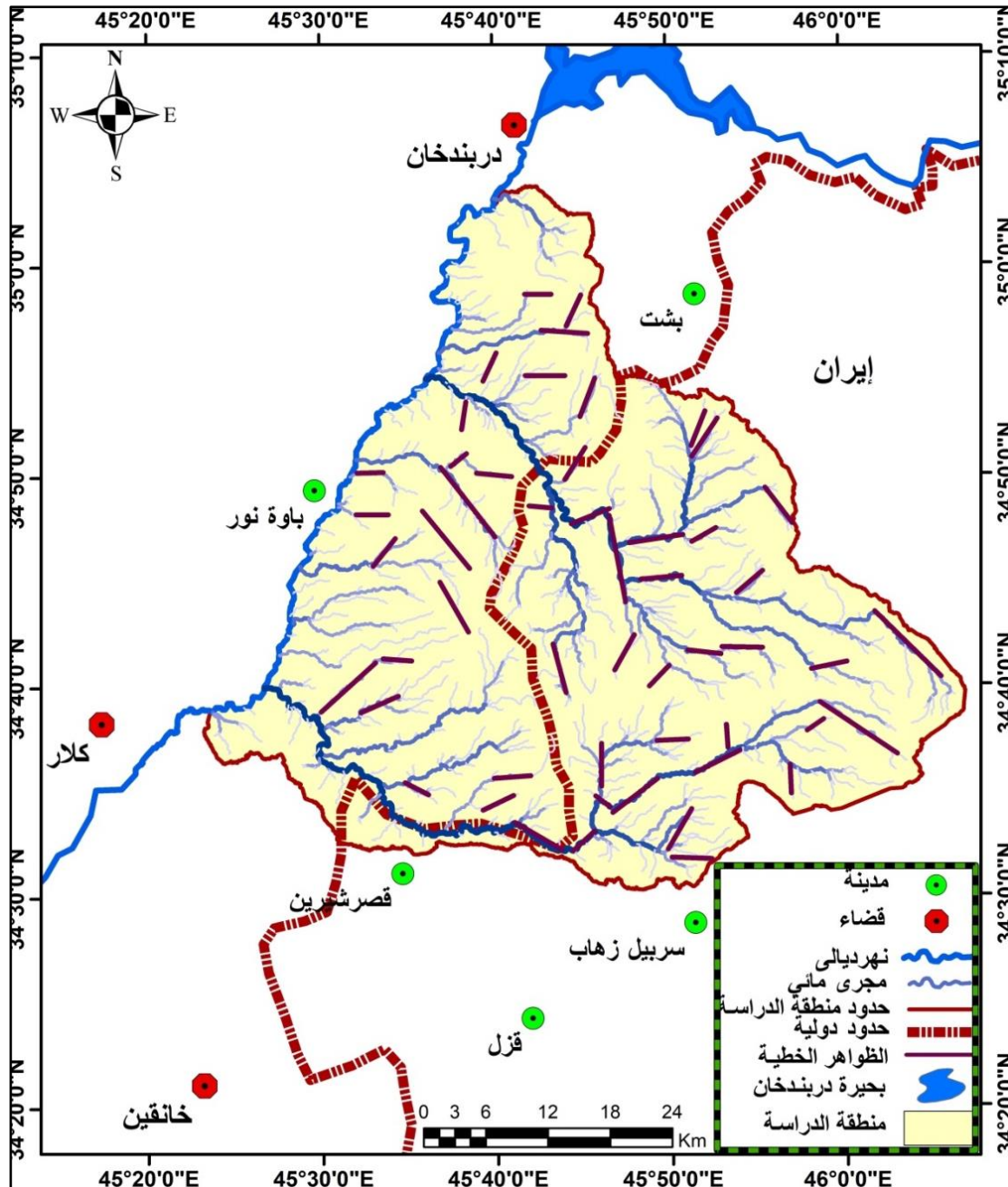


المصدر: من عمل الباحثة بالاعتماد على الخريطة (٢٥) والجدول (٢٥) باستخدام برنامج Rock Work.

الفصل الثاني تحليل مخاطر العمليات الجيومورفية والهيدرولوجية ضمن منطقة

يتضح مما سبق أن التراكيب الخطية قد شكلت مناطق ضعف صخري مكتسبة للصخور مما أدى الى زيادة فاعلية العمليات الجيومورفية على سفوح المنحدرات كالتجوية والتعرية مما زاد من تطور الانزلاقات الارضية وحركة مواد سطح الارض، ومن خلال مطابقة شبكة التصريف المائي لبحاوض المنطقة مع هذه التراكيب إتضح إنها تسيطر على سير هذه المجاري لذا إتخذتها الاودية كمجاري لها ، كما في الخريطة (٢٦).

خريطة (٢٦) مطابقة التراكيب الخطية مع شبكة التصريف المائي ضمن المنطقة



المصدر: من عمل الباحثة بالاعتماد على المرئية الفضائية Landsat LC8 وإنموذج الارتفاع الرقمي (Dem) لعام ٢٠١٨ باستخدام برنامج Arc Gis (Arc map 10.4) وبرنامج PC Geometeca.

الفصل الثاني تحليل مخاطر العمليات الجيومورفية والهيدرولوجية ضمن منطقة

٢-١-١-٢. التوزيع المكاني والزمني للهزات الأرضية في المنطقة:

أن دراسة التوزيع المكاني والزمني للنشاط الزلزالي في المنطقة يفيد في تحليل وإستقصاء مكامن الخطورة الزلزالية في المنطقة من حيث شدة و تكرار حدوث الزلازل فيها ، إذ توضح هذه الدراسات إحتمالية تحديد المناطق التي يمكن أن تتعرض الى مخاطر زلزالية كبيرة، لذا فإن هذه الدراسات يمكن أن تساعدنا في التنبؤ عن حدوث الزلازل المستقبلية في مواقع مختلفة^(١).

لقد أعتدنا قاعدة بيانات النشاط الزلزالي في المنطقة للسنوات الاخيرة والمتمثلة بـ(٦ سنوات) أي للمدة المحصورة بين عامي (٢٠١٣ الى ٢٠١٨ م) الصادرة من موقع الهيئة العامة للأنواء الجوية والرصد الزلزالي المنشورة على شبكة الانترنت، وذلك لصعوبة الحصول على بيانات السنوات السابقة بسبب ظروف الحظر المفروضة في البلاد لتلافي خطر جائحة كورونا وغلق الدوائر الرسمية والتي تزامنت مع وقت الدراسة.

بعد أن تم أسقاط جميع البؤر الزلزالية على خريطة منطقة الدراسة ،تبين أن هناك (١١٣ هزة أرضية) ضربت المنطقة خلال السنوات الاخيرة، حيث أن هناك سنوات إمتازت بارتفاع النشاط الزلزالي خلالها بينما كانت سنوات أخرى أقل نشاطاً، وقد وجد ان أكبر نشاط لتكرار الزلازل سجل خلال عام ٢٠١٨ م حيث بلغ عدد تكرار الهزات الارضية خلالها (٩٨ هزة أرضية) وبعمق يتراوح بين (٠-٣٩.٥ كم)، وفي عام ٢٠١٣ م فقد بلغت (٦ هزة أرضية) وبعمق يتراوح بين (٥-١٥) كم، أما في عام ٢٠١٧ م فقد بلغت (٤ هزة أرضية) وبعمق يتراوح بين (٥-١٤ كم)، وفي عامي ٢٠١٤ و ٢٠١٦ فقد سجلت (٢ هزة أرضية) وكانت بعمق يتراوح بين (٦-١٠.٢) كم ، أما في عام ٢٠١٥ فقد كانت المنطقة أقل نشاطاً زلزالياً إذ حدثت خلالها هزة أرضية واحدة وكانت بعمق (٤ كم) كما في الشكل (١٩)، وهذا يقودنا إلى تفسير الفعالية الزلزالية في المنطقة التي تسير نحو التزايد في تكراراتها وذلك بسبب الظروف الطبيعية التي ذكرت سلفاً، بالإضافة الى الظروف البشرية حيث ازدادت نشاطات الانسان مؤخراً مما جعل المنطقة أكثر عرضة لحدوث الزلازل وزيادة شدتها مما أسفر عن حدوث خسائر بالارواح والممتلكات والمباني ضمن المنطقة ، حيث نجد أن أغلب الهزات الارضية حدثت بين (كانون الأول و كانون الثاني وشباط)، وقد ربط بعض العلماء قسماً من الزلازل السطحية بالظواهر الجوية على إفتراض أن أكثر الزلازل التي تحدث في النصف الشمالي للكرة الارضية إنما يتم حدوثها في فصل الشتاء لاسيما بعد العواصف الشديدة التي تسبب تبدلات بقيم الضغط الجوي فكلما كانت قيم حادة التبديل

(١) زيا أوراهام كوركيس القصراني، المعطيات الزلزالية الهندسية في العراق، رسالة ماجستير (غير منشورة)، كلية العلوم، جامعة بغداد، ١٩٩٠، ص ٥٤.

الفصل الثاني تحليل مخاطر العمليات الجيومورفية والهيدرولوجية ضمن منطقة

إزدادت عدد الهزات ، مع ملاحظة أن العواصف الجوية لا تعد السبب الرئيس لتولد الزلازل إلا أنها تكون عاملاً مساعداً لحدوثه في المناطق المهيأة تكتونياً لنشأة الزلازل^(١).

وقد تميزت الهزات الارضية التي حدثت ضمن المنطقة بتباين مقاديرها وذلك حسب توزيعها المكاني وكذلك الزماني ، منها ماتكون محسوسة وذات آثار دمار وتخريب في المنطقة حيث تحدث شروخ بسيطة في الطبقات السطحية للجدران ضمن المباني الضعيفة ، ومنها لا يكاد يكون لها تأثير يذكر.

ومن ملاحظة الخريطة (٢٧) والجدول (٢٦) أنضح أن هناك تباين في تكرار حدوث الهزات الارضية وتوزيعها المكاني فضلا عن تباين قوتها وآثارها التدميرية على المنطقة ، وبناءً على ذلك فقد قسمت الهزات الارضية حسب مقاديرها الزلزالية والتي تراوحت بين (٢.٢ – ٤.٩) بمقياس ريختر الى الفئات الاتية:

• الفئة التي يتراوح مقدارها ما بين (٢.٢ - ٢.٨):

شملت هذه الفئة الهزات الارضية التي عدد تكرارها يتراوح بين (٣٣-٦٧ هزة) حيث تعد من الزلازل الدقيقة (Micro earthquake) التي لا يمكن الاحساس بها ، وقد تمثلت بأعلى تكرار للهزات الارضية التي ضربت المنطقة خلال السنوات الاخيرة.

• الفئة التي يتراوح مقدارها بين (٢.٩ - ٣.٦):

ضمت هذه الفئة الهزات الارضية التي كانت ذات تأثير متوسط الشدة أي الزلازل التي تحدث دون أي دمار يذكر ، التي عدد تكرارها يتراوح بين (١٦-٣٢) هزة ، حيث يحس بها سكان الادوار العليا من المباني من خلال اهتزاز زجاج النوافذ .

• الفئة التي يتراوح مقدارها بين (٣.٧ - ٤.٩):

شملت هذه الفئة الهزات الارضية التي كانت ذات قوة كبيرة ، أي أنها تعد من أقوى الهزات الارضية التي وقعت في المنطقة خلال السنوات الاخيرة والتي بلغ عدد تكرارها أقل من (١٥) هزة ، حيث تركزت ضمن الاراضي الواقعة قرب الحدود العراقية الايرانية والتي تمثل منطقة التقاء الصفيحة العربية مع الصفيحة الفارسية ، أي حدثت بسبب حركة الصفائح التكتونية واصطدامها مما جعل هذه الاجزاء من المنطقة ذات فعالية تكتونية على مر السنين.

جدول (٢٦) مقدار وعمق البؤر الزلزالية حسب مقياس ريختر للمدة من (٢٠١٣-٢٠١٨م)

التاريخ	الوقت	دائرة العرض	خط الطول	درجة الهزة	عمق الهزة
٢٠١٣/٠١/٢٣	١١:٢٤:٤٥	٣٤.٥٧	٤٥.٥٢	٣.١	١٥
٢٠١٣/٠١/٢٧	١٧:٥٥:٣٥	٣٤.٦٧	٤٥.٦١	٣.٥	١٥.٢
٢٠١٣/١٠/١٤	٢٠:٣٣:١٨	٣٤.٨٣	٤٥.٨٥	٤.٩	١٥

(١) أحمد ياسين الغريبي، علي عبد الرحيم صالح، تأثير التنشيط التكتوني في قلق المستقبل (دراسة سببية مقارنة بين جامعة ميسان والقادسية)، مجلة العميد، المجلد الثاني، العددان الثالث والرابع، ٢٠١٢، ص ٤٣٦.

الفصل الثاني تحليل مخاطر العمليات الجيومورفية والهيدرولوجية ضمن منطقة

٥	٢.٢	٤٥.٦٦	٣٤.٩٨	٢٢:١٧:٣٧	٢٠١٣/١٠/١٤
٥	٣.٥	٤٥.٦٦	٣٤.٥٩	٠٧:٠٢:٠٢	٢٠١٣/١١/٢٢
٩	٢.٢	٤٥.٦٦	٣٤.٨١	٠٦:٥٢:٠٤	٢٠١٣/١١/٢٣
١٠.٢	٢.٢	٤٥.٥٥	٣٤.٦١	٢٠:١٣:٠٤	٢٠١٤/٠٩/٢٦
١٤	٢.٢	٤٥.٧١	٣٤.٥٩	٢٢:٠٩:١٦	٢٠١٤/١١/٠٥
١٥.١	٢.٥	٤٥.٩٣	٣٤.٦١	١٣:٣١:٠٨	٢٠١٥/٠١/٠٩
١٠	٣.١	٤٥.٨٦	٣٤.٨٧	٠٨:٢١:٣٢	٢٠١٦/٠٦/٢٧
٦	٢.٥	٤٥.٧١	٣٤.٧٦	١١:٣٨:٠١	٢٠١٦/١٠/٢٩
١٢	٢.٥	٤٥.٥٩	٣٤.٧٩	٢٣:٤٧:٤١	٢٠١٧/٠٤/٠٨
١٤	٣.١	٤٥.٧١	٣٤.٥٨	٠٢:٣٦:٤١	٢٠١٧/٠٧/١٩
١٠	٤.٩	٤٥.٩٦	٣٤.٩٢	١٨:٥٦:١٧	٢٠١٧/١١/١٤
٥	٢.٨	٤٥.٤٩	٣٤.٥٩	٢١:٢٧:٣١	٢٠١٧/١٢/٢٨
٢٠	٣.٩	٤٥.٧٦	٣٤.٦٦	١٩:٥٤:٣٠	٢٠١٨/٠١/٠١
٧.١	٣.٣	٤٥.٥١	٣٤.٧٢	١٣:٤٩:٠١	٢٠١٨/٠١/٠١
٨.٣	٢.٥	٤٥.٧٥	٣٤.٦٧	١٥:٢٤:٢٣	٢٠١٨/٠١/٠٣
١٥	٣.١	٤٥.٨٢	٣٤.٧٥	٠١:٤٤:٢٣	٢٠١٨/٠١/٠٦
٨	٢.٨	٤٥.٧٧	٣٤.٥٧	١٦:٢٩:١٢	٢٠١٨/٠١/٠٦
١٠	٢.٨	٤٥.٧٥	٣٤.٥٢	١٦:٣٦:٤١	٢٠١٨/٠١/٠٦
١٨.٤	٢.٥	٤٥.٥٩	٣٤.٦٩	٠٣:٠٢:٣٢	٢٠١٨/٠١/٠٧
٧.٢	٣.٣	٤٥.٧١	٣٤.٨٢	١٨:٢٣:٠٥	٢٠١٨/٠١/٠٧
٢٤.٨	٢.٥	٤٥.٦٦	٣٤.٨٤	١٨:٢٣:٥٧	٢٠١٨/٠١/٠٧
٢٥	٢.٢	٤٥.٦٣	٣٤.٨٤	١٥:٤٩:١٩	٢٠١٨/٠١/١٣
١٠	٣.٥	٤٥.٦٧	٣٤.٦٩	٠٦:٥٨:٥٨	٢٠١٨/٠١/١٥
٢٠	٢.٨	٤٥.٨١	٣٤.٥٩	١٨:٥٨:٤٦	٢٠١٨/٠١/١٧
١٠	٤.١	٤٥.٧٤	٣٤.٥٨	١٦:٤٨:٤١	٢٠١٨/٠١/١٨
٨.٢	٣.٣	٤٥.٧٧	٣٤.٥١	٢٢:٢٨:٢٤	٢٠١٨/٠١/١٨
١٤.٨	٢.٨	٤٥.٧٢	٣٤.٧١	١٨:٢٤:١٥	٢٠١٨/٠١/٢٠
٢٤.٤	٣.٣	٤٥.٧٤	٣٤.٥٤	١٣:٥٤:٣٤	٢٠١٨/٠١/٢١
٢٩.٥	٢.٥	٤٥.٧٣	٣٤.٦٤	١٥:١٦:٢٦	٢٠١٨/٠١/٢٢
٨	٣.٥	٤٥.٨٢	٣٤.٥٢	٢١:٤٦:١٠	٢٠١٨/٠١/٢٢
٢٥	٢.٥	٤٥.٦٥	٣٤.٧٦	٠٣:٣٧:٥٩	٢٠١٨/٠١/٢٣
٢٣.٤	٢.٥	٤٥.٧٥	٣٤.٨٤	١٦:٥٢:١٧	٢٠١٨/٠١/٢٤
٢٥	٣.٣	٤٥.٥٩	٣٤.٦٢	١٢:١٣:٥١	٢٠١٨/٠١/٢٥
٥	٢.٨	٤٥.٨٦	٣٤.٨٣	٠٩:٥٥:٤٣	٢٠١٨/٠١/٢٧
١٠.٧	٢.٨	٤٥.٨٦	٣٤.٧٧	٠٨:٤٢:٣٦	٢٠١٨/٠١/٣٠
١٤.٣	٣.٩	٤٥.٧٦	٣٤.٧٥	١١:٠٧:٣٤	٢٠١٨/٠٢/٠١
٢٥	٢.٥	٤٥.٦٨	٣٤.٧٥	١١:١٩:٠٧	٢٠١٨/٠٢/٠١
٢٠.٨	٤.١	٤٥.٥٨	٣٤.٦٧	٢٠:١٤:٥١	٢٠١٨/٠٢/٠١
٢٥	٢.٥	٤٥.٨٦	٣٤.٨٥	٠٢:٣٣:٣٠	٢٠١٨/٠٢/٠٢
٢٦.١	٣.٩	٤٥.٧١	٣٤.٧٩	٠٩:٤٢:٥٦	٢٠١٨/٠٢/٠٢
٢٦.١	٢.٥	٤٥.٥٩	٣٤.٧٩	٠٩:٤٢:٥٦	٢٠١٨/٠٢/٠٢

الفصل الثاني تحليل مخاطر العمليات الجيومورفية والهيدرولوجية ضمن منطقة

٥	٢.٢	٤٥.٧١	٣٤.٧٨	١٧:١٧:٢٠	٢٠١٨/٠٢/٠٢
٢٦.٨	٣.١	٤٥.٥٤	٣٤.٧١	٠٠:٤٩:١٤	٢٠١٨/٠٢/٠٢
٢٥	٢.٥	٤٥.٧٨	٣٤.٨٢	١٤:٣٥:٣٤	٢٠١٨/٠٢/٠٣
٢٥	٢.٥	٤٥.٧٣	٣٤.٦٤	٢٣:٢٢:٣٦	٢٠١٨/٠٢/٠٥
٢٥	٣.٢	٤٥.٧٣	٣٤.٦٤	١٥:٢٩:٤١	٢٠١٨/٠٢/٠٩
٣٢.٢	٣.٥	٤٥.٨٣	٣٤.٧٦	٢٣:٣٨:٤٠	٢٠١٨/٠٢/٠٩
١٩	٢.٨	٤٥.٧١	٣٤.٨٢	٠٣:٠٢:٤٢	٢٠١٨/٠٢/١٠
٣٢	٢.٥	٤٥.٦١	٣٤.٦٢	٢٠:٤٤:٥٥	٢٠١٨/٠٢/١٠
١٤.١	٢.٥	٤٥.٦٩	٣٤.٨٣	١٨:٥٢:١٦	٢٠١٨/٠٢/١٢
٣٥.٥	٢.٥	٤٥.٥٤	٣٤.٦٧	٠٩:٥٣:١٩	٢٠١٨/٠٢/١٣
٠	٢.٨	٤٥.٦٨	٣٥.٠٤	٠٤:٥٠:٥٢	٢٠١٨/٠٢/١٤
١.٥	٢.٨	٤٥.٨١	٣٤.٨٣	٢١:٠٣:١١	٢٠١٨/٠٢/١٦
١٢.٤	٣.١	٤٥.٧٣	٣٤.٦٣	٢٢:٣٩:١٨	٢٠١٨/٠٢/١٦
٢٨	٢.٨	٤٥.٦٣	٣٤.٩١	٠٣:٢١:١٨	٢٠١٨/٠٢/١٧
٢٥	٢.٥	٤٥.٥٩	٣٤.٦٩	٠٤:٥٠:٤٤	٢٠١٨/٠٢/١٨
١٠	٢.٨	٤٥.٧٦	٣٤.٦٧	١٨:٣٩:٣٩	٢٠١٨/٠٢/١٨
١٢.٩	٢.٥	٤٥.٨٥	٣٤.٨٨	١٦:٤٤:٢٥	٢٠١٨/٠٢/٢٧
١٢.٩	٢.٥	٤٥.٧١	٣٤.٨٢	١٦:٤٤:٢٥	٢٠١٨/٠٢/٢٧
٦.١	٢.٨	٤٥.٨٨	٣٤.٧٧	٠٠:١٣:١٦	٢٠١٨/٠٢/٢٧
١٠	٣.١	٤٥.٥٨	٣٤.٦٥	٢١:٢٤:١٤	٢٠١٨/٠٢/٢٨
١٠	٢.٥	٤٥.٥٥	٣٤.٥٥	٠٠:٣٦:٣٢	٢٠١٨/٠٣/٠١
٢٠	٢.٨	٤٥.٨١	٣٤.٥٤	٠٩:٤٤:٤٥	٢٠١٨/٠٣/٠٣
٢٥	٣.٢	٤٥.٧٥	٣٤.٦٦	١٠:١٨:٠٢	٢٠١٨/٠٣/٠٣
١٦.٢	٢.٢	٤٥.٨١	٣٤.٧١	٠٢:١٥:٥٤	٢٠١٨/٠٣/٠٤
١٤.٤	٢.٥	٤٥.٤٧	٣٤.٧١	١٩:٢٢:٢٦	٢٠١٨/٠٣/٠٦
١٤	٢.٨	٤٥.٥١	٣٤.٦٤	١٩:٤١:٢٤	٢٠١٨/٠٣/٠٦
١٤	٣.١	٤٥.٧٢	٣٤.٨٢	١٧:٥٦:٥٥	٢٠١٨/٠٣/٠٨
٢٥	٣.٢	٤٥.٥١	٣٤.٦٤	١٠:١٦:٤٤	٢٠١٨/٠٣/١١
٣٨	٢.٥	٤٥.٧١	٣٤.٥٦	١٧:٤٢:٠٤	٢٠١٨/٠٣/١٥
٦	٣.٦	٤٥.٤٨	٣٤.٧١	١٠:٣٩:٠٣	٢٠١٨/٠٣/١٩
١٥	٣.٥	٤٥.٧٣	٣٤.٦٣	٠٦:٤٠:٠٠	٢٠١٨/٠٣/٢٢
٢١	٢.٨	٤٥.٧٦	٣٤.٧٢	٠٧:٣٩:٢٤	٢٠١٨/٠٣/٢٢
١٨	٣.٣	٤٥.٤٩	٣٤.٦١	٢١:٢٢:٥٦	٢٠١٨/٠٣/٢٣
١١	٣.٣	٤٥.٧٩	٣٤.٧١	١٨:٢٢:١٠	٢٠١٨/٠٣/٢٩
٣٠.٤	٢.٨	٤٥.٧٧	٣٤.٥١	١٨:٠٣:٤١	٢٠١٨/٠٤/٠٣
٣٢	٤.١	٤٥.٨٢	٣٤.٨٩	٢٢:١٣:٣٧	٢٠١٨/٠٤/٠٤
٣٣.٤	٢.٨	٤٥.٧٣	٣٤.٧٣	١٧:٤٧:٥٩	٢٠١٨/٠٤/٠٩
٣٣.١	٢.٨	٤٥.٧٦	٣٤.٦١	٠٣:١٧:٥٣	٢٠١٨/٠٤/١٢
٣٣.١	٢.٥	٤٥.٧٧	٣٤.٦١	٠٣:١٧:٥٣	٢٠١٨/٠٤/١٢
٢٨.٧	٣.٣	٤٥.٨٨	٣٤.٨٣	١٣:٥١:٠٤	٢٠١٨/٠٤/١٦
٢٢.١	٣.١	٤٥.٦٨	٣٤.٩١	٠٤:١٣:٢٣	٢٠١٨/٠٤/٢٢

الفصل الثاني تحليل مخاطر العمليات الجيومورفية والهيدرولوجية ضمن منطقة

٦.٦	٢.٥	٤٥.٨٧	٣٤.٥٤	٢٠:٤١:٥٧	٢٠١٨/٠٤/٢٤
٦.٨	٢.٨	٤٥.٧١	٣٤.٦١	٠٩:٠١:٠٧	٢٠١٨/٠٤/٣٠
١٠	٣.٩	٤٥.٨٥	٣٤.٨٣	٢٢:١٤:٥٠	٢٠١٨/٠٤/٣٠
٨	٣.٦	٤٥.٨٤	٣٤.٨٥	٢٢:٢٥:٤٢	٢٠١٨/٠٤/٣٠
٧.٦	٢.٨	٤٥.٨٦	٣٤.٨٣	٢٢:٤١:١٥	٢٠١٨/٠٤/٣٠
٨	٢.٨	٤٥.٧٢	٣٤.٥٩	٠٠:٣٤:٤٩	٢٠١٨/٠٥/٠١
١٨	٢.٥	٤٥.٦١	٣٤.٦٦	١٨:١٧:٢٣	٢٠١٨/٠٥/٠٤
٢١	٣.٩	٤٥.٧٨	٣٤.٥٥	١٠:٤٩:٥١	٢٠١٨/٠٥/٠٥
٢١	٣.٩	٤٥.٨٤	٣٤.٨٢	١٦:٠٤:٠٨	٢٠١٨/٠٥/٠٧
١٠	٢.٨	٤٥.٩٢	٣٤.٨٥	١٧:٣٧:٠٩	٢٠١٨/٠٥/٠٧
١٤	٢.٨	٤٥.٨٤	٣٤.٨٩	٠٩:٣٥:٠٢	٢٠١٨/٠٥/٠٨
١٠	٣.٩	٤٥.٨١	٣٤.٨٢	١٠:٣٧:١٤	٢٠١٨/٠٥/٠٩
٧	٢.٣	٤٥.٧٥	٣٤.٦٥	١١:٥٤:٠٥	٢٠١٨/٠٥/٢١
٢٥	٤.١	٤٥.٧٨	٣٤.٩٢	١٢:٢١:٣٠	٢٠١٨/٠٥/٢١
٢٣	٢.٥	٤٥.٧٧	٣٤.٦٥	١٣:٥٨:٤٢	٢٠١٨/٠٥/٣٠
٢٢	٢.٥	٤٥.٧٤	٣٤.٨٦	٢١:١٩:٤٨	٢٠١٨/٠٥/٣٠
١٤	٢.٥	٤٥.٧٤	٣٤.٧٣	١٥:١١:١٢	٢٠١٨/٠٦/١١
١٨	٣.٩	٤٥.٧٨	٣٤.٧٦	٠٣:٢٣:٢٣	٢٠١٨/٠٦/٢٩
٢٠.٣	٢.٢	٤٥.٥٩	٣٤.٦٩	٢٢:٥٤:٣٤	٢٠١٨/٠٧/٠٣
١٧.٥	٢.٨	٤٥.٨٩	٣٤.٥٥	٢٣:٤٤:٠١	٢٠١٨/٠٧/٠٦
١٨	٣.٩	٤٥.٦٧	٣٤.٦٧	١٩:٢٢:٢١	٢٠١٨/٠٨/٠٣
٥	٣.٣	٤٥.٧٢	٣٤.٥٨	٠٨:٣١:٤٨	٢٠١٨/٠٨/٠٥
١٠	٣.١	٤٥.٨١	٣٤.٥٢	٠١:٤٥:٢٢	٢٠١٨/٠٨/٠٦
٣٢.٩	٢.٥	٤٥.٧٩	٣٤.٧٢	١١:٣٩:٢٢	٢٠١٨/١٠/١٦
٣٩.٥	٢.٢	٤٥.٥٨	٣٤.٥٦	٠٨:١٥:٢٦	٢٠١٨/١٠/١٧
٨	٣.٩	٤٥.٧٣	٣٤.٥٥	٠٩:٣٩:٤١	٢٠١٨/١٠/٢٤
١٨.٧	٢.٨	٤٥.٧١	٣٤.٦١	٢٣:١٢:٥٢	٢٠١٨/١١/٢٩
٩.٢	٣.٣	٤٥.٦٤	٣٤.٨٢	١٣:٢٢:٣٧	٢٠١٨/١٢/١٨

المصدر: موقع الهيئة العامة للأنواء الجوية والرصد الزلزالي

<http://www.meteoseism.gov.iq/index.php?name=Pages&op=page&pid=>

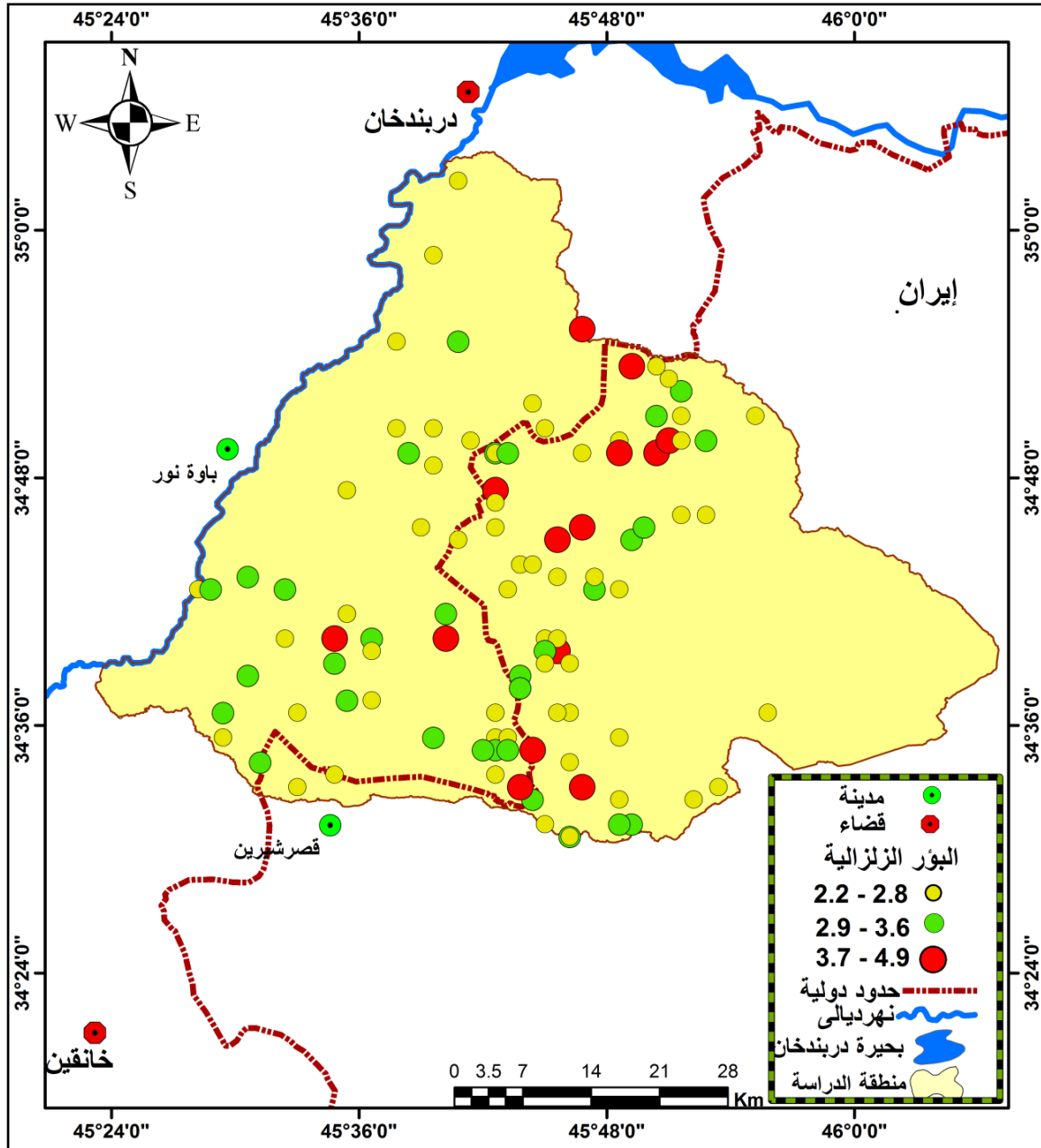
شكل (١٩) التكرار السنوي لعدد الهزات الأرضية للمدة من (٢٠١٣-٢٠١٨م) ضمن المنطقة



المصدر: إعتماًداً على بيانات جدول (٢٦).

الفصل الثاني تحليل مخاطر العمليات الجيومورفية والهيدرولوجية ضمن منطقة

خريطة (٢٧) توزيع البؤر الزلزالية ضمن المنطقة للمدة من (٢٠١٣-٢٠١٨)م



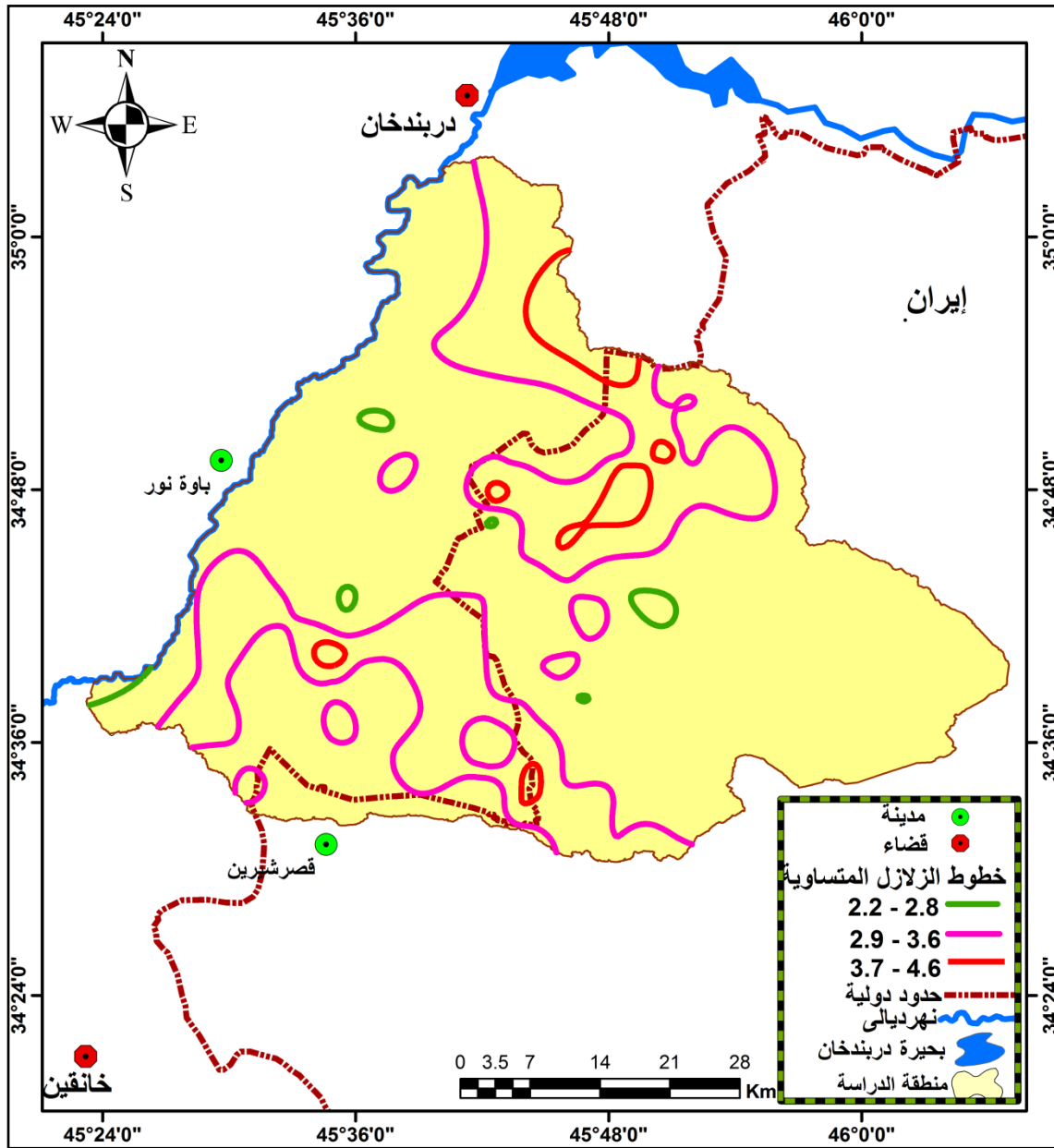
المصدر: من عمل الباحثة بالاعتماد على بيانات الجدول (٢٦) وباستخدام مخرجات برنامج الـ Arc gis(arcmap10.4).

ويمكن تحديد الأماكن التي تتساوى فيها آثار الزلازل في المنطقة وذلك بواسطة خطوط توصيل الشدة الزلزالية المتساوية والتي تكون بشكل دوائر غير منتظمة حول المركز السطحي للبؤر الزلزالية^(١)، كما في الخريطة (٢٨).

(١) عبد العزيز طريح شريف ، الجغرافية الطبيعية (أشكال سطح الارض) ،مؤسسة الثقافة الجامعية، ١٩٩٣، ص٢٢٣.

الفصل الثاني تحليل مخاطر العمليات الجيومورفية والهيدرولوجية ضمن منطقة

خريطة (٢٨) خطوط تساوي مخاطر الشدة الزلزالية في المنطقة



المصدر: من عمل الباحثة بالاعتماد على بيانات الجدول (٢٦) وباستخدام مخرجات برنامج الـ Arc gis(arcmap10.4).

ومن الخريطة (٢٩) والجدول (٢٧) أتضح أن هناك تباين في التوزيع المساحي للأراضي المعرضة للمخاطر الزلزالية التي حدثت في المنطقة، لذا فقد تم تقسيم المنطقة حسب قاعدة بيانات الشدة الزلزالية إلى ثلاثة أصناف ، وكما يلي:

• الأراضي القليلة الخطورة :

تمثلت بالأراضي المعرضة لمخاطر النشاط الزلزالي الذي يكون ليس له تأثير محسوس من قبل الناس، و يتراوح مقدار الهزة الأرضية بين (٢.٢ - ٢.٨)° بمقياس ريختر ، إذ شغلت المساحة الأكبر من بين الأجزاء المعرضة لاحتمالية حدوث الهزات الأرضية ضمن المنطقة والتي بلغت (٢٦٩ كم٢) و بنسبة (٥٨.٧%) من إجمالي مساحة المنطقة ، وتتمثل بالأراضي الممتدة قرب مصبات الودية في

الفصل الثاني تحليل مخاطر العمليات الجيومورفية والهيدرولوجية ضمن منطقة

نهر دىالى وكذلك تتمثل بالاجزاء الشرقية للمنطقة التي تقع ضمن الاراضي الايرانية حيث تكون بعيدة نوعاً ما عن الاراضي الحدودية مما يجعلها بعيدة عن منطقة الخطر.

• الاراضي المتوسطة الخطورة:

يضم هذا الصنف الأراضي التي وقعت تحت تأثير الهزات الارضية التي مقدارها يتراوح بين (٢.٩-٣.٦)° حسب مقياس ريختر، حيث تتوزع ضمن أجزاء متفرقة من الاحواض والتي تقع ضمن الجهات الشمالية والوسطى والجنوبية الغربية من المنطقة، وهي حوض أوبروكونكل وعباسان وقوروتو، وقد شغلت مساحة بلغت (٧١١.٧ كم^٢) ونسبة (٣٢.٩%) من مجموع مساحة المنطقة.

• الاراضي الخطرة:

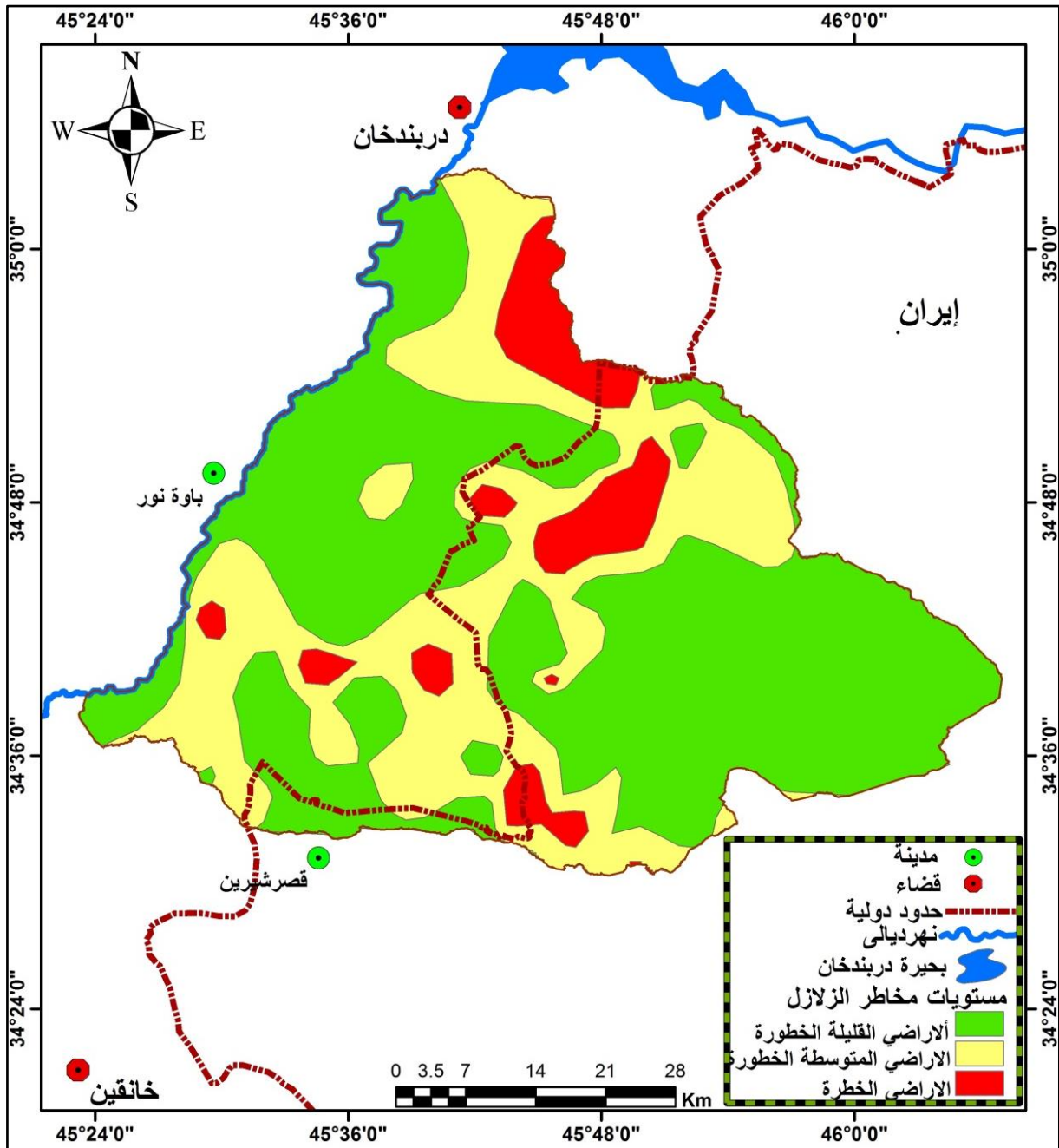
ان الاراضي الخطرة المعرضة لحدوث هزات ارضية شديدة شغلت المساحة الأقل والتي بلغت (١٨٢.٣ كم^٢) أي بنسبة (٨.٤ %) من إجمالي مساحة المنطقة المعرضة لأحتمالية حدوث الهزات الارضية، إذ كانت بشدة زلزالية تراوحت بين (٣.٧-٤.٦)° حسب مقياس ريختر، وقد أدت الى حدوث أضرار ملحوظة في المباني القديمة مثل حدوث شروخ في الجدران والسقوف، كما في الصورة (٢٣ أ- ب- ت)، وقد امتدت ضمن الاجزاء الوسطى في المنطقة على شكل أشرطة ضيقة بمحاذاة السلاسل الجبلية الحدودية التي تتصف بعدم استقراريتها، لذا تكون دائماً منطقة نشطة تكتونياً وذات فعالية عالية لحدوث الزلازل شديدة القوة.

من خلال التحليل والاستنباط للسجلات السيزمية والوضع الجيولوجي والتركيبى للمنطقة فضلاً عن موقعها الجغرافي يمكن تكوين رؤية تكتونية منضبطة للاحتمالات الزلزالية المحسوسة أو غير المحسوسة التي من الممكن أن تحدث في المنطقة .

حيث تبين أن النشاط الزلزالي بدأ يأخذ بالازدياد في السنوات الاخيرة وهذا ماتم ملاحظته عند دراسة الوضع الزلزالي للمنطقة حيث وجد أن عام (٢٠١٨م) كان من أكثر الاعوام التي حدثت فيه هزات أرضية في المنطقة يعلل ذلك وجود عوامل مساعدة لنشوء الزلازل ، فضلاً عن الاسباب التي ذكرت سلفاً خلال دراسة الخصائص المناخية للمنطقة والتي تمثلت بدراسة العواصف المطرية (الشدات المطرية) ضمن المنطقة ولا سيما خلال الموسم المطري (٢٠١٧-٢٠١٨م) ، فضلاً عن الدور البشري الذي يعمل على زيادة نسبة حدوث المخاطر الزلزالية ، كالقيام بأستنزاف الموارد الطبيعية كمياه الابار والعيون والثروات المعدنية الذي يؤدي الى أضعاف القشرة الارضية و حدوث صدوع وفواصل مما يجعل المنطقة عرضة لاحتمالية تكرار الهزات الارضية .

الفصل الثاني تحليل مخاطر العمليات الجيومورفية والهيدرولوجية ضمن منطقة

خريطة (٢٩) تصنيف شدة المخاطر الزلزالية ضمن المنطقة للمدة من (٢٠١٣-٢٠١٨)م



المصدر: من عمل الباحثة بالاعتماد على بيانات الجدول (٢٦) وباستخدام مخرجات برنامج الـ Arc gis(arcmap10.4).

جدول (٢٧) مساحة ونسب انطقة الهزات الارضية حسب الدرجة الزلزالية في المنطقة

النسبة المئوية %	المساحة /كم	مستوى مخاطر الزلازل
٥٨.٧	١٢٦٩	أراضي قليلة الخطورة
٣٢.٩	٧١١.٧	أراضي متوسطة الخطورة
٨.٤	١٨٢.٣	أراضي خطرة
١٠٠	١٢٦٣	المجموع

المصدر: بالاعتماد على الخريطة (٢٩).

الفصل الثاني تحليل مخاطر العمليات الجيومورفية والهيدرولوجية ضمن منطقة

صورة (٢٣ ب- ت) أثر الهزات الأرضية على المباني في قرية سرتك ضمن ناحية ميدان

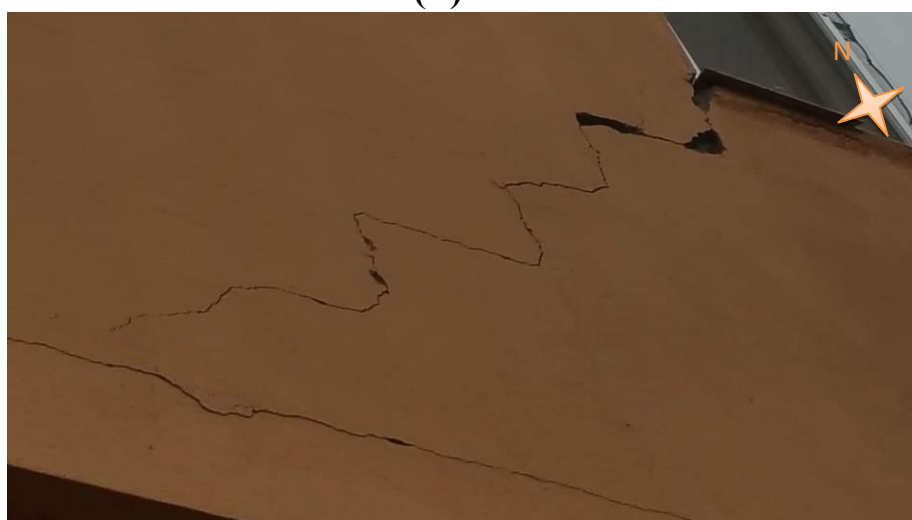
(أ)



(ب)



(ت)

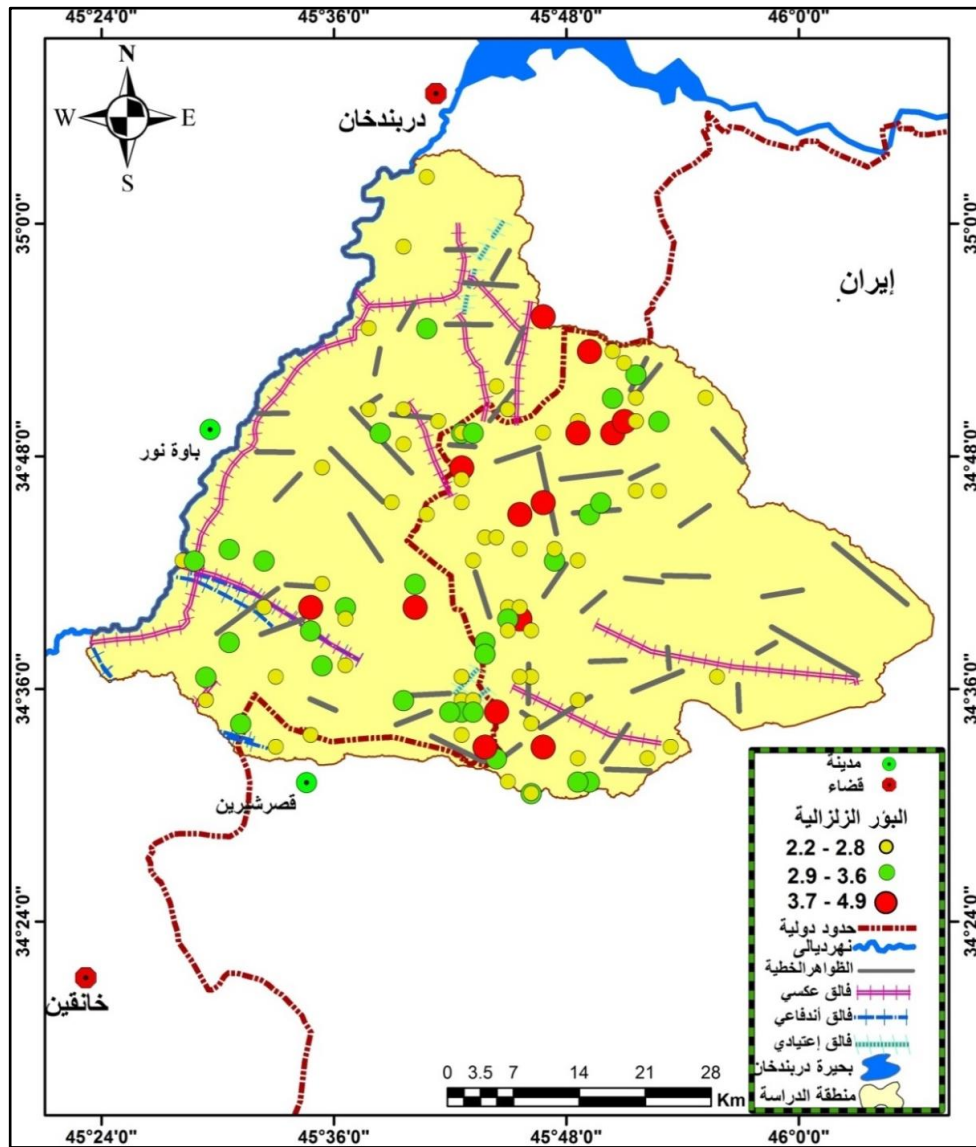


التقطت بتاريخ ٢٠١٨/١٢/١٣.

الفصل الثاني تحليل مخاطر العمليات الجيومورفية والهيدرولوجية ضمن منطقة

ومن ملاحظة الخريطة (٣٠) و(٣١) نجد إن عدد من الفوالق وخاصة العكسية تنتشر ضمن الأراضي الخطرة التي تتميز بسيادة البؤر الزلزالية ذات المقادير العالية ، مما يبين ذلك أثر الفوالق في زيادة فاعلية النشاط الزلزالي في المنطقة، أما بالنسبة للتراكيب الخطية فنلاحظ زيادة احتمالية تكرار الهزات الأرضية في الأجزاء التي تتميز بكثافة الظواهر الخطية فيها، وبذلك كلما نتجه نحو الأجزاء الشمالية الشرقية من المنطقة وخاصة بمحاذاة سلسلة جبال بامو الحدودية نلاحظ تركيز أكبر عدد من الهزات الأرضية ذات الشدة العالية التي تعمل على حدوث أضرار كبيرة في المباني ومختلف الأنشطة البشرية في المنطقة وكذلك تعمل على أنهيار وتساقط الصخور من سفوح المرتفعات الجبلية ، وهذا ما لوحظ خلال الزيارة الميدانية في وادي سرتك قرب مصيف سرتك في حوض عباسان ضمن منطقة الدراسة مما يشكل خطورة كبيرة على الطريق الذي يربط بين ميدان والأراضي الإيرانية.

خريطة (٣٠) تطابق الظواهر الخطية والفوالق مع توزيع البؤر الزلزالية في المنطقة

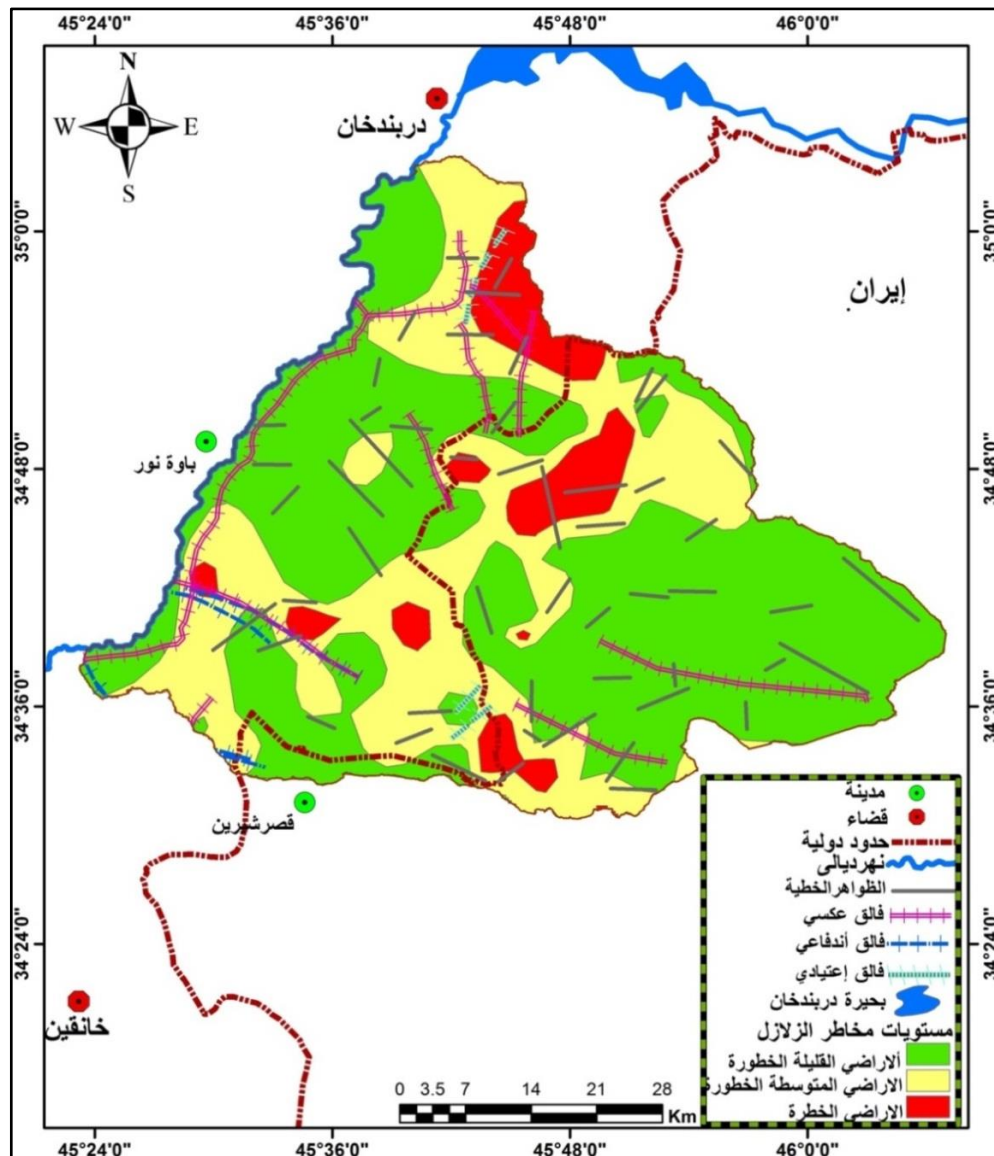


المصدر: من عمل الباحثة بالاعتماد على الخريطة (٢٧) و الخريطة (٣) وبيانات الموقع

<http://www.meteoseism.gov.iq/index.php?name=Pages&op=page&pid>

الفصل الثاني تحليل مخاطر العمليات الجيومورفية والهيدرولوجية ضمن منطقة

خريطة (٣١) تطابق الظواهر الخطية والفوالق مع التوزيع المساحي للمخاطر الزلزالية في المنطقة



المصدر: من عمل الباحثة بالاعتماد على الخريطة (٢٩) و الخريطة (٣) وبيانات الموقع

<http://www.meteoseism.gov.iq/index.php?name=Pages&op=page&pid>

٢-١-١-٣. المؤشرات الجيومورفولوجية ودلالاتها في عملية التنشيط التكتوني :

لتحديد وقياس فاعلية النشاط التكتوني فقد أستخدمت بعض المؤشرات ذات الدلالات الجيومورفولوجية والتي من خلالها يمكن توضيح دور التشوهات البنيوية في تشكيل الوحدات الجيومورفولوجية وتطورها ، وكذلك تساعد في تسارع ديناميكية العمليات الجيومورفولوجية مثل التعرية والارساب^(١)، وفي ضوء هذه المؤشرات يمكن تحليل الحركات التكتونية من خلال المعالم الهيكلية للوادي أو النهر التي تعد انعكاساً للتغيرات المناخية والعمليات التكتونية التي حدثت في المنطقة،

(١) أسحاق صالح العكام ووفاء مازن عبدالله، الخصائص المورفوتكتونية لحوض وادي الطريفافي، مجلة كلية التربية للبنات، المجلد ٥٧ (٥)، ٢٠١٦، ص ١٨٢٣.

الفصل الثاني تحليل مخاطر العمليات الجيومورفية والهيدرولوجية ضمن منطقة

أي أنها تعطي صورة واضحة عن النشاط التكتوني الحديث ويمكن التعبير عن الخصائص التكتونية من خلال عدة مؤشرات مثل :

١-٣-١-١-٢. مؤشر وعامل التماثل الطبوغرافي (T):

يبين هذا المؤشر (Topographic Symmetry Factor) مقدار تباين نزوح أو هجرة المجرى الرئيس للحوض المائي عن محور الحوض ، إنعكاساً لوجود تكتونية نشطة أو لوجود صدوع تحت سطحية أثرت في هجرة المجرى، وتتمثل قيم عامل التماثل الطبوغرافي (T) بمديات تتراوح بين (٠-١) فكلما أجهت قيم المؤشر نحو الـ (٠) كلما أجهت معالم الحوض نحو التماثل ، وكلما أجهت من الـ (١) كلما أجهت نحو عدم التماثل (النزوح)، ويتم تطبيق هذا المؤشر من خلال المعادلة الآتية^(١):

$$T = Da / Dd$$

Da المسافة من الخط الوسطي للحوض الى خط منتصف المجرى الرئيس المتعرج للحوض

Dd = المسافة من الخط الوسطي (المحور) الى خط الحد الخارجي عند الوسط

وحسب الجدول (٢٨) تبين أن قيم مؤشر (T) كانت متباينة في جميع أحواض المنطقة ،لذا فقد تم تصنيفها الى ثلاثة فئات وكما في الجدول (٢٩) و الخريطة (٣٢).

• الفئة الضعيفة النشاط التكتوني :

سادت هذه الفئة في أغلب مساحات أحواض المنطقة والتي تتمثل بحوض أوبر وكونكل وعباسان وخور خور وزلكه كن إذ سجلت قيم بلغت (٠.١٧، ٠.٢٨، ٠.٠٤، ٠.٢١، ٠.١٧) على التوالي، إذ تكون قليلة النشاط التكتوني حيث تتصف مجاريها المائية بقلة انحرافها عن اتجاهاتها الرئيسية .

• الفئة المعتدلة النشاط التكتوني:

تمثلت بحوضي سي حران وقورة تو وقد سجلت قيم للمؤشر (T) بلغت (٠.٣٨، ٠.٤٩) على التوالي ، حيث تتأثر بنشاط تكتوني معتدل .

• الفئة العالية النشاط التكتوني: ظهرت اعلى قيمة للمؤشر (T) في حوض بانزمين وقد بلغت (٠.٧٧)، أي إن مجراه الرئيس ينحرف باتجاه محور حوضه.

جدول (٢٨) دليل مؤشر التماثل الطبوغرافي T

الدرجة	الصنف	القيم
عالية النشاط	١	< ٠.٦
معتدلة النشاط	٢	٠.٣ - ٠.٦
ضعيفة النشاط	٣	> ٠.٣

-Edvin AsatourDizaj Takieh,ManochehrGhorashi, Fereydn Rezaie , The Transverse Topographic Symmetry Factor of Darakeh Stream in the North Tehran ,Iran , Open Journal of Geology ,2015,p.772

2) Edvin AsatourDizaj Takieh,ManochehrGhorashi, Fereydn Rezaie , The Transverse Topographic Symmetry Factor of Darakeh Stream in the North Tehran ,Iran , Open Journal of Geology ,2015,p.772

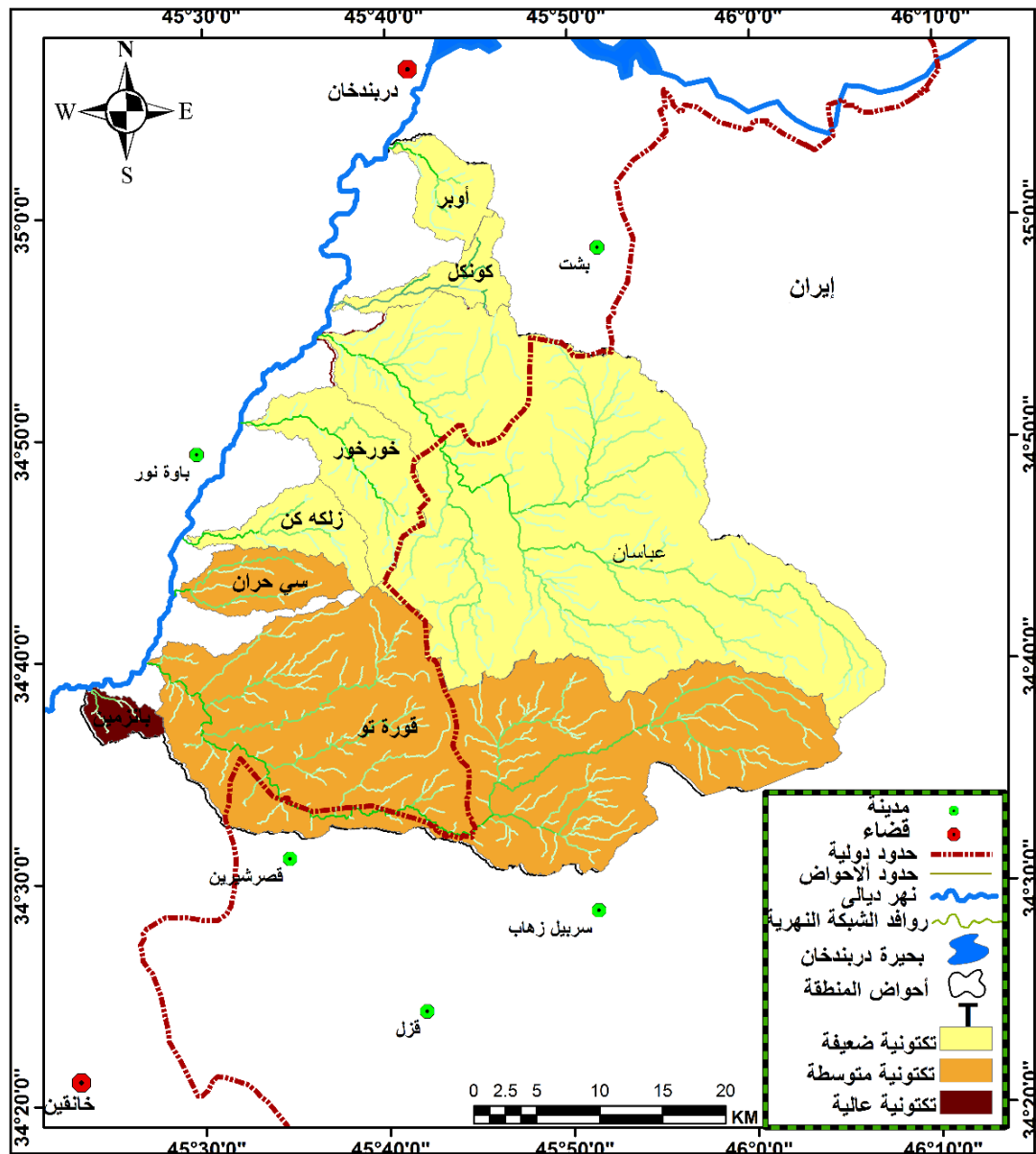
الفصل الثاني تحليل مخاطر العمليات الجيومورفية والهيدرولوجية ضمن منطقة

جدول (٢٩) قيم وأصناف مؤشر التماثل الطبوغرافي T لأحواض المنطقة

الاحواض	DA	Dd	T	الصنف	الدرجة
اوبر	٠.١٧	٤.٥	٠.٠٤	٣	منخفضة النشاط
كزنكل	٠.٥٨	٢.٠٤	٠.٢٨	٣	منخفضة النشاط
عباسان	١.٥	٨.٩	٠.١٧	٣	منخفضة النشاط
خورخور	٠.٨٤	٤.٠٣	٠.٢١	٣	منخفضة النشاط
زلکه کن	٠.٦٣	٣.٧٦	٠.١٧	٣	منخفضة النشاط
سي حران	١.٤٩	٣.٩	٠.٣٨	٢	متوسطة النشاط
قورة تو	٥.١٢	١٠.٥	٠.٤٩	٢	متوسطة لنشاط
بانزمين	١.٥٤	٢	٠.٧٧	١	عالية النشاط

المصدر: من عمل الباحثة بالاعتماد على إنموذج الارتفاع الرقمي Dem و نتائج معادلة التماثل الطبوغرافي ومخرجات برنامج Arc. Gis (arc map 10.4.1).

خريطة (٣٢) أصناف المؤشر التماثل الطبوغرافي T لأحواض المنطقة



المصدر: من عمل الباحثة بالاعتماد على إنموذج الارتفاع الرقمي Dem و بيانات الجدول (٢٨) و(٢٩) وبأستخدام ومخرجات برنامج Arc. Gis (arc map 10.4.1).

الفصل الثاني تحليل مخاطر العمليات الجيومورفية والهيدرولوجية ضمن منطقة

٢-٣-١-١-٢ مؤشر عدم التماثل (AF) Asymmetry Factor :

يعد من المعايير المستخدمة في تقييم وجود ميل في المجرى الرئيسي للحوض المائي، ويستخدم لمعرفة الجانب المتعرض للهبوط والخسف نتيجة تأثيرها بالقوى والفعاليات التكتونية، ويعبر عنه بالمعادلة التالية^(١):

$$AF = 100 (AR/AT)$$

اذ ان

AR= مساحة الحوض في الجهة اليمنى للمجرى الرئيسي باتجاه المصب

AT= المساحة الكلية للحوض المائي

إذا كانت قيم المؤشر (AF) أعلى من (٥٠) فإنه يشير الى حدوث نشاط تكتوني عالي أي تعرض قنوات المجرى الرئيس الى تدوير وتقوس تكتوني (تحدب) في المجاري وذلك سيؤثر في أطوال الروافد الواقعة على جانبي المجرى الرئيس ، حيث أن الجانب المقوس يعكس عامل عدم التماثل التضاريسي^(٢) وبعد تطبيق المعادلة أعلاه وحسب المعيار في الجدول (٣٠) أتضح أن هناك تباين في قيم مؤشر الـ(AF) وقد تم تصنيف قيم هذا المؤشر الى ثلاث فئات، كما في الجدول (٣١) والخريطة (٣٣):

جدول (٣٠) دليل مؤشر عدم التماثل AF

الدرجة	الصف	القيم
عالية النشاط	١	<٦٥
معتدلة النشاط	٢	٥٧ – ٦٥
منخفضة النشاط	٣	>٥٧

-Keller,E.A. and pinter, Active tectonics , Earthquakes , uplift , and landscape 2nd edition. NewJersey, prentie Hall,2002,p.125.

جدول (٣١) قيم وأصناف مؤشر عدم التماثل AF لأحواض المنطقة

الدرجة	الصف	AF	AT	AR	الاحواض
منخفضة النشاط	٣	٥٠.٤	٤٥.٤	٢٢.٩	اوبر
منخفضة النشاط	٣	٤٥.١	٤١.٥	١٨.٧	كونكل
منخفضة النشاط	٣	٥٠.٥	٨٥٣.٦	٤٣٠.٩	عباسان
معتدلة النشاط	٢	٦٠.٩	١٠٦.٧	٦٥	خورخور
معتدلة النشاط	٢	٦٤.٠	٥٧	٣٦.٥	زلکه
عالية النشاط	١	٧٣.٨	٥٧.٧	٤٢.٦	سي حران
معتدلة النشاط	٢	٦٢.٥	٧٧٣.٢	٤٨٣	قورقتو
منخفضة النشاط	٣	٢٣.٢	١٥.٥	٣.٦	بانزمين

المصدر: من عمل الباحثة بالاعتماد على إنموذج الارتفاع الرقمي Dem و نتائج معادلة عدم التماثل الطبوغرافي ومخرجات برنامج Arc Gis (arc map 10.4.1).

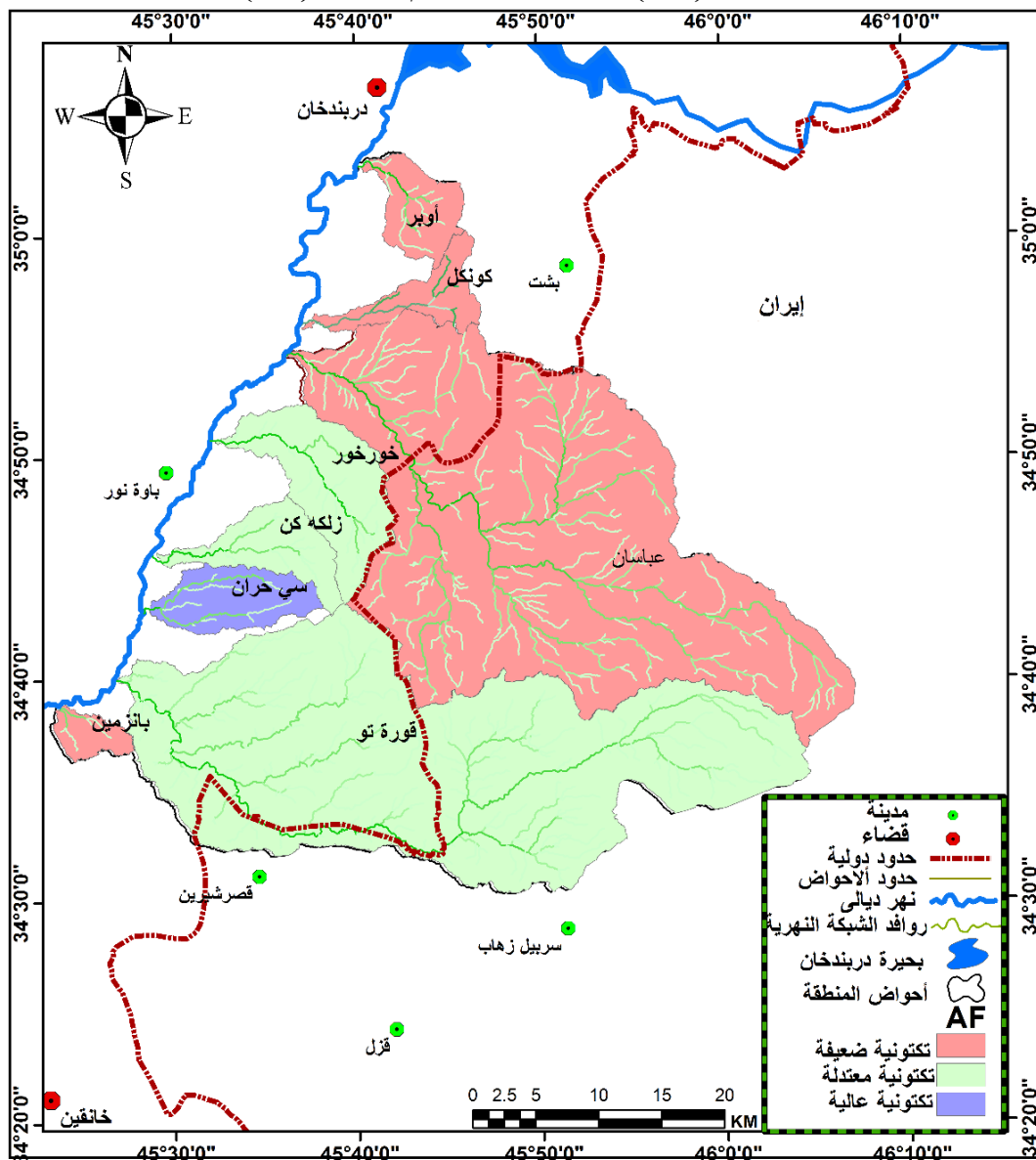
1)Mehran Arian, Nooshin Bagha ,Rezvan Khavari and Hamideh Noroozpou, Scismic sources and neo – tectonics of Tehran area (North I ran), Indian Journal of Science and Technology ,vol.5 No.3,2012,p.2380.

(٢) صهيب حسن خضر وعما د أحمد محمد نوري، الاثر الجيومورفولوجي للنشاط التكتوني الحديث على طية شيخ ابراهيم المحدية شمال غرب العراق باستخدام التقنيات الجغرافية الحديثة ، مجلة ابحاث كلية التربية الاساسية ، المجلد ١٥ ، العدد (٣)، ٢٠١٩، ص ١١٧٢.

الفصل الثاني تحليل مخاطر العمليات الجيومورفية والهيدرولوجية ضمن منطقة

- **الفئة الضعيفة النشاط:** وهي الفئة التي تضم الاحواض التي تكون قيم مؤشر الـ (AF) فيها أقل من (٥٧)، وشملت حوض أوبر وكونكل وعباسان وبانزمين إذ بلغت قيمها (٢٣.٢، ٥٠.٥، ٤٥.١، ٥٠.٤) على التوالي، أي نسبة التقوس والتحدب في مجاريها المائية قليلة جداً.
- **الفئة المعتدلة النشاط:** وتمثلت بالفئة التي تتراوح قيم مؤشر الـ (AF) فيها بين (٥٧-٦٥) وقد شملت حوض خورخور وزلكه كن وقورة تو إذ سجلت قيم بلغت (٦٠.٩، ٦٤.٠، ٦٢.٥) على التوالي، أي أن مجاريها المائية تتميز نوعاً ما بالتحدب والتدوير.
- **الفئة العالية النشاط:** والتي ضمت حوض سي حران الذي كان ضمن هذه الفئة التي تشمل الاحواض التي تزيد فيها قيمة الـ (AF) عن ٦٥ مما يدل على وجود نشاط تكتوني عالي في هذا الحوض أدى إلى تأثر روافده بالتقوس أو التحدب بالمقارنة مع روافد بقية الاحواض.

خريطة (٣٣) أصناف مؤشر عدم التماثل (AF)



المصدر: من عمل الباحثة بالاعتماد على إنموذج الارتفاع الرقمي Dem و بيانات الجدول (٣٠) و (٣١) وباستخدام مخرجات برنامج Arc Gis (arc map 10.4.1).

الفصل الثاني تحليل مخاطر العمليات الجيومورفية والهيدرولوجية ضمن منطقة

٣-٣-١-١-٢. مؤشر طول المجرى ودرجة انحداره (SL) Stream Leng - Gradient Index: يستخدم هذا المؤشر لحساب أطوال المجاري المائية للأحواض ولتقييم مدى مقاومة الصخور لعمليات التآكل (التعرية المائية) وعلاقتها بالانشطة التكتونية ، حيث يتأثر هذا المؤشر بدرجة الانحدار وبتعرج المجرى المائي الرئيس للحوض، ويمكن حسابه من خلال تطبيق المعادلة التالية^(١) :

$$SL = (\Delta H / \Delta L) L$$

إذ ان :

L= طول الوادي الكلي

ΔH = فرق الارتفاع في منطقة المصب المحددة

ΔL = طول المسافة المستقيمة في منطقة المصب المحددة

ومن تطبيق المعادلة أعلاه وحسب الجدول (٣٢) تبين أن قيم مؤشر الـ (SL) متباينة فيما بينها كما في الجدول (٣٣)، وقد وقعت ضمن فئتين وذلك وفق المعيار العالمي Keller, E.A. and pinter ، كما الخريطة (٣٤)، وكما يلي:

جدول (٣٢) دليل مؤشر SL طول المجرى و درجة انحداره

الدرجة	الصنف	القيم
عالية النشاط	١	<٥٠٠
متوسطة النشاط	٢	٣٠٠ – ٥٠٠
قليلة النشاط	٣	>٣٠٠

-Keller, E.A. and pinter, Active tectonics Earthquakes uplift and landscape, op.cit, p.125.

جدول (٣٣) قيم وأصناف مؤشر طول المجرى و درجة انحداره SL لأحواض المنطقة

الأحواض	m/L	ΔL	ΔH	SL	الصنف	الدرجة
أوبر	١٢	١.٣	٢٣	٢١٢.٣١	٣	منخفضة النشاط
كونكل	١٨	١.٧	٣٦	٣٨١.١٨	٢	معتدلة النشاط
عباسان	٦٣	٣.٣	١٨	٣٤٣.٦٤	٢	معتدلة النشاط
خور خور	٢٢	٣.١	٤٦	٣٢٦.٤٥	٢	معتدلة النشاط
زلكه كن	١٨	١.٦	٥	٥٦.٢٥	٣	منخفضة النشاط
سي حران	١٥	٢.٦	٢٨	١٦١.٥٤	٣	منخفضة النشاط
قورفتو	٧٢	٣.٥	١٣	٢٦٧.٤٣	٣	منخفضة النشاط
بانزمين	٧	١.٩	١٨	٦٦.٣٢	٣	منخفضة النشاط

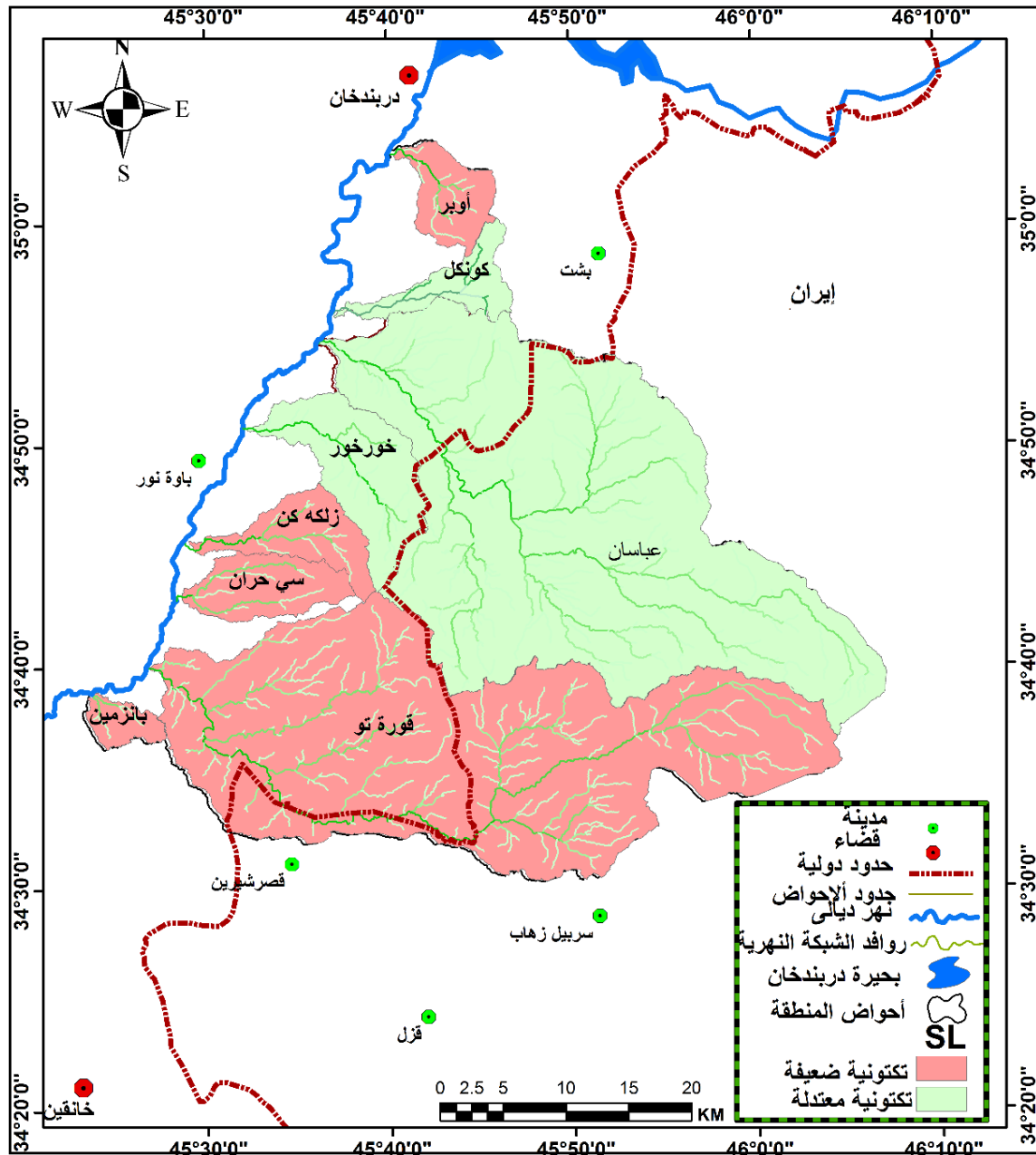
المصدر: من عمل الباحثة بالاعتماد على إنموذج الارتفاع الرقمي Dem و نتائج معادله مؤشر الـ (SL) ومخرجات برنامج Arc Gis .(arc map 10.4.1)

1) Keller, E.A. and pinter, Active tectonics , Earthquakes , uplift , and landscape 2nd edition. New Jersey, prentie Hall, 2002, p.125.

الفصل الثاني تحليل مخاطر العمليات الجيومورفية والهيدرولوجية ضمن منطقة

- الفئة الضعيفة النشاط: ضمت هذه الفئة الاحواض التي تكون قيم مؤشر الـ (SL) فيها أقل من ٣٠٠، وشملت حوض أوبر وزلكه كن وسي حران وقورة تو وبانزمين وقد سجلت قيم بلغت (٢١٢.٣١ و ٥٦.٢٥ و ١٦١.٥٤ و ٢٦٧.٤٣ و ٦٦.٣٢) على التوالي.
- الفئة المعتدلة النشاط: وقد تمثلت بالاحواض التي تتراوح قيم مؤشر الـ (SL) فيها بين (٣٠٠-٥٠٠) وقد ضمت حوض كونكل وعباسان وخورخور إذ سجلت (٣٨١.١٨، ٣٤٣.٦٤، ٣٢٦.٤٥) على التوالي.

خريطة (٣٤) أصناف مؤشر طول المجرى و درجة انحداره (SL)



المصدر: من عمل الباحثة بالاعتماد على إنموذج الارتفاع الرقمي Dem و بيانات الجدول (٣٢) و (٣٣) وبأستخدام ومخرجات برنامج (Arc Gis (arc map 10.4.1).

الفصل الثاني تحليل مخاطر العمليات الجيومورفية والهيدرولوجية ضمن منطقة

٢-١-٣-٤. عرض أرضية الوادي الى ارتفاع الوادي Ratio of Valley Floor Width to Valley Height (Vf):

يعكس مؤشر الـ (Vf) مدى تأثير أشكال الوديان التي تكون على شكل حرف V و U بشدة العمليات التكتونية (Tectonic process)، أي إنه يبين الفرق بين أرضية الوادي التي تشكلت استجابة لارتفاع معدل التنشيط التكتوني لصخور القاعدة (الطبقة تحت السطحية) والتي ظهرت نتائجه من خلال النسبة بين عرض كل الوادي وإرتفاعه، إذ يظهر بشكل حرف (U) كما الشكل (٢٠)، والتي تكونت بسبب التعرية الجانبية للأودية المنحدرة أسفل التلال والتي تعكس خمول أو تكتونية ضعيفة، أما قيم مؤشر (VF) المنخفضة تشير الى وجود تكتونية عالية^(١)، ويمكن قياس قيم مؤشر الـ (Vf) وذلك من خلال استخدام المعادلة التالية^(٢):

$$VF = 2Vfw / [(EId - Esc) + (Erd - Esc)]$$

إذ إن

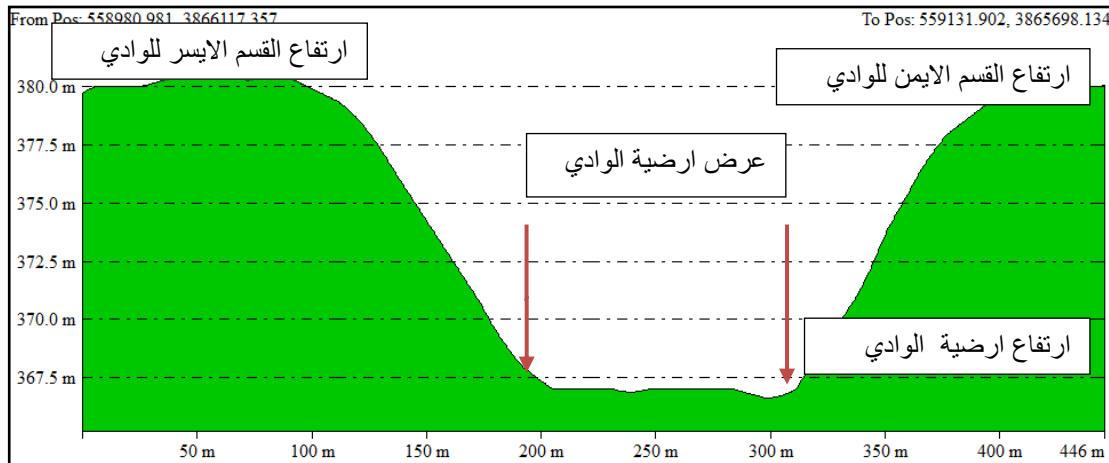
Vfw = عرض أرضية الوادي

EId = ارتفاع القسم (الجزء) الأيسر من الوادي

Erd = ارتفاع القسم (الجزء) الأيمن من الوادي

Esc = معدل ارتفاع أرضية الوادي

شكل (٢٠) طريقة تمثيل قياسات معادلة مؤشر VF



المصدر: من عمل الباحثة بالاعتماد على إنموذج الارتفاع الرقمي Dem و نتائج معادلة مؤشر الـ (Vf) ومخرجات برنامج Arc Gis (arc.map 10.4.1).

فقد استخرجت القياسات المطلوبة لتطبيق المعادلة أعلاه من خلال اخذ مقطع عرضي لكل حوض من أحواض المنطقة وذلك باستخدام برنامج (Global Mapper11) وبعد تطبيق المعادلة وحسب الجدول

(١) فؤاد عبد الوهاب العمري ونجم عبد الله كامل، دراسة المؤشرات الجيومورفولوجية للنشاط التكتوني في قبة علاس، طية حميرين الشمالي، مصدر سابق، ص ٢٩١.

2) Verrios., Zygouri., and Kokkalas, Morphotectonic Analysis in the Eliki Fault Zone (Gulf of Corinth Greece), Bulletin of the Geological Society of Greece International Congress, 2004, p.1708.

الفصل الثاني تحليل مخاطر العمليات الجيومورفية والهيدرولوجية ضمن منطقة

(٣٤) أتضح أن هناك تباين في قيم مؤشر (Vf) لذا فقد صنفتم قيم دليل هذا المؤشر إلى ثلاث أصناف، كما في الجدول (٣٥) والخريطة (٣٥)، وكما يلي:

جدول (٣٤) دليل مؤشر (Vf)

الدرجة	الصنف	القيم
عالية النشاط	١	> 1.2
معتدلة النشاط	٢	$1.2 - 2.8$
منخفضة النشاط	٣	< 2.8

Hamdouni, C., Irigaray, T., Fernandes, J., Chacon, E., A., Keller, Assessment of relative active tectonic, south west border, of Sierra Nevada, (southern Spain), Geomorphology, 2008, p.150.

جدول (٣٥) قيم وأصناف مؤشر (Vf) لأحواض المنطقة

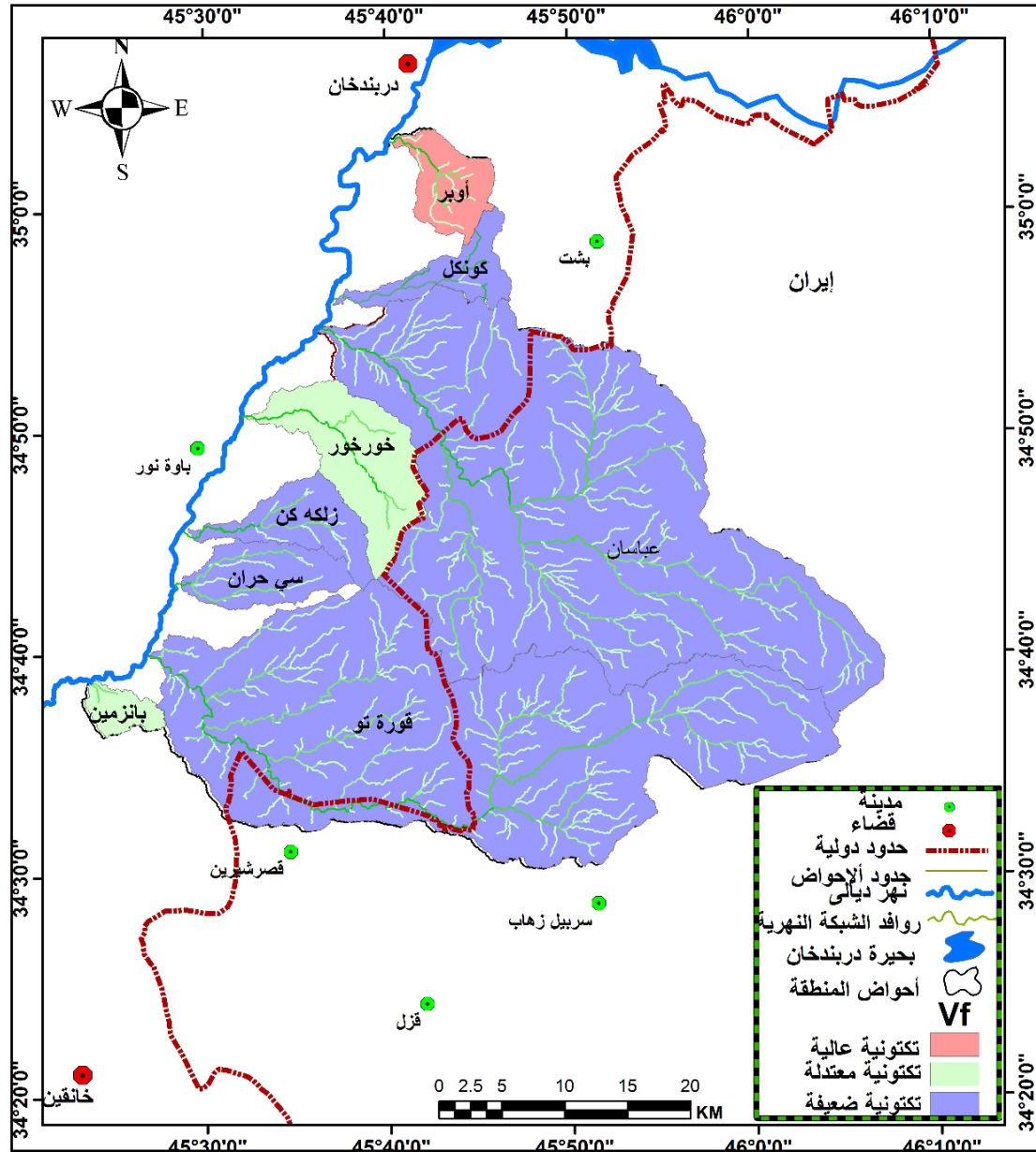
أحواض	Vfw	Esc	ERD	Eld	Vf	الصنف	الدرجة
أوبر	٩٥	٤٠٠	٥١٠	٤٨٩	٠.٩٥	١	عالية النشاط
كونكل	١٠٩	٣٦٧	٣٨٠	٣٨١	٨.٠٧	٣	منخفضة النشاط
عباسان	٣١٥	٣٣١	٣٦٠	٣٦٥	١٠.٠٠	٣	منخفضة النشاط
خورخور	٥١	٣٠٨	٣٣٠	٣٣٥	٢.٠٨	٢	معتدلة النشاط
زلقة كن	١٦٥	٢٨١	٣١٢	٣١٦	٥.٠٠	٣	منخفضة النشاط
سي حران	٤٠	٢٦٢	٢٦٨	٢٦٩	٦.١٥	٣	منخفضة النشاط
قورة تو	١٣٠	٢٦٠	٢٩٤	٢٩٥	٣.٧٧	٣	منخفضة النشاط
بانزمين	١٠	٢٢٥	٢٣٠	٢٣١	١.٨٢	٢	معتدلة النشاط

المصدر: من عمل الباحثة بالاعتماد على نموذج الارتفاع الرقمي Dem و نتائج معادلة مؤشر الـ (Smf) ومخرجات برنامج Arc Gis (arc map 10.4.1).

- **الفئة الضعيفة النشاط:** شملت هذه الفئة القيم التي كانت أكبر من ٢.٨ وضمت أغلب أحواض المنطقة منها حوض كونكل وعباسان وزلقة كن وسي حران وقورة تو، إذ سجلت قيم مؤشر الـ (Vf) فيها (٨.٠٧ و ١٠.٠٠ و ٥.٠٠ و ٦.١٥ و ٣.٧٧) على التوالي.
- **الفئة المعتدلة النشاط:** فقد تراوحت قيم هذه الفئة بين (١.٢-٢.٨) ويتمثل بحوضي خورخور و بانزمين وقد بلغت قيمها (٢.٠٨ و ١.٨٢) على التوالي.
- **الفئة العالية النشاط:** تكون قيم هذه الفئة أقل من ١.٢ وتمثلت بحوض أوبر إذ سجل (٠.٩٥).

الفصل الثاني تحليل مخاطر العمليات الجيومورفية والهيدرولوجية ضمن منطقة

خريطة (٣٥) أصناف مؤشر (Vf) لآحواض المنطقة



المصدر: من عمل الباحثة بالاعتماد على إنموذج الارتفاع الرقمي Dem و بيانات الجدول (٣٤) و (٣٥) وبأستخدام مخرجات برنامج Arc Gis (arc map 10.4.1).

٢-١-١-٣-٥. مؤشر تعرج مقدمة الجبل (SMF) Mountain front sinuosity:

أستخدم هذا المؤشر بشكل واسع كمقياس للنشاط الزلزالي والتشكيل الأرضي إذ يعد من المقاييس المهمة لبيان النشاط التكتوني الحديث ، فهو يعكس حالة التوازن بين عمليات التعرية وبين القوى التكتونية المشكلة لواجهة الجبل إذا كانت قيم المؤشر أكبر من (١) فأنها تشير إلى تكتونية نشطة (عمليات تعرية ، وعورة وتعرج منطقة الجبل) وإذا إنخفضت عن القيمة المذكورة فأنها تدل على

الفصل الثاني تحليل مخاطر العمليات الجيومورفية والهيدرولوجية ضمن منطقة

تكتونية ضعيفة نسبياً ، وبالإمكان حساب قيم مؤشر تعرج مقدمة الجبل من خلال تطبيق المعادلة التالية^(١):

$$SMF = Lmf / Ls$$

اذ ان

SMF= مؤشر تعرج مقدمة الجبل

Lms = طول مقدمة الجبل بشكل متعرج

Ls = طول الخط المستقيم لواجهة الجبل

من تطبيق المعادلة اعلاه وحسب المعيار العالمي Keller,E.A. and pinter كما في الجدول (٣٦) وجد أن قيم هذا المؤشر متباينة فيما بينها ضمن أحواض المنطقة وقد صنقت الى ثلاث فئات، كما في الجدول (٣٧) والخريطة (٣٦)، وكما يلي:

جدول (٣٦) دليل مؤشر تعرج مقدمة الجبل SMF

الدرجة	الصنف	القيم
عالية النشاط	١	١ - ١.٦
معتدلة النشاط	٢	١.٦ - ٣
منخفضة النشاط	٣	٣ - ٥

- Keller,E.A.and Pinter,n.(2002) Pp.125.

جدول (٣٧) قيم وأصناف مؤشر (Smf) لأحواض المنطقة

الأحواض	كم/لmf	كم/لs	كم/Smf	الصنف	الدرجة
أوبر	٧.٧	٦.٦	١.١٧	١	منخفضة النشاط
كونكل	١٢.٨	٢.٩	٤.٤١	٣	عالية النشاط
عباسان	٦٥.٩	٢٧	٢.٤٤	٢	معتدلة النشاط
خورخور	٣.٧	٢.٨	١.٣٢	١	منخفضة النشاط
زلكة كن	٥.٩	٢.٣	٢.٥٧	٢	معتدلة النشاط
سي حران	٤.٩	٣.٨	١.٢٩	١	منخفضة النشاط
قورقوتو	٣٠.٧	١٤	٢.١٩	٢	معتدلة النشاط
بانزمين	٤.٩	٢.٩	١.٦٩	٢	منخفضة النشاط

المصدر: من عمل الباحثة بالاعتماد على إنموذج الارتفاع الرقمي Dem و نتائج معادلة مؤشر الـ (Smf) ومخرجات برنامج Arc Gis (arc map 10.4.1).

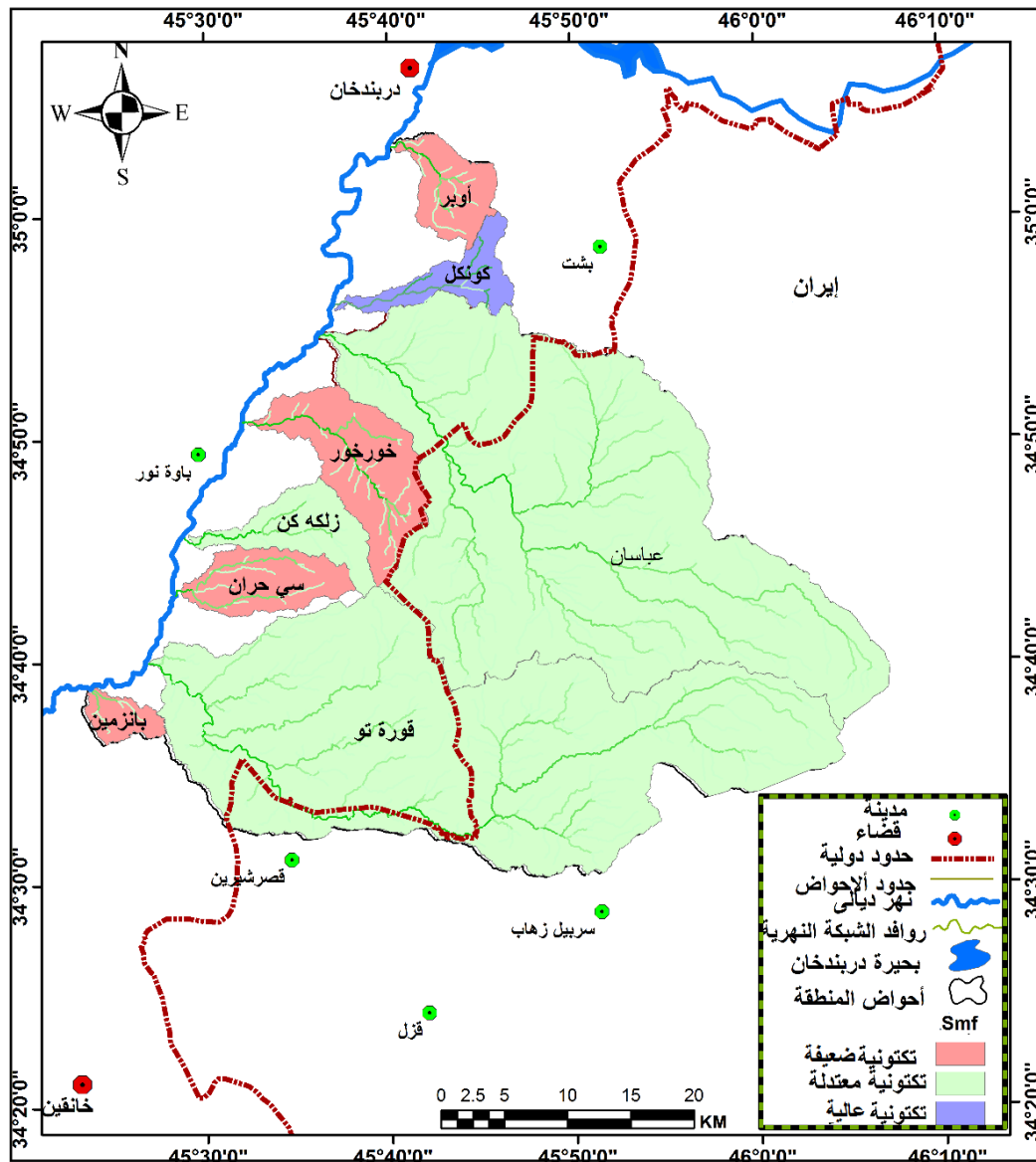
- **الفئة الضعيفة النشاط:** تراوحت قيم هذه الفئة بين (١.٦-١) حيث شملت حوض أوبر و خورخور وسي حران و بانزمين وقد بلغت قيم هذا المؤشر فيها (١.١٧ و ١.٣٢ و ١.٢٩ و ١.٦٩) على التوالي.
- **الفئة المعتدلة النشاط:** ضمت هذه الفئة حوض عباسان وزلكه كن وقورة تو وقد تراوحت قيم هذه الفئة بين (٣-١.٦) إذ سجلت قيم مؤشر الـ (Smf) فيها (٢.٤٤ و ٢.٥٧ و ٢.١٩) على التوالي.

1) Husam A.M,2008 , Atest of the validity of morphometric analysis in determining tectonic activity from ASTER derived DEMs in the JORDON-DEAD sea transform zone , dotor thesis ,university of Arkansas. Pp.62

الفصل الثاني تحليل مخاطر العمليات الجيومورفية والهيدرولوجية ضمن منطقة

- الفئة العالية النشاط: تراوحت قيم هذه الفئة بين (٣-٥) وذلك حسب المعيار المذكور سلفاً وتمثلت بحوض كونكل والذي سجل قيمة بلغت (٤.٤١).

خريطة (٣٦) أصناف مؤشر تعرج مقدمة الجبل SMF



المصدر: من عمل الباحثة بالاعتماد على إنموذج الارتفاع الرقمي Dem و بيانات الجدول (٣٦) و (٣٧) وباستخدام مخرجات برنامج Arc Gis (arc map 10.4.1).

٢-١-٣-٦ مؤشر الفعالية التكتونية النسبية (Relative tectonic activity) (RAT)

(index): يعد هذا المؤشر بمثابة المحصلة النهائية لجميع المؤشرات الجيومورفولوجية، إذ يعطي نظرة شمولية عن قيم النشاط التكتوني لجميع أحواض المنطقة، وقد تم استخراجها من المعادلة الآتية ^(١):

$$RAT = S/N$$

إذ إن :

(١) ريم ثاير حبيب، منذر علي طه الخالدي، دراسة المؤشرات الجيومورفولوجية للنشاط التكتوني في طية بلكانة شمال شرقي الطوز، مجلة ديالى، العدد ٧٧، ٢٠١٨، ص ٤٦٠.

الفصل الثاني تحليل مخاطر العمليات الجيومورفية والهيدرولوجية ضمن منطقة

التصنيف النهائي لمحصول المؤشرات النشاط التكتوني $RAT =$

رقم صنف المؤشر لكل حوض مائي $S =$

عدد المؤشرات $N =$

بعد تطبيق المعادلة أعلاه وذلك حسب المعيار الموضح في الجدول (٣٨) إتضح أن قيم الفاعلية التكتونية تختلف من حوض لآخر ، لذا فقد صنفنا الى فئتين ، كما في الجدول (٣٩) والخريطة (٣٧) وكما يلي:

جدول (٣٨) دليل مؤشر الفاعلية التكتونية النسبية RAT

الدرجة	الصنف	القيم
عالية النشاط	١	> 1.8
معتدلة النشاط	٢	$1.9 - 2.3$
منخفضة النشاط	٣	< 2.3

-K.S.Jayappa,Vipin Joseph markoes,Nagaraju ,Identification of geomorphic signaturesof Neotectonic - activity using Dem in the Precambrian terrain of western ghats ,india, international Archives of the photogrammetry,Remot sensing and seatial ,information science, University

جدول (٣٩) قيم وأصناف مؤشر (Rat) لإحواض المنطقة

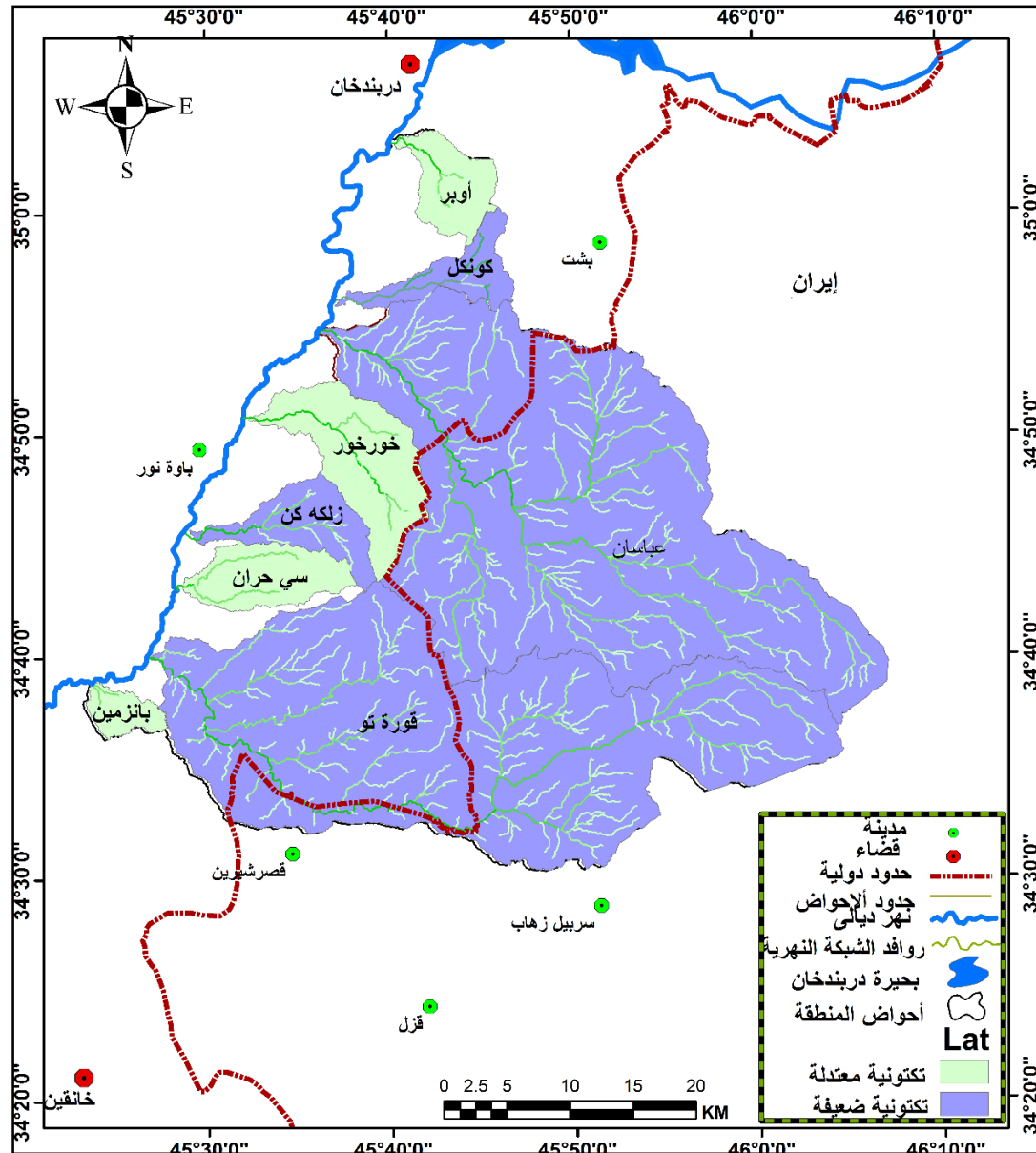
الاحواض	AF	T	SL	Smf/كم	Vf	N	RAT	صنف	الدرجة
أوبر	٣	٣	٣	١	١	١١	٢.٢	٢	متوسطة
كزنكل	٣	٣	٢	٣	٣	١٤	٢.٨	٣	منخفضة
عباسان	٣	٣	٢	٢	٣	١٣	٢.٦	٣	منخفضة
خورخور	٢	٣	٢	١	٢	١٠	٢	٢	متوسطة
زلکه کن		٣	٣	٢	٣	١٣	٢.٦	٣	منخفضة
سي حران	١	٢	٣	١	٣	١٠	٢	٢	متوسطة
قورة تو	٢	٢	٣	٢	٣	١٢	٢.٤	٣	منخفضة
بانزمين	٣	١	٣	٢	٢	١١	٢.٢	٢	متوسطة

المصدر: من عمل الباحثة بالاعتماد على إنموذج الارتفاع الرقمي Dem و نتائج معادلة مؤشر الـ (Smf) ومخرجات برنامج Arc Gis (arc map 10.4.1).

- الفئة الضعيفة النشاط: شملت هذه الفئة أغلب مساحة منطقة الدراسة ، إذ سجلت قيم أعلى من ٢.٣ وتمثلت بحوض كونكل وعباسان وزلکه کن وقورة تو وقد بلغت (٢.٨ و ٢.٦ و ٢.٦ و ٢.٤) على التوالي
- الفئة المعتدلة النشاط: تراوحت قيم هذه الفئة بين (١.٩-٢.٣) حيث تبين أن حوض أوبر و بانزمين قد سجلا قيم بلغت (٢.٢)، أما حوض خورخور وسي حران فقد ظهرت فيهما تكتونية معتدلة بلغت إذ سجلت قيم مؤشر الـ (RAT) فيهما (٢).

الفصل الثاني تحليل مخاطر العمليات الجيومورفية والهيدرولوجية ضمن منطقة

خريطة (٣٧) التصنيف النهائي لمؤشرات الفعالية التكتونية ضمن أحواض المنطقة



المصدر: من عمل الباحثة بالاعتماد على نموذج الارتفاع الرقمي Dem و بيانات الجدول (٣٨) و (٣٩) وباستخدام ومخرجات برنامج Arc Gis (arc map 10.4.1).

٢-١-٢ تحليل مخاطر العمليات المورفوديناميكية:

تشكل العمليات المورفوديناميكية خطراً يهدد مختلف الأنشطة البشرية وخاصة المناطق السكنية والزراعية والمنشآت الخدمية، حيث يتباين مقدار هذا الخطر من مكان الى آخر وذلك حسب طبيعة العمليات والعوامل المؤثرة فيه، إذ تحدث عمليات تحريك المواد في المنطقة عندما تنفصل المواد الصخرية عن القاعدة الأساس لها حالما تتوفر العوامل المسببة للحركة وفي الغالب تتداخل مع بعضها، فيكون بعضها أساسى تتمثل بقوة الجاذبية Gravitation والأراضي المنحدرة وكذلك أن ميل الطبقات الصخرية Dip يسهم في زيادة نشاط حركة المواد على المنحدرات إذا إتفق مع إتجاه إنحدار السطح مما يساعد على إنزلاق المواد المنهارة نحو إقدام المنحدرات لان إمتداد الطبقات الصخرية بشكل أفقي

الفصل الثاني تحليل مخاطر العمليات الجيومورفية والهيدرولوجية ضمن منطقة

أو باتجاه معاكس للانحدار يعيق من حدوث حركة المواد على المنحدرات ، والبعض الآخر ثانوي منها مناخية ، جيولوجية ، هيدرولوجية ، فضلاً عن العوامل البشرية.

وتعد الجاذبية الأرضية مصدر القوة الديناميكية للتفاعل بين العمليات الجيومورفولوجية والعوامل التي تحدث حركة المواد الأرضية المفككة أو الكتل الصخرية من أعالي المرتفعات نحو أقدامها^(١)، وسواء كانت هذه المواد الأرضية متحركة أم ثابتة (مستقرة) في مواضعها فوق السطح فأنها في كلتا الحالتين تعتمد على التوازن النسبي بين القوى المؤدية للحركة والمتمثلة بالجاذبية الأرضية التي تعمل على حركة المواد إلى أسفل المنحدر، فضلاً عن قوى المقاومة (قوة رد الفعل Reaction Force) التي تتجه نحو الأعلى لمنع حركة المواد باتجاه المواضع السفلى من سطح الأرض، والتي تتمثل بكتلة المنحدر وما عليها من إنشاءات هندسية ونباتات حيث تتداخل مع بعضها لتحديد درجة استقرار المنحدر^(٢)، حيث أن العلاقة بين القوى المقاومة للحركة والقوى الدافعة لها ليست ثابتة بل تتغير مع الزمن مما يؤدي إلى حدوث تطورات على كتلة المنحدر، إذ أن لكل كتلة أرضية ميل معين يسمى ميل الاستقرار فإذا زاد ميل أي منحدر على مقدار زاوية الاستقرار فإن المواد سوف تتحرك نحو أسفل المنحدر، وأيضاً عندما تكون القوة الدافعة للحركة تفوق قوة المقاومة لها فضلاً عن وجود صخور قليلة التماسك تقع تحت صخور صلبة تكون متأثرة بشقوق ومفاصل تلك الصخور فعند أذابتها تكون غروية صلصالية تسهل عملية تحريك المواد الأرضية^(٣).

وتصنف حركة المواد الأرضية التي تحدث في أحواض المنطقة على أساس اختلاف سرعة المواد وذلك اعتماداً على تصنيف (Sharpe) الذي يعد من أحدث التصنيفات ، لذا فقد صنفنا إلى الحركة البطيئة والحركة السريعة لمواد سطح الأرض^(٤) :

١-٢-١-٢ الحركة البطيئة للمواد : Slow Mass Movement

تحدث الحركة البطيئة للمواد على جوانب سفوح المنحدرات المعتدلة والقليلة الانحدار التي تغطيها طبقة سميكة من التربة والمفتتات الصخرية التي تكون غالباً متشبعة بالماء^(٥)، وتتمثل بزحف الصخور Rock Creep وزحف التربة Soil Creep إذ تتم حركة الزحف أحياناً بصورة فصلية، حيثما تشتد الاختلافات في درجة الحرارة وكمية الرطوبة المتوفرة بحيث تؤدي إلى تغيرات حجمية في هيكل هذه الرواسب تدفعها إلى الزحف بسبب فقدان تماسكها وبذلك تخضع لحكم الجاذبية الأرضية فتتحرك باتجاه الانحدار وتكرر هذه العملية يحدث هذا النوع من حركة المواد إلى جانب تأثير التجوية الكيميائية

١ (محمد صبري محسوب و محمود ذياب راضي ، الاخطار والكوارث الطبيعية الحدث والمواجهة ، مصدر سابق ، ص 154.

٢ (ادور كيلر ، ترجمة غسان السبتي ، الجيولوجيا ، ط 31، مطابع التعليم العالي ، اربيل ، 1982 ، ص 197 .

٣ (إسباهية يونس المحسن ، الجيومورفولوجيا (علم أشكال سطح الأرض) ط ١، دارالعلم للطباعة والنشر، الموصل ، ٢٠١٣ م، ص ١٠٨.

٤ (وفيق حسين الخشاب واحمد حديد ومهدي محمد علي الصحاف، علم الجيومورفولوجيا (تعريفه ، تطوره، مجالاته وتطبيقاته)، جامعة بغداد ، ١٩٧٨ ص ١١٩.

٥ (خلف حسين الدليمي ، علم اشكال سطح الارض التطبيقي، ط ١، دمصدر سابق ، ص ٢٥٩.

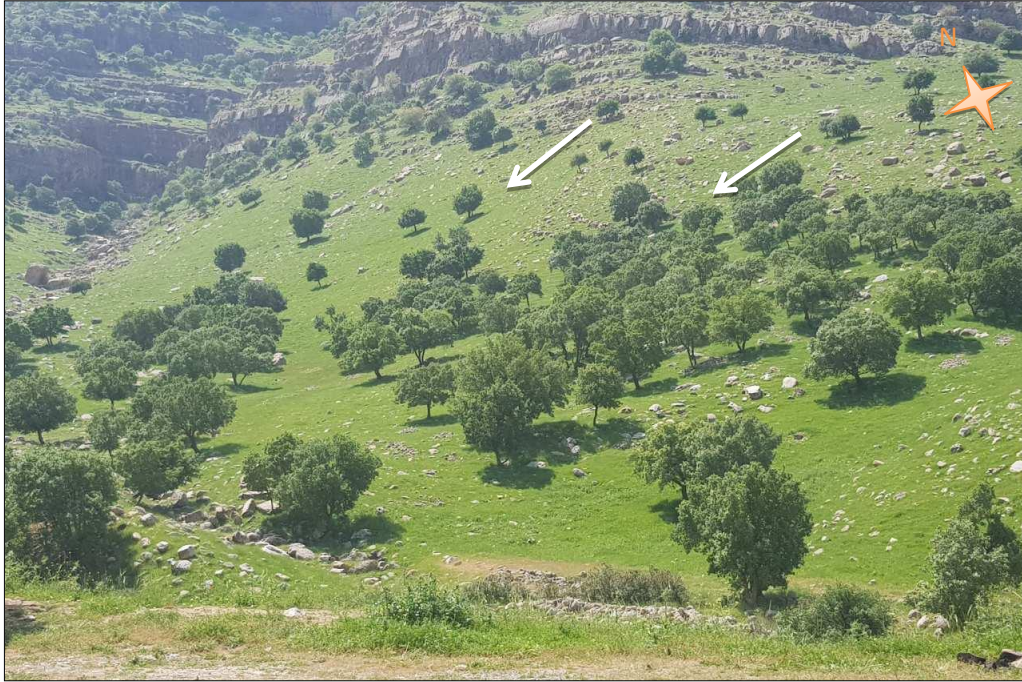
الفصل الثاني تحليل مخاطر العمليات الجيومورفية والهيدرولوجية ضمن منطقة

الناجمة عن تتابع الرطوبة والجفاف، ويستدل على هذه الحركة من خلال تراكم الرواسب والمواد الصخرية على جانب سفوح التلال وميل أعمدة الكهرباء وجذوع الاشجار باتجاه حركة زحف الصخور، ولا سيما أن منطقة الدراسة تمتاز برطوبة وتذبذب كميات الامطار الساقطة خلال العام^(١)، وتحدث هذه العملية في الأجزاء ذات الانحدار البسيط المتمثلة بالجهات الغربية للمنطقة، وكما في الصورة (٢٤) و(٢٥).

صورة (٢٤) زحف الصخور قرب قرية كاني قول ضمن ناحية ميدان



صورة (٢٥) ميلان جذوع الاشجار بسبب زحف التربة على سفوح وادي تورينه ضمن حوض عباسان



التقطتا بتاريخ ٢٠١٩/٥/٣

(١) محمد صبري محسوب، الجغرافيا الطبيعية (أسس ومفاهيم حديثة)، مصدر سابق، ص ٧٧

الفصل الثاني تحليل مخاطر العمليات الجيومورفية والهيدرولوجية ضمن منطقة

٢-١-٢ الحركة السريعة للمواد Rapid Mass Movement :

تنتج الحركة السريعة عند التشبع الكامل للرواسب الطينية الهشة بالماء فيقل تماسكها ويزداد ثقلها فتتحرك بسرعة باتجاه أسفل المنحدر مما يؤدي الى ظهور هذا النوع من الحركة مثل التدفق الطيني (Mud Flow) أو الهبوط الارضي إذ تكون على أشدها في السفوح الخالية من النبات الطبيعي^(١).

٢-١-٣ الحركة السريعة جداً للمواد Very Rapid Mass Movement :

هي تلك العمليات التي لا يمكن رصدها وقت حدوثها لأنها تتم بشكل فجائي وسريع، إذ غالباً ما تسمى بعمليات الجاذبية Colluvial Processes التي تتطور تحت التأثير المباشر للجاذبية الارضية، وتتمثل بما يأتي :

• الإنزلاق أو الانهيار الأرضي Land Slides :

تظهر الانزلاقات الارضية على نطاق واسع في السفوح الشديدة الانحدار والتي يكون ميل طبقاتها باتجاه ميل أنحدار السفح، إذ تتحرك أو تتدحرج كتل كبيرة من الصخور المنفصلة عن التكوينات وخاصة تلك التي تتضمن شقوق ومفاصل بعد أن أثرت عليها عمليات التجوية والتعرية ، فضلاً عن جملة من العوامل الطبيعية والبشرية منها طوبغرافية المنطقة والبنية الجيولوجية ونوع الصخور وخصائصها الفيزيائية أي عندما تتركز كتلة من الصخور الصلبة على صخور طفلة ضعيفة وتكون منحدره باتجاه وادي أو منخفض فأنها من المحتمل جداً أن تتعرض للانهيار أو الانزلاق الارضي ، أو قد تتكون نتيجة حدوث زلزال أرضي أو سقوط أمطار غزيرة تعمل على أشباع الارض وبالتالي انهيار جزء كبير منها^(٢) ، فضلاً عن تأثير الانسان باعتباره عامل جيومورفولوجي مهم كقيامه بأعمال انشائية مثل الحفر والتعدين^(٣).

تكون الإنزلاقات حساسة بدرجة كبيرة بالنسبة لمحتوى الصخر من الماء الذي يقلل درجة مقاومتها من خلال زيادة ضغطه على المسامات والفواصل بحيث يعمل على تقليل قوة الروابط Bonds بين جزيئات الصخر وفي نفس الوقت يزيد الماء من وزن المواد الصخرية بدرجة تؤدي الى زيادة تدفقها نحو أقدام سفوح المنحدرات، وتزداد فعالية الانزلاق الارضي إذا ما سقط المطر الغزير بعد فترة جفاف طويلة تعرضت خلالها صخور السفح لتشققات كثيفة بدرجة تزيد من طاقة إمتصاصها للماء^(٤) ، إن منطقة الدراسة تمتاز بانتشار القمم الجبلية المرتفعة لذلك فأن خطر الانزلاق والسقوط الصخري يداركها من جميع الاتجاهات، وبالإمكان ملاحظة هذه الظاهرة بشكل واضح في الاجزاء الشمالية والشمالية الشرقية والشرقية ضمن حوض أوبر وكونكل وعباسان، ينظر الصورة (٢٦) و(٢٧-ب).

١ (وفق حسين الخشاب واحمد حديد ومهدي محمد علي الصحاف، علم الجيومورفولوجيا (تعريفه ، تطوره، مجالاته وتطبيقاته ،الجيومورفولوجية، مصدر سابق ، ص ١١٩ .

2) Ernest D.werner ,Hugh P.Friedman , "Land Slides Causes ,Types ,Types and Effects" ,Nova Science Publishers ,Inc,Newyork ,2010,p26.

٣ (خلف حسين الدليمي ، الجيومورفولوجيا التطبيقية(علم أشكال سطح الارض التطبيقي) ،مصدر سابق ،ص ١٢١ .

٤ (محمد صبري محسوب ، جيومورفولوجية الاشكال الارضية ، دار الفكر العربي ، القاهرة ، 2009،ص119.

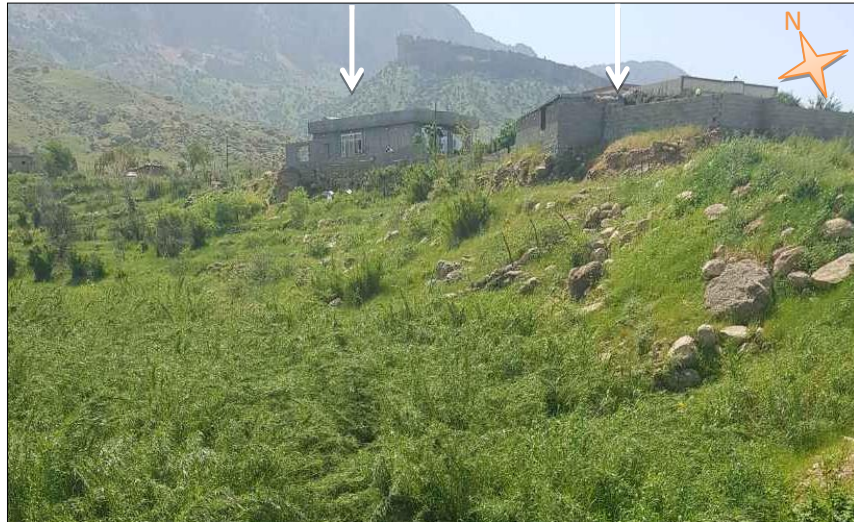
الفصل الثاني تحليل مخاطر العمليات الجيومورفية والهيدرولوجية ضمن منطقة

صورة (٢٦) الانزلاق الأرضي ضمن سفوح منحدرات وادي شيخان في حوض عباسان



التقطت بتاريخ ٢٠١٩/٩/١٣

صورة (٢٧ - أ) منازل معرضة للانزلاق الأرضي قرب قرية سلاوة ضمن الاجزاء الشمالية الشرقية من المنطقة



التقطت بتاريخ ٢٠١٩/٥/٣

صورة (٢٧ - ب) منازل معرضة للانزلاق الأرضي في قرية شاويزي ضمن الاجزاء الشمالية الشرقية من المنطقة



التقطت بتاريخ ٢٠١٩/٥/٣

الفصل الثاني تحليل مخاطر العمليات الجيومورفية والهيدرولوجية ضمن منطقة

• السقوط الصخري Rocks Fall :

تحدث هذه العملية في السفوح الصخرية العارية ذات التكوينات ضعيفة التماسك وشديدة الانحدار ، حيث تصطدم بالارض دون تدرجها أو إنزلاقها ، وتعرض الطبقات الصخرية المتباينة الخصائص لحدوث عمليات التجوية والتعرية التي تعمل على تفكيك الضعيفة منها فتسقط نحو الاسفل بفعل الجاذبية الارضية^(١)، ولقد شوهدت هذه الظاهرة في منطقة الدراسة ضمن الاجزاء الشمالية والشمالية الشرقية التي تتميز بأنها شديدة الانحدار، ويكون لهذه الظاهرة تأثيراً واضحاً ولاسيما بعد تساقط الامطار الغزيرة مما يؤدي ذلك الى تدمير المدرجات الزراعية ومواقع التعدين وإضطرابات الجريان المائي وحجز مياهها خلف التراكبات الصخرية المنزلقة وكما يؤدي سقوط الكتل الصخرية الكبيرة الى قطع الطرق التي تربط بين المستقرات البشرية فيما بينها، صورة (٢٨) و(٢٩).

صورة (٢٨) سقوط كتل صخرية في قرية شمشير كول ضمن ناحية ميدان



صورة (٢٩) سقوط حركتل صخرية في أحد أودية حوض أوبر في شمال المنطقة



(١) خلف حسين الدليمي ، علم اشكال سطح الارض التطبيقي ، مصدر سابق، ص 253 .

• حركة الهبوط الأرضي Subsidence:

وهي حركة هبوط أفقية للمواد الصخرية تنشأ بفعل قوة الجاذبية ضمن السفوح ذات التكوينات الهشة المشبعة بالماء مما يعمل ذلك على أضعاف القاعدة التي تركز عليها التكوينات التي تعلوها، إذ تحدث غالباً عند إزالة التكوينات الصخرية السفلية التي كانت تركز عليها وينجم عن اختلال التوازن في هذه الحالة هبوط كتلة الأرض من أعلى إلى أسفل المنحدرات في حركة رأسية دون حدوث زحزحة جانبية^(١)، حيث شوهد هذا النوع من الحركة في أجزاء متفرقة من الجهات الجنوبية والجنوبية الشرقية للمنطقة ضمن الأراضي من حوض قورة تو .

٢-٢. المبحث الثاني- تحليل مخاطر العمليات الهيدرولوجية:

١-٢-٢. تحليل مخاطر العمليات المورفومناخية:

تم التطرق في هذا المبحث إلى التعرية المائية والتي تعد من أنشط العمليات المورفومناخية التي تحدث ضمن المنطقة، وكالاتي:

١-٢-٢.١. التعرية المائية water Erosion:

ينشط هذا النوع من التعرية في البيئات الجافة وشبه الجافة نتيجة لطبيعة التساقط المطري الذي يتصف بالتطرف في الكميات الهائلة وبفصلية الأمطار وغازاتها وتكرار سقوطها شتاءً، فضلاً عن جفاف المنطقة وإرتفاع درجة الحرارة صيفاً الذي يعمل على زيادة نشاط عملية التعرية المائية فيها^(٢). تعد التعرية المائية من المسببات الرئيسة للمخاطر الجيومورفية ضمن المنطقة، حيث إن تزايد مخاطر التساقط المطري بشكل متباين من مكان لآخر وذلك تبعاً لتأثير عدة عوامل منها شدة الأمطار الساقطة وطول فترة سقوطها وحجم قطرات المطر فضلاً عن كمية تركيزها وتكرارها التي تساهم في حدوث سيول جارفة تنشأ عنها مخاطر تؤثر على النسيج العمراني المتمثل بالقرى والمنشآت السكنية وعلى النشاط الزراعي من خلال جرف التربة والقضاء على معظم المحاصيل الزراعية وهذا ما حدث خلال السنوات الأخيرة في منطقة الدراسة، إذ إن لسرعة المياه الجارية وكميتها في الأودية النهرية تأثير على شدة التعرية ونوع المفتتات الصخرية التي تنتقل معها التي تعمل على زيادة حجم الترسبات النهرية عند السهل التجميعي ضمن أحواض المنطقة، فضلاً عن تأثير نوع التكوينات السطحية المنكشفة في المنطقة سواء كانت صلبة أم هشة وكذلك نوع وكثافة الغطاء النباتي، وكما إن لدرجة انحدار سطح الأرض دور مهم في حدوث هذا النوع من التعرية، أي كلما زادت درجة الانحدار قلت

(١) حسن سيد أحمد أبو العينين، أصول الجيومورفولوجيا (دراسة الأشكال التضاريسية لسطح الأرض)، ط ١، مؤسسة الثقافة الجامعية، ١٩٩٥، ص ٣٣٨.

(٢) حسن رمضان سلامة، جغرافية الأقاليم الجافة، ط ١، دار المسيرة للنشر والتوزيع والطباعة، عمان، ٢٠١٠، ص ٥٧.

الفصل الثاني تحليل مخاطر العمليات الجيومورفية والهيدرولوجية ضمن منطقة

نسبة ترشح المياه الى داخل التربة وبذلك تزداد عملية الجريان السطحي ومعدل تعرية السطح وإنجراف التربة والمفتتات الصخرية باتجاه بطون الاودية والاجزاء المنخفضة من أراضي المنطقة^(١). وتعد التعرية المائية ذات أثر واضح في المنطقة مقارنة مع التعرية الريحية التي تتصف بمحدوديتها وذلك لوجود سفوح جبلية شديدة الارتفاع تعمل كمصدات للرياح.

تتخذ التعرية المائية اشكالا متعددة وذلك حسب العوامل المؤثرة في حدوثها، مثل:

١-٢-٢-١-١-١-٢-٢. تعرية قطرات المطر (التعرية التصادمية) Splash erosion :

أن قطرات المطر (Rain drop) تبدأ بالفعل الميكانيكي لها حين تصطدم بسطح الارض وذلك نتيجة لهطول زخات مطرية شديدة وقطرات كبيرة الحجم، إذ تعمل على تناثر الرواسب الفتاتية الناعمة والمواد المجوأة غير المتماسكة مما يسهل جرف التربة وإنهائها ، فضلا عن ذلك فان سقوط قطرات المطر على الماء في المسيلات والأخاديد والجداول الضحلة تعمل على اضطراب الجريان الذي تكون له قابلية عالية على حمل الرواسب، إذ يؤثر الانحدار ونوع وكثافة الغطاء النباتي في هذا النوع من التعرية، ويسود هذا النوع من التعرية في الاجزاء الشديدة الارتفاع من المنطقة والتي تكون ذات كثافة نباتية قليلة وبالابتعاد عنه يمكن أن تبدأ التعرية الغطائية أو السيلية والأخدودية^(٢).

ولحساب شدة التعرية المطرية في أحواض المنطقة فقد أعتمد على معادلة (فورنييه Fournier - أرنندوس A.F.I) مستندة على معدلات الامطار الشهرية ومجموع الامطار السنوية وذلك بتطبيق المعادلة التالية^(٣):

$$AFI = \sum (PI)^2 / (P)$$

حيث تمثل AFI : مؤشر فورنييه للقدرة الحثية الامطار

PI^2 : مربع مجموع كميات الامطار لكل شهر (مم)

P : مجموع كميات الامطار السنوية (مم)

وقد وضع فورنييه محددات تتكون من أربع درجات كما في جدول (٤٠).

جدول (٤٠) أصناف شدة التعرية المطرية حسب مؤشر فورنييه

الدرجة	شدة التعرية
أقل من ٥٠	ضعيف
٥٠ - ٥٠٠	معتدل
٥٠٠ - ١٠٠٠	متوسط
أكثر من ١٠٠٠	عالي

Fournier , F.climate erosion , la relation enter le resion du sol parleau et lesperception, atmospheres, pairs , 1960 , p 201 .

(١) نادية حاتم طعمة العتايي ، الخصائص المناخية وأثرها في المخاطر الجيومورفولوجية في شرقي محافظة ميسان ، سابق، ص ١٤٢.

(٢) خلف حسين الدليمي ، علم اشكال سطح الارض التطبيقي ، مصدر سابق، ص ١٣٥.

3) Fournier , F.climate erosion , la relation enter le resion du sol parleau et lesperception, atmospheres, pairs , 1960 , p 201 .

الفصل الثاني تحليل مخاطر العمليات الجيومورفية والهيدرولوجية ضمن منطقة

بعد تطبيق المعادلة أعلاه تبين إن هناك قلة في نسبة الحث المطري الذي يحدث ضمن المنطقة، كما في الجدول (٤١) و (٤٢) و (٤٣)، وذلك يعود الى قلة الامطار الساقطة إذ جاءت نتائج المعادلة للمحطات الثلاث ضمن درجة التعرية المطرية الضعيفة وذلك حسب معادلة فورنيه أي (أقل من ٥٠)، وتعد أمطار شهري كانون الثاني وشباط أكثر أشهر السنة إسهاماً في التعرية المطرية إذ بلغت شدة التعرية المطرية في شهر كانون الثاني للمحطات الثلاث على التوالي (١٠.٢ ، ٨.٦ ، ٨.٨) ملم وفي شهر شباط (١٢.٧ ، ١٣.٩ ، ١٤.٤) ملم.

جدول (٤١) قابلية المطر على الحث حسب مؤشر فورنيه نسبة للمعدلات الشهرية للأمطار ضمن المحطة A للمنطقة للمدة من (٢٠١٨-٢٠٠٨)

الاشهر	متوسط الامطار الشهرية/ ملم	حجم التعرية
ك ٢	٧٠.٧	١٠.٢
شباط	٧٨.٩	١٢.٧
اذار	٥٧.٦	٦.٨
نيسان	٦٩.٧	٩.٩
ايار	٥٦.٨	٦.٦
حزيران	٠.٠٢٢	٠
تموز	٠.٠٠٤	٠
اب	٠.٠٠٤	٠
ايلول	١٠.٢	٠.٢١
ت ١	٢٢.٦	١.١
ت ٢	٥٤.٦	٦.١
ك ١	٦٩.٢	٩.٨
المجموع	٤٩٠.٣	

المصدر من عمل الباحثة بالاعتماد على نتائج معادلة فورنيه .

جدول (٤٢) قابلية المطر على الحث حسب مؤشر فورنيه نسبة للمعدلات الشهرية للأمطار ضمن المحطة B للمنطقة للمدة من (٢٠١٨-٢٠٠٨)

الاشهر	متوسط الامطار الشهرية/ ملم	حجم التعرية
ك ٢	٦١.٣	٨.٦
شباط	٧٧.٨	١٣.٩
اذار	٤٢.٢	٤.١
نيسان	٦٣.٩	٩.٤
ايار	٤٩.٧	٥.٧
حزيران	٠.٠١٦	٠
تموز	٠.٠٠٣	٠
اب	٠.٠٠٤	٠
ايلول	٦.١	٠.٠٩
ت ١	٢١.٥	١.١
ت ٢	٤٩.٦	٥.٦
ك ١	٦٤.٣	٩.٥
المجموع	٤٣٦.٤	

المصدر من عمل الباحثة بالاعتماد على نتائج معادلة فورنيه .

الفصل الثاني تحليل مخاطر العمليات الجيومورفية والهيدرولوجية ضمن منطقة

جدول (٤٣) قابلية المطر على الحث حسب مؤشر فورنيه نسبة للمعدلات الشهرية
للامطار ضمن المحطة C للمنطقة للمدة من (٢٠٠٨-٢٠١٨)

الاشهر	متوسط الامطار الشهرية/ ملم	حجم التعرية
كانون	٦١.٦	٨.٨
شباط	٧٨.٦	١٤.٤
اذار	٤١.١	٣.٩
نيسان	٦٢.٨	٩.٢
ايار	٤٨.١	٥.٤
حزيران	٠.١٢	٠
تموز	٠.٠٠٣	٠
اب	٠.٠٠٤	٠
ايلول	٦.٤	٠.١
تشرين	٢١.٢	١.١
كانون	٤٧.١	٥.٢
كانون	٦٣.٧	٩.٤
المجموع	٤٣٠.٦	

المصدر من عمل الباحثة بالاعتماد على نتائج معادلة فورنيه.

وينتج عنها أنواع متعددة من أشكال التعرية منها:

٢-١-١-٢-٢. التعرية الغطائية (الأنجراف الصفاحي) Sheet Erosion :

يظهر هذا النوع من التعرية على شكل طبقة أو غطاء رقيق متماثل السمك من المفنتات، ويحدث فوق الاراضي القليلة الانحدار ذات التربة قليلة النفاذية وذلك عندما تفوق كمية الامطار الساقطة ما يتسرب داخل التربة، فتتحرك تلك المياه المتجمعة نحو جهة الانحدار بحركة بطيئة جارية معها المواد المفككة على شكل مادة عالقة أو ذائبة^(١).

إذ لوحظ هذا النوع من التعرية عند نهاية سفوح التلال أو أقدام الجبال ذات الانحدار البسيط وفي بعض أجزاء إقليم السهل التجمعي، ويظهر ذلك واضحاً في الجهات الغربية والجنوبية الغربية من المنطقة*.

٢-١-١-٢-٢. تعرية المسيلات المائية Rills Erosion :

يزداد نشاط هذا النوع من التعرية في التكوينات قليلة الصلابة والاراضي التي تكون منحدره نوعاً ما، فيترتب على ذلك زيادة سرعة الجريان مكوناً مجاري بدائية صغيرة ، ضيقة ، متوازية لا يتعدى عرض وعمق الواحد منها عن بضعة سنتيمترات ، وتمثل المرحلة التالية للتعرية الصفاحية، حيث أنه غالباً ما تطمر هذه المسيلات بحلول الجفاف أي بعد موسم سقوط الامطار^(٢)، ويسود هذا النوع من التعرية في الاجزاء التي تنتشر فيها المجاري المائية التي تمثل المرتبة الاولى والثانية ضمن أودية أحواض

(١) خلف حسين الدليمي ، الجيومورفولوجيا التطبيقية (علم اشكال سطح الارض التطبيقي)، مصدر سابق، ص ٣٠٧ .
*الزيارة الميدانية بتاريخ ٢٠١٩-٥-٢.

(٢) خلف حسين الدليمي ، الجيومورفولوجيا التطبيقية (علم اشكال سطح الارض التطبيقي)، مصدر سابق، ص ١٣٧ .

الفصل الثاني تحليل مخاطر العمليات الجيومورفية والهيدرولوجية ضمن منطقة

المنطقة ، وتتراوح أطوال هذه المسيلات بين (١٠٥-٢٧٦) سم أما معدل عمقها فيتراوح بين (٨-١٥) سم وعرضها يتراوح ما بين (٧-٢٥) سم* ، كما في الصورة (٣٠).

صورة (٣٠) مسيلات مائية في أودية حوض زلكه كن قرب قرية قرم جرم



النقطة بتاريخ ٢٠١٩-٩-١٣

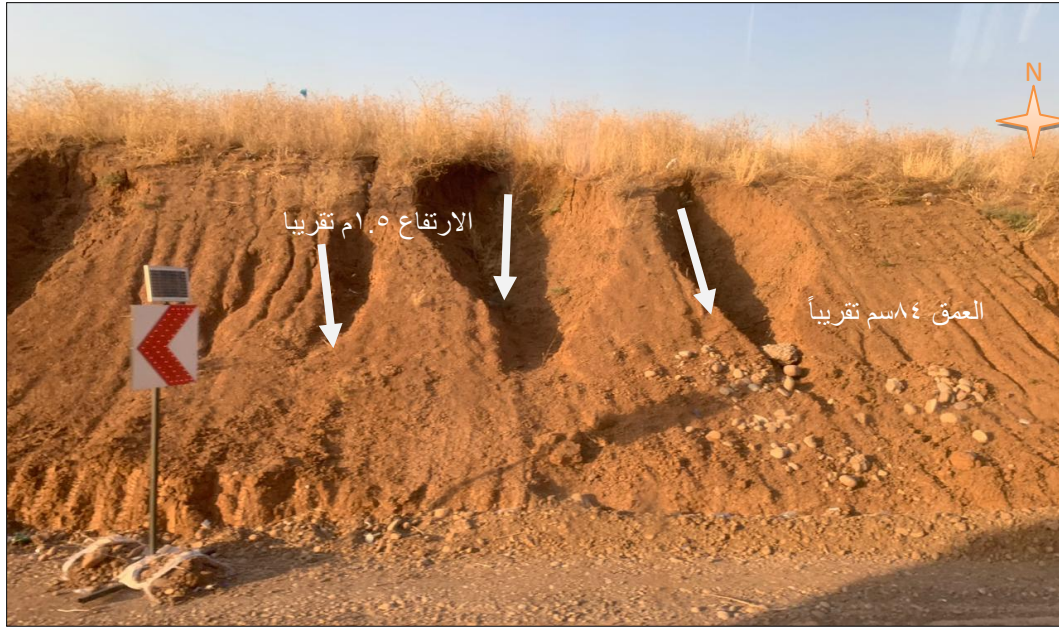
٢-٢-١-٣. التعرية الأخدودية Gullies Erosion:

التعرية الأخدودية هي مجاري مائية ذات ابعاد واضحة تنشأ من التقاء عدد من المسيلات المائية بعضها مع البعض، وهذا ما يجعل المياه الجارية فيها لها القدرة على جرف ونقل الجلاميد وقطع الصخور الصغيرة وتفتيتها من خلال إحتكاك الصخور القاع مع جوانب الاودية الحادة التي تتأثر بالفيضانات الوضوية العابرة التي تحدث خلال العاصفة المطرية، فتتجمع رواسب التعرية الجدولية والأخدودية عند نهايات الاودية، وغالباً ما تعد التعرية الأخدودية هي مرحلة متقدمة من التعرية المسيلية، إذ إن الطاقة الحثية للمياه الجارية في الأخاديد تزداد مع زيادة كل من البعد عن خط تقسيم المياه وزيادة الانحدار^(١)، ويسود هذا النوع من التعرية في أجزاء واسعة من مساحة المنطقة، إذ شوهدت في الجهات الجنوبية الغربية عند اودية حوض قورة تو وكانت بأطوال وأعماق متباينة، إذ بلغ معدل أطوالها من (١.٥-٢.٥) م وتراوحت أعماقها ما بين (٢٥-٧٥٤) سم، كما في الصورة (٣١).

(١) رحيب حميد العبدان ومحمد جعفر السامرائي، التعرية المطرية لسفوح تلال حميرين باستخدام نظم المعلومات الجغرافية (GIS)، بحث منشور، مجلة كلية الآداب، العدد ١٨، بدون تاريخ، ص ٣٣٠.

الفصل الثاني تحليل مخاطر العمليات الجيومورفية والهيدرولوجية ضمن منطقة

صورة (٣١) التعرية الاخدودية في الجزء الجنوبي الغربي من المنطقة ضمن حوض قوره تو



التقطت بتاريخ ٢٠١٩/٩/١٣.

وقد اعتمدت معادلة (Bergsma, 1983) في حساب التعرية الأخدودية وقياس شدتها^(١)، وذلك من خلال معرفة الدرجات التعرؤية ومعدل تأثيرها في عموم المنطقة، وكما يأتي:

$$AE = \sum L/A$$

حيث إن :

$$AE = \text{معدل التعرية الاخدودية م / كم}^2$$

$$\sum L = \text{مجموع أطوال الأخاديد ضمن وحدة المساحة}$$

$$A = \text{مساحة الوحدة الواحدة / كم}^2$$

والجدول (٤٤) يوضح المعايير المتبعة حسب تصنيف (Bergsma):

جدول (٤٤) درجات التعرية الاخدودية وفق تصنيف (Bergsma)

درجة التعرية	الوصف	معدل التعرية م/كم ^٢
٠	عديمة التعرية	Zero
١	خفيفة جداً	١ - ٤٠٠
٢	خفيفة	٤٠١ - ١٠٠٠
٣	متوسطة	١٠٠١ - ١٥٠٠
٤	عالية	١٥٠١ - ٢٧٠٠
٥	عالية جداً	٢٧٠١ - ٣٧٠٠
٦	شديدة	٣٧٠١ - ٤٧٠٠
٧	شديدة جداً	أكثر من ٤٧٠٠

المصدر: فلاح شاكر اسود، الخرائط الموضوعية، مطبعة جامعة بغداد، كلية الآداب، جامعة بغداد، 1991، ص 92-93.

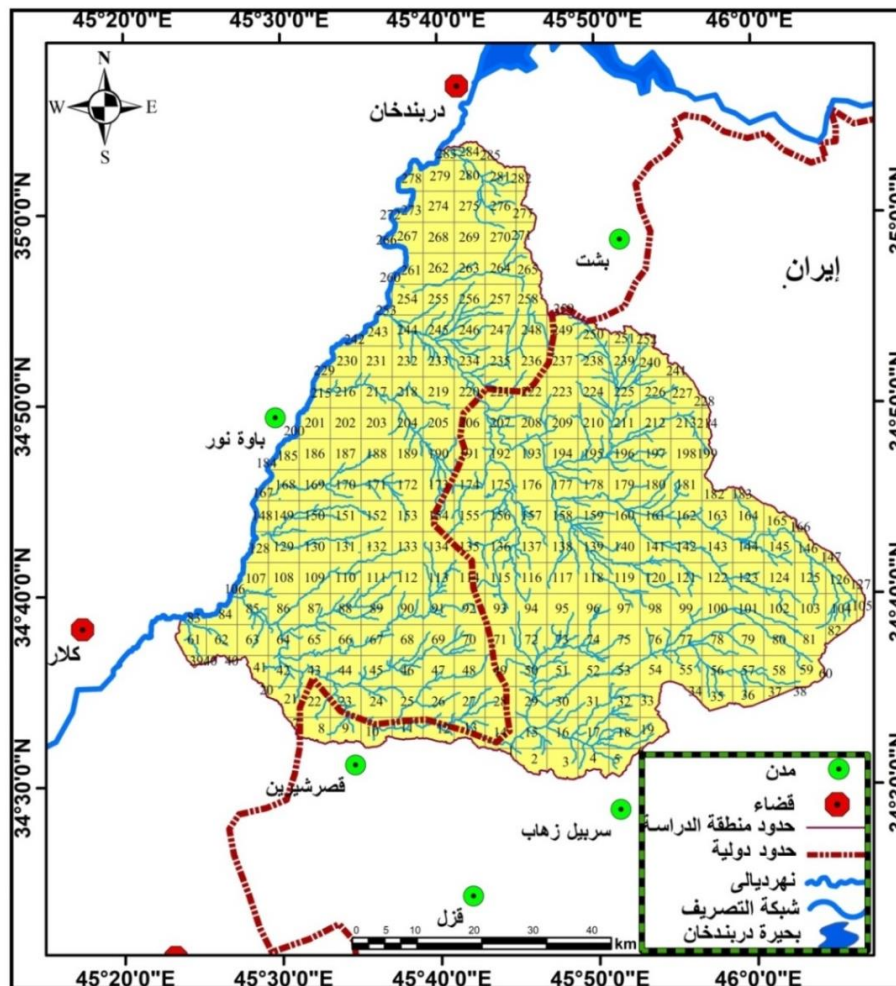
1) Eelko.Bergsma," Rain Fall Erosion",Servers For Conserviton Planning, Itc ,Nether Journal, vol -2 ,1983,p. p. 16-16

الفصل الثاني تحليل مخاطر العمليات الجيومورفية والهيدرولوجية ضمن منطقة

وطبقت المعادلة على أحواض منطقة الدراسة والبالغ عددها (٨) أحواض وذلك باتباع الخطوات الآتية:

قسمت خريطة المنطقة الى شبكة مربعات بلغ عددها (71٢) موقع بأبعاد (٣ كم ٢) وذلك حسب كثافة شبكة الصرف المائي مشتقة من أنموذج الارتفاع الرقمي (DEM)، كما في الخريطة (٣٨). ومن ثم حسبت أطوال الاخاديد في كل مربع من المربعات الواقعة ضمن وحدة المساحة من خلال ضربه في مقدار مساحة المربع وذلك باستخدام برنامج (Arc Map10.4). وبعد ذلك حددت درجات التعرية في الاخاديد وذلك حسب تصنيف (Bergsma)، ومن خلال التحليل تبين إن التعرية الاخودية في المنطقة تقع ضمن الدرجات (١، ٢، ٣، ٤)، وأن نصف مساحة المنطقة تقريباً وقعت ضمن نطاق التعرية الخفيفة، أما الدرجات (٥، ٦، ٧) والتي تتمثل بالنطاق عديم التعرية والتعرية العالية جداً والشديدة والشديدة جداً فلم تظهر ضمن أراضي المنطقة. وقد وقع نطاق التعرية الخفيفة جداً ضمن (٧٠ موقع) ونطاق التعرية الخفيفة وقعت ضمن (١٢٩ موقع) ونطاق التعرية المتوسطة وقعت ضمن (٧٦ موقع) أما نطاق التعرية العالية فقد وقعت ضمن (١٠) مواقع.

خريطة (٣٨) شبكة التصريف المائي في منطقة الدراسة مقسمة الى مربعات



المصدر: من عمل الباحثة بالاعتماد على أنموذج الارتفاع الرقمي (DEM) باستخدام برنامج (Arc Map10.4)

الفصل الثاني تحليل مخاطر العمليات الجيومورفية والهيدرولوجية ضمن منطقة

ومن ثم رسمت الخريطة (٣٩) التي تمثل درجات التعرية في المنطقة بأربع نطاقات عديمة التعرية وخفيفة ومتوسطة وشديدة، كما في الجدول (٤٥)، وكالاتي:

• نطاق التعرية الخفيفة جداً:

وهي الأجزاء التي تضم درجة التعرية (١) إذ شغلت مساحة (٤٢٥.٣٤) كم^٢ أي بنسبة (٢٠%) من المساحة الاجمالية للمنطقة ، تسود هذه الفئة عند مصبات الاودية التي تتصف أراضيها بالانبساط وكثافة الغطاء النباتي فيها.

• نطاق التعرية الخفيفة (Slight Erosion Zone):

تتمثل هذه الفئة بدرجة التعرية (٢) وشكل هذا النطاق أعلى نسبة تعرية إحدودية بلغت (٤٨%) وبمساحة شغلت (١٠١٩) كم^٢ من مجموع مساحة المنطقة، إذ يسود في الجهات ذات الانحدار البسيط والمتمثلة باقدام الجبال.

• نطاق التعرية المتوسطة (Moderat Eroition Zone):

يتمثل هذا النطاق بدرجة التعرية (٣) والذي شغل مساحة بلغت (٥٨٠.١٢) كم^٢ من إجمالي مساحة المنطقة أي بنسبة (٢٧) % ، وتسود في الأجزاء التي تكون ذات إنحدار ملحوظ وينتشر فيها الغطاء النباتي حيث تتمثل باقليم الجبال المتوسطة الارتفاع.

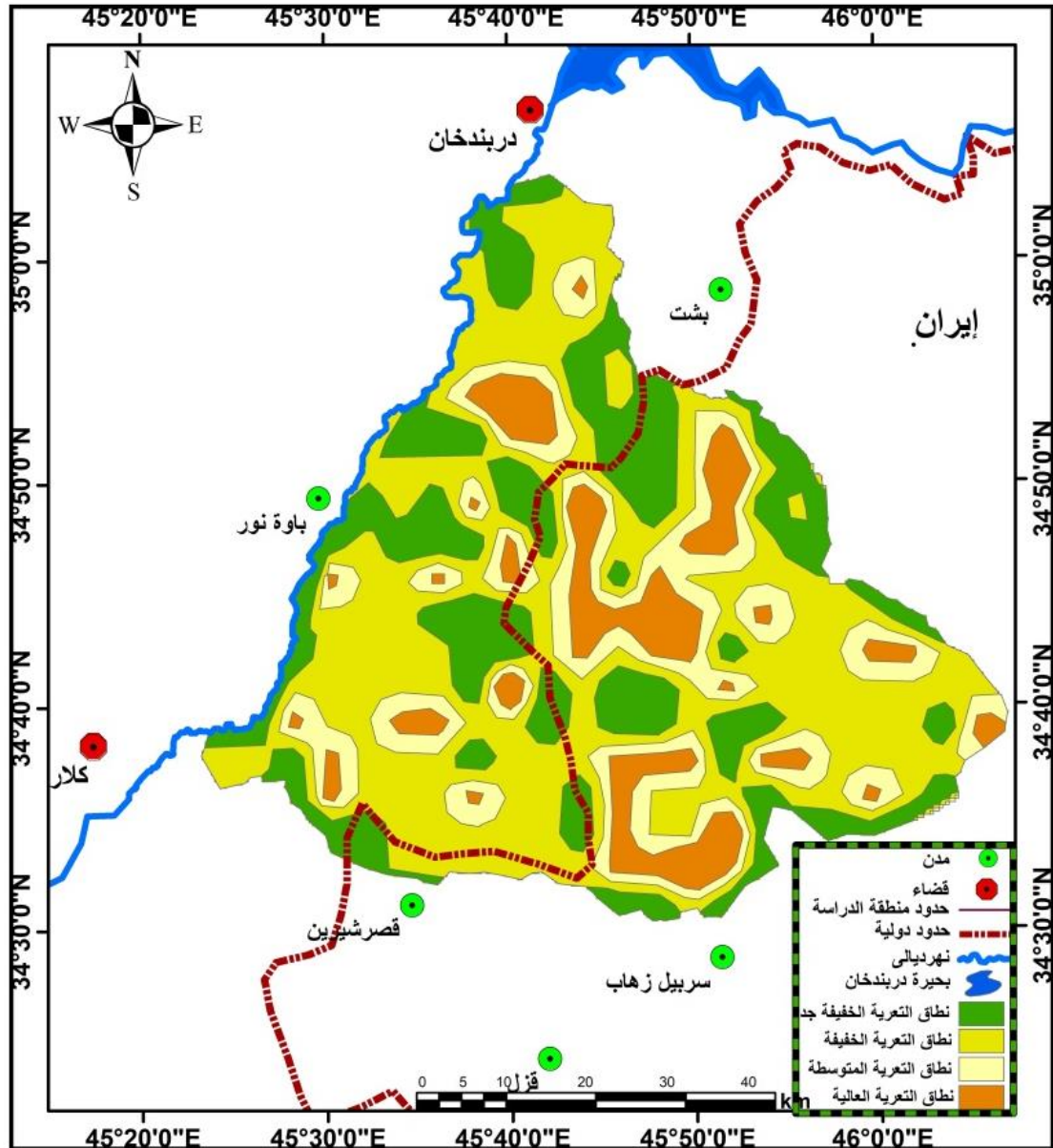
• نطاق التعرية العالية (Severe Erosion Zone):

يتمثل هذا النطاق بدرجة التعرية (٤) والذي يسود ضمن المناطق المتضررة التي يتصف سطح أراضيها بسيادة التربة الضحلة بسبب إنجراف الطبقة السطحية الامر الذي يجعلها غير صالحة للإنتاج الزراعي ، ويشغل هذا النطاق أدنى نسبة بلغت (٥) % من مجموع مساحة المنطقة ومساحة بلغت (١٣٨.٥٧) كم^٢، حيث يسود في الأجزاء الشديدة التضرر المتمثلة بمناطق الجبال العالية والتي تتصف بخلوها من الغطاء النباتي.

يتضح من ذلك إن هناك تباين بين قيم التعرية الي تحدث ضمن المنطقة وذلك تبعاً لتنوع وتباين التكوينات الجيولوجية ومدى مقاومتها لعمليات التعرية وتباين نوع وكثافة الغطاء النباتي في المنطقة وكذلك تنوع تضاريسها من أراضي شديدة الانحدار الى أراضي مستوية وبسيطة الانحدار، حيث سادت التعرية الاخدودية الخفيفة في أغلب مساحة منطقة الدراسة.

الفصل الثاني تحليل مخاطر العمليات الجيومورفية والهيدرولوجية ضمن منطقة

خريطة (٣٩) شدة التعرية الاخدودية حسب تصنيف (Bergsma)



المصدر: من عمل الباحثة بالاعتماد على نتائج معادلة (Bergsma) وإنموذج الارتفاع الرقمي (DEM) باستخدام برنامج Arc Gis (Arc map10.4).

جدول (٤٥) أصناف التعرية الاخدودية وعدد المواقع ومساحتها ونسبتها المئوية للمنطقة

الانطقة	درجة التعرية	عدد المواقع	مجموع المساحات / كم ^٢	النسبة المئوية %
التعرية الخفيفة جداً	١	٧٠	٤٢٥.٣٤	٢٠
التعرية الخفيفة	٢	١٢٩	١٠١٩	٤٨
التعرية المتوسطة	٣	٧٦	٥٨٠.١٢	٢٧
التعرية العالية	٤	١٠	١٣٨.٥٧	٥
المجموع		٢٨٥	٢١٦٣	١٠٠

المصدر: من عمل الباحثة بالاعتماد خريطة (٣٩).

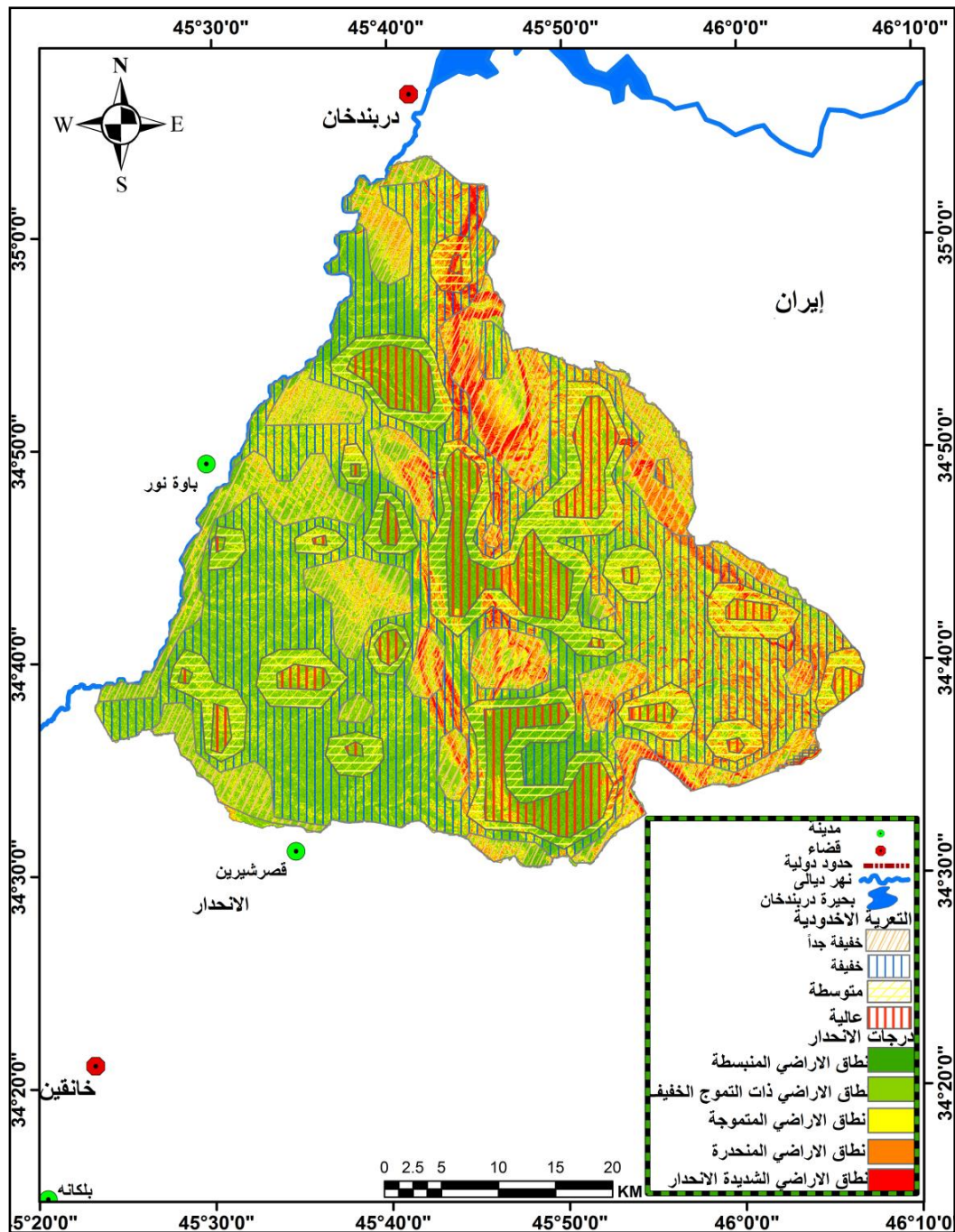
الفصل الثاني تحليل مخاطر العمليات الجيومورفية والهيدرولوجية ضمن منطقة

٢-١-٢-٢. علاقة درجة الانحدار ونوع الصخور بقابلية التعرية الاخدودية:

لمعرفة مدى تأثير التعرية الاخدودية بنوع الانحدارات السائدة ضمن المنطقة ، فقد تم عمل مطابقة بين خرائطهما وذلك كما في الخريطة (٤٠)، ومن خلال هذا التطابق نستنتج مايلي :

إن هناك علاقة طردية بين الانحدار وشدة التعرية أذ تزداد شدة التعرية الاخدودية ضمن الاراضي التي تتصف بشدة انحدارها وسفوحها الجرفية ،حيث لوحظ تركيز التعرية الاخدودية العالية ضمن الاراضي الشديدة الانحدار بينما التعرية الخفيفة جداً فقد سادت ضمن نطاق الاراضي المنبسطة.

خريطة (٤٠) مطابقة درجات الانحدار و التعرية الاخدودية ضمن المنطقة



الفصل الثاني تحليل مخاطر العمليات الجيومورفية والهيدرولوجية ضمن منطقة

وكما تم عمل (Overly) للطبقتين المذكورة سلفاً لتوضيح تباين توزيع أنطقة التعرية الاخدودية بشكل تفصيلي وفقاً لتوزيع درجات الانحدار في المنطقة ، كما في الجدول (٤٦).

جدول (٤٦) التوزيع التفصيلي لانطقة التعرية وفق درجات الانحدار في المنطقة

النسبة المئوية %	المساحة	نطاقات التعرية	فئات الانحدار
١.١	٢٢.٧	خفيفة جداً	١.٩ - ٠
٣.٨	٨١.١	الخفيفة	١.٩ - ٠
٢.٢	٤٨.١	متوسطة	١.٩ - ٠
٢.٢٤	٤٨.٥	عالية	١.٩ - ٠
٨.٦	١٨٥.٤	خفيفة جداً	٧.٩ - ٢
٢١.٩	٤٧٤.٤	الخفيفة	٧.٩ - ٢
٩.٤	٢٠٢.٥	متوسطة	٧.٩ - ٢
٦.٣	١٣٧.١	عالية	٧.٩ - ٢
٨.٣	١٧٩.١	خفيفة جداً	١٥.٩ - ٨
١١.٩	٢٥٨.١	الخفيفة	١٥.٩ - ٨
٤	٨٦.٩	متوسطة	١٥.٩ - ٨
١.٨	٣٩.٤	عالية	١٥.٩ - ٨
٥.٨	١٢٦.١	خفيفة جداً	٢٩.٩ - ١٦
٦.٧	١٤٤	الخفيفة	٢٩.٩ - ١٦
٢.١	٤٦.١	متوسطة	٢٩.٩ - ١٦
٠.٦	١٣.٤	عالية	٢٩.٩ - ١٦
١.٥	٣٢	خفيفة جداً	٣٠ فأكثر
٠.٩	١٩.٦	الخفيفة	٣٠ فأكثر
٠.٥	١٠.٥	متوسطة	٣٠ فأكثر
٠.٤	٨	عالية	٣٠ فأكثر

المصدر: من عمل الباحثة بالاعتماد خريطة (٤٠).

٢-٢-١-٣. التقييم النوعي للتعرية المائية ومقدار إنجراف التربة باستخدام أنموذج (EPM):

يعد تقدير خطر الانجراف المائي للتربة والتوزيع المكاني لهذا الخطر أحد أهم العناصر الرئيسة للتقييم الناجح لانجرافها، إذ تعد من أهم العوامل التي تؤدي الى تدهور التربة وإنخفاض الانتاج الزراعي فيها، وقد تم تطبيق أنموذج جافريولوفيك والذي يعتمد على عدة مؤشرات منها الحالة المناخية وانحدار السطح وخواص التربة وكثافة الغطاء النباتي ، ويطبق هذا أنموذج من خلال سلسلة من المعادلات كما في الشكل (٢١)، وعلى النحو التالي :

$$W = T * H * \pi * \sqrt{Z3}$$

w: التعرية المائية السنوية (م/٣ كم/٢ السنة)

H: المعدل السنوي للامطار (ملم)

T: معامل الحرارة ويحسب من خلال تطبيق المعادلة التالية:

$$T = \sqrt{C + 0.1 / 10}$$

حيث C : تمثل المعدل السنوي لدرجات الحرارة

Z : معامل التعرية المحتملة ويحسب عن طريق المعادلة التالية:

$$Z = y * Xa * (\omega + \sqrt{Ja})$$

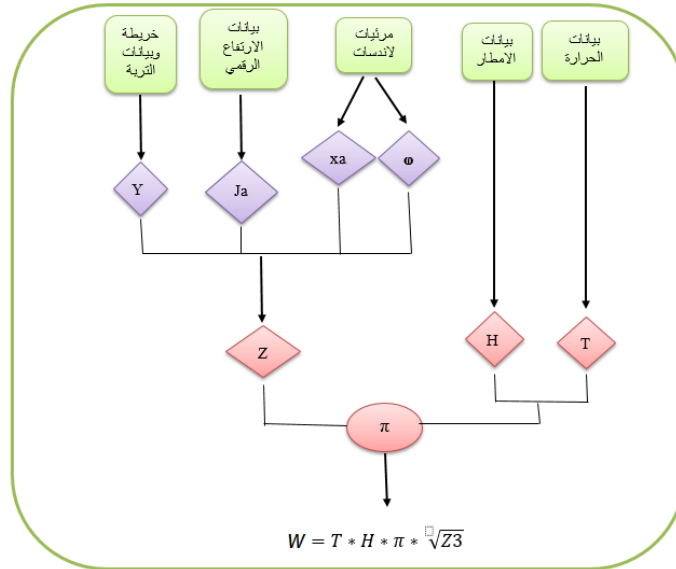
إذ تمثل Y : معامل التربة للتعرية

Xa : معامل حماية التربة

ω : معامل تطور التعرية

Ja : إنحدار السطح مقاس بالنسبة المئوية

شكل (٢١) مخطط تسلسل مراحل تطبيق أنموذج Gavrilovic



المصدر: بالاعتماد على جمال شعوان وآخرون ، توظيف الاستشعار عن بعد ونظم المعلومات الجغرافية دراسة التقييم الكمي للتعرية المائية بحوض أمزاز الريف الاوسط من خلال أنموذج جافريولوفيك (EPM) ، ص ٧٧.

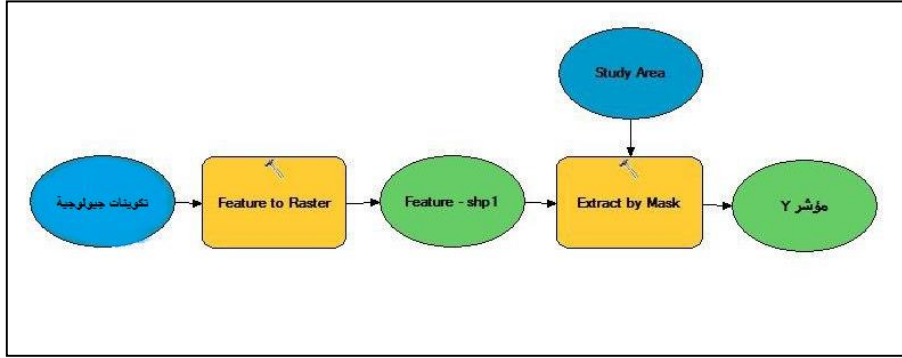
- المؤشرات المعتمدة في تطبيق إنموذج (EPM):

١-٢-١-٣-١. مؤشر قابلية التربة للتعرية (y):

تم تهيئة طبقة مؤشر قابلية التربة للتعرية الحالية على الخريطة الجيولوجية للمنطقة، الشكل (٢٢) ، والتي تبين نوع التكوينات الجيولوجية ودرجة صلابة الصخور وفقاً للمعيار المبين في الجدول (٤٧)، وتجدر الإشارة الى أن هناك عدة معادلات خاصة لاستخراج قيم هذا المؤشر وذلك اعتماداً على نتائج التحليلات المختبرية لكن تعذر تطبيقها لصعوبة الحصول على جميع البيانات اللازمة لتحقيق نتائج المعادلة وذلك لوقوع أجزاء واسعة من مساحة منطقة الدراسة ضمن الاراضي الايرانية لذلك أعتمدت هذه الطريقة لاستخراج معامل (y).

الفصل الثاني تحليل مخاطر العمليات الجيومورفية والهيدرولوجية ضمن منطقة

شكل (٢٢) إنموذج اشتقاق مؤشر قابلية التربة للتعرية (Y)



المصدر: من عمل الباحثة بالاعتماد على برنامج (Arc Gis (Arc map10.4

جدول (٤٧) مؤشر قابلية التربة للتعرية (Y)

متوسط القيمة	Y	مؤشر حماية التربة
٠.٢	٠.٣ - ٠.١	ترب صلبة شديدة المقاومة
٠.٤	٠.٥ - ٠.٣	ترب ذات مقاومة متوسطة
٠.٥٥	٠.٦ - ٠.٥	ترب ذات مقاومة ضعيفة
٠.٧	٠.٨ - ٠.٦	ترب صخري ورواسب خشنة
٠.٩٥	١ - ٠.٩	رواسب خشنة عديمة المقاومة

-ZOREN,M and Komac, B,2005:soil erosion on agricultural land in Solvenia- measurements of rill erosion in the besnica valley.Acta geographic slovenica 45 -1Ljubljana.

أظهرت النتائج أن هناك تباين في قيم مؤشر قابلية التربة للتعرية ضمن أحواض المنطقة ، لذا فقد صنفنا حسب درجة صلابة الصخور ونوع نسجة التربة وفق المعيار الذي سبق ذكره ، كما الخريطة (٤١-أ-ب-ت-ث-ج-ح-خ-هـ) والجدول (٤٨) كما يلي:

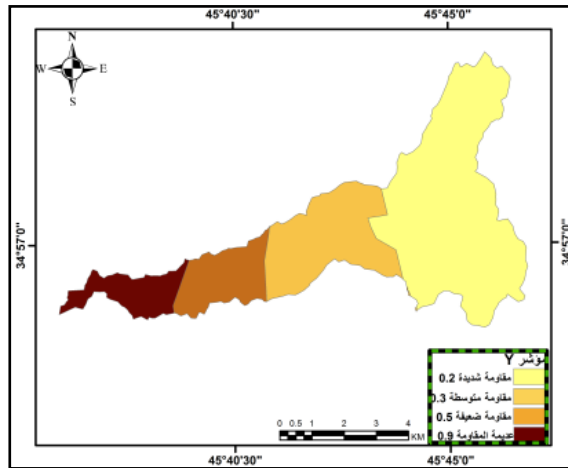
● **ترب ذات مقاومة شديدة :** ساد هذا الصنف في أغلب أحواض المنطقة ضمن التكوينات الجيولوجية الشديدة التماسك ومنها البيلاسبي وجركس وتانجيرو، وقد شغلت مساحة بلغت (٤٧٩.٦ كم^٢) وبنسبة (٢٤.٦%) من مجموع مساحة أحواض المنطقة، إذ سادت في الأجزاء الشرقية من حوض أوبر وكما ظهرت في أجزاء واسعة من الجهات الشمالية والشرقية لحوض كونكل، أما في حوض عباسان فقد سادت ضمن الجهات الشمالية والشرقية والجنوبية، وكما توجد أيضاً ضمن الجهات الشرقية لحوض خورخور وحوض قورة تو.

● **ترب ذات مقاومة متوسطة :** شغل هذا الصنف مساحة بلغت (٣٧٥ كم^٢) أي بنسبة (١٩.٢%) من إجمالي مساحة أحواض المنطقة، وقد ظهر في الجهات الوسطى والشمالية لحوض أوبر والأجزاء الوسطى من حوض كونكل ، أما في حوض عباسان فقد ساد ضمن الجهات الشمالية والوسطى منه، وفي الجهات الغربية من حوض قورة تو فضلاً عن ظهورها في الجهات الشرقية من حوض بانزمين.

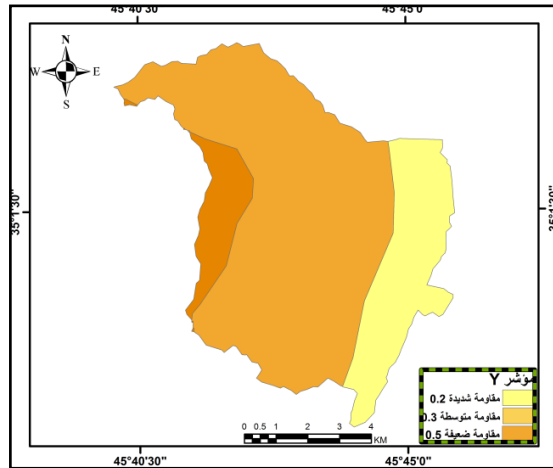
الفصل الثاني تحليل مخاطر العمليات الجيومورفية والهيدرولوجية ضمن منطقة

- **ترب ذات مقاومة ضعيفة:** تمثلت بأدنى قيمة بلغت (٢٨٤.٤ كم^٢) ونسبة (١٤.٥%) من إجمالي مساحة أحواض المنطقة، وذلك ضمن الحافة الغربية لحوض أوبر وكذلك أمتدت ضمن الجهات الوسطى من حوض كونكل وعباسان وقورة تو، وفي الجزء الغربي من حوضي زلكه كن وسي حران.
- **ترب ذات مقاومة ضعيفة جداً:** شغل هذا النوع من الترب مساحة بلغت (٢٥١.٤ كم^٢) ونسبة (١٢.٩%) من مجموع مساحة أحواض المنطقة، إذ انتشرت ضمن جزء صغير من الجهة الغربية لحوض عباسان وكذلك شغلت أغلب مساحة حوضي خورخور وزلكه كن، وكذلك أمتدت ضمن الجهة الشمالية والشرقية من حوضي سي حران وقورة تو وبانزمين.
- **ترب عديمة المقاومة:** ساد هذا النوع من الترب عديمة المقاومة في أغلب مساحة أحواض المنطقة والتي بلغت مساحتها (٥٦١.٥ كم^٢) أي بنسبة (٢٨.٧%) ، والتي تمثلت بترسبات الزمن الرباعي كترسبات الاكتاف النهرية وترسبات المنحدرات والسهل الفيضي والمراوح الغرينية وترسبات ملئ الوديان ، إذ أمتدت في أجزاء صغيرة من الجهات الغربية لأحواض كونكل وخورخور وزلكه كن وسي حران وكذلك ظهرت ضمن الجهات الوسطى من حوض عباسان وقورة تو وبانزمين.

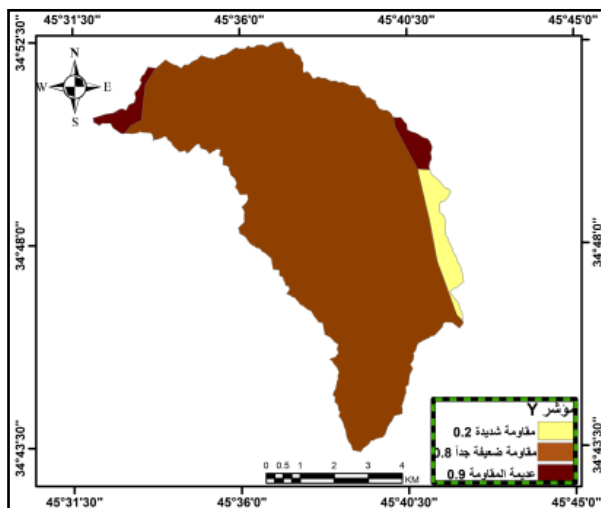
خريطة (١٤ب) توزيع مؤشر (y) في حوض كونكل



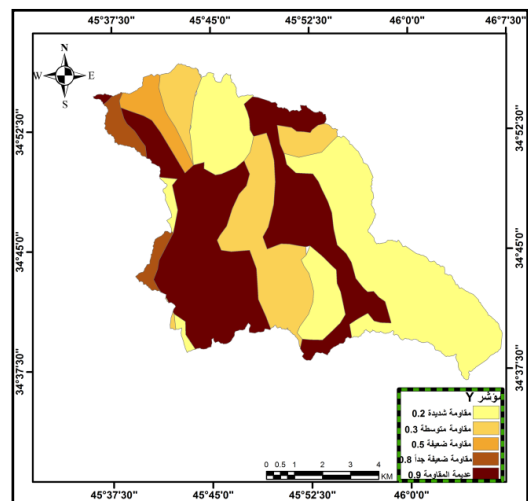
خريطة (١٤أ) توزيع مؤشر (y) في حوض اوبر



خريطة (١٤ث) توزيع مؤشر (y) في حوض خورخور

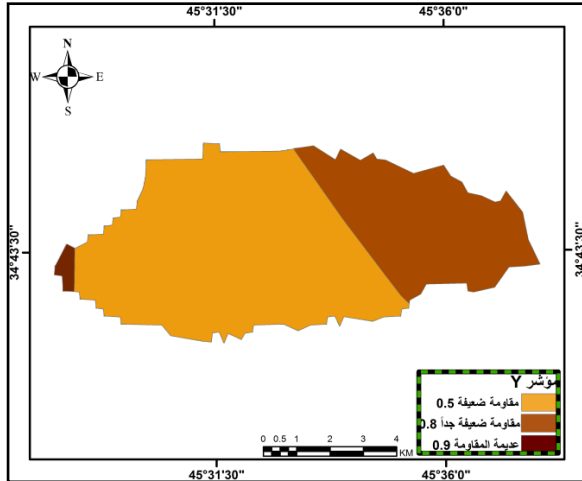


خريطة (١٤ت) توزيع مؤشر (y) في حوض عباسان

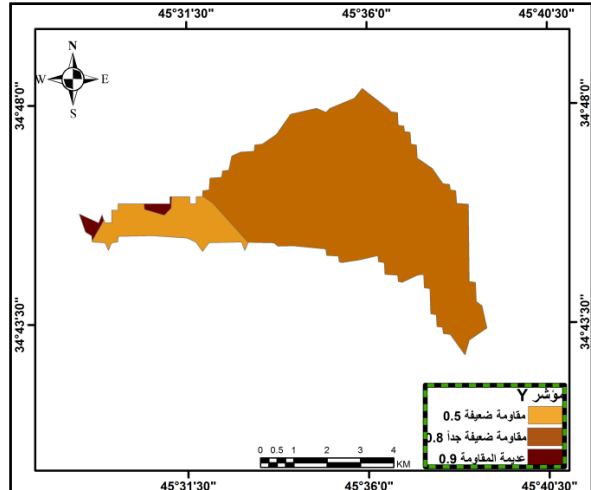


الفصل الثاني تحليل مخاطر العمليات الجيومورفية والهيدرولوجية ضمن منطقة

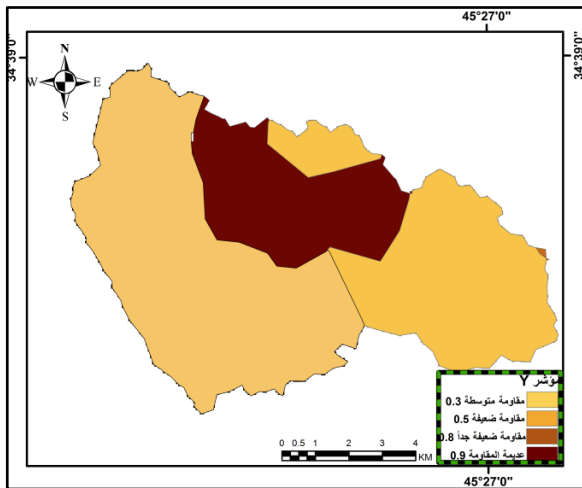
خريطة (٤١ ح) توزيع مؤشر (y) في حوض سي حران



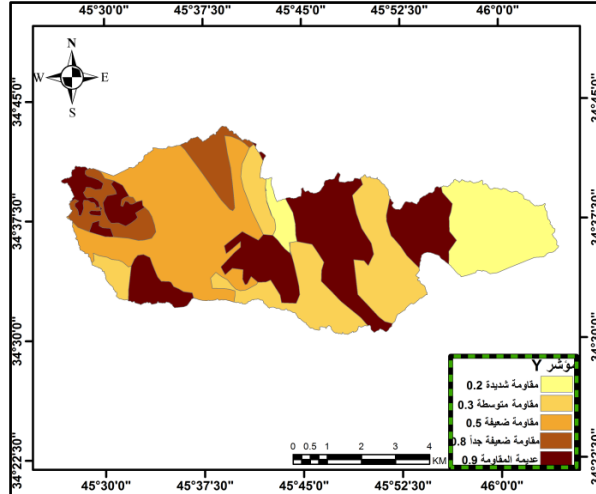
خريطة (٤١ ج) توزيع مؤشر (y) في حوض زلكه كن



خريطة (٤١ هـ) توزيع مؤشر (y) في حوض بانزمين



خريطة (٤١ خ) توزيع مؤشر (v) في حوض قورة تو



المصدر: من عمل الباحثة بالاعتماد على التكوينات الجيولوجية وأصناف التربة اعتماداً على قيم مؤشر (y) باستخدام برنامج Arc Gis (Arc map10.4).

جدول (٤٨) مساحة أصناف مقاومة التربة والصخور مؤشر (Y)

النسبة المئوية%	المساحة /كم ^٢	قيم y	أصناف مقاومة درجة صلابة الصخور و التربة	الاحواض
٢١.٢	٩.٦	٠.٢	مقاومة شديدة	أوبر
٧٠.٦	٣٢.١	٠.٣	مقاومة متوسطة	
٨.١٢	٣.٧	٠.٥	مقاومة ضعيفة	
٥٦.٦	٢٣.٥	٠.٢	مقاومة شديدة	كونكل
٢٣.٠٤	٩.٦	٠.٣	مقاومة متوسطة	
١١.٨	٤.٩	٠.٥	مقاومة ضعيفة	
٨.٦	٣.٦	٠.٩	عديمة مقاومة	

الفصل الثاني تحليل مخاطر العمليات الجيومورفية والهيدرولوجية ضمن منطقة

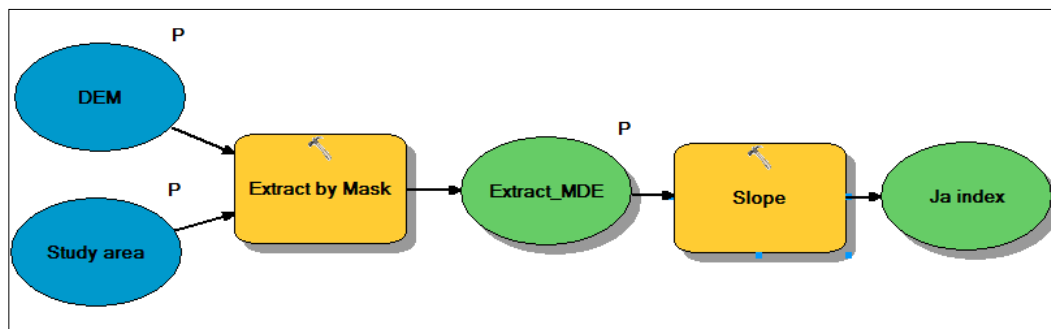
عاسان	مقاومة شديدة	٠.٢	٣٢٣.٢	٣٨
	مقاومة متوسطة	٠.٣	١٥٤.٥	١٨.١
	مقاومة ضعيفة	٠.٥	٢٨.١	٣.٣
	مقاومة ضعيفة جداً	٠.٨	٢٤.٣	٢.٩
	عديمة المقاومة	٠.٩	٣٢٣.٦	٣٧.٩
خورخور	مقاومة شديدة	٠.٢	٣.٧	٣.٥
	مقاومة ضعيفة جداً	٠.٨	٩٩.٤	٩٣.٤٨
	عديمة المقاومة	٠.٩	٣.٣	٣.٢
زلکه کن	مقاومة ضعيفة	٠.٥	٦.٧	١١.٧
	مقاومة ضعيفة جداً	٠.٨	٤٩.٦	٨٧
	عديمة المقاومة	٠.٩	٠.٨	١.٣
سي حران	مقاومة ضعيفة	٠.٥	٣٩.١	٦٧.٧
	مقاومة ضعيفة جداً	٠.٨	١٨.١	٣١.٣
	عديمة المقاومة	٠.٩	٠.٦	١.٠٤
قورة تو	مقاومة شديدة	٠.٢	١١٩.٦	١٥.٥
	مقاومة متوسطة	٠.٣	١٦٩.٥	٢١.٩
	مقاومة ضعيفة	٠.٥	١٩٥.٦	٢٥.٣
	مقاومة ضعيفة جداً	٠.٨	٥٩.٥	٧.٧
	عديمة المقاومة	٠.٩	٢٢٨.٨	٢٩.٦
بانزمين	مقاومة متوسطة	٠.٣	٩.٣	٤٨.٥
	مقاومة ضعيفة	٠.٥	٦	٣٠.٩
	مقاومة ضعيفة جداً	٠.٨	٠.٥	٠.٠٧
	عديمة المقاومة	٠.٩	٠.٨	٢٠.٦

المصدر: من عمل الباحثة بالاعتماد على خريطة (١٤أ.ب.ت.ث.ج.ح.خ.هـ).

٢-٣-١-٢-٢. مؤشر الانحدار (Ja) Slope Index:

يساعد مؤشر الانحدار (Ja) في تحديد نوع وشدة التعرية، إذ تزداد سرعة الجريان السيلبي بزيادة درجة إنحدار السفوح وبالتالي تزداد حدة نقل المواد المفتتة نحو الاراضي المنخفضة وبطون الاودية وذلك بفعل قوة الجاذبية، وقد تم أستخلاص هذا المؤشر إعتماًداً على أنموذج الارتفاع الرقمي (DEM) بطريقة النسبة المئوية وباستخدام الاداة (slope)، كما في الشكل (٢٣).

شكل (٢٣) أنموذج اشتقاق مؤشر الانحدار (Ja)



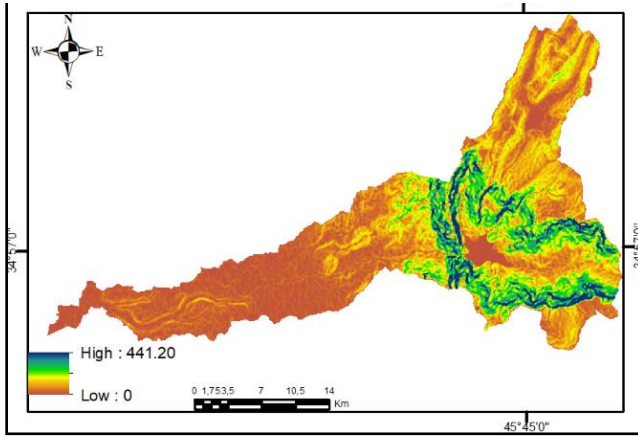
المصدر: من عمل الباحثة بالاعتماد على (Model builder) باستخدام الـ (Arc Gis(arcmap10.4)).

الفصل الثاني تحليل مخاطر العمليات الجيومورفية والهيدرولوجية ضمن منطقة

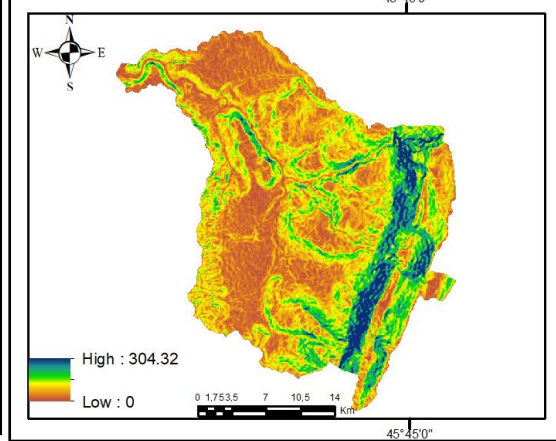
وقد صنف الى خمس فئات كما في الخرائط (٤٢- ب- ت- ث- ج- ح- خ- هـ) والجدول (١٠٥) وكمايلي:

حيث إن أقل معدل إنحدار ظهر ضمن أراضي حوض بانزمين وقد بلغ (٤٢.٧٦ %) وسادت أعلى نسب إنحدار للسفوح في حوض عباسان إذ بلغت (٦٤.١٩ %) والتي تتمثل بالجهات الشديدة التضرس ضمن الاراضي الايرانية والقمم الجبلية عند الحدود العراقية الايرانية.

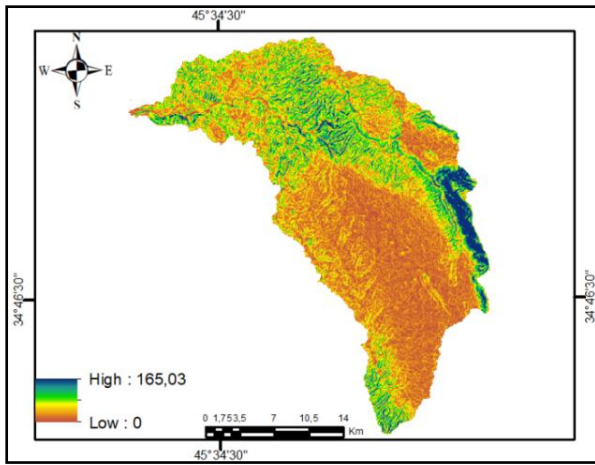
خريطة (٤٢ ب) توزيع مؤشر (y) في حوض كونكل



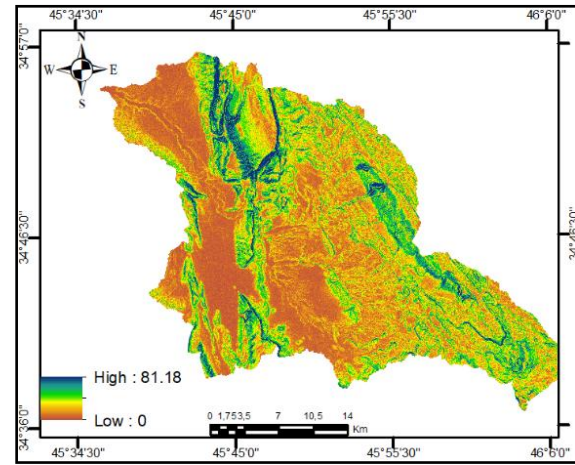
خريطة (٤٢ أ) توزيع مؤشر (Ja) في حوض اوبر



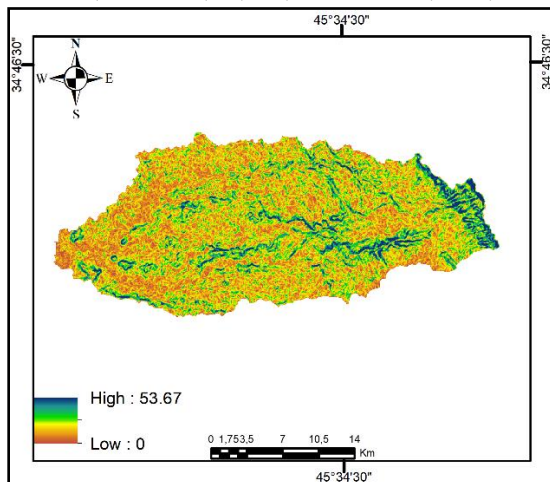
خريطة (٤٢ ث) توزيع مؤشر (Ja) في حوض خورخور



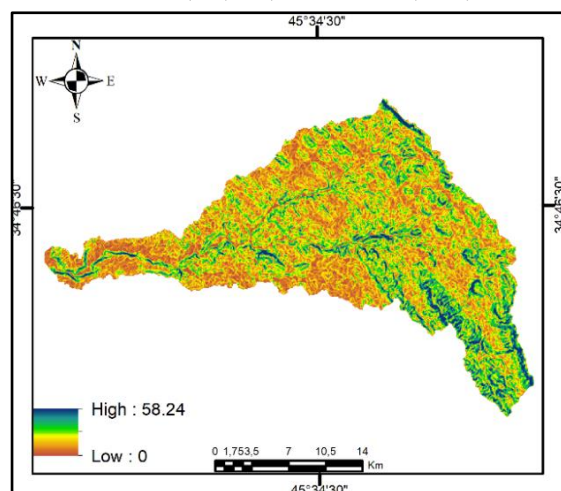
خريطة (٤٢ ت) توزيع مؤشر (Ja) في حوض عباسان



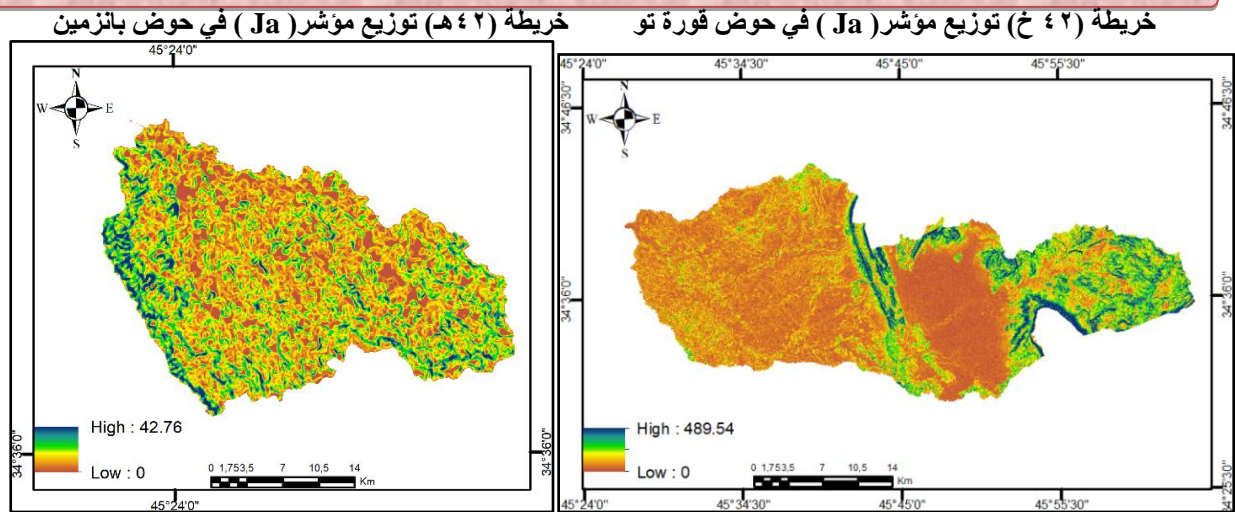
خريطة (٤٢ ح) توزيع مؤشر (Ja) في حوض سي حران



خريطة (٤٢ ج) توزيع مؤشر (Ja) في حوض زلكه كن



الفصل الثاني تحليل مخاطر العمليات الجيومورفية والهيدرولوجية ضمن منطقة

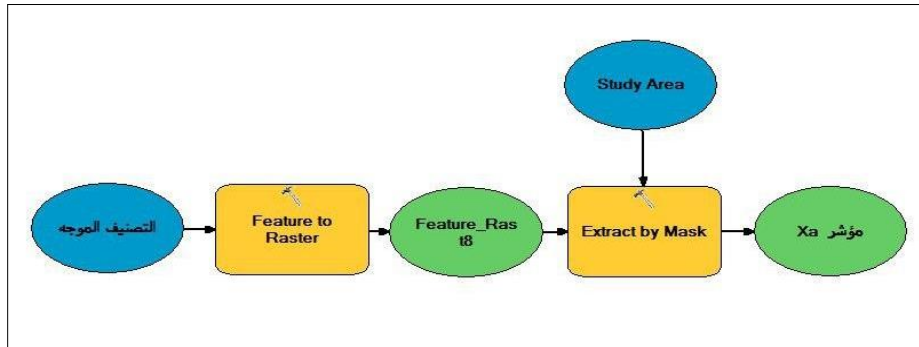


المصدر: من عمل الباحثة بالاعتماد على أنموذج الارتفاع الرقمي (DEM) باستخدام برنامج Arc Gis (arc map10.4).

٣-٣-١-٢-٢ مؤشر حماية التربة Xa:

يستفاد من هذا المؤشر في معرفة مدى حماية التربة من الانجراف من خلال تثبيت التربة وإبطاء سرعة الجريان السطحي وزيادة تسرب المياه في التربة، وقد تم تهيئة هذه الطبقة وذلك من خلال القيام بتصنيف المرئية الفضائية للقمر (Landsat 8) بتاريخ (٢٠١٩/٩/١٧م) الى ثلاثة أصناف وهي (غابات ومزارع، مراعي، أراضي جرداء) من خلال استخدام التصنيف الموجه (Supervised Classification) في برنامج الـ Arc gis (arcmap10.4.1) كما في الشكل (٢٤)، وذلك بالاستناد على معيار مؤشر الـ (Xa) الذي حدده جافريولوفيك ومجموعة من الباحثين، يلاحظ الجدول (٤٩).

شكل (٢٤) أنموذج اشتقاق مؤشر حماية التربة Xa



المصدر: من عمل الباحثة.

جدول (٤٩) أصناف مؤشر حماية التربة (Xa)

متوسط القيمة	Xa	مؤشرات حماية التربة
٠.١٢٥	(٠.٢ - ٠.٠٥)	غابات مختلطة كثيفة - ومتوسطة الكثافة
٠.٣	(٠.٤ - ٠.٢)	غابات صنوبرية وبقية نباتات مبعثرة
٠.٥	(٠.٦ - ٠.٤)	مراعي وغابات متدهورة
٠.٧	(٠.٨ - ٠.٦)	مراعي ومزارع متدهورة
٠.٩	(١ - ٠.٨)	مناطق جرداء خالية من النباتات

-ZOREN,M and Komac, B,2005:soil erosion on agricultural land in Solvenia- measurements of rill erosion in the besnica valley.Acta geographic slovenica 45 -1Ljubljana.

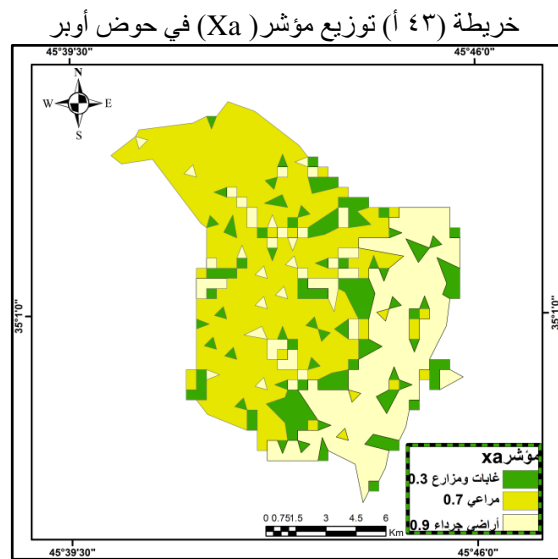
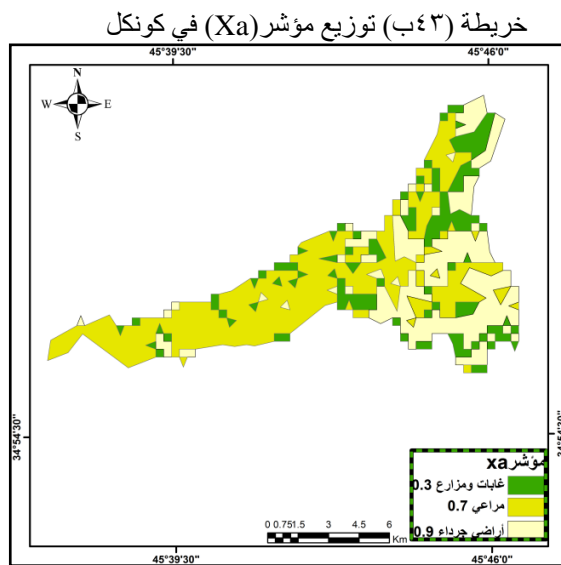
الفصل الثاني تحليل مخاطر العمليات الجيومورفية والهيدرولوجية ضمن منطقة

ومن الخريطة (٤٣ أ-ب-ت-ث-ج-ح-خ-هـ) والجدول (٥٠)، إتضح أن هناك تباين في انتشار الغطاء النباتي مما يدل ذلك على وجود تباين في قيم مؤشر حماية التربة الـ(Xa) ضمن أحواض المنطقة، وكمايلي:

• **الصنف الاول(غابات ومزارع) :** تنحصر قيم مؤشر حماية التربة ضمن هذا الصنف بين (٠.٢ – ٠.٤) والذي يتمثل بالمجالات ذات الكثافة النباتية العالية، فقد شغل مساحة بلغت (٤٢٣.١) أي بنسبة (٢١.٧%) من مجموع مساحة الاحواض، فقد ظهر ضمن الجهات الشرقية لحوض أوبر وكونكل، وكما انتشر في جزء صغير من الجهة الشمالية لحوض عباسان، أما في حوض خورخور وسي حران فقد ساد ضمن الجهة الشرقية والشمالية الشرقية فيه، أما في لحوض زلكه كن فقد ظهر الجزء الجنوبي الغربي منه، وكذلك أنتشر في أجزاء متفرقة من حوض وقورة تو وكذلك في الجزء الجنوبي الغربي من حوض بانزمين.

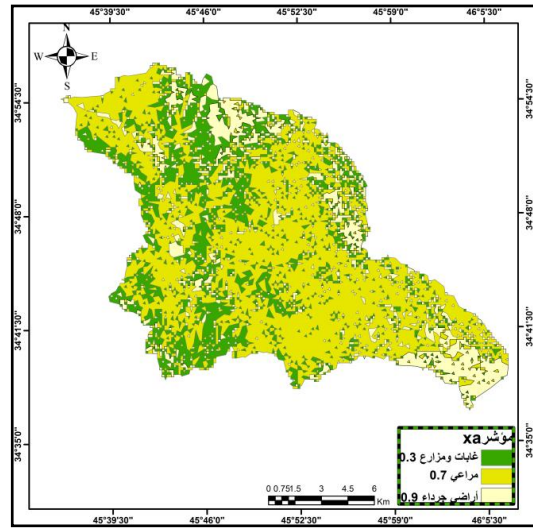
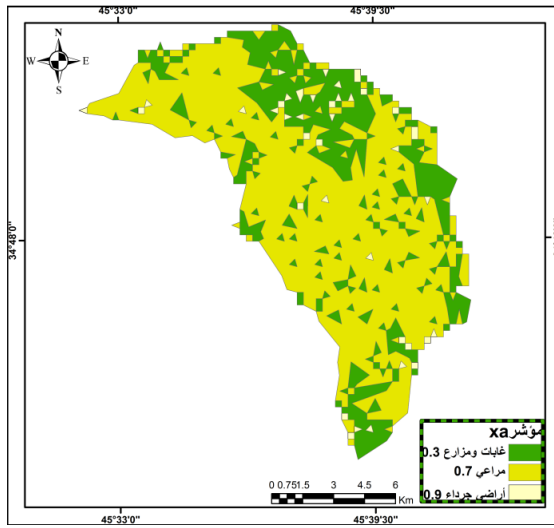
• **الصنف الثاني(مراعي):** يتمثل هذا الصنف بالقيم التي تنحصر بين (٠.٦-٠.٨) إذ امتدت في أغلب جهات أحواض المنطقة وقد شغلت أعلى مساحة بلغت (١٢٠٧.٢٤ كم٢) أي بنسبة (٦١.٨%) من مجموع مساحة أحواض المنطقة.

• **الصنف الثالث(أراضي جرداء):** تكون الكثافة النباتية شبه معدومة ضمن هذا الصنف وتتمثل بقيم معيار الـ(Xa) المحصورة بين (٠.٨ – ١)، وقد شغلت مساحة بلغت (٣٢٣.٦ كم٢) وبنسبة (١٦.٦%) من مجموع مساحة الاحواض، فقد أمتدت في الجهة الشرقية والجنوبية الشرقية من حوض أوبر وكونكل وعباسان وخورخور وزلكه كن وسي حران وقورة تو، وكما شغلت جزء صغير جداً في الجهة الشمالية الغربية من حوض بانزمين.

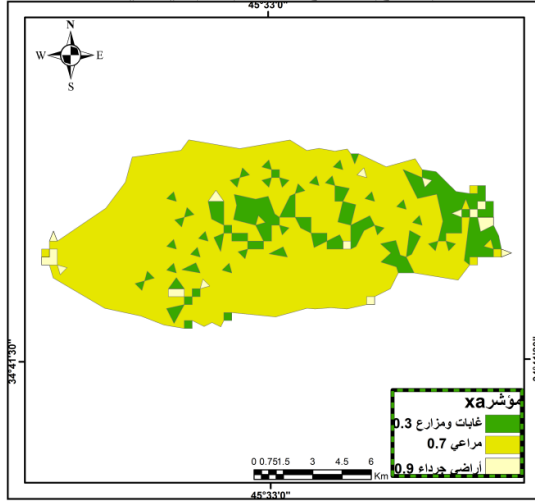


الفصل الثاني تحليل مخاطر العمليات الجيومورفية والهيدرولوجية ضمن منطقة

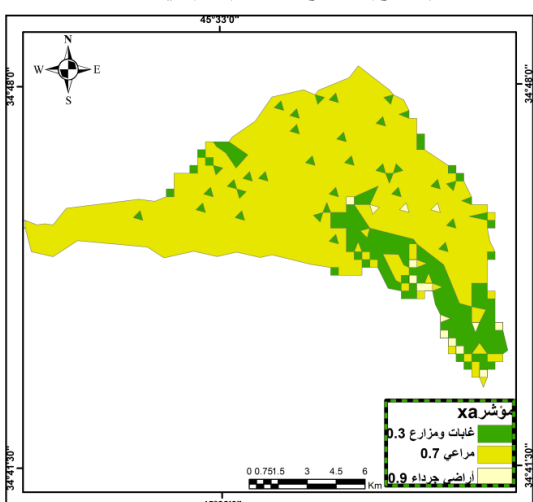
خريطة (٤٣) توزيع مؤشر (Xa) في حوض عباسان خريطة (٤٣) توزيع مؤشر (Xa) في خورخور



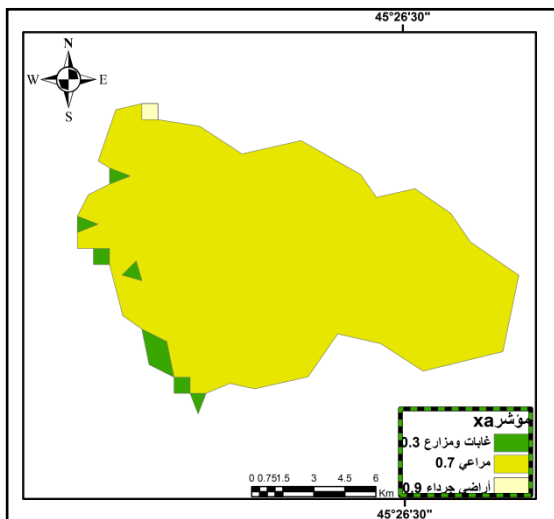
خريطة (٤٣) توزيع مؤشر (Xa) في سي حران



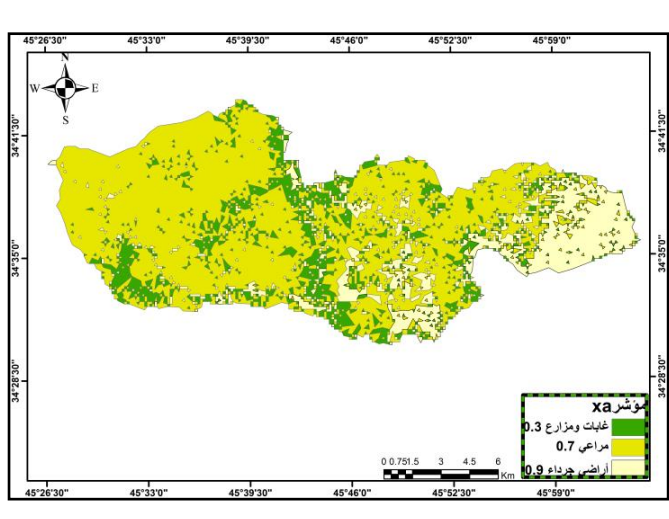
خريطة (٤٣) توزيع مؤشر (Xa) في حوض زلكه كن



خريطة (٤٣) توزيع مؤشر (Xa) في حوض بانزمين



خريطة (٤٣) توزيع مؤشر (Xa) في حوض قورة تو



المصدر: من عمل الباحثة بالاعتماد على الأتمتة الفضائية للقمر (Landsat 8) بتاريخ (٢٠١٩/٩/١٧) باستخدام برنامج Arc Gis (Arc map 10.4.1).

الفصل الثاني تحليل مخاطر العمليات الجيومورفية والهيدرولوجية ضمن منطقة

جدول (٥٠) مساحة أصناف الغطاء النباتي بحسب قيمة مؤشر (Xa)

الاحواض	اصناف الغطاء النباتي	المساحة /كم ^٢	النسبة المئوية %
أوبر	غابات ومزارع	٨.١	١٧.٨
	مراعي	٢٣.٠٤	٥٠.٨
	أراضي جرداء	١٤.٣	٣١.٥
كونكل	غابات ومزارع	٨.٢	١٩.٧
	مراعي	٢٠.٨	٥٠
	أراضي جرداء	١٢.٦	٣٠.٣
عباسان	غابات ومزارع	٢٢٤.٢	٢٦.٣
	مراعي	٤٧٩.٢	٥٦.٢
	أراضي جرداء	١٥٠.٣	١٦.٧
خورخور	غابات ومزارع	٣١.٩	٣٠
	مراعي	٧١.٩	٦٧.٦
	أراضي جرداء	٢.٦	٢.٤
زلکه کن	غابات ومزارع	١٠.٤	١٨.٢
	مراعي	٤٥.٦	٨٠.١
	أراضي جرداء	١	١.٧
سي حران	غابات ومزارع	٩.٩	١٧.٢
	مراعي	٤٦.٥	٨٠.٦
	أراضي جرداء	١.٣	٢.٢
قورة نو	غابات ومزارع	١٢٩.٨	١٦.٨
	مراعي	٥٠١.٧	٦٤.٩
	أراضي جرداء	١٤١.٤	١٨.٣
بنزمين	غابات ومزارع	٠.٦	٣.٢
	مراعي	١٨.٥	٩٦.٥
	أراضي جرداء	٠.٦	٠.٣

المصدر: من عمل الباحثة بالاعتماد على خريطة (٤٣ أ-ب-ت-ث-ج-خ-هـ).

٢-٢-١-٣-٤. مؤشر تطور التعرية الحالية ω :

تختلف قيم هذا المؤشر باختلاف أحجام الاحواض المائية ، إذ يتطلب تحديده عملاً حقيقياً منتظماً فضلاً عن توفر مرئيات فضائية عالية الدقة (١ متر)، وفي حالة توفر هذا النوع من المرئيات سنقوم بإعتماد المعادلة التي صاغها (Mellivsky2008)، وبأستخدام مرئيات القمر لاندسات والتي كانت بدرجة وضوح (٣٠م) من خلال حاصل قسمة الجذر التربيعي للنطاق الثالث (TM3) على القيمة القصوى للإشعاع (Q Max) في القمر الصناعي (Landsat 5) وعند مقارنة أنطقة هذا القمر مع أنطقة القمر (Landsat8) وجد إن النطاق الثالث (Band3) في القمر (Landsat 5) يقابله النطاق الرابع (Band4)، لذا يمكن تعديل صياغة المعادلة على النحو التالي:

$$\omega = \frac{\sqrt{\text{band4} \cdot (0.64 - 0.69)}}{Q \text{ Max}}$$

الفصل الثاني تحليل مخاطر العمليات الجيومورفية والهيدرولوجية ضمن منطقة

إذ تبلغ قيمة الإشعاع القصوى (٥٩٧.٢٤٨٢٣) وقد تم استخلاص هذه القيمة من الملف (Text) المرفق مع حزمة أي نوع من أقمار الـ (Landsat) ، وكما في الشكل (٢٥).

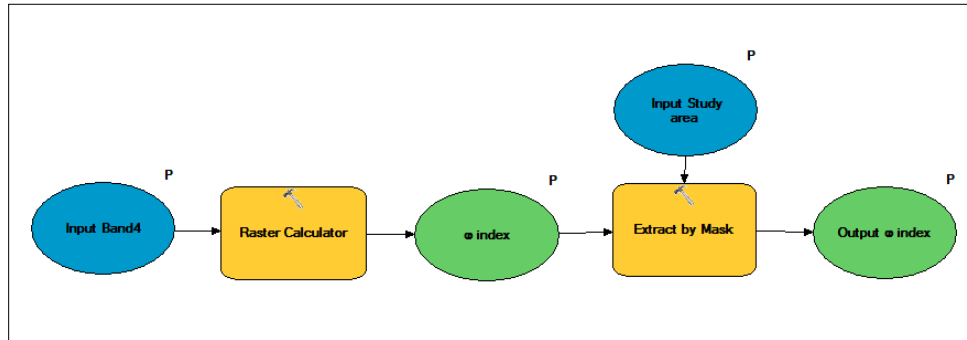
شكل (٢٥) كيفية استخراج قيمة الإشعاع القصوى للنطاق الرابع (Band4)

GROUP = L1_METADATA_FILE	GROUP = L1_METADATA_FILE
FILE_NAME_BAND_1 = LC08_L1TP_168036_20190913_20190917_01_T1_B1.TF	RADIANCE_MINIMUM_BAND_2 = -83.47176
FILE_NAME_BAND_2 = LC08_L1TP_168036_20190913_20190917_01_T1_B2.TF	RADIANCE_MAXIMUM_BAND_3 = 708.26410
FILE_NAME_BAND_3 = LC08_L1TP_168036_20190913_20190917_01_T1_B3.TF	RADIANCE_MINIMUM_BAND_3 = -58.48868
FILE_NAME_BAND_4 = LC08_L1TP_168036_20190913_20190917_01_T1_B4.TF	RADIANCE_MAXIMUM_BAND_4 = 597.24823
FILE_NAME_BAND_5 = LC08_L1TP_168036_20190913_20190917_01_T1_B5.TF	RADIANCE_MINIMUM_BAND_4 = -49.30995
FILE_NAME_BAND_6 = LC08_L1TP_168036_20190913_20190917_01_T1_B6.TF	RADIANCE_MAXIMUM_BAND_5 = 365.48611
FILE_NAME_BAND_7 = LC08_L1TP_168036_20190913_20190917_01_T1_B7.TF	RADIANCE_MINIMUM_BAND_5 = -30.18196
FILE_NAME_BAND_8 = LC08_L1TP_168036_20190913_20190917_01_T1_B8.TF	RADIANCE_MAXIMUM_BAND_6 = 90.89307
FILE_NAME_BAND_9 = LC08_L1TP_168036_20190913_20190917_01_T1_B9.TF	RADIANCE_MINIMUM_BAND_6 = -7.50586
FILE_NAME_BAND_10 = LC08_L1TP_168036_20190913_20190917_01_T1_B10.TF	RADIANCE_MAXIMUM_BAND_7 = 36.83583
FILE_NAME_BAND_11 = LC08_L1TP_168036_20190913_20190917_01_T1_B11.TF	RADIANCE_MINIMUM_BAND_7 = -2.52992
FILE_NAME_QUALITY = LC08_L1TP_168036_20190913_20190917_01_T1_QA.TF	RADIANCE_MAXIMUM_BAND_8 = 675.92059
ANGLE_COEFFICIENT_FILE_NAME = LC08_L1TP_168036_20190913_20190917_01_T1_ANG.TF	RADIANCE_MINIMUM_BAND_8 = -55.81775
METADATA_FILE_NAME = LC08_L1TP_168036_20190913_20190917_01_T1_MTL.txt	RADIANCE_MAXIMUM_BAND_9 = 142.84026
	RADIANCE_MINIMUM_BAND_9 = -11.79560
	RADIANCE_MAXIMUM_BAND_10 = 22.00180
	RADIANCE_MINIMUM_BAND_10 = 0.10033
	RADIANCE_MAXIMUM_BAND_11 = 22.00180
	RADIANCE_MINIMUM_BAND_11 = 0.10033
	END_GROUP = MIN_MAX_RADIANCE

المصدر: اعتماداً على البيانات المتوفرة في مرئية (Landsat8).

وقد طبقت المعادلة المذكورة أعلاه باستخدام الـ (Raster Calculator) من الاداة (Map Algebra) داخل بيئة الـ (Arcgis 10.4.1) وكما موضح في الشكل (٢٦).

شكل (٢٦) نموذج اشتقاق مؤشر تطور التعرية المائية (٥)

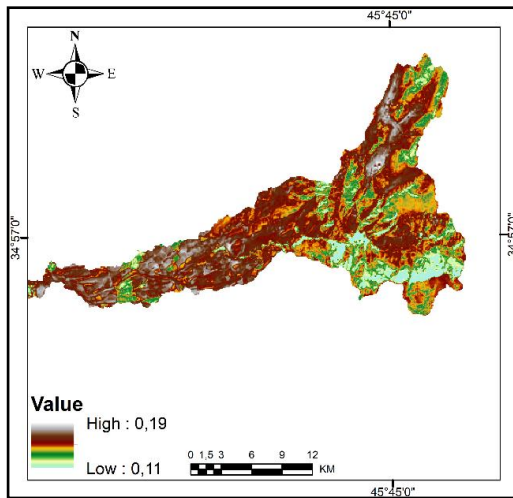


المصدر: من عمل الباحثة بالاعتماد على (Model builder) باستخدام الـ (Arc Gis 10.4.1).

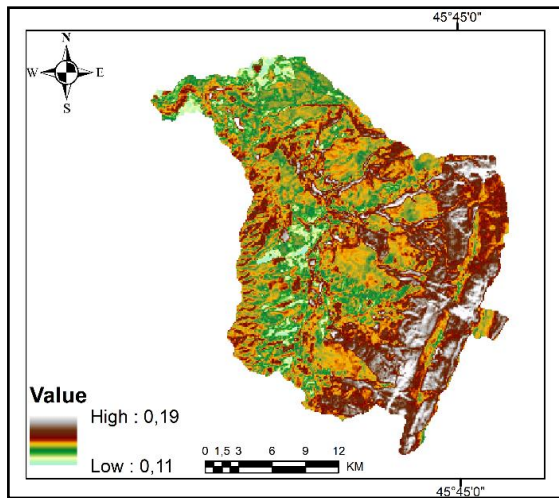
إن الخرائط (٤٤ أ - ب - ت - ث - ج - ح - خ - هـ) توضح تطور نطاقات التعرية المائية الحالية وفقاً لنسبة الإشعاع إذ تزداد نسبة الإشعاع بشكل مضطرب مع ارتفاع شدة التعرية، إذ تظهر التعرية الشديدة في الجهات التي تكون ذات تكوينات غير متماسكة تسود فيها المكثلات الصخرية والصخور الجبسية والرملية التي تتصف أراضيها بكونها فقيرة بالغطاء النباتي ، وقد وجد إن أعلى قيم للتعرية الحالية ظهرت في حوض قورة تو وحوض عباسان إذ سجلت قيم بلغت (٢٣ ، ٢١) على التوالي.

الفصل الثاني تحليل مخاطر العمليات الجيومورفية والهيدرولوجية ضمن منطقة

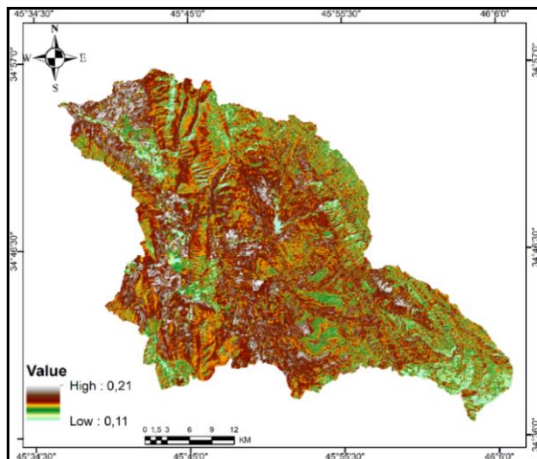
خريطة (٤٤ ب) توزيع مؤشر (O) في بكونكل



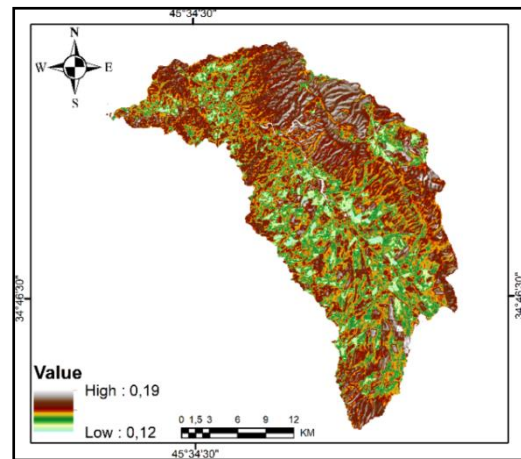
خريطة (٤٤ أ) توزيع مؤشر (O) في حوض أوبر



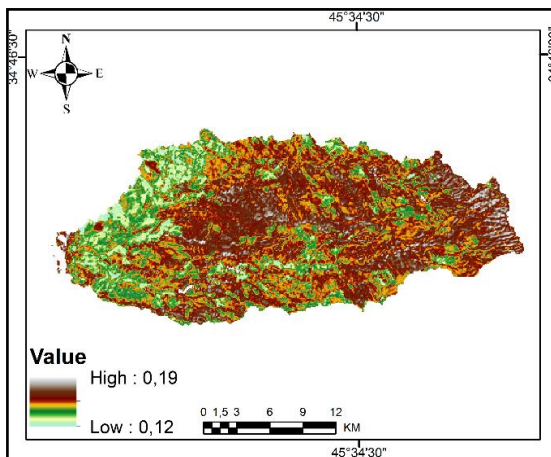
خريطة (٤٤ ث) توزيع مؤشر (O) في حوض خورخور



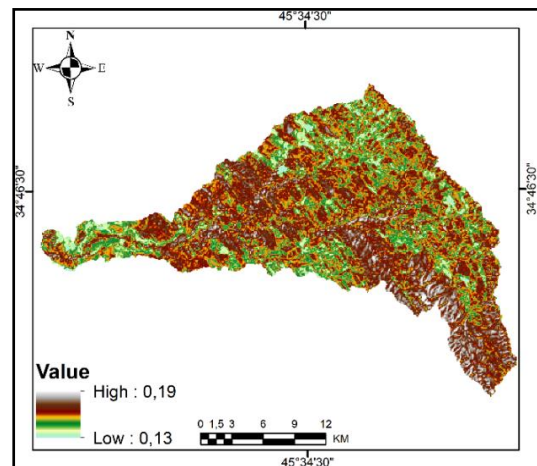
خريطة (٤٤ ت) توزيع مؤشر (O) في حوض عباسان



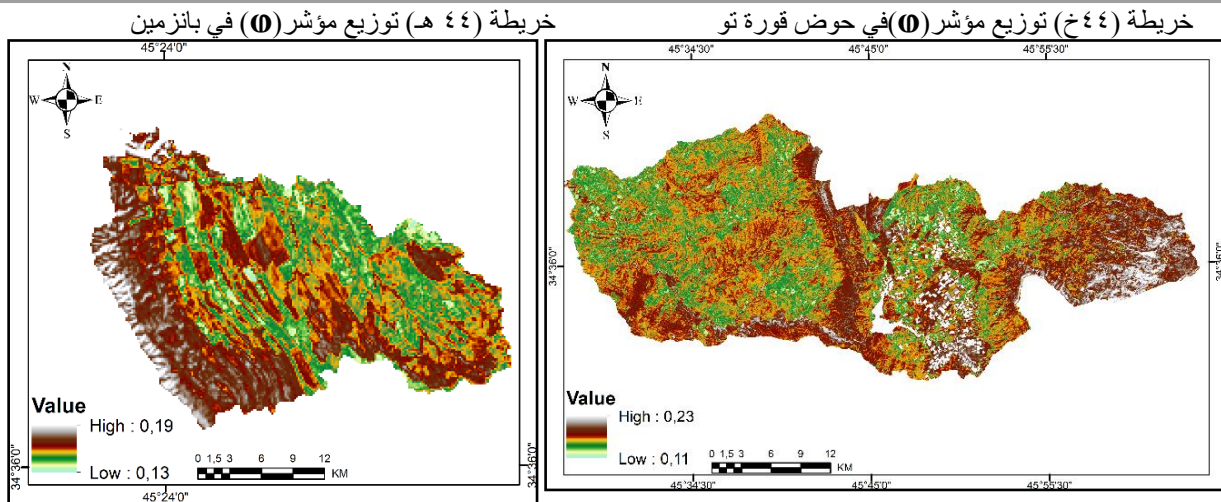
خريطة (٤٤ ج) توزيع مؤشر (O) في حوض سي حران



خريطة (٤٤ د) توزيع مؤشر (O) في حوض زلكه كن



الفصل الثاني تحليل مخاطر العمليات الجيومورفية والهيدرولوجية ضمن منطقة



المصدر: من عمل الباحثة بالاعتماد على نتائج معادلة ١٠ باستخدام برنامج Arc Gis (arc map10.4.1).

٢-٢-١-٣-٥ مؤشر الحرارة T:

إن اتساع المدى الحراري اليومي بين الليل والنهار والفصلي بين الصيف والشتاء يؤدي الى زيادة فاعلية التجوية الفيزيائية (الميكانيكية) ويؤثر على التمدد المساحي والتقلص لمعادن الصخور وبالتالي فإن تباين التمدد والتقلص بشكل متكرر يؤدي في النهاية الى حدوث شقوق في سطوح الصخور ضمن نطاق تخلخل الاشعة الشمسية والذي يبلغ (١ متر) تحت سطح الارض ، مما يعمل هذا على تفكك الصخور الى أجزاء متشظية صغيرة الحجم يسهل جرفها بفعل الجريان السيلي.

لذا أعتمد جافريولوفيك Gavrilovic الحرارة كأحد معطيات أنموذج (EPM) لإستخراج التعرية المائية السنوية ومقدار فقدان التربة بفعل الانجراف، إذ تم تحديد مؤشر الحرارة من خلال معادلة خاصة تعتمد الحرارة كمتغير أساسي لحساب هذا المعامل وذلك بأستخدام أداة ال (Spline) من الـ (ArcToolBox) كما في الشكل (٢٧)، وحسب المعادلة التالية^(١):

$$T = \sqrt{C/10 + 0.1}$$

حيث C تمثل المتوسط السنوي لدرجة الحرارة

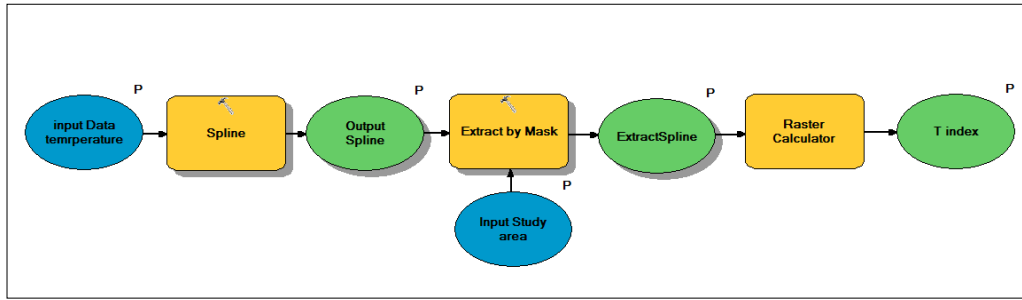
ومن خلال تطبيق المعادلة أعلاه وبإعتماد طبقة معدلات الحرارة السنوي للمنطقة وبأستخدام الاداة (Raster Calculat) من صندوق الادوات (Arc Tool Box) ضمن بيئة برنامج Arc Gis . (arc map10.4.1).

ومن الخرائط (٤٥ أ ب ت ث ج ح خ هـ) نلاحظ أن الجهات الجنوبية الغربية من أحواض المنطقة تتميز بارتفاع درجات الحرارة فيها مقارنة مع الجهات الشمالية والشمالية الشرقية التي تمتاز بسيادة درجات حرارة منخفضة نوعاً ما.

(١) حسين علي عبد الحسين ، أثر اتساع المدى الحراري في تشكيل بعض المظاهر الجيومورفولوجية في الهضبة الغربية العراقية (دراسة في علم الجيومورفولوجيا المناخية) ، ص ٢٤٤ ، من شبكة الانترنت <https://www.iasj.net/iasj?func=fulltext&aId=60047>

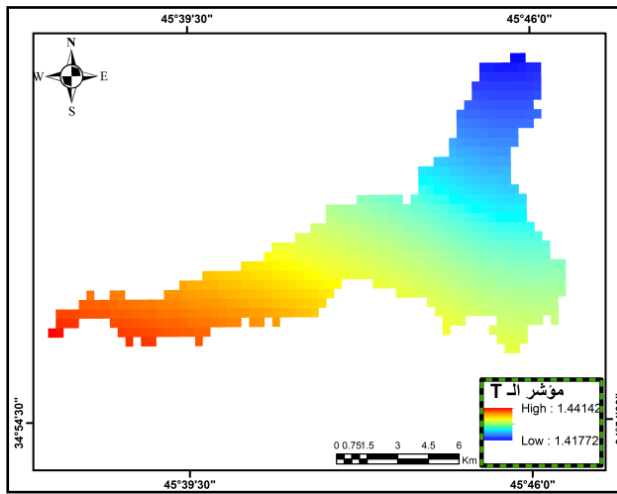
الفصل الثاني تحليل مخاطر العمليات الجيومورفية والهيدرولوجية ضمن منطقة

شكل (٢٧) إنموذج اشتقاق مؤشر الحرارة (T)

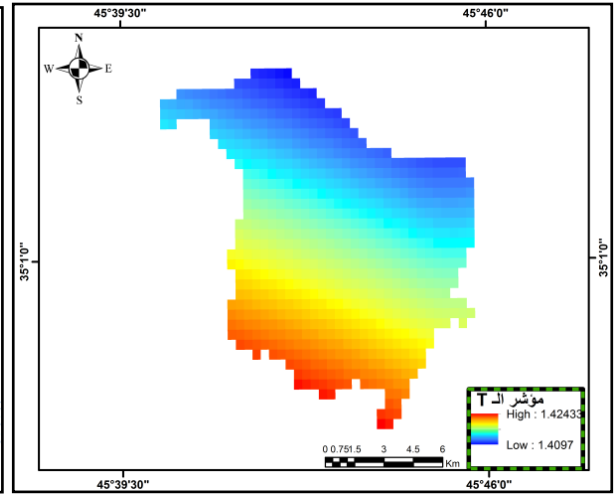


المصدر: من عمل الباحثة بالاعتماد على (Model builder) باستخدام الـ Arc Gis(arcmap10.4.1).

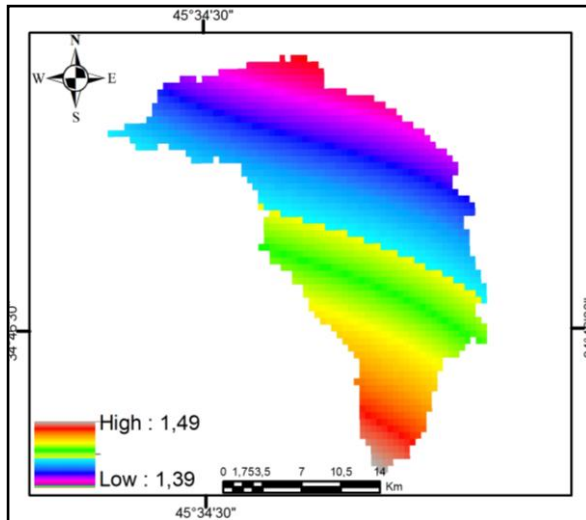
خريطة (٤٥ ب) توزيع مؤشر (T) في حوض كونكل



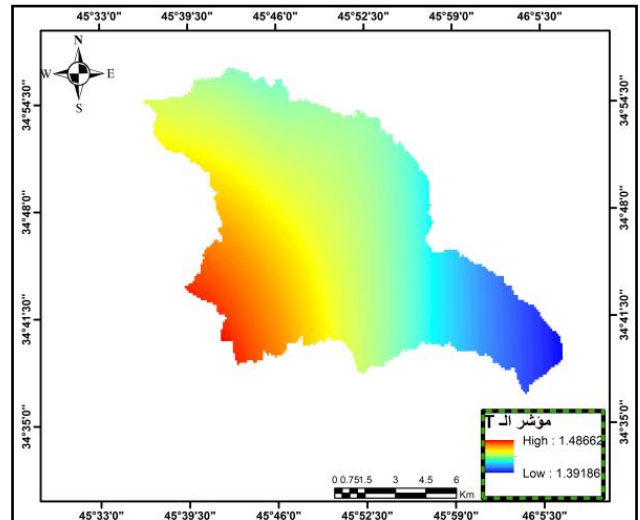
خريطة (٤٥ أ) توزيع مؤشر (T) في حوض أوبر



خريطة (٤٥ ث) توزيع مؤشر (T) في حوض خورخور

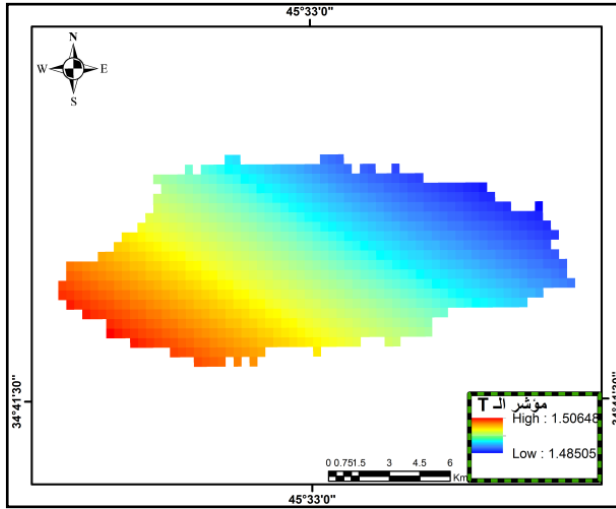


خريطة (٤٥ ت) توزيع مؤشر (T) في حوض عباسان

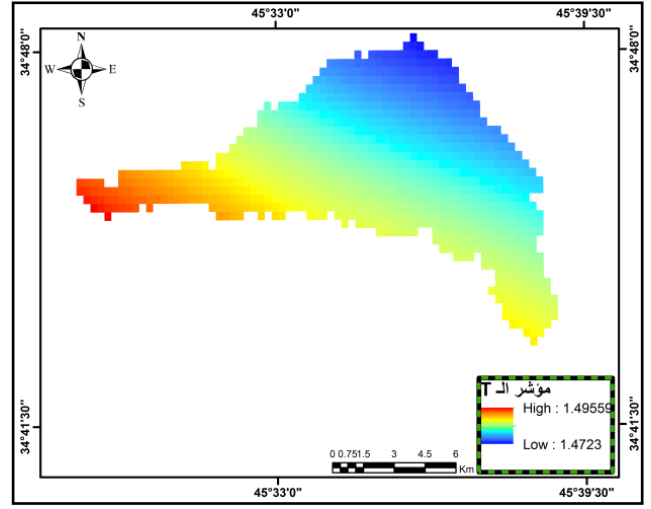


الفصل الثاني تحليل مخاطر العمليات الجيومورفية والهيدرولوجية ضمن منطقة

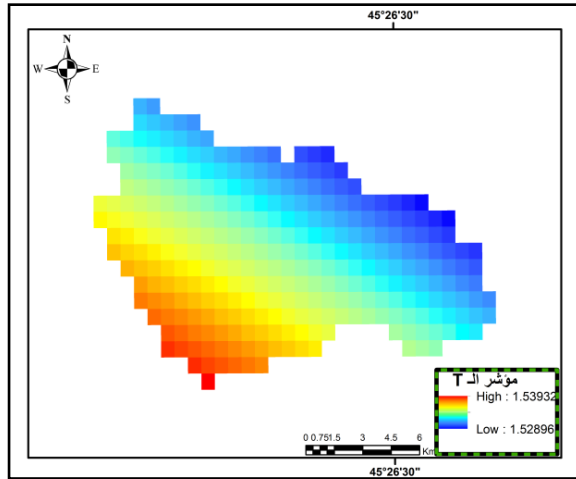
خريطة (٤٥ ح) توزيع مؤشر (T) في حوض سي حران



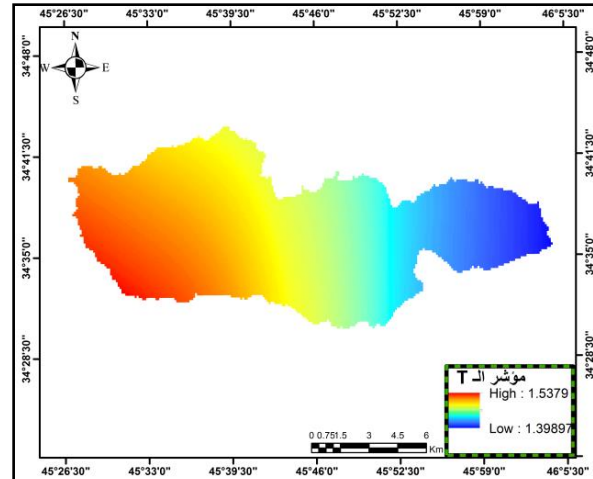
خريطة (٤٥ ج) توزيع مؤشر (T) في حوض زلكه كن



خريطة (٤٥ هـ) توزيع مؤشر (T) في حوض بانزمين



خريطة (٤٥ خ) توزيع مؤشر (T) في حوض أفورة تو



المصدر: من عمل الباحثة بالاعتماد على نتائج معادلة T باستخدام برنامج Arc Gis (Arc map 10.4.1).

٢-٢-١-٣-٦. مؤشر التساقط المطري (H) :

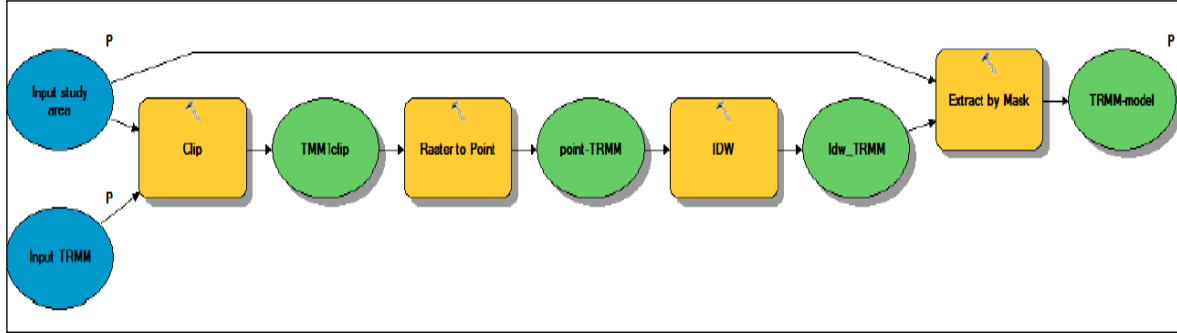
يعد التساقط المطري من المتغيرات المهمة التي تؤثر في كمية الجريان السطحي ، إذ تعمل الزخات المطرية الغزيرة التي تحدث بسبب العواصف الفجائية على جرف كميات كبيرة من التربة وبالتالي زيادة حجم الرواسب وخاصة في المجالات الهامشية التي تنصف بوجود أنحدارات شديدة وبغياب التغطية النباتية وإستغلال مفرط للسفوح.

إذ تم استنباط طبقة الامطار وذلك بالإعتماد على أنموذج (TRMM Tropical Rainfall Measuring Mission) الذي يعطينا كمية الامطار الساقطة على مستوى البكسل بمقاييس يومية وشهرية وسنوية وبدقة تمييزية (١٠٠ م).

الفصل الثاني تحليل مخاطر العمليات الجيومورفية والهيدرولوجية ضمن منطقة

إذ إعتمدت البيانات الشهرية وللمدة التي تتراوح ما بين عام (٢٠٠٨ - ٢٠١٨) م ، وتم أستقطاع أحواض المنطقة من هذا أنموذج TRMM ومن ثم تحويل قيم الخلايا الشبكية الى القيم المتجهية بصيغة نقاط كي تصبح أشبه بمواضع لقياس الامطار ومن ثم تحويلها الى قيم خلوية ، كما في الشكل (٢٨).

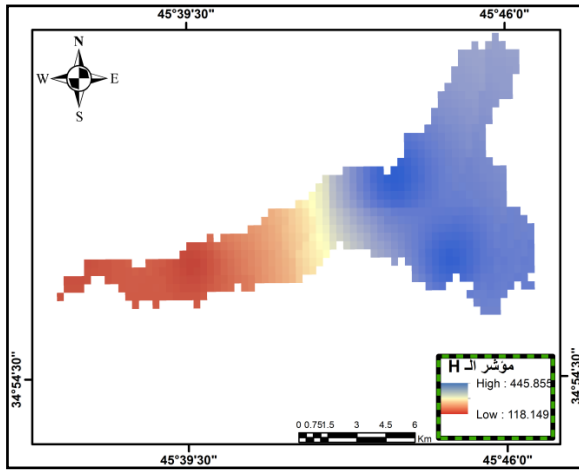
شكل (٢٨) إنموذج أستنتاج مؤشر الامطار (H)



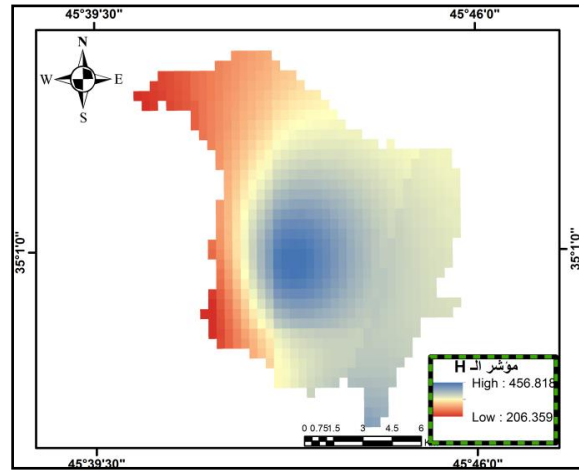
المصدر: من عمل الباحثة بالاعتماد على (Model builder) باستخدام الـ Arc Gis(arcmap10.4.1).

من ملاحظة الخرائط (٤٦ أ - ب - ت - ث - ج - ح - خ - هـ) نجد أن الجهات الشمالية والشمالية الشرقية تمتاز بسقوط كميات أمطار غزيرة مقارنة بالجهات الجنوبية والجنوبية الغربية من أحواض المنطقة.

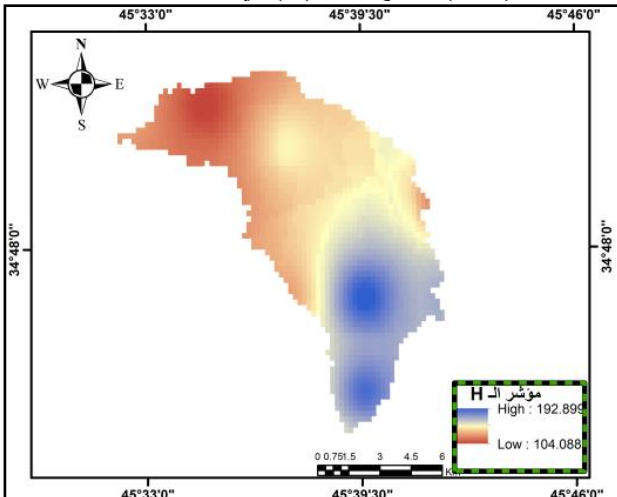
خريطة (٤٦ ب) توزيع مؤشر (H) في حوض كونكل



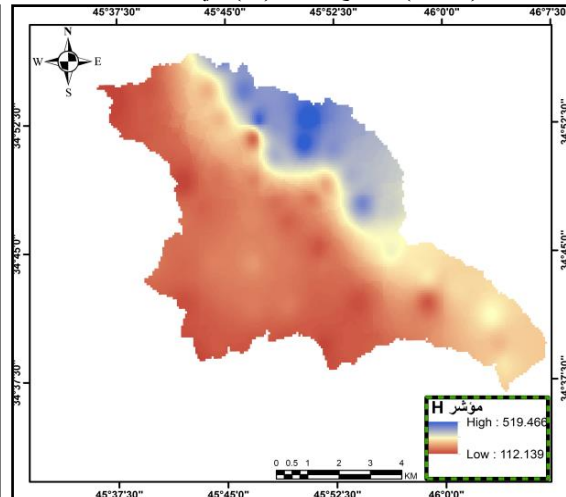
خريطة (٤٦ أ) توزيع مؤشر (H) في حوض أوهر



خريطة (٤٦ ث) توزيع مؤشر (H) في حوض خورخور

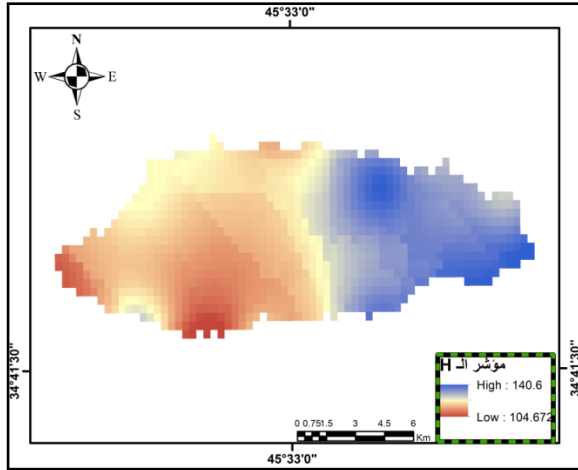


خريطة (٤٦ ت) توزيع مؤشر (H) في حوض أوهر

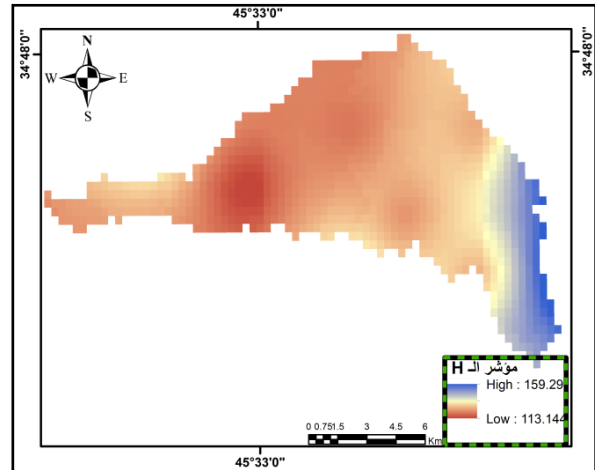


الفصل الثاني تحليل مخاطر العمليات الجيومورفية والهيدرولوجية ضمن منطقة

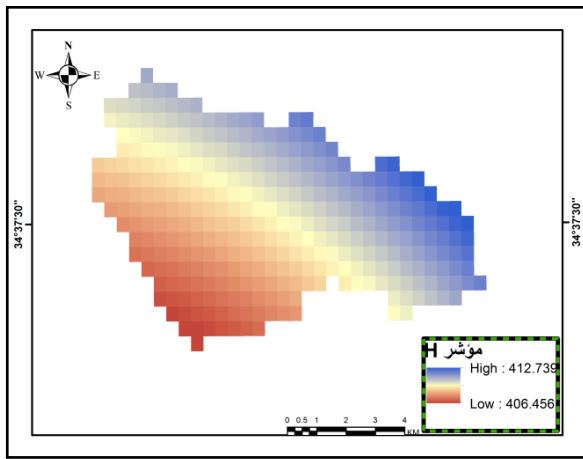
خريطة (٦ ح) توزيع مؤشر (H) في حوض سي حران



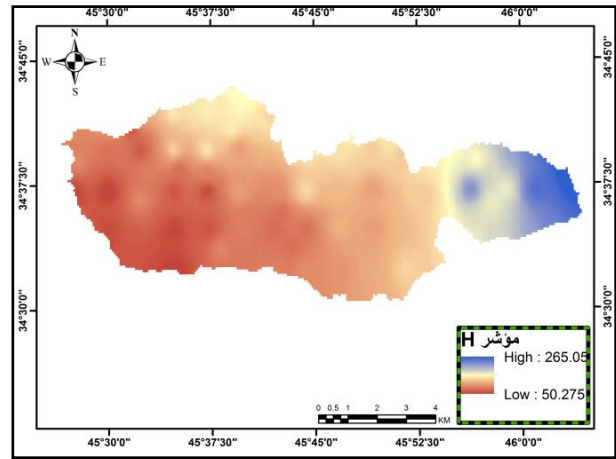
خريطة (٦ ج) توزيع مؤشر (H) في حوض زلكه كن



خريطة (٦ هـ) توزيع مؤشر (H) في حوض بانزمين



خريطة (٦ خ) توزيع مؤشر (H) في حوض قورة تو



المصدر: من عمل الباحثة بالاعتماد على بيانات القمر الصناعي TRMM وباستخدام برنامج (Arc Gis map10.4.1).

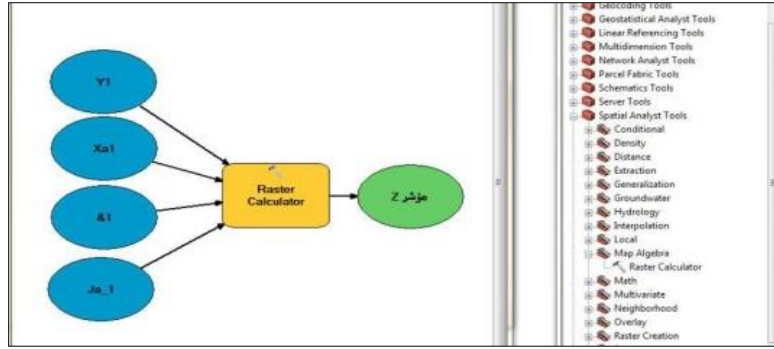
❖ تطبيق أنموذج جافريولوفيك (EPM) وتفسير نتائجه:

بعد أستخراج المؤشرات المذكورة آنفاً وتطبيق معادلاتها ومعالجتها آلياً في جبر الخرائط تم تهيئة طبقة معامل (Z) الذي يقيس مقدار التعرية المحتملة وذلك عن طريق الاداة (Raster Calculatur) من صندوق الادوات (Arc Tool Box) وبتطبيق المعادلة السابقة الذكر، و كما في الشكل (٢٩)، وذلك من خلال عمل أنموذج تجميعي لمعامل Xa مضروباً بمعامل y وأيضاً مضروباً بمعامل التعرية الحالية ٥ مجموعاً مع الجذر التربيعي للانحدار وهو معامل Ja، إذ تنحصر قيم معامل Z بين (٠-١) فأرتفاع القيم عن الصفر دلالة على شدة التعرية، وقد صنفست مستويات التعرية تبعاً لقيمة معامل Z حسب معيار Gavrilovic الى خمسة اصناف أي وفق القيمة النوعية للتعرية والتي تنحصر ما بين (خفيفة جداً - شديدة جداً)، كما في الخريطة (٤٧أ- ب- ت- ث- ج- ح- خ- هـ) والجدول (٥١) وكالاتي

:

الفصل الثاني تحليل مخاطر العمليات الجيومورفية والهيدرولوجية ضمن منطقة

شكل (٢٩) نموذج اشتقاق مؤشر (Z)



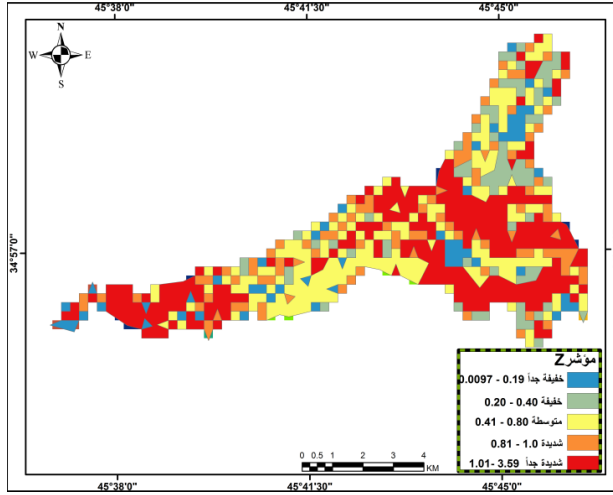
المصدر: من عمل الباحثة بالاعتماد على (Model builder) باستخدام الـ Arc Gis(arcmap10.4.1).
 إتضح مما سبق أن هناك تباين بين قيم التعرية المحتملة في أحواض المنطقة أي أن هناك أحواض تتميز بوجود تعرية بنسب مرتفعة وأخرى منخفضة وذلك حسب ظروفها المناخية فضلاً عن طبيعة سطحها ونوع التكوينات الجيولوجية فيها فضلاً عن كثافة الغطاء النباتي فيها، وهذه الفئات تتمثل بالاتي:

- **الفئة الاولى تعرية خفيفة جداً (٠.٠١ – ٠.١٩):** إذ بلغت مساحتها (١٠٣.٨ كم^٢) وبنسبة (٥.٣%) من مجموع مساحة أحواض المنطقة، ويسود هذا النوع من التعرية في المناطق التي تكون ذات كثافة نباتية عالية تكثر فيها الغابات والاراضي المزروعة، وتعد من أقل الاصناف تواجداً وفقاً للمساحة التي تشغلها، حيث تمتد بأجزاء متفرقة من أراضي الاحواض .
- **الفئة الثانية تعرية خفيفة (٠.٢٠ – ٠.٤٠):** تبلغ مساحتها (١٦٠.٧ كم^٢) أي بنسبة (٨.٢%) من إجمالي مساحة الحوض، إذ أن الأراضي التي من ضمن هذه الفئة تكون محاذية للأراضي ذات التعرية الخفيفة جداً، حيث تنتشر في مساحات متفرقة من أحواض المنطقة.
- **الفئة الثالثة تعرية متوسطة (٠.٤١ – ٠.٨٠):** بلغت مساحة هذه الفئة (٥٠١ كم^٢) وبنسبة (٢٥.٦%) من مجموع مساحة أحواض المنطقة، وتأتي بالمرتبة الثانية من حيث السيادة وفق معيار المساحة التي تشغلها، وتسود هذه التعرية في مناطق سفوح المنحدرات التي تتصف بقلة الغطاء النباتي وارتفاع ملحوظ في درجات الانحدار ضمن هذه الجهات من مساحة الاحواض.
- **الفئة الرابعة تعرية شديدة (٠.٨١ – ١.٠):** تسود هذه الفئة في بطون الاودية المنحدرة من قمم المرتفعات الجبلية وعلى السفوح ذات الانحدار الشديد، وقد بلغت مساحتها (٢٣١.٦ كم^٢) أي بنسبة (١١.٩%) من مجموع مساحة أحواض المنطقة.
- **الفئة الخامسة تعرية شديدة جداً (١.١ فأكثر):** شغلت هذه الفئة أغلب مساحات أحواض المنطقة وقد بلغت (٩٥٧.٢ كم^٢) أي بنسبة (٤٩%) من إجمالي مساحة الاحواض ، إذ ساد هذا النوع من التعرية في حوض عباسان وقورة تو بنسبة كبيرة ولاسيما ضمن الجهات ذات الصخور غير المتماسكة و التي تفتقر للغطاء النباتي .

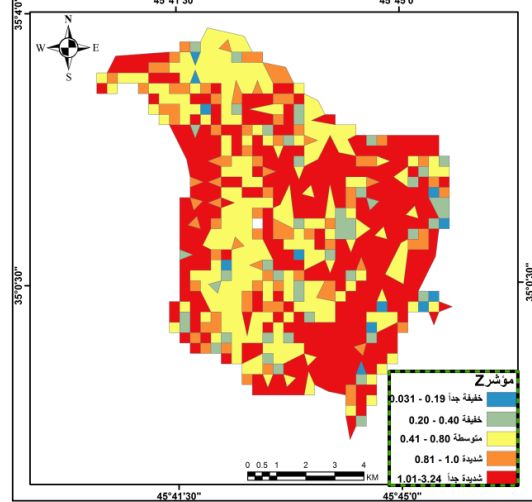
الفصل الثاني تحليل مخاطر العمليات الجيومورفية والهيدرولوجية ضمن منطقة

أضح مما سبق إن التعرية المائية الشديدة جداً تسود في أحواض المنطقة جميعها ما عدا حوض بانزمين ، وذلك يعود الى لطبيعة المنكشفات الصخرية وطوبغرافية المنطقة التي أنست بالتضرس الشديد ، فضلاً عن طبيعة الغطاء النباتي وكذلك لتكرار العواصف المطرية التي تتعرض لها المنطقة بشكل مستمر .

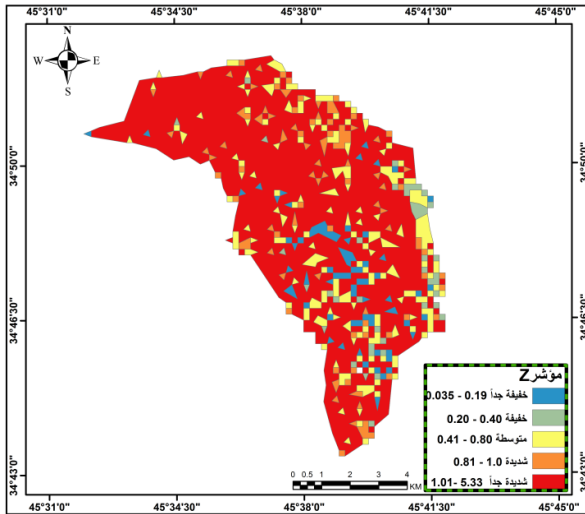
خريطة (٧ ب) توزيع مؤشر (Z) في حوض كونكل



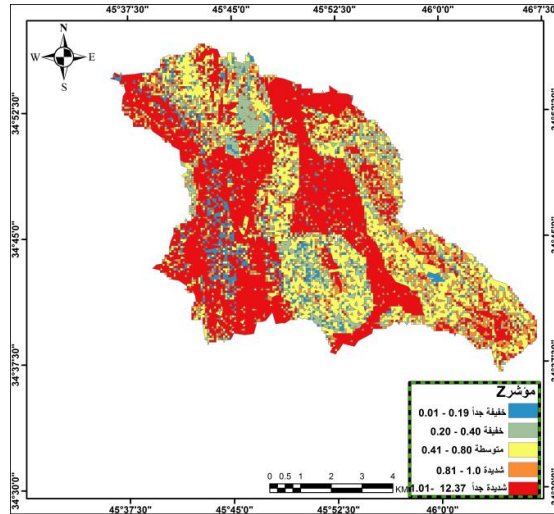
خريطة (٧ أ) توزيع مؤشر (Z) في حوض أوبر



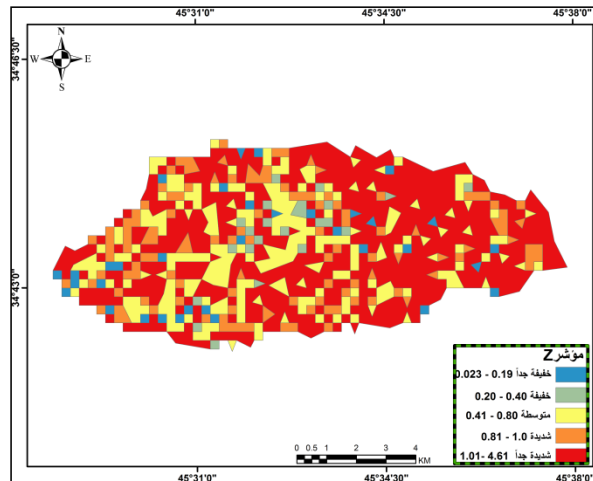
خريطة (٧ ث) توزيع مؤشر (Z) في حوض خورخور



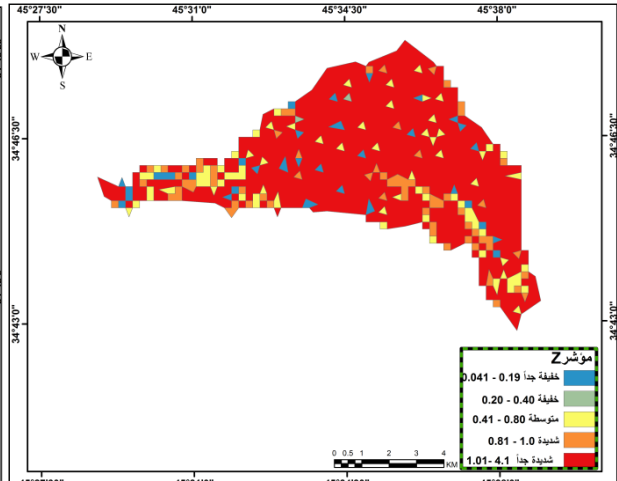
خريطة (٧ ت) توزيع مؤشر (Z) في حوض عباسان



خريطة (٧ ح) توزيع مؤشر (Z) في حوض سي حران

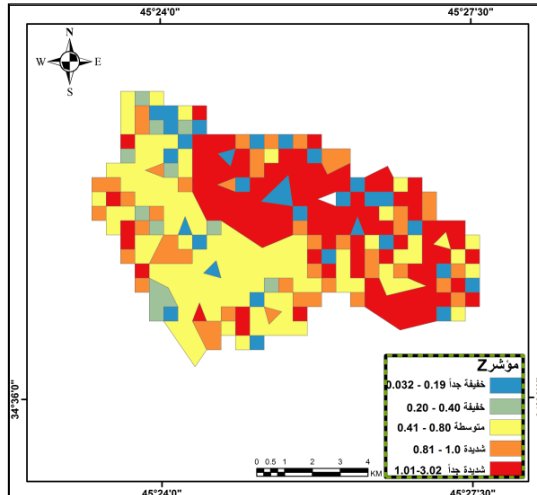


خريطة (٧ ج) توزيع مؤشر (Z) في حوض زلكه كن

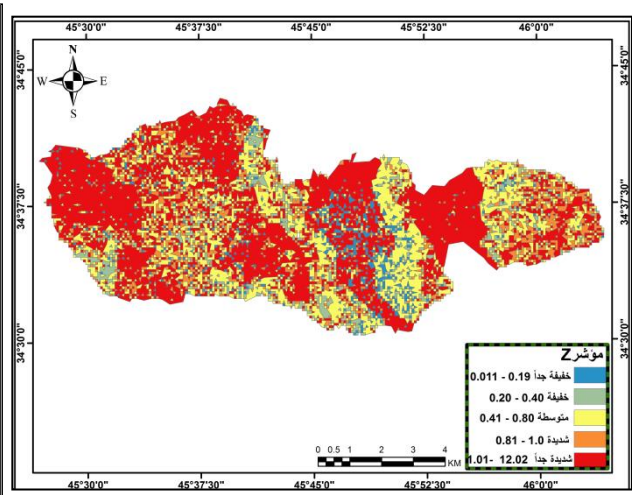


الفصل الثاني تحليل مخاطر العمليات الجيومورفية والهيدرولوجية ضمن منطقة

خريطة (٤٧ هـ) توزيع مؤشر (Z) في حوض بانزمين



خريطة (٤٨ خ) توزيع مؤشر (Z) في حوض قورة تو



المصدر: من عمل الباحثة بالاعتماد على نتائج معامل W وباستخدام برنامج Arc Gis (Arc map10.4.1).

جدول (٥١) أنواع التعرية المائية ومساحتها ونسبتها المئوية ضمن أحواض المنطقة حسب مؤشر (Z)

الاحواض	انواع التعرية	القيمة النوعية	المساحة /كم ^٢	النسبة المئوية %
أوبر	خفيفة جداً	٠.٠١ - ٠.١٩	٠.٨	١.٧
	خفيفة	٠.٢٠ - ٠.٤٠	٣.٠٢	٦.٦
	متوسطة	٠.٤١ - ٠.٨٠	١٤.٨	٣٢.٦
	شديدة	٠.٨١ - ١.٠	٥.٧	١٢.٦
	شديدة جداً	١.١ فأكثر	٢١.١٢	٤٦.٥
كونكل	خفيفة جداً	٠.٠١ - ٠.١٩	٣.٥	٨.٣
	خفيفة	٠.٢٠ - ٠.٤٠	٤.٦	١١.١
	متوسطة	٠.٤١ - ٠.٨٠	١١.٥	٢٧.٩
	شديدة	٠.٨١ - ١.٠	٦.٦	١٥.١
	شديدة جداً	١.١ فأكثر	١٥.٦	٣٧.٥
عباسان	خفيفة جداً	٠.٠١ - ٠.١٩	٤٩.٢	٥.٨
	خفيفة	٠.٢٠ - ٠.٤٠	٩٢.٢	١٠.٨
	متوسطة	٠.٤١ - ٠.٨٠	٢٣٤.٩	٢٧.٥
	شديدة	٠.٨١ - ١.٠	١٠٠.٥	١١.٨
	شديدة جداً	١.١ فأكثر	٣٧٧	٤٤.٢
خورخور	خفيفة جداً	٠.٠١ - ٠.١٩	٤.٩	٤.٧
	خفيفة	٠.٢٠ - ٠.٤٠	٢.٧	٢.٣
	متوسطة	٠.٤١ - ٠.٨٠	١٣.٥	١٢.٧
	شديدة	٠.٨١ - ١.٠	٦.٩	٦.٥
	شديدة جداً	١.١ فأكثر	٧٨.٥	٧٣.٨
زلکه كن	خفيفة جداً	٠.٠١ - ٠.١٩	٢.٤	٤.١
	خفيفة	٠.٢٠ - ٠.٤٠	٠.١٢	٠.٢٢
	متوسطة	٠.٤١ - ٠.٨٠	٥.١	٨.٩
	شديدة	٠.٨١ - ١.٠	٤.٦	٨.٠٢
	شديدة جداً	١.١ فأكثر	٤٤.٩	٧٨.٨

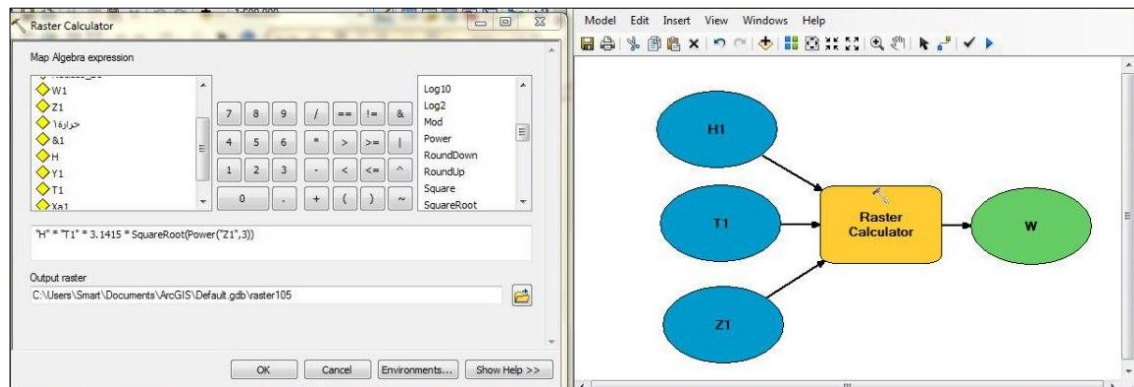
الفصل الثاني تحليل مخاطر العمليات الجيومورفية والهيدرولوجية ضمن منطقة

سي حران	خفيفة جداً	٠.١٩ - ٠.٠١	٢.٠٨	٣.٦
	خفيفة	٠.٢٠ - ٠.٤٠	١.٥	٢.٥
	متوسطة	٠.٤١ - ٠.٨٠	١٣.٨	٢٣.٨
	شديدة	٠.٨١ - ١.٠	٧.٨	١٣.٦
	شديدة جداً	فأكثر ١.١	٣٢.٦	٥٦.٥
قورة تو	خفيفة جداً	٠.١٩ - ٠.٠١	٣٨.٩	٥.٠٣
	خفيفة	٠.٢٠ - ٠.٤٠	٥٥.٨	٧.٢٣
	متوسطة	٠.٤١ - ٠.٨٠	٢٠٠.٥	٢٥.٩
	شديدة	٠.٨١ - ١.٠	٩٦.٥	١٢.٥
	شديدة جداً	فأكثر ١.١	٣٨١.٣	٤٩.٣
بنزمين	خفيفة جداً	٠.١٩ - ٠.٠١	٢	١٠.٣
	خفيفة	٠.٢٠ - ٠.٤٠	٠.٨	٤.٢
	متوسطة	٠.٤١ - ٠.٨٠	٦.٩	٣٥.٧
	شديدة	٠.٨١ - ١.٠	٣.٠٣	١٥.٨
	شديدة جداً	فأكثر ١.١	٦.٥	٣٤.١

المصدر: من عمل الباحثة بالاعتماد على خريطة (١٤٧- ب-ت-ث-ج-ح-خ-ه).

وللحصول على الانموذج النهائي (W) فقد تم دمج طبقة معامل الـ Z مع معامل الحرارة T والامطار H وذلك وفق المعادلة المذكورة سلفاً، كما في الشكل (٣٠)، وذلك لتقدير كمية التعرية المائية السنوية التي تقاس بالمتري المكعب خلال الكيلومتر المربع في السنة (م ٣/كم ٢/سنة).

شكل (٣٠) أنموذج اشتقاق مؤشر (W)



المصدر: من عمل الباحثة بالاعتماد على (Model builder) باستخدام الـ Arc Gis(arcmap10.4.1).

من الخرائط (١٤٨- ب - ت - ث - ج - ح - خ - ه) أتضح أن هناك تباين في توزيع كميات التعرية المائية السنوية على أحواض منطقة الدراسة ، الجدول (٥٢)، وكما يلي:

- الفئة الاولى تعرية ضعيفة جداً Very Weak erosion (أقل من ٥٠ م ٣/كم ٢/سنة): شغلت هذه الفئة مساحة قليلة بلغت (١٠٢.٢ كم ٢) وبنسبة (٥.٢%) من مجموع مساحة أحواض المنطقة، إذ سادت في الجهات المنبسطة أي في السهل الفيضي والتي تتصف بقلة أمطارها وغطائها النباتي وأرتفاع درجة حرارتها مقارنة مع بقية أجزاء المنطقة.

الفصل الثاني تحليل مخاطر العمليات الجيومورفية والهيدرولوجية ضمن منطقة

• **الفئة الثانية تعرية ضعيفة Weak erosion (٥١ - ٥٠٠ م^٣/كم^٢/سنة):** تأتي هذه الفئة بالمرتبة الثانية من حيث السيادة وفق معيار المساحة التي تشغلها والتي بلغت (٣٤.٦٩٠ كم^٢) أي بنسبة (٣٥.٣%) من مجموع مساحة أحواض المنطقة، إذ امتدت في السهول التي أستغلت للأنشطة البشرية وخاصة الزراعة.

• **الفئة الثالثة تعرية متوسطة Moderate erosion (٥٠١ - ١٥٠٠ م^٣/كم^٢/سنة):** شغلت مساحة هذه الفئة أعلى مساحة وقد بلغت (٧٢٤.٢ كم^٢) وبنسبة (٣٧.١%) من إجمالي مساحة أحواض المنطقة، وتسود هذه التعرية في أجزاء متفرقة من المنطقة حيث يقترن تواجدها مع أماكن أنتشار الصنف الثالث من قيم معامل Z المتمثلة بالجهات قليلة الغطاء النباتي والتي تكون ضعيفة المقاومة للتعرية المائية.

• **الفئة الرابعة تعرية شديدة Severe erosion (١٥٠١ - ٥٠٠٠ م^٣/كم^٢/سنة):** بلغت مساحتها (٣٥٤.٦ كم^٢) أي بنسبة (١٨.٢%) من مجموع مساحة أحواض المنطقة، وتركز هذا النوع من التعرية على سفوح الاودية والتي تكون ذات تكوينات غير متماسكة سهلة التعرية.

• **الفئة الخامسة تعرية شديدة جداً Very Severe erosion (٥٠٠١ - ٢٠٠٠٠ م^٣/كم^٢/سنة):** شغلت مساحة هذه الفئة (٧٧.١٢ كم^٢) أي بنسبة (٤%) من إجمالي مساحة أحواض المنطقة، وتظهر عند السفوح الشديدة الانحدار التي تتصف بسقوط أمطار غزيرة تقوم بجرف كميات كبيرة من التربة، ويسود هذا النوع التعرية في جميع الاحواض ماعدا حوض بنزمين.

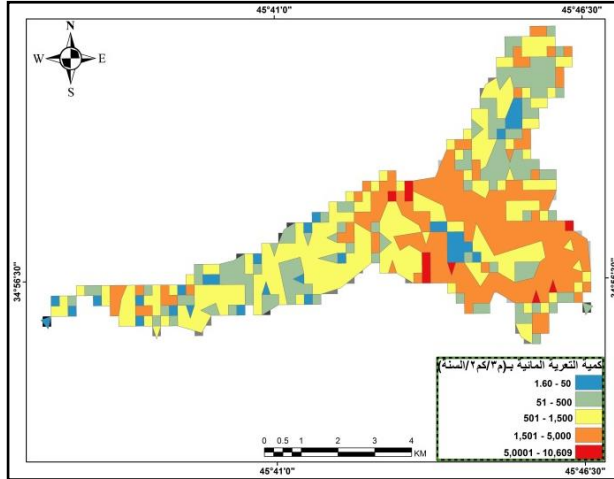
• **الفئة السادسة تعرية كارثية Catastrophic erosion (بأكثر من ٢٠٠٠٠ م^٣/كم^٢/سنة):** ظهرت هذه التعرية ضمن أراضي حوضي عباسان وقورة تو فقط وذلك لانهما يتصفان بسيادة القمم الجبلية ذات الارتفاعات الشاهقة وذلك عند الحدود العراقية الايرانية والقمم الجبلية التي تقع ضمن الاراضي الايرانية، فضلاً عن سقوط الامطار الفجائية الغزيرة وانتشار الاراضي الجرداء ضمن هذه الجهات من المنطقة، لذا فإن كمية التعرية فيها أعظم ما يمكن ، وقد شغلت مساحة بلغت (٤.٦٢ كم^٢) أي بنسبة (٠.٢٣%) من مجموع مساحة أحواض المنطقة.

نستنتج مما سبق إن أغلب أحواض المنطقة قد سادت ضمن أراضيها التعرية المتوسطة والتي تراوح حجم الترسيبات فيها يتراوح بين (٥٠١ - ١٥٠٠ م^٣/كم^٢/سنة) ضمن أراضيها ، وقد شغلت مساحة بلغت (٧٢٤.٢ كم^٢) من مجموع مساحة أحواض المنطقة ، تليها التعرية الضعيفة والتي شغلت مساحة بلغت (٣٤.٦٩٠ كم^٢) حيث تراوح حجم الترسيبات فيها (٥١ - ٥٠٠ م^٣/كم^٢/سنة ، بينما شغل صنف التعرية الشديدة (٣٥٤.٦١ كم^٢) وبحجم ترسيبات تراوح بين (١٥٠١ - ٥٠٠٠ م^٣/كم^٢/سنة، بينما انتشرت التعرية الضعيفة جداً بمساحة بلغت (١٠٢.١٩ كم^٢) من مجموع مساحة احواض المنطقة، والتي بلغ حجم ترسيباتها أقل من (٥٠ م^٣/كم^٢/سنة، أما التعرية الشديدة جداً فقد شغلت مساحة

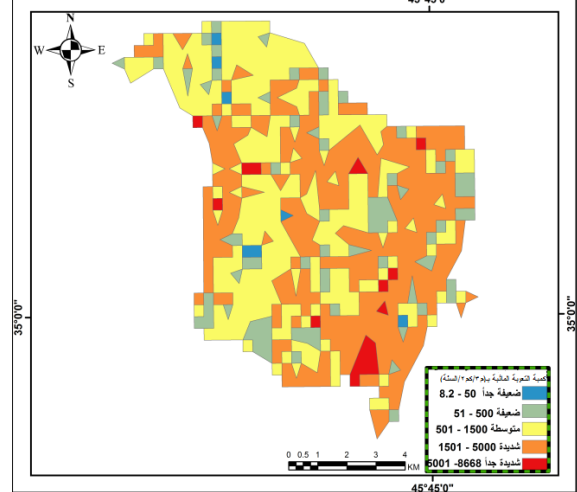
الفصل الثاني تحليل مخاطر العمليات الجيومورفية والهيدرولوجية ضمن منطقة

بلغت (١٢.٧٧ كم^٢) وتراوح حجم ترسباتها بين (٥٠٠١ - ٢٠٠٠٠) م^٣/كم^٢/سنة، بينما ظهرت التعرية الكارثية ضمن حوضي عباسان وقورة تو والتي شغلت مساحة قليلة بلغت (٤.٦٢ كم^٢) من إجمالي مساحة الاحواض، والتي تبلغ حجم ترسباتها أكثر من (٢٠٠٠٠) م^٣/كم^٢/سنة.

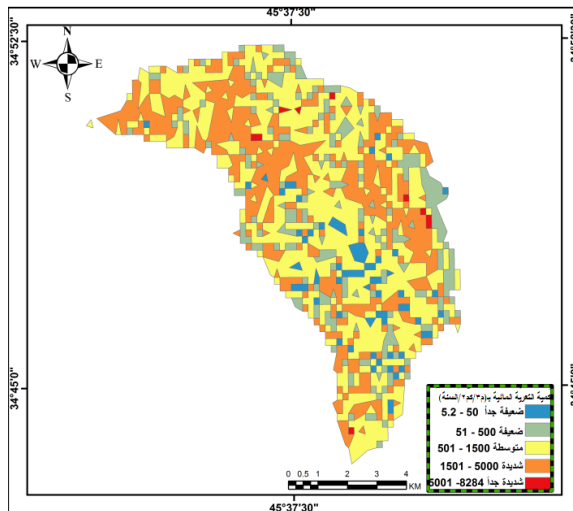
خريطة (٨ ء ب) توزيع مؤشر (W) في حوض كونكل



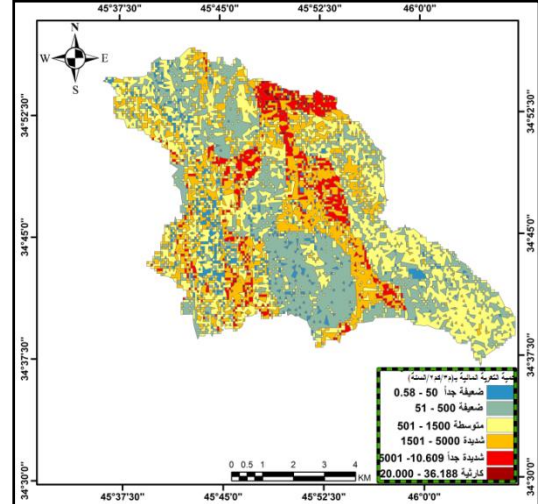
خريطة (٨ ء ا) توزيع مؤشر (W) في حوض أوبر



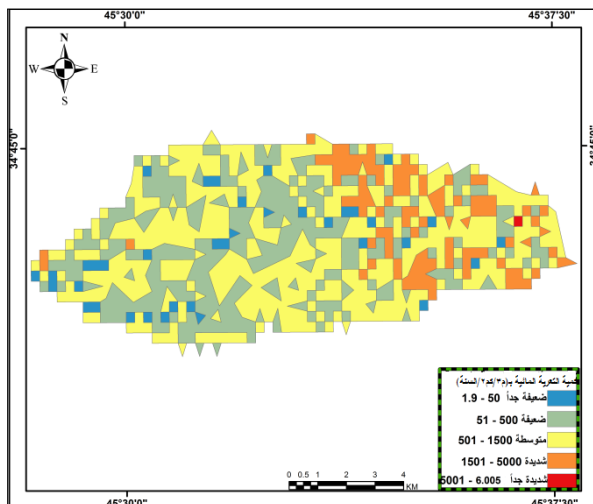
خريطة (٨ ء ت) توزيع مؤشر (W) في حوض خورخور



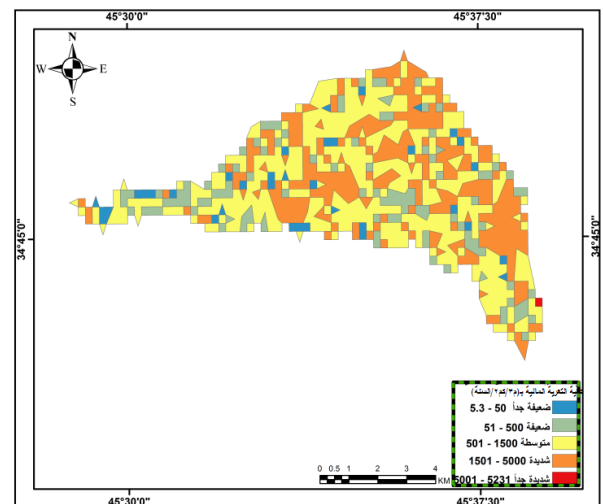
خريطة (٨ ء ث) توزيع مؤشر (W) في حوض عباسان



خريطة (٨ ء ح) توزيع مؤشر (W) في حوض سي حران

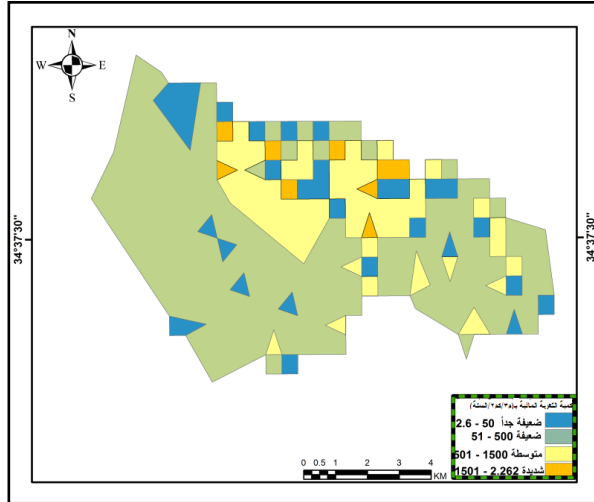


خريطة (٨ ء ج) توزيع مؤشر (W) في حوض زلكه كن

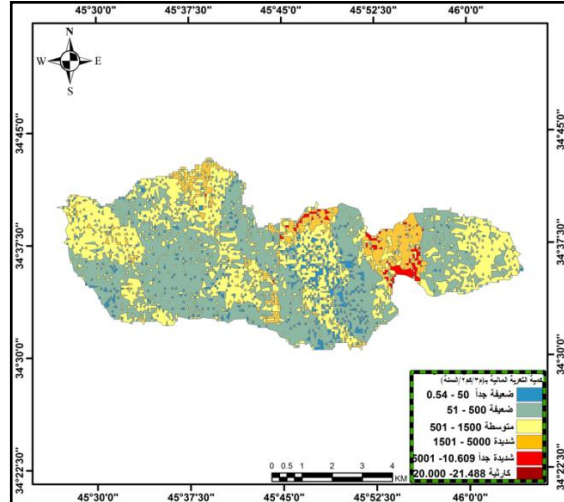


الفصل الثاني تحليل مخاطر العمليات الجيومورفية والهيدرولوجية ضمن منطقة

خريطة (٨٤ هـ) توزيع مؤشر (W) في حوض بائزمين



خريطة (٨٤ خ) توزيع مؤشر (W) في حوض قورة نو



المصدر: من عمل الباحثة بالاعتماد على نتائج تطبيق معامل W وباستخدام برنامج Arc Gis (Arc map10.4.1).

جدول (٥٢) أصناف وحجم التعرية المائية السنوية ومساحتها ونسبتها المئوية حسب مؤشر (w)

الاحواض	أصناف التعرية	حجم التعرية م ^٣ /كم ^٢ /سنة	المساحة /كم ^٢	النسبة المئوية %
أوبر	ضعيفة جداً	أقل من ٥٠	٠.٤٥	٠.٩٩
	ضعيفة	٥٠ - ٥٠٠	٥.٤	١١.٨
	متوسطة	٥٠١ - ١٥٠٠	١٨.٤	٤٠.٥
	شديدة	١٥٠١ - ٥٠٠٠	١٩.٩٩	٤٤.١
	شديدة جداً	٥٠٠٠ - ٢٠٠٠٠	١.٣	٢.٧
	كارثية	٢٠٠٠٠ فأكثر	-	-
كونكل	ضعيفة جداً	أقل من ٥٠	٢.٤	٥.٧
	ضعيفة	٥٠ - ٥٠٠	٩.١٢	٢٢
	متوسطة	٥٠١ - ١٥٠٠	١٥.٩	٣٨.٣
	شديدة	١٥٠١ - ٥٠٠٠	١٣.٥	٣٢.٥
	شديدة جداً	٥٠٠٠ - ٢٠٠٠٠	٠.٦٧	١.٦٢
	كارثية	٢٠٠٠٠ فأكثر	-	-
عباسان	ضعيفة جداً	أقل من ٥٠	٤١.٠١	٤.٨
	ضعيفة	٥٠ - ٥٠٠	٢٥٣.١٢	٢٩.٧
	متوسطة	٥٠١ - ١٥٠٠	٣٠٢.٧	٣٥.٥
	شديدة	١٥٠١ - ٥٠٠٠	١٨٧.٩	٢٢.٠١
	شديدة جداً	٥٠٠٠ - ٢٠٠٠٠	٦٤.٤	٧.٦
	كارثية	٢٠٠٠٠ فأكثر	٤.٦	٠.٥
خورخور	ضعيفة جداً	أقل من ٥٠	٤.٩	٤.٦
	ضعيفة	٥٠ - ٥٠٠	١٥.٦	١٤.٧
	متوسطة	٥٠١ - ١٥٠٠	٤٩.٦	٤٦.٦
	شديدة	١٥٠١ - ٥٠٠٠	٣٥.٦	٣٣.٥
	شديدة جداً	٥٠٠٠ - ٢٠٠٠٠	٠.٦٩	٠.٧

الفصل الثاني تحليل مخاطر العمليات الجيومورفية والهيدرولوجية ضمن منطقة

كارثية	٢٠٠٠٠ فأكثر	-	-
ضعيفة جداً	أقل من ٥٠	٢.٤	٤.٢
ضعيفة	٥١ - ٥٠٠	٧.٦	١٣.٣
متوسطة	١٥٠١ - ١٥٠٠	٢٧	٤٧.٤
شديدة	١٥٠١ - ٥٠٠٠	١٩.٩	٣٥
شديدة جداً	٥٠٠ - ٢٠٠٠٠	٠.٦٧	٠.١٢
كارثية	٢٠٠٠٠ فأكثر	-	-
ضعيفة جداً	أقل من ٥٠	٢.٥	٤.٣
ضعيفة	٥١ - ٥٠٠	١٩.٨	٣٤.٣
متوسطة	١٥٠١ - ١٥٠٠	٢٨.٣	٤٩.٠١
شديدة	١٥٠١ - ٥٠٠٠	٧.١	١٢.٣
شديدة جداً	٥٠٠ - ٢٠٠٠٠	٠.٠٧	٠.١٢
كارثية	٢٠٠٠٠ فأكثر	-	-
ضعيفة جداً	أقل من ٥٠	٤٦.١٣	٦
ضعيفة	٥١ - ٥٠٠	٣٦٧.٤	٤٧.٥
متوسطة	١٥٠١ - ١٥٠٠	٢٧٨.٤	٣٦.٠٢
شديدة	١٥٠١ - ٥٠٠٠	٧٠	٩.٠٥
شديدة جداً	٥٠٠ - ٢٠٠٠٠	١٠	١.٤
كارثية	٢٠٠٠٠ فأكثر	٠.٠٢	٠.٠١٧
ضعيفة جداً	أقل من ٥٠	٢.٤	١٢.٣
ضعيفة	٥١ - ٥٠٠	١٢.٣	٦٤.٣
متوسطة	١٥٠١ - ١٥٠٠	٣.٩	٢٠.٢
شديدة	١٥٠١ - ٥٠٠٠	٠.٦٢	٣.٣
شديدة جداً	٥٠٠ - ٢٠٠٠٠	-	-
كارثية	٢٠٠٠٠ فأكثر	-	-

المصدر: من عمل الباحثة بالاعتماد على خريطة (٤٨ أ.ب.ت.ث.ج.خ-هـ) وحسب تطبيق أنموذج جافريلوفيك (EPM).

الفصل الثالث

تقدير الجريان السطحي ضمن منطقة الدراسة

تمهيد:

لدراسة الوضع الهيدرولوجي لأحواض تصريف المنطقة لابد من معرفة أهم الخصائص الهيدرولوجية لتلك الأحواض ، إذ تعد هذه الخصائص من أهم العوامل المؤثرة في عملية الجريان السطحي والتي تعد انعكاساً للظروف المناخية لأحواض التصريف المتمثلة بطبيعة الأمطار الساقطة من حيث شدتها وتكرارها وإستمراريتها وغزارتها على مستوى الأحواض، وتحديد كمية المياه المفقودة وطبيعة الجريان وخصائصه وبالتالي أخذ التدابير اللازمة لمواجهة السيول التي ممكن أن تحدث في المنطقة ودرء أخطارها.

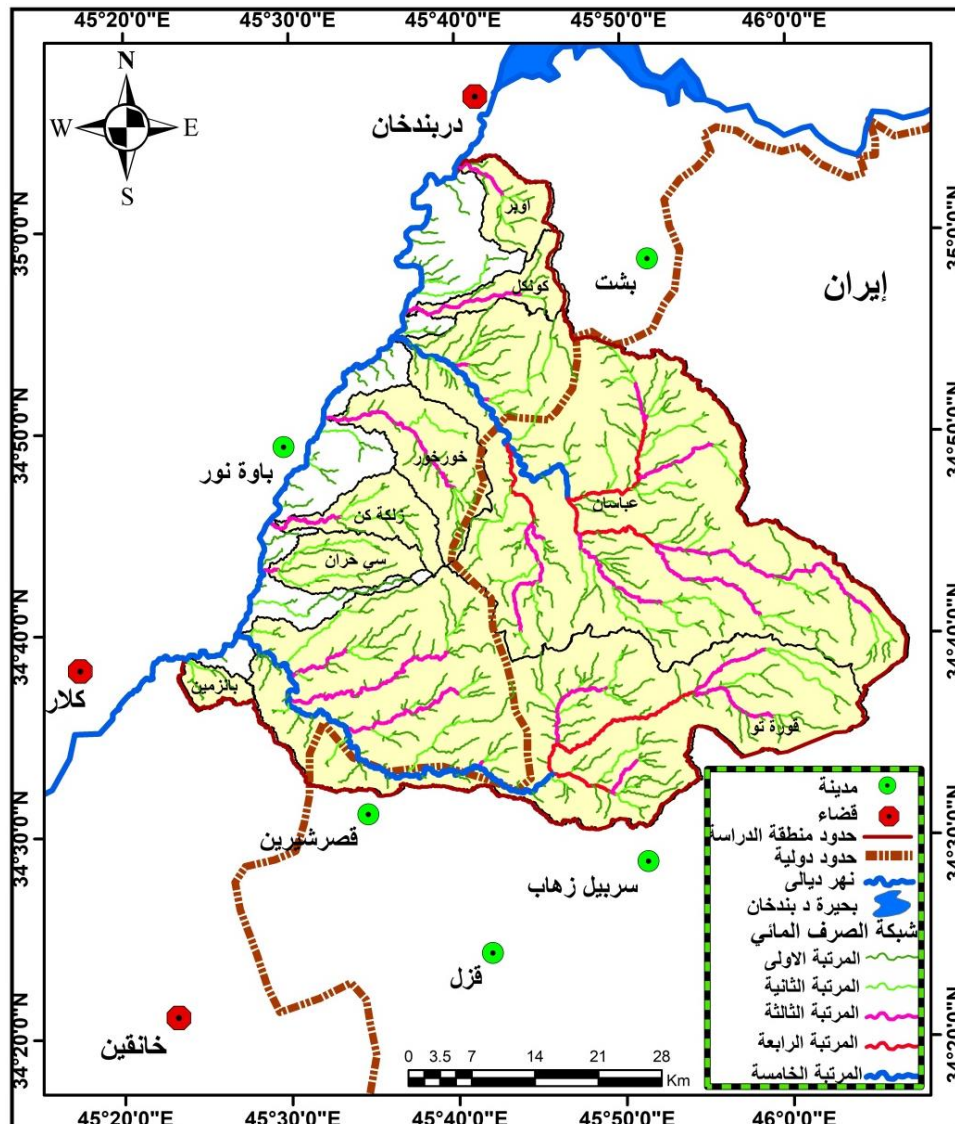
وهناك عدة طرق لدراسة هيدرولوجية أحواض تصريف المنطقة وتقدير الجريان السطحي ، وقد أعتمد طريقة سنايدر فضلاً عن استخدام طريقة الـ (SCS) التي وضعتها مؤسسة صيانة التربة الأمريكية لبناء مخطط قياسي اعتماداً على بيانات تساقط المطر الغزير لفترة زمنية معينة وذلك بطريقة الرقم المنحني (CN) والذي تعد قيمة (CN) المأخوذة من الجداول الخاصة بها من العوامل المهمة في إعداد خريطة المجاميع الهيدرولوجية لتربة الحوض المائي المراد دراسته.

والهدف من دراسة الجريان السطحي للمنطقة لا يقتصر على تقدير الجريان السطحي بل يتعدى إلى الاستفادة من هذه المعلومات في برامج التخطيط وإدارة حفظ البيئة والسيطرة على السيول والفيضانات وما تسببه من انجراف التربة وما يحدث على أثرها من مخاطر جيومورفية كالانزلاقات والانهيارات الأرضية والسقوط الصخري فضلاً عن محاولة انشاء المشاريع الهندسية من بناء السدود الترابية وسدود التحويل للمناطق المعرضة لخطر السيول والفيضان لخرن المياه والاستفادة منها في موسم الصيف.

وقد تم إستخراج بعض القياسات المورفومترية لأحواض المنطقة التي تعد حجر الزاوية التي يمكن بواسطتها ربط الخصائص المختلفة لشبكة التصريف النهري بهيدرولوجية الاحواض النهرية أي أعتمدت في إستخراج بعض المتغيرات الهيدرولوجية، ولمعرفة تلك الخصائص المعتمدة في دراسة المنطقة فقد رسمت شبكات تصريف الاحواض المائية بالاعتماد على بيانات أنموذج التضرس الرقمي (Dem) وبدقة تمييزية بلغت (١٢.٥م)، وتحديد أحواض المنطقة عن طريق برمجيات نظم المعلومات الجغرافية (GIS) ضمن بيئة برنامج الـ (Arc map 10.4)، والتي بلغت (٨) أحواض وهي (حوض أوبر وكونكل وعباسان وخورخور وزلكه كن وسي حران وقورة تو وبانزمين) وقد تم إهمال الاحواض التي تصل مجاريها المائية الى المرتبة الثانية فما دون ، خريطة (٤٩) و جدول (٥٣) وتمثلت بالاتي :

تقدير الجريان السطحي ضمن منطقة الدراسة

خريطة (٤٩) المراتب النهرية لأحواض التصريف في المنطقة



المصدر: من عمل الباحثة بالاعتماد على الخرائط طبوغرافية بمقياس 1:100000 وأنموذج الارتفاع الرقمي (DEM) وباستخدام برنامج ArcGis (Arc map10.4.1).

جدول (٥٣) القياسات المورفومترية لبحاوض التصريف ضمن المنطقة

اسم الحوض	مساحة الحوض كم ^٢	طول المجرى الحقيقي / كم	طول المجرى المثالي/ كم	الفرق بين اعلى نقطة وادنى نقطة/ م	معدل انحدار المجرى الرئيس
وادي اوبر	٤٥.٤	١٢.٤	٩.١	١٢٤٢	١٠٠.٢
وادي كونكل	٤١.٥	١٧.٣	١٣.٨	١٣٢٣	٧٦.٥
وادي عباسان	٨٥٣.٧	٦٨.٦	٥٥.٣	١٧٨٨	٢٦.١
وادي خورخور	١٠٦.٤	٢٢.٨	١٧.٤	٦٧٨	٢٩.٧
وادي زلكه كن	٥٧	١٨.٣	١٤.٨	٤٩١	٢٦.٨
وادي سي حران	٥٧.٧	١٥.٣	١٣.٩	٤٣٢	٢٨.٢
وادي قوره تو	٧٧٢.٩	٧٧.٩	٥٧.٩	٢٣٣١	٢٩.٩
وادي بانزمين	١٩.٢	٧.٩	٦.٨	١١٦	١٤.٧

المصدر : من عمل الباحثة بالاعتماد على أنموذج الارتفاع الرقمي (DEM) واستخرجت القياسات باستخدام برنامج Arc Gis (Arc .map10.4.1)

١-٣. تقدير حجم الجريان السطحي باستخدام طريقة سنايدر:

لقد أعتمدت عدة متغيرات في أستخراج الخصائص الهيدرولوجية لأحواض التصريف في المنطقة:

١-٣-١. زمن التركيز (Tc) Time of Concentration:

ويتمثل بالمدة الزمنية التي يحتاجها الماء للوصول من منابع الحوض الى مصبه، أي إنه الزمن المستغرق لوصول التدفق المائي إلى أعلى مستوى له وثباته عند هذا التصريف مهما طالت مدة العاصفة المطرية، وكلما قل زمن التركيز دل ذلك على احتمالية حدوث خطورة عالية فيها^(١)، ويستخرج وفق المعادلة الآتية:

$$T_c = 75 \frac{4 \times (S)^{(0.5)} + (1.5L)}{0.8(H)^{0.5}}$$

Tc : زمن التركيز

L : طول المجرى الرئيسي/كم

S : إنحدار المجرى الرئيسي

H : الفارق بين أعلى وأدنى نقطة في الحوض

وعند تطبيق المعادلة أعلاه على أحواض المنطقة تبين إن المعدل العام لزمن التركيز بلغ (١٠.١) ساعة، إذ بلغ أقصى زمن تركيز (١٦.١) ساعة أي مايعادل (٩٦٣) دقيقة في حوض عباسان، أما أقل زمن لتركيز المياه فقد بلغ (٥,٤) ساعة أي مايعادل (٣٢٢.٢) دقيقة في حوض أوبر وكما سجلت بقية الاحواض قيماً بين تلك الحدود، الجدول (٥٤).

جدول (٥٤) أزمنة التركيز في احواض منطقة الدراسة

ت	اسم الحوض	زمن التركيز بالدقيقة	زمن التركيز بالساعة
١	أوبر	٣٢٢.٢	٥.٤
٢	كونكل	٣٦٨.٥	٦.٢
٣	عباسان	٩٦٣	١٦.١
٤	خورخور	٥٨٢.٤	٩.٧
٥	زلكه كن	٥٦٢.١	٩.٤
٦	سي حران	٥١٤.٥	٨.٦
٧	قورة تو	٩٥٦.٩	١٥.٥
٨	بانزمين	٥٥٦.٦	٩.٣
	المعدل	٦٠٣.٣	١٠.١

المصدر: نتائج تطبيق معادلة Tc

(١) خليفة عبد الحافظ درادكة، المياه السطحية وهيدرولوجيا المياه الجوفية، ط١، مكتبة الفلاح للنشر والتوزيع ، ٢٠٠٦، ص١١٧.

إتضح مما سبق أن أحواض المنطقة تتباين مكانياً فيما بينها من حيث درجات الخطورة التي يسببها الجريان السيلي لذا قسم زمن تركيز وصول المياه من أبعد نقطة الى منطقة تجمع المياه الى ثلاث فئات، كما في خريطة (٥٠) والجدول (٥٥):

● **الفئة الأولى:** أحواض زمن تركيزها (٦.٢ ساعات) فأقل :

وتتمثل بالفئة عالية الخطورة التي تضم حوضي أوبر وكونكل التي وصلت مدة زمن التركيز فيهما الى (٦.٢ و٥.٤ ساعة) على التوالي، اذ تقع في الاجزاء المتضرسة جدا ضمن المنطقة، وتتميز أودية هذه الاحواض بشدة انحدار سفوحها فتكون أغلبها على شكل حرف V لهذا تكون من أكثر الاجزاء عرضة لحدوث خطورة قصوى بفعل السيول والتي شكلت نسبة بلغت (٢٥%) من مجموع احواض المنطقة .

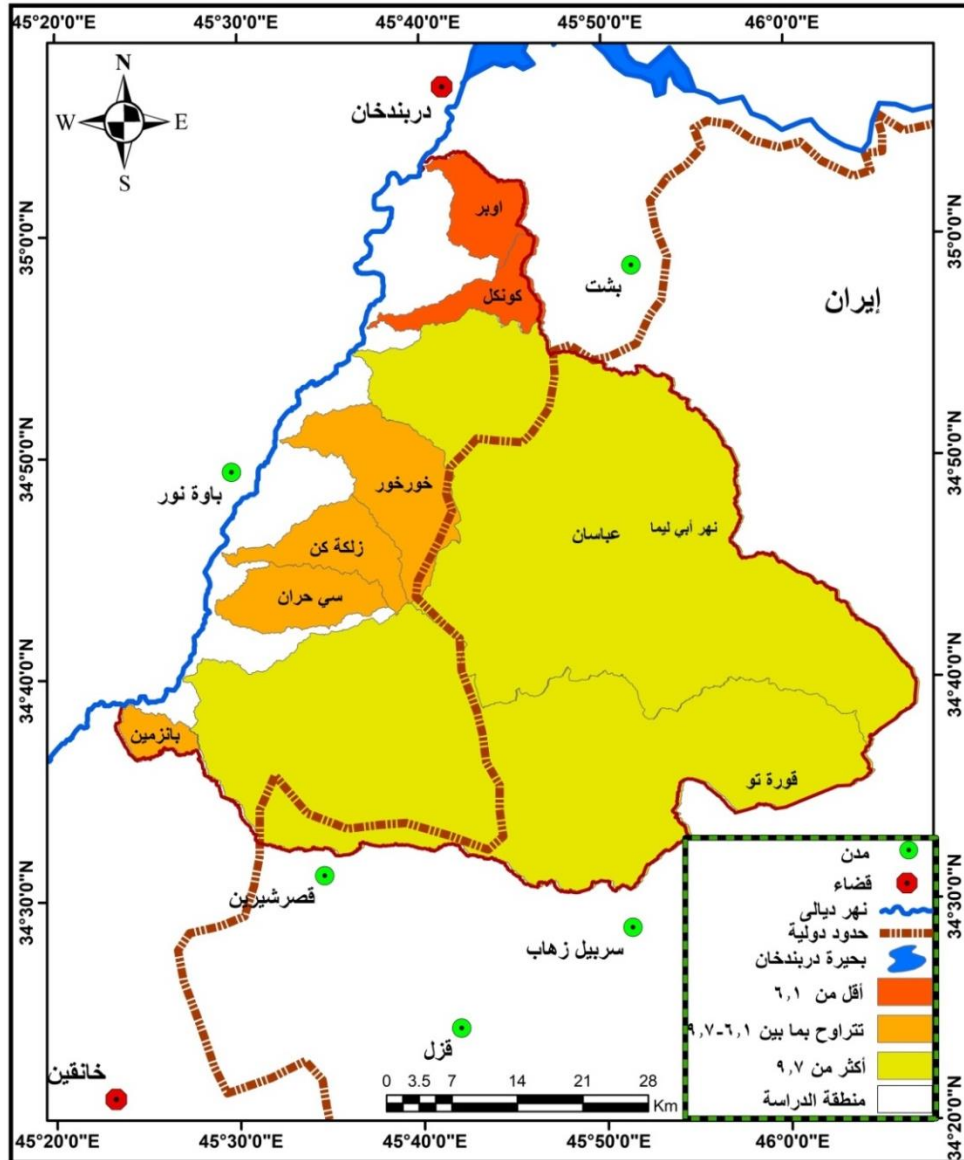
● **الفئة الثانية:** أحواض زمن تركيزها يتراوح ما بين (٦.٣-٩.٧ ساعة):

وتشمل حواض خورخور وزلعة كن و سي حران وبانزمين والتي بلغت مدة زمن تركيز المياه في مجاريها (٩.٧، ٩.٤، ٨.٦، ٩.٣ ساعة) على التوالي والتي بلغت نسبتها (٥٠%) من أجمالي أحواض المنطقة ، وتعد أحواض هذه الفئة متوسطة الخطورة لانها تقع ضمن الاجزاء الاقل تضرساً مع أحواض الفئة الاولى.

● **الفئة الثالثة:** وتشمل أحواض زمن تركيزها (٩.٨ ساعات) فأكثر:

وتتمثل بحوضي عباسان وقورة تو والذي بلغ زمن تركيز المياه في اوديتهما (١٦.١ و١٥.٥ ساعة) على التوالي، والتي شكلت نسبة بلغت (٢٥%) من أجمالي أحواض المنطقة ، وتعدان من ضمن المناطق الاقل عرضة لحدوث مخاطر السيول وذلك نظرا لطول مجاري اوديتهما وقلة إنحداراتها .

خريطة (٥٠) فئات زمن التركيز لأحواض المنطقة



المصدر: من عمل الباحثة بالاعتماد على نتائج تطبيق معادلة الـ TC وباستخدام برنامج الـ (Arc Gis arc map10.4.1).

جدول (٥٥) النسب المئوية لفئات الاحواض حسب زمن التركيز

النسبة المئوية %	التكرار	الفئات
٢٥	٢	٦.٢ فأقل
٥٠	٤	٩.٧-٦.٣
٢٥	٢	٩.٧ فأكثر
١٠٠	٨	المجموع

المصدر: من عمل الباحثة بالاعتماد على خريطة (٥٠).

٣-١-٢. زمن التباطؤ (Tp) Lag Time :

وهي المدة الزمنية المحصورة بين بداية سقوط الأمطار وحتى بداية توالد الجريان، ويتمثل بالزمن اللازم لاستجابة الأحواض المائية لكمية الأمطار الساقطة في الحوض والوصول إلى ذروة التصريف، وتتأثر قيمته بخصائص الحوض (طول الحوض وشكله وانحداره ونوع المنكشفات الصخرية المكونة

للسطح وما يظهر فيها من شقوق وفواصل) ، إذ بإنخفاض زمن التباطؤ تزداد درجة الخطورة وذلك لأنخفاض المدة اللازمة لحدوث الجريان بعد سقوط الامطار ، حيث كلما زاد زمن التباطؤ قلت درجة الخطورة^(١)، ويستخرج من تطبيق المعادلة الآتية^(٢):

$$Tp(hr) = ct(L_b L_{ca})^{0.3}$$

Tp = زمن التباطؤ (ساعة)

L_b = طول المجرى الرئيس (كم)

L_{ca} = المسافة الفاصلة بين مصب الحوض ومركز ثقله (كم)

معامل زمن تدفق الذروة وهو خاص بطبيعة الحوض وانحداره وتراوح قيمته بين (0.2 و 2.2) ct يتضح من الجدول (٥٦) أن المعدل العام لزمن التباطؤ في أحواض المنطقة بلغ (٦.٧ ساعة) وسجل حوض بانزمين أدنى مدة لزمن التباطؤ والتي بلغت (٣.٩ ساعة) وبذلك يكون أكثر الاحواض في المنطقة عرضة لحدوث مخاطر السيول، أما حوض قورة تو فقد سجل أعلى قيمة لزمن التباطؤ بلغت (١٢.٢ ساعة) لهذا يعد أقل الاحواض التي يمكن أن تتعرض لمخاطر السيول لانه يعد اكبر الاحواض طولاً، أما بقية الاحواض فقد تباينت قيمها لذا فقد صنفنا الى عدة فئات كما في الخريطة (٥١) والجدول (٥٧) حيث تمثلت بالاتي:

● **الفئة الاولى:** وتشمل الاحواض التي يكون زمن التباطؤ فيها (٤.٣ ساعة) فأقل:

وتتمثل بحوضي أوبر وبانزمين والتي بلغ فيهما زمن التباطؤ (٤.٣ و ٣.٩ ساعة) على التوالي ، وبهذا تعدان من الاحواض الاكثر خطورة في المنطقة إذ شكلت نسبة بلغت (٢٥%) من إجمالي أحواض المنطقة، وذلك لقصر اطوالها مما يقلل من الفاقد المائي بسبب التبخر إضافة الى طبيعة تكويناتها التي لاتسمح بنفاذ المياه خلالها.

● **الفئة الثانية:** وتشمل الاحواض التي تتراوح قيمها ما بين (٤.٤ - ٦.١ ساعة) :

وتشمل هذه الفئة الاحواض متوسطة الخطورة والتي تتمثل بالاحواض كونكل وخورخور وزلكة كن وسي حران والتي بلغت قيم زمن التباطؤ فيها (٥.١ ، ٦.١ ، ٥.٥ ، ٥.١ ساعة) على التوالي، فقد شكلت نسبة بلغت (٥٠%) من إجمالي أحواض المنطقة .

● **الفئة الثالثة:** وتشمل الاحواض التي يكون زمن التباطؤ فيها (٦.٢ ساعة) فأكثر:

وتضم الاحواض الاقل خطورة ضمن المنطقة وذلك لانها تتميز بطول مجاريها مما يزيد من نسبة تبخر المياه الجارية خلال أوديتها، وكذلك تسربها داخل التربة، وتتمثل بحوضي عباسان وقورة تو وأذ سجلنا

(١) مروة محمد عمر عباس الجوهري، هيدروجيومورفولوجية احواض التصريف الرئيسية على الساحل الغربي لخليج السويس، رسالة ماجستير غير منشورة، كلية الاداب ، جامعة الاسكندرية، ٢٠١٢، ص ٣٣.

2) Wilbur L. Meier, Jr, Analysis of unit hydrogrphs for small Waters Heds in Texas, Texas Water eommtssio, Bulletin 6414, 1964,P3.

الفصل الثالث

تقدير الجريان السطحي ضمن منطقة الدراسة

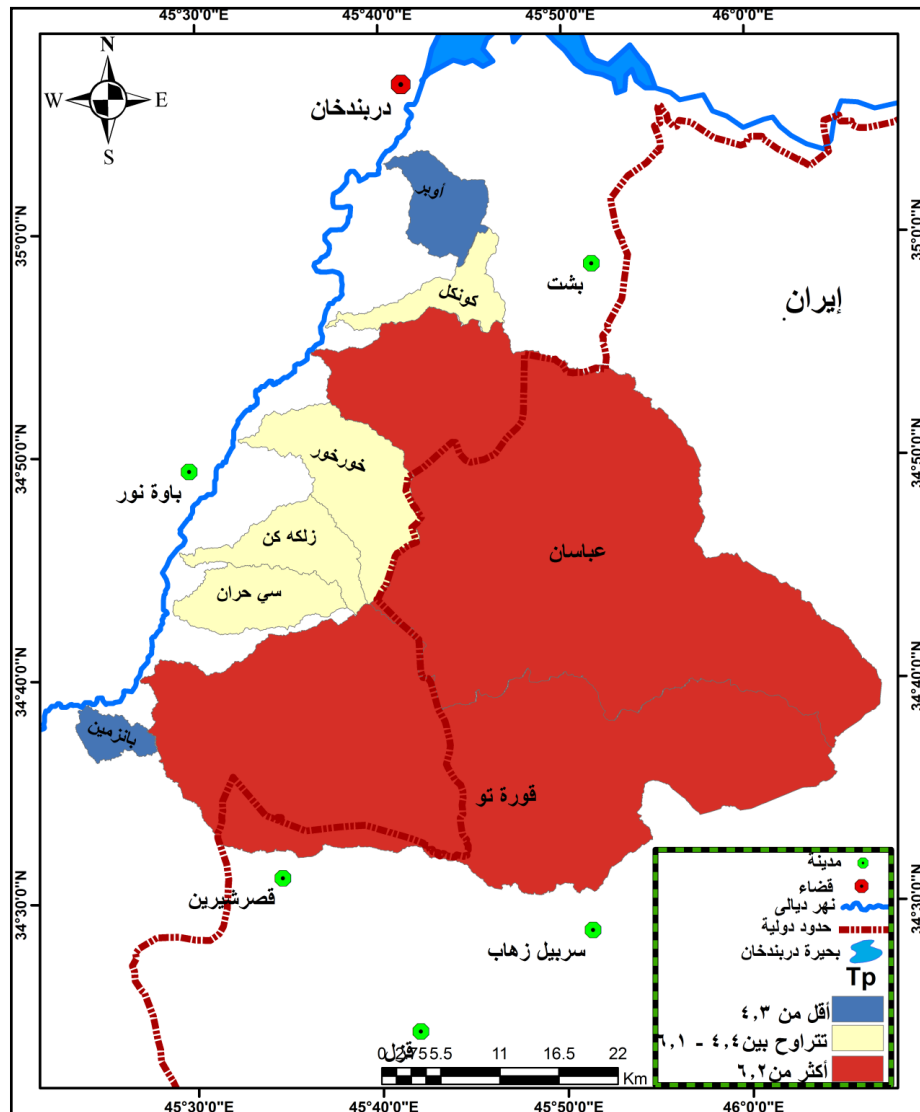
أعلى القيم حيث بلغت (١١.٥ و ١٢.٢ ساعة) على التوالي ، وقد شغلت نسبة بلغت (٢٥%) من إجمالي أحواض المنطقة.

جدول (٥٦) ازمدة التباطؤ Tp في احواض المنطقة

ت	اسم الحوض	زمن التباطؤ
١	أوبر	٤.٣
٢	كونكل	٥.١
٣	عباسان	١١.٥
٤	خورخور	٦.١
٥	زلكه كن	٥.٥
٦	سي حران	٥.١
٧	قورة تو	١٢.٢
٨	بانزمين	٣.٩
	المعدل	٦.٧

المصدر: نتائج تطبيق معادلة TP

خريطة (٥١) فئات زمن تباطؤ لأحواض المنطقة



المصدر: من عمل الباحثة بالاعتماد نتائج تطبيق معادلة TP وباستخدام برنامج الـ (ArcGis arc map 10.4.1).

جدول (٥٧) النسب المئوية لفئات الاحواض حسب زمن الاساس للسيل

الفئات	التكرار	النسبة المئوية %
٤.٣ فأقل	٢	٢٥
٤.٤ - ٦.١	٤	٥٠
٦.٢ فأكثر	٢	٢٥
المجموع	٨	١٠٠

المصدر: من عمل الباحثة بالاعتماد على خريطة (٥١).

٣-١-٣. زمن الاساس للسيل Time base (Tb):

يعرف بأنه الفترة الزمنية اللازمة لإمتداد السيل أو جريان المياه بصورة كاملة من منابع الحوض حتى وصولها الى المصب، وتتماثل هذه المدة في تغيراتها مع تغيرات زمن التباطؤ ويتم حسابه باستخدام المعادلة الآتية^(١):

$$Tb \text{ (days)} = 3 + \frac{Tp \text{ (hr)}}{8}$$

Tb (days) = زمن الأساس للسيل (يوم)

Tp = فترة استجابة الحوض المائي لسقوط الأمطار / ساعات (زمن التباطؤ)

يتضح من الجدول (٥٨)، ان المعدل العام لزمن الاساس بلغ (٣.٨) يوم ، في حين سجل حوض أوبر أقصر مدة بلغت (٣.٥) يوم بينما سجل حوض قورة تو أطول زمن اساس لامتداد السيول في الاحواض إذ بلغت (٤.٥) يوم، وكما تراوحت قيم زمن الاساس لسيول بقية أحواض المنطقة بينهما، وقد صنفت لثلاث فئات، خريطة (٥٢) والجدول (٥٩)، وكما يلي:

- **الفئة الاولى:** وتشمل هذه الفئة الاحواض التي يكون فيها زمن الاساس (٣.٦) يوم فأقل: وتتمثل بأحواض أوبر وبانزمين والتي بلغ فيهما زمن الاساس للسيل (٣.٥) يوم وكونكل وسي حران (٣.٦) يوم أي بنسبة (٥٠%) من مجموع احواض المنطقة.
- **الفئة الثانية:** وتتضمن الاحواض التي تتراوح قيمها ما بين (٣.٦١ - ٣.٨) يوم: وتشمل هذه الفئة حوضي خورخور وزلكة كن وقد بلغت قيم زمن الاساس فيهما (٣.٨، و ٣.٧) يوم على التوالي وبنسبة (٢٥%) من مجموع احواض المنطقة.
- **الفئة الثالثة:** وتشمل هذه الفئة الاحواض التي يكون فيها زمن الاساس (٣.٨) يوم فأكثر: وتتمثل بحوضي قورة تو وعباسان والتي يكون زمن الاساس فيهما (٤.٤ و ٤.٥) يوم على التوالي وكانا بنسبة (٢٥%) من مجموع الاحواض.

1)Raghunath, H.M., Hydrology ,Principles ,Analysis ,Design, New Age Internation (P)limited,2006,p152.

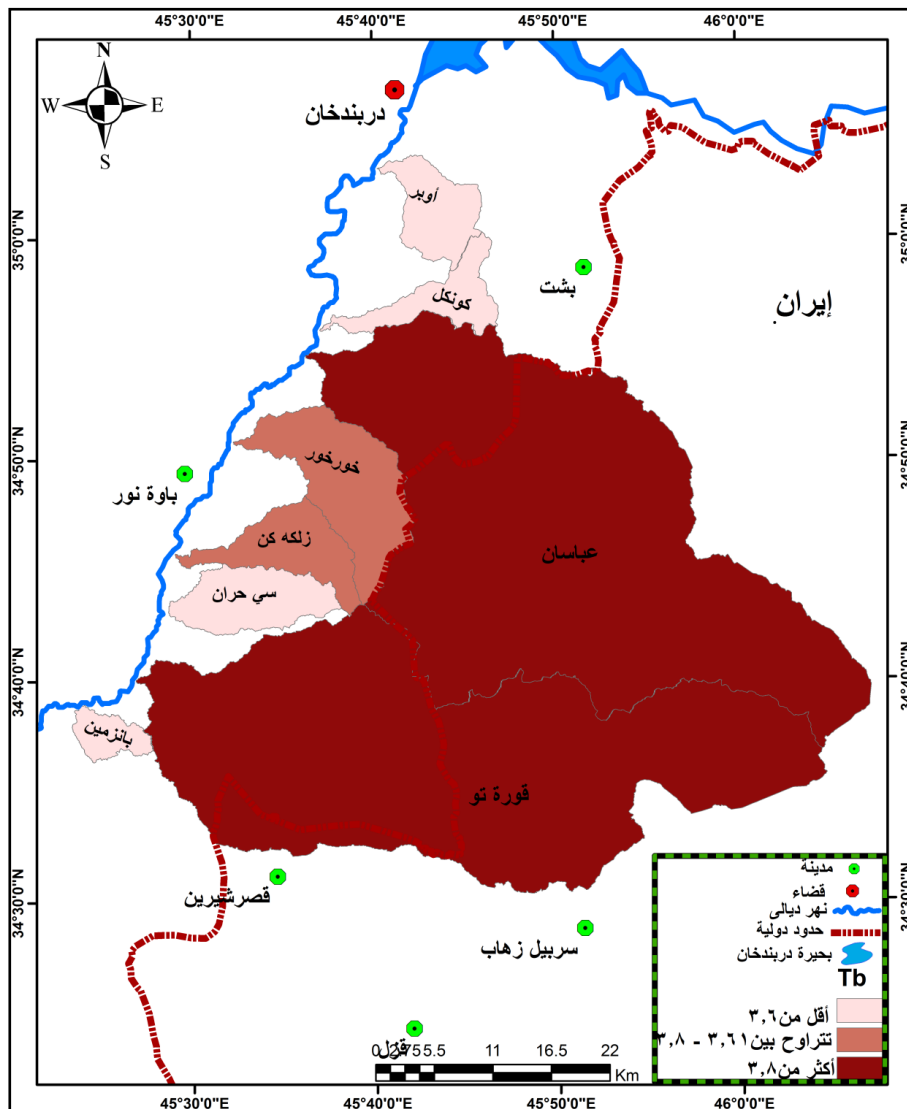
تبين مما سبق إن الاحواض أوبر وكونكل وسي حران هي الاحوض التي تستغرق فيها أقل مدة لامتداد السيل خلال مجاري اوديتها وذلك لقصر أطوال مجاريها وصغر مساحاتها وبذلك تعد أكثر الاحواض خطورة في المنطقة.

جدول (٥٨) زمن الاساس للسيل في احواض المنطقة

ت	اسم الحوض	زمن الاساس للسيل
١	أوبر	٣.٥
٢	كونكل	٣.٦
٣	عباسان	٤.٤
٤	خورخور	٣.٨
٥	زلکه کن	٣.٧
٦	سی حران	٣.٦
٧	قوة تو	٤.٥
٨	بانزمين	٣.٥
	المعدل	٣.٨

المصدر: نتائج تطبيق معادلة Tb .

خريطة (٥٢) فئات زمن الاساس للسيل لأحواض المنطقة



المصدر: من عمل الباحثة نتائج تطبيق معادلة Tb وباستخدام برنامج الـ (ArcGis arc map10.4.1).

جدول (٥٩) النسب المئوية لفئات الاحواض حسب زمن الاساس للسيل

النسبة المئوية %	التكرار	الفئات
٥٠	٤	٣.٦ فأقل
٢٥	٢	٣.٨-٣.٦١
٢٥	٢	٣.٨ فأكثر
١٠٠	٨	المجموع

المصدر: من عمل الباحثة بالاعتماد على خريطة (٥٢).

٣-١-٤. مدة الارتفاع التدريجي لتدفق السيل T_m :

هي المدة اللازمة للارتفاع التدريجي لمياه الامطار في قاع مجاري الأودية حتى يصل ذروته في الهيدروكراف وذلك بعد تشبع السطح بالمياه مع افتراض استمرار التساقط ، أي المدة الزمنية التي يستغرقها تدفق السيول من المنابع العليا للاحواض حتى مصباتها، ويتم حساب هذه المدة وفق المعادلة الآتية (١):

$$T_m(hr) = \frac{1}{3} T_b(hr)$$

T_m = فترة الارتفاع التدريجي لتدفق السيل (ساعات)

$T_b(hr)$ = زمن الأساس للسيل محسوبة (ساعة)

من خلال تطبيق المعادلة أعلاه تبين إن المعدل العام لفترة الارتفاع التدريجي لتدفق السيول في أحواض المنطقة بلغت بلغ (٣٠,٦) ساعة، وكان أدنى قيمة في حوض أوبر و بانزمين فقد بلغت (٢٨) ساعة وأعلى قيمة سجلت في حوض قورة تو (٣٦) ساعة ، وكما تبينت بقية الاحواض في قيمها وذلك بسبب تنوع تضاريس المنطقة وتباين درجات الانحدار وطبيعة التكوينات الجيولوجية ، جدول (٦٠) وقد صنفنا الى ثلاث فئات لتوضيح درجات الخطورة التي ممكن ان تحدث في المنطقة، خريطة (٥٣) والجدول (٦١)، وكما يلي:

- **الفئة الاولى:** الاحواض التي يكون قيمها (٢٨,٨) ساعة فأقل:
- وتتمثل بأحواض أوبر و بانزمين والتي بلغ فيهما (٢٨) ساعة وكونكل وسي حران إذ سجلا (٢٨,٨) ساعة زمن الارتفاع التدريجي أي بنسبة (٥٠%) من مجموع احواض المنطقة.
- **الفئة الثانية:** الاحواض التي تتراوح قيمها مابين (٢٨,٩-٣٠,٤) ساعة:
- وتشمل هذه الفئة حوضي خورخور وزلكة كن وقد بلغت قيم زمن الارتفاع التدريجي فيهما (٣٠,٤ و ٢٩,٦) ساعة على التوالي وبنسبة (٢٥%) من مجموع احواض المنطقة.
- **الفئة الثالثة:** الاحواض التي يكون فيها زمن الاساس (٣٠,٥) ساعة فأكثر:

وتتضمن حوضي عباسان وقورة تو وقد بلغت قيم زمن الارتفاع التدريجي فيهما (٣٥,٢ و ٣٦) ساعة على التوالي أي بنسبة (٢٥%) من مجموع احواض المنطقة.

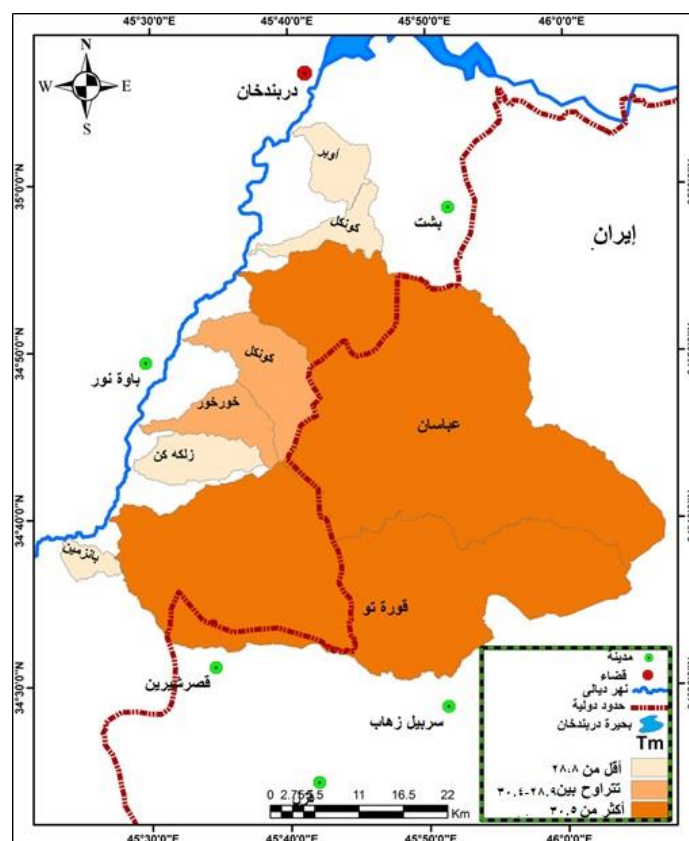
نستنتج مما سبق إن مدة الارتفاع التدريجي لتدفق السيول في أغلب احواض المنطقة تكون قصيرة جداً مما يشير إلى خطورة شديدة ممكن ان تتعرض لها أحواض المنطقة ، مما يدل على عدم بقاء المياه كثيراً في قيعان المجاري والأودية عند سقوطها وحتى بداية جريانها، ولا يمكن معها تفادي أخطار الجريان السيلي الناجم وذلك لقصر المدة وضخامة حجم الجريان .

جدول (٦٠) مدة الارتفاع التدريجي للسيل Tm لاحواض المنطقة

ت	اسم الحوض	مدة الارتفاع التدريجي
١	أوبر	٢٨
٢	كونكل	٢٨.٨
٣	عباسان	٣٥.٢
٤	خورخور	٣٠.٤
٥	زلکه کن	٢٩.٦
٦	سی حران	٢٨.٨
٧	قورة تو	٣٦
٨	بانزمین	٢٨
	المعدل	٣٠.٦

المصدر: نتائج تطبيق معادلة Tm.

خريطة (٥٣) فئات مدة الارتفاع التدريجي للسيل لاحواض المنطقة



المصدر: من عمل الباحثة بالاعتماد نتائج تطبيق معادلة Tm باستخدام برنامج الـ Arc 10.4.1 Gis arc map.

جدول (٦١) النسب المئوية لفئات الاحواض حسب مدة الارتفاع التدريجي للسيل

النسبة المئوية %	التكرار	الفئات
٥٠	٤	أقل من ٢٨.٨
٢٥	٢	٢٨.٩ - ٣٠.٤
٢٥	٢	أكثر من ٣٠.٥
١٠٠ %	٨	المجموع

المصدر: من عمل الباحثة بالاعتماد على خريطة (٥٣).

٣-١-٥. مدة الانخفاض التدريجي للسيل T_d :

وهي مدة انخفاض منسوب السيل ورجوع المياه السطحية الى وضعها الطبيعي، وتُحسب بتطبيق المعادلة الآتية^(١):

$$T_d(hr) = 2/3 T_b(hr)$$

إذ إن:

فترة الانخفاض التدريجي لتدفق السيل (بالساعات) وهي المدة الممتدة من ذروة التدفق الى نهاية الهيدروكراف

$$T_d(hr) =$$

زمن الاساس للسيل محسوبة (بالساعة) $T_b(hr)$

وبتطبيق المعادلة أعلاه وتحليل بيانات الجدول (٦٢) تبين إن المعدل العام لمدة الانخفاض التدريجي بلغ (٦١.٢) ساعة، أذ سجل حوضي أوبر وبانزمين أدنى قيمة بلغت (٥٦) ساعة، بينما سجل حوض قورة تو (٧٢) ساعة وهي أعلى مدة زمنية يجب ان يستغرقها السيل ورجوع المياه في مجاري اوديته الى وضعها الطبيعي، أما قيم مدة الانخفاض التدريجي للسيل لبقية الاحواض قد تباينت فيما بينها ولذا فقد صنفنا الى ثلاث فئات كما في الخريطة (٥٤) والجدول (٦٣) ، وكمايلي:

- **الفئة الاولى:** الاحواض التي بلغت قيم مدة الانخفاض التدريجي للسيل فيها (٥٧.٦) ساعة فأقل: وتتمثل بأحواض أوبر وبانزمين والتي بلغ فيهما (٥٦ ساعة) وكونكل وسي حران إذ سجلا (٥٧.٦) ساعة زمن الارتفاع التدريجي أي بنسبة (٥٠%) من مجموع احواض المنطقة.
- **الفئة الثانية:** الاحواض التي تتراوح قيمها ما بين (٥٧.٧-٦٠.٨) ساعة: وتشمل هذه الفئة حوضي خورخور وزلعة كن وقد بلغت قيم زمن الانخفاض التدريجي فيهما (٦٠.٨ و ٩٠.٢ ساعة) على التوالي وبنسبة (٢٥%) من مجموع احواض المنطقة.
- **الفئة الثالثة:** الاحواض التي سجلت قيم (٦٠.٩ ساعة) فأكثر: وتضم حوضي عباسان وقورة تو وقد بلغت قيم زمن الانخفاض التدريجي فيهما (٧٠.٤ و ٧٢) ساعة على التوالي أي بنسبة (٢٥%) من مجموع احواض المنطقة.

1) Raghunath, H.M, Hydrology Principles Analysis and Design , Op. Cit., P164.

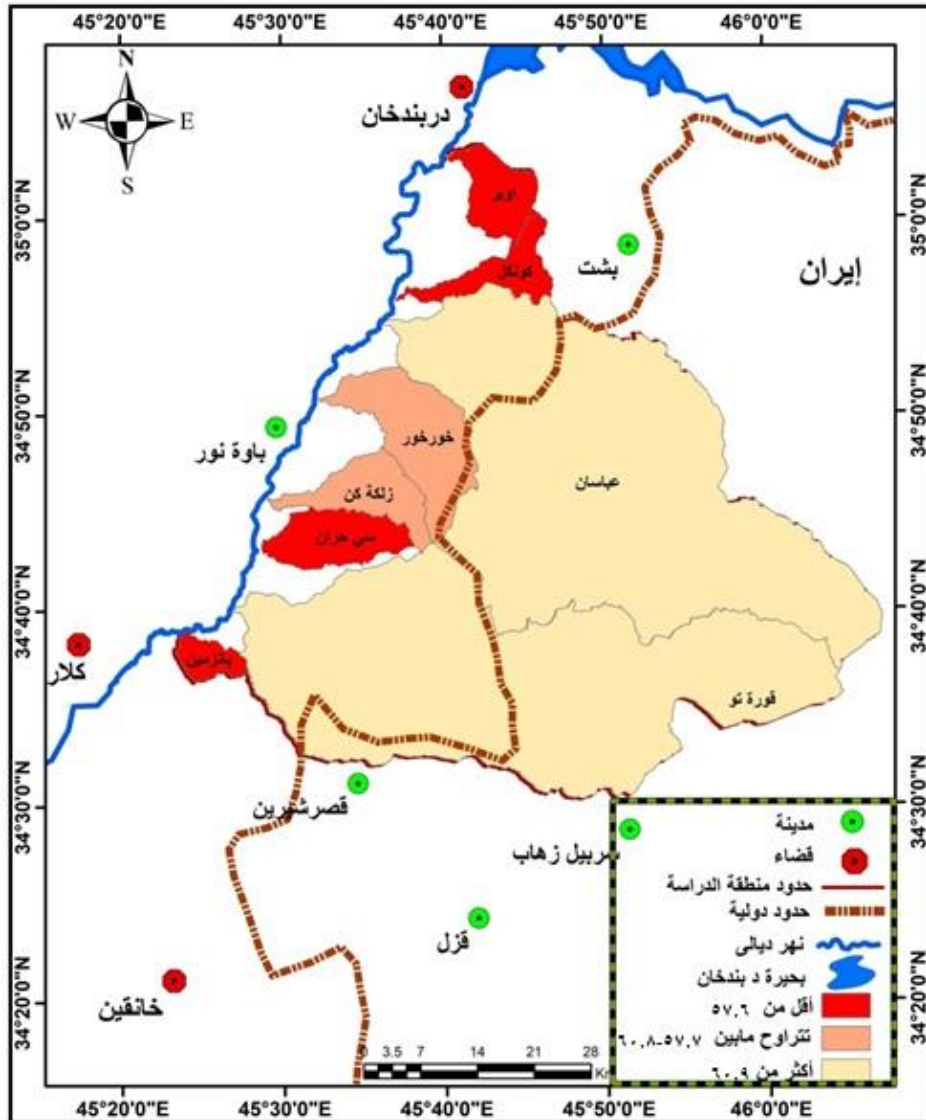
تبين مما سبق إن أكثر الاحواض التي تكون عرضة لمخاطر السيول هما حوضي أوبر وبانزمين يليها كونكل وسي حران أما حوضي عباسان وقورة توها أقل عرضة لحدوث مخاطر السيول .

جدول (٦٢) مدة الانخفاض التدريجي للسيل في أحواض المنطقة

ت	اسم الحوض	مدة الانخفاض التدريجي
١	أوبر	٥٦
٢	كونكل	٥٧.٦
٣	عباسان	٧٠.٤
٤	خورخور	٦٠.٨
٥	زلكه كن	٥٩.٢
٦	سي حران	٥٧.٦
٧	قورة تو	٧٢
٨	بانزمين	٥٦
	المعدل	٦١.٢

المصدر: نتائج تطبيق معادلة Td .

خريطة (٥٤) فئات مدة الانخفاض التدريجي للسيل في أحواض المنطقة



المصدر: من عمل الباحثة بالاعتماد على نتائج تطبيق معادلة Td باستخدام برنامج الـ (Gis arc map10.4.1).

جدول (٦٣) النسب المئوية لفئات الاحواض حسب مدة الانخفاض التدريجي للسيل

النسبة المئوية %	التكرار	الفئات
٥٠	٤	٥٧.٦ فأقل
٢٥	٢	٦٠.٨-٥٧.٧
٢٥	٢	٦٠.٩ فأكثر
١٠٠	٨	المجموع

المصدر: من عمل الباحثة بالاعتماد على خريطة (٥٤).

٦-١-٣. حجم الجريان السيلي Q_t :

ويقصد به كمية المياه المتدفقة من أرجاء الحوض مروراً بجميع مجاري أوديته وصولاً الى المصب، ويحدث هذا عندما تتجاوز شدة المطر على قدرة الحوض لأستيعابه و يمكن استخراج حجم الجريان باستخدام المعادلة الآتية^(١):

$$Q_t(m^3/s) = \sum L(km)^{0.85}$$

إذ تمثل:

حجم الجريان (الف م^٣/ثا) $Q_t (m^3/s)$

مجموع أطوال مجاري الحوض (كم) $\sum L(km)$

من تطبيق المعادلة أعلاه وتحليل بيانات الجدول (٦٤) تبين إن المعدل العام لحجم الجريان السطحي قد بلغ (٧٣.٤) الف م^٣/ثا، بينما بلغ أقل حجم للجريان في حوض بانزيمين (٨) الف م^٣/ثا وأعلى قيمة لحجم الجريان في حوض عباسان (٢٣٨.٦) الف م^٣/ثا وذلك يعود الى كبر مساحته وزيادة أطوال مجاري اوديته، لهذا فإن حجم الجريان السطحي له يكون عالي بالمقارنة مع بقية الاحواض التي تباينت فيها قيم احجام الجريان، وقد تم تصنيفها وذلك حسب شدة خطورتها الى ثلاث فئات كما في الخريطة (٥٥) والجدول (٦٥) وكما يلي:

- **الفئة الاولى:** الاحواض التي بلغ حجم الجريان فيها (١٩.٤ الف م^٣/ثا) ساعة فأقل:
وتضم أحواض أوبر وكونكل بانزيمين والتي بلغ فيهما (١٩.٤ و ١٧.٢ و ٨) الف م^٣/ثا على التوالي أي بنسبة (٣٧.٥%) من مجموع احواض المنطقة.
- **الفئة الثانية:** الاحواض التي تتراوح قيمها ما بين (١٩.٤-٣٥.٤) الف م^٣/ثا فأكثر:
وتشمل حوضي خورخور وزلركة كن وسي حران فقد بلغ حجم الجريان السطحي فيها (٣٥.٤ و ٢٣ و ٢٤.٤) الف م^٣/ثا على التوالي وبنسبة (٣٧.٥%) من مجموع احواض المنطقة.
- **الفئة الثالثة:** الاحواض التي سجلت قيم أكثر من (٣٥.٥) الف م^٣/ثا:
وتتمثل بحوضي عباسان وقورة تو وقد بلغت قيم حجم الجريان فيهما (٢٣٨.٦ و ٢٢٠.٩) الف م^٣/ثا على التوالي أي بنسبة (٢٥%) من مجموع احواض المنطقة.

(١) أحمد سالم صالح، أودية شمال سلطنة عمان دراسة الجيومورفولوجيا الكمية، ط ١، دار الكتب الحديث، ١٩٩٩، ص ٦٩.

الفصل الثالث تقدير الجريان السطحي ضمن منطقة الدراسة

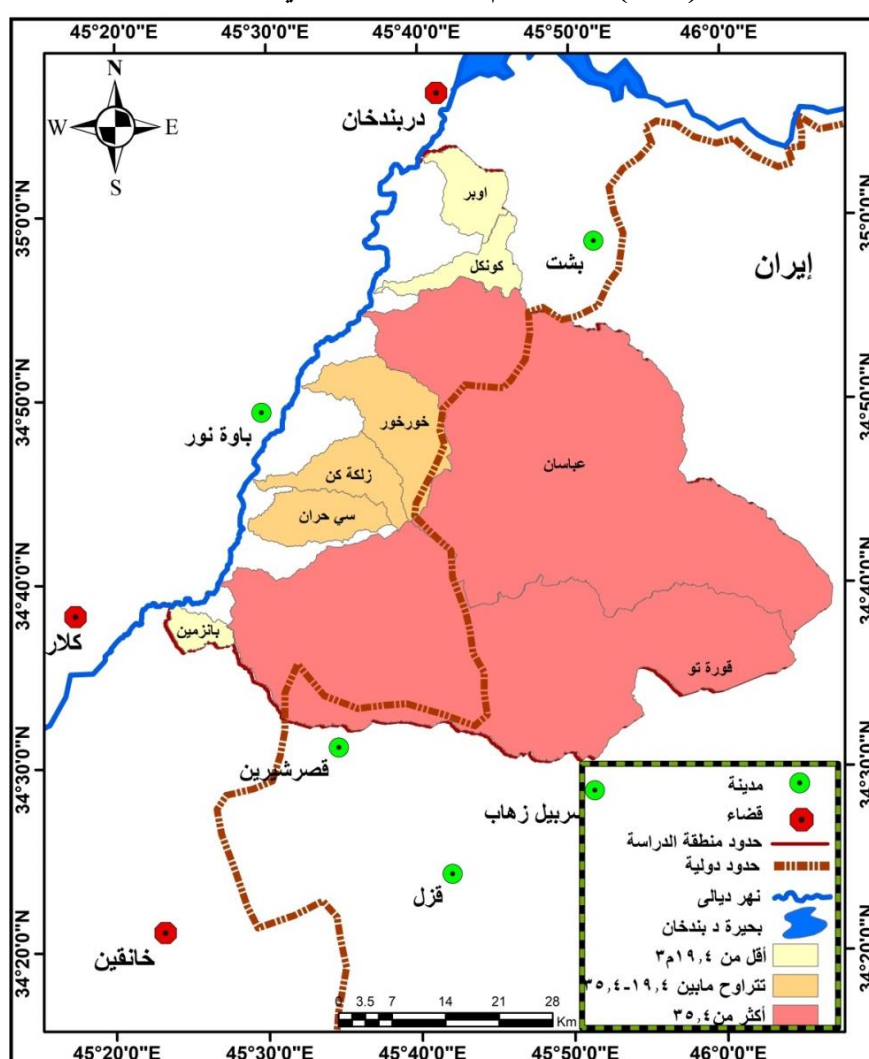
يستنتج مما سبق إن حوضي عباسان و قورة تو تعد أعلى أحواض المنطقة بحجم تصريف مياهها وذلك لأنها أحواض دائمة الجريان وذات مجاري تمتد لمسافات طويلة ،وكذلك وقوع منابعها ضمن الأراضي الإيرانية التي تتصف بغزارة أمطارها وحدوث العواصف المطرية فيها بصورة متكررة.

جدول (٦٤) حجم الجريان السطحي في أحواض المنطقة

ت	اسم الحوض	حجم الجريان السطحي الف م ^٣ /ثا
١	أوبر	١٩.٤
٢	كونكل	١٧.٢
٣	عباسان	٢٣٨.٦
٤	خورخور	٣٥.٤
٥	زلکه کن	٢٣
٦	سی حران	٢٤.٤
٧	قورة تو	٢٢٠.٩
٨	بانزمین	٨
	المعدل	٧٣.٤

المصدر: نتائج تطبيق معادلة Q .

خريطة (٥٥) فئات حجم الجريان السطحي لأحواض المنطقة



المصدر: من عمل الباحثة بالاعتماد على نتائج تطبيق معادلة Q باستخدام برنامج الـ (Arc Gis arc map10.4.1).

جدول (٦٥) النسب المئوية لفئات حجم الجريان السيلي لأحواض المنطقة

النسبة المئوية %	التكرار	الفئات
٣٧.٥	٣	١٩.٤ فأقل
٣٧.٥	٣	٣٥.٤-١٩.٥
٢٥	٢	٣٥.٥ فأكثر
١٠٠	٨	المجموع

المصدر: من عمل الباحثة بالاعتماد على خريطة (٥٥).

٧-١-٣. سرعة الجريان السيلي V:

وهو حجم المياه الجارية عبر المقطع النهري خلال وحدة الزمن، وتقيد سرعة المياه في التعرف على المسافة التي تقطعها المياه من المنبع وحتى المصب، حيث تعد سرعة الجريان السيلي من أهم المعاملات الموفومتريّة لأحواض التصريف لكونها تحدد درجة خطورة الأودية، إذ تعددت طرق قياس سرعة الجريان السيلي ومنها تتبع حركة المياه في حوض التصريف من خلال التصوير الجوي أو الفضائي، ولكن نظراً لصعوبة استخدام هذه الوسائل في كثير من المناطق، لذا يتم حسابها رياضياً من خلال تطبيق المعادلة الآتية^(١):

$$V = L/tc$$

إذ تمثل:

V = سرعة الجريان م/ثا

L = طول المجرى (م)

tc = زمن التركيز (ثا)

ومن تطبيق المعادلة وتحليل بيانات الجدول (٦٦) تبين أن المعدل العام قد بلغ (٠.٥٨) م/ثا، وقد تباينت سرعة الجريان ضمن مجاري أودية أحواض المنطقة ما بين أعلى سرعة جريان في حوض قورة تو فقد بلغت (١.٠١) م/ثا وبين أقل سرعة جريان في حوض بانزيمين بلغت (٠.٢٠) م/ثا، أما بقية الأحواض فقد تفاوتت سرعة جريانها لذا فقد صنفنا إلى ثلاث فئات، خريطة (٥٦) والجدول (٦٧)، وكما يلي:

- **الفئة الأولى:** الأحواض التي بلغت سرعة الجريان فيها (٠.٢٠ م/ثا) فأقل:
وتتمثل بحوض بانزيمين وقد بلغت سرعة الجريان السيلي فيه (٠.٢٠) م/ثا أي بنسبة (١٢.٥) %، وذلك لقلة أطوال مجاريه ولصغر مساحته وقلة انحدار سفوح وديانه مما أدى ذلك إلى انخفاض سرعة جريان المياه فيه.

- **الفئة الثانية:** الأحواض التي تتراوح قيمها ما بين (٠.٢١-٠.٦٢) م/ثا:

(١) أحمد سالم صالح، السيول في الصحاري، ط١، دار الكتب الحديث، ١٩٩٩، ص ٢٠٠.

الفصل الثالث

تقدير الجريان السطحي ضمن منطقة الدراسة

وتتضمن حوض أوبر وكونكل و خورخور وزلكة كن وسي حران فقد بلغت سرعة جريان السيول فيها (٠,٤٧ و ٠,٦٢ و ٠,٥٠ و ٠,٤٤ و ٠,٤٥) م/ثا على التوالي أي بنسبة (٦٢.٥) % من مجموع أحواض المنطقة.

الفئة الثالثة: الاحواض التي سجلت قيم (٠,٦٣) م/ثا فأكثر:

وشملت حوضي عباسان وقورة تو وقد بلغت سرعة الجريان فيهما (٠,٩٦ و ١,٠١) م/ثا على التوالي أي بنسبة (٢٥) % من مجموع سرعة جريان مياه أودية أحواض المنطقة.

نستنتج مما سبق إن حوضي عباسان وقورة تو تعد من أكثر الأحواض المعرضة لحدوث خطورة السيول وذلك لأنها تقع ضمن الأراضي ذات القمم الجبلية المرتفعة التي تتصف بغزارتها أمطارها لذا فإنها تستلم كمية كبيرة من مياه الأمطار فلذا تكون سرعة جريان المياه فيها عالية .

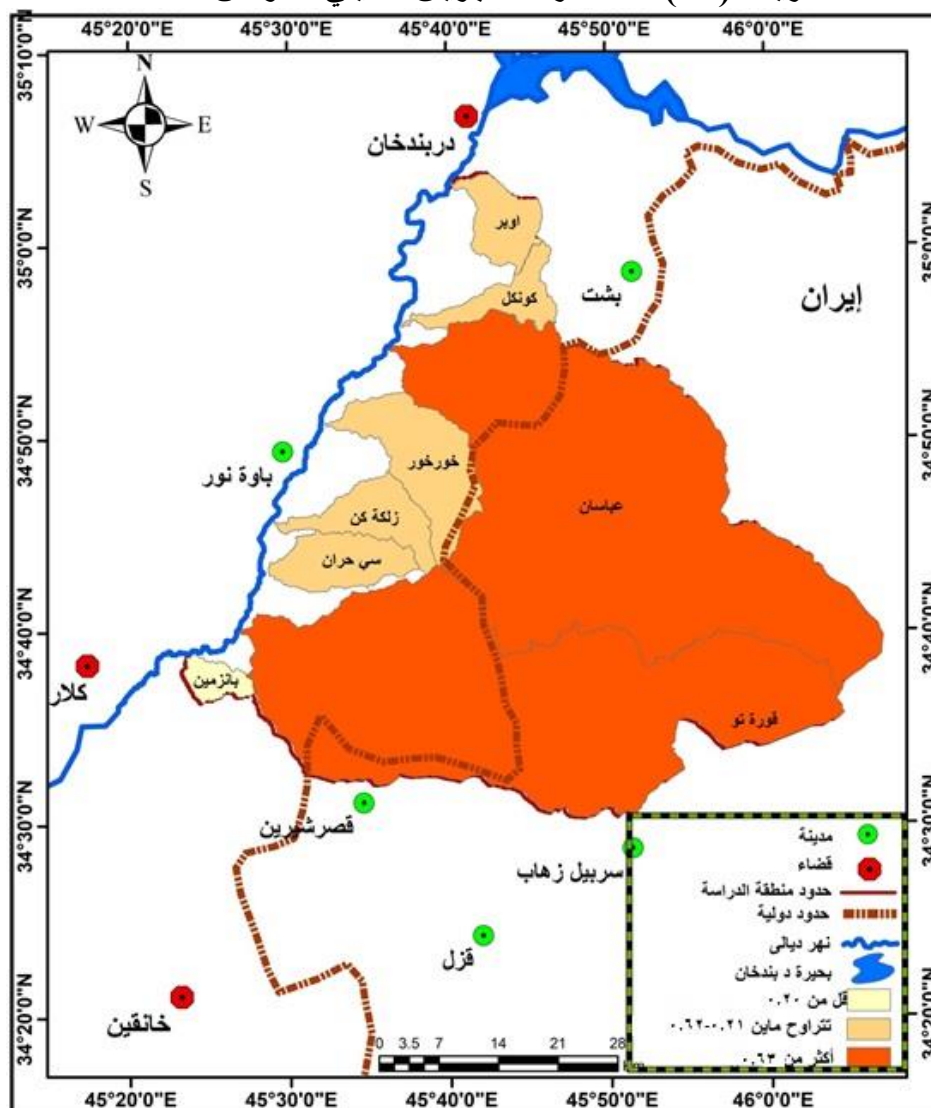
جدول (٦٦) سرعة الجريان السيلفي في أحواض المنطقة

ت	اسم الحوض	سرعة الجريان السيلفي م/ثا
١	أوبر	٠,٤٧
٢	كونكل	٠,٦٢
٣	عباسان	٠,٩٦
٤	خورخور	٠,٥٠
٥	زلكة كن	٠,٤٤
٦	سي حران	٠,٤٥
٧	قورة تو	١,٠١
٨	بانزمين	٠,٢٠
	المعدل	٠,٥٨

المصدر: نتائج تطبيق معادلة سرعة الجريان V.

الفصل الثالث تقدير الجريان السطحي ضمن منطقة الدراسة

خريطة (٥٦) فئات سرعة الجريان السيلي لأحواض المنطقة



المصدر: من عمل الباحثة بالاعتماد نتائج تطبيق معادلة سرعة الجريان V وباستخدام برنامج الـ (ArcGis arc map10.4.1).

جدول (٦٧) النسب المئوية لفئات سرعة الجريان السيلي لأحواض المنطقة

النسبة المئوية %	التكرار	الفئات
١٢.٥	١	٠.٢٠ فأقل
٦٢.٥	٥	٠.٦٢-٠.٢١
٢٥	٢	٠.٦٣ فأكثر
١٠٠	٨	المجموع

المصدر: من عمل الباحثة بالاعتماد على خريطة (٥٦).

٣-١-٨. حساب كمية التدفق الأقصى للسيول (Q_p):

ويقصد به أقصى تدفق مائي للسيول يمكنه الوصول الى مجاري الاودية وذلك عندما يبلغ الجريان المائي السطحي ذروته بعد حدوث العاصفة المطرية، ويحسب وفق المعادلة الاتية^(١):

1) Raghunath, H.M, Hydrology Principles Analysis and Design , Op. Cit., ,P150.

$$Q_p = (m^3/s) = \frac{CP * A}{tp(hr)}$$

إذ تمثل:

$Q_p (m^3/s) = (م^3/ثا)$ كمية التدفق الأقصى للسيول بحوض التصريف

$A = (كم^2)$ مساحة الحوض

$T_p (hr) =$ مدة استجابة حوض التصريف لهطول الأمطار (ساعة) (زمن التباطؤ)

معامل تدفق الذروة يرتبط بقابلية حوض التصريف المائي لتخزين المياه وله علاقة بالنفاذية، وتتراوح

$$C_p = (2.0-6.5) \text{ قيمته بين}$$

أظهرت النتائج بعد تطبيق المعادلة أعلاه ومن تحليل الجدول (٦٨)، إن المعدل العام لكمية التدفق

الأقصى للسيول في أحواض المنطقة بلغ (١٠٦.٤) م^٣/ثا، في حين تراوحت قيم التدفق ما بين أعلى قيمة

في حوض عباسان بلغت (٣١٥.٥) م^٣/ثا وأدنى قيمة كانت في حوض بانزمين بلغت (٢٠.٩) م^٣/ثا، وكما

تباينت قيم الاحواض فيما بينها لذلك فقد صنفنا الى ثلاث، فئات، كما في الخريطة (٥٧) والجدول (٦٩)،

وكما يلي:

• **الفئة الاولى:** الاحواض التي بلغت قيمة التدفق الأقصى للسيول فيها (٣٤.٦ م^٣/ثا) فأقل:

وتشمل حوضي كونكل وبانزمين وقد بلغت قيمة التدفق الأقصى للسيول فيهما (٣٤.٥٨ و ٢٠.٩) م^٣/ثا أي

بنسبة (٢٥) %، إذ تعدان أقل قيم الـ (Q_p) في المنطقة وذلك لصغر مساحتهما وقلة أطوال روافد أوديتها.

• **الفئة الثانية:** الاحواض التي تتراوح قيمها ما بين (٣٤.٧ - ٧٤.١) م^٣/ثا:

وتتضمن حوض إوبر و خورخور وزلعة كن وسي حران فقد بلغت قيم التدفق الأقصى للسيول فيها

(٧٤.١٣ و ٤٤.٠٥ و ٤٨.٠٨) م^٣/ثا على التوالي وبنسبة (٥٠) % من مجموع احواض المنطقة.

• **الفئة الثالثة:** الاحواض التي سجلت قيم (٧٤.٢) م^٣/ثا فأكثر:

وشملت حوضي عباسان وقورة تو وقد بلغت قيم التدفق الأقصى للسيول فيهما

(٣١٥.٥ و ٢٦٩.٢٥) م^٣/ثا على التوالي أي بنسبة (٢٥) % من مجموع احواض المنطقة.

مما سبق يمكن القول إن حوضي عباسان وقورة تو تعدان أكثر أحواض المنطقة استقبالا لكميات

الامطار الساقطة وذلك يعود الى مساحاتها الكبيرة التي تتناسب طردياً مع الجريان السطحي، إذ يزداد

الجريان السطحي بزيادة المساحة نتيجة إمتداد الحوض عبر أقاليم مناخية متنوعة الخصائص مما يجعلها

تستقبل كميات أمطار غزيرة، ومن جانب آخر إن صغر مساحة بعض الاحواض يعمل على تغطيتها

بعاصفة مطرية واحدة، الامر الذي يساهم في زيادة سرعة الجريان السطحي وبالتالي زيادة كمية

التصريف المائي.

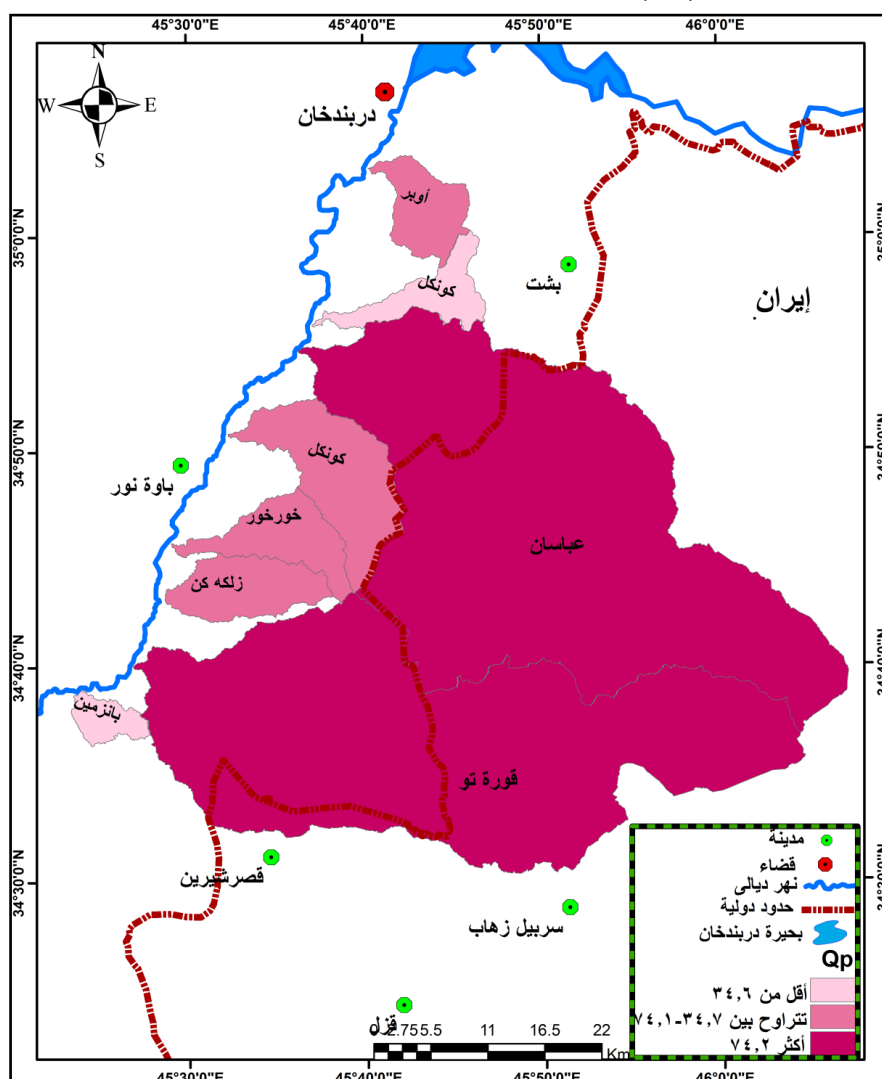
جدول (٦٨) كمية التدفق الأقصى للسيول في أحواض المنطقة

ت	اسم الحوض	كمية التدفق الأقصى للسيول
١	أوبر	٤٤.٨٧

الفصل الثالث تقدير الجريان السطحي ضمن منطقة الدراسة

٢	كونكل	٣٤.٥٨
٣	عباسان	٣١٥.٥
٤	خورخور	٧٤.١٣
٥	زلکه کن	٤٤.٥٥
٦	سی حران	٤٨.٥٨
٧	قوره تو	٢٦٩.٢٥
٨	بانزمین	٢٠.٩
	المعدل	١٠٦.٤

المصدر: من عمل الباحثة بالاعتماد على نتائج تطبيق معادلة QP
خريطة (٥٧) كمية التدفق الأقصى للسيول لأحواض المنطقة



المصدر: من عمل الباحثة بالاعتماد على نتائج تطبيق معادلة QP باستخدام برنامج الـ (ArcGis arc map10.4.1)
جدول (٦٩) النسب المئوية لفئات كمية التدفق الأقصى للسيول لأحواض المنطقة

النسبة المئوية %	التكرار	الفئات
٢٥	٢	٣٤.٦ فأقل
٥٠	٤	٧٤.١-٣٤.٦
٢٥	٢	٧٤.٢ فأكثر
١٠٠	٨	المجموع

المصدر: من عمل الباحثة بالاعتماد على خريطة (٥٧).

٣-١-٩. قيمة التسرب الثابتة F_p :

هو المعدل الأقصى لتوغل المياه من سطح التربة الى داخلها ، ويختلف معدل التسرب باختلاف التربة فيكون بنسب عالية في الترب الرملية وواطئة في التربة الطينية وبالاخص الرطبة أثناء العاصفة المطرية ثم يتناقص في جميع الترب، وتختلف سرعة الرشح خلال عاصفة مطرية معينة مع مرور الزمن، ففي بداية حدوث العاصفة فإن سرعة الرشح تبلغ قيمة عظمى بعدها تبدأ بالتناقص مع مرور الزمن حتى تصل إلى قيمة ثابتة بعد مرور فترة زمنية معينة وتسمى حينئذ بسرعة الرشح النهائية أو المتعادلة، وتستخرج قيمة التسرب على وفق المعادلة الآتية^(١):

$$F_p = A * T_d * 0.0158$$

إذ تمثل:

F_p = قيمة التسرب الثابتة

A = المساحة/كم^٢

T_d = مدة الانخفاض التدريجي للسيل

بعد تطبيق المعادلة أعلاه ومن تحليل الجدول (٧٠)، تبين إن المعدل العام لقيمة التسرب الثابتة في أحواض المنطقة بلغ (٣٢٦٦.٥ م^٣)، كما تباينت قيم التسرب الثابتة ما بين أعلى قيمة في حوض عباسان بلغت (٣٩.٥ م^٣) وأدنى قيمة كانت في حوض بانزمين بلغت (٠.٧١ م^٣)، أما قيم بقية الاحواض فكانت ما بينها، وقد صنف الى ثلاث فئات، كما في الخريطة (٥٨) والجدول (٧١)، كما يلي:

- **الفئة الاولى:** الأحواض التي بلغت فيها قيم التسرب الثابتة (٣٥٣.٣ م^٣) فأقل :
- وشملت الاحواض أوبر وكونكل وزلكه كن وسي حران وبانزمين وقد بلغت قيم التسرب الثابتة فيها (٤٠.٢ و ٣٧.٨ و ٥٣.٣ و ٥٢.٥ و ١٧ م^٣) على التوالي أي بنسبة (٦٢.٥%) من مجموع احواض المنطقة.
- **الفئة الثانية:** الاحواض التي تتراوح قيمها ما بين (١٠٢.٢ - ٥٣.٣ م^٣):
- وتتمثل بحوض خورخور إذ قد بلغت قيمة التسرب فيه (١٠٢.٢ م^٣) وكان بنسبة (١٢.٥%) من مجموع المياه المفقودة أحواض المنطقة.

- **الفئة الثالثة:** الاحواض التي سجلت قيم أكثر من (١٠٢.٣ م^٣) فأكثر:
- وشملت حوضي عباسان وقورة تو وقد بلغت قيم التسرب الثابتة فيهما (٨٧٩.٣ و ٩٤٩.٦ م^٣) على التوالي أي بنسبة (٢٥%) من مجموع كمية المياه المفقودة ضمن أحواض المنطقة.
- إتضح مما سبق إن حوضي عباسان وقورة تو هما أكثر احواض المنطقة تكون عرضة لترشح المياه الى داخل التربة وذلك بسبب كبر مساحاتها والتي تتناسب تناسباً طردياً مع كمية المياه المتسربة داخل التربة.

(١) محمد حسن حسين، الهيدرولوجيا اساسيات وتطبيقاتها، ط١، عمان، دار دجلة للنشر والتوزيع، ٢٠١٧، ص ١٠١.

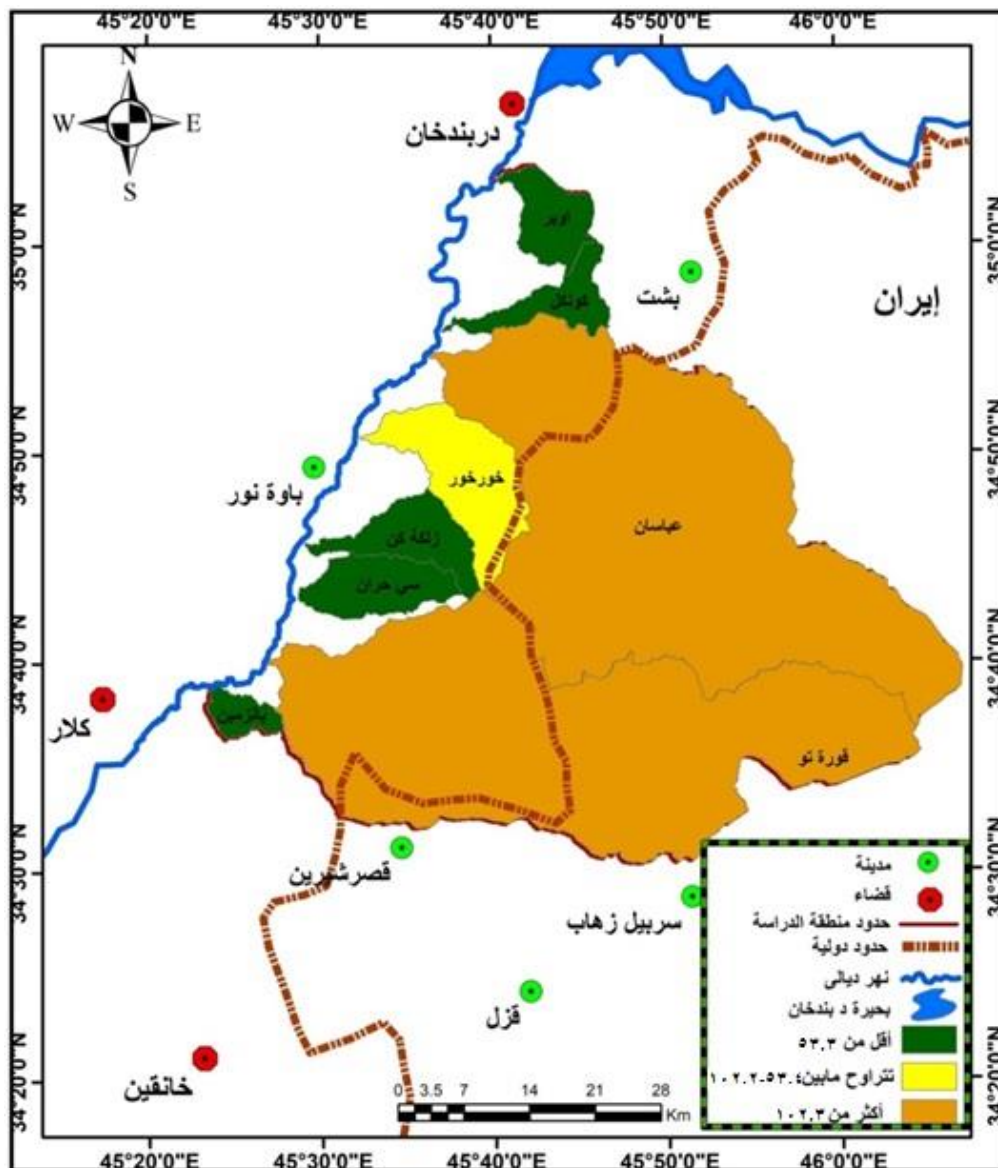
تقدير الجريان السطحي ضمن منطقة الدراسة

جدول (٧٠) قيمة التسرب الثابتة في أحواض المنطقة

ت	اسم الحوض	قيمة التسرب الثابتة
١	أوبر	٤٠.٢
٢	كونكل	٣٧.٨
٣	عباسان	٩٤٩.٦
٤	خورخور	١٠٢.٢
٥	زلكه كن	٥٣.٣
٦	سي حران	٥٢.٥
٧	قورة تو	٨٧٩.٣
٨	بانزمين	١٧
	المعدل	٢٦٦.٥

المصدر: نتائج تطبيق معادلة Fp .

خريطة (٥٨) قيمة التسرب الثابتة في أحواض المنطقة



المصدر: من عمل الباحثة بالاعتماد على نتائج تطبيق معادلة Fp وباستخدام برنامج الـ (ArcGis arc map10.4.1).

جدول (٧١) النسب المئوية لفئات قيم التسرب الثابت في أحواض المنطقة

الفئات	التكرار	النسبة المئوية %
٥٣.٣ فأقل	٥	٦٢.٥
١٠٢.٢-٥٣.٣	١	١٢.٥
١٠٣ فأكثر	٢	٢٥
المجموع	٨	%١٠٠

المصدر: من عمل الباحثة بالاعتماد على خريطة (٥٨).

١٠-١-٣. المدة الزمنية المثالية لهطول الأمطار (ساعة) Tr :

هي المدة الزمنية المثالية لسقوط الأمطار على أحواض التصريف والتي تفيد في معرفة الوقت الكافي لسقوط الأمطار التي تتيح للحوض المائي التأهب لجريان مائي بعد حدوث الفواقد من التسرب والتبخر، ويتم معرفة ذلك بتطبيق المعادلة الآتي^(١):

$$Tr(hr) = tp(hr) / 5.5$$

إذ تمثل:

المدة الزمنية المثالية لذروة سقوط الأمطار محسوبة (بالساعة) $Tr(hr)$

(زمن التباطؤ) فترة استجابة الحوض المائي لسقوط الأمطار محسوبة (بالساعة) $Tp(hr)$

بعد تطبيق المعادلة اعلاه ومن تحليل بيانات الجدول (٧٢) أتضح إن المعدل الكلي للمدة الزمنية المثالية لهطول الأمطار في أحواض المنطقة بلغ (١.٢) ساعة، أما أعلى ذروة لهطول الأمطار سجلت (٢.٢٢) ساعة في حوض قورة تو، بينما أدناها سجلت في حوض بانزمين أذ بلغت (٠.٦٩) ساعة، وقد قسمت قيم الاحواض الى ثلاث فئات كما في خريطة (٥٩) والجدول (٧٣)، وكمايلي:

- **الفئة الاولى:** الاحواض التي بلغت فيها مدة الزمنية المثالية لسقوط الأمطار (٠.٧٨) ساعة فأقل: وتضمنت الاحواض أوبر وبانزمين وقد بلغت قيم المدة الزمنية لهطول الأمطار فيها (٠.٦٩ و ٠.٧٨) ساعة على التوالي أي بنسبة (٢٥%) من مجموع احواض المنطقة.
- **الفئة الثانية:** الاحواض التي تتراوح قيمها ما بين (٠.٧٩ - ١.١١) ساعة: وشملت أحواض كونكل وسي حران وقد بلغت المدة الزمنية المثالية لسقوط الأمطار فيهما (٠.٩٣) ساعة وحوضي خورخور و زلعة كن فقد سجلا (١.١١ و ١) ساعة على التوالي وكان بنسبة (٥٠%) من مجموع احواض المنطقة.

- **الفئة الثالثة:** الاحواض التي سجلت قيم (١.١١) ساعة فأكثر: وتتمثل بحوضي عباسان وقورة تو وقد بلغت المدة الزمنية المثالية لسقوط الأمطار فيهما (٢.٠٩ و ٢.٢٢) ساعة على التوالي أي بنسبة (٢٥%) من مجموع احواض المنطقة.

1) Hydrology, iswm, Technical manual, iswm.nctcog.org,documents,technical-manual,hydrology , 2010, P33.

الفصل الثالث

تقدير الجريان السطحي ضمن منطقة الدراسة

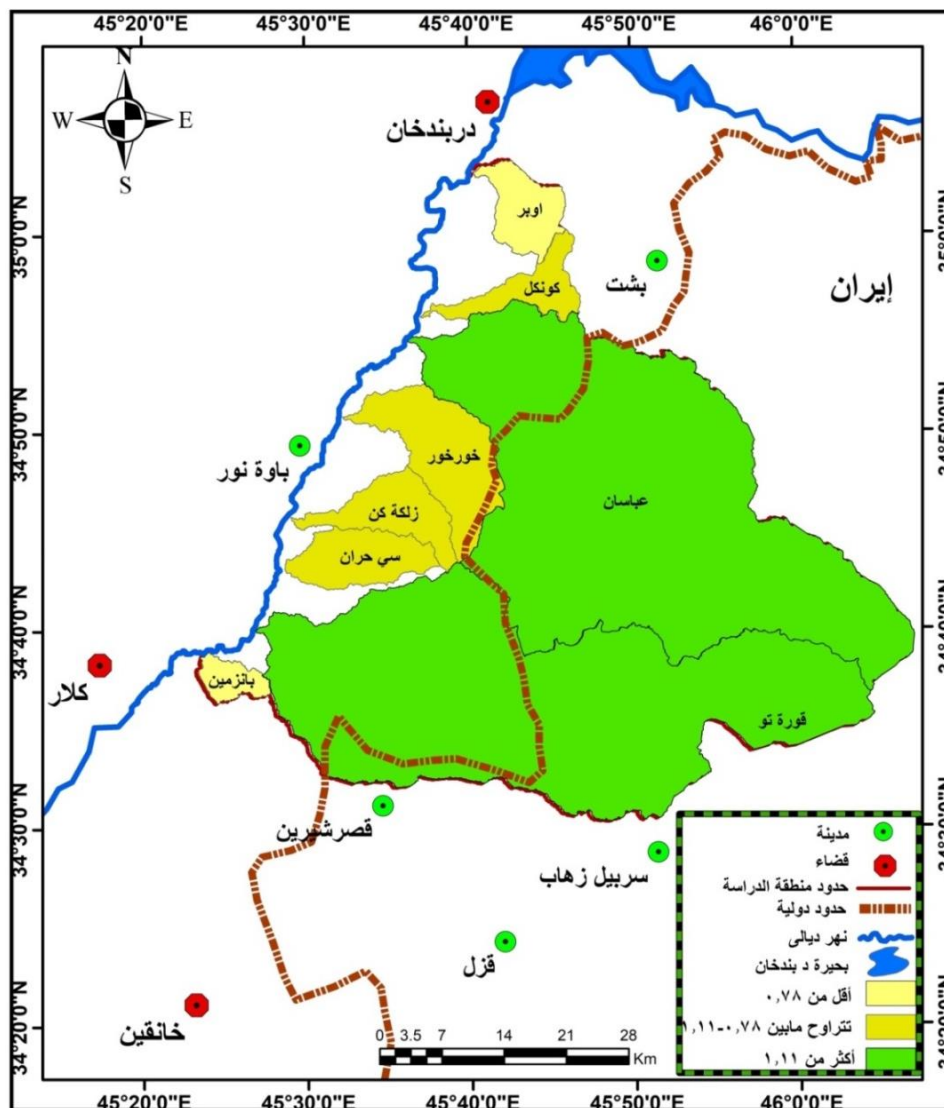
تبين مما سبق إن حوضي عباسان و قورة تو تحتاجان لوقت أطول للتأهب لحصول الجريان المائي خلال أوديتهما بعد سقوط الامطار ويعود ذلك الى كبر مساحاتها إذ تمتد مجاريها المائية لمسافات طويلة.

جدول (٧٢) المدة الزمنية المثالية لهطول الامطار لأحواض المنطقة

ت	اسم الحوض	المدة الزمنية المثالية لهطول الامطار
١	أوير	٠.٧٨
٢	كونكل	٠.٩٣
٣	عباسان	٢.٠٩
٤	خورخور	١.١١
٥	زلکه کن	١
٦	سي حران	٠.٩٣
٧	قورة تو	٢.٢٢
٨	بانزمين	٠.٦٩
	المعدل	١.٢

المصدر: من عمل الباحثة بالاعتماد على نتائج تطبيق معادلة T_r .

خريطة (٥٩) المدة الزمنية المثالية لهطول الامطار في أحواض المنطقة



المصدر: من عمل الباحثة بالاعتماد على نتائج تطبيق معادلة T_r باستخدام برنامج الـ (ArcGis arc map 10.4.1).

جدول (٧٣) النسب المئوية لفئات الاحواض حسب المدة الزمنية المثالية لهطول الامطار

النسبة المئوية %	التكرار	الفئات
٢٥	٢	٠.٧٨ فأقل
٥٠	٤	١.١١-٠.٧٩
٢٥	٢	١.١١ فأكثر
١٠٠	٨	المجموع

المصدر: من عمل الباحثة بالاعتماد على خريطة (٥٩).

١١-١-٣. تقدير مدة الجريان السيلي T:

وهي المدة الزمنية التي يستغرقها جريان المياه من المنابع العليا لاودية الاحواض وصولاً الى مصباتها، ويتم ذلك بتطبيق المعادلة الاتية^(١):

$$T = N^* hr$$

إذ تمثل:

T= الوقت المستغرق لإتمام عملية الجريان حتى النهاية (ساعة)

N=(٥) قيمة ثابتة مقدارها

Hr= زمن التباطؤ (ساعة)

من تحليل الجدول (٧٤) أظهرت النتائج إن المعدل العام للمدة الزمنية التي يستغرقها الجريان السيلي في أحواض المنطقة بلغ (٣٣.٥ ساعة)، بينما سُجلت أعلى قيمة في حوض قورة تو فبلغت (٦١) ساعة وأدنى قيمة في حوض بانزمين إذ بلغت (١٩) ساعة، أما بقية الاحواض فقد تباينت قيم مدة الجريان السيلي فيها ولذا فقد صُنفت الى ثلاث فئات، خريطة (٦٠) والجدول (٧٥)، وكما يلي:

• الفئة الاولى: الاحواض التي كانت قيمها (٢١.٥) ساعة فأقل :

إذ شملت حوضي أوبر و بانزمين وقد بلغت قيم الـ(T) فيهما (٢١.٥ و ١٩) ساعة على التوالي أي بنسبة (٢٥%) من مجموع احواض المنطقة.

• الفئة الثانية: الاحواض التي تتراوح قيمها ما بين (٢١.٦-٣٠.٥) ساعة:

وشملت أحواض كونكل وسي حران وقد بلغت قيم الـ(T) فيها (٢٥.٥) ساعة ،أما حوضي خورخور زلكة كن فقد سجلتا (٣٠.٥ و ٢٧.٥) ساعة على التوالي وكان بنسبة (٥٠%) من مجموع احواض المنطقة.

• الفئة الثالثة: الاحواض التي سجلت (٣٠.٥) ساعة فأكثر :

وتتمثل بحوضي عباسان وقورة تو وقد بلغت المدة الزمنية التي يستغرقها الجريان السيلي فيهما (٥٧.٥ و ٦١) ساعة على التوالي أي بنسبة (٢٥%) من مجموع احواض المنطقة.

مما سبق يمكن القول إن مياه الجريان السيلي في حوضي عباسان و قورة تو تستغرق أعلى مدة الزمنية للوصول الى مصبات أوديتها في نهر دبالى ويعود ذلك الى طول المسافات التي تقطعها المجاري المائية

1) Raghunath, H.M., Hydrology Principles Analysis and Design, op, cit, PP158-159 .

الفصل الثالث تقدير الجريان السطحي ضمن منطقة الدراسة

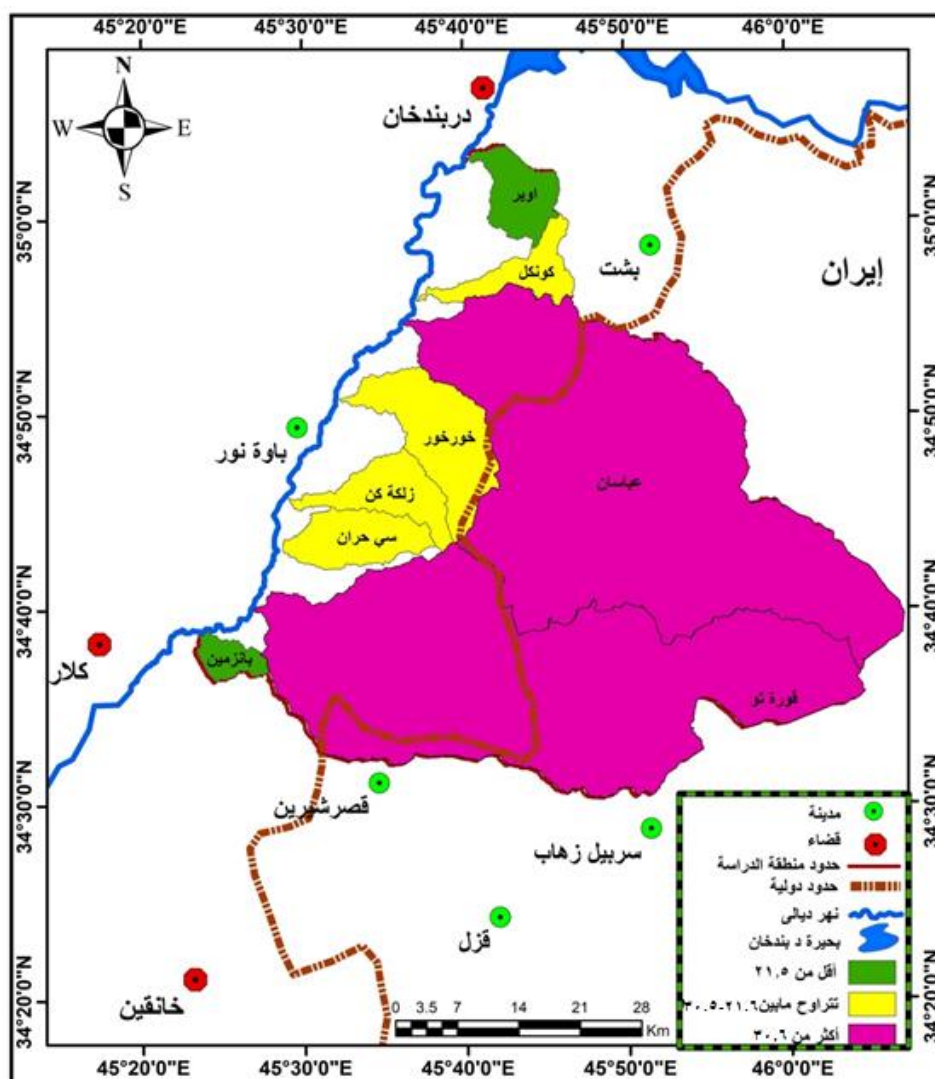
وايضا الى كبر مساحاتها و طبيعة تضاريسها وانحدار أراضيها وكذلك الى نوع المنكشفات الصخرية التي تغطي سطحها ، أي أنها تكون أقل عرضة لحدوث مخاطر السيول والفيضانات.

جدول (٧٤) المدة الزمنية التي يستغرقها الجريان السيلي لأحواض المنطقة

ت	اسم الحوض	المدة الزمنية التي يستغرقها السيل
١	أوبر	٢١.٥
٢	كونكل	٢٥.٥
٣	عباسان	٥٧.٥
٤	خورخور	٣٠.٥
٥	زلكه كن	٢٧.٥
٦	سي حران	٢٥.٥
٧	فورة تو	٦١
٨	بانزمين	١٩
	المعدل	٣٣.٥

المصدر: نتائج تطبيق معادلة T.

خريطة (٦٠) مدة الجريان السيلي في أحواض المنطقة



المصدر: من عمل الباحثة بالاعتماد نتائج تطبيق معادلة T باستخدام برنامج الـ (ArcGis arc map10.4.1).

جدول (٧٥) النسب المئوية لفئات المدة الزمنية للجريان السيلي في أحواض المنطقة

الفئات	التكرار	النسبة المئوية %
٢١.٥ فأكثر	٢	٢٥
٣٠.٥-٢١.٦	٤	٥٠
٣٠.٥ فأكثر	٢	٢٥
المجموع	٨	١٠٠ %

المصدر: من عمل الباحثة بالاعتماد على خريطة (٦٠).

١٢-١-٣. قوة مياه السيل F:

يتم الحصول على قيم معامل قوة السيل من خلال تطبيق المعادلة التالية^(١):

$$F = \frac{Qp(m3s)}{\sqrt{A(km2)}}$$

F= معامل قوة مياه السيل

QP(m3s) = التدفق الأقصى للسيل

A(Km2)= مساحة الحوض كم^٢

من تحليل الجدول (٧٦) نلاحظ أن معدل معامل قوة مياه السيل (٧.١) م^٣/ثا ، وقد سُجلت أعلى قيمة في حوض عباسان إذ بلغت (١٠.٨) بينما سجل حوض بانزيمين أدنى قيمة بلغت (٤.٧٧) ، أما بقية الاحواض فقد تباينت قيم معامل قوة مياه السيول فيها ويعود ذلك الى مجموعة من العوامل أهمها عدد المجاري في الوحدة المساحية لهذا الحوض ونوع التكوينات الجيولوجية ونوع التربة والغطاء النباتي فضلاً عن مساحة الحوض ودرجة انحدار أراضيها، ولذا فقد صنفنا الى ثلاث فئات كما في خريطة (٦١) والجدول (٧٧)، وكما يلي:

- **الفئة الاولى:** شملت هذه الفئة الاحواض التي تكون قيمها ٥.٨ م^٣/ثا فأقل :
ومنها حوض كونكل وزلكه كن وبانزيمين وقد بلغت (٥.٣٧ و ٥.٨ و ٤.٧٧) م^٣/ثا على التوالي
وبنسبة (٣٧.٥ %) من مجمل قوة مياه السيل في أحواض المنطقة .
- **الفئة الثانية:** الاحواض التي تتراوح قيمها ما بين (٥.٩ - ٧.٢) م^٣/ثا :
ضمت هذه الفئة حوض أوبروخورور وسي حران والتي بلغت قيم معامل الـ F فيها المعامل (٦.٦٦ و ٧.١٩ و ٦.٣٣) م^٣/ثا على التوالي أي بنسبة (٣٧.٥ %) من مجموع قوة مياه السيل في احواض المنطقة .
- **الفئة الثالثة:** الاحواض التي سجلت قيم من (٧.٣) م^٣/ثا فأكثر:
وضمت حوضي عباسان وقورة تو وقد بلغت قيم هذا المعامل فيهما (١٠.٨ و ٩.٦٩) م^٣/ثا على التوالي
أي بنسبة (٢٥ %) من مجموع قوة مياه السيل احواض المنطقة.

(١) إسحاق صالح العكام ، جميلة فاخر محمد، تقدير الجريان السطحي لسته أحواض في الهضبة الغربية، مجلة كلية التربية للبنات، جامعة بغداد، المجلد (٢٧)، العدد (٥)، ٢٠١٦، ص ١٥٤٠.

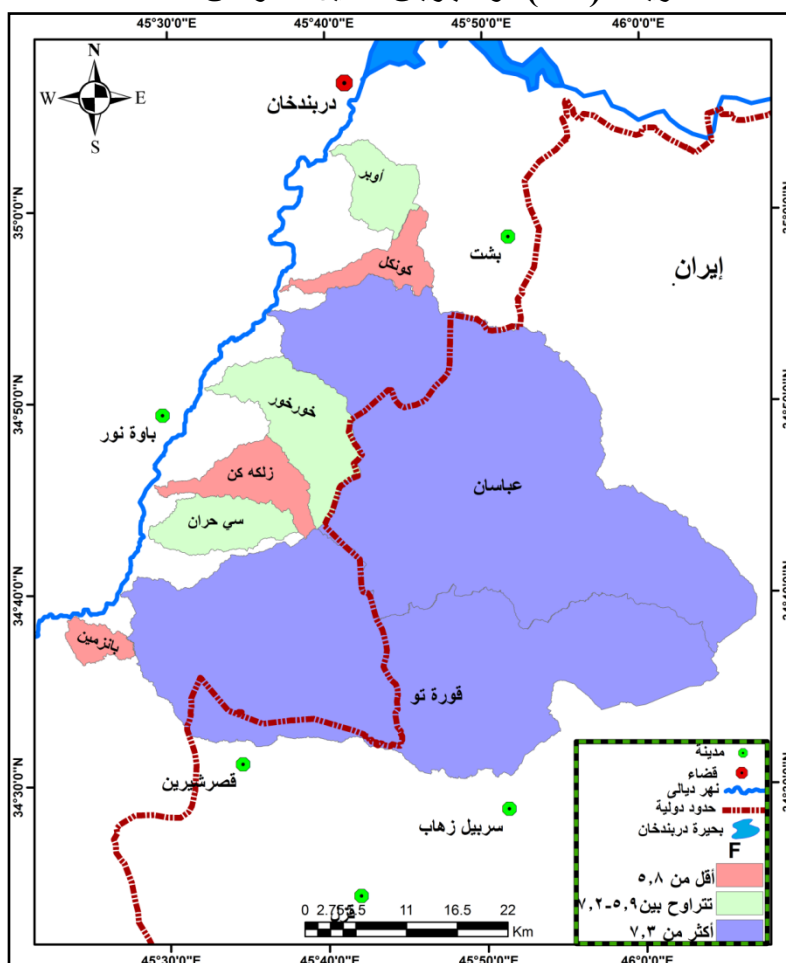
يتضح مما سبق إن أعلى قوة لجريان مياه السيول كانت ضمن أودية حوضي عباسان و قورة تو ويعود ذلك الى أن حوض عباسان يتمتع بنظام الجريان الدائم على طول فصول السنة ولأنهما ينبعان من الاراضي الايرانية التي تتميز بتضرسها الشديد الذي يجعلها تتمتع بظروف مناخية متباينة مقارنة ببقية أجزاء المنطقة حيث تسقط الامطار فيها على شكل زخات مطرية غزيرة ممكن ان تؤدي الى حدوث سيول خطيرة.

جدول (٧٦) قوة مياه السيول لأحواض المنطقة

ت	اسم الحوض	قوة مياه السيول
١	أوبر	٦.٦٦
٢	كونكل	٥.٣٧
٣	عباسان	١٠.٨
٤	خورخور	٧.١٩
٥	زلكه كن	٥.٨
٦	سي حران	٦.٣٣
٧	قورة تو	٩.٦٩
٨	بانزمين	٤.٧٧
	المعدل	٧.١

المصدر: نتائج تطبيق معادلة F.

خريطة (٦١) قوة جريان السيول لأحواض المنطقة



المصدر: من عمل الباحثة بالاعتماد على نتائج تطبيق معادلة F وباستخدام برنامج الـ (ArcGis arc map10.4.1).

جدول (٧٧) النسب المئوية لفئات قوة مياه السيل في أحواض المنطقة

الفئات	التكرار	النسبة المئوية %
أقل من ٥.٨	٣	٣٧.٥
٥.٩ - ٧.٢	٣	٣٧.٥
أكثر من ٧.٣	٢	٢٥
المجموع	٨	١٠٠

المصدر: من عمل الباحثة بالاعتماد على خريطة (٦١).

٢-٣- تقدير حجم الجريان السطحي باستخدام طريقة الـ (SCS-CN):

وهو نموذج خاص بتقدير حجم وعمق الجريان السطحي الناتج عن العواصف المطرية باعتبارها المصدر الرئيسي له والتي يكون لها أثر كبير على الاحواض المائية ، وذلك من خلال حساب قيم المنحنى العددي **Curve Number (CN)** وهو آلية لحساب مدخلات الجريان السطحي إذ يأخذ هذا النموذج بالحسبان نوع نسجة التربة وطبيعة الغطاء الارضي في المنطقة، حيث تتباين قيم المنحنى بتباين الغطاء الارضي وسمات التربة الهيدرولوجية من حيث قدرتها على الاحتفاظ بالماء ومدى تفاعلها مع الأمطار الساقطة على حوض التصريف.

١-٢-٣ رقم المنحنى للجريان السطحي **Runoff Curve Number (CN)**:

هي إرقام مقدرة تتراوح قيمها بين (٠-١٠٠) وتعبر عن الاستجابة المائية لمكونات غطاء الارض ومقدار نفاذية السطح ، فكلما اقتربت القيم ناحية الـ (١٠٠) فإن السطوح تكون غير نفاذة للماء إذ تكون لها القدرة على توليد جريان سطحي مرتفع، وبالعكس اذا اقتربت القيم من الصفر تكون ذات نفاذية عالية وجريان سطحي منخفض^(١).

من أجل الحصول على قيم الـ **Curve Number (CN)** فقد تم تحديد حالة الغطاء الارضي لأحواض المنطقة وكذلك ترب المنطقة فقد وقعت ضمن ثلاثة أصناف من الترب الهيدرولوجية وتم دمجها مع بعض بإستخدام برنامج الـ (Arc Gis 10.4.1) وذلك من خلال وظيفة combine في Arc toolbox واستخدام الامر Spatial Analyst Tool والامر Local وبعدھا تم مطابقة مخرجات هذه الطبقة مع الجدول (٧٨).

الجدول (٧٨) الملحق المعد لقيم الـ (CN) وفق طريقة (SCS) لأشتقاق أرقام المنحنى (CN)

وصف استخدام الارض	مجاميع الترب الهيدرولوجية			
	A	B	C	D
الأراضي المزروعة				
بدون معالجة حماية التربة	٧٢	٨١	٨٨	٩١

(١) محمد حسن حسين، الهيدرولوجيا اساسياتھا وتطبيقاتھا، مصدر سابق، ص ١٧٦

الفصل الثالث تقدير الجريان السطحي ضمن منطقة الدراسة

معالجة حماية التربة	٦٢	٧١	٧٨	٨١
أراضي المراعي الاصطناعية والمراعي الطبيعية				
ظروف فقيرة	٦٨	٧٩	٨٦	٨٩
ظروف غنية جداً	٣٩	٦١	٧٤	٨٠
أراضي اعشاب				
ظروف جيدة	٣٠	٥٨	٧١	٧٨
أراضي غابات				
جناح خفيف - غطاء قليل - لا أمراض	٤٥	٦٦	٧٧	٨٣
غطاء سميك و غني	٢٥	٥٥	٧٠	٧٧
المناطق الحضرية والمساحات الخضراء				
ظروف جيدة: الغطاء العشبي ٧٥ % أو أكثر	٣٩	٦١	٧٤	٨٠
ظروف متوسطة: الغطاء العشبي ٥٠ - ٧٥ %	٤٩	٦٩	٧٩	٨٤
المناطق التجارية والمهنية ٨٥ % غير نفاذة	٨٩	٩٢	٩٤	٩٥
المقاطعات الصناعية ٧٢ % غير نفاذة	٨١	٨٨	٩١	٩٣
أراضي سكنية				
معدل حجم القطعة	معدل غير النفاذ			
١-٨ فدان فأكثر	٦٥	٧٧	٨٥	٩٠
١-٤ فدان فأكثر	٣٨	٦١	٧٥	٨٣
١-٣ فدان فأكثر	٣٠	٥٧	٧٢	٨١
١-٢ فدان فأكثر	٢٥	٥٤	٧٠	٨٠
١ فدان فأكثر	٢٠	٥١	٦٨	٧٩
قطع أراضي لوقوف السيارات معبدة - سطوح ، ممرات... الخ		٩٨	٩٨	٩٨
الشوارع والطرق				
معبدة مع أرصفة ومجاري تصريف الأمطار		٩٨	٩٨	٩٨
طرق غير معبدة حصوية		٧٦	٨٥	٨٩
طرق متروكة		٧٢	٨٢	٨٧

المصدر : Richard H.Mc Cuen ,Hydrologic Design, Second Edation ,Prentice Hall Saddke River New Jersey .07458 ,1998.p.155.

وفيما يأتي توضيح للمتطلبات التي تم دراستها وتحليلها للحصول على قيم الـ(CN):

٣-٢-١-١ تصنيف استعمالات الارض:

لمعرفة ماهية الغطاء الارضي في المنطقة فقد اعتمد التصنيف الموجه (supervised

Classification) لمرئية القمر Land Sat LC8 لعام ٢٠١٨/١/١٩، إذ صنفنا الى (٧) أصناف كما

موضح في الخريطة (٦٢ أ - ب - ت - ث - ج - ح - خ - هـ) والجدول (٧٩) وهي:

• أ- الغابات :

تمثلت بالغابات ذات الأشجار الكثيفة حيث إنتشرت أغلبها ضمن الاراضي الايرانية التي اتصفت بارتفاع كميات الامطار الساقطة والمناخ الملائم لنمو مثل هذه الاشجار ، صورة (٣٢)، إذ شغلت مساحة بلغت ٣٤.١ كم^٢ في حوض إوبر وبنسبة ٧٥.٢% من إجمالي مساحة الحوض، وشكلت مساحة بلغت ٣٣.٣ كم^٢ أي بنسبة ٨٠.٤% في حوض كونكل، أما في حوض عباسان فقد بلغت ٣٧٨.٧ كم^٢ وبنسبة ٤٤.٤% من مساحة الحوض الكلية، وبلغت ٦١.٦ كم^٢ في حوض خورخور أي بنسبة ٥٧.٩% ، وكما بلغت المساحة في حوض زلكة كن ١٢.٣ كم^٢ وبنسبة ٢١.٦%، وفي حوض سي حران بلغت ٥.٧ كم^٢ أي بنسبة ٩.٩% من مساحة الحوض الكلية، أما في حوض قورة تو فقد بلغت مساحتها ١٣٩.٩ كم^٢ وبنسبة ١٨.١% من مجموع مساحة الحوض، وكما بلغت في حوض بانزمين ٠.٠٧ كم^٢ وبنسبة ٠.٤% من إجمالي مساحة الحوض.

صورة (٣٢) الغابات في شمال شرق المنطقة ضمن أودية حوض عباسان



• الأراضي الزراعية:

تمثل هذا الصنف بالاراضي المزروعة بمحاصيل الحبوب والتي تعتمد في نموها على الامطار بالإضافة الى المحاصيل الصيفية المزروعة، إذ بلغت مساحاتها في حوض أوبر ٤.٤ كم^٢ أي بنسبة ٩.٦% من إجمالي مساحة الحوض، أما في حوض كونكل فقد بلغت ٢.٢ كم^٢ وبنسبة ٥.٤% من مساحة الحوض الكلية، وبلغت في حوض عباسان ١٥٧ كم^٢ أي بنسبة ١٨.٤% من مجموع مساحة الحوض، وكما بلغت في حوض خورخور ٢٦.٨ كم^٢ وبنسبة ٢٥.٢% من مساحة الحوض ، وفي حوض زلكة كن ١٠.٢ كم^٢ اي بنسبة ١٧.٨% من اجمالي مساحة الحوض، أما في حوض سي حران فقد بلغت ٥.٧ كم^٢

وبنسبة ٩.٩% من مساحة الحوض، وفي حوض قورة تو فقد بلغت ١٥.٨ كم^٢ أي بنسبة ١٥% من مجموع مساحة الحوض، وأخيراً بلغت في حوض بانزمين ٢٠.٩ كم^٢ وبنسبة ٤.٧% من مساحة الحوض.

ت-الأراضي الجرداء :

يضم هذا الصنف جميع الأراضي التي تتصف بأنها ذات طبيعة صخرية لاتصلح للاستخدام الزراعي ولا البشري وذلك لوجود عدد من المكاشف الصخرية لطبقات الطيات المحدبة المتعرضة للتعرية الدائمة، إذ غطى هذا الصنف أغلب الأجزاء الشمالية الشرقية في المنطقة المتمثلة بسلسلة مرتفعات بمو والتي تتمثل بالحدود العراقية الإيرانية ، صورة (٣٣) ، وكذلك تنتشر على أغلب المرتفعات ضمن الأراضي الإيرانية، إذ شغلت مساحة ٥.٣ كم^٢ أي بنسبة ١١.٦% في حوض أوبر، أما في حوض كونكل فقد بلغت مساحتها ٤.٦ كم^٢ وبنسبة ١١% من مجموع مساحة الحوض، وفي حوض عباسان بلغت ١٦٧.١ كم^٢ وبنسبة ١٩.٦% من مساحة الحوض الكلية، وفي حوض خورخور بلغت ٣ كم^٢ وبنسبة ٢.٨% من إجمالي مساحة الحوض، وكما إن في حوض زلكة كن بلغت مساحتها ٥.٦ كم^٢ وبنسبة ٩.٨% من مساحة الحوض، أما حوض سي حران فقد بلغت ٦.٩ كم^٢ وبنسبة ١١.٩% من مساحة الحوض الكلية ، وفي حوض قورة تو بلغت ٨٦.١ كم^٢ أي بنسبة ١١.٢% من مجموع مساحة الحوض، وكما بلغت في حوض بانزمين ٢٠.٨ كم^٢ وبنسبة ١٤.٤% من مساحة الحوض الإجمالية.

صورة (٣٣) الأراضي الجرداء ضمن أراضي حوض خورخور



• مراعي طبيعية:

وتمثلت بالأراضي المغطاة بالاعشاب الموسمية والدائمة التي تنمو على مدار السنة إذ تكون مصدر إعاقة أمام الجريان المائي ضمن أحواض المنطقة، إذ ضمت نباتات وحشائش قصيرة وطويلة وتنتشر في أجزاء متفرقة من المنطقة وخاصة بالقرب من المجاري المائية ،صورة (٣٤) ، فشغلت مساحة ٠.٢ كم^٢

وبنسبة ٠.٣٠ % في حوض أوبر، أما في حوض كونكل فقد بلغت ٠.١ كم^٢ أي بنسبة ٠.٣٠ % من إجمالي مساحة الحوض، وفي حوض عباسان بلغت ٤٥.٢ % ونسبة ٥.٣ % من مجموع مساحة الحوض، وحوض خورخور بلغت مساحة المراعي الطبيعية فيه ١.٢ كم^٢ أي بنسبة ١.١ % من مجموع مساحة الحوض، أما في حوض زلكة كن فقد بلغت ٦.١ كم^٢ ونسبة ١٠.٧ %، وكما بلغت ١٥.٣ كم^٢ ونسبة ٢٦.٥ % في حوض سي حران، وفي حوض قورة تو فقد بلغت ٣٧.٢ كم^٢ أي بنسبة ١٧.٨ % من مجموع مساحة الحوض، وحوض بانزمين فقد بلغت ٦.٦ كم^٢ ونسبة ٣٤.٥ % من مساحة الحوض الكلية.

صورة (٣٤) المراعي الطبيعية في حوض أوبر قرب قرية شمشير كول



التقطت بتاريخ ٢٠١٩-٥-٢

• الغطاء المائي :

وتمثلت بالمجاري المائية التي تجري في المنطقة خلال موسم سقوط الامطار والانهار الدائمة الجريان في المنطقة مثل نهر دبالى الذي تصب فيه جميع المجاري المائية التي تقع ضمن المنطقة، وشغل حوض أوبر مساحة بلغت ٠.٠٤ كم^٢ ونسبة ٠.٠٨ % من مساحة الحوض الاجمالية، أما في حوض كونكل ٠.٠٢ كم^٢ ونسبة ٠.٠٦ % من اجمالي مساحة الحوض، وفي حوض عباسان فقد بلغت ٠.٥ كم^٢ أي بنسبة

٠.٠٦% من مساحة الحوض الكلية، وبلغت امساحاتها في حوض خورخور ٠.٠٣ كم^٢ ونسبة ٠.٠٣% من مجموع مساحة الحوض، وفي حوض زلعة كن فقد بلغت ٠.٠٣ كم^٢ أي بنسبة ٠.٠٦% من مساحة الحوض الكلية، أما حوض سي حران فقد شغل مساحة بلغت ٠.٠١ كم^٢ ونسبة ٠.٠٢% من المساحة الكلية للحوض، كما بلغت مساحة الغطاء المائي في حوض قورة تو ٥.٦ كم^٢ أي بنسبة ٠.٧% من مساحة الحوض، وفي حوض بانزمين بلغت ٠.٥ كم^٢ ونسبة ٠.٢% من إجمالي مساحة الحوض.

• رواسب حصوية :

وتمثلت بالآرسبات التي جلبتها المياه الجارية بفعل التعرية المائية وخاصة عند حدوث عواصف مطرية مفاجئة التي قد تسبب حدوث سيول قادرة على جلب كميات كبيرة من الرواسب بمختلف احجامها، إذ شغلت هذه الرواسب مساحة بلغت ٠.٨ كم^٢ أي بنسبة ١.٧% في حوض أوبر، أما في حوض كونكل فقد بلغت ٠.٦ كم^٢ ونسبة ١.٤% من مجموع مساحة الحوض، وفي حوض عباسان فقد بلغت ٦٦.٨ كم^٢ أي بنسبة ٧.٨% من مساحة الحوض الكلية، وكما بلغت مساحة الرواسب الحصوية في حوض خورخور ٩.٣ كم^٢ ونسبة ٨.٨% من مجموع مساحة الحوض، أما في حوض زلعة كن فقد بلغت ١٨.١ كم^٢ ونسبة ٣١.٨% من مساحة الحوض، وفي حوض سي حران فقد بلغت ٢٠.٩ كم^٢ ونسبة ٣٦.٢% من مجموع مساحة الحوض، أما حوض قورة تو فقد شغلت الرواسب الحصوية اغلب مساحة اراضيها إذ بلغت ٢٤٧.٠١ كم^٢ أي بنسبة ٣٢% من إجمالي مساحة الحوض، وكما بلغت ٨.٤ كم^٢ ونسبة ٤٤% من مساحة الحوض الكلية.

• المستقرات البشرية:

تتمثل بالمناطق ذات الاستعمالات البشرية مثل المناطق السكنية والمنشآت المدنية، إذ شغلت مساحة في حوض أوبر ٠.٧ كم^٢ أي بنسبة ١.٦% من مجموع مساحة الحوض الكلية، وفي حوض كونكل فقد بلغت ٠.٦ كم^٢ ونسبة ١.٥% من مساحة الحوض الكلية، أما في حوض عباسان فقد بلغت ٣٨.٣ كم^٢ ونسبة ٤.٥% من إجمالي مساحة الحوض، كما بلغت في حوض خورخور ٤.٥ كم^٢ أي بنسبة ٤.٢% من مساحة الحوض الكلية، وفي حوض زلعة كن فقد بلغت ٤.٦ كم^٢ ونسبة ٨.٣% من مجموع مساحة الحوض، أما في حوض سي حران فقد بلغت ٣.٣ كم^٢ ونسبة ٥.٦% من إجمالي مساحة الحوض، كما سجل حوض قورة تو مساحة بلغت ٤١.٣ كم^٢ أي بنسبة ٥.٣% من مساحة الحوض الكلية، أما حوض بانزمين فقد بلغت مساحة المستقرات البشرية فيه ٠.٣٦ كم^٢ وكان بنسبة ١.٩% من مساحة الحوض الكلية.

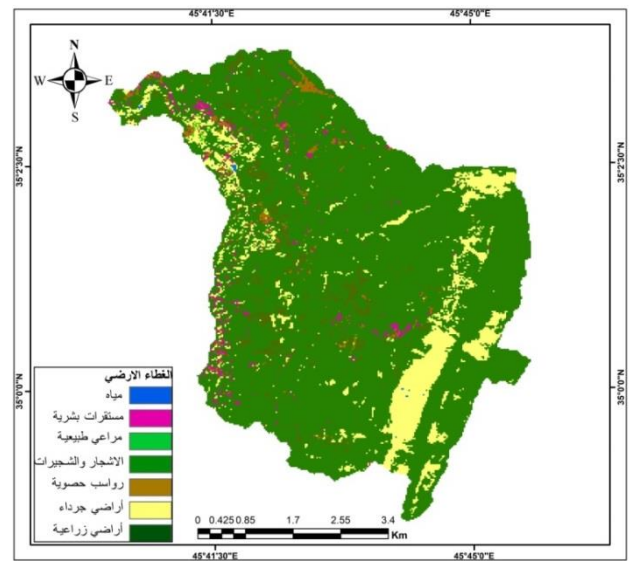
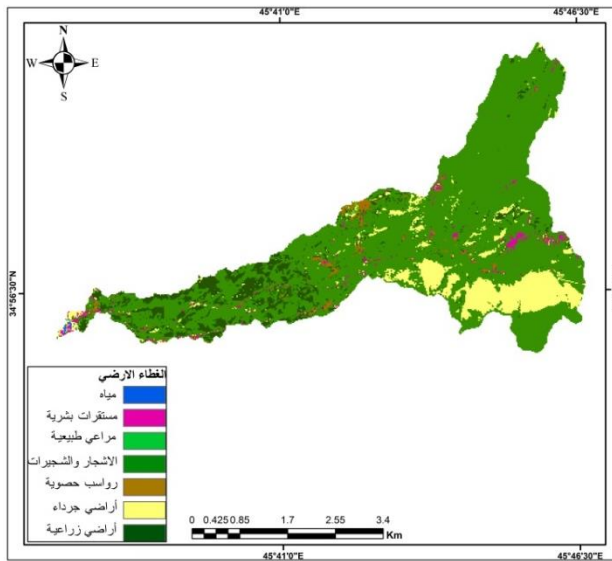
نستنتج مما سبق إن مساحة الغابات والاراضي الزراعية والاراضي الجرداء كانت أكبر ما يمكن في حوض عباسان، أما المراعي الطبيعية والغطاء المائي والرواسب الحصوية والمستقرات البشرية فقد شغلت أعلى المساحات في حوض قورة تو مقارنة مع بقية الاحواض.

الفصل الثالث

تقدير الجريان السطحي ضمن منطقة الدراسة

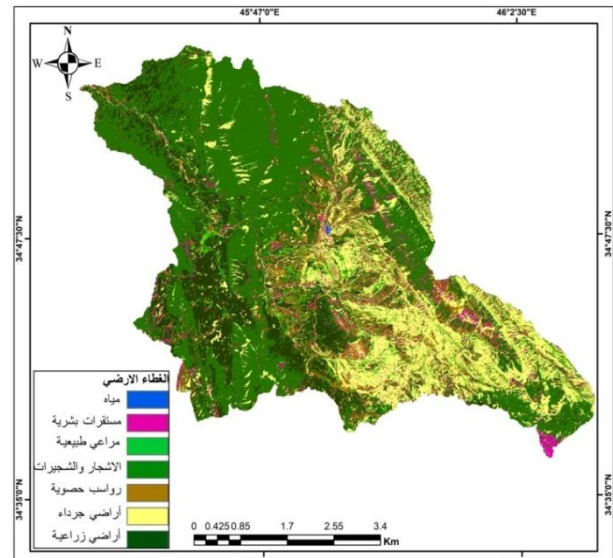
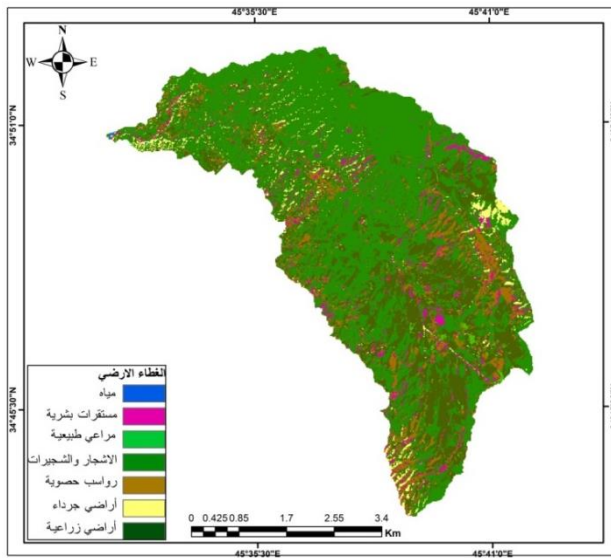
خريطة (٦٢ أ) التصنيف الموجه لحوض أوبر

خريطة (٦٢ ب) التصنيف الموجه لحوض كونكل



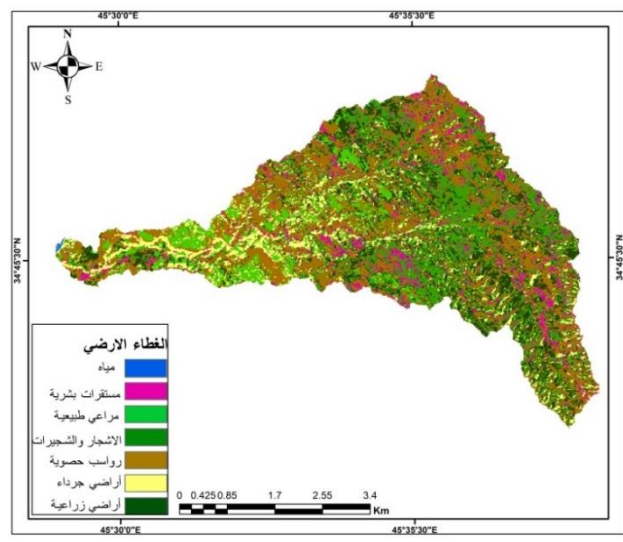
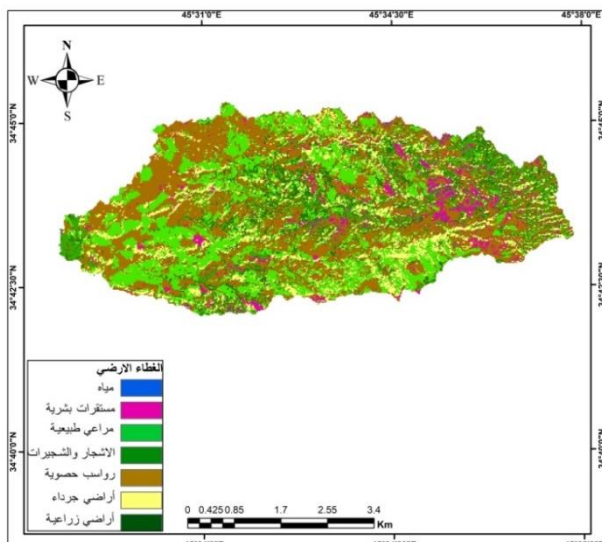
خريطة (٦٢ ت) التصنيف الموجه لحوض عباسان

خريطة (٦٢ ث) التصنيف الموجه لحوض خورخور



خريطة (٦٢ ج) التصنيف الموجه لحوض زلكه كن

خريطة (٦٢ ح) التصنيف الموجه لحوض سي حران

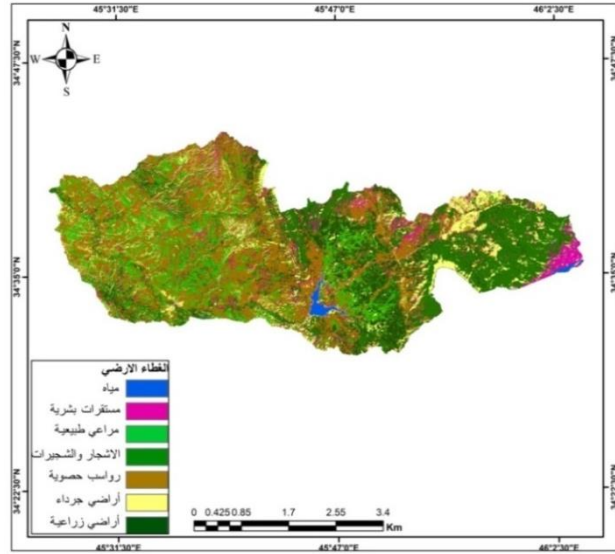
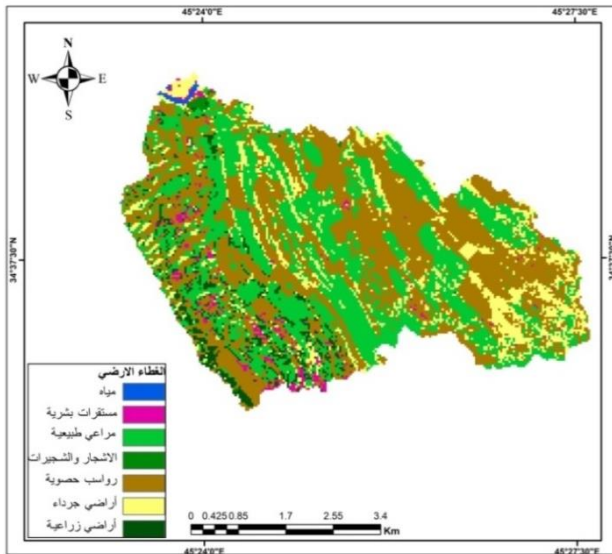


الفصل الثالث

تقدير الجريان السطحي ضمن منطقة الدراسة

خريطة (٦٢ خ) التصنيف الموجه لحوض قورة تو

خريطة (٦٢ هـ) التصنيف الموجه لحوض بانزمين



المصدر: من عمل الباحثة بالاعتماد على مريئة القمر LandSat LC8 وباستخدام مخرجات برنامج الـ (ArcGIS arc map 10.4.1).

جدول (٧٩) المساحات والنسب المئوية للغطاء الارضي في أحواض المنطقة

المجموع	المستقرات البشرية	رواسب حصوية	الغطاء المائي	الاراضي الجرداء	المراعي الطبيعية	الاراضي الزراعية	الغابات	الغطاء الارضي الاحوض	
٤٥.٤	٠.٧	٠.٨	٠.٠٤	٥.٣	٠.١٤	٤.٤	٣٤.١	المساحة كم ^٢	حوض أوبر
١٠٠	١.٦	١.٧	٠.٠٨	١١.٦	٠.٣	٩.٦	٧٥.٢	النسبة %	
٤١.٥	٠.٦	٠.٦	٠.٠٢	٤.٦	٠.١	٢.٢	٣٣.٣	المساحة	حوض كونكل
١٠٠	١.٥	١.٤	٠.٠٦	١١.٠٣	٠.٣	٥.٤	٨٠.٤	النسبة %	
٨٥٣.٧	٣٨.٣	٦٦.٤	٠.٥	١٦٧.١	٤٥.٢	١٥٧	٣٧٨.٧	المساحة	حوض عباسان
١٠٠	٤.٥	٧.٨	٠.٠٦	١٩.٦	٥.٣	١٨.٤	٤٤.٤	النسبة %	
١٠٦.٤	٤.٥	٩.٣	٠.٠٣	٣	١.٢	٢٦.٨	٦١.٦	المساحة	حوض خورخور
١٠٠	٤.٢	٨.٨	٠.٠٣	٢.٨	١.١	٢٥.٢	٥٧.٩	النسبة %	
٥٧	٤.٧	١٨.١	٠.٠٣	٥.٦	٦.١	١٠.٢	١٢.٣	المساحة	حوض زلثة كن
١٠٠	٨.٣	٣١.٨	٠.٠٦	٩.٨	١٠.٧	١٧.٨	٢١.٦	النسبة %	
٥٧.٧	٣.٣	٢٠.٩	٠.٠٠١	٦.٩	١٥.٣	٥.٧	٥.٧	المساحة	حوض سي حران
١٠٠	٥.٦	٣٦.٢	٠.٠٠٢	١١.٩	٢٦.٥	٩.٩	٩.٩	النسبة %	
٧٧٢.٩	٤١.٣	٢٤٧.٠١	٥.٦	٨٦.١	١٣٧.٢	١١٥.٨	١٣٩.٩	المساحة	حوض قورة تو
١٠٠	٥.٣	٣٢	٠.٧	١١.٢	١٧.٨	١٥	١٨.١	النسبة %	
١٩.٢	٠.٣٦	٨.٤	٠.٠٤	٢.٨	٦.٦	٠.٩	٠.٠٧	المساحة	حوض بانزمين
١٠٠	١.٩	٤٤	٠.٢	١٤.٤	٣٤.٥	٤.٧	٠.٤	النسبة %	

المصدر: من عمل الباحثة بالاعتماد على خريطة (٦٢ أ ب ت ث ج ح خ هـ).

الفصل الثالث تقدير الجريان السطحي ضمن منطقة الدراسة

٢-١-٢-٣- تصنيف الترب الهيدرولوجية حسب مصلحة الصيانة الامريكية (SCS) المنطقة :

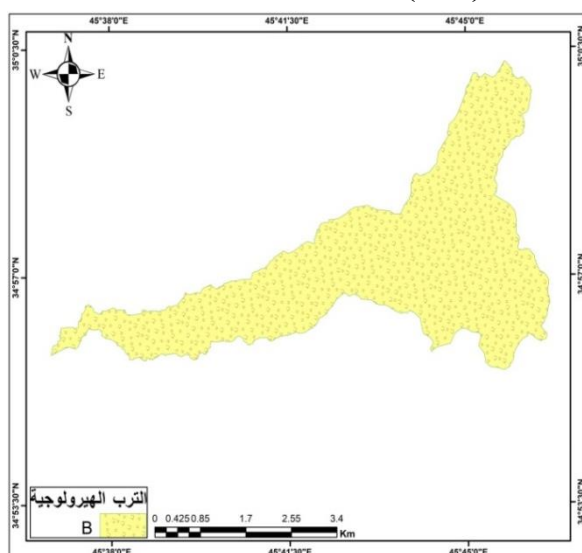
تم الاعتماد في تحديد أصناف الترب السائدة في المنطقة على تصنيف مصلحة صيانة التربة الامريكية الذي يأخذ بالاعتبار نسجة التربة ومدى تسرب الماء داخل التربة الذي يعتمد في الاساس على نظام الافاق، حيث وجد إن تربة المنطقة تعود الى ثلاثة مجاميع وهي (A,B,C)، وهذا ماتم التطرق اليه خلال الفصل الاول، وقد تم حساب مساحاتها والنسب المئوية لها في هذا الفصل على أساس الاحواض، كما موضح في الخريطة (٦٣- أ- ب- ت- ث - ج- ح- خ- هـ) والجدول (٨٠) وكانت على النحو الاتي:

● **الصنف A:** يغطي هذا الصنف أغلب أراضي حوض عباسان وقورةتو وخاصة سفوح المرتفعات والتي تتعرض لغسيل مستمر ولاسيما عند حدوث الشدات المطرية مما يعمل على تقليل نسبة المادة العضوية فيها ، لذلك تكون غير متماسكة وتكون عرضة للانجراف بسبب عوامل التعرية ، حيث شغل مساحة ١٦٤.٣ كم^٢ أي بنسبة ١٩.٣% من مجموع مساحة الحوض وفي قورة تو إذ شكل مساحته بلغت ٢١٦.٨ كم^٢ وبنسبة ٢٨.١% من مساحة الحوض الكلية ، أما في حوض خورخور فقد بلغت ١٣.٥ كم^٢ وبنسبة ١٢.٦% وفي حوض خورخور فقد بلغت ١.٨ كم^٢ أي بنسبة ٩.٣% من مجموع مساحة الحوض.

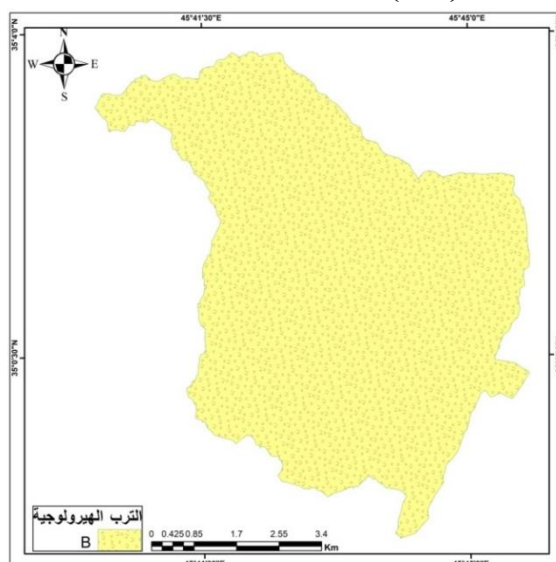
● **الصنف B:** أن حوض أوبر وكونكل وزلقة كن وسي حران تكون نسبته ١٠٠% من مجموع مساحة هذه الاحواض، أما في حوض عباسان فقد شغل مساحة بلغت ٢٤٠.٦ كم^٢ أي بنسبة ٢٨.٢% من إجمالي مساحة الحوض، وفي حوض قورة تو قد شغل مساحة بلغت ٢٨٨.٨ كم^٢ وبنسبة ٣٧.٤% من مجموع مساحة الحوض، أما حوض بانزمين فقد بلغت ١٧.٣ كم^٢ أي بنسبة ٩٠.٧% من المساحة الكلية للحوض.

● **الصنف C:** تسود في الاجزاء العليا والوسطى من حوض عباسان فقد بلغت ٤٤٨.٢ كم^٢ وبنسبة ٥٢.٣% من مجموع مساحة الحوض، وفي حوض قورة تو فقد بلغت ٢٦٦.٧ كم^٢ أي بنسبة ٣٤.٥% من مساحة الحوض الكلية.

خريطة (٦٣ ب) الترب الهيدرولوجية حوض كونكل

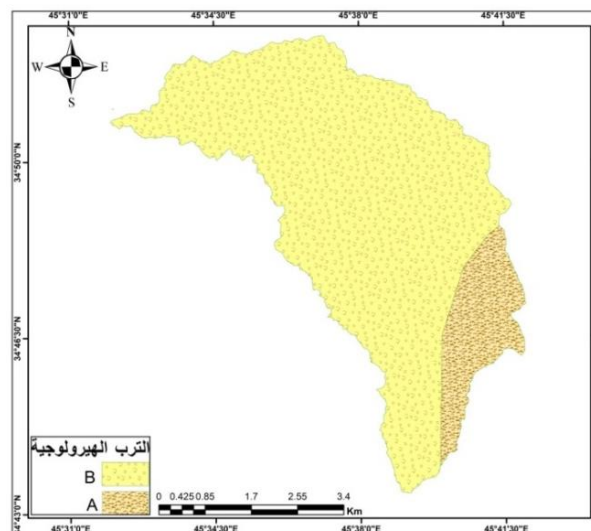


خريطة (٦٣ أ) الترب الهيدرولوجية حوض أوبر

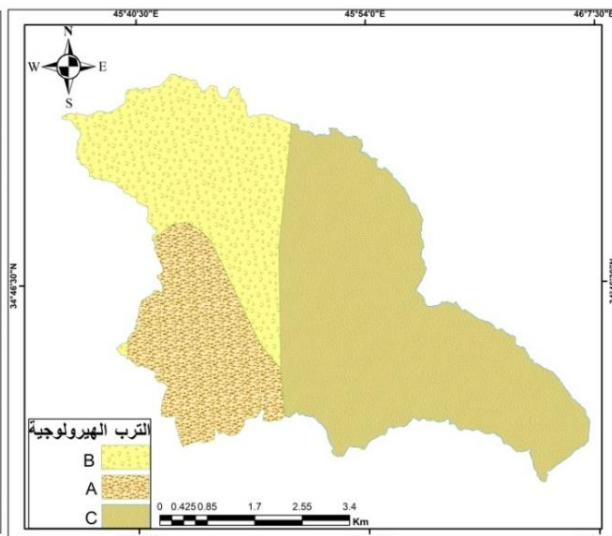


الفصل الثالث تقدير الجريان السطحي ضمن منطقة الدراسة

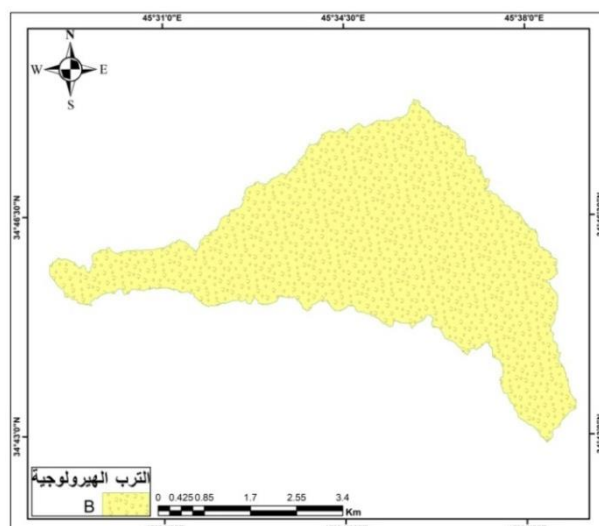
خريطة (٦٣ ج) الترب الهيدرولوجية حوض خورخور



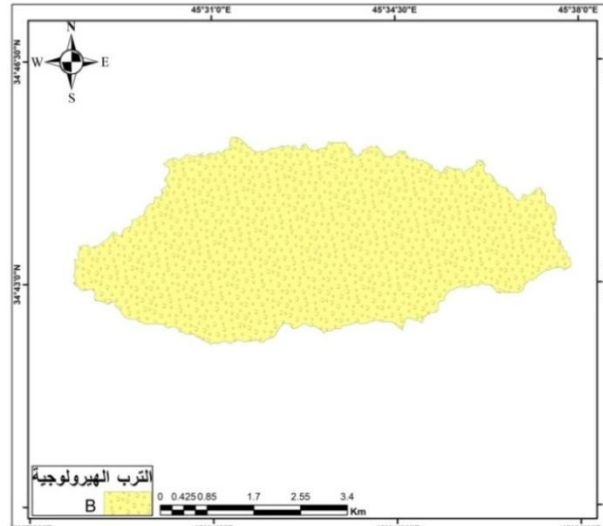
خريطة (٦٣ ث) الترب الهيدرولوجية حوض عباسان



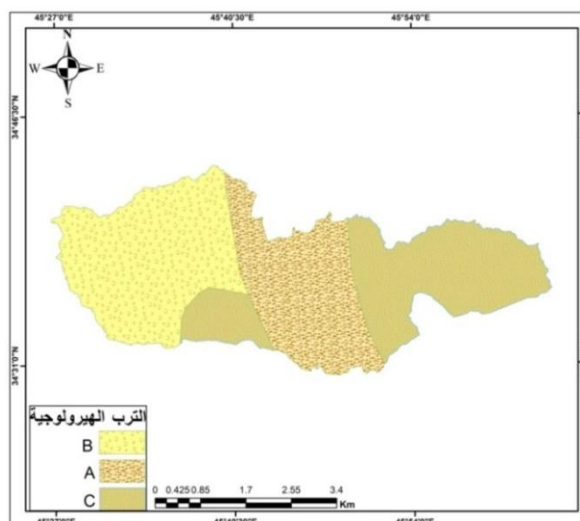
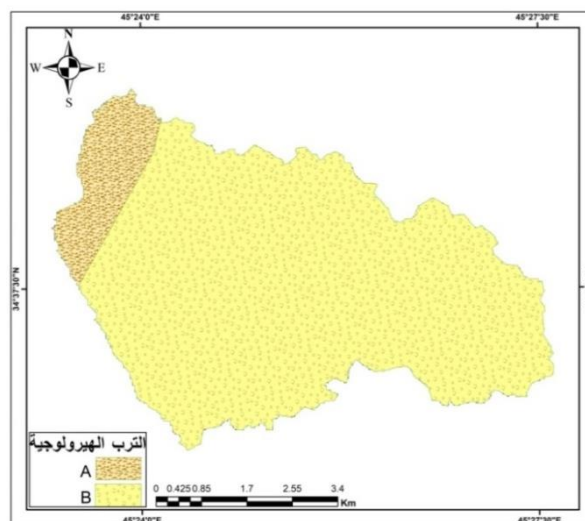
خريطة (٦٣ ح) الترب الهيدرولوجية حوض زلكه كن



خريطة (٦٣ ج) الترب الهيدرولوجية حوض سي حران



خريطة (٦٣ خ) الترب الهيدرولوجية حوض قورة تو خريطة (٦٣ هـ) الترب الهيدرولوجية حوض بانزمين



المصدر: من عمل الباحثة بالاعتماد على التصنيف الذي اصدرته منظمة الاغذية والزراعة (الفاو) للترب الهيدرولوجية وبأستخدام مخرجات برنامج الـ ArcMap 10.4.1 (ArcGIS).

جدول (٨٠) المساحات والنسب المئوية للترب الهيدرولوجية في أحواض المنطقة

أصناف الترب	الاحوض	A لـ	B لـ	C لـ
المساحة كم ^٢	حوض أوبر	-	٤٥.٤	-
النسبة %	حوض أوبر	-	١٠٠%	-
المساحة كم ^٢	حوض كونكل	-	٤١.٥	-
النسبة %	حوض كونكل	-	١٠٠%	-
المساحة كم ^٢	حوض عباسان	١٦٤.٣	٢٤٠.٦	٤٤٨.٢
النسبة %	حوض عباسان	١٩.٣	٢٨.٢	٥٢.٥
المساحة كم ^٢	حوض خورخور	١٣.٥	٩٣.٣	-
النسبة %	حوض خورخور	١٢.٦	٨٧.٤	-
المساحة كم ^٢	حوض زلقة كن	-	٥٧.٧	-
النسبة %	حوض زلقة كن	-	١٠٠%	-
المساحة كم ^٢	حوض سي حران	-	٥٧	-
النسبة %	حوض سي حران	-	١٠٠%	-
المساحة كم ^٢	حوض قورة تو	٢١٦.٨	٢٨٨.٨	٢٦٦.٧
النسبة %	حوض قورة تو	٢٨.١	٣٧.٤	٣٤.٥
المساحة كم ^٢	حوض بانزمين	١.٨	١٧.٣	-
النسبة %	حوض بانزمين	٩.٣	٩٠.٧	-

المصدر: من عمل الباحثة بالاعتماد على خريطة (٦٣- أ.ب.ت.ث-ج-خ-هـ).

٢-٢-٣. توزيع قيم الـ (CN) في أحواض المنطقة:

إن قيم الـ (CN) لأحواض المنطقة تراوحت بين القيمة (٢٥ و ١٠٠)، إذ قسمت الى ثلاث فئات في جميع أحواض المنطقة وكما في الخريطة (٦٤ أ-ب-ت-ث-ج-خ-هـ) والجدول (٨١) وكما يلي:

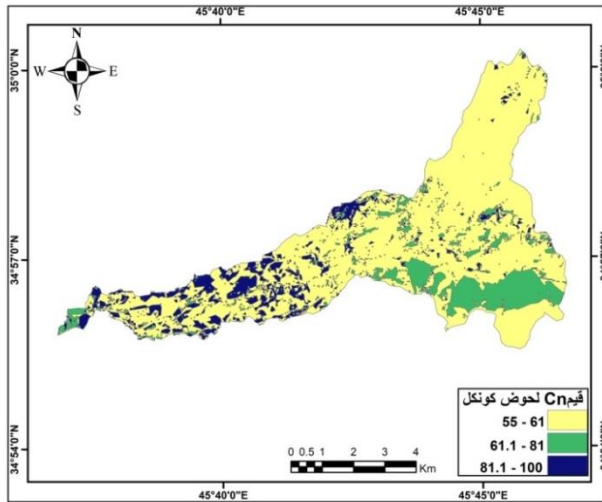
- **حوض أوبر:** فقد شغلت الفئة التي تتراوح بين (٥٥ - ٦١) أكبر مساحة إذ بلغت (٣٧.١)م^٢ أي بنسبة (٨١.٧ %) من مجموع مساحة الحوض.
- **حوض كونكل:** كما شغلت الفئة التي تتراوح بين (٥٥ - ٦١) أكبر نسبة مساحة والتي بلغت (٧٥,٩ %) وشغلت مساحة (٣١.٥) م^٢ من إجمالي مساحة الحوض.
- **حوض عباسان:** أن أعلى قيم الـ (Cn) وهي التي تتراوح بين (٦٨.١- ١٠٠) فقد شغلت أكبر مساحة في هذا الحوض إذ بلغت (٥٢٠.٦) كم^٢ أي بنسبة (٦١ %) من المساحة الكلية للحوض ، وتتنوع عند المنابع العليا والاجزاء الوسطى للحوض .

الفصل الثالث

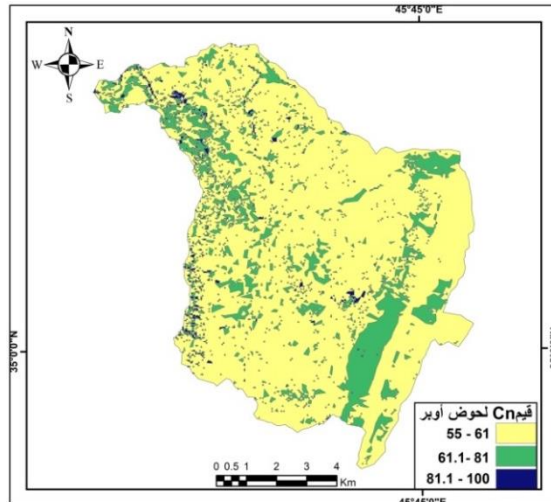
تقدير الجريان السطحي ضمن منطقة الدراسة

- **حوض خورخور:** طغت قيم الـ(Cn) التي تتراوح بين (٢٥,٢-٧٥) إذ امتدت في أغلب أجزاء الحوض وقد شغلت مساحة بلغت (٨٧.٤ كم^٢) ونسبة (٨٢.٢%) من مجموع مساحة الحوض.
 - **حوض زلكه كن:** الفئة الوسطى التي تتراوح قيمها بين (٨١.١-١٠٠) فقد توزعت في أغلب جهات الحوض ، إذ شغلت مساحة (٣٥.١ كم^٢) أي بنسبة (٦١.٦%) من إجمالي مساحة الحوض.
 - **حوض سي حران:** تشغل القيم التي تتراوح بين (٦١.١ - ٨١) أغلب جهات الحوض إذ شغلت مساحة بلغت (٣٤.٣ كم^٢) ونسبة (٥٩.٤%) من المساحة الكلية للحوض.
 - **حوض قورة تو:** شغلت الفئة التي تتراوح قيمها بين (٦٢.١- ٧٢) مساحة واسعة في الحوض إذ بلغت (٣٩٣.٩ كم^٢) أي بنسبة (٥١%) من مجموع مساحة الحوض.
 - **حوض بانزمين:** غطت قيم الـ(Cn) التي تتراوح بين (٧٢.١ - ١٠٠) مساحة واسعة قد بلغت (١١.١ كم^٢) أي بنسبة (٥٧.٨%) من إجمالي مساحة الحوض.
- يتضح مما سبق إن أغلب أراضي أحواض المنطقة كانت ضمن قيم الـ(CN) العالية والمتوسطة مما يدل على إن نسبة كبيرة من مساحات أحواض المنطقة يمكن أن يتولد فيها جريان سطحي شديد فتكون عرضة لحدوث سيول جارفة .

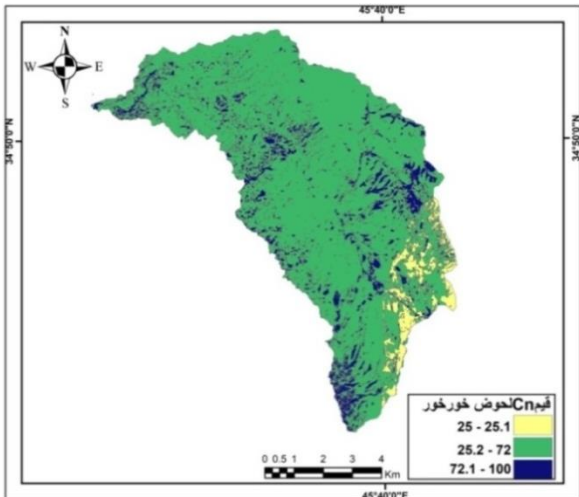
خريطة (٦٤ ب) توزيع قيم الـ(CN) في حوض كونكل



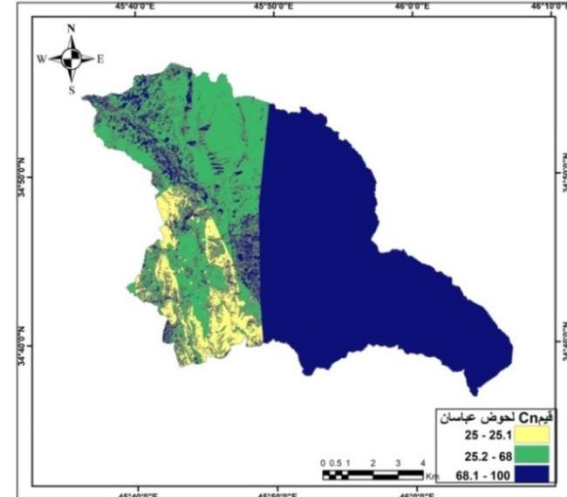
خريطة (٦٤ أ) توزيع قيم الـ(CN) في حوض أوبر



خريطة (٦٤ ث) توزيع قيم الـ(CN) في حوض خورخور

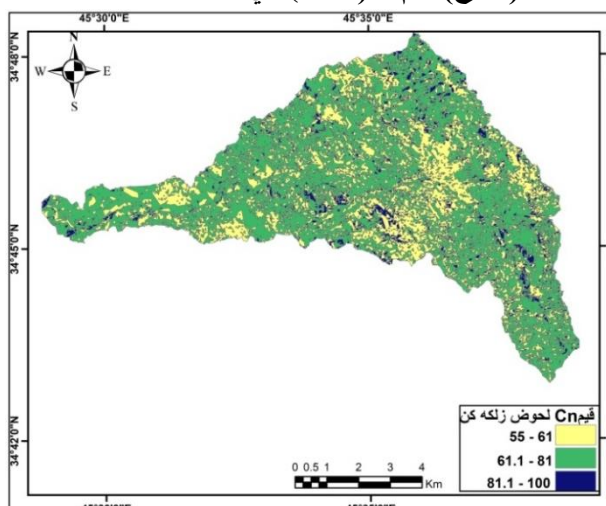
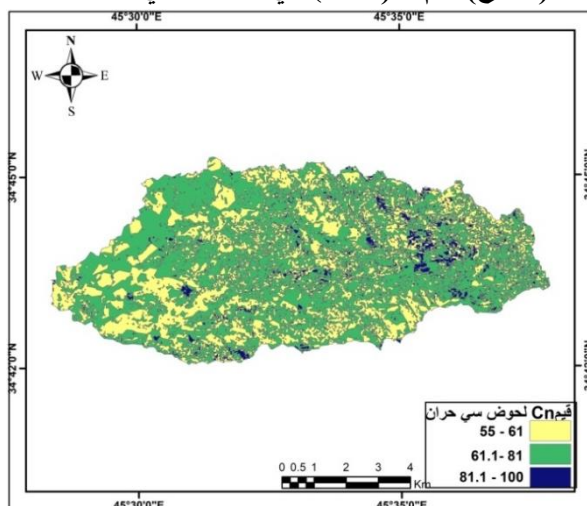


خريطة (٦٤ ت) توزيع قيم الـ(CN) في حوض عباسان

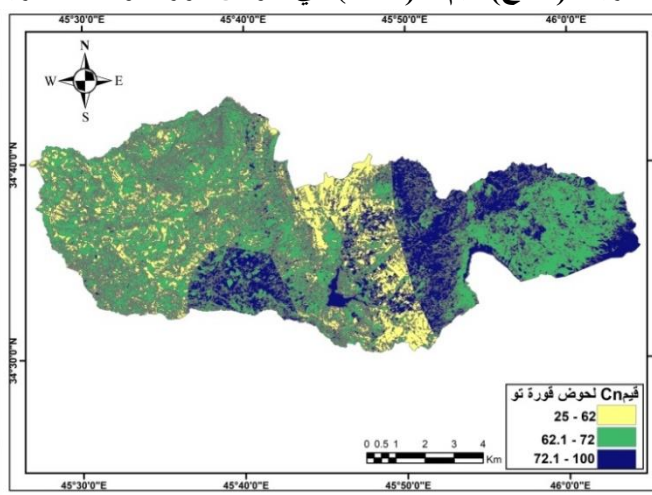
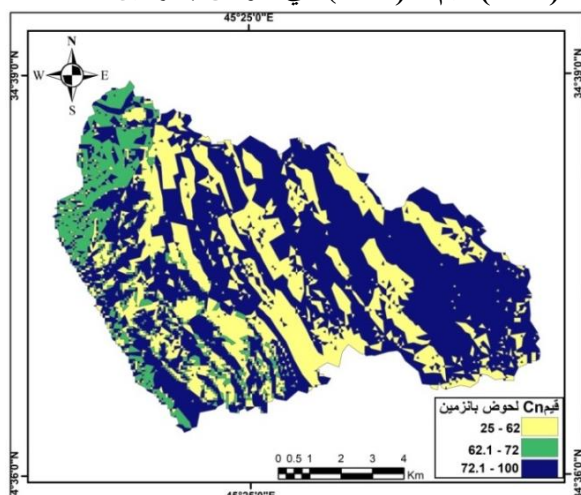


الفصل الثالث تقدير الجريان السطحي ضمن منطقة الدراسة

خريطة (٦٤خ) قيم الـ (CN) في حوض زلكه كن خريطة (٦٤ج) قيم الـ (CN) في حوض سي حران



خريطة (٦٤خ) قيم الـ (CN) في حوض قورة تو خريطة (٦٤هـ) قيم الـ (CN) في حوض بانزمين



المصدر: من عمل الباحثة بالاعتماد على مخرجات طريقة الـ (SCS-CN) وبأستخدام مخرجات برنامج الـ (Gis arc map10.4.1).

جدول (٨١) قيم الـ (CN) المستخلصة ومساحاتها ونسبها المئوية ضمن أحوض المنطقة

الاحوض	الفئات	المساحة/كم ^٢	النسبة %
حوض أوبر	(٥٥ - ٦١)	٣٧.١	٨١.٧
	(٦١.١ - ٨١)	٧.٧	١٧
	(٨١.١ - ١٠٠)	٠.٦	١.٣
المجموع		٤٥.٤	١٠٠
حوض كونكل	(٥٥ - ٦١)	٣١.٥	٧٥.٩
	(٦١.١ - ٨١)	٥.٤	١٣
	(٨١.١ - ١٠٠)	٤.٦	١١.١
المجموع		٤١.٥	١٠٠
حوض عباسان	(٢٥ - ٢٥.١)	٧٨.٥	٩.٢
	(٢٥.٢ - ٦٨)	٢٥٤.٦	٢٩.٨
	(٦٨.١ - ١٠٠)	٥٢٠.٦	٦١
المجموع		٨٥٣.٧	١٠٠

حوض خورخور	(٢٥.١ - ٢٥)	٥	٤.٧
	(٧٢ - ٢٥.٢)	٨٧.٤	٨٢.٢
	(١٠٠ - ٧٢.١)	١٤	١٣.٢
المجموع		١٠٦.٤	١٠٠
حوض زلقة كن	(٦١ - ٥٥)	١٧.٥	٣٠.٧
	(٨١ - ٦١.١)	٤.٤	٧.٧
	(١٠٠ - ٨١.١)	٣٥.١	٦١.٦
المجموع		٥٧	١٠٠
حوض سي حران	(٦١ - ٥٥)	٢٠.٤	٣٥.٤
	(٨١ - ٦١.١)	٣٤.٣	٥٩.٤
	(١٠٠ - ٨١.١)	٣	٥.٢
المجموع		٥٧.٧	١٠٠
حوض قورة تو	(٦٢ - ٢٥)	١٧٥.٢	٢٢.٧
	(٧٢ - ٦٢.١)	٣٩٣.٩	٥١
	(١٠٠ - ٧٢.١)	٢٠٣.٨	٢٦.٤
المجموع		٧٧٢.٩	١٠٠
حوض بانزمين	(٦٢ - ٢٥)	٦.٣	٣٢.٨
	(٧٢ - ٦٢.١)	١.٨	٩.٤
	(١٠٠ - ٧٢.١)	١١.١	٥٧.٨
المجموع		١٩.٢	١٠٠

المصدر: من عمل الباحثة بالاعتماد على الخرائط (٦٤ أ- ب- ت- ث- ج- ح- خ- هـ).

٣-٢-٣. حساب معامل الامكانية القصوى لأحتفاظ التربة بالماء بعد الجريان السطحي (S) Potential

:Maximum Retention After Runoff

يشير هذا المعامل عن الامكانية القصوى للأحتفاظ بالماء في التربة بعد حدوث العاصفة المطرية، أي يعبر عن حالة التربة المشبعة تماماً بالماء أي بعد توقف عملية التسرب قبل بدء الجريان السطحي، وتتباين الامكانية القصوى لأحتفاظ التربة بالماء وذلك حسب سمك طبقة التربة ونوعها ومدى قابليتها على إمتصاص الماء خلال فترة سقوط المطر^(١)، وتعكس القيم المرتفعة للمعامل (S) إمكانية التربة العالية للأحتفاظ بالماء وبالتالي إنخفاض الجريان السطحي، في حين تعكس قيم التربة القريبة من الصفر إنخفاض قدرة التربة على الاحتفاظ بالماء فينشأ عن ذلك جريان سطحي شديد، وقد تم حساب قيم المعامل (S) وذلك من خلال المعادلة الرياضية التالية:

$$S = \frac{1000}{CN} - 10$$

(١) حاضر ظاهر القيسي و رقية أحمد محمد أمين ، بشير فرحان محمود ، تحليل معطيات الاستشعار عن بعد ونظم المعلومات الجغرافية في تقدير الجريان السطحي لأختيار موقع حصاد المياه (حوض جمجمال - العراق حالة طبيعية)، مجلة الفنون والادب وعلوم الانسانيات والاجتماع ، العدد ١١ ، ٢٠١٩ ، ص ١٣٠.

يلاحظ أن مدخلات البيانات في هذه المعادلة مقاسة بالبوصة لذا من المفروض إعادة صياغة المعادلة للتوافق مع المقاييس المترية، إذ ضربت أرقام المعادلة السابقة في ٢٥.٤ وذلك لتحويلها الى المليمتر فأصبحت بالصيغة الآتية:

$$S = \frac{25400}{CN} - 245$$

S = معامل الامكانية القصوى للاحتفاظ بالماء

Cn = رقم المنحنى Curve Number ويتراوح بين (صفر-١٠٠).

بعد تطبيق المعادلة أعلاه من خلال بيئة برنامج الـ (ArcGis arc map 10.4.1) وبأستخدام وظيفة Raster calculator ، إتضح إن قيم الـ (S) لأحواض المنطقة قد تباينت فيما بينها لذا فقد قسمت الى ثلاث فئات في كل حوض، كما في الخريطة (٦٥-أ-ب-ت-ث-ج-ح-خ-هـ) والجدول (٨٢) وكما يلي:

• **حوض أوبر:** فقد شغلت أعلى القيم والتي تتراوح بين (١٢,٤٤٧ – ٢٥,١٤٦) ملم أكبر مساحة إذ بلغت (٣٧) كم^٢ أي بنسبة (٨١.٥ %) من مجموع مساحة الحوض.

• **حوض كونكل:** إن أعلى قيم الـ (S) والتي تتراوح بين (١٢,٤٤٧ – ١٢٥,١٤٦) ملم شغلت أكبر نسبة مساحة إذ بلغت (٧٥.٩ %) وشغلت مساحة (٣١.٥) م^٢ من مجموع مساحة الحوض.

• **حوض عباسان:** أن أدنى قيم الـ (S) وهي التي تتراوح بين (٩٥٥ – ٣,٩٧٩) ملم فقد شغلت أكبر مساحة في هذا الحوض إذ بلغت (٦١٦,٩) كم^٢ أي بنسبة (٧٢.٣ %) من المساحة الكلية للحوض وتوزع هذه القيم عند المنابع العليا الاجزاء الوسطى للحوض.

• **حوض خورخور:** تراوحت أعلى قيم الـ (S) بين (١٢,٤٤٧ – ٢٥,١٤٦) ملم إذ امتدت في أغلب أجزاء الحوض وقد شغلت مساحة بلغت (٥٧) كم^٢ وبنسبة (٥٣.٦ %) من مجموع مساحة الحوض.

• **حوض زلكه كن:** فقد سادت الفئة التي تتراوح قيمها بين (٣,٣٧٤ – ٦,٠٩٦) ملم وتحتوي أدنى قيم الـ (S) في الحوض، إذ توزعت في أغلب جهاته وشغلت مساحة بلغت (٣٥.٥) كم^٢ أي بنسبة (٦٢.١ %) من إجمالي مساحة الحوض.

• **حوض سي حران:** تشغل أدنى القيم والتي تتراوح قيمها بين (٣,٣٧٤ – ٦,٠٩٦) ملم، إذ تغطي أغلب جهات الحوض فقد شغلت مساحة بلغت (٤٢,٩) كم^٢ وبنسبة (٧٤.٣ %) من المساحة الكلية للحوض.

• **حوض قورة تو:** غطت أدنى قيم الـ (S) التي تتراوح بين (٩٥٥ – ٣,٩٧٩) ملم المنابع العليا والجهات الوسطى للحوض، فقد بلغت (٥٦٣,٦) كم^٢ أي بنسبة (٧٢.٩ %) من مجموع مساحة الحوض.

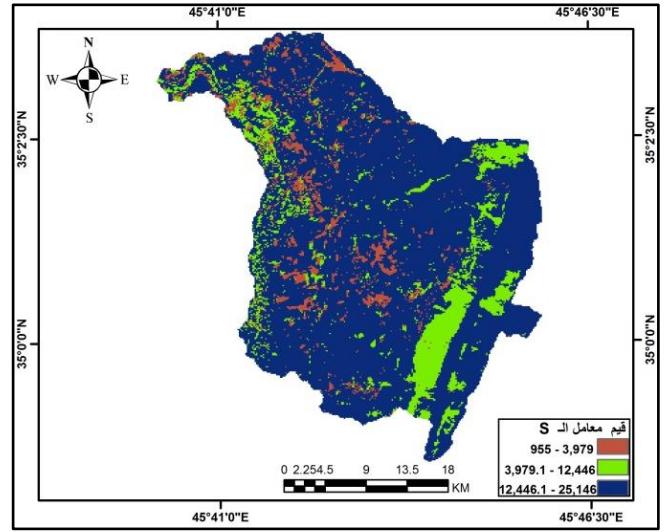
• **حوض بانزمين:** طغت قيم الفئة المتوسطة أغلب جهات الحوض والتي تراوحت بين (٣,٣٧٤ – ٦,٠٩٦) ملم، فقد شغلت مساحة بلغت (٨.٦) كم^٢ أي بنسبة (٤٤.٧ %) من إجمالي مساحة الحوض.

الفصل الثالث

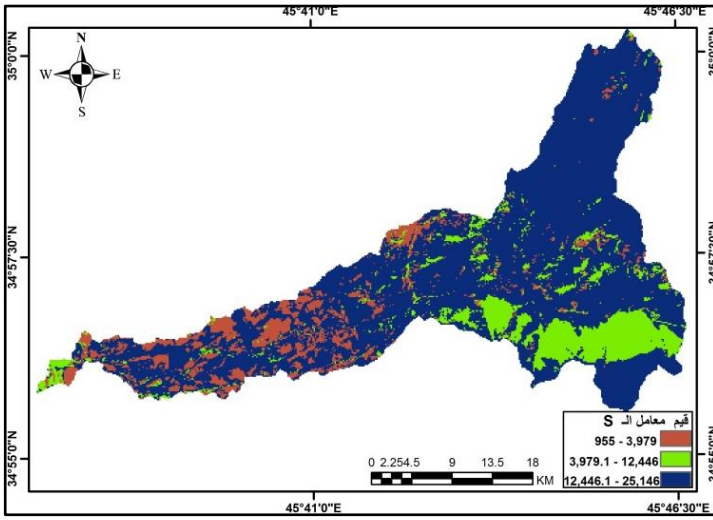
تقدير الجريان السطحي ضمن منطقة الدراسة

يتبين مما سبق إن القيم الدنيا لمعامل الامكانية القصوى للاحتفاظ بالماء (S) ملم قد شغلت مساحات واسعة في أحواض المنطقة مما يدل على قلة قدرة التربة على الاحتفاظ بالماء وبالتالي حدوث جريان سطحي كبير وذلك نظراً لطبيعة استعمالات الارض في هذه الاحواض التي تتميز بزيادة نسبة مساحة المستقرات البشرية فيها وزيادة مساحة الاراضي الجرداء التي ليس لها القدرة على إمتصاص المياه وبذلك تكون عرضة لحدوث السيول التي ممكن أن تسببها عاصفة مطرية غزيرة، بالإضافة الى طبيعة الغطاء الارضي الذي يتميز بقلة الغطاء النباتي في هذه الاجزاء من احواض المنطقة.

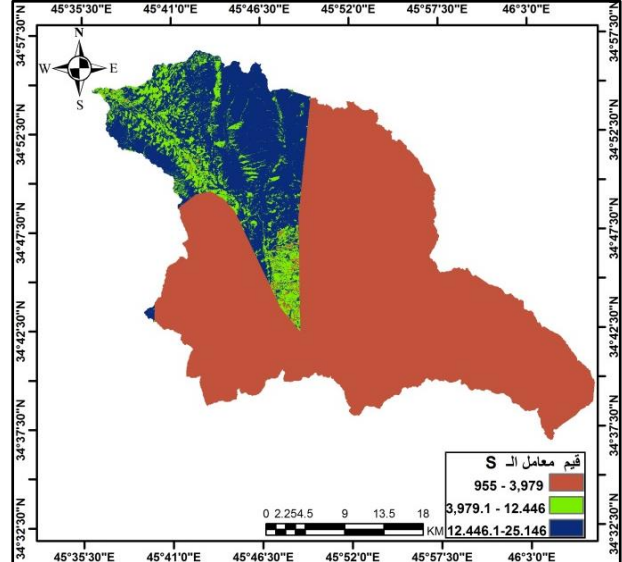
خريطة (١٥) قيم الـ (S) في حوض أوبر



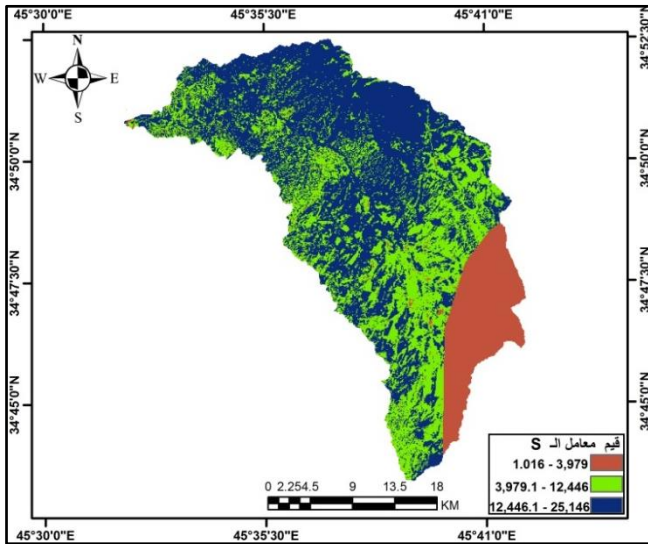
خريطة (٦٥) قيم الـ (S) في حوض كونكل



خريطة (٦٥) قيم الـ (S) في حوض عباسان

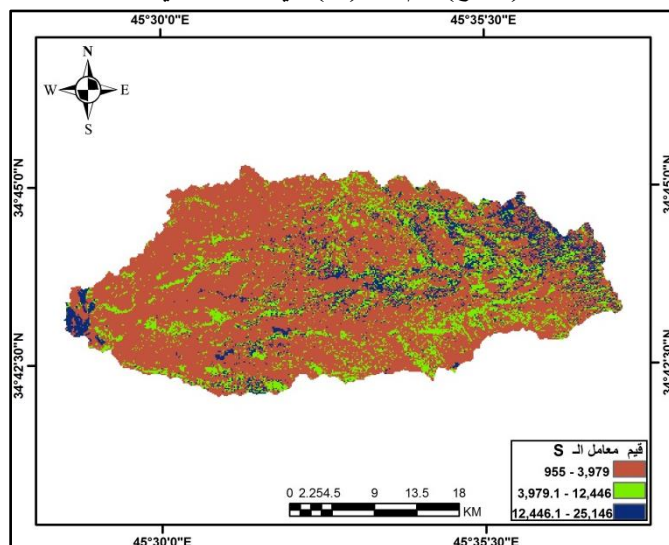


خريطة (٦٥) قيم الـ (S) في حوض خورخور

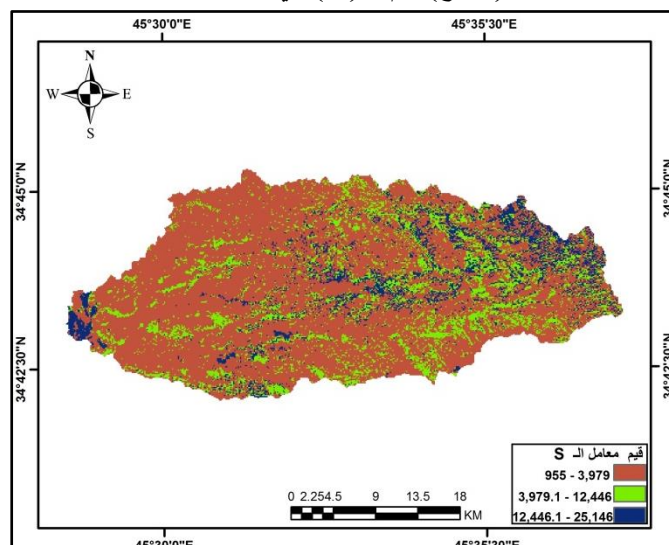


الفصل الثالث تقدير الجريان السطحي ضمن منطقة الدراسة

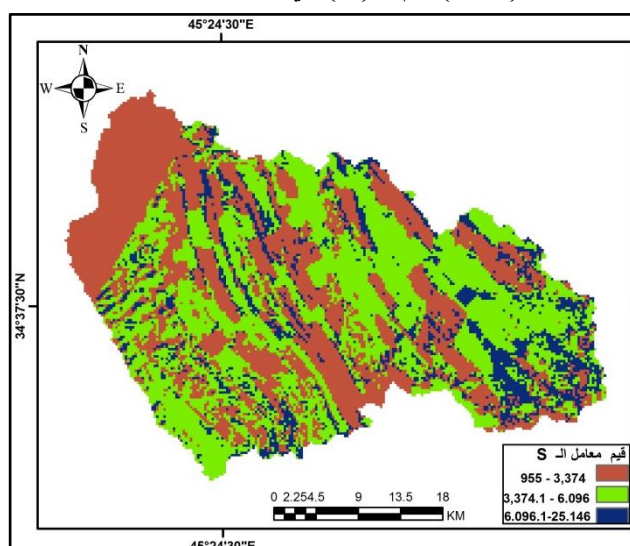
خريطة (٦٥ ح) قيم الـ (S) في حوض سي حران



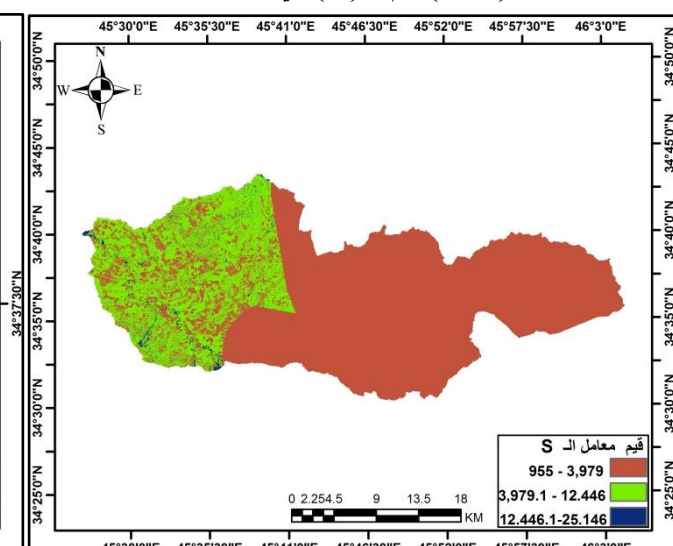
خريطة (٦٥ ج) قيم الـ (S) في حوض زلكة كن



خريطة (٦٥ هـ) قيم الـ (S) في حوض بانزمين



خريطة (٦٥ و) قيم الـ (S) في حوض قورة تو



المصدر: من عمل الباحثة بالاعتماد على نتائج تطبيق معادلة الـ (S) تخدام مخرجات برنامج الـ (Arc Gis arc map10.4.1).

جدول (٨٢) قيم الـ (S) ومساحاتها ونسبها المئوية في أحوض المنطقة

الأحوض	الفئات	المساحة كم ^٢	النسبة %
حوض أوبر	(٦,٠٩٦ - ٣,٣٧٤) ملم	٣	٦.٦
	(١٢,٤٤٦ - ٦,٠٩٧) ملم	٥.٤	١١
	(١٢٥,١٤٦ - ١٢,٤٤٧) ملم	٣٧	٨١.٥
المجموع		٤٥.٤	١٠٠
حوض كونكل	(٦,٠٩٦ - ٣,٣٧٤) ملم	٤.٦	١١.١
	(١٢,٤٤٦ - ٦,٠٩٧) ملم	٥.٤	١٣
	(١٢٥,١٤٦ - ١٢,٤٤٧) ملم	٣١.٥	٧٥.٩
المجموع		٤١.٥	١٠٠
حوض	(٣,٩٧٩ - ٩٥٥) ملم	٦١٦.٩	٧٢.٣

عباسان	٦.٨	٥٧.٩	(١٢,٤٤٦ - ٣,٩٨٠) ملم
	٢٠.٩	١٧٨.٩	(٢٥.١٤٦ - ١٢,٤٤٧) ملم
المجموع	١٠٠	٨٥٣.٧	
حوض خورخور	١٣.٤	١٤.٣	(٣,٩٧٩ - ١,٠١٦) ملم
	٣٢.٨	٣٥.١	(١٢,٤٤٦ - ٣,٩٨٠) ملم
	٥٣.٦	٥٧	(٢٥.١٤٦ - ١٢,٤٤٧) ملم
المجموع	١٠٠	١٠٦.٤	
حوض زلثة كن	٦٢.١	٣٥.٥	(٦,٠٩٦ - ٣,٣٧٤) ملم
	١٦.٥	٩.٤	(١٢,٤٤٦ - ٦,٠٩٧) ملم
	٢١.١	١٢.١	(٢٥,١٤٦ - ١٢,٤٤٧) ملم
المجموع	١٠٠	٥٧	
حوض سي حران	٧٤.٣	٤٢.٩	(٦,٠٩٦ - ٣,٣٧٤) ملم
	١٦.٣	٩.٤	(١٢,٤٤٦ - ٦,٠٩٧) ملم
	٩.٤	٥.٤	(٢٥,١٤٦ - ١٢,٤٤٧) ملم
المجموع	١٠٠	٥٧.٧	
حوض قورة تو	٧٢.٩	٥٦٣.٦	(٣,٩٧٩ - ٩٥٥) ملم
	٢٦.١	٢٠١.٦	(١٢,٤٤٦ - ٣,٩٨٠) ملم
	٠.٩٩	٧.٧	(٢٥.١٤٦ - ١٢,٤٤٧) ملم
المجموع	١٠٠	٧٧٢.٩	
حوض بانزمين	٤١.٢	٧.٩	(٣,٣٧٤ - ٩٥٥) ملم
	٤٤.٧	٨.٦	(٦,٠٩٦ - ٣,٣٧٥) ملم
	١٤.١	٢.٧	(٢٥,١٤٦ - ٦,٠٩٧) ملم
المجموع	١٠٠	١٩.٢	

المصدر: من عمل الباحثة بالاعتماد على خريطة (٦٥ أ ب ت ث ج ح خ هـ).

٣-٢-٤. حساب معامل الاستخلاص الأولي Initial abstraction (Ia):

يعبر هذا المعامل عن مقدار المفقود من مياه الامطار قبل بدء عملية الجريان السطحي عن طريق التبخر أو التسرب أو من خلال إعتراض النباتات للمياه الجارية، ويعد هذا المعامل هو خمس قيمة المعامل (S)، ويستدل من القيم المنخفضة للاستخلاص الأولي والتي تقترب من الصفر على قلة الفاقد من مياه الامطار قبل بدء الجريان السطحي مما يساعد على سرعة تولد الجريان السطحي، أما إذا كانت قيم الـ (Ia) مرتفعة دل ذلك على فقد كميات كبيرة من مياه الامطار وبالتالي إنخفاض كمية المياه الجارية على السطح. وقد تم حساب هذا المعامل في أحواض المنطقة باستخدام برنامج الـ (Gis arc

map10.4.1) من خلال وظيفة Calculator Raster ضمن قائمة التحليل المكاني SpatialAnalyst ومن خلال تطبيق المعادلة التالية^(١):

$$Ia = 0.2 S$$

1) K. D. Sharma & Surendra Singh, Runoff estimation using Landsat thematic mapper - data and the SCS model, Hydrological Sciences – Journal- des Sciences Hydrological, 37, 1, 2, Central Arid Zone Research Institute, Jodhpur 342 003, India, 1992, p41

الفصل الثالث تقدير الجريان السطحي ضمن منطقة الدراسة

I_a = معامل الاستخلاص الأولي لمياه الأمطار

S = معامل حساب الامكانية القصوى للاحتفاظ بالماء

بعد تطبيق المعادلة أعلاه أتضح إن قيم الـ (I_a) تباينت في جميع أحواض المنطقة وقد قسمت الى ثلاث فئات لكل حوض، كما في الخريطة (١٦٦-أ-ب-ت-ث-ج-ح-خ-هـ) والجدول (٨٣) وكما يلي:

- **حوض أوبر:** شغلت أعلى قيم الـ (I_a) أغلب مساحة الحوض إذ بلغت الفئة التي تتراوح قيمها بين (٢٤٨٥ – ٥٠٢٩) ملم، إذ بلغت مساحتها (٣٧.٧) كم^٢ ونسبة (٨٣.١%) من إجمالي مساحة الحوض.
- **حوض كونكل:** أيضا شغلت أعلى القيم مساحة واسعة من هذا الحوض والتي تتراوح بين أكبر (٢٤٨٥ – ٥٠٢٩) ملم إذ شكلت مساحة بلغت (٣١.٥) كم^٢ وشغلت مساحة (٧٥.٩%) من إجمالي مساحة الحوض.

- **حوض عباسان:** شغلت أدنى القيم مساحة واسعة بلغت (٦١٦.٨) كم^٢ والتي كانت بنسبة (٧٢.٣%) من إجمالي مساحة الحوض، إذ سادت عند المنابع العليا والاجزاء الوسطى للحوض وقد تراوحت قيمها بين (١٩١ – ٧٩٩,١٧٣) ملم.

- **حوض خورخور:** طغت أعلى قيم الـ (I_a) في هذا الحوض إذ تتراوح بين (٢,٤٧٤,٢٥٩ – ٥,٠٢٩,٢٠٠) ملم إذ امتدت في أغلب أجزاء الحوض وقد شغلت مساحة بلغت (٥٧.٢) كم^٢ ونسبة (٥٣.٧%) من مجموع مساحة الحوض.

- **حوض زلكه كن:** طغت قيم الفئة الدنيا (٦٧٤,٩٨٨ – ١,٢٠٤,١٥٨) ملم على مساحات واسعة من الحوض، إذ شغلت (٢٤.٥) كم^٢ أي بنسبة (٤٣%) من إجمالي مساحة الحوض.

- **حوض سي حران:** كذلك شغلت أدنى قيم الـ (I_a) في الفئة التي تتراوح بين (٦٧٤,٩٨٨ – ١,٢٠٤,١٥٨) ملم أغلب مساحة الحوض فقد بلغت (٣٧.١) كم^٢ ونسبة (٦٤.٣%) من المساحة الكلية للحوض.

- **حوض قورة تو:** شغلت الفئة التي أحتوت أدنى القيم والتي تتراوح بين (١٩١ – ٧٩٩,١٧٣) ملم مساحة واسعة في الحوض إذ بلغت (٥٦٣.٧) كم^٢ أي بنسبة (٧٢.٩%) من مجموع مساحة الحوض.

- **حوض بانزمين:** سادت قيم الفئة الوسطى والتي تتراوح بين (١,٢١٥,٥٦١ – ٥,٠٢٩,٢٠٠) ملم أغلب مساحة الحوض فقد بلغت (١٤) كم^٢ أي بنسبة (٧٢.٩%) من إجمالي مساحة الحوض.

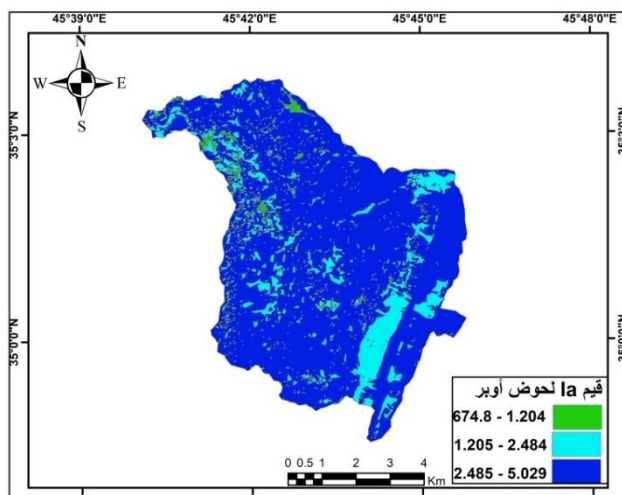
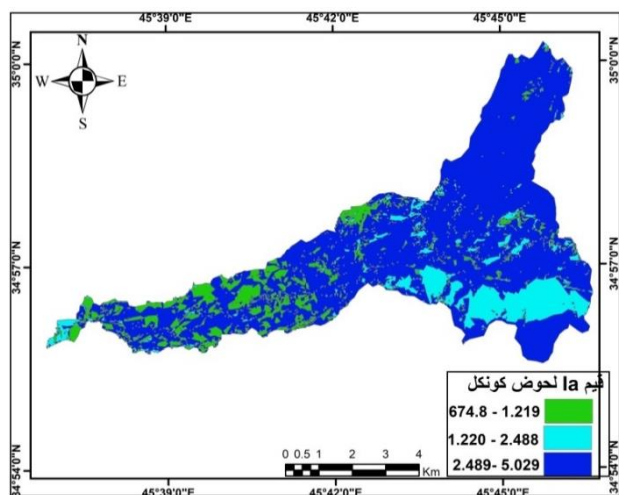
مما سبق يتضح إن مساحة واسعة من المنطقة كانت فيها نسبة المياه المفقودة من كميات الأمطار الساقطة عليها بسبب الشدات المطرية كانت ضئيلة وخاصة ضمن حوض عباسان وزلكه كن وسي حران وقورة تو مما يدل ذلك على حدوث جريان سطحي وذلك لقلة كثافة الغطاء النباتي وسعة انتشار الأراضي الجرداء ضمن هذه الاحواض ، بينما كانت نسبة مياه الأمطار المفقودة والمتسربة خلال أسطح أراضي

الفصل الثالث تقدير الجريان السطحي ضمن منطقة الدراسة

حوض أوبر وكونكل وخورخور كانت فيها كبيرة جداً وذلك لاحتوائها على غطاء نباتي كثيف فضلاً عن تربتها التي تكون ذات نسيج خشن يسمح بنفاذ المياه إلى داخل طبقات التربة وحدثت عملية التسرب.

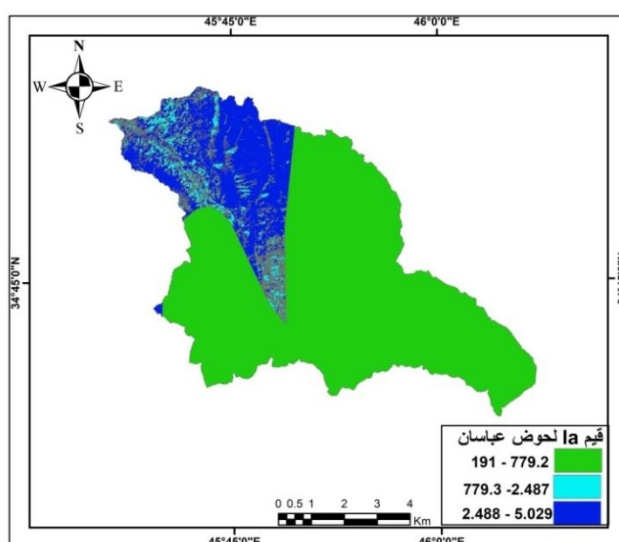
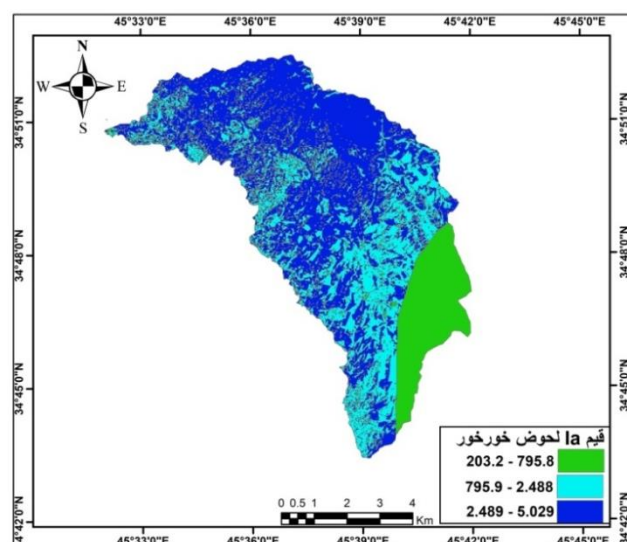
خريطة (٦٦ ب) قيم الـ (Ia) في حوض كونكل

خريطة (٦٦ أ) قيم الـ (Ia) في حوض أوبر



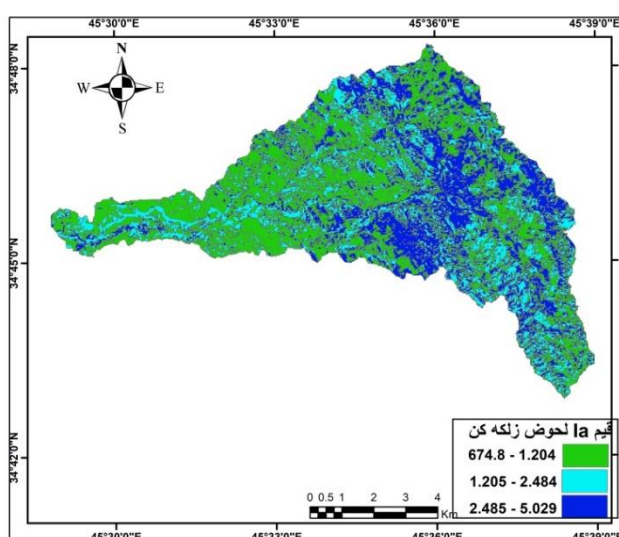
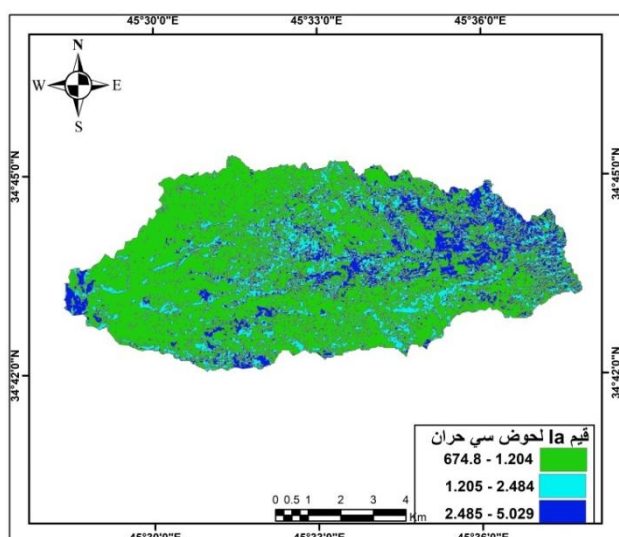
خريطة (٦٦ ث) قيم الـ (Ia) في حوض خورخور

خريطة (٦٦ ت) قيم الـ (Ia) في حوض عباسان



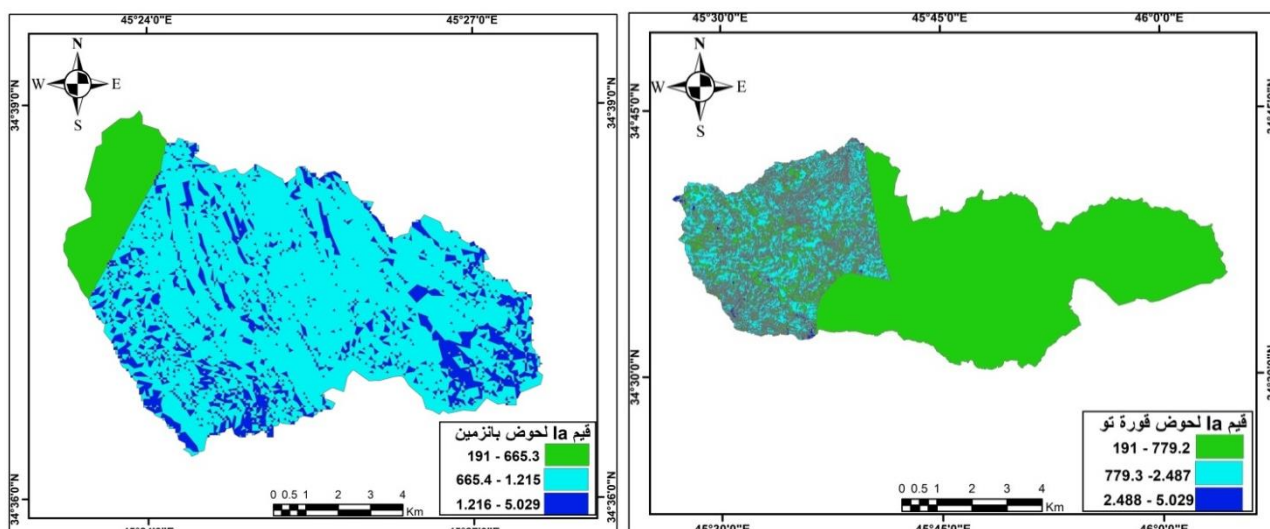
خريطة (٦٦ ح) قيم الـ (Ia) في حوض سي حران

خريطة (٦٦ ج) قيم الـ (Ia) في حوض زلكة كن



الفصل الثالث تقدير الجريان السطحي ضمن منطقة الدراسة

خريطة (٦٦ خ) قيم الـ (Ia) في حوض قورة تو خريطة (٦٦ هـ) قيم الـ (Ia) في حوض بانزمين



المصدر: من عمل الباحثة بالاعتماد على نتائج المعادلة الـ (Ia) استخدام مخرجات برنامج الـ (Arc Gis arc map 10.4.1).

جدول (٨٣) قيم الـ (Ia) ومساحاتها ونسبها المئوية في أحوض المنطقة

النسبة %	المساحة كم ^٢	الفئات	الأحوض
١.٥	٠.٧	١,٢٠٤,١٥٨ - ٦٧٤,٩٨٨	حوض أوبر
١٥.٤	٧	٢,٤٨٤,٨٦٤ - ١,٢٠٤,١٥٩	
٨٣.١	٣٧.٧	٥,٠٢٩,٢٠٠ - ٢,٤٨٤,٨٦٥	
١٠٠	٤٥.٤		المجموع
١١.١	٤.٦	١,٢٠٤,١٥٨ - ٦٧٤,٩٨٨	حوض كونكل
١٣	٥.٤	٢,٤٨٤,٨٦٤ - ١,٢٠٤,١٥٩	
٧٥.٩	٣١.٥	٥,٠٢٩,٢٠٠ - ٢,٤٨٤,٨٦٥	
	٤١.٥		المجموع
٧٢.٣	٦١٦.٨	٧٩٩,١٧٣ - ١٩١	حوض عباسان
٦.٢	٥٣.١	٢,٤٨٦,٧٧٣ - ٧٩٩,١٧٤	
٢١.٥	١٨٣.٨	٥,٠٢٩,٢٠٠ - ٢,٤٨٦,٧٧٤	
١٠٠	٨٥٣.٧		المجموع
١٣.٤	١٤.١	٧٨٩,٨٩٠ - ٢٠٣,١٩٩	حوض خورخور
٣٢.٩	٣٥.١	٢,٤٧٤,٢٥٨ - ٧٨٩,٨٩١	
٥٣.٧	٥٧.٢	٥,٠٢٩,٢٠٠ - ٢,٤٧٤,٢٥٩	
١٠٠	١٠٦.٤		المجموع
٤٣	٢٤.٥	١,٢٠٤,١٥٨ - ٦٧٤,٩٨٨	حوض زلعة كن
٣٠	١٧.١	٢,٤٨٤,٨٦٤ - ١,٢٠٤,١٥٩	
٢٧	١٥.٤	٥,٠٢٩,٢٠٠ - ٢,٤٨٤,٨٦٥	
١٠٠	٥٧		المجموع
٦٤.٣	٣٧.١	١,٢٠٤,١٥٨ - ٦٧٤,٩٨٨	حوض سي حران
٢٠.٥	١١.٨	٢,٤٨٤,٨٦٤ - ١,٢٠٤,١٥٩	
١٥.٢	٨.٨	٥,٠٢٩,٢٠٠ - ٢,٤٨٤,٨٦٥	
١٠٠	٥٧.٧		المجموع

٧٢.٩	٥٦٣.٧	٧٩٩,١٧٣ - ١٩١	حوض قورة تو
٢٤.٩	١٩٢.٤	٢,٤٨٦,٧٧٣ - ٧٩٩,١٧٤	
٢.٢	١٦.٨	٥,٠٢٩,٢٠٠ - ٢,٤٨٦,٧٧٤	
١٠٠	٧٧٢.٩		المجموع
٩.٤	١.٨	٦٦٥,٣٣٣ - ١٩١	حوض بانزمين
٧٢.٩	١٤	١,٢١٥,٥٦٠ - ٦٦٥,٣٣٤	
١٧.٧	٣.٤	٥,٠٢٩,٢٠٠ - ١,٢١٥,٥٦١	
١٠٠	١٩.٢		المجموع

المصدر: من عمل الباحثة بالاعتماد على خريطة (٦٦ أ ب - ت - ث - ج - ح - خ - هـ).

٣-٢-٥. تقدير عمق الجريان السطحي (Q):

وهو حساب عمق الجريان السطحي السنوي لكمية المياه المستحصلة ضمن أحواض المنطقة، ويعبر عنه بمقدار إرتفاع المياه الجارية على السطح الناتجة عن عاصفة مطرية والتي تعد أحد المكونات الأساسية لتقدير عمق الجريان السطحي فضلاً عن المعطيات الطبيعية المتمثلة بقيم المعاملات (S, Ia)، حيث تم احتساب عمق الجريان اعتماداً على أعلى كمية للشدة المطرية في المحطة (A) ضمن منطقة الدراسة.

ومن أجل الحصول على الطبقة الخاصة بأعماق الجريان السطحي السنوي (ملم) خلال أحواض المنطقة، فقد تم اعتماد عملية جبر الخرائط (Map Algebra) باستخدام (Raster Calculator) ضمن وظائف المحلل المكاني (Spatial Analyst) داخل بيئة برامجيات (ArcGis10.4)، ومن ثم ادخال صيغة المعادلة الرياضية الآتية^(١):

$$Q = \frac{(P - Ia)^2}{P - Ia + s}$$

اذ تمثل

Q = عمق الجريان السطحي (ملم).

P = الامطار الساقطة (ملم).

Ia = التجريعات الأولية تعني كل المفقودات قبل بداية الجريان ويشمل المياه المحتجزة في المنخفضات السطحية، والتبخ والترشيح.

S = التجمع السطحي الأقصى بعد بداية الجريان السطحي (ملم).

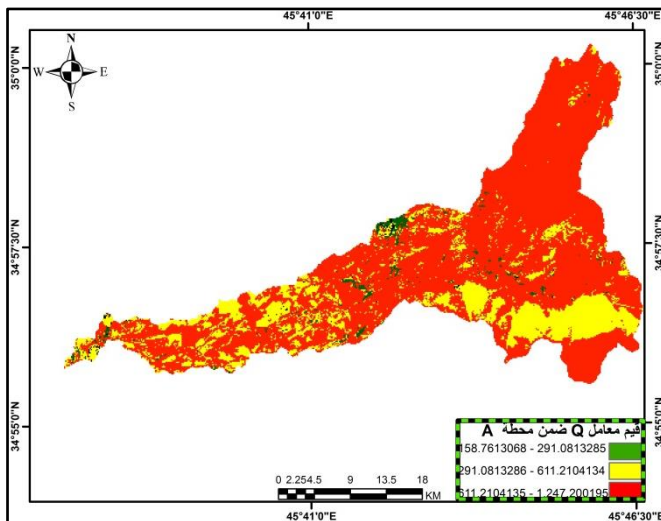
من خلال تطبيق المعادلة أعلاه وإعتماداً على العواصف المطرية الساقطة في المنطقة بتاريخ (٢٠١٨/٤/١١م) خلال الموسم المطري (٢٠١٧/٢٠١٨م) والتي قد بلغت (١٨ ملم) ضمن المحطة A و (٢٧) ملم ضمن المحطة B و (٤٤) ملم ضمن المحطة C، إذ أظهرت النتائج إن هناك تباين في قيم عمق الجريان السطحي السنوي لأحواض المنطقة وقد قسمت إلى ثلاث فئات في جميع الأحواض كما في الخرائط (٦٧ أ - ب - ت - ث - ج - ح - خ - هـ) ضمن المحطة A والخرائط (٦٨ أ - ب - ت - ث - ج - ح - خ - هـ).

١ (محمد حسن حسين ، الهيدرولوجيا أساسيات وتطبيقاتها، مصدر سابق، ص ١٧٥.

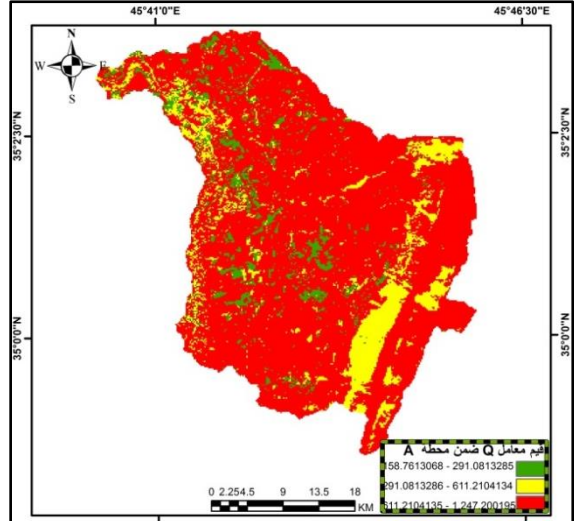
هـ) في المحطة B والخرائط (٦٩ أ - ب - ت - ث - ج - ح - خ - هـ) في المحطة C والجدول (٨٤)، وكما يلي:

- (حوض أوبر ، حوض كونكل ، حوض زلكه كن ، حوض سي حران) : من التحليل أعلاه تبين إن أعلى قيم لعمق الجريان في هذه الاحواض ضمن المحطة A بلغ (٦١١.٢١٠ - ١,٢٤٧.٢٠٠) ملم وضمن المحطة B بلغ (٦٠٦.٢٩٦ - ١,٢٤٢.١٦٩) ملم، أما ضمن المحطة C فقد بلغ (٥٩٧.١٧٢ - ١,٢٣٢.٧٠٠) ملم.
 - (حوض عباسان ، حوض قورة تو): تراوحت قيم عمق الجريان خلال هذه الاحواض تبين إن أعلى قيم لعمق الجريان في هذه الاحواض ضمن المحطة A بلغ (٦١١.٢١٠ - ١,٢٤٧.٢٠٠) ملم وضمن المحطة B بلغ (٦٠٢.٥٥١ - ١,٢٤٢.١٦٩) ملم، أما ضمن المحطة C فقد بلغ (٥٩٤.٢٥٢ - ١,٢٣٢.٧٠٠) ملم.
 - (حوض خورخور): تراوحت قيم عمق الجريان خلال هذه الاحواض تبين إن أعلى قيم لعمق الجريان في هذه الاحواض ضمن المحطة A بلغ (٦٠٨.٧٧٤ - ١,٢٤٧.٢٠٠) ملم وضمن المحطة B بلغ (٦٠٤.١٢١ - ١,٢٤٢.١٦٩) ملم، أما ضمن المحطة C فقد بلغ (٥٩٥.٧٥٤ - ١,٢٣٢.٧٠٠) ملم.
 - (حوض بانزمين): تراوحت قيم عمق الجريان خلال هذه الاحواض تبين إن أعلى قيم لعمق الجريان في هذه الاحواض ضمن المحطة A بلغ (٢٩٤.٢٨٠ - ١,٢٤٧.٢٠٠) ملم وضمن المحطة B بلغ (٢٨٥.١١١ - ١,٢٤٢.١٦٩) ملم، أما ضمن المحطة C فقد بلغ (٢٧٧.٣٩٣ - ١,٢٣٢.٧٠٠) ملم.
- تبين مما سبق إن وجود التباين في قيم عمق الجريان السطحي ضمن منطقة الدراسة وذلك تبعاً للظروف المناخية لأحواض المنطقة فضلاً عن طبيعة الغطاء الارضي وكثافة الغطاء النباتي ومستوى الانحدار في المنطقة، إذ غطت قيم عمق الجريان العليا أغلب مساحة حوض أوبر وكونكل وخورخور والجهات الشمالية من حوض عباسان بينما بقية الاحواض فقد شغلت قيم عمق الجريان الدنيا أغلب مساحاتها.

خريطة (٦٧ ب) عمق الجريان السطحي في حوض كونكل

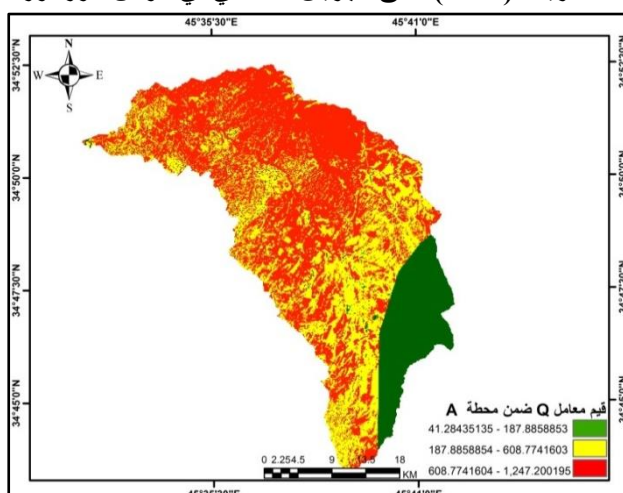


خريطة (٦٧ أ) عمق الجريان السطحي في حوض أوبر

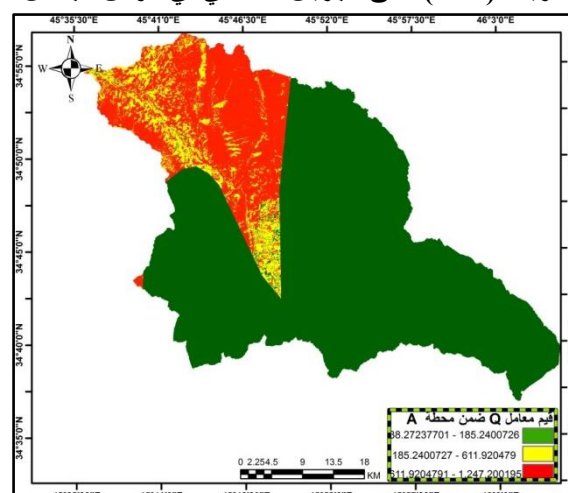


الفصل الثالث تقدير الجريان السطحي ضمن منطقة الدراسة

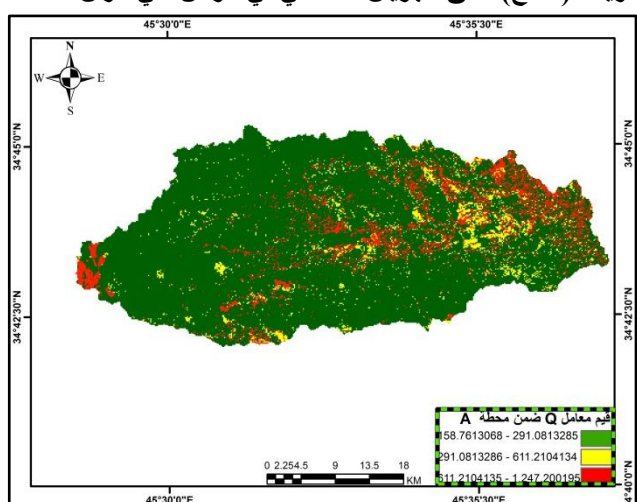
خريطة (٦٧ ث) عمق الجريان السطحي في حوض خورخور



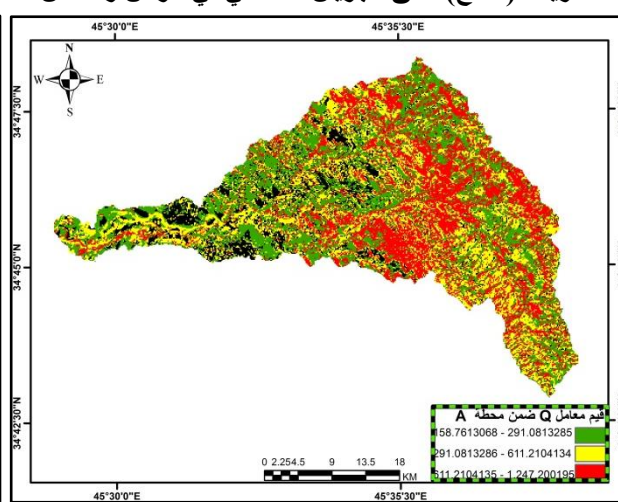
خريطة (٦٧ ت) عمق الجريان السطحي في حوض عباسان



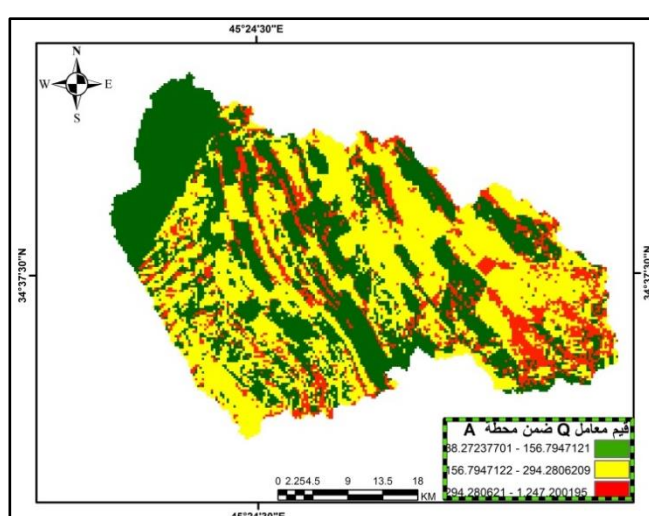
خريطة (٦٧ خ) عمق الجريان السطحي في حوض سي حران



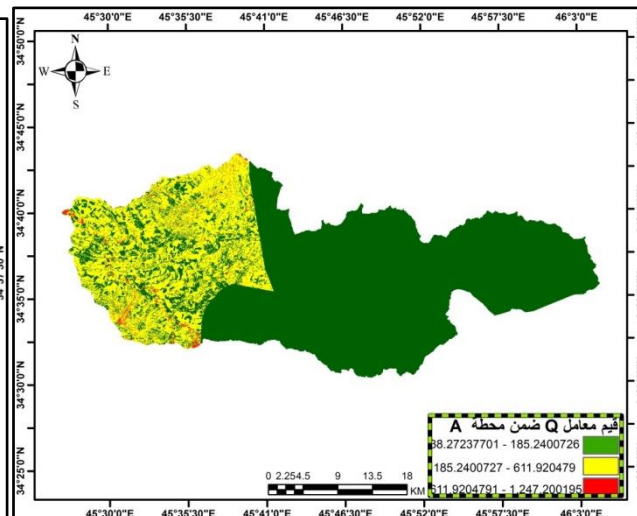
خريطة (٦٧ ج) عمق الجريان السطحي في حوض زلكه كن



خريطة (٦٧ هـ) عمق الجريان السطحي في حوض بانزمين



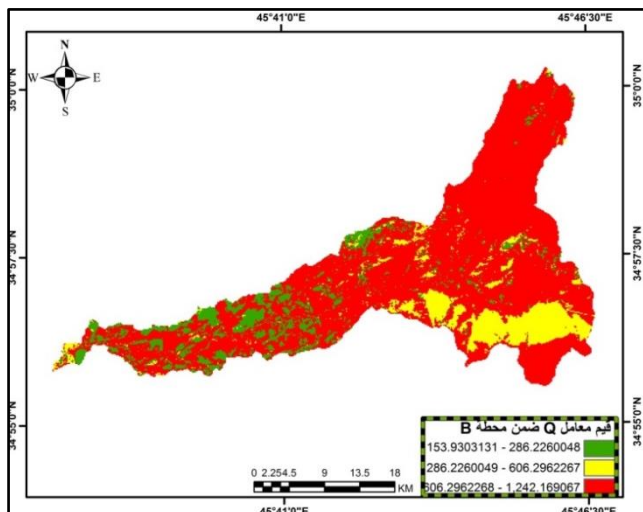
خريطة (٦٧ ج) عمق الجريان السطحي في حوض قورة تو



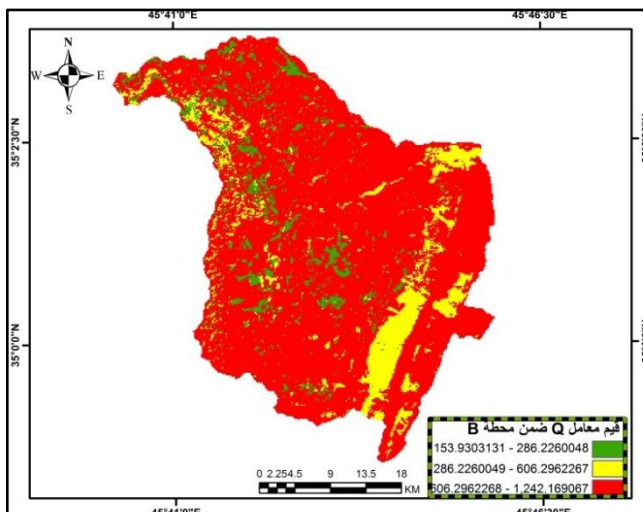
المصدر: من عمل الباحثة بالاعتماد على نتائج المعادلة (Q) استخدام مخرجات برنامج الـ (Arc Gis arc map10.4.1).

الفصل الثالث تقدير الجريان السطحي ضمن منطقة الدراسة

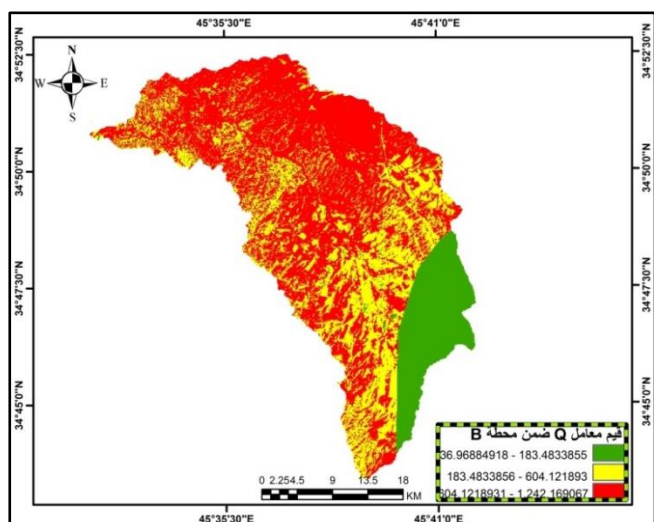
خريطة (٦٨ هـ) عمق الجريان السطحي في حوض كونكل



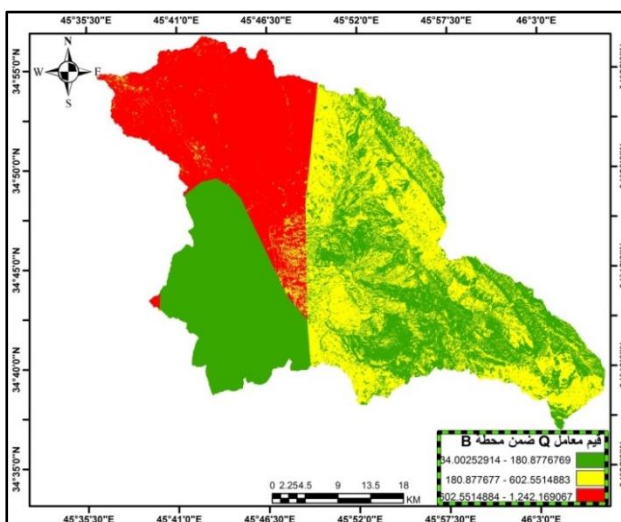
خريطة (٦٨ ج) عمق الجريان السطحي في حوض أوبر



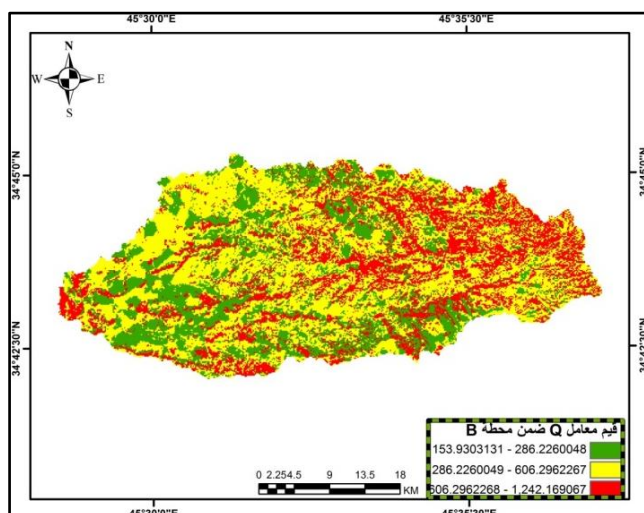
خريطة (٦٨ هـ) عمق الجريان السطحي في حوض خوخور



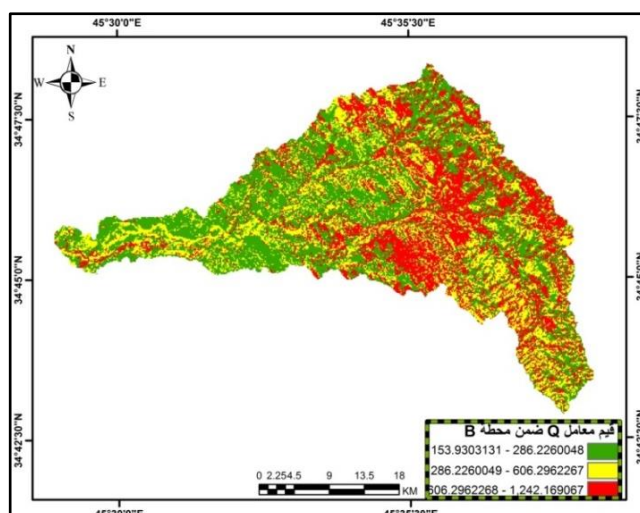
خريطة (٦٨ ج) عمق الجريان السطحي في حوض عباسان



خريطة (٦٨ هـ) عمق الجريان السطحي في حوض سي حران



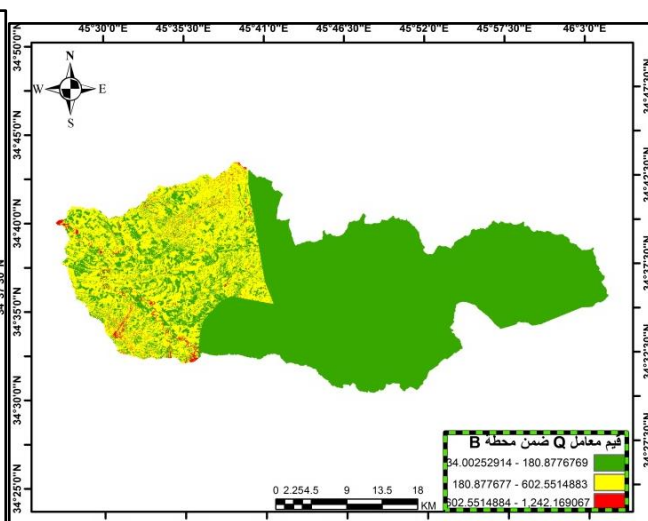
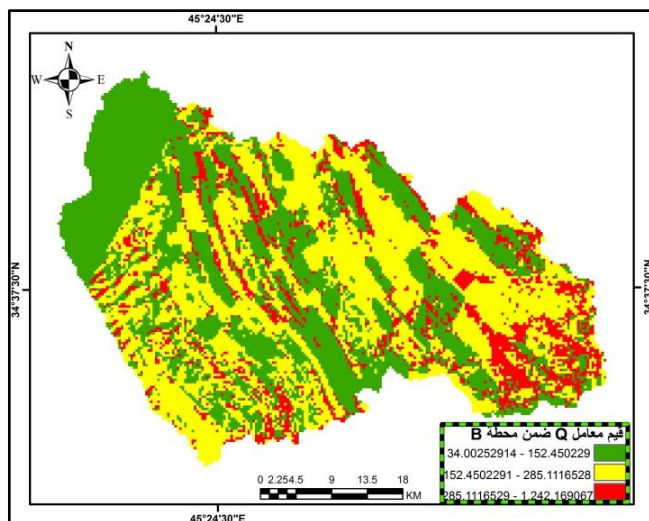
خريطة (٦٨ ج) عمق الجريان السطحي في حوض زلكه كن



الفصل الثالث تقدير الجريان السطحي ضمن منطقة الدراسة

خريطة (٦٨ هـ) عمق الجريان السطحي في حوض بانزيمين

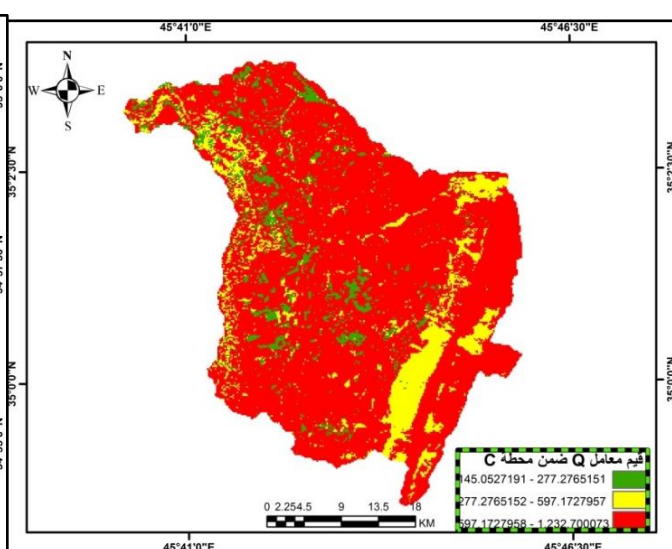
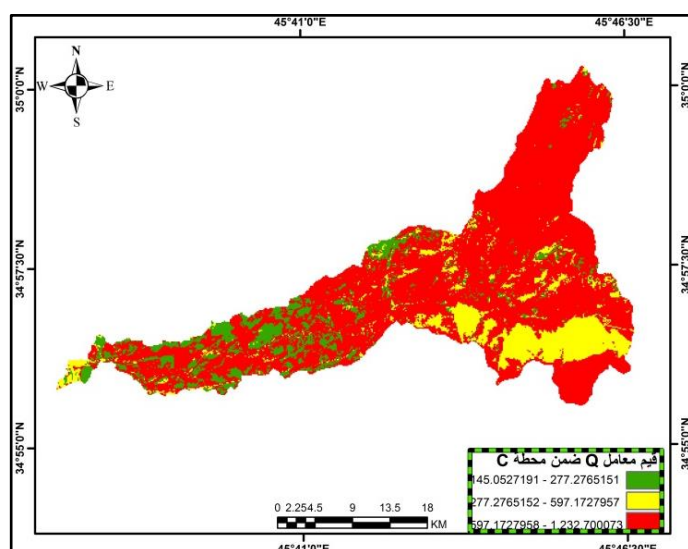
خريطة (٦٨ ج) عمق الجريان السطحي في حوض قورة تو



المصدر: من عمل الباحثة بالاعتماد على نتائج المعادلة الـ (Q) استخدام مخرجات برنامج الـ (Arc Gis arc map10.4.1).

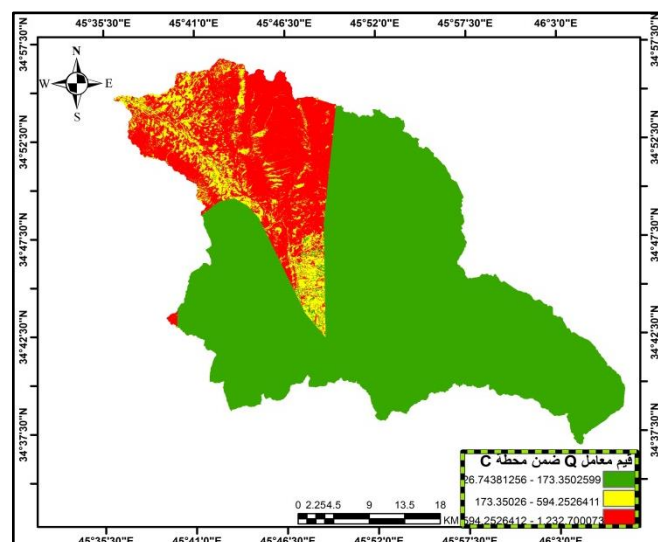
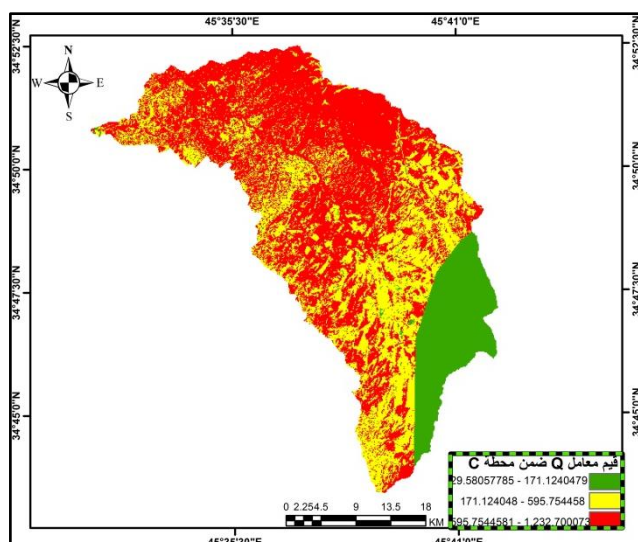
خريطة (٦٩ هـ) عمق الجريان السطحي في حوض كونكل

خريطة (٦٩ ج) عمق الجريان السطحي في حوض أوبر



خريطة (٦٩ هـ) عمق الجريان السطحي في حوض خورخور

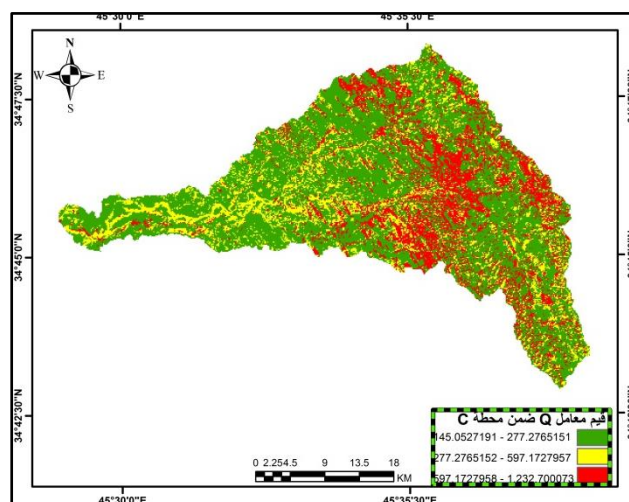
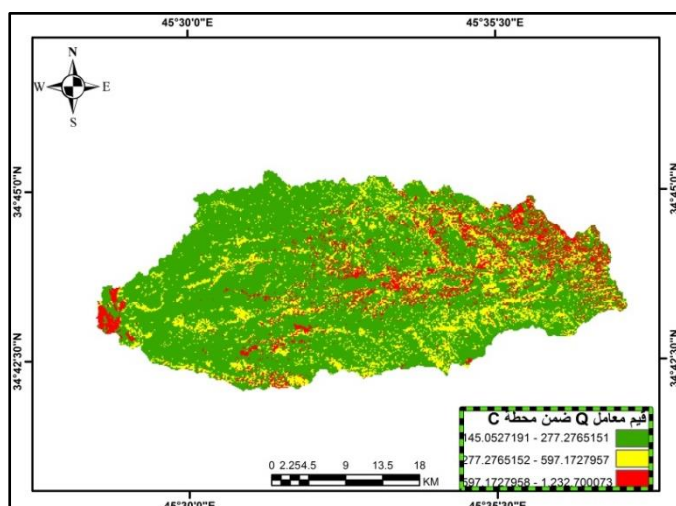
خريطة (٦٩ ج) عمق الجريان السطحي في حوض عباسان



الفصل الثالث تقدير الجريان السطحي ضمن منطقة الدراسة

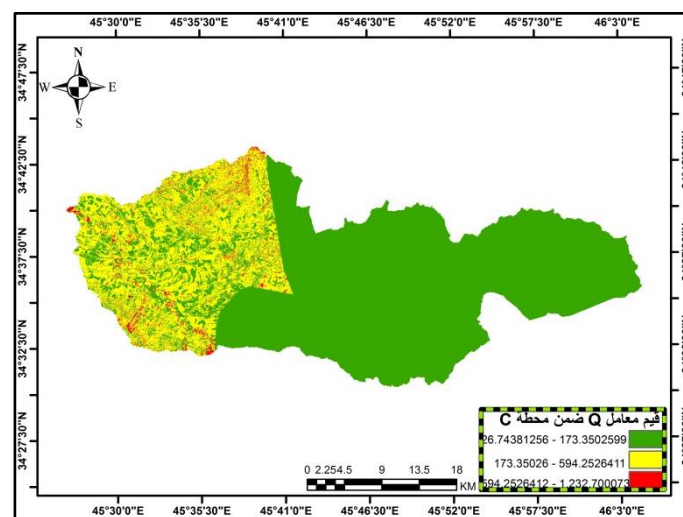
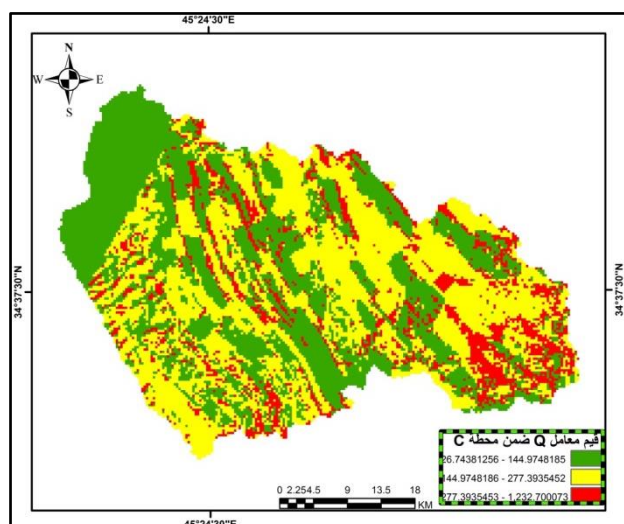
خريطة (٦٩ هـ) عمق الجريان السطحي في حوض سي حران

خريطة (٦٩ ج) عمق الجريان السطحي في حوض زلكه كن



خريطة (٦٩ هـ) عمق الجريان السطحي في حوض قورةتو

خريطة (٦٩ ج) عمق الجريان السطحي في حوض قورةتو



المصدر: من عمل الباحثة بالاعتماد على نتائج المعادلة (Q) استخدام مخرجات برنامج الـ (Arc Gis arc map10.4.1).

جدول (٨٤) عمق الجريان السطحي الناتج عن العاصفة المطرية الساقطة ضمن المحطة (A و B و C) بتاريخ ٢٠١٨/٤/١١ لأحواض المنطقة

الأحواض	عمق الجريان السطحي/ملم ضمن المحطة A	عمق الجريان السطحي/ملم ضمن المحطة B	عمق الجريان السطحي/ملم ضمن المحطة C
أوير	٢٩١.٠٨ - ١٥٨.٧٦	٢٨٦.٢٢ - ١٥٣.٩٣	٢٧٧.٢٧٦ - ١٤٥.٠٥٢
أوير	٦١١.٢١ - ٢٩١.٠٩	٦٠٦.٢٩ - ٢٨٦.٢٣	٥٩٧.١٧٢ - ٢٧٧.٢٧٧
	١,٢٤٧.٢٠ - ٦١١.٢٢	١,٢٤٢.١٦ - ٦٠٦.٣٠	١,٢٣٢.٧٠٠ - ٥٩٧.١٧٣
كونكل	٢٩١.٠٨١ - ١٥٨.٧٦١	٢٨٦.٢٢ - ٩٣	٢٧٧.٢٧٦ - ١٤٥.٠٥٢
	٦١١.٢١ - ٢٩١.٠٨٢	٦٠٦.٢٩ - ٢٨٦.٢٣	٥٩٧.١٧٢ - ٢٧٧.٢٧٧
	١,٢٤٧.٢٠ - ٦١١.٢٢	١,٢٤٢.١٦ - ٦٠٦.٣٠	١,٢٣٢.٧٠٠ - ٥٩٧.١٧٣

الفصل الثالث

تقدير الجريان السطحي ضمن منطقة الدراسة

عباسان	١٨٥.٢٠ - ٣٨.٢٧ ٦١١.٩٢ - ١٨٥.٢١ ١,٢٤٧.٢٠ - ٦١١.٩٣	١٨٠.٨٧٧ - ٣٤.٠٠٢ ٦٠٢.٥٥١ - ١٨٠.٨٧٨ ١,٢٤٢.١٦ - ٦٠٢.٥٥٢	١٧٣.٣٥٠ - ٢٦.٧٤٣ ٥٩٤.٢٥٢ - ١٧٣.٣٥١ ١,٢٣٢.٧٠٣ - ٥٩٤.٢٥٣
خورخور	١٨٧.٨٨ - ٤١.٢٨ ٦٠٨.٧٨ - ١٨٧.٨٩ ١,٢٤٧.٢٠ - ٦٠٨.٧٨	١٨٣.٤٨٣ - ٣٦.٩٦٨ ٦٠٤.١٢١ - ١٨٣.٤٨٤ ١,٢٤٢.١٦٩ - ٦٠٤.١٢٢	١٧١.١٢٤ - ٢٩.٥٨٠ ٥٩٥.٧٥٤ - ١٧١.١٢٤ ١,٢٣٢.٧٠٠ - ٥٩٥.٧٥٥
زلكه كن	٢٩١.٠٨١ - ١٥٨.٧٦١ ٦١١.٢١ - ٢٩١.٠٨٢ ١,٢٤٧.٢٠ - ٦١١.٢٢	٢٨٦.٢٢ - ٩٣ ٦٠٦.٢٩ - ٢٨٦.٢٣ ١,٢٤٢.١٦٩ - ٦٠٦.٣٠	٢٧٧.٢٧٦ - ١٤٥.٠٥٢ ٥٩٧.١٧٢ - ٢٧٧.٢٧٧ ١,٢٣٢.٧٠٠ - ٥٩٧.١٧٣
سي حران	٢٩١.٠٨١ - ١٥٨.٧٦١ ٦١١.٢١ - ٢٩١.٠٨٢ ١,٢٤٧.٢٠ - ٦١١.٢٢	٢٨٦.٢٢ - ٩٣ ٦٠٦.٢٩ - ٢٨٦.٢٣ ١,٢٤٢.١٦٩ - ٦٠٦.٣٠	٢٧٧.٢٧٦ - ١٤٥.٠٥٢ ٥٩٧.١٧٢ - ٢٧٧.٢٧٧ ١,٢٣٢.٧٠٠ - ٥٩٧.١٧٣
قورة نو	١٨٥.٢٠ - ٣٨.٢٧ ٦١١.٩٢ - ١٨٥.٢١ ١,٢٤٧.٢٠ - ٦١١.٩٣	١٨٠.٨٧٧ - ٣٤.٠٠٢ ٦٠٢.٥٥١ - ١٨٠.٨٧٨ ١,٢٤٢.١٦ - ٦٠٢.٥٥٢	١٧٣.٣٥٠ - ٢٦.٧٤٣ ٥٩٤.٢٥٢ - ١٧٣.٣٥١ ١,٢٣٢.٧٠٣ - ٥٩٤.٢٥٣
بانزمين	١٥٦.٧٩ - ٣٨.٢٧ ٢٩٤.٢٨ - ١٥٦.٨٠ ١,٢٤٧.٢٠ - ٢٩٤.٢٩	١٥٢.٤٥٠ - ٣٤.٠٠٢ ٢٨٥.١١١ - ١٥٢.٤٥١ ١,٢٤٢.١٦٩ - ٢٨٥.١١٢	١٤٤.٩٧٤ - ٢٦.٧٤٣ ٢٧٧.٣٩٣ - ١٤٤.٩٧٥ ١,٢٣٢.٧٠٠ - ٢٧٧.٣٩٤

المصدر: من عمل الباحثة بالاعتماد على الخرائط (٦٧، ٦٨، ٦٩ أ.ب. ت. ث. ج. ح. خ. هـ).

٣-٢-٦. تقدير حجم الجريان السطحي (QV):

يعبر عن حجم الجريان السطحي Runoff Volume عن مجموع الجريان السطحي الى مساحة الحوض، إذ يساعد في التعرف على الاماكن الأكثر عرضة لغمر المياه، ووفقاً لحسابات عمق الجريان السطحي أمكن تقدير حجم الجريان في أحواض المنطقة من خلال تحويل طبقة عمق الجريان المستخرجة اعتماداً على مجموع كمية الامطار السنوية وكذلك المستخرجة على أساس أعلى شدة مطرية ساقطة في المنطقة، وذلك من خلال وظيفة (Raster Calculator) داخل بيئة (ArcGis10.4) الى طبقة أخرى تحتوي على قيم حجم الجريان السطحي لكل خلية في الأحواض من خلال تطبيق المعادلة الآتية^(١):

$$Qv = Q * \frac{A}{1000}$$

اذ تمثل:

Qv = حجم الجريان السطحي م^٣

Q = عمق الجريان / ملم

A = مساحة الحوض / كم^٢

١٠٠٠ = معامل التحويل لكي تكون النتائج النهائية بالمتري المكعب.

١ (دلي خلف حميد ، التحليل المكاني لتقدير حجم الجريان السطحي لحوض (وادي الفضا) في شمال شرق العراق باستخدام نظم المعلومات الجغرافية GIS ، مجلة أداب الفراهيدي ، العدد (٢٥) ، ٢٠١٦ ، ص ٣١٣ .

وكذلك من خلال تطبيق قيم عمق الجريان المحسوبة على أساس الشدات المطرية الساقطة بتاريخ ٢٠١٨/٤/١١ ضمن المحطات الرصد المناخية (A,B,C)، إذ نجد إن هناك تباين في حجم الجريان السطحي لآحواض المنطقة لذا فقد قسمت إلى ثلاث فئات في جميع الآحواض كما في الخريطة (٧٠ و ٧١ و ٧٢-أ-ب-ت-ث-ج-ح-خ-هـ) والجدول (٨٥)، وكما يلي:

• **حوض أوبر:** شغلت أعلى القيم لحجم الجريان السطحي أغلب أجزاء الحوض والتي تراوحت بين (٢٧.٧٤٨ - ٥٦.٦٢٢) م^٣ و (٢٧.٥٢٥ - ٥٦.٣٩٤) م^٣ و (٢٧.١١١ - ٥٥.٩٦٤) م^٣ التي سجلت ضمن محطات الرصد المناخي (A و B و C) على التوالي.

حوض كونكل: سادت أعلى القيم أغلب أراضي هذا الحوض والتي تراوحت بين (٢٥.٣٦٥ - ٥١.٧٥٨) و (٢٥.١٦١ - ٥١.٥٥٠) م^٣ و (٢٥.١٦١ - ٥١.٥٥٠) م^٣ و (١١.٥٠٦ - ٢٤.٧٨٢) م^٣ التي سجلت ضمن محطات الرصد المناخي (A و B و C) على التوالي.

• **حوض عباسان:** ظهرت أعلى القيم ضمن الجهات الشمالية والشمالية الغربية للحوض والتي تراوحت بين (٥٢٢.٣٩٦ - ١,٠٦٤.٧٣) م^٣ و (٥٠٧.٣ - ١,٠٥٢.٣٥) م^٣ و (٥٠٧.٣١٣ - ١,٠٥٢.٣٥) م^٣ التي سجلت ضمن محطات الرصد المناخي (A و B و C) على التوالي.

• **حوض خورخور:** شغلت قيم حجم الجريان السطحي المرتفعة أغلب أجزاء الحوض الناتجة عن الشدات المطرية الساقطة والتي سجلت ضمن محطات الرصد المناخي (A و B و C) والتي تراوحت بين (٦٤.٧٧٣ - ١٣٢.٧٠٢) م^٣ و (٦٤.٢٧٨ - ١٣٢.١٦٦) م^٣ و (٦٣.٣٨٨ - ١٣١.١٥٩) م^٣ على التوالي .

• **حوض زلكه كن:** سادت الأراضي التي تتصف بحجم جريان عالي أجزاء قليلة من الحوض والتي تراوحت قيمها بين (٣٤.٨٣٨ - ٧١.٠٩٠٤) م^٣ و (٣٤.٥٥٨ - ٧٠.٨٠٣) م^٣ و (٣٤.٠٣٨٨ - ٧٠.٢٦٣) م^٣ والتي سجلت ضمن محطات الرصد المناخي (A و B و C) على التوالي.

• **حوض سي حران:** شغلت القيم المرتفعة والتي سجلت ضمن محطات الرصد المناخي (A و B و C) أجزاء قليلة من أراضي الحوض وخاصة عند المنابع العليا للحوض، وقد تراوحت بين (٣٥.٢٦٦ - ٧١.٩٦٣) م^٣ و (٣٤.٩٨٣ - ٧١.٦٧٣) م^٣ و (٣٤.٤٥٦ - ٧١.١٢٦) م^٣ على التوالي.

• **حوض قورة تو:** تمثلت القيم المرتفعة بمساحات صغيرة جداً والتي سادت ضمن الأراضي القريبة من المصب أي بالقرب من ضفاف نهر ديالى والتي تراوحت بين (٤٧٢.٩٥٣ - ٩٦٣.٩٦١) م^٣ و (٤٦٥.٧١٢ - ٩٦٠.٠٧٢) م^٣ و (٤٥٩.٢٩٧ - ٩٥٢.٧٥٣) م^٣ والتي سجلت ضمن محطات الرصد المناخي (A و B و C) على التوالي.

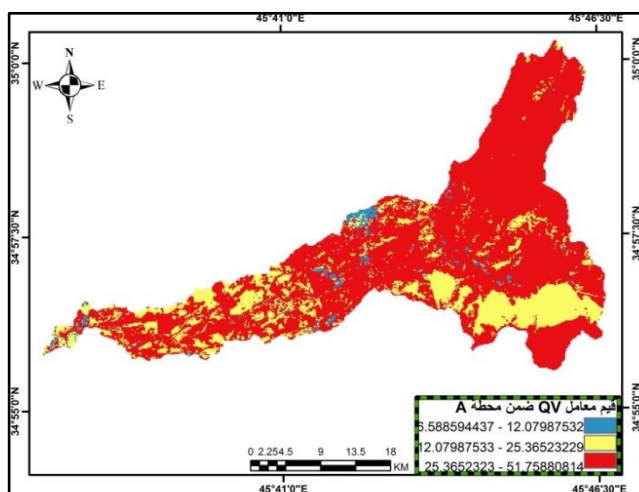
• **حوض بانزمين:** ظهرت قيم حجم الجريان السطحي المرتفعة والتي سجلت ضمن محطات الرصد المناخي (A و B و C) أجزاء متفرقة من الحوض، وقد تراوحت بين (٥.٦٥٠ - ٢٣.٩٤٦) م^٣ ضمن المحطة A و (٥.٥٦٥ - ٢٣.٨٤٩) م^٣ ضمن المحطة B و (٥.٣٢٥ - ٢٣.٦٦٧) م^٣ ضمن المحطة C .

الفصل الثالث

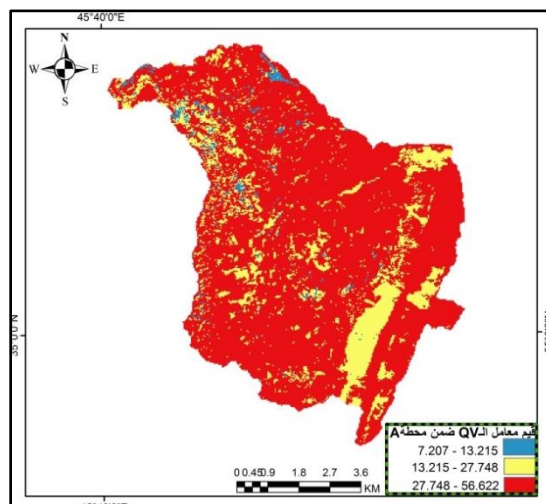
تقدير الجريان السطحي ضمن منطقة الدراسة

أتضح من التحليل السابق لحجم الجريان السطحي في أحواض المنطقة إن هناك تباين في توزيع قيمه وذلك تبعاً للظروف المناخية ومعدل الامطار الساقطة فضلا عن تباين طبيعة المنكشفات الصخرية وانحدار المنطقة، فقد كانت الاحواض عباسان وقورة تو تغطي أغلب اراضيها جريان سطحي ذات حجم منخفض ولاسيما عند منابعهما وذلك بسبب سعة مساحتهما وطول المجاري المائية فيهما مقارنة مع بقية الاحواض فقد سادت أراضيها حجم جريان سطحي عالي في أغلب جهاتها.

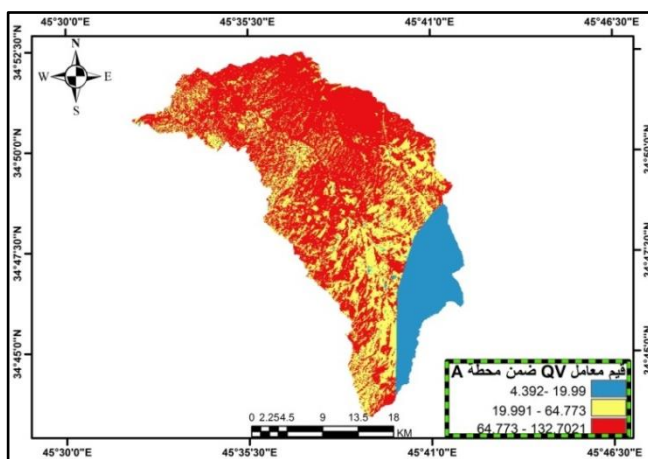
خريطة (٧٠ ب) حجم الجريان السطحي في حوض كونكل



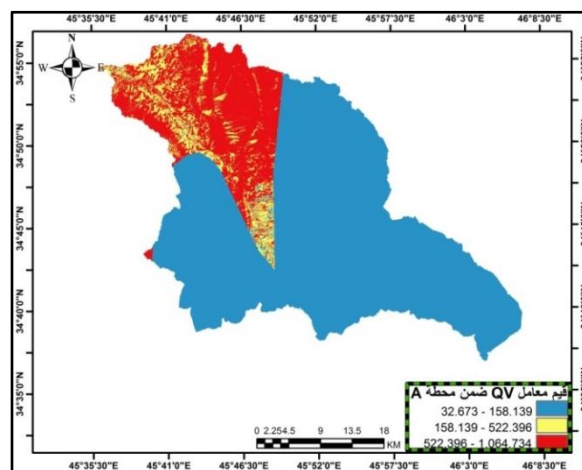
خريطة (٧٠ أ) حجم الجريان السطحي في حوض أوبر



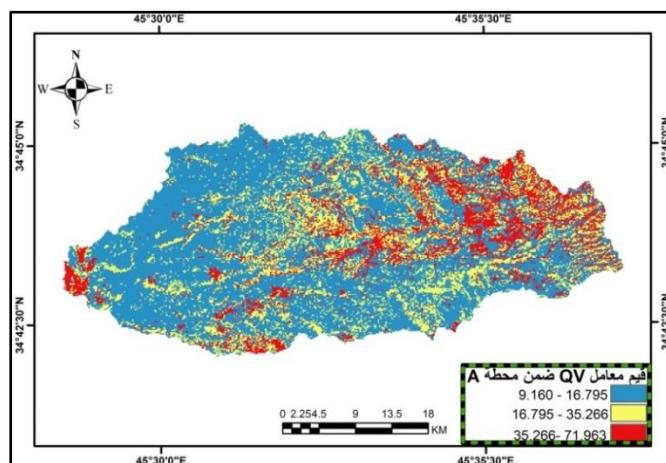
خريطة (٧٠ ث) حجم الجريان السطحي في حوض خورخور



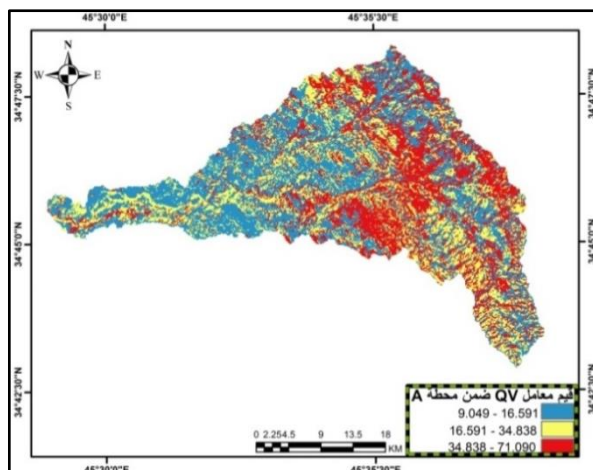
خريطة (٧٠ ت) حجم الجريان السطحي في حوض عباسان



خريطة (٧٠ ج) حجم الجريان السطحي في حوض سي حران

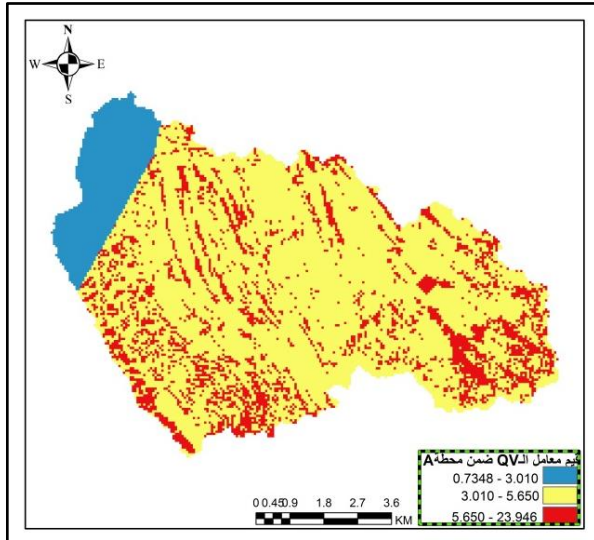


خريطة (٧٠ د) حجم الجريان السطحي في حوض زلكه كن

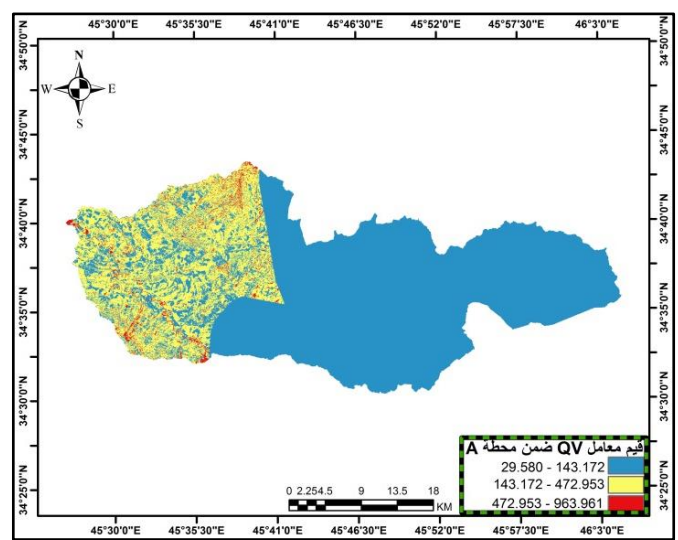


الفصل الثالث تقدير الجريان السطحي ضمن منطقة الدراسة

خريطة (٧٠ هـ) حجم الجريان السطحي في حوض بانزمين

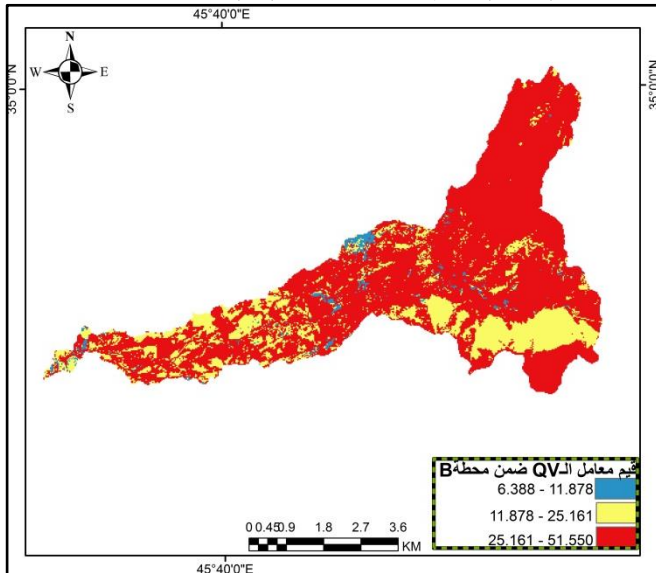


خريطة (٧٠ خ) حجم الجريان السطحي في حوض قورة تو

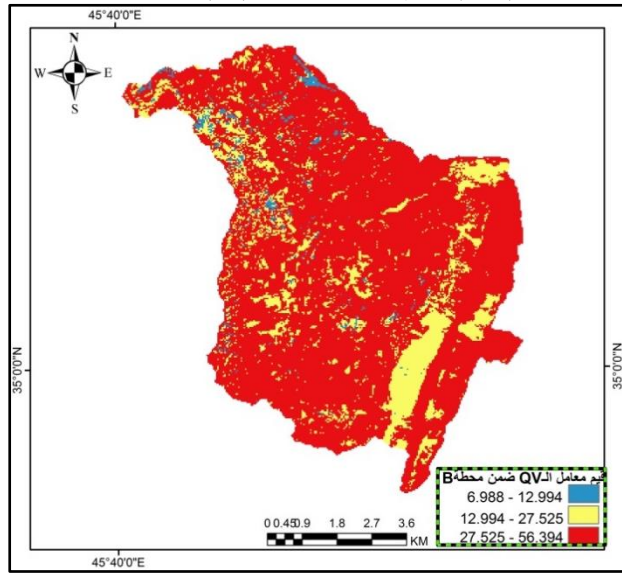


المصدر: من عمل الباحثة بالاعتماد على نتائج المعادلة الـ (QV) استخدام مخرجات برنامج الـ (Arc Gis arc map10.4.1).

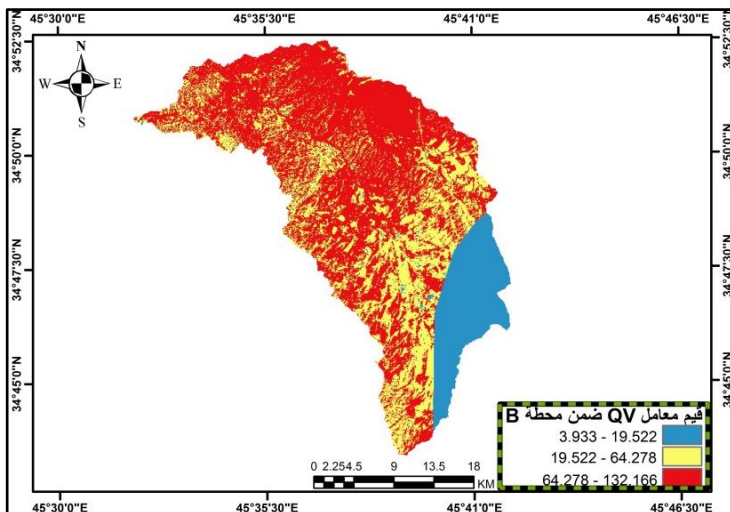
خريطة (٧١ ب) حجم الجريان السطحي في حوض كونكل



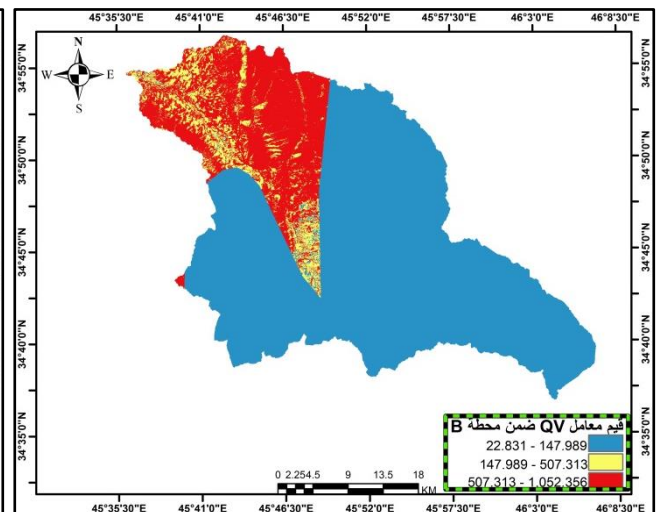
خريطة (٧١ أ) حجم الجريان السطحي في حوض أوبر



خريطة (٧١ ث) حجم الجريان السطحي في حوض خورخور

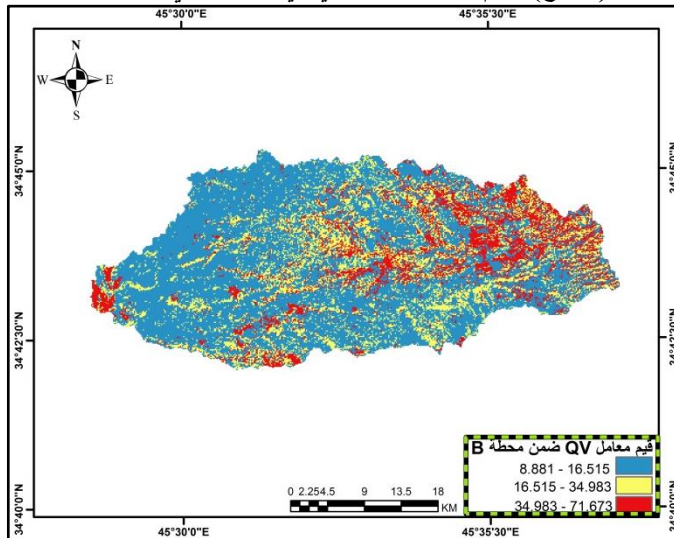


خريطة (٧١ ج) حجم الجريان السطحي في حوض عباسان

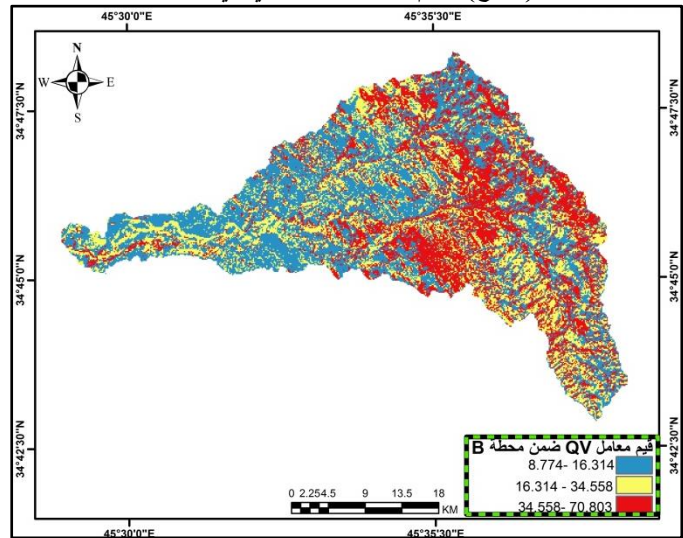


الفصل الثالث تقدير الجريان السطحي ضمن منطقة الدراسة

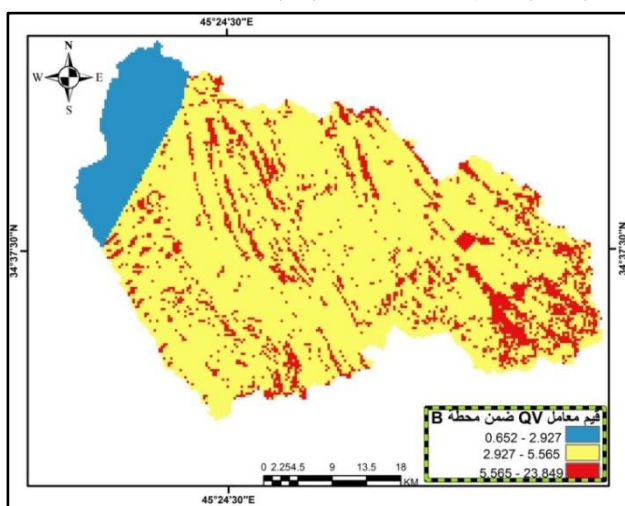
خريطة (٧١ ج) حجم الجريان السطحي في حوض سي حران



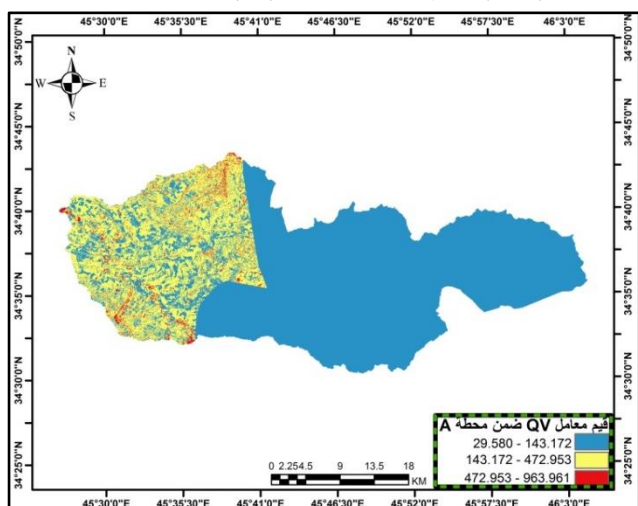
خريطة (٧١ ج) حجم الجريان السطحي في حوض زلكه كن



خريطة (٧١ هـ) حجم الجريان السطحي في حوض بانزميزن

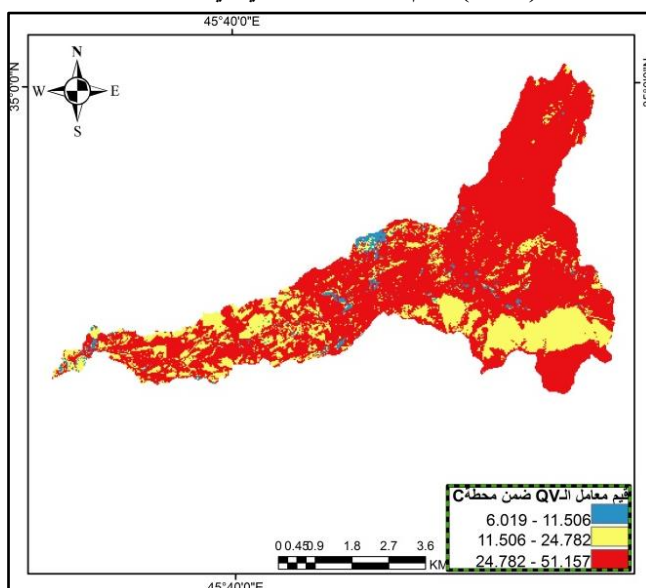


خريطة (٧١ خ) حجم الجريان السطحي في حوض قورة تو

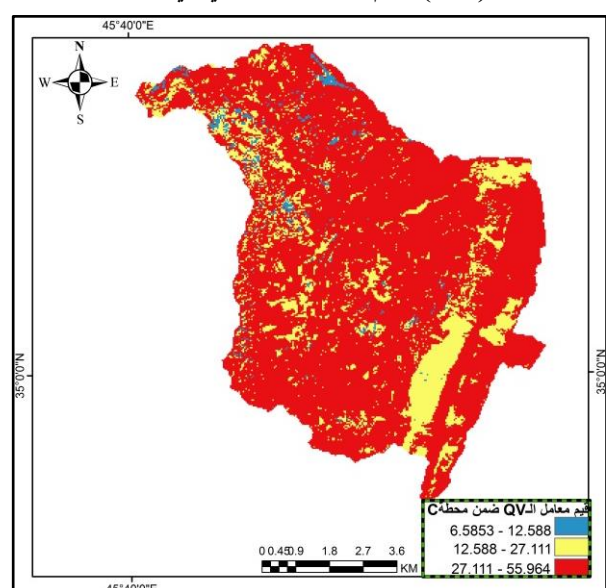


المصدر: من عمل الباحثة بالاعتماد على نتائج المعادلة (QV) استخدام مخرجات برنامج الـ (Arc Gis arc map 10.4.1).

خريطة (٧٢ ب) حجم الجريان السطحي في حوض كونكل

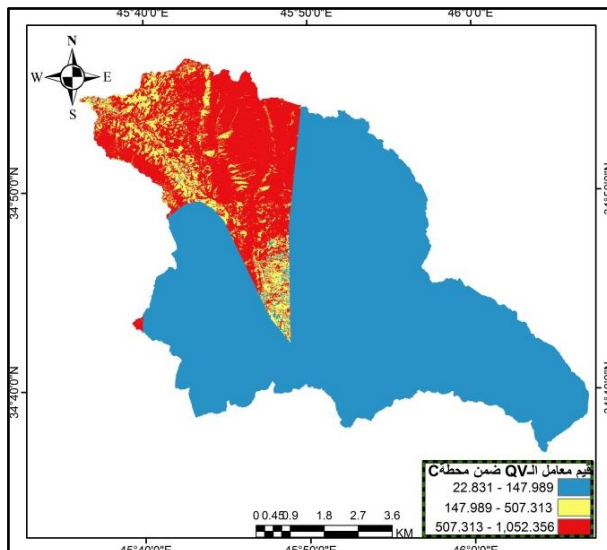
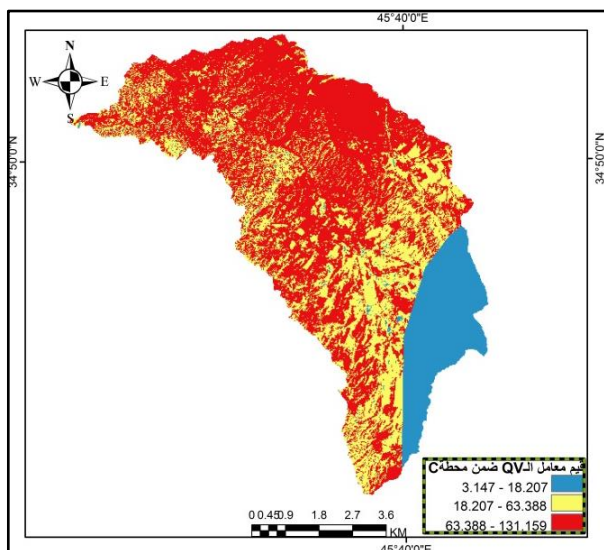


خريطة (٧٢ أ) حجم الجريان السطحي في حوض أوبر

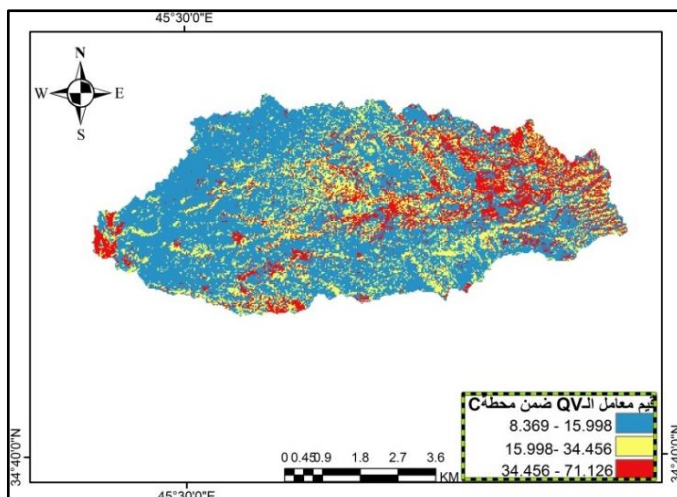


الفصل الثالث تقدير الجريان السطحي ضمن منطقة الدراسة

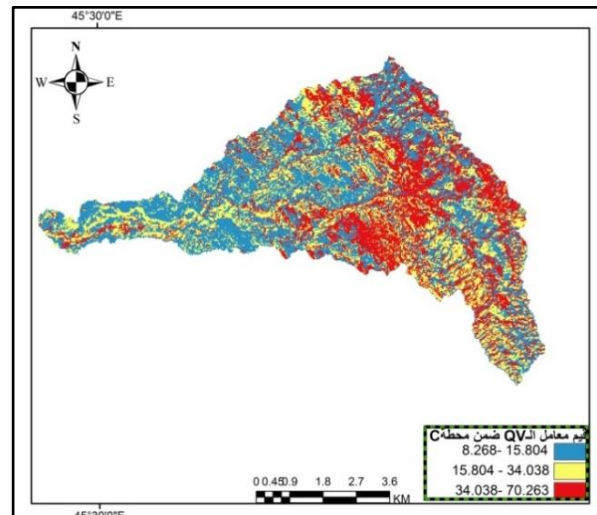
خريطة (٧٢ت) حجم الجريان السطحي في حوض خورخور



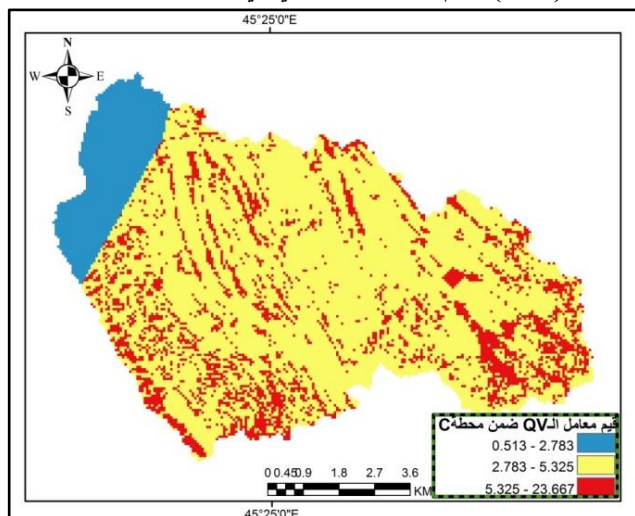
خريطة (٧٢ح) حجم الجريان السطحي في حوض سي حران



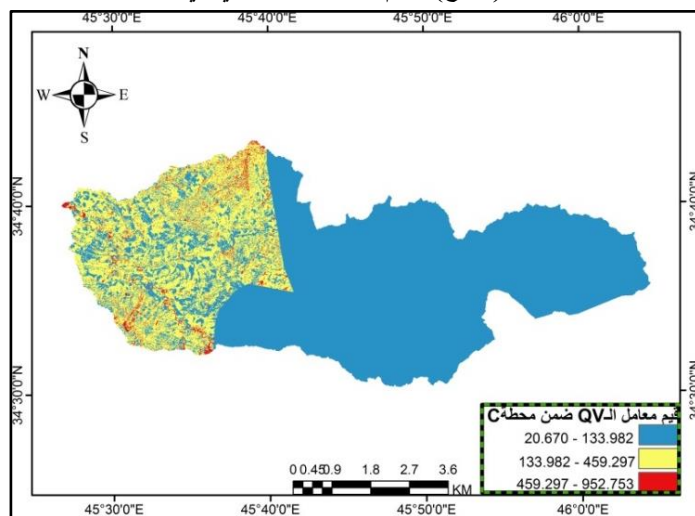
خريطة (٧٢ج) حجم الجريان السطحي في حوض زلكه كن



خريطة (٧٢هـ) حجم الجريان السطحي في حوض بانزمين



خريطة (٧٢ح) حجم الجريان السطحي في حوض عباسان



المصدر: من عمل الباحثة بالاعتماد على نتائج المعادلة (QV) استخدام مخرجات برنامج (Arc Gis arc map 10.4.1).

الفصل الثالث تقدير الجريان السطحي ضمن منطقة الدراسة

جدول (٨٥) الجريان السطحي الناتج عن العاصفة المطرية الساقطة ضمن المحطة (C و B و A) بتاريخ ٢٠١٨/٤/١١ لأحواض المنطقة

أحواض	حجم الجريان السطحي/ملم ضمن المحطة A	حجم الجريان السطحي/ملم ضمن المحطة B	حجم الجريان السطحي/ملم ضمن المحطة C
أوبر أوبر	١٣.٢١٥ - ٧.٢٠٧ ٢٧.٧٤٨ - ١٣.٢١٥ ٥٦.٦٢٢ - ٢٧.٧٤٨	١٢.٩٩٤ - ٦.٩٨٨ ٢٧.٥٢٥ - ١٢.٩٩٤ ٥٦.٣٩٤ - ٢٧.٥٢٥	١٢.٥٨٨ - ٦.٥٨٥ ٢٧.١١١ - ١٢.٥٨٨ ٥٥.٩٦٤ - ٢٧.١١١
كونكل	١٢.٠٧٩٨ - ٦.٥٨٨ ٢٥.٣٦٥ - ١٢.٠٧٩٨ ٥١.٧٥٨ - ٢٥.٣٦٥	١١.٨٧٨ - ٦.٣٨٨ ٢٥.١٦١ - ١١.٨٧٨ ٥١.٥٥٠ - ٢٥.١٦١	١١.٥٠٦ - ٦.٠١٩٦ ٢٤.٧٨٢ - ١١.٥٠٦ ٢٤.٧٨٢ - ١١.٥٠٦
عباسان	١٥٨.١٣٩ - ٣٢.٦٧٣ ٥٢٢.٣٩٦ - ١٥٨.١٣٩ ١,٠٦٤.٧٣ - ٥٢٢.٣٩٦	١٤٧.٩٨٩ - ٢٢.٨٣١ ٥٠٧.٣ - ١٤٧.٩٨٩ ١,٠٥٢.٣٥ - ٥٠٧.٣	١٤٧.٩٨٩ - ٢٢.٨٣١ ٥٠٧.٣١٣ - ١٤٧.٩٨٩ ١,٠٥٢.٣٥ - ٥٠٧.٣١٣
خورخور	١٩.٩٩١ - ٤.٣٩٢ ٦٤.٧٧٣ - ١٩.٩٩١ ١٣٢.٧٠٢ - ٦٤.٧٧٣	١٩.٥٢٢ - ٣.٩٣٣ ٦٤.٢٧٨ - ١٩.٥٢٢ ١٣٢.١٦٦ - ٦٤.٢٧٨	١٨.٢٠٧ - ٣.١٤٧٣ ٦٣.٣٨٨ - ١٨.٢٠٧ ١٣١.١٥٩ - ٦٣.٣٨٨
زلكه كن	١٦.٥٩١ - ٩.٠٤٩ ٣٤.٨٣٨ - ١٦.٥٩١ ٧١.٠٩٠٤ - ٣٤.٨٣٨	١٦.٣١٤ - ٨.٧٧٤ ٣٤.٥٥٨ - ١٦.٣١٤ ٧٠.٨٠٣ - ٣٤.٥٥٨	١٥.٨٠٤ - ٨.٢٦٨٠ ٣٤.٠٣٨٨ - ١٥.٨٠٤ ٧٠.٢٦٣ - ٣٤.٠٣٨٨
سي حران	١٦.٧٩٥٣ - ٩.١٦٠ ٣٥.٢٦٦ - ١٦.٧٩٥ ٧١.٩٦٣ - ٣٥.٢٦٦	١٦.٥١٥ - ٨.٨٨١ ٣٤.٩٨٣ - ١٦.٥١٥ ٧١.٦٧٣ - ٣٤.٩٨٣	١٥.٩٩٨ - ٨.٣٦٩ ٣٤.٤٥٦ - ١٥.٩٩٨ ٧١.١٢٦ - ٣٤.٤٥٦
قورة تو	١٤٣.١٧٢ - ٢٩.٥٨٠ ٤٧٢.٩٥٣ - ١٤٣.١٧٢ ٩٦٣.٩٦١ - ٤٧٢.٩٥٣	١٣٩.٨٠٠ - ٢٦.٢٨٠ ٤٦٥.٧١٢ - ١٣٩.٨٠٠ ٩٦٠.٠٧٢ - ٤٦٥.٧١٢	١٣٣.٩٨٢ - ٢٠.٦٧٠ ٤٥٩.٢٩٧ - ١٣٣.٩٨٢ ٩٥٢.٧٥٣ - ٤٥٩.٢٩٧
بانزمين	٣.٠١٠٤ - ٠.٧٣٤ ٥.٦٥٠ - ٣.٠١٠٤ ٢٣.٩٤٦ - ٥.٦٥٠	٢.٩٢٧.٤٤٣٨٧ - ٠.٦٥٢ ٥.٥٦٥ - ٢.٩٢٧ ٢٣.٨٤٩ - ٥.٥٦٥	٢.٧٨٣ - ٠.٥١٣ ٥.٣٢٥ - ٢.٧٨٣ ٢٣.٦٦٧ - ٥.٣٢٥

المصدر: من عمل الباحثة بالاعتماد على خريطة (٧٠, ٧١, ٧٢ أ.ب. ت. ث. ج. ح. خ. هـ).

الفصل الرابع

أثر المخاطر الجيومورفية ومخاطر السيول على إستعمالات
الأرض ضمن منطقة الدراسة

تمهيد:

تعد المخاطر الجيومورفية Geomorphic Hazards من أبرز مظاهر الكوارث الطبيعية التي تحدث في المنطقة وهذا ما لوحظ خلال السنوات الاخيرة نتيجة لتأثير عدة عوامل منها مناخية أو جيولوجية أو بشرية وما يرتبط بها من عمليات جيومورفولوجية، وتختلف درجات خطورتها وتأثيرها من مكان لآخر، فيكون لها تأثير مباشر أو غير مباشر على الارواح والممتلكات وعلى النشاط البشري لسكان المنطقة.

تتنوع المخاطر الطبيعية ضمن منطقة الدراسة والتي تمثلت بالمخاطر المورفوتكتونية والمورفوديناميكية والمورفومناخية فمنها تكون سريعة وهدامة مثل السيول والزلازل والتي تنجم عنها إنجراف التربة وحدوث انزلاقات وإنهيارات صخرية وهبوط أرضي، وتعد كمية الامطار الساقطة من المتغيرات الرئيسية المؤثرة على ذروة التدفق الذي يؤدي الى زيادة نشاط التعرية المائية ضمن أحواض المنطقة، حيث يكون للشدات المطرية أثر كبير في ذلك، كما إن لخصائص أحواض الاودية المرتبطة بطبيعة التكوينات الجيولوجية والانحدار وإتجاهه ونوع التربة فضلاً عن طبيعة الغطاء الارضي، كل هذه العوامل هي المتحكمة في تحديد نسبة المخاطر الجيومورفية التي من الممكن أن تحدث في المنطقة^(١)، وقد تم عمل أنموذج لكل نوع من المخاطر وكما يلي:

٤-١. تصميم أنموذج للمخاطر الجيومورفية في منطقة الدراسة:

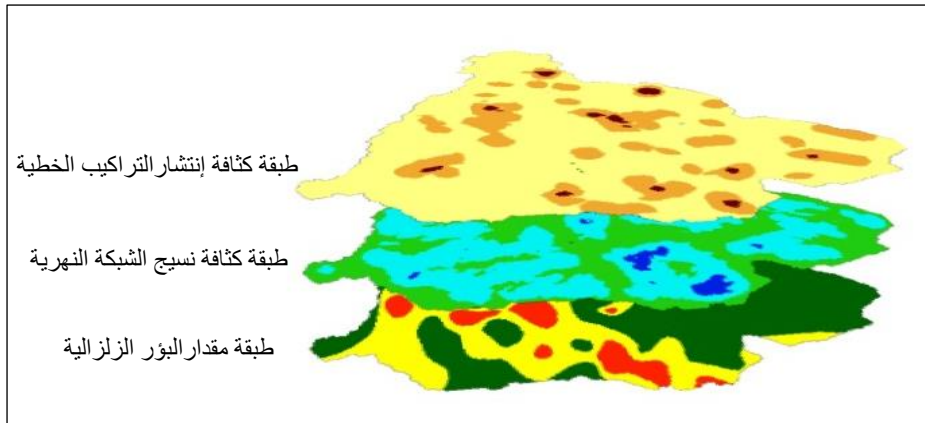
إن القيام بتصميم أنموذج يحاكي الواقع يمكننا من فهم موقف محدد أو يتنبأ بحدوث تغيير في النتائج المستقبلية الناتجة من نشاط ما، إذ هو مجموعة من الخطوات والقواعد بما فيها القواعد المكانية الخاصة بنظم المعلومات الجغرافية^(٢)، وذلك من خلال الربط بين عمليات النمذجة الكارتوغرافية لمتغيرات محددة وعمليات تحليل البيانات لمنطقة جغرافية معينة، ويعتمد تحليل النماذج المكانية على برمجيات متخصصة تستخدم قاعدة بيانات في نظم المعلومات الجغرافية كأنموذج للواقع وذلك لغرض بيان التوقعات والتنبؤات المستقبلية ووضع الخطط المناسبة لايجاد حلول للمشاكل التي تعاني منها المنطقة^(٣)، لذا من أجل بناء أنموذج خاص بمنطقة الدراسة يوضح درجات الخطورة يتطلب تحديد قاعدة بيانات للعوامل المؤثرة في حدوث المخاطر وتصنيفها داخل بيئة نظم المعلومات الجغرافية حسب درجة خطورتها في المنطقة ، وبذلك فقد تم تصميم عدة نماذج ، وهي كالآتي:

(١) محمد صبري محسوب ومحمد ابراهيم ارباب ، العمليات الجيومورفولوجية، المصدر نفسه، ص ١٠٣ .
(2) Whede, M, Cridcell size in Relation to Errors in Maps and Inventories produced by computerized map processing photogrammetric Engineering and remote sensing, vol.48, 1982, PP1289.
(٣) ثائر مظهر فهمي العزاوي، مدخل الى نظم المعلومات الجغرافية وبياناتها ، دار الحامد، عمان، ٢٠٠٨، ص ١٣٦ .

٤-١-١. نموذج المخاطر المورفوتكتونية Morphotectonic Risk Model:

لقد تم تصميم أنموذج يبين مدى الخطورة وآثارها في المنطقة التي تنشأ بسبب عوامل متعددة وذلك من خلال الاعتماد على عدة متغيرات مثل طبقة قاعدة بيانات قوة البؤر الزلزالية وطبقة كثافة التراكيب الخطية فضلاً عن طبقة كثافة شبكة التصريف المائي للمنطقة ، وذلك بأستخدام مخرجات برنامج نظم المعلومات الجغرافية الـ Arc Gis (arcmap10.4.1) وبالاعتماد على الأمر Density ثم الأمر Point density لإستخراج كثافة النسيج لشبكة التصريف المائي وكثافة توزيع التراكيب الخطية في المنطقة فضلاً عن طبقة شدة الخطورة الزلزالية، شكل (٣١)، وقد تم تصنيفها الى ثلاث فئات من خلال الاداة (Reclassify) من صندوق الـ Arc tool Box- (Spatial analyst tool) ، وبعدها قمنا بأعطاء وزن مناسب لكل طبقة تبعاً لتأثير ذلك المتغير في حدوث المخاطر المورفوتكتونية من خلال إعتداد الأمر Overlay ، ومن ثم Weighted Overlay إذ يتم دمج الطبقات بخريطة واحدة تمثل المخاطر المورفوتكتونية في المنطقة .

شكل (٣١) الطبقات المعتمدة لإشتقاق أنموذج المخاطر المورفوتكتونية



المصدر: من عمل الباحثة بإستخدام برنامج الـ Arc GIS (arcScene 10.4).

ومن الخريطة (٧٣) والجدول (٨٦) أتضح هناك تباين في مساحات الاراضي المعرضة للمخاطر المورفوتكتونية وذلك بسبب أختلاف طبيعة البنية الجيولوجية وبالتالي أختلاف طبيعة الصخور من حيث الصلابة ومدى تأثيرها في زيادة فاعلية العمليات المورفوتكتونية. لقد صنفت المخاطر المورفوتكتونية الى ثلاثة أصناف وذلك حسب مستوى خطورتها، وكما يلي:

● المستوى الأول- أراضي قليلة الخطورة:

شكل هذا المستوى من المخاطر المساحة الاكبر والتي بلغت (٢٢٨.٧ كم^٢) أي بنسبة (٥٦.٨ %) من مجموع مساحة الاراضي المعرضة للمخاطر المورفوتكتونية في المنطقة، إذ تمثلت بالاجزاء البعيدة عن مراكز البؤر الزلزالية ذات القوى الشديدة، وكذلك تظهر ضمن التكوينات غير المتماسكة حيث سادت ضمن الاراضي السهل التجميعي قرب المصببات.

الفصل الرابع أثر المخاطر الجيومورفية ومخاطر السيول على إستعمالات الأرض ضمن المنطقة

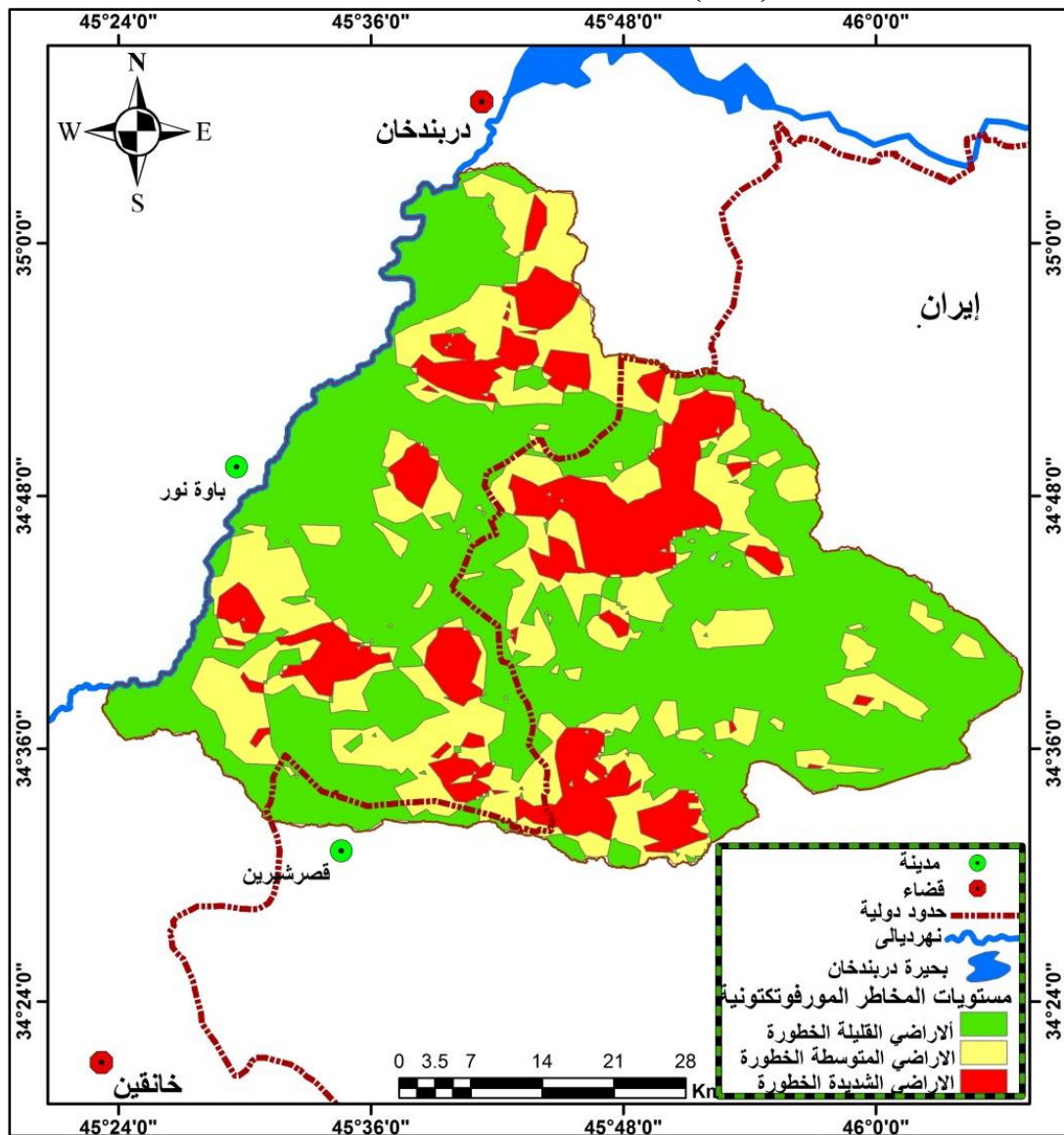
المستوى الثاني- أراضي متوسطة الخطورة:

بلغت مساحة هذه الاراضي (٥٩٩.٣ كم^٢) ونسبة (٢٧.٧ %) من أجمالي مساحة الاراضي المعرضة للمخاطر المورفوتكتونية، توزعت هذه الاراضي بأماكن متفرقة من الجهات الوسطى للمنطقة.

• المستوى الثالث- أراضي شديدة الخطورة:

أمتدت هذه الاراضي قرب السلاسل الجبلية حيث منطقة التقاء الصفيحة العربية مع الصفيحة الفارسية، والتي تميزت بتركيب جيولوجي معقد وتكوينات شديدة الصلابة الامر الذي جعلها عرضة لحدوث المخاطر المورفوتكتونية بشكل مستمر، وقد شغلت أقل مساحة إذ بلغت (٣٣٥ كم^٢) ونسبة (١٥.٥ %) من مجموع مساحة الاراضي المعرضة للمخاطر المورفوتكتونية.

خريطة (٧٣) تصنيف المخاطر المورفوتكتونية ضمن المنطقة



المصدر: من عمل الباحثة بالاعتماد على نتائج تطابق خرائط المتغيرات باستخدام برنامج الـ (ARC GIS(arc map10.4).

الفصل الرابع أثر المخاطر الجيومورفية ومخاطر السيول على إستعمالات الأرض ضمن المنطقة

جدول (٨٦) مساحة ونسب مستويات المخاطر المورفوتكتونية في المنطقة

مستوى المخاطر المورفوتكتونية	المساحة /كم	نسبة المئوية%
أراضي قليلة الخطورة	١٢٢٨.٧	٥٦,٨
أراضي متوسطة الخطورة	٥٩٩.٣	٢٧,٧
أراضي شديدة الخطورة	٣٣٥	١٥,٥
المجموع	١٢٦٣	١٠٠

المصدر: بالاعتماد على الخريطة (٧٣).

٤-١-٢. أنموذج المخاطر المورفوديناميكية Morphodynamics Risk Model:

لعمل أنموذج المخاطر المورفوديناميكية وذلك بالاعتماد على عدة متغيرات والتي تمثلت بطبقة التعرية المائية السنوية المستخرجة باستخدام تطبيق أنموذج Gavrilovic ، وطبقة التعرية الاخودية المستخرجة حسب تصنيف (Bergsma) وطبقة الانحدار وكثافة الغطاء النباتي (NDVI) ، إضافة الى طبقة الامطار الـ (TRMM)، وكذلك إعتدنا طبقة التكوينات الجيولوجية ، كما في الشكل (٣٢) ، حيث يتكشف في المنطقة ٤ تكوين جيولوجي ، وقد تم تقسيمها الى ثلاثة أصناف حيث أعطيت الفئة (٣) للمنكشافات الهشة القليلة الصلابة والمتمثلة بترسبات الزمن الرباعي والفئة (٢) التي تمثلت بالتكوينات المتوسطة الصلابة مثل الفتحة وأنجانة والمقدادية وبابي حسن ، أما الفئة (١) للتكوينات الشديدة الصلابة التي تتمثل بتكوين تانجيرو وجركس وآفانا وبلاسبي وتكوين بجوان وعانه ، أي قد تم إعادة تصنيف الطبقات من خلال الاداة (Reclassify) من صندوق الـ (Arc tool Box- Spatial analyst tool) ضمن بيئة برنامج نظم المعلومات الجغرافية الـ (Arc Gis(arcmap10.4.1)، وبعدها قد تم إعطاء لكل طبقة وزن مناسب وذلك حسب تأثيرها في حدوث المخاطر المورفوديناميكية في المنطقة، من خلال الاعتماد على الاداة (Overlay) ومن ثم الامر Weighted Overlay، إذ إتضح إن هناك تباين في توزيع المخاطر المورفوديناميكية ضمن المنطقة، لذا فقد صنفنا الأراضي الى ثلاثة أصناف كما في الخريطة (٧٤) والجدول (٨٧) ، وكما يلي:

• المستوى الأول- أراضي قليلة الخطورة:

شغل هذا الصنف مساحة بلغت (٧٦٣.٦ كم^٢) أي بنسبة (٣٥.٣%) من مجموع مساحة الأراضي المعرضة للمخاطر المورفوديناميكية، إذ توزعت في الأراضي المنبسطة القليلة الانحدار ولاسيما في الاجزاء الجنوبية الغربية من المنطقة أي ضمن أراضي حوض عباسان ولاسيما التي تكون ذات كثافة نباتية عالية من شأنها تساعد على زيادة تماسك التربة وبالتالي تقليل المخاطر التي ممكن أن تحدث فيها.

الفصل الرابع أثر المخاطر الجيومورفية ومخاطر السيول على إستعمالات الأرض ضمن المنطقة

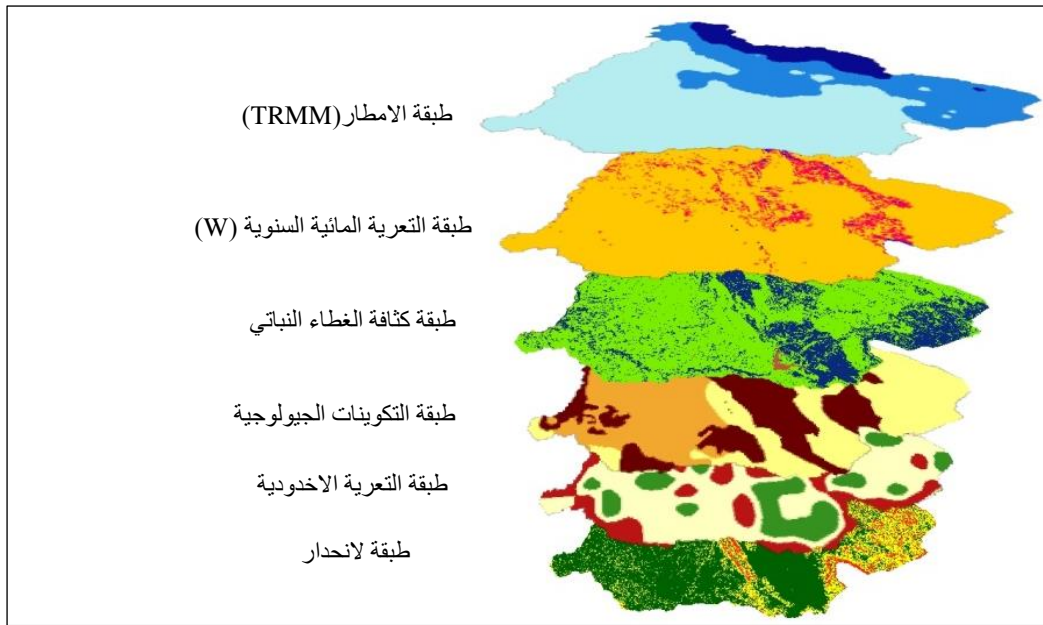
• المستوى الثاني- أراضي متوسطة الخطورة:

بلغت مساحة هذه الاراضي (٩٦٨.٩ كم^٢) ونسبة (٤٤.٨%) وهي المساحة الاكبر من اجمالي مساحة الاراضي المعرضة للمخاطر المورفوديناميكية ، حيث سادت هذه الاراضي ضمن الاجزاء الشمالية الغربية والوسطى والجنوبية الشرقية .

• المستوى الثالث- أراضي شديدة الخطورة:

ضم هذا الصنف الاراضي التي سادت الاجزاء شديدة الانحدار وذات تعرية اخدودية شديدة والتي تتصف بسيادة التكوينات غير المتماسكة، إذ ظهرت ضمن أراضي حوض أوبر وكونكل وعباسان وجزء من أراضي حوض قورة تو ، إذ بلغت مساحتها (٤٣٠.٦ كم^٢) ونسبة (١٩.٩%) من مجموع مساحة الاراضي المعرضة للمخاطر المورفوديناميكية في المنطقة.

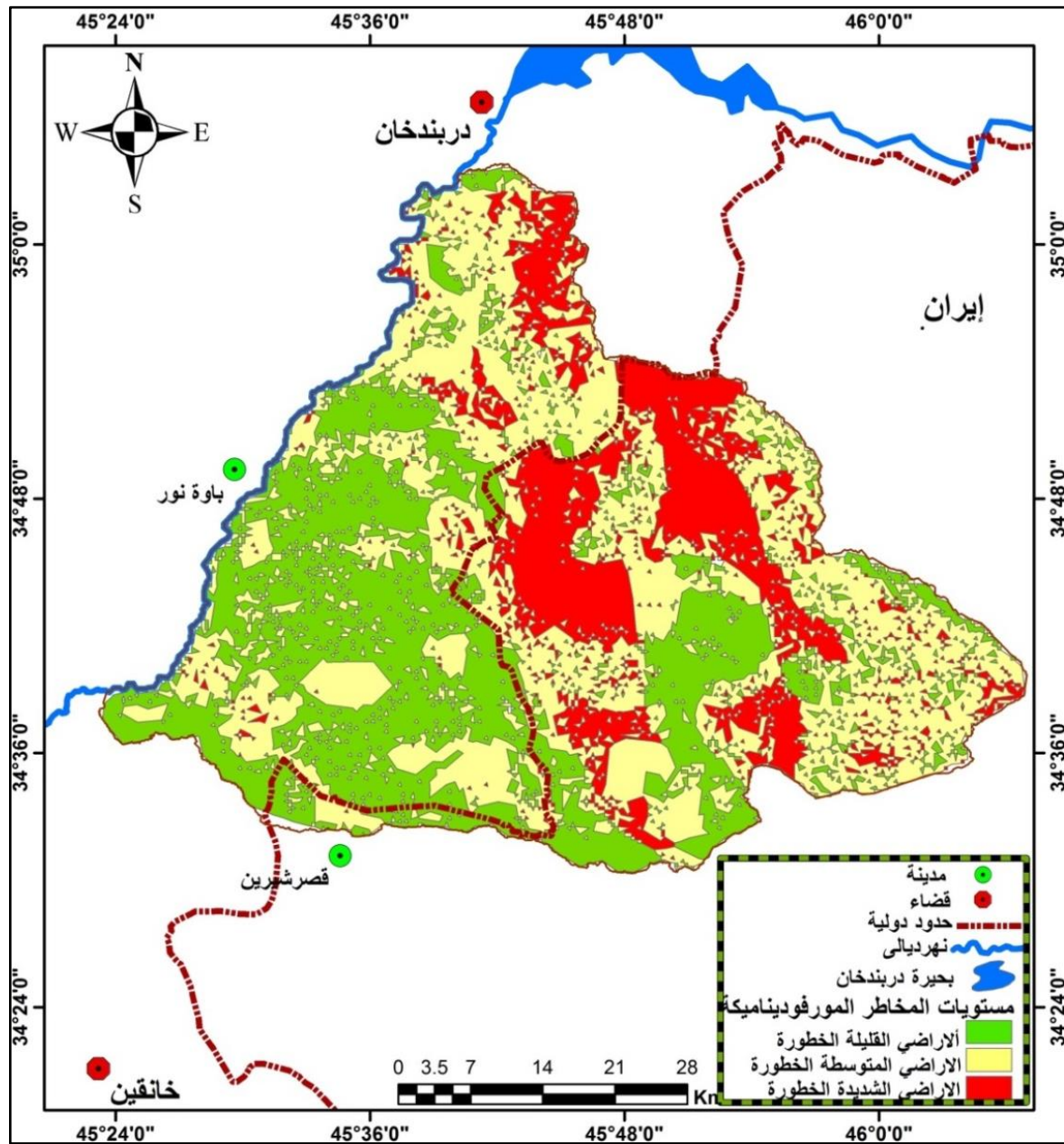
شكل (٣٢) الطبقات المعتمدة لاشتقاق نموذج المخاطر المورفوديناميكية



المصدر: من عمل الباحثة باستخدام برنامج الـ (ARC GIS (arcScene 10.4).

الفصل الرابع أثر المخاطر الجيومورفية ومخاطر السيول على إستعمالات الأرض ضمن المنطقة

خريطة (٧٤) تصنيف المخاطر المورفوديناميكية ضمن المنطقة



المصدر: من عمل الباحثة بالاعتماد على نتائج تطابق خرائط المتغيرات باستخدام برنامج الـ (arc map10.4) GIS.RC.

جدول (٨٧) مساحة ونسب مستويات المخاطر المورفوديناميكية في المنطقة

النسبة المئوية %	المساحة /كم	مستوى المخاطر المورفوديناميكية
٣٥.٣	٧٦٣.٦	أراضي قليلة الخطورة
٤٤.٨	٩٦٨.٩	أراضي متوسطة الخطورة
١٩.٩	٤٣٠.٦	أراضي شديدة الخطورة
١٠٠	١٢٦٣	المجموع

المصدر: بالاعتماد على الخريطة (٧٤).

٤-١-٣. أنموذج المخاطر المورفومناخية Morphoclimatic Risk Model :

تعد العناصر المناخية من المتغيرات التي لها دوراً بارزاً في حدوث المخاطر الجيومورفية ، حيث تعد من العوامل التي تساهم بزيادة خطر الكوارث الطبيعية ، وقد أعتمدت (٦) متغيرات تمثلت بـ(طبقة الانحدار والطوبوغرافية والجيولوجية وطبقة الامطار والحرارة والرياح)، الشكل (٣٣) من خلال إدخالها في برنامج نظم المعلومات الجغرافية الـ(Arc Gis(arcmap10.4.1)، إذ أعطيت لكل طبقة وزن يناسب أهميتها وأثرها في حدوث هذا النوع من المخاطر وذلك من خلال الاعتماد على الاداة Overlay من صندوق الـ (Arc tool Box- Spatial analyst tool) ، ومن ثم الامر Weighted ، وقد أظهرت نتائج التطابق أن هناك تباين في توزيع مساحات المخاطر المورفومناخية ضمن المنطقة ، لذا فقد صنفنا الأراضي الى ثلاثة أصناف، كما في الخريطة (٧٥) و الجدول(٨٨) وكما يلي:

• المستوى الأول- أراضي قليلة الخطورة:

بلغت مساحة هذه الأراضي التي تقع ضمن هذا الصنف (٨٠.٨ كم^٢) وبنسبة(٣٧.٥%) من إجمالي المساحة المعرضة لحدوث المخاطر المورفومناخية ضمن المنطقة، فقد توزعت في أغلب الاجزاء الغربية والجنوبية والجنوبية الغربية أي ضمن حوض خورخور وزلكه كن وسي حران وقورة تو وبانزمين التي تتصف بأنبساط أراضيها وقلة كميات الامطار الساقطة فيها، فضلاً عن قلة سرعة الرياح مما جعلها من المناطق الأقل خطورة مقارنة ببقية أجزاء المنطقة.

• المستوى الثاني- أراضي متوسطة الخطورة:

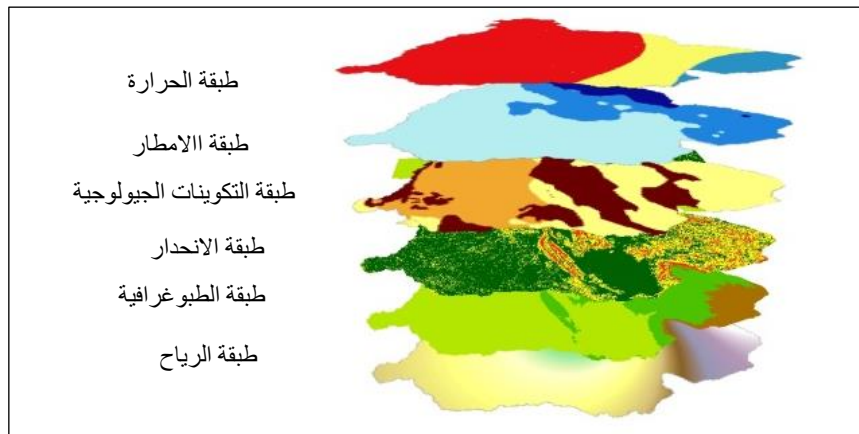
شغل هذا الصنف المساحة الأكبر في المنطقة والتي بلغت(٩٣٤.١ كم^٢) أي بنسبة (٤٣.٢%) من مجموع مساحة أراضي المنطقة المعرضة للمخاطر المورفومناخية ، إذ امتدت في الجهات الوسطى والشرقية من المنطقة حيث تتصف بأراضيها المتموجة التي تمتاز بسقوط أمطار ذات كميات متوسطة .

• المستوى الثالث- أراضي شديدة الخطورة:

شغل هذا الصنف من المخاطر المورفومناخية المساحة الأقل ضمن المنطقة والتي بلغت (٤١٨.١ كم^٢) وبنسبة(١٩.٣%) ، حيث سادت في الجهات الشمالية والشمالية الشرقية التي تمتاز بانتشار الأراضي الشديدة الانحدار فيها فضلاً عن بسقوط أمطار غزيرة مما يؤدي ذلك الى حدوث سيول جارفة تعمل على زيادة نشاط التعرية المائية بأنواعها ، فيمكن أن تخلف وراءها الدمار والتخريب في مختلف الانشطة البشرية ضمن المنطقة وخاصة الزراعة التي تعد من الانشطة التي تتأثر بصورة كبيرة بهذا النوع من المخاطر.

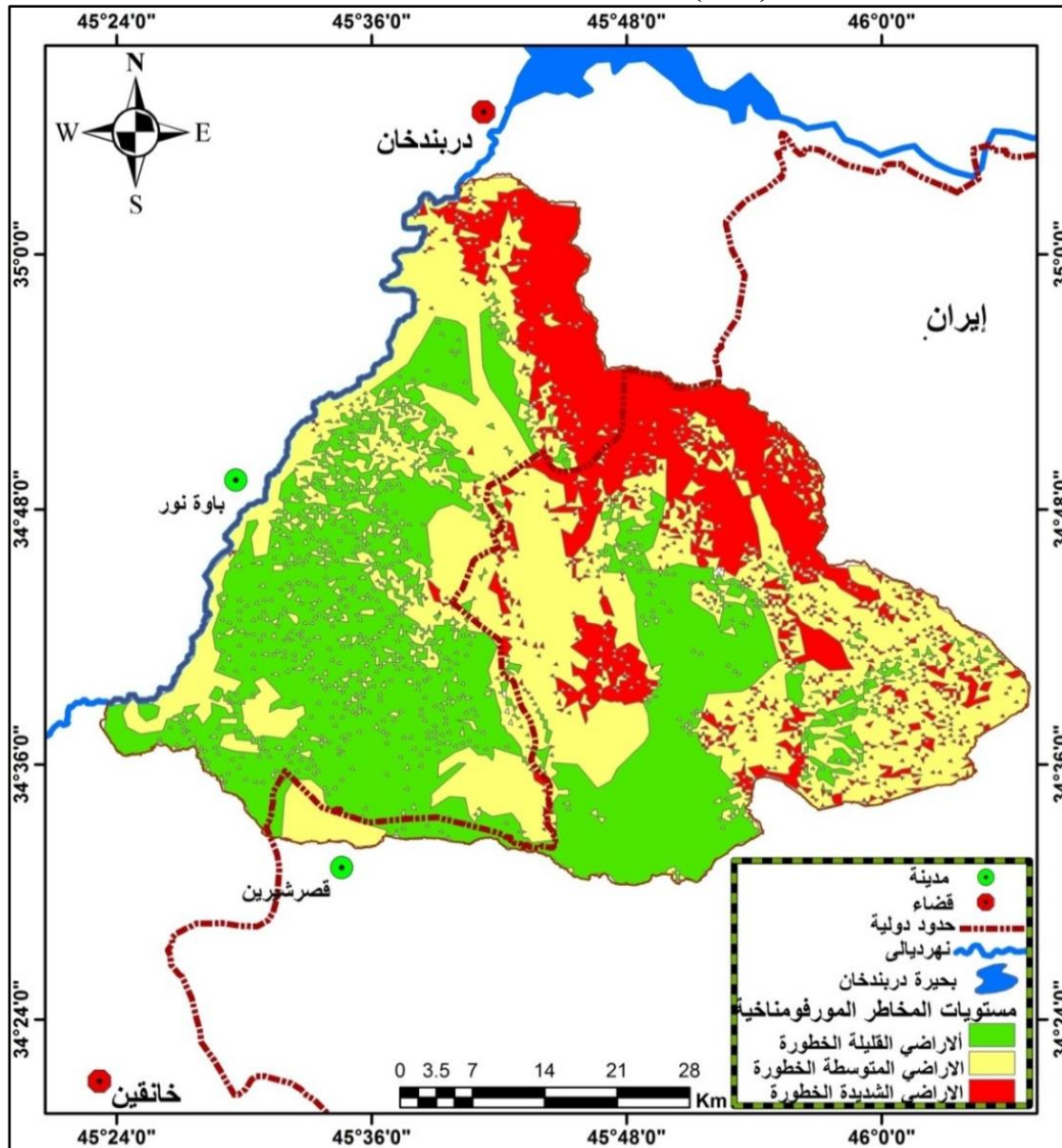
الفصل الرابع أثر المخاطر الجيومورفية ومخاطر السيول على إستعمالات الأرض ضمن المنطقة

شكل (٣٣) الطبقات المعتمدة لاشتقاق أنموذج المخاطر المورفومناخية



المصدر: من عمل الباحثة باستخدام برنامج الـ (ARC GIS(arcScene 10.4).

خريطة (٧٥) تصنيف المخاطر المورفومناخية ضمن المنطقة



المصدر: من عمل الباحثة بالاعتماد على نتائج تطابق خرائط المتغيرات باستخدام برنامج الـ (ARC GIS(arc map10).

الفصل الرابع أثر المخاطر الجيومورفية ومخاطر السيول على إستعمالات الأرض ضمن المنطقة

جدول (٨٨) مساحة ونسب مستويات المخاطر المورفومناخية في المنطقة

مستويات المخاطر	المساحة /كم	النسبة المئوية %
أراضي قليلة الخطورة	٨١٠.٨	٣٧.٥
أراضي متوسطة الخطورة	٩٣٤.١	٤٣.٢
أراضي شديدة الخطورة	٤١٨.١	١٩.٣
المجموع	١٢٦٣	١٠٠

المصدر: بالاعتماد على الخريطة (٧٥).

٤-١-٤. أنموذج المخاطر الجيومورفية Geomorphoic Risk Model:

أعتمد في تصميم هذا الأنموذج على طريقة الوزن لكل طبقة وذلك من خلال أستخدام مخرجات برنامج نظم المعلومات الجغرافية الـ ArcGis(arcmap10.4.1)، وقد تم تحديد الطبقات (Layers) التي تمثلت بعدة متغيرات لها أثر حدوث المخاطر الجيومورفية التي الممكن أن تحدث في المنطقة، وذلك بالاعتماد على الاداة Overlay من صندوق الـ Arc tool Box (Spatial analyst tool) إذ نقوم بأعطاء وزن مناسب لكل طبقة وذلك تبعاً لأهمية وتأثير تلك الطبقة في حدوث المخاطر الجيومورفية من خلال الامر Weighted Overlay، إذ يتم دمج الطبقات بخريطة تمثل الوزن النهائي لمجموعها.

بعد عمل المطابقة بين النماذج الثلاث المذكورة سلفاً متمثلة بـ (أنموذج المخاطر المورفوتكتونية والمخاطر المورفوديناميكية والمخاطر المورفومناخية)، كما في الشكل (٣٤)، حيث أظهرت النتائج أن هناك ثلاثة مستويات للمخاطر وللقابلية والملائمة الارضية للاستعمالات البشرية في المنطقة، فقد أعطيت الدرجة (٣) للاحواض الخطرة والدرجة (٢) للاحواض المتوسطة الخطورة والدرجة (١) للاحواض القليلة الخطورة، وقد تباينت هذه المستويات في مساحاتها كما موضح في الخريطة (٧٦) و الجدول (٨٩) و (٩٠)، وكما يلي:

• المستوى الأول- أراضي ذات ملائمة عالية وقليلة الخطورة:

بلغت مساحة هذه الاراضي ضمن هذا الصنف (٢٣.٧ كم^٢) أي نسبة (٢٦.٨%) من مجموع مساحة المخاطر الجيومورفية في أحواض المنطقة، بينما بلغت (٥٦ كم^٢) وبنسبة (٢٦.٧%) ضمن الأراضي مابين الاودية، وتتمثل بالجهات التي تمتاز بأنبساط أراضيها وبتربة جيدة الصرف حيث تظهر ضمن الترسبات الحديثة التي أستغلت في الاستثمار الزراعي الديمي والاروائي وزراعة أنواع المحاصيل التي تتلائم مع ظروف المناخ السائد في المنطقة، إضافة الى ذلك فأنها تمثل مناطق ملائمة للسكن لذا فقد أنتشرت فيها العديد من المستقرات البشرية بصورة كبيرة، وقد تباينت النسبة التي يشكلها هذا المستوى بين أحواض المنطقة فكانت أعلى نسبة في حوض قورة تور والتي

الفصل الرابع أثر المخاطر الجيومورفية ومخاطر السيول على إستعمالات الأرض ضمن المنطقة

بلغت (٢٣٧.٥ كم^٢) أي بنسبة (٤٥.٤%) من مجموع مساحة أراضي هذا المستوى ضمن أحواض المنطقة، بينما سجل حوض كونكل أقل مساحة بلغت (٧ كم^٢) وبنسبة (١.٣%).

• المستوى الثاني- أراضي ملائمة وذات خطورة متوسطة:

شغلت هذه الأراضي ضمن هذا المستوى أعلى نسبة مساحة والتي بلغت (٨٠٧.٨ كم^٢) أي بنسبة (٤١.٤%) من إجمالي مساحة المخاطر الجيومورفية ضمن أحواض المنطقة ، بينما بلغت ضمن الأراضي التي تقع ما بين الاودية (١٢٤.١ كم^٢) وبنسبة (٥٩.١) ، حيث تسود هذه الأراضي ضمن الجهات التي تكون أراضيها ذات أنحدار ملحوظ الامر الذي يجعل تربتها معرضة للانجراف بشكل دائم ، مما يقلل من خصوبتها وبالتالي يؤدي الى التقليل من نسبة الأراضي المزروعة والنشاط البشري ضمن هذا المستوى.

وقد شغل حوض قورة تو أعلى مساحة والتي بلغت (٣٤٨.٧ كم^٢) وبنسبة (٤٣.٢%) من إجمالي مساحة أراضي هذا المستوى في أحواض المنطقة، بينما شغل حوض بانزمين أقل مساحة بلغت (٦ كم^٢) وبنسبة (٠.٧%) .

المستوى الثالث- أراضي قليلة الملائمة وذات خطورة عالية :

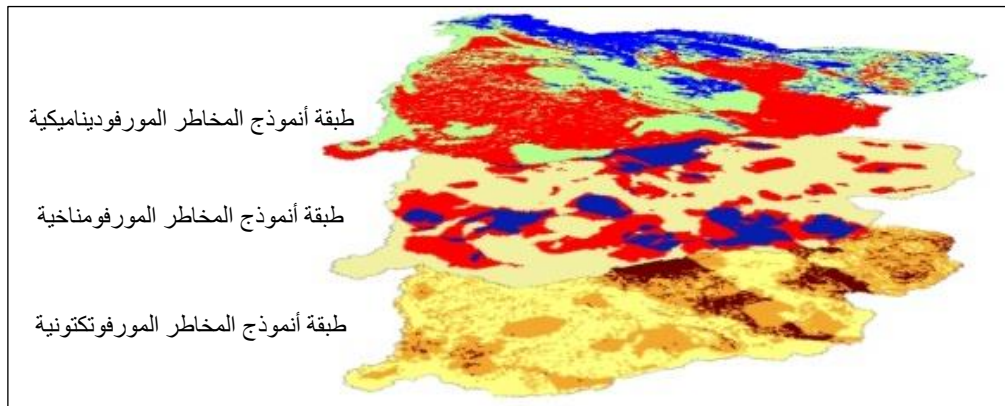
بلغت مساحة الأراضي ضمن هذا المستوى (٦٢١.٣ كم^٢) وبنسبة (٣١.٨%) من إجمالي مساحة المخاطر الجيومورفية ضمن أحواض المنطقة ، وكما بلغت مساحة الأراضي ما بين الاودية في هذا المستوى (٢٩.٩ كم^٢) أي بنسبة (١٤.٢%).

إذ تسود ضمن المرتفعات الجبلية المتمثلة بسلسلة جبال بامو وزمناكو وخوشك ضمن الجهات الشمالية والوسطى من المنطقة وكذلك جبال شرالدي وبازنيان التي تقع عند الحدود العراقية الايرانية، إذ تتصف هذه الأراضي بأنحداراتها الشديدة وانتشار السفوح الجرفية وصلابة التكوينات الجيولوجية التي تغطي سطح أراضيها ، فتمتاز بترتبتها الضحلة بسبب تعرضها للانجراف المستمر بفعل التعرية المائية وبذلك تتصف بمحدودية الاستثمار الزراعي والسكني فيها ، وكما تكون أراضيها نشطة زلزالياً حيث تظهر فيها البؤر الزلزالية بشكل كبير مقارنة ببقية أراضي المنطقة.

كما شغل حوض عباسان أعلى مساحة من الأراضي الشديدة الخطورة والتي بلغت (٣٥٧.٤ كم^٢) وبنسبة (٥٧.٥%) من إجمالي مساحة هذا المستوى ضمن أحواض المنطقة، بينما سجل حوض بانزمين أقل مساحة بلغت (١.١ كم^٢) وبنسبة (٠.٢%) من مجموع صنف الخطورة الشديدة ضمن أحواض المنطقة.

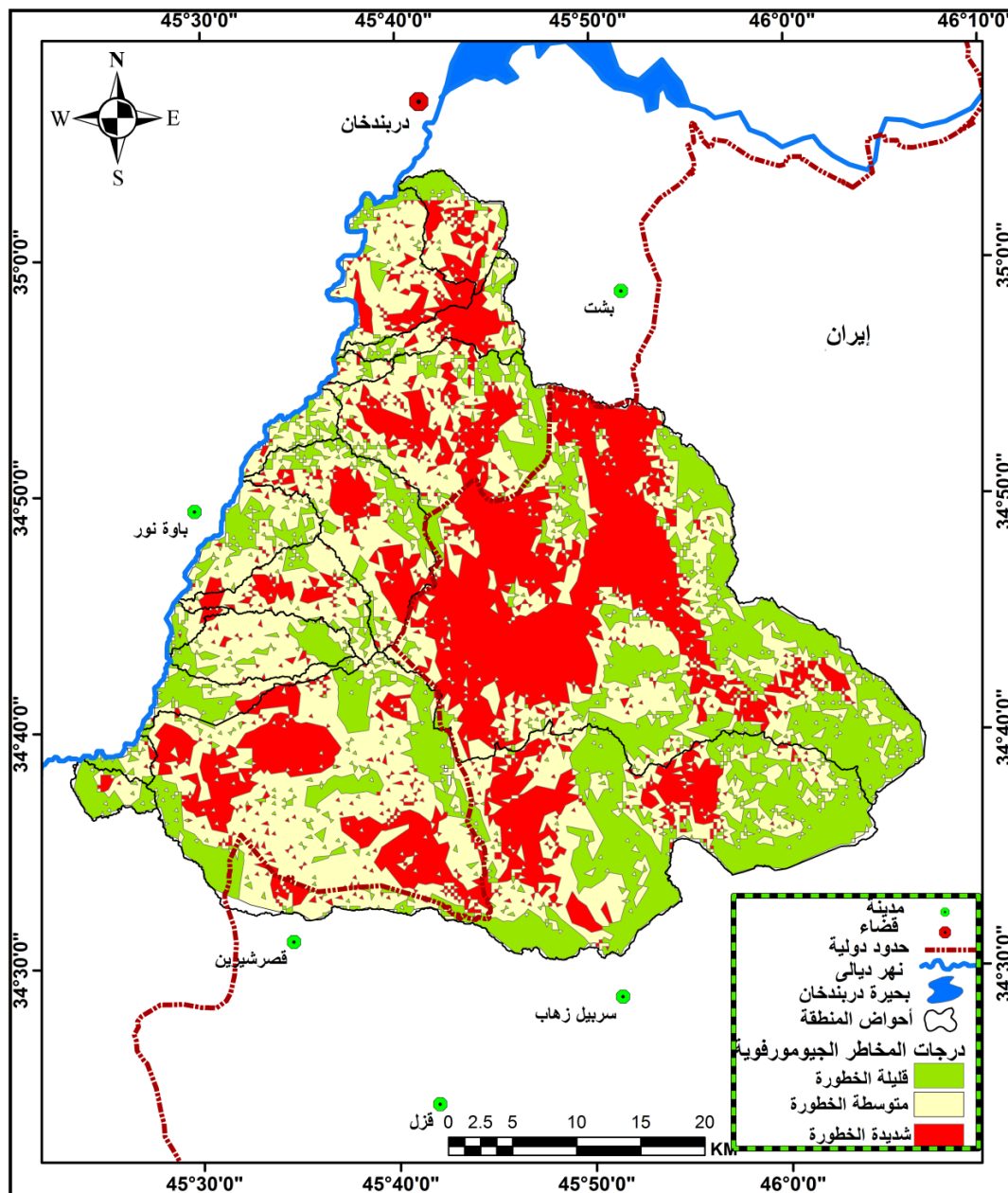
الفصل الرابع أثر المخاطر الجيومورفية ومخاطر السيول على إستعمالات الأرض ضمن المنطقة

شكل (٣٤) الطبقات المعتمدة لاشتقاق أنموذج المخاطر الجيومورفية



المصدر: من عمل الباحثة باستخدام برنامج الـ (ARC GIS(arcScene 10.4).

خريطة (٧٦) تصنيف درجات المخاطر الجيومورفية ضمن المنطقة



المصدر: من عمل الباحثة بالاعتماد على نتائج تطابق خرائط المتغيرات باستخدام برنامج الـ (ARC GIS(arc map10).

الفصل الرابع أثر المخاطر الجيومورفية ومخاطر السيول على إستعمالات الأرض ضمن المنطقة

جدول (٨٩) المساحات والنسب المئوية لتصنيف المخاطر الجيومورفية ضمن المنطقة

ت	تصنيف المخاطر		الاحواض		أراضي ما بين الاودية	
	المساحة كم ^٢	النسبة %	المساحة كم ^٢	النسبة %	المساحة كم ^٢	النسبة %
١	٥٢٣.٧	٢٦.٨	٥٦	٢٦.٧	٢٦.٧	٢٦.٧
٢	٨٠٧.٨	٤١.٤	١٢٤.١	٥٩.١	١٢٤.١	٥٩.١
٣	٦٢١.٣	٣١.٨	٢٩.٩	١٤.٢	٢٩.٩	١٤.٢
المجموع	١٩٥٣	١٠٠	٢١٠	١٠٠	٢١٠	١٠٠

المصدر: من عمل الباحثة بالاعتماد على الخريطة (٧٦).

جدول (٩٠) المساحات والنسب المئوية لتصنيف المخاطر الجيومورفية ضمن أحواض المنطقة

الاحواض	أراضي ذات ملائمة عالية وقليلة الخطورة		أراضي ملائمة ومتوسطة الخطورة		أراضي قليلة الملائمة خطرة	
	المساحة / كم ^٢	النسبة %	المساحة / كم ^٢	النسبة %	المساحة	النسبة %
أوبر	٨	١.٥	٢١.٤	٢.٧	١٥.١	٢.٤
كونكل	٧	١.٣	١٨	٢.٢	١٦.٤	٢.٦
عباسان	٢١٣.٢	٤٠.٧	٢٨٣.١	٣٥.١	٣٥٧.٤	٥٧.٥
خورخور	٢٣.١	٤.٤	٥٣.٢	٦.٦	٣٠.١	٤.٩
زلكه كن	٧.٥	١.٤	٣٧.١	٤.٦	١٢.٤	٢
سي حران	١٥.٣	٢.٩	٤٠.٣	٥	٢.١	٠.٣٤
قورة تو	٢٣٧.٥	٤٥.٤	٣٤٨.٧	٤٣.٢	١٨٦.٧	٣٠.١
بانزمين	١٢.١	٢.٣	٦	٠.٧	١.١	٠.٢
المجموع	٥٢٣.٧	١٠٠	٨٠٧.٨	١٠٠	٦٢١.٣	١٠٠

المصدر: من عمل الباحثة بالاعتماد على الخريطة (٧٦).

٢-٤. مخاطر السيول ضمن المنطقة:

يعرف السيل بأنه جريان مؤقت عاصف ناتج عن سقوط أمطار غزيرة ، إذ يتميز بظهوره المفاجئ وسرعة جريانه ثم تناقصه السريع كمأ وسرعة، أي أنه يظهر سريعاً قوياً مدمراً ثم يضمحل في وقت قصير ويتوقف عن الجريان، إذ غالباً ما يحتوي علي الكثير من المواد الصلبة ، فتندفع المياه من الاماكن المرتفعة خلال شبكة المجاري المائية للاودية الى المناطق المنخفضة بفعل قوى الجاذبية وميل سطح الارض، وبذلك تتجمع المياه في الروافد الثانوية قصيرة الأطوال ثم تتجه متجمعة بالأفرع الرئيسية الأكثر طولاً حتى تصل إلى المجرى الرئيسي^(١).

ويرتبط حدوث السيول دائماً بحدوث الشدات المطرية (العواصف الممطرة) وخاصة العواصف الرعدية منها، والتي غالباً ما تكون شديدة تؤدي إلى سقوط كميات غزيرة من الأمطار تفوق مجموع الفاقد المائي وبالتالي يبدأ التجمع على شكل برك في الأماكن المنخفضة من السطح وعند إمتلائها بالمياه تبدأ بالتحرك على هيئة طبقة ملاصقة لسطح الأرض حيث تكون سرعتها بطيئة جداً

1)Ahmed M. Youssef, Abdallah Mohamed Hassan, Flash floods risk estimation along thest. Katherine road, Southern Sinai, Egypt using Gis based morphometry, and satellite imagery, 2011, P.1.

الفصل الرابع أثر المخاطر الجيومورفية ومخاطر السيول على إستعمالات الأرض ضمن المنطقة

ويسمى هذا الجزء من المياه بالتخزين المحتبس Detention Storage الذي قد يؤدي إلى حدوث سيول جارفة، وتختلف أحجام السيول تبعاً لما يسقط من أمطار في هذه العواصف كما يرتبط ترددها بعدد هذه العواصف ومواعيد حدوثها ، كما إن الخصائص الطبيعية لمنطقة الدراسة تتحكم في مقدار خطورة وتكرار الفيضانات السيلية أي في مقدار وسرعة المياه الجارية وحجم الإرسابات التي تحملها معها وقابلية الصخور لتسرب ونفاذية المياه داخلها، فضلاً عن وجود شبكة كثيفة من الأودية وشدة انحدار أراضيها وظهور الاخاديد والخنادق فيها بنسبة كبيرة مما يعرضها الى مخاطر كبيرة، وتكتسب السيول أهميتها ومدى خطورتها من خلال تأثيرها على أوجه النشاط البشري في المنطقة إذ تسبب تخريباً في أغلب مظاهر إستعمالات الأرض ضمن المنطقة من مباني وأراضي زراعية وغيرها من الأنشطة البشرية^(١) ، الصورة (٣٥) .

صورة (٣٥) السيول قرب قرية جوار كلاو في ناحية ميدان



التقطت بتاريخ ٢٠١٩/١/٤ .

٤-٢-١. تصميم أنموذج مخاطر السيول Flood Risk Model :

لصعوبة تقدير حجم موجات السيول المطرية في أودية أحواض منطقة الدراسة كونها تفتقر الى محطات وأتوات ومعدات حقلية لقياس السيول ومعدل تصريفها خلال مدة العاصفة المطرية ، لذا فقد تم إستخدام أسلوب النمذجة الهيدرولوجية من خلال الربط بين الحاسوب الرقمي والخصائص الهيدرولوجية للأحواض الى خرائط رقمية وذلك بأستخدام نظم المعلومات الجغرافية (Gis) وبالاعتماد على أنموذج سنايدر (snyder's model) وهذا ماتم التطرق له في الفصل الرابع، لقد تم تحليل معدلات درجات خطورة السيول تبعاً للخصائص الهيدرولوجية لأحواض المنطقة وذلك لمعرفة إلى أى مدى تؤثر العوامل الهيدرولوجية فى درجات خطورة الأحواض ومدى تأثير كل منها فى الآخر، فقد صمم أنموذج كارتوغرافي لمخاطر السيول التي ممكن أن تحدث في أحواض المنطقة وتحديد درجات الخطورة فيها، وذلك بالاعتماد على مخرجات برنامج نظم المعلومات

(١) محمد صبري محسوب ومحمد ابراهيم ارباب ، الاخطار والكوارث الطبيعية الحدث والمواجهة ، دار الفكر العربي، القاهرة، ١٩٩٨، ص 96.

الفصل الرابع أثر المخاطر الجيومورفية ومخاطر السيول على إستعمالات الأرض ضمن المنطقة

الجغرافية الـ Arc Gis(arcmap10.4.1) وقد تم ذلك من خلال تحديد طبقات (Layers) لمجموعة من المتغيرات الهيدرولوجية والتي تعد عوامل مؤثرة سلباً وإيجاباً في حدوث المخاطر، والتي تمثلت بمعامل حجم الجريان السيلي (Q_t) وكمية التدفق الأقصى للسيول (Q_p) وقوة مياه السيل (F) بالإضافة الى سرعة الجريان السيلي (V) و وقوة تسرب المياه (F_p) وزمن التركيز (T_c) وزمن الارتفاع التدريجي للسيل (T_c) وكذلك معامل زمن الانخفاض التدريجي لتدفق السيل (T) فضلاً عن زمن التباطؤ (T_p) وزمن الأساس للسيول (T_b)، وقد تم اختيار هذه المتغيرات وذلك لتداخل التأثير فيما بينها، من خلال الاعتماد على الاداة Overlay من صندوق الـ Arc tool Box- (Spatial analyst tool) وبعدها قمنا بأعطاء وزن مناسب لكل طبقة والتي صنفنا الى ثلاث أصناف وذلك تبعاً لأهمية وتأثير تلك الطبقة في حدوث مخاطر السيول من خلال الامر Weighted Overlay، إذ تم دمج الطبقات بخريطة تمثل الوزن النهائي لمجموعها.

وقد أتضح من خلال دمج طبقات المتغيرات المدخلة الى نظام الـ (GIS) والبالغ عددها (١٠ متغيرات) إذ أعطيت الدرجة (٣) الى الاحواض الخطرة والدرجة (٢) للاحواض المتوسطة الخطورة والدرجة (١) للاحواض القليلة الخطورة وبالتالي أصبح عدد المتغيرات (٣٠ متغير)، جدول (٩١)، وبذلك أظهرت نتائج التصنيف النهائي أن مخاطر السيول في أحواض قد وقعت بين ثلاث مستويات كما موضح في الخريطة (٧٧) والجدول (٩٢)، وكما يلي:

● **المستوى الأول:** يتمثل هذا المستوى بالاحواض القليلة الخطورة تتراوح بين (١-١٠) درجة، إذ لم تظهر أحواض ضمن هذا المستوى.

● **المستوى الثاني:** يتمثل هذا المستوى بالاحواض المتوسطة الخطورة تتراوح بين (١٠-٢٠) درجة، وتشمل حوض أوبر وكونكل وخور خور وزلكه كن وسي حران وبانزمين وبمساحة بلغت (٢٧.٢ كم^٢) وبنسبة (١٦.٨ %) من مجموع مساحة أحواض المنطقة، تتميز هذه الفئة بانخفاض قيم معدل التضرس نوعاً ما في هذه الاحواض فيؤدي ذلك إلى قلة سرعة السيل مما يعمل على زيادة الفواقد عن طريق التبخر أو التسرب.

● **المستوى الثالث:** يتمثل هذا المستوى بالاحواض الخطرة والتي تتراوح بين (٢٠-٣٠) درجة، حيث شملت أكبر الاحواض مساحةً وهما حوضي عباسان وقورة تو وقد بلغت مساحتهما (١٦٢.٦ كم^٢) وبنسبة (٨٣.٣ %) من إجمالي مساحة الاحواض، تتميز هذه الاحواض بارتفاع معدل التضرس وشدة انحدار أراضيها وهذا ما يعمل على زيادة سرعة السيل الامر الذي يؤدي الى احتمالية تعرضهما الى حدوث مخاطر شديدة بفعل السيول.

ومما سبق يمكن القول أن أكبر الاحواض مساحةً ضمن المنطقة إمتازت بدرجة شديدة الخطورة أي بنسبة ٨٣.٣ % من إجمالي مساحة أحواض المنطقة.

الفصل الرابع أثر المخاطر الجيومورفية ومخاطر السيول على إستعمالات الأرض ضمن المنطقة

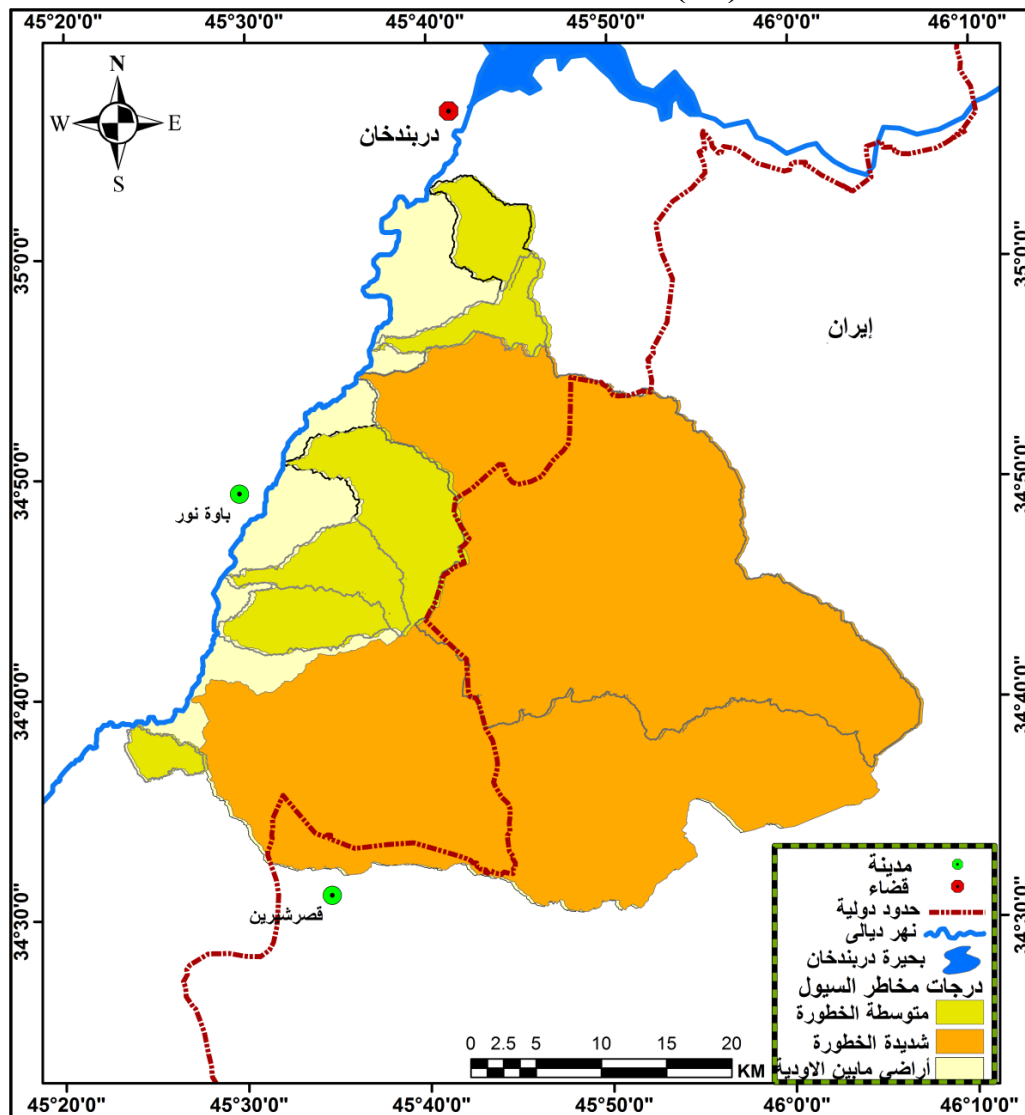
أما بالنسبة للأراضي بين الأودية التي بلغت مساحتها (٢١٠ كم^٢) لم تصنف ضمن أنموذج مخاطر السيول وذلك لأنها تمثل مسيلات وليس أحواض مائية.

جدول (٩١) التصنيف النهائي لدرجات مخاطر السيول في أحواض المنطقة

المعاملات	Qt	Qp	Tc	V	F	Fp	Tp	Td	Tb	Tm	N	التصنيف النهائي
أوبر	١	١	١	٢	٢	١	١	١	١	١	١٢	متوسط الخطورة
كونكل	١	١	١	٣	١	١	٢	٢	٢	١	١٥	متوسط الخطورة
عباسان	٣	٣	٣	٣	٣	٣	٣	٣	٣	٣	٣٠	عالي الخطورة
خورخور	٣	٢	٢	٢	٣	٣	٣	٣	٣	٢	٢٦	عالي الخطورة
زلکه کن	١	١	٢	٢	٢	٢	٢	٢	٢	٢	١٨	متوسط الخطورة
سي حران	٢	١	٢	٢	٢	٢	٢	٢	٢	١	١٨	متوسط الخطورة
قورفتو	٣	٣	٣	٣	٣	٣	٣	٣	٣	٣	٣٠	عالي الخطورة
بانزمين	١	١	٢	١	١	١	١	١	١	١	١١	متوسط الخطورة

المصدر: من عمل الباحثة بالاعتماد على نتائج تصنيف المعادلات السابقة.

خريطة (٧٧) تصنيف مخاطر السيول ضمن أحواض المنطقة



المصدر: من عمل الباحثة بالاعتماد على نتائج الجدول (٩١) وباستخدام مخرجات برنامج الـ Arc Gis(arcmap10.4.1)

الفصل الرابع أثر المخاطر الجيومورفية ومخاطر السيول على إستعمالات الأرض ضمن المنطقة

جدول (٩٢) المساحات والنسب المئوية لدرجات مخاطر السيول في أحواض المنطقة

النسبة %	المساحة كم ^٢	درجة خطورة السيول أحواض المنطقة
١٦.٧	٣٢٧.٢	خطورة متوسطة
٨٣.٣	١٦٢٦	خطورة شديدة
١٠٠	١٩٥٣	المجموع

المصدر: من عمل الباحثة بالاعتماد على نتائج الخريطة (٧٧).

٣-٤. تقييم أثر المخاطر الجيومورفية ومخاطر السيول على أستعمالات الأرض:

تتعدد الأنشطة البشرية في منطقة الدراسة وذلك لسعة مساحة المنطقة ولما تتصف به من خصائص طبيعية متباينة لذا وجب التطرق في هذا المبحث الى تحليل أثر المخاطر الجيومورفية ومخاطر السيول على النشاط البشري كالاستيطان والزراعة والنقل والسياحة، حيث تختلف هذه المخاطر من مكان الى آخر وذلك تبعاً للعوامل والعمليات التي تسببها، حيث كانت كالاتي:

• المستقرات البشرية ضمن المنطقة:

بلغت أعداد المستقرات البشرية في منطقة الدراسة (٢١٩) مستقرة بشرية بواقع (١٤٤) قرية ريفية و(٣) مدينة والتي تمثلت بمدينة ميدان وقورة تو وأزكله ، إضافة الى (٤٤) مبنى منفرد تأخذ نمطاً مبعثراً من حيث التوزيع ، إذ يغلب عليها الطابع الريفي حيث تكون أغلب مساكن هذه القرى مشيدة من البلوك والطين، الصورة (٣٦)، (٣٧)، (٣٨)، إذ يكون توزيعها متماشياً مع توزيع شبكة المجاري المائية ضمن الاجزاء المنخفضة والمستوية وقليلة الانحدار مما سهل عملية الاستيطان البشري لهذه القرى، الخريطة (٧٨).

يعتمد سكان هذه القرى في معيشتهم على الزراعة وتربية الحيوانات التي تعد مصدر اقتصادي مهم في المنطقة.

صورة (٣٦) المستقرات البشرية في قرية شمشير كول ضمن ناحية ميدان



التقطت بتاريخ ٢٠٢٠/٢/٢١

الفصل الرابع أثر المخاطر الجيومورفية ومخاطر السيول على إستعمالات الأرض ضمن المنطقة

صورة (٣٧) قرية قورت ضمن ناحية قورة تو



التقطت بتاريخ ٢٠٢٠/٢/٢٣

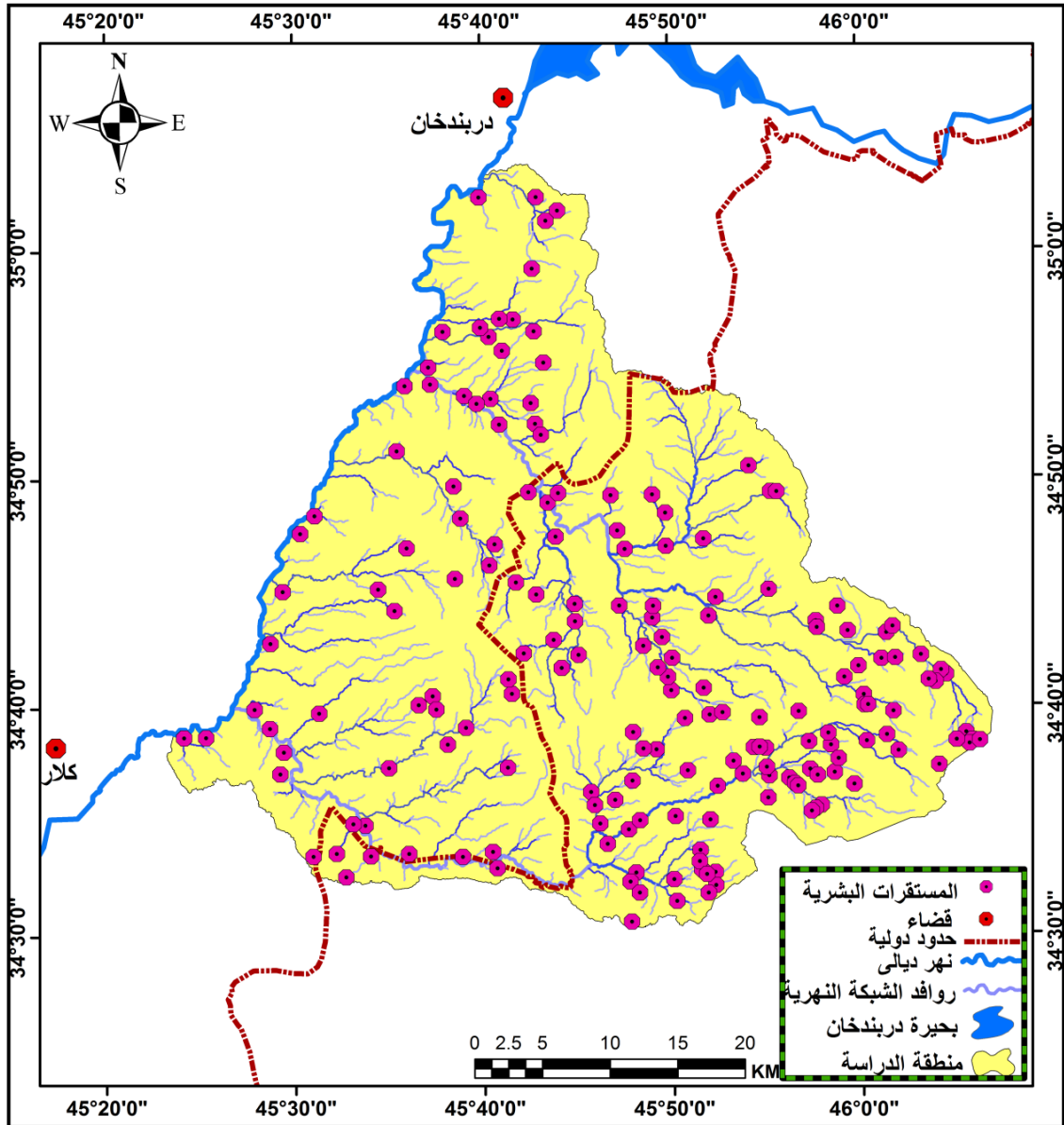
صورة (٣٨) البنايات المنفردة في قرية هورين ضمن ناحية ميدان



التقطت بتاريخ ٢٠٢٠/٢/٢١

الفصل الرابع أثر المخاطر الجيومورفية ومخاطر السيول على إستعمالات الأرض ضمن المنطقة

خريطة (٧٨) توزيع القرى مع أمتداد شبكة المجاري المائية في المنطقة



المصدر: من عمل الباحثة بالاعتماد على أنموذج الارتفاع الرقمي (Dem) و الخريطة الطبوغرافية لمنطقة الدراسة بمقياس ١:١٠٠٠٠٠٠، الصادرة عن وزارة الموارد المائية، الهيئة العامة للمساحة وعلى الدراسة الميدانية باستخدام برنامج الـ (Arc GIS) ٢٠١٨.

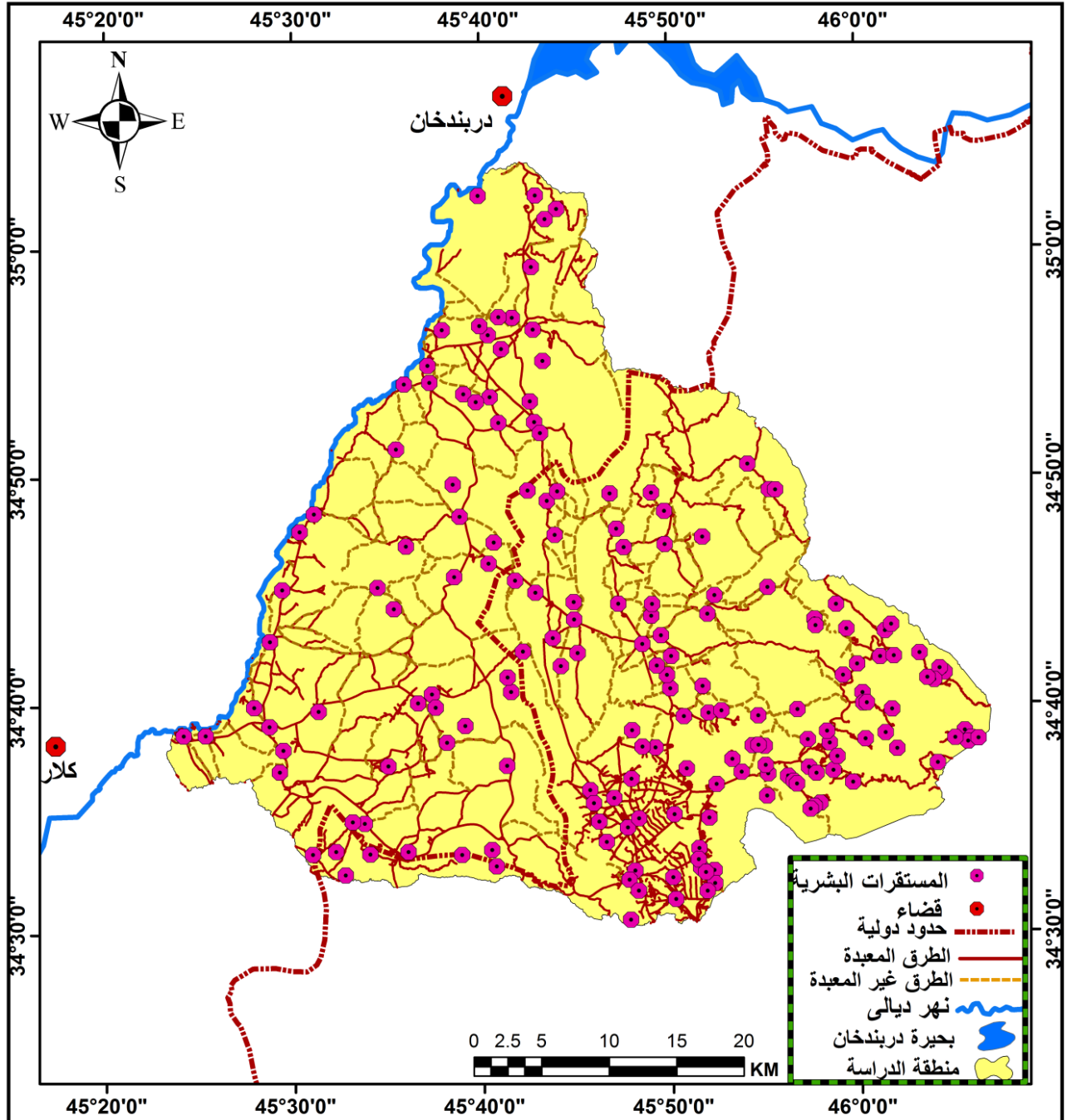
• طرق النقل ضمن المنطقة:

يبلغ مجموع أطوال الطرق المعبدة (٩٩٦ كم) حيث تكون موزعة ضمن الأراضي العراقية والایرانية في المنطقة، الصورة (٣٩)، وكذلك فإن الطرق غير المعبدة قد بلغت أطوالها (٦٥١ كم)، كما في الصورة (٤٠)، وتكون مرتبطة بالطرق المعبدة الرئيسية والثانوية، حيث قام الأهالي بأنشائها وذلك لتسهيل الحركة والتنقل بين المستقرات البشرية والأراضي الزراعية وكذلك للقيام بمختلف الأنشطة البشرية، إذ تتصف بكونها ترابية متعرجة غير أمينة لا تحتوي على قطع أرشادية كما في الطرق المعبدة.

الفصل الرابع أثر المخاطر الجيومورفية ومخاطر السيول على إستعمالات الأرض ضمن المنطقة

و يتمشى أمتداد طرق النقل في منطقة الدراسة مع أمتداد وتوزيع المستقرات البشرية ، كما في الخريطة (٧٩).

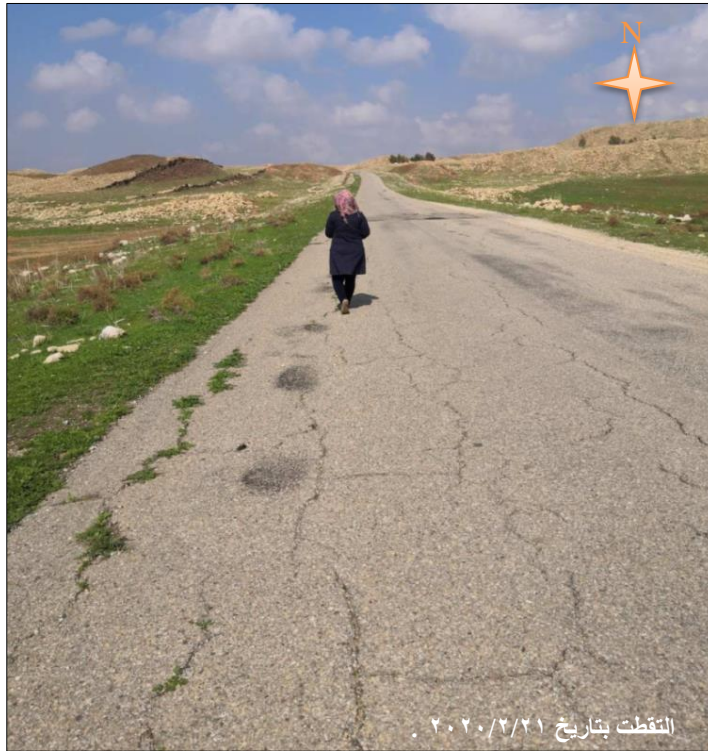
خريطة (٧٩) إمتداد طرق النقل مع توزيع المستقرات البشرية في المنطقة



المصدر: من عمل الباحثة بالاعتماد على أنموذج الارتفاع الرقمي (Dem) و الخريطة الطبوغرافية لمنطقة الدراسة بمقياس ١:١٠٠٠٠٠،
٢٠١٨، الصادرة عن وزارة الموارد المائية، الهيئة العامة للمساحة وعلى الدراسة الميدانية باستخدام برنامج الـ (ARC GIS)

الفصل الرابع أثر المخاطر الجيومورفية ومخاطر السيول على إستعمالات الأرض ضمن المنطقة

صورة (٣٩) طريق يربط بين قرية صالح آغا وجياسورخ المعبد ضمن ناحية ميدان



صورة (٤٠) طريق غير معبد يربط بين قرية شمشير كول وميشاو في شمال المنطقة



• الاراضي المزروعة:

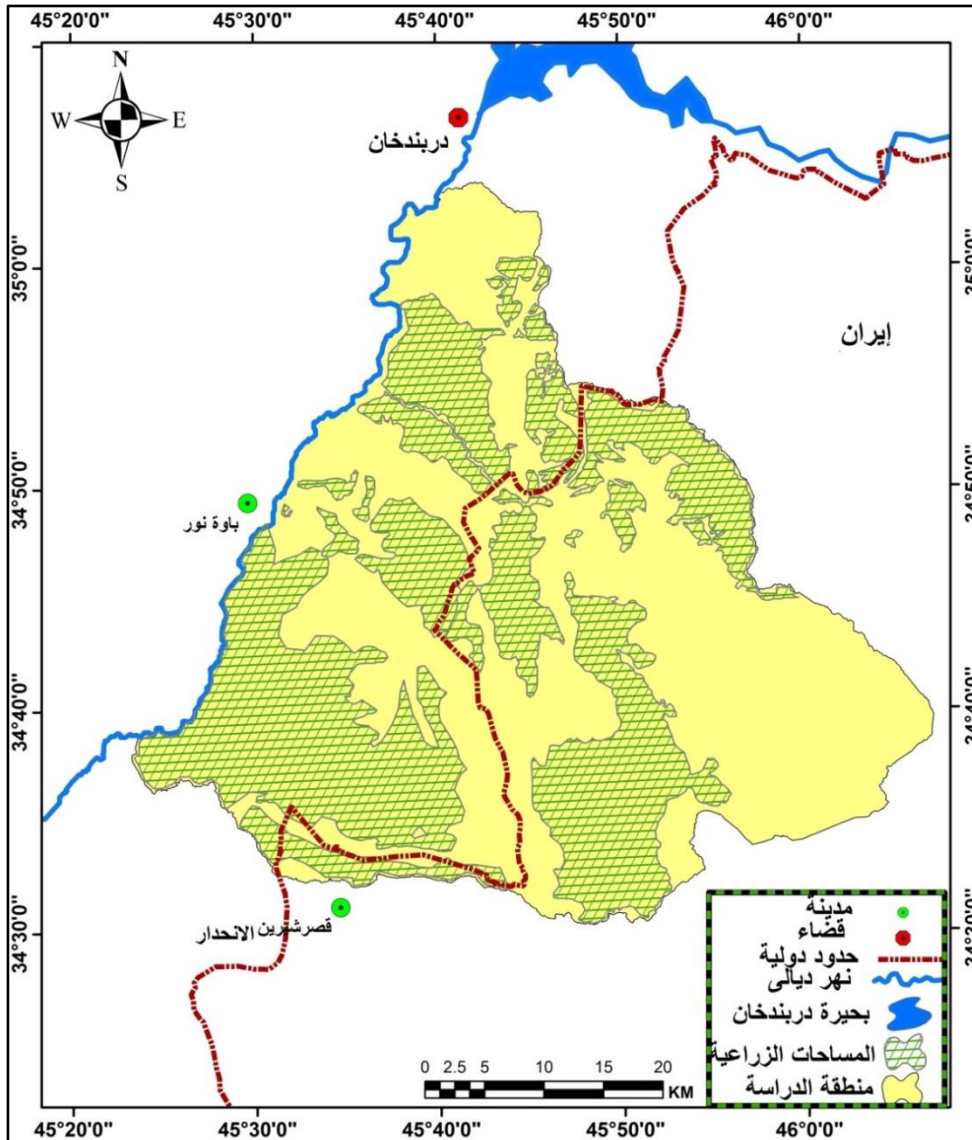
يعد النشاط الزراعي النشاط الأساسي الذي يزاوله سكان منطقة الدراسة ، نظراً لتوفر أغلب مقومات الزراعة من مناخ ومياه وتربة خصبة ويد عاملة ، فضلاً عن موقعها الجغرافي حيث تعد من المناطق الحدودية الامر الذي جعل سكان المنطقة يعتمدون على أنفسهم لسد النقص وتوفير الخضروات والفواكه^(١).

(١) شاكر خصبك، العراق الشمالي، مصدر سابق ، ص ٦٣.

الفصل الرابع أثر المخاطر الجيومورفية ومخاطر السيول على إستعمالات الأرض ضمن المنطقة

ويغلب ظهور نمط الزراعة الدائمة في المنطقة بشكل واسع ولا سيما في السهل الفيضي الذي يمتاز بخصوبة تربته التي تعد صالحة لزراعة مختلف المحاصيل ، كما في الخريطة (٨٠) ، لأنها ، فقد بلغت مساحة الاراضي الزراعية ٩٧٥ كم^٢ أي بنسبة (٤٥.١ %) من مجموع مساحة المنطقة ، حيث تتم زراعة أنواع متعددة من المحاصيل الشتوية والصيفية ويعود سبب التحسن الزراعي في المنطقة إلى وجود عدد من الينابيع والعيون وكذلك إستخدام المكننة الزراعية الحديثة في الحراثة ولا يقتصر على زراعة المحاصيل فقط بل زراعة أشجار الفاكهة والأشجار الأخرى لأغراض صناعية منها مثل أشجار التين، والرمان، والزيتون، والزعرور، وأشجار البلوط والعنب، والجوز والتوت البري *.

خريطة (٨٠) توزيع المساحات المزروعة ضمن منطقة الدراسة



المصدر: من عمل الباحثة بالاعتماد على أنموذج الارتفاع الرقمي (Dem) و الخريطة الطبوغرافية لمنطقة الدراسة بمقياس ١:١٠٠٠٠٠٠، ٢٠١٨، الصادرة عن وزارة الموارد المائية، الهيئة العامة للمساحة وعلى الدراسة الميدانية باستخدام برنامج الـ (ARC GIS) .arc map10

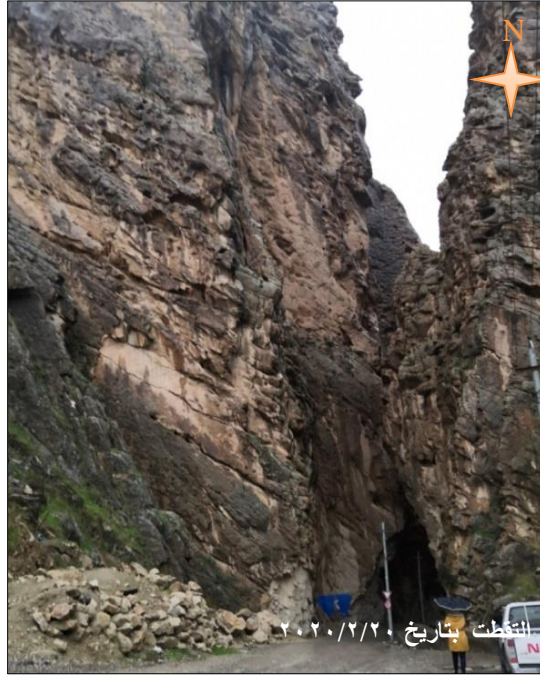
* الدراسة الميدانية.

• السياحة :

ترتبط معظم أركان السياحة بالبيئات الجبلية وذلك لما تتميز به من مناظر طبيعية تحقق الراحة وأستمتاع السائح كالقمم الجبلية والعيون والينابيع والشلالات ، فضلاً عن درجات الحرارة المناسبة وكثافة الأشجار ولاسيما في فصل الصيف عندما ترتفع درجات الحرارة، ففي المناطق الجبلية يكون الجو لطيف ودرجة الحرارة أقل^(١).

أن منطقة الدراسة تتمتع بتعدد الثروات الطبيعية التي تعمل على جذب السياح لأنها توفر بيئة متكاملة في المظهر الأرضي الذي يمثل احد دواعي السياحة في معظم دول العالم ، تميزت المنطقة بوجود مواقع سياحية تجذب أعداد كبيرة من السياح وخاصة في فصل الربيع من مختلف محافظات العراق وهما مصيف سه رتك الذي يتمثل بوادي دائم الجريان يصب في حوض عباسان يقع قرب قرية سه رتك ضمن قضاء ميدان ، فضلاً عن مصيف كوما بحري والذي يتمثل بعين للمياه الجوفية تقع ايضاً ضمن ناحية ميدان ، كما في الصورة (٤١) و(٤٢) والخريطة (٨١)، كما أن هناك مواقع مؤهلة أن تكون مناطق جذب سياحي في المستقبل ضمن منطقة الدراسة، إذ توجد ستة سلاسل جبلية موزعة في أغلب جهات المنطقة وهي سلسلة جبال بامو وخوشتك الحدودية التي تقع شمال شرق المنطقة حيث يصل ارتفاعها الى ١٦٠٠م فوق مستوى سطح البحر، وسلسلة جبال واربله وكلياني ودلاهو والتي تقع في الاجزاء الشرقية للمنطقة ضمن الاراضي الايرانية حيث تعد من اعلى القمم الجبلية في المنطقة إذ يصل ارتفاعها الى (٢٤٠٠م) فوق مستوى سطح البحر.

صورة(٤١) المدخل الى مصيف سرتك في شمال شرق المنطقة ضمن ناحية ميدان



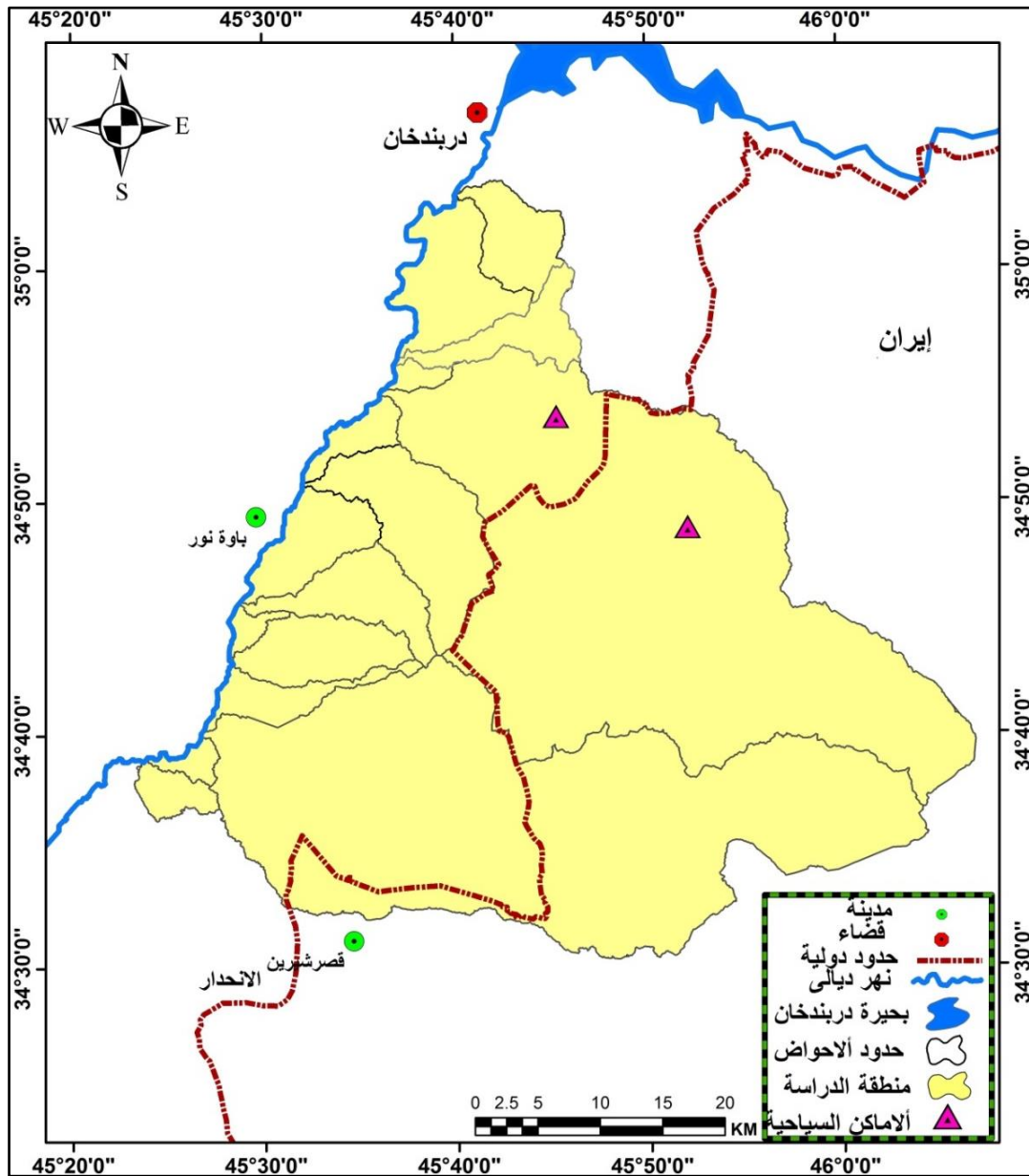
(١) بيداء محمود مجيد ، إشكال السفوح في جبل ناكرى دراسة جيومورفولوجية ، رسالة ماجستير غير منشورة ، جامعة صلاح الدين ، اربيل ، ٢٠١١ ، ص١١٤ .
*الدراسة الميدانية بتاريخ ٢٠٢٠/١/٢١ .

الفصل الرابع أثر المخاطر الجيومورفية ومخاطر السيول على إستعمالات الأرض ضمن المنطقة

صورة (٤٢) مصيف كولم بحري قرب قرية بيلولة في ناحية ميدان



خريطة (٨١) توزيع الاماكن السياحية في منطقة الدراسة



المصدر: من عمل الباحثة بالاعتماد على الدراسة الميدانية والـ (DEM) باستخدام برنامج الـ (ARC GIS(arc map10).

٤-٣-١ تقييم أثر المخاطر الجيومورفية على إستعمالات الأرض :

تعد المخاطر الجيومورفية إحدى المشكلات الرئيسية التي تهدد أوجه النشاط البشري المختلفة في منطقة الدراسة ، لذا فأنها تعكس أثرها بشكل مباشر على الأنشطة البشرية ودرجة الاستغلال للبيئة ، ولتقييم أثر المخاطر الجيومورفية على إستعمالات الأرض (المستقرات البشرية، الطرق، الاراضي الزراعية، السياحة) وتحديد مدى الخطورة التي ممكن أن تتعرض لها ، وذلك من خلال عمل مطابقة خرائطية بين طبقة المخاطر الجيومورفية وطبقات (إستعمالات الأرض في المنطقة) وكما يلي:

٤-٣-١-١. تقييم أثر المخاطر الجيومورفية على المستقرات البشرية:

تتعرض المنشآت والمباني لخطر الانهيارات الأرضية سواء كان سقوط صخري مفاجئ أو أنزلاقات أرضية أو زحف صخور، كما في الصورة (٤٣)، (٤٤)، حيث أن البناء العشوائي غير المنظم للمستقرات البشرية ولا سيما تحت أقدام الجبال أو التلال وخاصة عندما لا يكون هناك اتباع وسيلة لتثبيت السفوح قد يؤدي الى حدوث أضرار كبيرة وخسائر في الارواح والممتلكات، وهذا ما جعل سكان المنطقة يضطرون الى بناء منازلهم في الاراضي البعيدة عن سفوح المنحدرات بحثاً عن مكان يكون أكثر أمناً.

بعد عمل مطابقة بين طبقة أنموذج المخاطر الجيومورفية وخريطة توزيع المستقرات البشرية في المنطقة ، فقد أتضح من الخريطة (٨٢) والجدول (٩٣) ما يلي:

• المستقرات البشرية التي تنتشر ضمن الاجزاء القليلة الخطورة:

ضمت الاراضي التي تقع ضمن هذا المستوى من المخاطر الجيومورفية أكبر عدد من المستقرات البشرية وذلك لملائمة أراضيها للاستقرار والقابلية لممارسة مختلف الأنشطة البشرية ، والتي بلغت (٧٢) قرية أي بنسبة (٣٤.١%) من إجمالي أعداد القرى التي تتوزع ضمن الأراضي المعرضة للمخاطر الجيومورفية في احواض المنطقة، أما عددها ضمن الاراضي ما بين الاودية فقد بلغت (٣) قرية وبنسبة (٣٧.٥%) وكانت من ضمنها مدينة ميدان والتي تعد مركز الناحية.

• المستقرات البشرية التي تنتشر ضمن الاجزاء المتوسطة الخطورة:

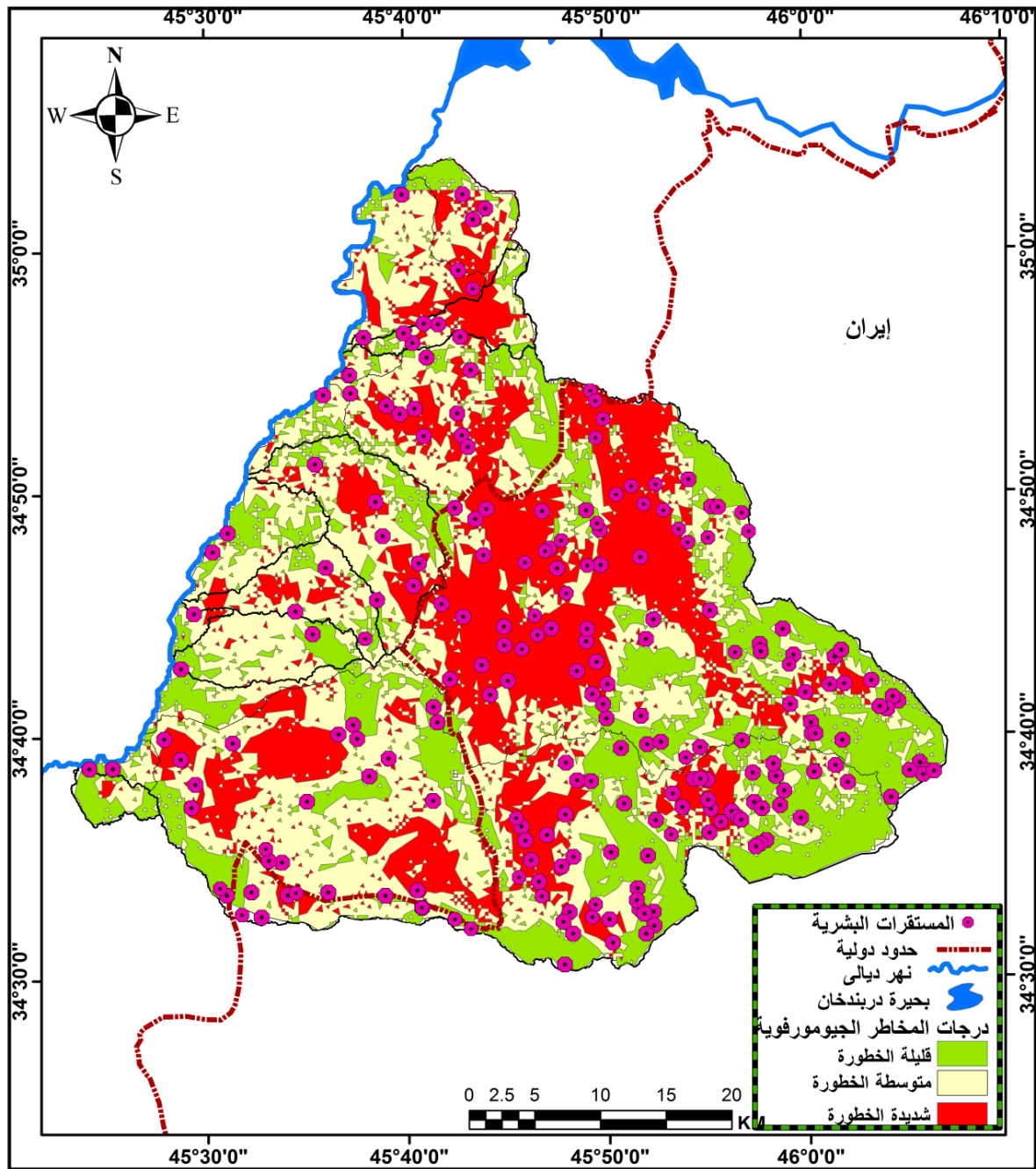
بلغت أعداد المستقرات البشرية التي تتوزع ضمن هذا المستوى (٧٠) قرية وكانت بنسبة (٣٣.٢%) من مجموع أعداد المستقرات التي تقع ضمن الاراضي المعرضة للمخاطر الجيومورفية في أحواض المنطقة، أما بالنسبة للاراضي التي تقع ما بين الاودية فقد ضمت (١) قرية أي بنسبة (١٢.٥%) من مجموع أعداد المستقرات التي وقعت ضمن هذه الاراضي.

الفصل الرابع أثر المخاطر الجيومورفية ومخاطر السيول على إستعمالات الأرض ضمن المنطقة

• المستقرات البشرية التي تنتشر ضمن الاجزاء الشديدة الخطورة:

بلغت أعداد المستقرات البشرية التي تقع ضمن الاجزاء المعرضة للمخاطر الجيومورفية الشديدة في أحواض المنطقة (٦٩) مستقرة بشرية أي بنسبة (٣٢.٧%)، أما أعداد المستقرات التي تقع ضمن الاراضي ما بين الاودية فقد بلغت (٤) مستقرة بشرية وبنسبة (٥٠%).

خريطة (٨٢) مطابقة المستقرات البشرية مع مستويات المخاطر الجيومورفية ضمن المنطقة



المصدر: من عمل الباحثة بالاعتماد على الخريطة (٧٦)، (٧٨) وباستخدام برنامج الـ (ARC GIS (arc map10).

الفصل الرابع أثر المخاطر الجيومورفية ومخاطر السيول على إستعمالات الأرض ضمن المنطقة

جدول (٩٣) الأطوال والنسب المئوية للمستقرات البشرية لمستويات المخاطر الجيومورفية في أحواض المنطقة

التصنيف	درجة المخاطر الجيومورفية ضمن الأحواض		درجة المخاطر الجيومورفية ضمن الأراضي بين الأودية	
	العدد	النسبة المئوية %	العدد	النسبة المئوية %
خطورة قليلة	٧٢	٣٤.١	٣	٣٧.٥
خطورة متوسطة	٧٠	٣٣.٢	١	١٢.٥
خطورة شديدة	٦٩	٣٢.٧	٤	٥٠
المجموع	٢١١	١٠٠	٨	١٠٠

المصدر: من عمل الباحثة بالاعتماد على خريطة (٨٢).

صورة (٤٣) تساقط الصخور بالقرب من المستقرات البشرية في قرية باغ ناران شمال شرق المنطقة



صورة (٤٤) تساقط الصخور بالقرب من المستقرات البشرية في قرية كاني كرماج ضمن ناحية ميدان



الفصل الرابع أثر المخاطر الجيومورفية ومخاطر السيول على إستعمالات الأرض ضمن المنطقة

٤-٣-١-٢. تقييم أثر المخاطر الجيومورفية على طرق النقل:

تتصف منطقة الدراسة بارتفاع نشاط العمليات المورفوديناميكية فيها وذلك لوجود منحدرات شديدة الارتفاع وسفوح جرفية فضلاً عن كونها منطقة نشطة تكتونياً إذ تعد مركزاً للبور الزلزالية الشديدة التي تحدث بصورة متكررة كما ذكر سلفاً في الفصل الخامس، حيث أن هناك العديد من الطرق التي تمتد ما بين الاودية والخنادق الضيقة حيث تقع تحت تهديد المخاطر الجيومورفية، فمنها ما تعرض للأنزلاقات الارضية وسقوط الصخور ولاسيما في المناطق الشديدة الارتفاع وذلك بسبب عدم أستقرارية منحدراتها وشدة ميلها^(١)، كما في الصورة (٤٥) ، وهذا ماحدث في الطريق الرئيسي الحدودي الذي يربط بين العراق وإيران الذي يمتد في ناحية ميدان، إحيث يعد من أكثر الطرق خطورةً، كونه يمر عبر ممرات جبلية ضيقة تقع ضمن وادي سرتك الذي يشق سلسلة جبال بامو، وذلك لانه يمتاز بارتفاع قممه الجبلية وبسفوحه الشديدة الانحدار والتي تبدو كحائط رأسي يحاذي الطريق من جانبيه ، لذا فقد تعرض الى حدوث انهيارات صخرية بالقرب من مصيف سرتك جراء وقوع زلزال عنيف ضرب الاراضي المحاذية لمنطقة الدراسة في يوم ٢٠١٧/١١/١٢م والذي كان بقوة (٧.٣ درجة) حسب مقياس ريختر على بعد ٣٢.٣ كم جنوب شرق مدينة حلبجة ، مما أدى الى غلق الطريق الرئيس المؤدي الى الحدود العراقية الايرانية الذي يمر بمصيف سرتك^(٢)، كما في صورة (٤٦-أ-ب)، ويمكن معالجة هذا النوع من المخاطر من خلال بناء جدار كونكريتي أو عمل حاجز من الاسلاك الشائكة لمنع أنزلاق وتساقط الصخور في الطرق وخاصة المقامة بالقرب من السفوح التي تكون قليلة الانحدار، الصورة (٤٧).

صورة (٤٥) تساقط الصخور وغلق الطريق الحدودي الذي يربط بين العراق وإيران في شمال المنطقة



المصدر: شبكة الانترنت <https://almasalah.com/ar/news/117921>

(١) محمود عبد الفتاح عبد اللطيف عنبر، الاخطار المناخية والبيئية في منخفض الواحات البحرية دراسة باستخدام الاستشعار عن بعد ونظم المعلومات الجغرافية ، أطروحة دكتوراه غير منشورة ، كلية الاداب ، جامعة القاهرة ٢٠١٥، ص ٣٠٤.
(٢) مقابلة مع السيد جهاد كريم من سكان قرية هورين مواليد ١٩٥٧م بتاريخ ١٣-٩-٢٠١٩ الساعة ١٠ صباحاً .

الفصل الرابع أثر المخاطر الجيومورفية ومخاطر السيول على إستعمالات الأرض ضمن المنطقة

صورة (٤٦ أ - ب) تساقط صخور في عند مدخل مصيف سرتك ضمن حوض عباسان
صور (أ)



صور (ب)



التقطتا بتاريخ ٢٠١٩ / ٥ / ٢ .

الفصل الرابع أثر المخاطر الجيومورفية ومخاطر السيول على إستعمالات الأرض ضمن المنطقة

وبعد عمل المطابقة الخرائطية بين طبقة الطرق وأنموذج المخاطر الجيومورفية وجد أن هناك تباين في أطوال الطرق الممتدة ضمن أصناف المخاطر الجيومورفية في أحواض المنطقة ، كما في الخريطة (٨٣) والجدول (٩٤) وكما يلي:

• الطرق التي تمتد ضمن الاراضي قليلة الخطورة:

بلغت أطوال الطرق المعبدة التي تمتد ضمن الاراضي القليلة الخطورة (٢١٦ كم) أي بنسبة (٢٦.٦%) ، أما الطرق غير المعبدة فقد بلغت أطوالها (١١١ كم) وبنسبة (٢٣.٣%) من مجموع أطوال الطرق التي تقع ضمن هذا المستوى في أحواض المنطقة.

• الطرق التي تمتد ضمن الاراضي متوسطة الخطورة:

تعد الطرق المعبدة ضمن الاراضي المتوسطة الخطورة هي الاطول امتداداً إذ بلغت (٣١٢ كم) وبنسبة (٣٨.٤%) ضمن أحواض المنطقة، وكما إن الاراضي التي تقع ما بين الاودية فقد امتدت بطول (٦٠ كم) وبنسبة (٣٦.٦%) ، أما الطرق غير المعبدة فقد امتدت بطول بلغ (١٨٩ كم) وبنسبة (٣٩.٧%) من مجموع أطوال الطرق الممتدة في الاحواض ضمن هذا المستوى، وكما امتدت بطول (٤٥ كم) أي بنسبة (٢٥.٧%) ضمن الاراضي ما بين الاودية .

• الطرق التي تمتد ضمن الاراضي شديدة الخطورة:

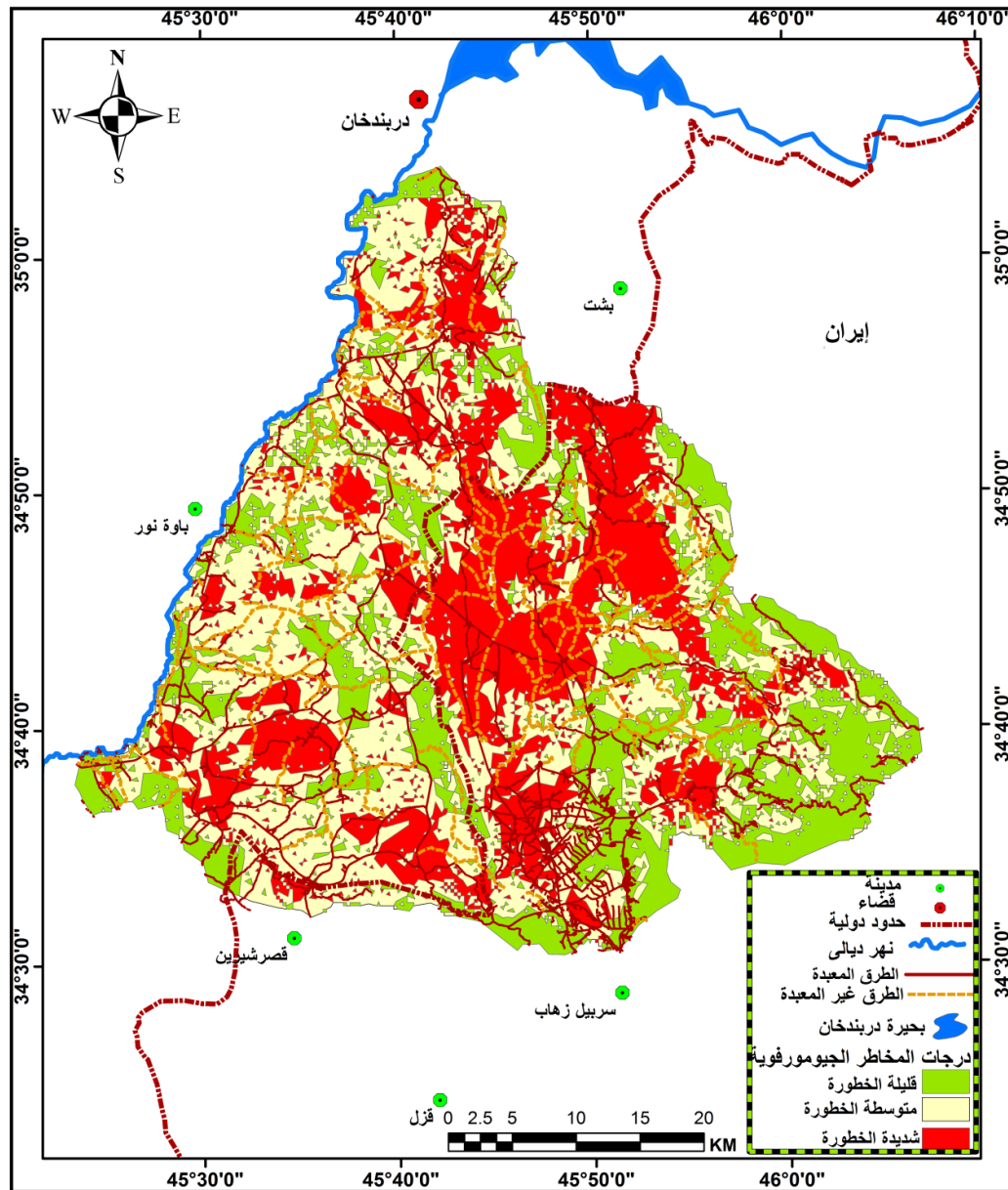
بلغت أطوال الطرق المعبدة ضمن هذا المستوى في أحواض المنطقة (٢٨٤ كم) وبنسبة (٣٥%) ، وكما بلغت أطوالها ضمن الاراضي ما بين الاودية (٩١ كم) وبنسبة (٥٢%) ، أما الطرق غير المعبدة فقد بلغت أطوالها (١٧٦ كم) وبنسبة (٣٧ %) من مجموع أطوال الطرق الممتدة ضمن الاراضي الشديدة الخطورة ، وكما امتدت أطوال الطرق غير المعبدة التي تقع ضمن الاراضي ما بين الاودية (٣٩ كم) وبنسبة (٢٢.٣%).

صورة (٤٧) جدار ساند لمنع تساقط الصخور في طريق ميدان بقويزة



الفصل الرابع أثر المخاطر الجيومورفية ومخاطر السيول على إستعمالات الأرض ضمن المنطقة

خريطة (٨٣) مطابقة طرق النقل مع مستويات المخاطر الجيومورفية في المنطقة



المصدر: من عمل الباحثة بالاعتماد على الخريطة (٧٦)، (٧٩) وباستخدام برنامج الـ (ARC GIS (arc map10).

جدول (٩٤) تصنيف المستقرات حسب توأجدها ضمن أنموذج المخاطر الجيومورفية

أطوال الطرق المعبدة المعرضة للمخاطر الجيومورفية ضمن الأراضي بين الاودية				أطوال الطرق المعبدة المعرضة للمخاطر الجيومورفية ضمن الأحواض				التصنيف
النسبة المئوية %	الطرق غير المعبدة/كم	النسبة المئوية %	الطرق المعبدة/كم	النسبة المئوية %	الطرق غير المعبدة/كم	النسبة المئوية %	الطرق المعبدة/كم	
٢٥.٧	٤٥	٣٢.٦	٦٠	٢٣.٣	١١١	٢٦.٦	٢١٦	خطورة قليلة
٥٢	٩١	٦٠.٩	١١٢	٣٩.٧	١٨٩	٣٨.٤	٣١٢	متوسطة الخطورة
٢٢.٣	٣٩	٦.٥	١٢	٣٧	١٧٦	٣٥	٢٨٤	خطورة شديدة
١٠٠	١٧٥	١٠٠	١٨٤	١٠٠	٤٧٦	١٠٠	٨١٢	المجموع

المصدر: من عمل الباحثة بالاعتماد على نتائج الخريطة (٨٣).

الفصل الرابع أثر المخاطر الجيومورفية ومخاطر السيول على إستعمالات الأرض ضمن المنطقة

٤-٣-١-٣. تقييم أثر المخاطر الجيومورفية على الاراضي الزراعية:

تعمل المخاطر الجيومورفية على تقليل فرص نمو المحاصيل الزراعية وذلك بسبب التأثير المباشر وغير المباشر للانهيئات الارضية كالانزلاق و التساقط الصخري الذي يعمل على ردم الكثير من مخارج المجاري المائية وبالتالي عدم وصول مياه السقي للأشجار والمحاصيل المزروعة في المنطقة^(١)، الصورة (٤٨)، (٤٩).

حيث تبين من عمل المطابقة بين خريطة المساحات الزراعية مع خريطة أنموذج المخاطر الجيومورفية أن هناك تباين في المساحات الزراعية المعرضة لاحتمالية حدوث المخاطر الجيومورفولوجية ، كما في الخريطة (٨٤) والجدول (٩٥) كما يلي:

• المساحات الزراعية التي تتوزع ضمن الاراضي قليلة الخطورة:

بلغت مساحة الاراضي الزراعية ضمن هذا المستوى من المخاطر (١٨٨.١ كم^٢) وبنسبة (٢١.٢%) من إجمالي المساحة المعرضة للمخاطر الجيومورفية ضمن أحواض المنطقة ، وكما بلغت المساحات الزراعية التي تتوزع ضمن الاراضي قليلة الخطورة التابعة للاراضي التي تقع ما بين (٢٥.١ كم^٢) وبنسبة (٢٨.٤%) .

• المساحات الزراعية التي تتوزع ضمن الاراضي متوسطة الخطورة:

سادت أكبر مساحة من الاراضي الزراعية ضمن هذا المستوى من المخاطر الجيومورفية والتي بلغت (٣٨٢.٧ كم^٢) أي بنسبة (٤٣.٢%) من مجموع مساحة الاراضي متوسطة الخطورة ضمن أحواض المنطقة ، بينما بلغت المساحات المزروعة في الاراضي ما بين الاودية (٥٠.٩ كم^٢) أي بنسبة (٥٧.٦%) ضمن هذا المستوى.

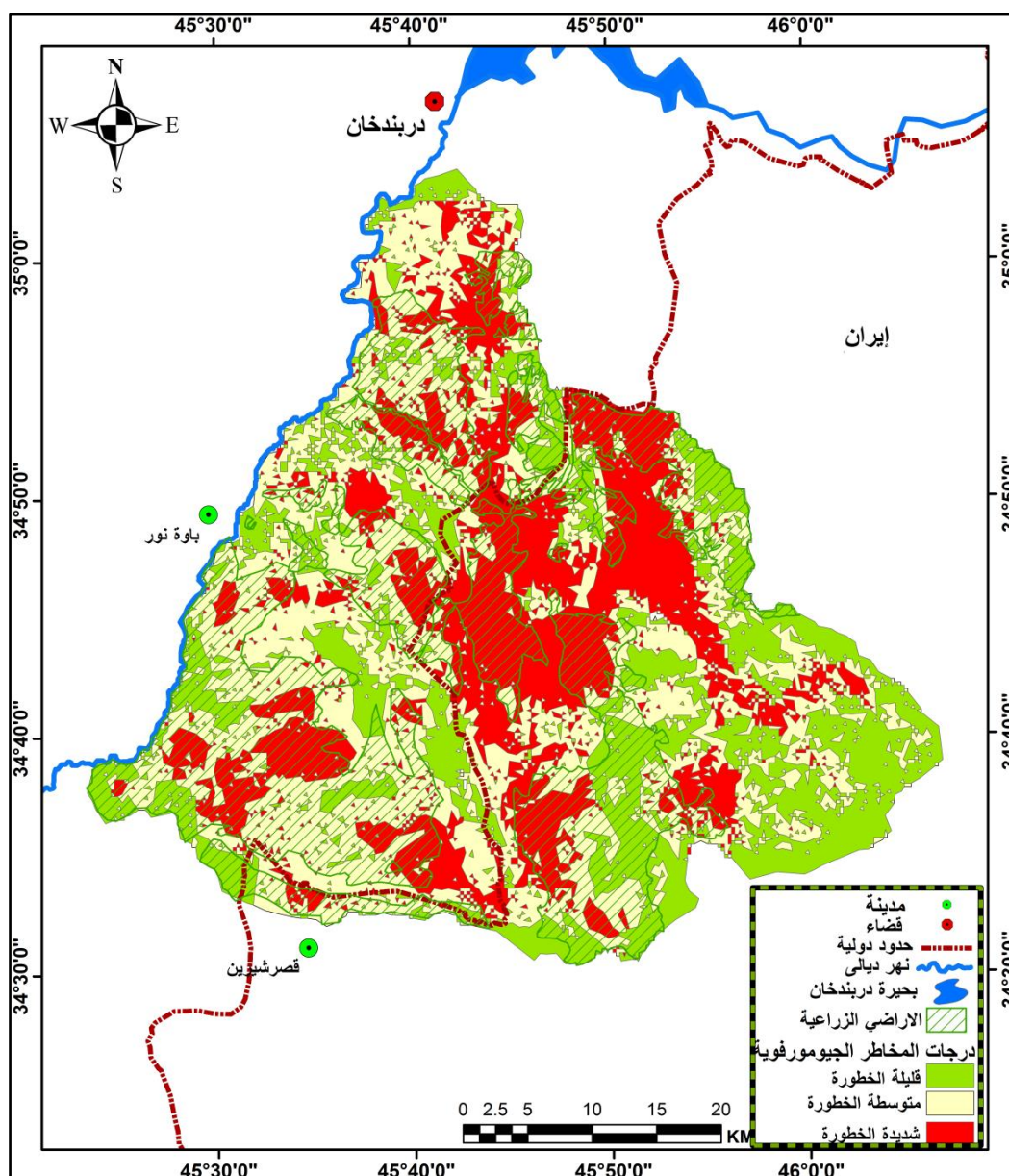
• المساحات الزراعية التي تتوزع ضمن الاراضي شديدة الخطورة:

بلغت مساحة الاراضي الزراعية ضمن الاراضي شديدة الخطورة (٣١٥.٤ كم^٢) وبنسبة (٣٥.٦%) من أجمالي المساحة المعرضة للمخاطر الجيومورفية ضمن أحواض المنطقة ، وكما شغلت المساحات الزراعية التي تقع ضمن الاراضي ما بين الاودية (١٢.٤ كم^٢) أي بنسبة (١٤%) من مجموع مساحتها.

(١) مروة محمد عمر عباس الجوهري ، هيدروجيومورفولوجية احواض التصريف الرئيسية على الساحل الغربي لخليج السويس . مصدر سابق، ص ٢٤.

الفصل الرابع أثر المخاطر الجيومورفية ومخاطر السيول على إستعمالات الأرض ضمن المنطقة

خريطة (٨٤) مطابقة الاراضي الزراعية مع أصناف المخاطر الجيومورفية ضمن المنطقة



المصدر: من عمل الباحثة بالاعتماد على الخريطة (٧٦)، (٨٠) وباستخدام برنامج الـ (ARC GIS(arc map10).

جدول (٩٥) تصنيف الاراضي الزراعية حسب تواجدها ضمن أنموذج المخاطر الجيومورفية في المنطقة

التصنيف		الاراضي الزراعية المعرضة للمخاطر الجيومورفية ضمن الأحواض		الاراضي الزراعية المعرضة للمخاطر الجيومورفية ضمن الأراضي بين الاودية	
		النسبة المئوية %	المساحة/كم ^٢	النسبة المئوية %	المساحة/كم ^٢
خطورة قليلة		٢١.٢	١٨٨.١	٢٨.٤	٢٥.١
خطورة متوسطة		٤٣.٢	٣٨٢.٧	٥٧.٦	٥٠.٩
خطورة شديدة		٣٥.٦	٣١٥.٤	١٤	١٢.٤
المجموع		١٠٠	٨٨٦.٢	١٠٠	٨٨.٤

المصدر: من عمل الباحثة بالاعتماد على نتائج الخريطة (٨٤).

الفصل الرابع أثر المخاطر الجيومورفية ومخاطر السيول على إستعمالات الأرض ضمن المنطقة

صورة (٤٨) تساقط الصخور في المجرى المائي الذي يصب ضمن الجانب الايمن لمنحدرات وادي سرتك



صورة (٤٩) تساقط الصخور في المجرى المائي الذي يصب ضمن الجانب الايمن لمنحدرات وادي سرتك



الفصل الرابع أثر المخاطر الجيومورفية ومخاطر السيول على إستعمالات الأرض ضمن المنطقة

٤-٣-١. تقييم أثر مخاطر الجيومورفية على الاماكن السياحية:

بعد مطابقة خريطة توزيع الاماكن السياحية مع طبقة أنموذج المخاطر الجيومورفية تبين أن مصيف سرتك وكولم بحري اللتان تعدان من أهم الاماكن السياحية في المنطقة ، إذ يقعان ضمن صنف الاراضي شديدة الخطورة ،خريطة (٨٥)، لذا فأنها تكون معرضة لاحتماالية حدوث انهيارات وإنزلاقات أرضية وتساقط صخري ، وهذا ماتم ملاحظته خلال الزيارة الميدانية للمنطقة، صورة (٥٠).

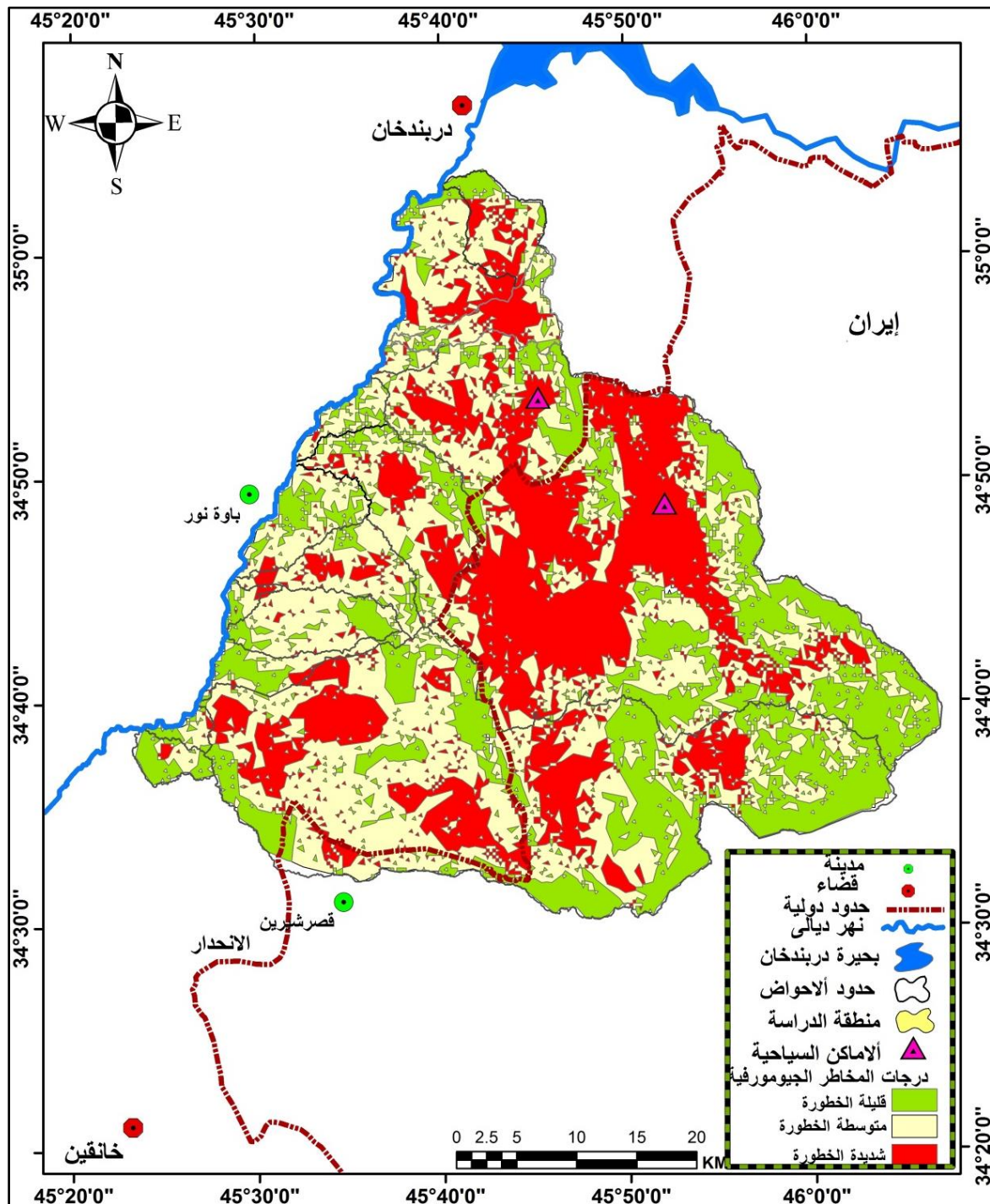
صورة (٥٠) تساقط الصخور أمام مصيف سرتك ضمن جوض عباسان



التقطت بتاريخ ٢٠١٩ /٥/٢

الفصل الرابع أثر المخاطر الجيومورفية ومخاطر السيول على إستعمالات الأرض ضمن المنطقة

خريطة (٨٥) مطابقة الاماكن السياحية مع مستويات المخاطر الجيومورفية في المنطقة



المصدر: من عمل الباحثة بالاعتماد على الخريطة (٧٦)، (٨١) وباستخدام برنامج الـ (arc map10) GIS.

نستنتج مما سبق إن أعلى نسبة لأعداد المستقرات البشرية توزعت ضمن المناطق قليلة الخطورة ، بينما إمتدت أعلى نسبة لاطوال الطرق المعبدة وغير المعبدة أمتدت ضمن الاراضي متوسطة الخطورة ، وكما شغلت المساحات الزراعية أعلى نسبة ضمن الاراضي

الفصل الرابع أثر المخاطر الجيومورفية ومخاطر السيول على إستعمالات الأرض ضمن المنطقة

متوسطة الخطورة، أما بالنسبة للأماكن السياحية فأن مصيف سرتك وكوملم بحري قد وقعا ضمن الاراضي شديدة الخطورة.

٢-٣-٤. تقييم أثر مخاطر السيول على إستعمالات الارض :

تعد المخاطر الناجمة عن السيول إحدى أهم المشكلات المؤثرة في حركة التنمية بالمنطقة ، ولمعرفة مدى خطورة السيول على أستعمالات الارض وشدتها ، فقد تم عمل مطابقة بين خرائط إستعمالات الارض مع خريطة أنموذج مخاطر السيول ضمن أحواض المنطقة، وكما يلي:

١-٢-٣-٤. تقييم أثر مخاطر السيول على المستقرات البشرية:

قد يلحق بالمستقرات البشرية الكثير من الأضرار نتيجة لحدوث السيول والتي تتمثل بعمليات تآكل ونحت الجدران التي من شأنها أن تعمل على تقويض التربة أسفل المباني لا سيما المشيدة بمواد بناء تقليدية قديمة والمقامة على منحدرات الأودية ذات التكوينات الهشة قليلة المقاومة للتعرية المائية فيعرضها ذلك لأحتمالية الانهيار، وهذا ما لوحظ خلال الدراسة الميدانية^{*}، كما في الصورة (٥١) .

ولتحديد القرى المعرضة لمخاطر السيول فقد تم مطابقة خريطة توزيع المستقرات البشرية مع خريطة أنموذج مخاطر السيول ، الخريطة (٨٦) والجدول (٩٦) وكما يلي:

• المستقرات البشرية التي تنتشر ضمن الاراضي متوسطة الخطورة:

بلغت أعداد القرى التي تتوزع ضمن أحواض المنطقة والتي تمثل صنف الخطورة المتوسطة (٢٣) مستقرة بشرية ونسبة (٩.٧ %) .

• المستقرات البشرية التي تنتشر ضمن الاراضي الشديدة الخطورة:

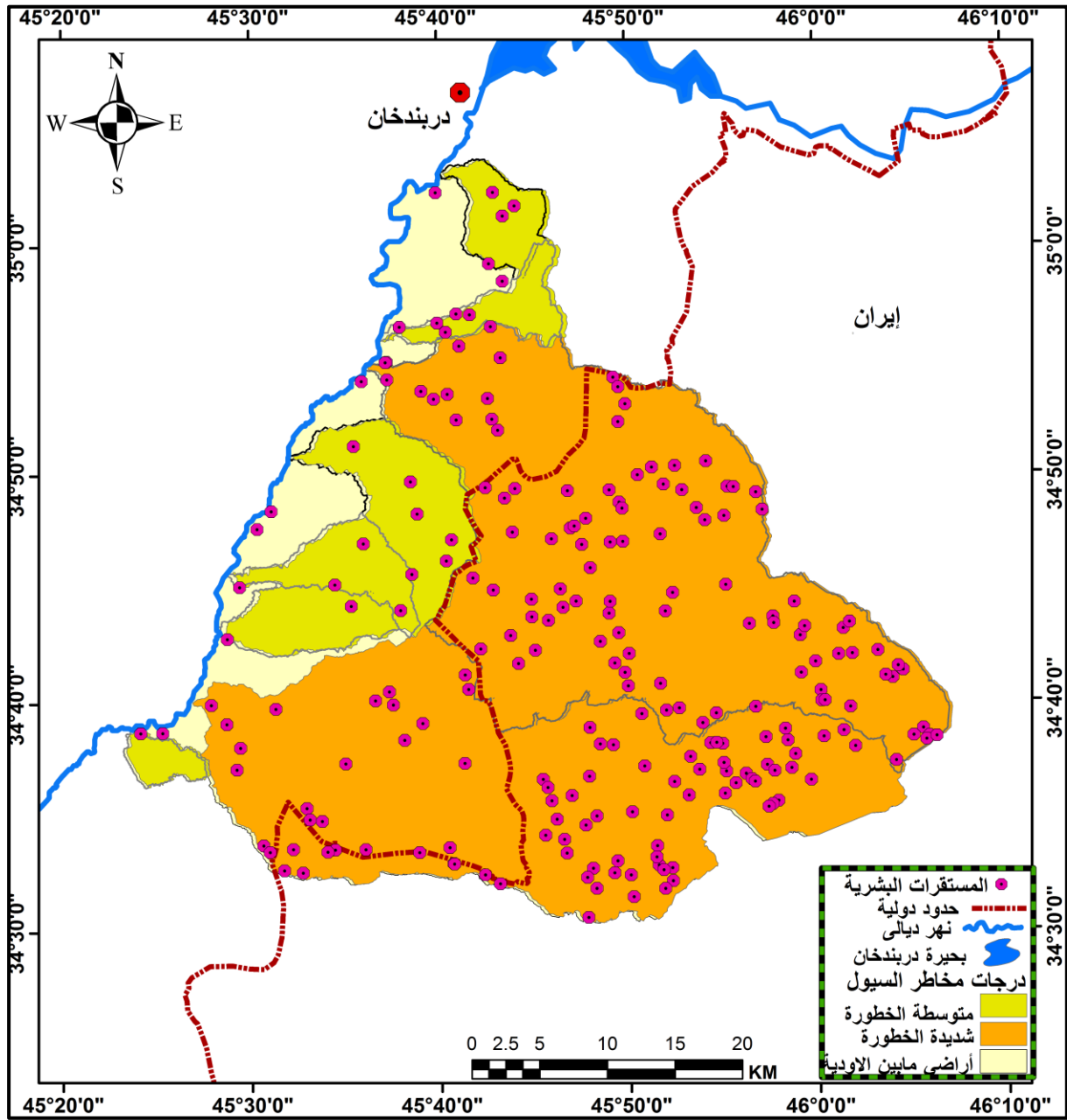
بلغت أعداد القرى التي تقع ضمن هذا المستوى (١٨٩) قرية أي بنسبة (٨٩.٣) من مجموع أعداد القرى المعرضة لمخاطر السيول الشديدة ضمن أحواض المنطقة.

وكما بلغت اعداد القرى التي وقعت ضمن الاراضي ما بين الاودية (٤) قرية.

* مقابلة مع السيد حيدر شكر من سكان قرية مجيد اغا من مواليد ١٩٦٦م وذلك بتاريخ ٢٠١٩/٥/٤ الساعة ٥ عصراً.

الفصل الرابع أثر المخاطر الجيومورفية ومخاطر السيول على إستعمالات الأرض ضمن المنطقة

خريطة (٨٦) مطابقة القرى مع درجات مخاطر السيول ضمن أحواض المنطقة



المصدر: من عمل الباحثة بالاعتماد على الخريطة (٧٧) و (٧٨) باستخدام برنامج الـ Arc GIS (arc map10).

جدول (٩٦) الأعداد والنسب المئوية للمستقرات البشرية ضمن درجات مخاطر السيول في أحواض المنطقة

المستقرات البشرية		درجة خطورة السيول ضمن الأحواض
النسبة المئوية %	العدد	
٩.٧	٢٣	خطورة متوسطة
٨٩.٣	١٨٩	خطورة شديدة
١٠٠	٢١٢	المجموع

المصدر: من عمل الباحثة بالاعتماد على الخريطة (٨٦).

الفصل الرابع أثر المخاطر الجيومورفية ومخاطر السيول على إستعمالات الأرض ضمن المنطقة

صورة (٥١) حدوث السيول ضمن المستقرات البشرية في قرية مجيد قادر آغا ضمن ناحية قورة تو



النقطت بتاريخ ٢٠١٩/١/٢ .

٤-٣-٢. تقييم أثر مخاطر السيول على طرق النقل:

تمتاز منطقة الدراسة بانتشار شبكات التصريف المائي المترابطة مما جعل المنطقة عرضة لمخاطر السيول ولاسيما عند حدوث عواصف مطرية متمثلة بسقوط أمطار غزيرة خلال فترة زمنية قصيرة ، والذي أحياناً ما ينتج عنه تدمير جزئي أو كلي للطرق التي تربط بين المستقرات البشرية الموزعة بصورة عشوائية ضمن أحواض المنطقة، أي أن حدوث الجريان السيلى فيها يمكن أن يؤدي إلى زيادة عيوب الطرق مثل التشققات العرضية والطولية نتيجة لعمليات التجوية الكيميائية والميكانيكية معاً^(١)، وخاصة الطرق التى تسير عمودية على اتجاه المجارى المائية وهذا ماتم ملاحظته في المنطقة خلال الدراسة الميدانية في الطريق الذي يربط بين قرية صالح آغا وجياسورخ ، الصورة(٥٢)، (٥٣-ب) ، و كما يؤدي الجريان السيلى الشديد إلى تآكل جوانب الطرق غير المرصوفة نظراً لتجمع كميات كبيرة من الأمطار، وبصفة خاصة الطرق التى تمر أمام الحواف الجبلية مباشرة، فتشكل المسيلات الجبلية تهديداً للطرق بسبب شدة الانحدار من ناحية وضيق تلك الطرق من ناحية أخرى*.

(١) مروة محمد عمر عباس الجوهري ، هيدروجيومورفولوجية احواض التصريف الرئيسية على الساحل الغربي لخليج السويس، مصدر سابق، ص ٢١٩.
* الدراسة الميدانية بتاريخ ٢٠٢٠/٢/٢١.

الفصل الرابع أثر المخاطر الجيومورفية ومخاطر السيول على إستعمالات الأرض ضمن المنطقة

بعد إجراء المطابقة بين خريطة الطرق وأنموذج مخاطر السيول أظهرت النتائج أن نسبة كبيرة من أطوال الطرق تقع ضمن الاراضي الشديدة الخطورة، كما في الخريطة (٨٧) والجدول (٩٧) وكما يأتي:

• الطرق التي تمتد ضمن الاحواض المتوسطة الخطورة:

بلغت أطوال الطرق المعبدة ضمن هذا المستوى من مخاطر السيول (٩٣ كم) أي بنسبة (١٠.٣%) من مجموع الطرق المعبدة التي تقع ضمن أحواض المنطقة، أما الطرق غير المعبدة فقد بلغت أطوالها (١٥٨ كم) وبنسبة (٢٧.٢%) من إجمالي أطوال الطرق غير المعبدة ضمن أحواض المنطقة.

• الطرق التي تمتد ضمن الاحواض الشديدة الخطورة:

بلغت أطوال الطرق المعبدة ضمن هذا الصنف (٨١١ كم) وبنسبة (٨٩.٧%) من مجموع أطوال الطرق ضمن احواض المنطقة، بينما بلغت الطرق غير المعبدة (٤٢٢ كم) أي بنسبة (٧٢.٨%) من إجمالي أطوال الطرق في الاحواض. علماً إن أطوال الطرق المعبدة بلغت (٩٢ كم) وكما أن الطرق غير المعبدة بلغت أطوالها (٧١ كم) ضمن الاراضي التي تقع ما بين الاودية.

صورة (٥٢) تقويض على الجانب الايسر في طريق قرية صالح آغا وجياسورخ



الدراسة الميدانية بتاريخ ٢٠٢٠/٢/٢٢ .

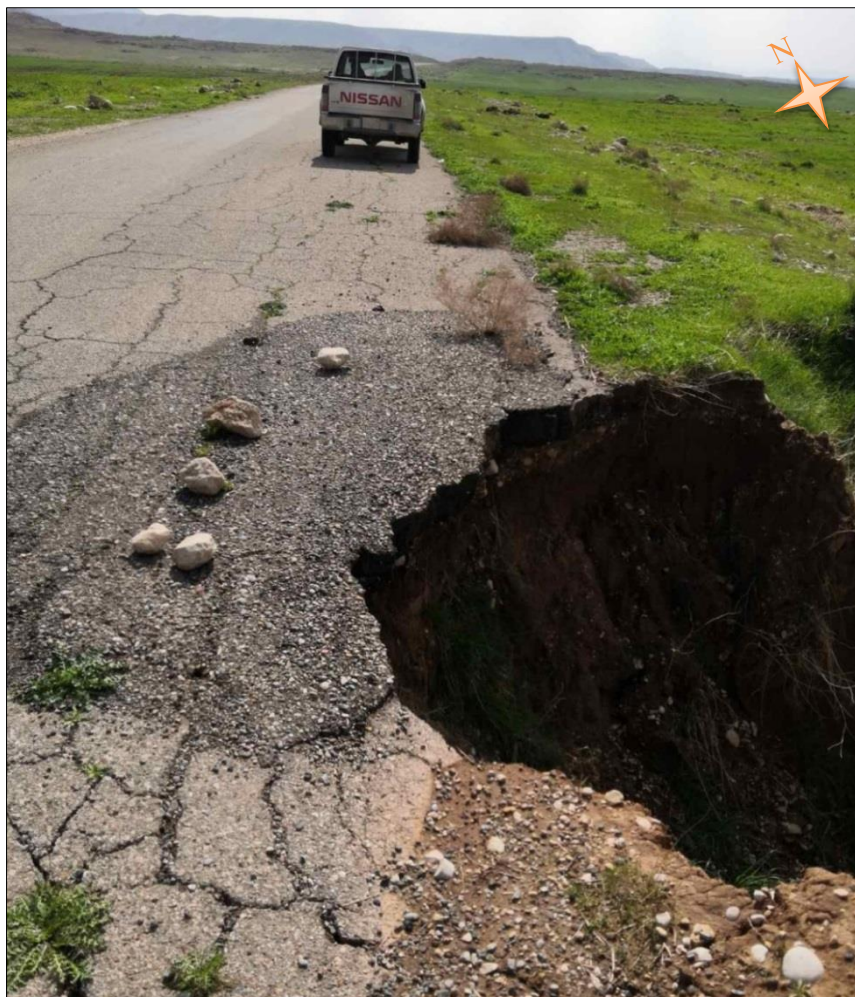
الفصل الرابع أثر المخاطر الجيومورفية ومخاطر السيول على إستعمالات الأرض ضمن المنطقة

صورة (٥٣ أ- ب) تقويض على الجانب الايمن بفعل السيول في طريق صالح أغا وجياسورخ

صور(أ)



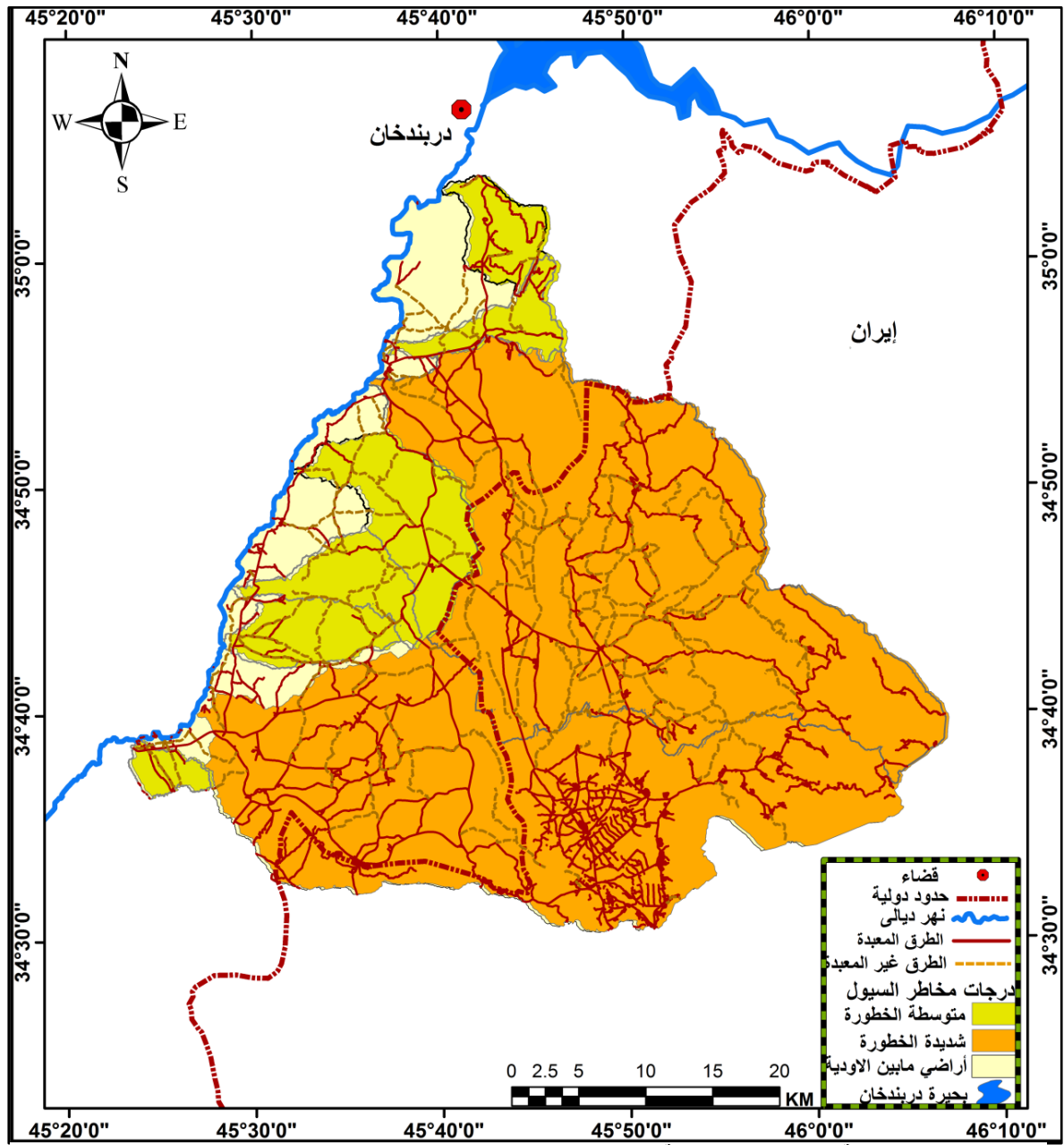
صور(ب)



التقطتا بتاريخ ٢٠٢٠/٢/٢٢

الفصل الرابع أثر المخاطر الجيومورفية ومخاطر السيول على إستعمالات الأرض ضمن المنطقة

خريطة (٨٧) مطابقة الطرق ومخاطر السيول في المنطقة



جدول (٩٧) أطوال الطرق حسب تواجدها ضمن أنموذج مخاطر السيول

الطرق غير المعبدة		الطرق المعبدة		تصنيف خطورة السيول ضمن الأحواض
النسبة المئوية%	الطول/ كم	النسبة المئوية%	الطول/ كم	
٢٧.٢	١٥٨	١٠.٣	٩٣	خطورة متوسطة
٧٢.٨	٤٢٢	٨٩.٧	٨١١	خطورة شديدة
١٠٠	٥٨٠	١٠٠	٩٠٤	المجموع

المصدر: من عمل الباحثة بالاعتماد على نتائج الخريطة (٨٧).

٤-٣-٢-٣. أثر مخاطر السيول على الأراضي الزراعية:

أن للسيول تأثير سلبي على الأراضي الزراعية حيث تؤدي إلى تضرر بعض المزروعات وأقتلاعها، حيث تعمل على إنجراف وإزالة التربة التي تغطي جذور النباتات مما يؤدي ذلك إلى ضعف تماسك جذور الأشجار بالأرض ، صورة (٥٤ و ٥٥) ، وهذا ما يقلل من مقاومتها للرياح والأعاصير والعواصف وسهولة أقتلاعها في نهاية الأمر، كما تعمل السيول على تجريف التربة الزراعية مما يؤثر ذلك على فقدان التربة لخصوبتها وبالتالي تقلص حجم المساحات المزروعة ، كما إن هناك تأثير إيجابي للسيول حيث تعمل على جلب الترسبات من مناطق مختلفة ، مكونة بذلك السهل الفيضي الذي يتميز بخصوبته وملائمته لزراعة مختلف المحاصيل^(١).

بعد عمل المطابقة بين طبقة الأراضي الزراعية مع أنموذج مخاطر السيول كما في خريطة (٨٨) والجدول (٩٨) أتضح مايلي:

• الأراضي الزراعية التي تتوزع ضمن الاحواض المتوسطة الخطورة:

بلغت مساحة الأراضي المزروعة ضمن هذه الاحواض (١٤٦.٩ كم) أي بنسبة (١٦.٦%) من مجموع مساحة الأراضي الزراعية المعرضة للخطورة المتوسطة ضمن أحواض المنطقة.

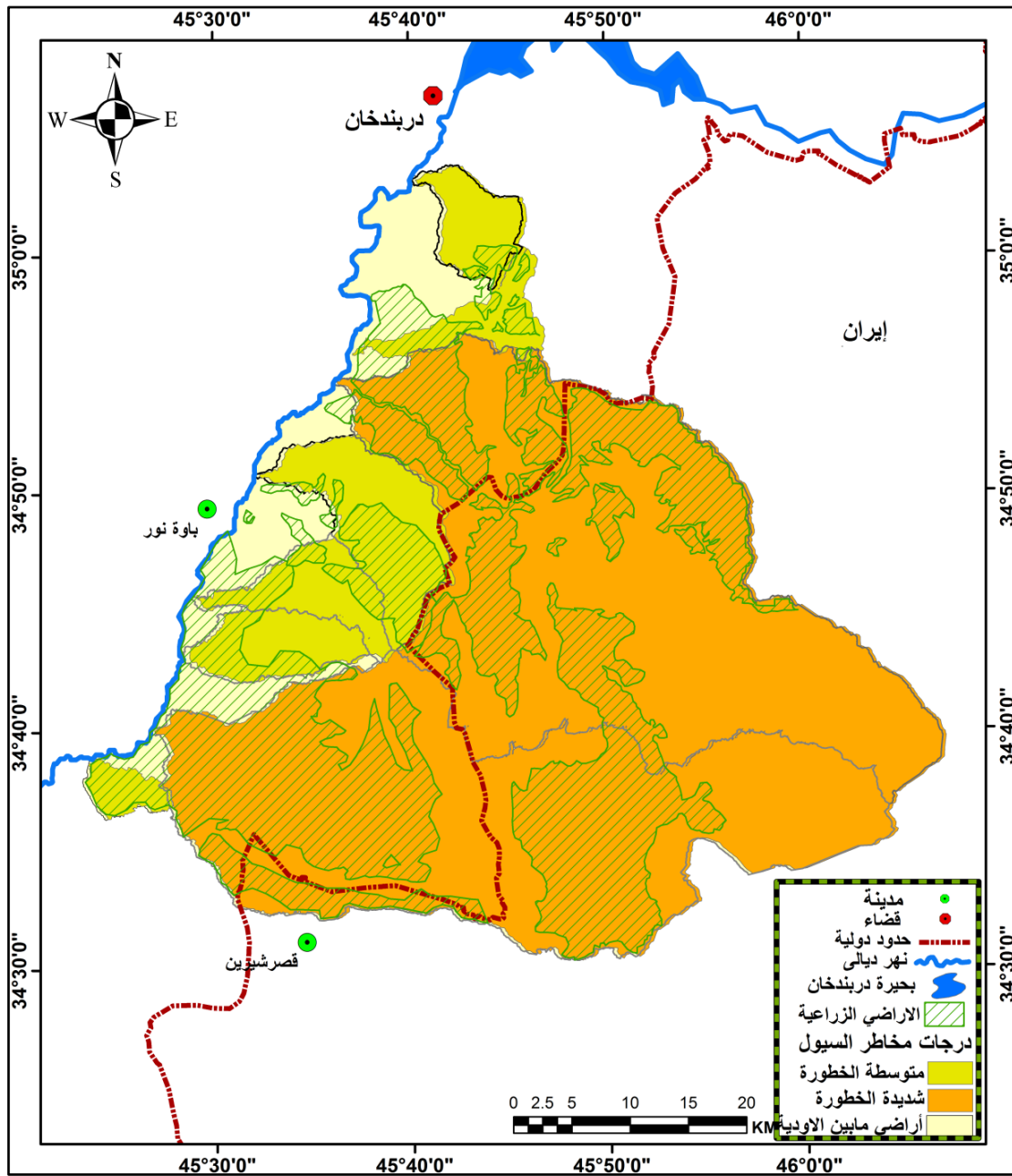
• الأراضي الزراعية التي تتوزع ضمن الاحواض الشديدة الخطورة:

سادت أغلب مساحات الأراضي المزروعة ضمن هذا الصنف والتي بلغت (٧٣٩.٧ كم) أي بنسبة (٨٣.٤%) من مجمل مساحة أراضي الاحواض المعرضة للخطورة الشديدة. بينما بلغت مساحة الأراضي المزروعة التي تقع ما بين الاودية (٨٨.٤ كم) وبنسبة (٩.١%) من مجموع مساحة الأراضي المزروعة في المنطقة، وتتمثل بالسهل الفيضي قرب مصبات الاحواض في نهر ديالى، حيث يعد من أخصب الأراضي في المنطقة.

(١) مروة محمد عمر عباس الجوهري ، هيدروجيومورفولوجية احواض التصريف الرئيسية على الساحل الغربي لخليج السويس، مصدر سابق، ص ٢٢١.

الفصل الرابع أثر المخاطر الجيومورفية ومخاطر السيول على إستعمالات الأرض ضمن المنطقة

خريطة (٨٨) مطابقة الاراضي الزراعية ومخاطر السيول في المنطقة



المصدر: من عمل الباحثة بالاعتماد على الخريطة (٧٧)، (٨٠) وباستخدام برنامج الـ (ARC GIS(arc map10).

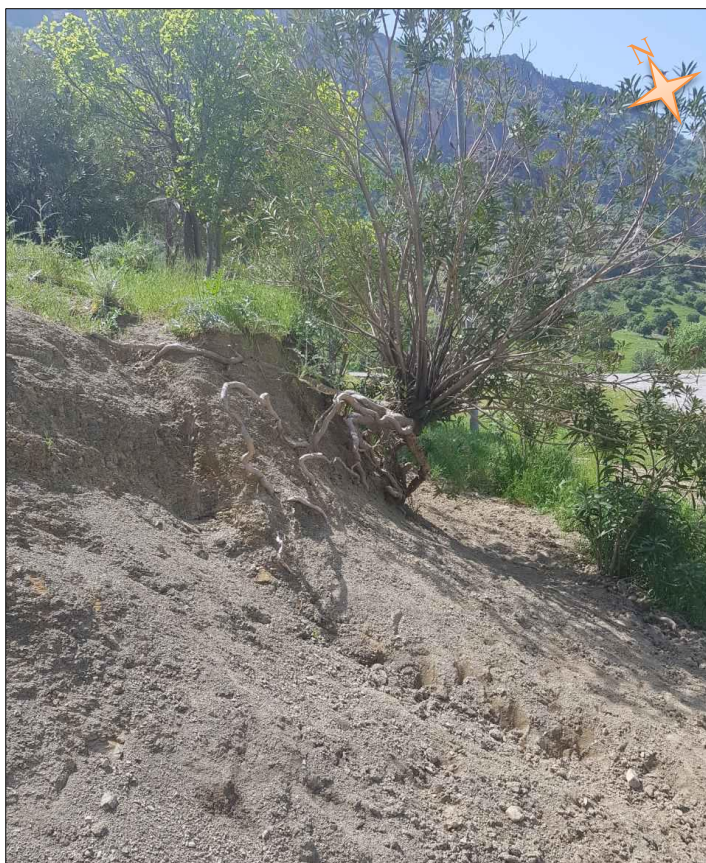
جدول (٩٨) تصنيف الاراضي الزراعية حسب تواجدتها ضمن أنموذج مخاطر السيول

الاراضي الزراعية		تصنيف خطورة السيول ضمن الأحواض
النسبة المئوية/%	المساحة/كم ^٢	
١٦.٦	١٤٦.٩	خطورة متوسطة
٨٣.٤	٧٣٩.٧	خطورة شديدة
١٠٠	٨٨٦.٦	المجموع

المصدر : من عمل الباحثة بالاعتماد على الخريطة (٨٨).

الفصل الرابع أثر المخاطر الجيومورفية ومخاطر السيول على إستعمالات الأرض ضمن المنطقة

صورة (٥٤) إقتلاع جذور الاشجار بسبب أنجراف التربة



التقطت بتاريخ ٢٠٢٠/٥/٣

صورة (٥٥) ضعف تماسك جذور الاشجار بسبب أنجراف التربة



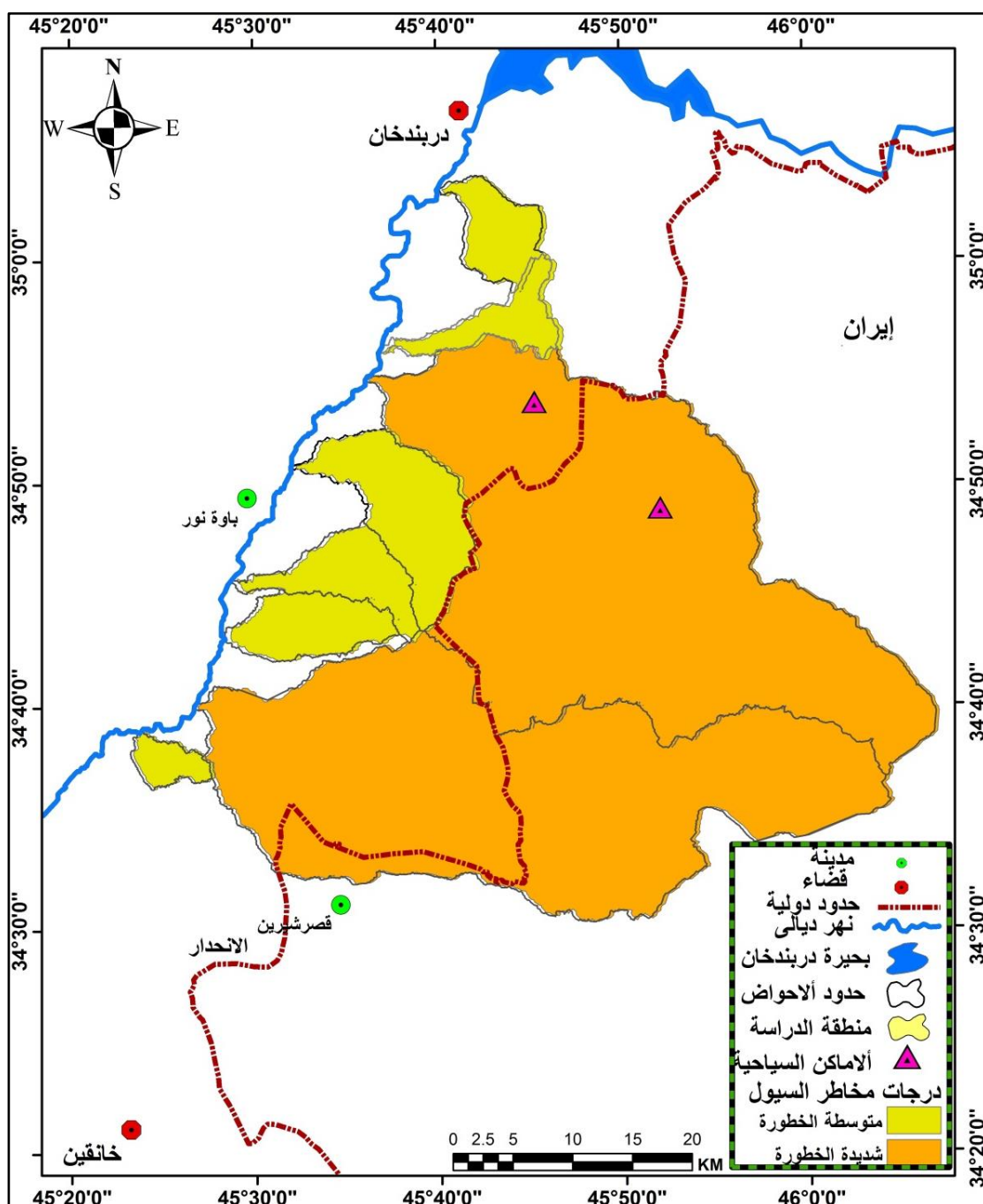
التقطت بتاريخ ٢٠٢٠/٥/٣

الفصل الرابع أثر المخاطر الجيومورفية ومخاطر السيول على إستعمالات الأرض ضمن المنطقة

٤-٣-٢-٤. تقييم أثر مخاطر السيول على الاماكن السياحية:

بعد مطابقة خريطة توزيع الاماكن السياحية مع خريطة أنموذج مخاطر السيول ، تبين أن مصيف سرتك وكولم بحري تقعان ضمن صنف الاراضي شديدة الخطورة حيث تكون معرضة لاحتمالية حدوث خطر السيول ، كما في الخريطة (٨٩).

خريطة (٨٩) مطابقة الاماكن السياحية مع مخاطر السيول في المنطقة



المصدر: من عمل الباحثة بالاعتماد على الخريطة (٧٧)، (٨١) وباستخدام برنامج الـ (ARC GIS (arc map10).

نستنتج مما سبق أن أغلب أعداد المستقرات البشرية والطرق المعبدة وغير المعبدة وكذلك أعلى نسبة من المساحات الزراعية فضلاً عن الاماكن السياحية قد وقعت ضمن الاراضي التي تكون

الفصل الرابع أثر المخاطر الجيومورفية ومخاطر السيول على إستعمالات الأرض ضمن المنطقة

عرضة لحدوث مخاطر سيول شديدة جارفة ويعود ذلك الى طبيعة الظروف المناخية للمنطقة التي تتميز بتعرضها لعواصف مطرية بشكل مستمر.

ويمكن الاستفادة من مياه السيول من خلال القيام بإنشاء مجموعة من السدود الركامية الترابية في بطون الأودية وذلك لتقليل أثر السيول على الأراضي الزراعية وكذلك لحصر مياه السيول الاستفادة منها في موسم الجفاف ، وهذا ما شوهد خلال الدراسة الميدانية بالقرب من قرية علي مير، الصورة (٥٦)، (٥٧).

صورة (٥٦) الجانب الايمن لسدة ترابية لحصاد مياه السيول في قرية علي مير



صورة (٥٧) الجانب الايسر لسدة ترابية لحصاد مياه السيول في قرية علي مير



التقطتا بتاريخ ٢٠٢٠-٢-٢١

الاستنتاجات والتوصيات

❖ الاستنتاجات Conclusion:

١- تبين إن منطقة الدراسة تقع ما بين نطاق الطيات العالية (High folded zone) ونطاق الطيات الواطئة (Low folded zone)، إذ تأثرت المنطقة بالحركات الألبية التي نتج عنها تشكيل الطيات المحدبة والمقعرة ، وكما تعرضت الطبقات الصخرية إلى حركات تكتونية بصورة مستمرة نتيجة لوقوع المنطقة ضمن الاراضي الحدودية المحاذية للصفحة العربية والفارسية التي تتصف بعدم استقراريتها لظهور الصدوع والفوالق مما أدى ذلك إلى تكشف الطبقات الصخرية وزيادة ميلها وتشققها بالطبقات المائلة تكون أكثر عرضة لعمليات التجوية والتعرية، وكذلك شدة تضرر المنطقة التي تراوح ارتفاع بين (٣٠٠ - ٢٤٠٠ م) فوق مستوى سطح البحر أسهم في زيادة فاعلية العمليات الجيومورفية ، لذا فإن الاراضي الواقعة ضمن الأنطقة العالية من الصعب إستعمالها كونها تتأثر بالمخاطر الجيومورفية الشديدة وكذلك تؤثر في هيدرولوجية السيول التي تحدث في المنطقة.

٢- تبين أن أعلى الشدات المطرية هطلت خلال الموسم المطري (٢٠١٧ - ٢٠١٨) م الذي يعد من أغزر المواسم خلال المدة المعتمدة في الدراسة وهي (١١) سنة أي خلال دورة مناخية صغرى، والتي تمثلت بالسنوات المحصورة بين عامي (٢٠٠٨ - ٢٠١٨) ، حيث بلغت أعلى كمية مياه للشدة المطرية (٥٨ ملم/ساعة) والتي هطلت في المحطة (A) خلال يوم ٢١/٥/٢٠١٨ م ، حيث أستمرت (٣) ساعات متتالية، أما في المحطة (B) فقد بلغت أعلى كمية مياه للشدة المطرية (٣٦ ملم/ساعة) الساقطة خلال يوم (٦-٢٠١٨/٥/٧) والتي أستمرت (٤) ساعات متتالية، وفي المحطة (C) فقد بلغت أعلى كمية مياه ساقطة خلال الشدة المطرية (٤٤ ملم/ساعة) وصادفت في يوم (١١/٤/٢٠١٨ م) إذ إستمرت (٥) ساعات متواصلة .

٣- اظهر تحليل الخرائط الطقسية لمنطقة الدراسة أن هناك علاقة وثيقة بين تكرار المنظومات الضغطية الرطبة وتعمقها وطول مدة بقائها فوق المنطقة مع زيادة تكرار الشدات المطرية وغزارتها وأستمراريتها وخاصة في الأجزاء الشمالية الشرقية من المنطقة.

٤- أفرزت الدراسة أن هناك تبايناً في مساحات الاحواض ضمن المنطقة وهذا ناتج من طبيعة إختلاف البنية الجيولوجية وماتعرضت له من حركات تكتونية خلال العصور الجيولوجية السابقة التي أسهمت في تشكيل ورسم مورفولوجية السطح وما رافق هذه الحركات من انتشار الطيات و الصدوع والفوالق التي عملت على تشكيل وتحديد مسارات أنماط شبكة التصريف النهري في المنطقة، وتبين أن حوض أوبر وخور خور وسي حران وبانزمين هي أكثر الأحواض في المنطقة كانت أقرب الى الشكل المستدير أي إنها وصلت الى مرحلة متطورة جيومورفياً وبذلك أتضح أن عدد كبير من أحواض

المنطقة تكون معرضة لحدوث مخاطر سيول محتمل أن تحدث في المنطقة ولاسيما عند سقوط شذات مطرية غزيرة.

٥- تبين من دراسة الخصائص المورفومترية والهيدرولوجية للمنطقة ان هناك علاقة طردية بين مساحة الاحواض وكمية المياه التي تجري خلال أوديتها ، فكلما كبرت مساحة الحوض زادت كمية ما يستقبله من أمطار وبالتالي زيادة الفائض المائي، إذ أتضح إن أحواض المنطقة تعاني من مخاطر تدفقات السيول الجارفة ، حيث تتفاوت درجة خطورتها من حوض إلى آخر، و إن حوضي عباسان وقورة تو هما أكثر الأحواض عرضة لأحتمالية حدوث سيول شديدة الخطورة.

٦- تراوحت قيم الـ (CN) في منطقة الدراسة ما بين (٢٥-١٠٠)، إذ إن اغلب مساحة أحواض المنطقة كانت ضمن قيم الـ (CN) المرتفعة، مما يدل على قلة نفاذية تربتها وإرتفاع نسب الجريان السطحي للحوض، أي إن نسبة كبيرة من مساحات أحواض المنطقة تكون معرضة لحدوث سيول جارفة .

٧- أظهرت نتائج تطبيق معادلة حجم الجريان السطحي حسب طريقة الـ (SCS) إن هناك تبايناً في قيم هذا المعامل ضمن احواض منطقة الدراسة وذلك تبعاً للظروف المناخية بالإضافة الى طبيعة الغطاء الارضي وكثافة الغطاء النباتي ومستوى الانحدار في المنطقة، وقد سجل حوضي عباسان وقورة تو أعلى حجم للجريان السطحي في جميع المحطات المتمثلة بالمحطة (A,B,C) ، وكانت محطة (A) سجلت أعلى القيم ضمن جميع الاحواض حيث تراوحت أعلى قيمة بين (٥٢٢.٣٩٦ - ١,٠٦٤.٧٣) م^٣ ضمن حوض عباسان ، و(٤٧٢.٩٥٣ - ٩٦٣.٩٦١) م^٣ ضمن حوض قورة تو.

٨- إن للعمليات المورفوتكتونية أثر بالغ الأهمية في حدوث المخاطر الجيومورفية ، إذ تبين بعد دراسة النشاط التكتوني للمنطقة أنها تتعرض بشكل مستمر لحدوث المخاطر الزلزالية ، وذلك بسبب موقعها المحاذي لمنطقة التقاء الصفيحة العربية والصفيحة الفارسية ، حيث أظهرت الدراسة إن هناك تباين في تكرار حدوث الهزات الارضية وتوزيعها المكاني فضلا عن تباين قوتها وآثارها التدميرية على المنطقة ، وبناءً على ذلك فقد قسمت الهزات الارضية حسب مقاديرها الزلزالية والتي تراوحت بين (٢.٢ - ٤.٩°) بمقياس ريختر الى ثلاثة فئات، إذ كانت الفئة الأولى يتراوح مقدارها ما بين (٢.٢ - ٢.٨°)، حيث شملت هذه الفئة الهزات الارضية التي عدد تكرارها يتراوح بين (٣٣-٦٧ هزة)، أما الفئة الثانية فقد تروح مقدارها بين (٢.٩-٣.٦°) حسب مقياس ريختر، حيث تكررت بين (١٦-٣٢) هزة ، وكذلك فإن الفئة الثالثة تراوح مقدارها بين (٣.٧ - ٤.٩°) والتي بلغ عدد تكرارها أقل من (١٥) هزة .

٩- بناءً على دراسة المخاطر الزلزالية بالاعتماد على خريطة توزيع مقدار الشدة الزلزالية ولمدة من (٢٠١٣-٢٠١٨) م فقد صنفت المنطقة الى ثلاث مستويات من الاراضي المعرضة للخطورة

الزلزالية، حيث بلغت نسبة مساحة الاراضي ذات خطورة زلزالية قليلة (٥٨.٧%) من اجمالي مساحة المنطقة، إذ تراوح مقدار الشدة الزلزالية فيها بين (٢.٨- ٢) ° حسب مقياس ريختر، وكما بلغت نسبة مساحة الاراضي المتوسطة الخطورة (٣٢.٩%) من مجموع مساحة المنطقة، وقد تراوح مقدار شدتها الزلزالية بين (٢.٩-٣.٦) ° حسب مقياس ريختر، أما نسبة مساحة الاراضي المعرضة لحدوث مخار زلزالية شديدة فقد بلغت (٨.٤ %) من اجمالي مساحة المنطقة، والتي شدتها تراوحت بين بين (٣.٧-٤.٦) ° حسب مقياس ريختر.

١٠-صنفت إندارات المنطقة بالاعتماد على التصنيف الرقمي لـ(Zink) فقد قسمت الى خمسة فئات تتباين في مساحتها والنسب المئوية التي تشغلها ، إذ أتضح أن نسبة الأراضي المنبسطة تشكل نسبة قدرها (٤٤.٥%)، ونسبة الأراضي ذات التموج الخفيف (٢٨.٥%)، ونسبة الأراضي المتموجة (١٧.٤%)، ونسبة الأراضي المنحدرة (٨.١%)، أما نسبة الأراضي الشديدة الانحدار (١.٥%) من مجموع مساحة المنطقة، أما بالنسبة لشكل المنحدرات فقد تباين من حيث نوع تقوس المنحدرات السائدة في المنطقة ، إذ بلغت نسبة مساحة الأراضي التي تسود فيها المنحدرات المقعرة (٠.٠٥%) من مجموع مساحة المنطقة، أما المنحدرات المحدبة فقد شغلت نسبة (٣٦.٤%) من إجمالي مساحة المنطقة، بينما شغلت المنحدرات المنتظمة أكبر نسبة مساحة والتي بلغت (٦٣.٦%) من مجموع مساحة المنطقة.

١١-بينت الدراسة إن الجاذبية الارضية والأراضي المنحدرة غير المستوية فضلاً عن ميل الطبقات الصخرية Dip تأثير كبير على في تحرك مواد سطح الارض ، إذ يساعد على انزلاق المواد المنهارة نحو إقدام المنحدرات ، أي يزداد نشاط المخاطر الجيومورفية المتمثلة بزحف التربة والصخور وأنزلاقات وتساقط الكتل الصخرية وعمليات الهبوط الارضي الذي يظهر غالباً في المناطق المرتفعة وأقدام الجبال ضمن المنطقة .

١٢-توصلت الدراسة إلى عدم وجود أتران مكاني في توزيع مساحات المعرضة لاحتمالية المخاطر الجيومورفولوجية في ضمن أحواض المنطقة، إذ وجد أن هناك تباين في مستوى الخطر المورفوتكتوني ضمن مساحة منطقة الدراسة ، لذا فقد صنفت الى ثلاثة أصناف وذلك حسب مستوى خطورتها، إذ بلغت نسبة مساحة الاراضي قيلة الخطورة (٥٦.٨٥) من مجمل مساحة المنطقة، ونسبة مساحة الاراضي المتوسطة الخطورة (٢٧.٧%) من مجموع مساحة المنطقة، أما نسبة مساحة الاراضي المعرضة للخطورة الشديدة فقد بلغت (١٥.٥%)، كما أظهرت الدراسة أن هناك تباين في نسبة الاراضي المعرضة للمخاطر المورفوديناميكية ، إذ شغلت الاراضي القليلة الخطورة نسبة بلغت (٣٥.٥%) من مجموع مساحة المنطقة ، أما نسبة الاراضي المتوسطة الخطورة قد بلغت (٤٤.٨%) ، وكذلك بلغت نسبة مساحة الاراضي المعرضة للمخاطر المورفوديناميكية الشديدة (١٩.٩٥) ،

وكما توصلت الدراسة الى أن هناك تباين في نسب مساحات الاراضي المعرضة للمخاطر المورفومناخية ، إذ بلغت نسبة مساحة الاراضي القليلة المخاطر (٣٧.٥%) ، ونسبة الاراضي المتوسطة الخطورة (٤٣.٢%) من مجموع مساحة أراضي المنطقة ، وكذلك فإن نسبة الاراضي المعرضة للخطورة الشديدة فقد بلغت (١٩.٣%).

١٣- تحديد درجة القابلية والملائمة الارضية من خلال تقييم المخاطر وبناء إنموذج محاكاة للمخاطر الجيومورفية وما مدى ملائمة الارض لممارسة مختلف الانشطة البشرية في المنطقة، إذ توصلت الدراسة الى أن المخاطر الجيومورفية قد صنفّت الى ثلاثة مستويات من الخطورة التي تحدث ضمن أحواض منطقة الدراسة ، حيث شغل المستوى الاول الاراضي والتي تكون ذات ملائمة عالية والقليلة الخطورة نسبة بلغت (٢٦.٨%) من مجموع مساحة أحواض المنطقة ، وكذلك فقد بلغت نسبتها ضمن الاراضي ما بين الاودية (٢٦.٧%) من مجموع مساحة الاراضي ما بين الاودية، وشغل المستوى الثاني لأراضي الملائمة والمتوسطة الخطورة النسبة الأعلى بلغت (٤١.٤%) من مساحة أحواض المنطقة ، وكما شغل هذا المستوى نسبة بلغت (٥٩.١%) ، تليها أراضي قليلة الملائمة وشديدة الخطورة بنسبة (٣١.٨%) من مجموع مساحة أحواض المنطقة.

١٤- أظهرت نتائج مطابقة خريطة المخاطر الجيومورفية مع خرائط أستعمالات الأرض ضمن منطقة الدراسة، حيث تبين أن هناك أعلى نسبة من أعداد المستقرات البشرية تقع ضمن المناطق القليلة الخطورة والتي بلغت (٣٤%) من مجموع أعداد القرى التي تقع ضمن منطقة الدراسة، بينما بلغت نسبتها ضمن المناطق الشديدة الخطورة (٣٢.٧%) ، أما بالنسبة للطرق فقد شكلت الطرق المعبدة وغير المعبدة الممتدة ضمن الاراضي المتوسطة الخطورة أعلى نسبة من مجموع أطوال الطرق في المنطقة والتي بلغت (٣٨.٤% ، ٣٩.٧%) على التوالي، أما بالنسبة للمساحات الزراعية قد شغلت أعلى نسبة ضمن الاراضي المتوسطة الخطورة والتي بلغت (٤٣.٢%) من مجموع مساحة الاراضي الزراعية لأحواض المنطقة.

١٥- أظهرت الدراسة أن المنطقة تعاني من عدة أشكال للتعرية المائية، حيث أعتمدت معادلة (فورنيه Fournier) لأستخراج التعرية المطرية للمنطقة، إذ جاءت نتائج المعادلة للمحطات المناخية الثلاث ضمن درجة التعرية المطرية الضعيفة ، أما بالنسبة للتعرية الاخودية فقد أظهرت الدراسة اختلاف درجات الحث لأخودي ضمن المنطقة، فبعد تطبيق معادلة (Bergsma) سجلت النتائج قيماً وقعت ضمن أربعة مستويات من التعرية الاخودية التي تمثلت بالتعرية الخفيفة جداً وقد شغلت (٧٠) موقعاً ونسبة (٢٠%) من مجموع مساحة المنطقة ، أما نطاق التعرية الخفيفة فقد ضمت (١٢٩) موقعاً أي شغلت أعلى نسبة مساحة بلغت (٤٨%) ، تلاها نطاق التعرية المتوسطة بـ (٧٦) موقعاً ونسبة مساحية بلغت (٢٧%) من مساحة المنطقة الكلية ، ومن ثم نطاق التعرية العالية والذي ضم (١٠)

مواقع وبنسبة مساحة (٥%) ، وكذلك أوضحت نتائج تطبيق نموذج جافريلوفيك الـ (EPM) أن أحواض منطقة الدراسة جميعها تعاني من تعرية مائية شديدة جداً ماعدا حوض بانزمين الذي كانت فيه نسبة التعرية المائية المتوسطة هي السائدة إذ كانت استجابة لطبيعة المنكشفات الصخرية في المنطقة وتكرار العواصف المطرية التي تتعرض لها المنطقة بشكل مستمر، حيث شغلت نسبة (٤٦%) من مساحة اوبر الكلية، ونسبة (٣٧.٥%) في حوض كونكل ، وفي حوض عباسان فقد شغلت نسبة (٤٤.٢%)، أما في حوض خورخور فقد بلغت نسبتها (٧٣.٨%) من مجموع مساحة الحوض، وكما بلغت (٧٨.٨%) في حوض زلكه كن، ونسبة (٥٦.٥%) في حوض سي حران، أما في حوض قورة تو فقد بلغت نسبتها (٤٩.٣%) من مجموع مساحة الحوض الكلية، وكذلك قد تباينت حجم الرسوبيات بسبب التعرية المائية المستخرجة وذلك حسب نموذج جافريلوفيك ضمن أراضي أحواض المنطقة، ففي حوض أوبر فقد شغل صنف التعرية الشديدة والذي تراوحت فيه حجم الرواسب بين (١٥٠١- ٥٠٠٠) م^٣/كم^٢/سنة أعلى نسبة فيه والتي بلغت (٤٤.١%) من مجموع مساحة الحوض الكلية ، أما حوض كونكل وعباسان وخورخور وزلكه كن وسي حران فقد ساد ضمن أراضيها التعرية المتوسطة وبنسب (٣٨.٣%، ٣٥.٥%، ٤٦.٦%، ٤٧.٤%، ٤٩.٠١%) على التوالي، والتي بلغت كمية التربة المفقودة ضمن أراضيها (٥٠١ - ١٥٠٠) م^٣/كم^٢/سنة، أما حوضي قورة تو وبانزمين فقد شغلت التعرية الضعيفة فيهما أعلى نسبة وقد بلغت (٤٧.٥%، ٦٤.٣%) على التوالي حيث تراوحت كمية التربة المفقودة فيهما بين (٥١ - ٥٠٠) م^٣/كم^٢/سنة.

١٦- توصلت الدراسة أن هناك علاقة طردية بين درجة الانحدار وشدة التعرية الأخرودية في المنطقة، حيث تزداد شدة التعرية الأخرودية ضمن الأراضي التي تتصف بشدة إنحدارها وسفوحها الجرفية ، بينما تسود التعرية الخفيفة جداً ضمن نطاق الأراضي المنبسطة.

١٧- تبين من تصميم نموذج مخاطر السيول أن أحواض المنطقة قد ضمت مستويين من مستويات المخاطر، إذ كانت أغلب أحواض المنطقة ذات خطورة متوسطة ، ماعدا حوضي عباسان وقورة تو وقعتا ضمن مستوى الخطورة الشديدة والذان شغلا نسبة (٨٣.٣%) من إجمالي مساحة الاحواض .

١٨ - بينت نتائج مطابقة خريطة مخاطر السيول مع خرائط أستعمالات الأرض ضمن منطقة الدراسة، أن هناك أعلى نسبة من أعداد المستقرات البشرية تقع ضمن المناطق الشديدة الخطورة والتي شغلت نسبة (٨٩.٣%) من مجموع أعداد القرى التي تقع ضمن منطقة الدراسة، أما بالنسبة للطرق فقد شكلت الطرق المعبدة وغير المعبدة الممتدة ضمن الأراضي الشديدة الخطورة أعلى نسبة إذ بلغت (٨٩.٧%، ٧٢.٨%) من مجموع أطوال الطرق ضمن المنطقة، أما المساحات الزراعية التي تقع ضمن الأراضي الشديدة الخطورة فقد شغلت أعلى نسبة وقد بلغت (٨٣.٤%) من مجموع مساحة المنطقة.

التوصيات Recommendations:

- ١- ضرورة إنشاء محطات مناخية وفق التباينات التضاريسية لتوفير البيانات المناخية نتيجة لإفتقار المنطقة لها، حيث تعد الأساس الذي يعتمد عليه في الدراسات المناخية والجيومورفولوجية والهيدرولوجية فضلاً عن إنشاء محطات هيدرولوجية في منطقة الدراسة بهدف تقدير كمية التصريف السنوي على نهايات مجاري الأودية المنتشرة في المنطقة .
- ٢- أجراء دراسة مستفيضة عن سير العمليات المورفومناخية لاجل التوصل الى نماذج من مواضع أرضية نموذجية هذا من الجانب الاكاديمي.
- ٣- محاولة الحفاظ على الغطاء النباتي و على التربة لتقليل الفاقد منها بالانجراف نحو أقدام المنحدرات، وصيانة المناطق التي تعرضت الى تدهور بيئي ومحاولة أستصلاحها ، من خلال الاهتمام بالتشجير الحراجي لسفوح المنحدرات بأنواع السائدة التي تتأقلم مع طبيعة المنطقة ومناخها لما لها من فوائد في منع إنجراف التربة والتي تعمل على تماسك التربة ، وكما تعمل كمظلة واقية للتربة من إرتطام قطر المطر فيها بشكل مباشر، فضلاً عن عدم قطع هذه الأشجار بشكل عشوائي غير ملائم لبيئة المنطقة.
- ٤-توعية السكان بمخاطر الممارسات الخاطئة للغطاء النباتي والتربة كالرعي الجائر والاحتطاب، وأثارها السلبية على الغطاء النباتي والتربة، مما ينعكس سلباً على حياة الإنسان.
- ٥- ضرورة العمل على صيانة المنحدرات حسب درجة الانحدار و اتجاهه بأساليب علمية متطورة ، وذلك من خلال عمل جدران و حواجز أسمنتية واسيجة شائكة تمنع تساقط الكتل الصخرية أو زحف التربة على الطرق والمباني ، ومحاولة تعبئة الفواصل و الشقوق بالمواد الأسمنتية و ذلك لمنع وصول مياه الأمطار و تخللها فيها ولاسيما المناطق المشرفة على المباني والمنشآت السكنية .
- ٦ - تشييد المساكن والمنشآت العمرانية بطريقة ملائمة مع اتجاه المنحدرات ، لكي يتيح للمزارعين إستثمار الأراضي ذات الانحدار القليل لاغراض الزراعة، وأبعادها عن بعض السفوح المعرضة للخطر أو عمل المصدات للصخور الزاحفة والمتساقطة عليها واشعار ساكنيها او المارين بمحاذاتها بخطورة هذه المواضع .
- ٧- الاهتمام بتطوير الاماكن السياحية وذلك لما تحتويه المنطقة من مؤهلات طبيعية جعلتها منطقة جذب سياحي، وذلك من خلال الاهتمام بالمظاهر الجيومورفولوجية فضلاً عن المضائق والممرات الجبلية.
- ٨- الاهتمام بأنشاء شبكة لطرق النقل الحديثة وربطها مع الطرق الرئيسة ومراعاة عدم انشائها بشكل عشوائي لتفادي المخاطر التي تحدث جراء إنزلاق أو سقوط مفاجئ للكتل الصخرية أو انهيارات

أرضية، وإنشاء الجسور والمشاريع الإنشائية الكبيرة التي من شأنها ان تعمل على تطوير وإزدهار الخدمات البيئية ضمن ناحيتي ميدان وقورة تو التي تمثلان المنطقة المدروسة.

٩- ضرورة الاهتمام بحصاد المياه المتمثلة ببناء السداد الترابية على مجاري الأودية والخنادق والمناطق المنخفضة ، وتقليل سرعة المياه لتلافي المشاكل التي تحدث بفعل السيول الجارفة التي ممكن أن تحدث في المنطقة وكذلك إمكانية الاستفادة من هذه المياه.

١٠- الاهتمام بإنشاء محطات للرصد الزلزالي ضمن المنطقة وتجهيزها بأحدث أدوات وأجهزة الرصد الزلزالي ، ومحاولة إستحداث دوائر خاصة تعنى باتخاذ إجراءات الامان لمواجهة الكوارث الطبيعية قبل حدوثها كالزلازل والفيضانات، ومن مهامها أيضاً إعداد خطط لمواجهة المخاطر، والمساهمة بتسهيل مهام فرق الإسناد والمهمات الخاصة للوصول الى المناطق المتأثرة بالمخاطر والقيام بإجلاء السكان من المناطق المتضررة ، وتحديد الطرق السالكة وكذلك المعرضة للمخاطر، و ذلك عن طريق وجود مراقبين موزعين على المناطق كافة.

١١- تصحيح المشاكل الهيكلية في المباني التي تجعلها عرضة للأنهيار أثناء حدوث الزلازل، ويجب قبل بناء أي منشأة عمرانية أخذ دراسات تقييم للمخاطر الزلزالية وذلك لمعرفة معاملات الامان وأخذها في الحسبان.

١٢- إستحداث قاعدة بيانات وتطويرها ضمن بيئة نظم المعلومات الجغرافية تعنى بالمخاطر الجيومورفولوجية ومخاطر السيول التي تحدث ضمن المنطقة ، وذلك لمواجهة المخاطر والتنبؤ بحدوثها محاولة تقليل الخسائر الناجمة عنها، والاستفادة منها في صنع القرارات ، والاستعانة بها عند التخطيط لبناء المشاريع الهندسية في المستقبل، ووضع الضوابط والقيود على إستخدامات الأراضي والنشاطات المختلفة.

المصادر والمراجع

أولاً- الكتب:

القرآن الكريم.

- ١- أبراهيم، محمد رضا علي، علم الارض، دار أخبار اليوم قطاع الثقافة مطابع أبن سينا، القاهرة، بدون تاريخ.
- ٢- أبو العينين، حسن سيد أحمد، أصول الجيومورفولوجيا (دراسة الاشكال التضاريسية لسطح الارض)، ط١١، مؤسسة الثقافة الجامعية، ١٩٩٥م.
- ٣- الاحديب، ابراهيم بن سليمان، الكوارث الطبيعية وكيفية مواجهتها، مكتبة الملك فهد الوطنية، الرياض، ١٩٩٩م.
- ٤- احمد، عصام محمد عبد الماجد و ابراهيم، عباس عبد الله، الهيدرولوجيا، ط١، دار جامعة السودان للنشر والطباعة والتوزيع، الخرطوم. السودان، ٢٠٠١م.
- ٥- آغا، شاهين جمال، الزلازل (حقيقتها وآثارها)، سلسلة الكتب الثقافية شهرية يصدرها المجلس الوطني للثقافة والفنون والآداب، الكويت، ١٩٩٥م.
- ٦- أسود، فلاح شاكر، الخرائط الموضوعية، مطبعة جامعة بغداد، كلية الآداب، جامعة بغداد، ١٩٩١م.
- ٧- جرجيس، داود، تغلب، علم شكل سطح الارض التطبيقي (الجيومورفولوجيا التطبيقية)، الدار الجامعية للطباعة والنشر، البصرة، العراق، ٢٠٠٢م.
- ٨- تراب، محمد مجدي، الموسوعة الجيومورفولوجية، مجلة جغرافية المغرب، الاسكندرية، ٢٠١١م.
- ٩- الحديثي، ياس خضير، فائز عبد الستار الجبوري، محمود عبد الرزاق حنوش، ملوحة التربة واستصلاح الاراضي، مطابع التعليم العالي، بغداد، ١٩٩٠م.
- ١٠- حسن، هشام محمود، فيزياء التربة، قسم علوم التربة، كلية الزراعة والغابات، جامعة الموصل، مديرية دار الكتب للطباعة والنشر، الموصل، ١٩٩٠م.
- ١١- الحسني، فاضل باقر، واخرون، الطقس والمناخ والارصاد الجوي، مطبعة جامعة بغداد، ١٩٧٧م.
- ١٢- حميدة، حسن محمد، الجيولوجيا التطبيقية للهندسة المدنية، دار القماطي للطباعة والنشر، بيروت، ١٩٨٩م.
- ١٣- الخشاب، وفيق حسين و حديد، احمد و الصحاف، مهدي محمد علي، علم الجيومورفولوجيا (تعريفه، تطوره، مجالاته وتطبيقاته)، جامعة بغداد، ١٩٧٨م.
- ١٤- خصباك، شاكر، جغرافية العراق الشمالي دراسة لنواحيه الطبيعية والبشرية، مطبعة شفيق، ١٩٧٣م.
- ١٥- درادكة، خليفة عبد الحافظ، المياه السطحية وهيدرولوجيا المياه الجوفية، ط١، مكتبة الفلاح للنشر والتوزيع، ٢٠٠٦م.
- ١٦- الدليمي، خلف حسين، الجيومورفولوجيا التطبيقية (علم شكل الارض التطبيقي)، الاهلية للنشر والتوزيع، الاردن، عمان، ٢٠٠٥م.
- ١٧- الدليمي، خلف حسين علي، علم شكل سطح الارض التطبيقي ط١، دار الصفاء للنشر والتوزيع، عمان، ٢٠١٢م.
- ١٨- الدليمي، خلف حسين علي، الكوارث الطبيعية والحد من آثارها، دار صفاء للنشر والتوزيع، عمان، ط١، ٢٠٠٩م.

- ١٩- الزبيدي ،احمد حيدر ، ملوحة التربة، مطبعة جامعة بغداد، بغداد، بدون تاريخ.
- ٢٠- سلامة ،حسن رمضان ،جغرافية الاقاليم الجافة ،ط١، دار المسيرة للنشر والتوزيع والطباعة، عمان ٢٠١٠م.
- ٢١- السياب ، عبد الله وآخرون، جيولوجيا العراق، المكتبة الوطنية ،بغداد، ١٩٨٢م.
- ٢٢- شريف ،إبراهيم ، التربة تكوينها وتوزيع أنواعها وصيانتها، دار نشر الثقافة للطباعة والنشر، الاسكندرية ،مصر، بدون تاريخ.
- ٢٣- شريف ،عبد العزيز طريح ، الجغرافية الطبيعية (أشكال سطح الارض) ،مؤسسة الثقافة الجامعية، ١٩٩٣م.
- ٢٤- الصحاف ،محمد مهدي وآخرون، علم الهيدرولوجي، مطبعة جامعة البصرة، البصرة، ١٩٨٢ م.
- ٢٥- صالح ، أحمد سالم ،أودية شمال سلطنة عمان دراسة الجيومورفولوجيا الكمية، ط١، دار الكتب الحديث، ١٩٩٩م.
- ٢٦- صالح ، أحمد سالم ، السيول في الصحاري، ط١، دار الكتب الحديث، ١٩٩٩م.
- ٢٧- العزاوي ،ثائر مظهر فهمي ، مدخل الى نظم المعلومات الجغرافية وبياناتها ، دار الحامد، عمان، ٢٠٠٨م.
- ٢٨- علي احمد هارون ، جغرافية الزراعة، الطبعة الاولى، دار الفكر العربي للطبع والنشر، القاهرة، ٢٠٠٠م.
- ٢٩- فتحي عبد العزيز أبو راضي، مورفولوجية سطح الارض، ط١، دار المعرفة الجامعية ، ١٩٩٨م.
- ٣٠- كيلر، ادور ، ترجمة غسان السبتي ، الجيولوجيا ، ط٣١، مطابع التعليم العالي ، اربيل ، ١٩٨٢م.
- ٣١- المالكي ،عبد الله سالم ورحيم، نجم عبد الله ، جغرافية التربة ، ط١، دار الوضاح للنشر ٢٠١٦م.
- ٣٢- محمد صبري محسوب ، جيومورفولوجية الاشكال الارضية ، دار الفكر العربي ، القاهرة ، ٢٠٠٩م.
- ٣٣- محمد صبري محسوب ومحمد ابراهيم ارباب ، الاخطار والكوارث الطبيعية الحدث والمواجهة، ط١، دار الفكر العربي، القاهرة، ١٩٩٨م.
- ٣٤- محسوب ، محمد صبري ، جيومورفولوجية الاشكال الأرضية ، ط١، دار الفكر العربي ، القاهرة، ١٩٩٧م.
- ٣٥- محسوب ،محمد صبري و راضي، محمود ذياب ، العمليات الجيومورفولوجية ، دار الثقافة للنشر والتوزيع ، القاهرة، ١٩٩٨ م.
- ٣٦- محسوب، محمد صبري ، الجغرافيا الطبيعية(أسس ومفاهيم حديثة) ، دار الفكر العربي ، القاهرة، ١٩٩٦م.
- ٣٧- المحسن ،إسباهية يونس ، الجيومورفولوجيا (علم أشكال سطح الارض) ط١، دار العلا للطباعة والنشر، الموصل ، ٢٠١٣ م.
- ٣٨- المشهداني، أحمد صالح و الكبيسي ،أحمد مدلول ،علم التحسس النائي، وزارة التعليم العالي والبحث العلمي، جامعة بغداد ،كلية الزراعة ،بغداد ، ٢٠١٤م
- ٣٩- مصطفى ،عبد المنعم مصطفى و محمد، رضا عبد الفتاح ،الزلازل ماذا تعرف عنها، معهد الكويت للابحاث العلمية ، ٢٠٠٤م.
- ٤٠- مصطفى ، محمد رمضان ، محاضرات في الجيومورفولوجيا وتدريباتها العملية، المنار للطباعة الحديثة، القاهرة، بدون تاريخ.

ثانياً- الرسائل والاطاريح الجامعية:

- ١- البalani، نخشان محمد رستم خان، جيومورفولوجية منطقة كلار، رسالة ماجستير غير منشورة، كلية العلوم الانسانية، جامعة سليمانية، ٢٠١٠م.
- ٢- براخاص، خليل محمد، الاشكال الارضية لوادي نهر سيروان (ديالى) بين دربندخان وكلار دراسة في الجيومورفولوجيا التطبيقية، كلية الاداب، جامعة بغداد، ٢٠١٥م.
- ٣- الجبوري، فائق حسن محميد فرحان، النمذجة الهيدرولوجية لحوض لك باستخدام امتداد AGWA2، رسالة ماجستير غير منشورة، كلية التربية للعلوم الانسانية، جامعة تكريت، ٢٠١٥م.
- ٤- الجنابي، بسمة علي عبد الحسين، التقييم الجيومورفولوجي لمنحدرات سلسلة جبال كاره، اطروحة دكتوراه غير منشورة، كلية التربية ابن رشد، جامعة بغداد، ٢٠١٦م.
- ٥- الجنابي، نبراس عباس ياس خضير، جيومورفية وهايڤرومورفومترية حوض نهر ديالى في العراق باستخدام تقنية GIS، اطروحة دكتوراه غير منشورة، كلية التربية ابن رشد، جامعة بغداد، ٢٠٠٩م.
- ٦- الجوهري، مروة محمد عمر عباس، هيدرولوجية احواض التصريف الرئيسية على الساحل الغربي لخليج السويس، رسالة ماجستير غير منشورة، كلية الاداب، جامعة الاسكندرية، ٢٠١٢م.
- ٧- الحسن، نصر شامل، العواصف المطرية وأثرها في شوارع بغداد خلال السنوات (١٩٦٩-٢٠٠٦)م دراسة في جغرافية المناخ، رسالة ماجستير غير منشورة، كلية التربية -ابن رشد، جامعة بغداد، ٢٠٠٨م.
- ٨- حمادي، احمد عبد الله احمد، دور العمليات في تشكيل المظهر الارضي في جزيرة سقرطى، اطروحة دكتوراه غير منشورة، كلية التربية (ابن رشد)، جامعة بغداد، ٢٠٠٢م.
- ٩- عبد الحسين، حسين كاظم، تحليل مخاطر جيومورفولوجية في منطقة بنجوين، أطروحة دكتوراه غير منشورة، كلية التربية، الجامعة المستنصرية، ٢٠١٧م.
- ١٠- عنبر، محمود عبد الفتاح عبد اللطيف، الاخطار المناخية والبيئية في منخفض الواحات البحرية دراسة بأستخدام الاستشعار عن بعد ونظم المعلومات الجغرافية، أطروحة دكتوراه غير منشورة، كلية الاداب، جامعة القاهرة، ٢٠١٥م.
- ١١- العبيدي، تسامر مهدي جاسم، الاهمية الجيوستراتيجية لقضاء خائقين (دراسة في الجغرافية السياسية)، رسالة ماجستير غير منشورة، كلية التربية للعلوم الانسانية، جامعة ديالى، ٢٠١٦م.
- ١٢- العنابي، نادية حاتم طعمة، الخصائص المناخية وأثرها في المخاطر الجيومورفولوجية شرقي محافظة ميسان، أطروحة دكتوراه غير منشورة، كلية التربية، الجامعة المستنصرية، ٢٠١٧م.
- ١٣- العزي، احمد محمد صالح، التقييم الجيومورفولوجي والية التغيرات الهندسية لشكل حوضي طوز جاي ووادي شيخ محسن، نهر العظيم، اطروحة دكتوراه، كلية التربية ابن رشد، جامعة بغداد، ٢٠٠٥م.
- ١٤- العطوانى، زينب أبراهيم حسين، التباين المكاني للظواهر الجيومورفولوجية الخطرة في محافظة أربيل، أطروحة دكتوراه غير منشورة، كلية التربية، الجامعة المستنصرية، ٢٠١٥م.
- ١٥- علوان، نوال كامل، تقدير حجم الجريان السطحي لحوض وادي دويريج، رسالة ماجستير غير منشورة، كلية التربية للبنات، جامعة بغداد، ٢٠١٤م.

١٦- عويد، إنتصار مزهر ، النمذجة المكانية لحوض وادي باريوله في قضاء كلار باستخدام تقنية الاستشعار عن بعد ونظم المعلومات الجغرافية GIS ، رسالة ماجستير غير منشورة ، كلية التربية للعلوم الانسانية، جامعة ديالى، ٢٠١٦م.

١٧- القصراني، زيا أوراها كوركيس ، المعطيات الزلزالية الهندسية في العراق، رسالة ماجستير (غير منشورة)، كلية العلوم، جامعة بغداد، ١٩٩٠م.

١٨- الكناني ، نهاد خضير كاظم، تحليل زماني ومكاني لخصائص الامطار الساقطة وسلاسلها الزمنية في العراق للتنبؤات بسنوات الجفاف، رسالة ماجستير غير منشورة ، كلية التربية للبنات ،جامعة الكوفة، ٢٠٠٥م.

١٩- اللوح ،حسن عبد الكريم حسن ،التذبذب الزمني والاختلاف المكاني للامطار في الضفة الغربية وقطاع غزة خلال الفترة (١٩٩٥ - ٢٠١٤) م ، ، رسالة ماجستير غير منشورة ، كلية الاداب، الجامعة الاسلامية ، غزة، ٢٠١٧م.

٢٠- اللهبي ،دراسة يعرب محمد ، النمذجة المكانية للعمليات الجيومورفولوجية لحوض نهر نارين بأستخدام الاستشعار عن بعد ونظم المعلومات الجغرافية، اطروحة دكتوراه غير منشورة ، كلية التربية – ابن رشد ، جامعة بغداد، ٢٠٠٨م.

٢١- محمود ،جعفر حسين ، تقييم المخاطر البيئية في حوض نهر الكور-رافد نهر خاصة صو-العظيم باستخدام التقنيات الجغرافية، ، أطروحة دكتوراه غير منشورة ، كلية التربية للعلوم الانسانية ، جامعة تكريت، ٢٠٠٤م.

٢٢- النفيعي ، هيفاء محمد ، تقدير الجريان السطحي ومخاطره السيالية في الحوض الاعلى لوادي عرنة بشرق مكة بوسائل تقنيات الاستشعار عن بعد ونظم المعلومات الجغرافية، رسالة ماجستير غير منشورة ، كلية العلوم الاجتماعية ، جامعى ام القرى، ٢٠١٠م.

ثالثاً- الدوريات والبحوث المنشورة:

١- أبو رحيل ،عبد الحسن مدفون و العبيدي، رزاق حسين هاشم، الشدة والاستمرارية للامطار الساقطة في العراق،،كلية الاداب ، جامعة الكوفة، من شبكة الانترنت

<https://www.iasj.net/iasj?func=fulltext&aId=126089>

٢- الجباري، بفرين جاسم محمد علي و الصالحي ،سعدى عاكول منخي، أثر التساقط على الجريان السطحي في حوض نهر الزاب الصغير، مجلة الاداب، ملحق العدد ١١٩، ٢٠١٦م.

٣- حبيب ،ريم ثاير، منذر علي طه الخالدي ، دراسة المؤشرات الجيومورفولوجية للنشاط التكتوني في طية بلكانة شمال شرقي الطوز، مجلة ديالى ، العدد ٧٧، ٢٠١٨م.

٤- الحسنى ، فاضل باقر، تطور مناخ العراق عبر الأزمنة الجيولوجية والعصور التاريخية ، كلية التربية ، مجلة الجغرافية ، المجلد العاشر ، مطبعة العاني ، بغداد، ١٩٧٨م.

٥- حميد ، دلي خلف ، التحليل المكاني لتقدير حجم الجريان السطحي لحوض (وادي الفضا) في شمال شرق العراق بأستخدام نظم المعلومات الجغرافية GIS، مجلة أداب الفراهيدي ، العدد (٢٥)، ٢٠١٦م.

- ٦- خضر، صهيب حسن و نوري، عماد أحمد محمد ، الاثر الجيومورفولوجي للنشاط التكتوني الحديث على طية شيخ ابراهيم المحدبة شمال غرب العراق باستخدام التقنيات الجغرافية الحديثة ، مجلة ابحاث كلية التربية الاساسية ، المجلد ١٥ ، العدد (٣)، ٢٠١٩ م.
- ٧- الدزيري، سالار علي خضير و جواد، بشرى احمد و حسين، عبير احمد، الامطار الصيفية الفجائية في العراق، دراسة في المناخ الشمولي ، مجلة الاستاذ العدد (٦١) ، ٢٠٠٧ م.
- ٨- سلامة، حسن رمضان، مظاهر الضعف الصخري وأثارها الجيومورفولوجية ، مجلة الجمعية الجغرافية الكويتية، العدد ٥٣، ١٩٨٣ م.
- ٩- سلطان ، عبد الغني جميل ، الجو عناصره وتقلباته، منشورات وزارة الثقافة والاعلام السلسلة العلمية ، ١٩٩٥ م.
- ١٠- شعوان، جمال وآخرون ، توظيف الاستعار عن بعد ونظم المعلومات الجغرافية دراسة التقييم الكمي للتعرية المائية بحوض أمزاز الريف الاوسط من خلال إنموذج جافرلوفيك (EPM) ..
- ١١- شلال ، على جاسم خاف و الحسن عباس مهدي و جاسم ، عبد الكريم محمد، إستخدام دليل الاختلافات الخضرية الطبيعي NDVI في تحديد وتقييم حالة تدهور الغطاء النباتي في منطقة جبل سنجار/ محافظة نينوى ، المجلة العراقية لعلوم الارض، المجلد ٧، العدد ١، ٢-١٤ .
- ١٢- شنيشل ، بلسم شاكر ، النمذجة المورفومناخية بفعل الشدات المطرية وأثرها في التدهور البيئي باستخدام RS-GIS / جبل سنجار حالة دراسية، مجلة آداب الفراهيدي، مجلد (١١)، العدد (٣)، ٢٠١٩ م.
- ١٣- الصحاف ، محمد مهدي ، التصريف النهري والعوامل المؤثرة فيه، مجلة الجمعية الجغرافية العراقية، المجلد ٦، ١٩٧٠ م.
- ١٤- العبدان ، رحيم حميد و السامرائي، محمد جعفر، التعرية المطرية لسفوح تلال حميرين باستخدام نظم المعلومات الجغرافية (GIS)، بحث منشور، مجلة كلية الاداب، العدد ١٨، بدون تاريخ.
- ١٥- عبد الحسين ، حسين علي، أثر اتساع المدى الحراري في تشكيل بعض المظاهر الجيومورفولوجية في الهضبة الغربية العراقية (دراسة في علم الجيومورفولوجيا المناخية) ، من شبكة الانترنت <https://www.iasj.net/iasj?func=fulltext&aId=60047>
- ١٦- عبد الكريم ، اقبال حسين و لفته ، و شلال ، نعمة محسن وايمان ، باسم ابراهيم ، التحليل السايونوتيكي لظاهرة الامطار الغزيرة على محافظتي بغداد وبابل في عام ٢٠١٢ ، مجلة العلوم الانسانية، كلية التربية للعلوم الانسانية ، المجلد (٢٣) العدد الرابع ، ص ٢٠١٥ م.
- ١٧- العكام، إسحاق صالح و عبدالله، فاء مازن ، الخصائص المورفوتكتونية لحوض وادي الطريفوي، مجلة كلية التربية للبنات ، المجلد ٥٧ (٥)، ٢٠١٦ م.
- ١٨- العكام ، إسحاق صالح و محمد جميلة فاخر ، تقدير الجريان السطحي لستة أحواض في الهضبة الغربية، مجلة كلية التربية للبنات، جامعة بغداد، الجلد (٢٧)، العدد (٥)، ٢٠١٦ م.
- ١٩- العمري ، فؤاد عبد الوهاب و كامل ، نجم عبد الله ، دراسة المؤشرات الجيومورفولوجية للنشاط التكتوني في قبة علاس ، طية حميرين الشمالي، مجلة تكريت للعلوم الصرفة ، المجلد ١٨ ، العدد (٥)، ٢٠١٣ م.

٢٠- الغريبي، أحمد ياسين ، علي عبد الرحيم صالح، تأثير التنشيط التكتوني في قلق المستقبل (دراسة سببية مقارنة بين جامعة ميسان والقادسية)، مجلة العميد، المجلد الثاني، العددان الثالث والرابع، ٢٠١٢م.
٢١- الكنانى ، ناصر مالمك عبود، الامطار القياسية اليومية في العراق (دراسة شمولية)، مجلة كلية التربية، العدد الثامن، جامعة واسط ، من شبكة الانترنت <https://www.iasj.net/iasj?func=fulltext&aId=104120>.

٢٢- القيسي، حاضر ظاهر و أمين، رقية أحمد محمد ومحمود ، بشير فرحان ،تحليل معطيات الاستشعار عن بعد ونظم المعلومات الجغرافية في تقدير الجريان السطحي لأختيار موقع حصاد المياه (حوض جمجمال – العراق حالة طبيعية)، مجلة الفنون والادب وعلوم الانسانيات والاجتماع ، العدد ١١، ٢٠١٩م.

٢٣- مجيد ، بيداء محمود ، إشكال السفوح في جبل ناكري دراسة جيومورفولوجية ، رسالة ماجستير غير منشورة ، جامعة صلاح الدين ، اربيل ، ٢٠١١م.
٢٤- المحمد ، هيفاء أحمد واخرون ،كشف وتحليل التغير في الغطاء النباتي باستخدام المؤشرات النباتية الطيفية، دراسات العلوم الإنسانية والاجتماعية، المجلد ٤٥، العدد، ٢٠١٨م.
٢٥- المعموري، بدر جدوع احمد ، أثر عامل الارتفاع في التساقط في العراق، مجلة الجمعية العراقية الجغرافية، العدد ٥٢، ٢٠٠٢م.

رابعاً- التقارير والمطبوعات الحكومية:

١- الجبوري ، حاتم خضير صالح و البصراوي و محمد ،نصير حسين، دراسة هيدروجيولوجية وهيدروكيمياوية ، لوحة خانقين (N1-38-7) ، الشركة العامة للمسح الجيولوجي ، بغداد ، ٢٠١٤م.

٢- الجبوري ،حاتم خضير صالح ، دراسة هيدروجيولوجية وهيدروكيميائية لمنطقة لوحة خانقين (NI-38-7)، الشركة العامة للمسح الجيولوجي والتعدين ،بغداد، ٢٠٠٦م.

٣- حمزة ،نوري محسن، خارطة العراق الجيومورفولوجية (الكراس التوضيحي)، وزارة الصناعة والمعادن المنشأة العامة للمسح الجيولوجي والتعدين، مسلسل الخرائط الجيولوجية للعراق ، مقياس ١:١٠٠٠٠٠٠، لوحة رقم ٣، ط١، ١٩٩٧م.

٤- شفيق ،سحر ، تصنيف شدة أنواع الهطول المطري ،الهيئة العامة للأنواء الجوية والرصد الزلزالي، بغداد، ٢٠٠٠.

٥- الهيئة العامة للأنواء الجوية والرصد الزلزالي ، قسم الرصد الزلزالي ، تقرير الهزات الارضية في شمال شرق ايران ١٥ نيسان ٢٠١٧، ٢٠١٧م.

خامساً - المصادر الاجنبية:

1-Ahmed M. Youssef, Abdallah Mohamed Hassan, Flash floods risk estimation along thest. Katherine road, Southern Sinai, Egypt using Gis based morphometry, and satellite imagery, 2011.

2-Anwar. M. Barwary and Frozan. S. said, The Gology of khanaqin Quadrangle, Sheet NT-38 survey and minng , geosurve directorate of geological survey, 1992, 37, Scale 1:250000, State Establishment of Geological.

- 3- Buday T, and Jassim, S.Z., The Regional geology of Iraq, Vol.1, Stratigraphy : and Peleo Geography, Baghdad , 1987.
- 4- Chorely .j. Richard , " Water , Earth , Man_" , London Methuen 8 coltd .
- 5- Edvin AsatourDizaj Takieh,ManochehrGhorashi, Fereydn Rezaie , The Transverse Topographic Symmetry Factor of Darakeh Stream in the North Tehran ,Iran , Open Journal of Geology ,2015.
- 6- Eelko.Bergsma," Rain Fall Erosion",Servers For Conserviton Planning, Itc ,Nether Journal, vol -2 ,1983.
- 7- Ernest D.werner ,Hugh P.Friedman ,"Land Slides Causes ,Types ,Types and Effects" ,Nova Science Publishers ,Inc,Newyork ,2010.
- 8 -Fournier , F.climate erosion , la relation enter le resion du sol parleau et lesperception, atmospheres, pairs , 1960.
- 9- Hala A.Al- Musawi ,Geology and Structure of Wadi Shalghah Area East Erbil north Iraq, Iraqi Bulletin of geology and mining,stat company of geological,survey and mining, vol.4,no.1,2007.
- 10-Hamdouni,C.lrigaray, T,Fernandes ,J,Chacon, E,A,Keller, Assessment of relative active tectonic ,south west border , of Sierra Novada,(southern spain),Geomorphology,2008, p.150.
- 11- Husam A.M,2008 , Atest of the validity of morphometric analysis in determining tectonic activity from ASTER derived DEMs in the JORDON-DEAD sea transform zone , dotor thesis ,university of Arkansas.
- 12- Hydrology, iswm, Technical manual, iswm.nctcog.org,documents,technical-manual,hydrology , 2010.
- 13- Keller,E.A. and pinter, N.Active tectonics , Earthquakes , uplift , and landscape edition.New,Jersey, prentie Hall,2002.
- 14- K. D. Sharma & Surendra Singh, Runoff estimation using Landsat thematic mapper data and the SCS model, Hydrological Sciences – Journal- des Sciences Hydrological, 37, 1, 2,Central Arid Zone Research Institute,Jodhpur 342 003, India, 1992.
- 15-K.S.Jayappa,Vipin Joseph markoes,Nagaraju ,Identification of geomorphic signaturesof Neotectonic activity using Dem in the Precambrian terrain of western ghats ,india, international Archives of the photogrammetry,Remot sensing and seatial ,information science, University.
- 16-Mehran Arian, Nooshin Bagha ,Rezvan Khavari and Hamideh Noroozpou, Scismic sources and neo – tectonics of Tehran area (North I ran), Indian Journal of Science and Technology ,vol.5 No.3,2012.
- 17-Raghunath, H.M., Hydrology Principles ,Analysis ,Desigh, New Age Internation(P)limited,2006.

- 18- Raghunath, H,M, Hydrology Principles Analysis, Design, John Wiley ,New York ,1984.
- 19-Roland Gritto ,Mathews Sibol ,and ather ,Crustal Velocity Models of the Zagros –Bitlis Zone From Body And Surface Wave Analyses, Sponsored by Air Force Research Laboratory ,Award No. FA 8718-10-C-0003 , Monitoring Research Review ,Ground Based Nucler Explosion Technologies ,2010 , p72
- 20- Richard H.Mc Cuen ,Hydrologic Design, Second Edation ,Prentice Hall Saddke River , New Jersey .07458 ,1998.p.155.
- 21-Saad Z.Jassim and Jeremy C.Goff,Geology of Iraq, Dolin , Prague and Mravian published ,2006.
- 22-Sellers P. J.Vegetation- canopy spectral reflectance and biophysical processes. In Theory and Applications ofOptical Remote Sensing. editedby G. Asrar, Wiley, New York:1989.
- 23-USDA-SCS, urban hydrology for small watershed ,department of agriculture ,USA ,1986 .
- 24- Verrios.,Zygouri.,and Kokkalas ,Morphotectonic Analysis in the Eliki Fault Zone (Gulf of Corinth Greece),Bulletinof the Geological Society of Greece International Congress,2004.
- 25- Whede, M, Cridcell size in Relation to Errors in Maps and Inventories produced by computerized map processing photogrammetric Engineering and remote sensing, vol.48, 1982.
- 26-Wilbur L. Meier, Jr, Analysis of unit hydrogrphs for small Waters Heds in Texas, Texas Water eommtssio, Bulletin 6414, 1964.
- 27- World reference base for soil resources , food and Agricuilture Organization of United Nations , 2014.
- 28- ZOREN,M and Komac, B, soil erosion on agricultural land in Solvenia- measurements of rill erosion in the besnica valley.Acta geographic slovenica 45 - 1Ljubljana, 2005.

سادساً- الشبكات والمواقع الاليكترونية:

(١) شبكة الانترنت <https://almasalah.com/ar/news/117921>

سابعاً-المقابلات الشخصية:

١- مقابلة مع السيد جهاد كريم من سكان قرية هورين مواليد ١٩٥٧ م بتاريخ ١٣-٩-٢٠١٩ الساعة ١٠ صباحاً .

٢-مقابلة مع السيد حيدر شكر من سكان قرية مجيد اغا من مواليد ١٩٦٦ م وذلك بتاريخ ٤/٥/٢٠١٩ الساعة ٥ عصراً .



Abstract

The study aims to analyze the impact of rain intensities on the occurrence of geomorphic risks in the study region, which occupies an area of (2163 km²). the study area is comprising (8) basins (Uber, Kunkel, Abbasan, Khorkhor, Zilka Ken, Si Harran, Qurah Tu and Banzmin) which flow in downstream from the east towards the west into Diyala River. This means that part of its territory is located within the Iranian province of Kermanshah in the upper sources of the Abbasan and Koura Tu basins, whereas the other part is within the District of Khanaqin in Diyala province, where it is located astronomically between two longitudes (10'45°-11°) to the East and two latitudes (10' 34°- 12'35°) to the North.

The study showed that the highest rainfall intensity was during the rainy season of (2017-2018), which is one of the heaviest seasons during the study period of (11) years from (2008 to 2018). The highest amount of water of rain intensity was (58 mm/h) at station (A) on 21/5/2018, as rainfall continued for (3) consecutive hours. Moreover, at station (B), the highest amount of water of rain intensity was (36 mm/h) on (6-7/5/2018), which lasted for (4) consecutive hours. Similarly, the highest amount of water of rain intensity within station (C) reached up to (44 mm/h) on (11/4/2018) as it continued for (5) consecutive hours.

Furthermore, the study of morphotectonic operations in the study area showed that the region suffers from high tectonic activity, so it is constantly vulnerable to seismic hazards, as there is a variation in the frequency of earthquakes and their spatial distribution as well as the variation of their strength and destructive effects on the region. Accordingly, the region was classified into three levels of land in terms of seismic risk based on the magnitude of seismic intensity (on the Richter scale) during the period from (2013 to 2018). The proportion of land that

is under seismic risk was few (58.7%) of the total area of the region, where the magnitude of seismic intensity ranged from (2 to 2.8)°. Moreover, the proportion of the area of medium-risk was (32.9%) of the total area of the region, where the magnitude of seismic intensity ranged from (2.9 to 3.6)°, while the proportion of lands exposed to severe seismic hazards amounted to (8.4%) of the total area of the region, with an intensity from (3.7 to 4.6)°.

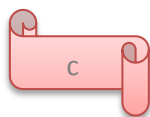
Moreover, Gavrilovic model (EPM) was implemented on the basins of the study area. It is thus found out that the study area average water erosion was prevailing, and the volume of sediments within its lands ranged between (501-1500) m³/km³/years which occupied an area amounted to (724.2 Km²) from the area of the basins in the region.

Hydrologically speaking, the Snyder model and (SCS-CN) method were used to estimate the size of runoff which depends on soil quality of the basin, its permeability and classification of types of ground cover in the basins in the region, with CN values in the study area ranging from (25-100), i.e., the rule of high values, which indicates the lack of soil permeability and high runoff ratios within most basins of the region. As well, it turns out that there is a discrepancy in the values of runoff volume, which was calculated in the highest rainfall intensity on date (11/4/2018) A.D within the approved climate station in the study ; the highest values were recorded within Abbasan and Qura Tu basins, mounting up to ((522.396 - 1,064.73) m³ and (472.953 - 963.961) m³ respectively, making them one of the most vulnerable basins to high-risk floods.

Additionally, environmental degradation in the region was assessed and a geomorphic risk simulation model was constructed by determining the degree of land capability and suitability. Geomorphic risks were classified to three levels of risk occurring within the study area basins, with the second level of suitable

and medium-risk lands occupying the highest rate of (41.4%) from the area of the basins in the region. The results of matching the geomorphic risk map with the maps of land-use, the highest proportion of human settlements is within the low-risk areas reaching up to (34%) of the total number of villages within the study area. As for roads, the paved and unpaved roads extending within the middle-risk lands accounted for the highest proportion of the total lengths of roads within the region (38.4%, 39.7%) respectively. In terms of agrarian areas, their highest proportion was within middle-risk lands (43.2%) of the total area of agricultural lands in the basins of the region

As well, a model of flood risk was designed and included two levels of risk; as the basins of Abbasan and Qura Tu occurred within the level of high risk. As indicated via the results of matching the map of flood risk with the maps of the land-uses in the region, the highest proportion of human settlements was located within the high-risk areas with (89.3%) of the total number of human settlements within the basins of the region. Regarding the roads in the study area, paved and unpaved roads were in the highest rates in the high-risk territories (72.8%, 89%) respectively. As for agrarian areas located within high-risk lands, the highest rate of the total area of agricultural land in the region basins accounted for the highest proportion (83.4%) of the total area of agrarian lands.





Ministry of Higher Education
and Scientific Research
University of Diyala
College of Education for Humanities
Department of Geography



THE IMPACT OF RAIN INTENSITIES ON GEOMORPHIC RISKS IN THE VALLEY BASINS OF THE NORTH-EAST OF KHANAQIN DISTRICT/ DIYALA

A Dissertation Submitted to the Council of the College of
Education for Humanities/ University of Diyala in Partial
Fulfilment of the Requirements of Ph.D. in Physical Geography

By
ENTISAR MIZHIR OWALD

Supervised by
**ASSIST. PROF. HALAH MOHAMMED SAEED
(PH.D.)**

2021 A.D.

1442 H.